

**UNIVERSIDADE ESTADUAL DE CAMPINAS  
INSTITUTO DE QÜIMICA**

ESTE EXEMPLAR CORRESPONDE À REDAÇÃO FINAL DA TESE, DEFENDIDA  
POR JOANA D'ARC FÉLIX DE SOUSA, E APROVADA PELA COMISSÃO  
JULGADORA.

Campinas, 08 de Agosto de 1994.

Orientador: José Augusto Rosário Rodrigues

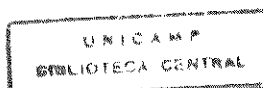
**Síntese Total de (+)-Cularina,  
(+)-Sarcocapnina,  
(+)-Sarcocapnidina e (+)-Crassifolina**

**JOANA D'ARC FÉLIX DE SOUSA** *(Sor 85)*

**Tese de Doutoramento**

**Orientador: Prof. Dr. José Augusto Rosário Rodrigues**

**CAMPINAS - 1994**



**Dedico esta obra  
a meus pais:  
José Félix de Sousa  
Conceição V. dos Santos Sousa,  
pelo amor, dedicação e apoio em todas as horas,  
além de tudo que fizeram para que eu alcançasse  
meus objetivos.**

**E aos meus irmãos:  
Mário José Félix de Sousa  
Maria Aparecida Félix de Sousa e  
aos meus sobrinhos:  
Hernandez, Carolina, Wesley e Isabela.**

**A minha avó:  
Maria Conceição de Jesus,  
ao meu tio:  
Sebastião Félix de Sousa,  
ao meu primo:  
Carlos Roberto da Silva,  
que partiram durante a realização deste trabalho,  
mas sempre serão lembrados com muitas saudades.**

**Ao Prof. Dr. José Augusto Rosário Rodrigues, pela dedicada orientação, constante estímulo e interesse com que acompanhou o desenvolvimento deste trabalho e,**

**ao Prf. Dr. R. Abramovitch pela constante colaboração, os meus profundos agradecimentos.**

**MUITO OBRIGADA**

# **AGRADECIMENTOS**

- À direção do Instituto de Química da Universidade Estadual de Campinas, pelas condições fornecidas para a realização deste trabalho.
- À Fundação de Amparo à Pesquisa do Estado de São Paulo (FAPESP), pelos auxílios concedidos.
- Aos funcionários do Instituto de Química em especial à Paula, Sônia, Cidinho, Manuela e Márcia, pelo apoio técnico.
- Aos meus amigos de laboratório: Ana Elisa, Pedro, Paulo, Giovani, Aloísia, Bianca, Leonardo, José, Maitê, Vera, Maria José, Angélica, Raquel, Lucília, Alessandra, pela amizade.
- Aos meus verdadeiros e sinceros amigos: Rolien, Rodinei, Conceição, Vítor, Ivânio, Marcelo, Carmen, Regina, Gina, André, Ana Maria, Silvia, Elza e Rita que conheci na UNICAMP, e cuja amizade gostaria de tê-la para sempre.
- À Profa. Dra. Luzia Koike, orientadora na Tese de Mestrado, meus sinceros agradecimentos pelo apoio profissional, humano e espiritual.
- Finalmente, e principalmente, a DEUS TODO PODEROSO, pela vida, fé e saúde concedida.

**OBRIGADA**

# ÍNDICE

<b>Figuras</b>	<b>i</b>
<b>Tabelas</b>	<b>ii</b>
<b>Espectros</b>	<b>iii</b>
<b>Símbolos e Abreviações</b>	<b>vi</b>
<b>Resumo</b>	<b>vii</b>
<b>Abstract</b>	<b>viii</b>

<b>CAPÍTULO 1</b>	
<b>INTRODUÇÃO.</b>	<b>2</b>
1.1 - Alcalóides Cularínicos	2
1.1.1 - Alcalóides Isoquinolínicos	6
1.2 - Biogênese e Química dos Alcalóides Cularínicos	26
1.3 - Acoplamento Oxidativo Intramolecular	30
1.3.1 - Acoplamento Oxidativo Não-Fenólico	31
1.3.2 - Acoplamento Oxidativo Fenólico	41
1.3.3 - Reações Induzidas por Iodo Hipervalente	49
1.4 - Síntese de Alcalóides Cularínicos	56
<b>CAPÍTULO 2</b>	
<b>ESTRATÉGIA SINTÉTICA</b>	<b>62</b>
2.1 - Retrospectiva.	62
<b>CAPÍTULO 3</b>	
<b>OBJETIVOS</b>	<b>65</b>
<b>CAPÍTULO 4</b>	
<b>OBTENÇÃO DOS INTERMEDIÁRIOS:</b>	
<b>IMINOFOSFORANOS E CETENOS</b>	<b>67</b>
4.1 - Preparação dos Iminofosforanos <u>244</u>	67
4.1.1 - Método 1 - Reação de Staudinger.	68
4.1.2 - Método 2 - Reação de Mitsunobu	71
4.2 - Preparação dos Cetenos <u>267</u>	77
<b>CAPÍTULO 5</b>	
<b>OBTENÇÃO DAS 1-Benzil-8-Benziloxi-7-Metoxi-3,4-Diidroisoquinolinas <u>278</u></b>	
<b>ATRAVÉS DA REAÇÃO AZA-WITTIG.</b>	<b>83</b>

<b>CAPÍTULO 6</b>	
<b>SÍNTESE DA (<math>\pm</math>)-Didesidronorcularina 290</b>	
<b>VIA ÍON OXÊNIO E VIA ÍON NITRÊNIO</b>	<b>89</b>
6.1 - Síntese Via íon Ariloxênio	90
6.2 - Síntese Via Íon Arilnitrênio	95
<b>CAPÍTULO 7</b>	
<b>SÍNTESE DA CULARINA 1.a</b>	<b>102</b>
7.1 - Síntese da ( $\pm$ )-Cularina 1.a'	102
7.2 - Síntese da (+)-Cularina 1.a	103
<b>CAPÍTULO 8</b>	
<b>SÍNTESE DAS (+)-CULARINAS 1, (+)-ISOCULARINAS 2</b>	
<b>E DA (+)-CRASSIFOLINA 3</b>	<b>110</b>
8.1 - Síntese da (+)-Didesidronorcularina 308 e da (+)-Didesidronorisocularina 309 Via Íon Oxênio	111
8.2 - Síntese das (+)-Cularinas 1	113
8.3 - Síntese das (+)-Isocularinas 2	114
8.4 - Síntese da (+)-Crassifolina 3	116
<b>CAPÍTULO 9</b>	
<b>CONCLUSÃO</b>	<b>121</b>
<b>CAPÍTULO 10</b>	
<b>PARTE EXPERIMENTAL</b>	<b>124</b>
10.1 - Informações Gerais	124
10.1.1 - Reagentes e Métodos	124
10.2 - Síntese dos Iminofosforanos 244	
(via reação de Staudinger e Mitsunobu)	126
10.2.1 - Síntese do veratraldeído 237	126
10.2.2 - Síntese da isovanilina 238	126
10.2.3 - Síntese da 6-bromoisovanilina 239	127
10.2.4 - Síntese do 3-benziloxi-4-metoxi- 6-bromobenzaldeído 240.a	127
10.2.5 - Síntese do iminofosforano 244.a	
(via reação de Staudinger)	128
10.2.5.1 - Síntese do 3-benziloxi-4-metoxi- 6-bromo- $\beta$ -nitroestireno 241.a	128
10.2.5.2 - Síntese da 3-benziloxi-4-metoxi- 6-bromofenetilamina 242.a	128
10.2.5.3 - Síntese do cloreto de 3-benziloxi- 4-metoxi-6-bromofenetil-	

trifeniliminofosfônio 243.a .....	129
10.2.5.4 - Síntese do 3-benziloxi- 4-metoxi-6-bromofenetil- trifeniliminofosforano 244.a .....	129
10.2.6 - Síntese do iminofosforano 244.a (via reação de Mitsunobu) .....	130
10.2.6.1 - Síntese do 3-benziloxi-4-metoxi- 6-bromo-β-cloroestireno 252 .....	130
10.2.6.1.1 - Obtenção do CrCl <sub>3</sub> anidro .....	130
10.2.6.1.2 - Síntese de 252 .....	130
10.2.6.2 - Síntese do 3-benziloxi-4-metoxi- 6-bromoestireno 253 .....	130
10.2.6.3 - Síntese do 3-benziloxi-4-metoxi- 6-bromofenetilálcool 257 .....	131
10.2.6.4 - Síntese do 3-benziloxi- 4-metoxi-6-bromofenetil- trifeniliminofosforano 244.a .....	132
10.2.6.4.1 - Obtenção do ácido hidrazóico (HN <sub>3</sub> ). ....	132
10.2.6.4.2 - Síntese de 244.a .....	132
10.2.7 - Síntese do Iminofosforano 244.b (via reação de Staudinger)....	133
10.2.7.1 - Síntese do 3-benziloxi- 4-metoxibenzaldeído 240.b .....	133
10.2.7.2 - Síntese do 3-benziloxi-4-meoxi- β-nitroestireno 241.b .....	133
10.2.7.3 - Síntese da 3-benziloxi- 4-metoxifenetilamina 242.b .....	133
10.2.7.4 - Síntese do 3-benziloxi-4- metoxifenetil- trifeniliminofosfônio 243.b .....	134
10.2.7.5 - Síntese do 3-benziloxi-4-metoxifenetil trifeniliminofosforano 244.b .....	133
10.3 - Síntese do Ceteno 267....	134
10.3.1 - Síntese do Ceteno 267.a....	134
10.3.1.1 - Síntese do ácido hipúrico 268 .....	134
10.3.1.2 - Síntese do ácido acrílico da azalactona do α-benzoilamino-β- (3,4-dimetoxifenila) 269.a .....	135
10.3.1.2.1 - Síntese de 269.a (Forno Microondas). ....	135
10.3.1.3 - Síntese do ácido homoverátrico 270.a .....	135

10.3.1.4 - Síntese do 3,4-dimetoxifenilceteno <u>267.a.</u>	136
10.3.2 - Síntese do Ceteno <u>267.b...</u>	137
10.3.2.1 - Síntese do <i>para</i> -metoxi-benzaldeído <u>272.</u>	137
10.3.2.2 - Síntese do 3-nitro-4-metoxi-benzaldeído <u>285.</u>	
10.3.2.2.1 - Obtenção do nitrato de acetila.	137
10.3.2.2.2 - Síntese de <u>273..</u>	137
10.3.2.3 - Síntese do ácido acrílico da azalactona do $\alpha$ -benzoilamino- $\beta$ -(3-nitro-4-metoxifenila) <u>269.b</u>	138
10.3.2.4 - Síntese do ácido 3-nitro- <i>para</i> -homoanísico <u>270.b.</u>	138
10.3.2.5 - Síntese do 3-nitro-4-metoxifenilceteno <u>267.b..</u>	138
10.3.3 - Síntese do Ceteno <u>267.c...</u>	139
10.3.3.1 - Síntese do ácido 3-amino- <i>para</i> -homoanísico <u>270.c .</u>	139
10.3.3.2 - Síntese do ácido 3-azido- <i>para</i> -homoanísico <u>270.d .</u>	139
10.3.3.3 - Síntese do 3-azido-4-metoxifenilceteno <u>267.c.</u>	140
10.3.4 - Síntese do Ceteno <u>267.d ...</u>	140
10.3.4.1 - Síntese do ácido acrílico da azalactona do $\alpha$ -benzoilamino- $\beta$ -(3-benziloxi-4-metoxifenila) <u>269.c</u>	140
10.3.4.2 - Síntese do ácido 3-benziloxi-4-metoxifenetílico <u>270.e..</u>	141
10.3.4.3 - Síntese do 3-benziloxi-4-metoxifenilceteno <u>267.d .</u>	141
10.4 - Síntese da 1-(3-azido-4-metoxibenzil)-5-bromo-7-metoxi-8-benziloxi-3,4-diidroisoquinolina <u>278.b..</u>	142
10.5 - Síntese da ( $\pm$ )-didesidronorcularina <u>290</u> e da ( $\pm$ )-didesidronorisocularina <u>291</u> (via íon oxênio).....	142
10.5.1 - Síntese da 1-(3,4-dimetoxibenzil)-5-bromo-7-metoxi-8-benziloxi-3,4-diidroisoquinolina <u>278.a..</u>	142
10.5.2 - Síntese da 1-(3,4-dimetoxibenzil)-7-metoxi-8-benziloxi-3,4-diidroisoquinolina <u>283</u> (com PPh <sub>3</sub> ).	143

10.5.2.1 - Síntese de <u>283</u> (com BuLi)._____	144
10.5.3 - Síntese da 1-(3,4-dimetoxibenzil)-7-metoxi- 8-hidroxi-3,4-diidroisoquinolina <u>284</u> ._____	144
10.5.4 - Síntese da ( $\pm$ )-7,3',4'-trimetoxi-1-benzoxepina- 3,4-diidroisoquinolina <u>290</u> [( $\pm$ )-didesidronorcularina] e da ( $\pm$ )-7,4',5'-trimetoxi-1-benzoxepina- 3,4-diidroisoquinolina <u>291</u> [( $\pm$ )-didesidronorisocularina].._____	145
10.5.4.1 - Obtenção do bis (trifluoroacetato) de pentafluoriodobenzeno <u>173</u> _____	145
10.5.4.2 - Síntese de ( $\pm$ )- <u>290</u> e de ( $\pm$ )- <u>291</u> _____	145
 10.6 - Síntese da ( $\pm$ )-didesidronorcularina <u>290</u> (via íon nitrênio).....	146
10.6.1 - Síntese da 1-(3-nitro-4-metoxibenzil)- 5-bromo-7-metoxi-8-benziloxi- 3,4-diidroisoquinolina <u>278.c</u> .._____	146
10.6.2 - Síntese da 1-(3-nitro-4-metoxibenzil)- 7-metoxi-8-benziloxi- 3,4-diidroisoquinolina <u>292</u> (com PPh <sub>3</sub> )._____	147
10.6.2.1 - Síntese de <u>292</u> (com BuLi)._____	147
10.6.3 - Síntese da 1-(3-amino-4-metoxibenzil)- 7-metoxi-8-benziloxi- 3,4-diidroisoquinolina <u>293</u> .._____	148
10.6.4 - Síntese da 1-(3-azido-4-metoxibenzil)- 7-metoxi-8-benziloxi- 3,4-diidroisoquinolina <u>294</u> .._____	148
10.6.5 - Síntese da ( $\pm$ )-7,4'-dimetoxi-3'-amino- 1-benzoxepina-3,4-diidroisoquinolina <u>297</u> e da ( $\pm$ )-7,4'-dimetoxi-5'-amino-1-benzoxepina- 3,4-diidroisoquinolina <u>298</u> .._____	149
10.6.6 - Síntese da ( $\pm$ )-7,3',4'-trimetoxi-1-benzoxepina- 3,4-diidroisoquinolina <u>290</u> [( $\pm$ )-didesidronorcularina]..._____	150
 10.7 - Síntese da Cularina <u>1.a</u> ....	150
10.7.1 - Síntese da ( $\pm$ )-Cularina <u>1.a'</u> .._____	150
10.7.2 - Síntese da (+)-Cularina <u>1.a</u> .._____	151
 10.8 - Síntese da ( $\pm$ )-didesidronorcularina <u>308</u> e da ( $\pm$ )-didesidronorisocularina <u>309</u> (via íon oxênio) .....	153
10.8.1 - Síntese da 1-(3-benziloxi-4-metoxibenzil)- 7-metoxi-8-benziloxi-3,4-	

diidroisoquinolina <u>278.d</u> e da	
1-(3-benziloxi-4-metoxibenzil)-7-metoxi-	
6-benziloxi-3,4-diidroisoquinolina <u>279</u> .....	153
10.8.2 - Síntese da 1-(3-hidroxi-4-metoxibenzil)-	
7-metoxi-8-hidroxi-3,4-diidroisoquinolina <u>306</u> .....	154
10.8.3 - Síntese da ( $\pm$ )-7,4'-dimetoxi-3'-hidroxi-	
1-benzoxepina-3,4-diidroisoquinolina <u>308</u>	
[( $\pm$ )-didesidronorcularina] e da ( $\pm$ )-7,4'-dimetoxi-	
5'-hidroxi-1-benzoxepina-3,4-diidroisoquinolina	
<u>309</u> [( $\pm$ )-didesidronorisocularina]. .....	155
10.9 - Síntese da (+)-O-desmetilcularina <u>1.b..</u> .....	156
10.10 - Síntese da (+)-Cularina <u>1.a</u> ... .....	156
10.11 - Síntese da (+)-Sarcocapnidina <u>2.b..</u> .....	157
10.12 - Síntese da (+)-Sarcocapnina <u>2.a...</u> .....	157
10.13 - Síntese da (+)-Crassifolina <u>3...</u> .....	158
<b>REFERÊNCIAS BIBLIOGRÁFICAS....</b> .....	<b>159</b>
<b>ESPECTROS.....</b> .....	<b>184</b>

# FIGURAS

<b>Figura 1 - Estrutura da (+)-Cularina <u>1.a</u></b>	<b>.3</b>
<b>Figura 2 - Alcalóides do grupo cularínico</b>	<b>.4</b>
<b>Figura 3 - Alcalóides isoquinolínicos encontrados na <i>Annonaceae</i> ...</b>	<b>6</b>
<b>Figura 4 - Esqueletos isoquinolínicos.</b>	<b>8</b>
<b>Figura 5 - Álcoois quirais utilizados como auxiliares quirais em sínteses assimétricas</b>	<b>18</b>
<b>Figura 6 - Complexos de metais de transição utilizados nas sínteses de alcalóides isoquinolínicos quirais</b>	<b>20</b>
<b>Figura 7 - Alcalóides contendo anéis de sete e oito membros</b>	<b>30</b>
<b>Figura 8 - Estados singletô e tripleto do íon nitrênio</b>	<b>32</b>
<b>Figura 9 - Estados singletô e tripleto dos íons oxêniros e nitrênios</b>	<b>44</b>
<b>Figura 10 - Compostos de iodo hipervalente utilizados em reações orgânicas</b>	<b>49</b>
<b>Figura 11 - 3,4-Diidroisoquinolinas que levarão à formação do sistema diidroxepina de (<math>\pm</math>)-<u>290</u> e (<math>\pm</math>)-<u>297</u>.</b>	<b>89</b>
<b>Figura 12 - Fragmentos resultantes do espectro de massa (E-64) da (<math>\pm</math>)-didesidronorcularina <u>290</u></b>	<b>94</b>
<b>Figura 13 - Fragmentos resultantes do espectro de massa (E-77) da (<math>\pm</math>)-7,4-dimetoxi-3'-amino-1-benzoxepina- 3,4-diidroisoquinolina <u>297</u></b>	<b>99</b>
<b>Figura 14 - Modelos moleculares do intermediário <u>301.a</u> responsável pela formação da (+)-cularina <u>1.a</u>.</b>	<b>106</b>
<b>Figura 15 - Projeção de Newman da (+)-cularina <u>1.a</u>.</b>	<b>107</b>
<b>Figura 16 - Projeção de Newman para os alcalóides (+)-cularina <u>1.a</u>, (+)-O-desmetilcularina <u>1.b</u>, (+)-sarcocapnina <u>2.a</u> e (+)-sarcocapnidina <u>2.b</u>.</b>	<b>114</b>
<b>Figura 17 - Projeção de Newman da (+)-crassifolina <u>3</u>.</b>	<b>117</b>

## TABELAS

**Tabela 1 - Condições de síntese da ( $\pm$ )-didesidronorcularina** 290. \_\_\_\_\_ 91

**Tabela 2 - Condições de síntese da ( $\pm$ )-7,4-dimetoxi-3'-amino-  
1-benzoxepina-3,4-diidroisoquinolina** 297 \_\_\_\_\_ 96

# ESPECTROS

<b>E-1</b>	- IV (KBr) do verataldeído <u>237</u>	186
<b>E-2</b>	- RMN <sup>1</sup> H (CCl <sub>4</sub> /TMS) do verataldeído <u>237</u>	187
<b>E-3</b>	- IV (KBr) da isovanilina <u>238</u>	188
<b>E-4</b>	- RMN <sup>1</sup> H (CDCl <sub>3</sub> /TMS) da isovanilina <u>238</u>	189
<b>E-5</b>	- IV (KBr) da 6-bromoisovanilina <u>239</u>	190
<b>E-6</b>	- RMN <sup>1</sup> H (CDCl <sub>3</sub> /TMS) da 6-bromoisovanilina <u>239</u>	191
<b>E-7</b>	- IV (KBr) do 3-benziloxi-4-metoxi-6-bromobenzaldeído <u>240a</u>	192
<b>E-8</b>	- RMN <sup>1</sup> H (CCl <sub>4</sub> /TMS) do 3-benziloxi-4-metoxi-6-bromobenzaldeído <u>240a</u>	193
<b>E-9</b>	- IV (KBr) do nitroestireno <u>241a</u>	194
<b>E-10</b>	- RMN <sup>1</sup> H (CCl <sub>4</sub> /TMS) do nitroestireno <u>241a</u>	195
<b>E-11</b>	- IV (filme) da amina <u>242a</u>	196
<b>E-12</b>	- RMN <sup>1</sup> H (CCl <sub>4</sub> /TMS) da amina <u>242a</u>	197
<b>E-13</b>	- IV (KBr) do sal de iminofosfônio <u>243a</u>	198
<b>E-14</b>	- RMN <sup>1</sup> H (CDCl <sub>3</sub> /TMS) do sal de iminofosfônio <u>243a</u>	199
<b>E-15</b>	- IV (KBr) do iminofosforano <u>244a</u>	200
<b>E-16</b>	- RMN <sup>1</sup> H (CDCl <sub>3</sub> /TMS) do iminofosforano <u>244a</u>	201
<b>E-17</b>	- IV (filme) do cloroestireno <u>252</u>	202
<b>E-18</b>	- RMN <sup>1</sup> H (CCl <sub>4</sub> /TMS) do cloroestireno <u>252</u>	203
<b>E-19</b>	- IV (KBr) do estireno <u>253</u>	204
<b>E-20</b>	- RMN <sup>1</sup> H (CCl <sub>4</sub> /TMS) do estireno <u>253</u>	205
<b>E-21</b>	- IV (KBr) do álcool <u>257</u>	206
<b>E-22</b>	- RMN <sup>1</sup> H (CCl <sub>4</sub> /TMS) do álcool <u>257</u>	207
<b>E-23</b>	- IV (KBr) do ácido hipúrico <u>268</u>	208
<b>E-24</b>	- IV (KBr) da oxazolona <u>269a</u>	209
<b>E-25</b>	- RMN <sup>1</sup> H (CDCl <sub>3</sub> /TMS) da oxazolona <u>269a</u>	210
<b>E-26</b>	- IV (KBr) do ácido homoverátrico <u>270a</u>	211
<b>E-27</b>	- RMN <sup>1</sup> H (CDCl <sub>3</sub> /TMS) do ácido homoverátrico <u>270a</u>	212
<b>E-28</b>	- IV (KBr) do ceteno <u>267a</u>	213
<b>E-29</b>	- RMN <sup>1</sup> H (CDCl <sub>3</sub> /TMS) do ceteno <u>267a</u>	214
<b>E-30</b>	- IV (filme) do <i>para</i> -metoxibenzaldeído <u>272</u>	215
<b>E-31</b>	- RMN <sup>1</sup> H (CCl <sub>4</sub> /TMS) do <i>para</i> -metoxibenzaldeído <u>272</u>	216
<b>E-32</b>	- IV (KBr) do 3-nitro-4-metoxibenzaldeído <u>273</u>	217
<b>E-33</b>	- RMN <sup>1</sup> H (CDCl <sub>3</sub> /TMS) do 3-nitro-4-metoxibenzaldeído <u>273</u>	218
<b>E-34</b>	- IV (KBr) da oxazolona <u>269b</u>	219
<b>E-35</b>	- RMN <sup>1</sup> H (CDCl <sub>3</sub> /TMS) da oxazolona <u>269b</u>	220
<b>E-36</b>	- IV (KBr) do ácido 3-nitro- <i>para</i> -homoanísico <u>270b</u>	221
<b>E-37</b>	- RMN <sup>1</sup> H (CDCl <sub>3</sub> /TMS) do ácido 3-nitro- <i>para</i> -homoanísico <u>270b</u>	222

<b>E-38</b>	- IV (KBr) do ceteno <u>267b</u>	223
<b>E-39</b>	- RMN <sup>1</sup> H (CDCl <sub>3</sub> /TMS) do ceteno <u>267b</u>	224
<b>E-40</b>	- IV (KBr) do ácido 3-amino- <i>para</i> -homoanísico <u>270c</u>	225
<b>E-41</b>	- RMN <sup>1</sup> H (CDCl <sub>3</sub> /TMS) do ácido 3-amino- <i>para</i> -homoanísico <u>270c</u>	226
<b>E-42</b>	- IV (KBr) do ácido 3-azido- <i>para</i> -homoanísico <u>270d</u>	227
<b>E-43</b>	- RMN <sup>1</sup> H (CDCl <sub>3</sub> /TMS) do ácido 3-azido- <i>para</i> -homoanísico <u>270d</u>	228
<b>E-44</b>	- IV (KBr) do ceteno <u>267c</u>	229
<b>E-45</b>	- RMN <sup>1</sup> H (CDCl <sub>3</sub> /TMS) do ceteno <u>267c</u>	230
<b>E-46</b>	- IV (KBr) da oxazolona <u>269c</u>	231
<b>E-47</b>	- RMN <sup>1</sup> H (CDCl <sub>3</sub> /TMS) da oxazolona <u>269c</u>	232
<b>E-48</b>	- IV (KBr) do ácido 3-benziloxi-4-metoxifenetílico <u>270e</u>	233
<b>E-49</b>	- RMN <sup>1</sup> H (CDCl <sub>3</sub> /TMS) do ácido 3-benziloxi-4-metoxifenetílico <u>270e</u>	234
<b>E-50</b>	- IV (KBr) do ceteno <u>267d</u>	235
<b>E-51</b>	- RMN <sup>1</sup> H (CDCl <sub>3</sub> /TMS) do ceteno <u>267d</u>	236
<b>E-52</b>	- IV (KBr) da 3,4-diidroisoquinolina <u>278b</u>	237
<b>E-53</b>	- RMN <sup>1</sup> H (CDCl <sub>3</sub> /TMS) da 3,4-diidroisoquinolina <u>278b</u>	238
<b>E-54</b>	- IV (KBr) da 3,4-diidroisoquinolina <u>278a</u>	239
<b>E-55</b>	- RMN <sup>1</sup> H (CDCl <sub>3</sub> /TMS) da 3,4-diidroisoquinolina <u>278a</u>	240
<b>E-56</b>	- RMN <sup>13</sup> C (CDCl <sub>3</sub> ) da 3,4-diidroisoquinolina <u>278a</u>	241
<b>E-56</b>	- RMN <sup>13</sup> C (CDCl <sub>3</sub> ) (ampliado) da 3,4-diidroisoquinolina <u>278a</u>	242
<b>E-57</b>	- IV (KBr) da 3,4-diidroisoquinolina <u>283</u>	243
<b>E-58</b>	- RMN <sup>1</sup> H (CDCl <sub>3</sub> /TMS) da 3,4-diidroisoquinolina <u>283</u>	244
<b>E-59</b>	- IV (KBr) da 3,4-diidroisoquinolina <u>284</u>	245
<b>E-60</b>	- RMN <sup>1</sup> H (CDCl <sub>3</sub> /TMS) da 3,4-diidroisoquinolina <u>284</u>	246
<b>E-61</b>	- IV (KBr) da ( $\pm$ )-didesidronorcularina <u>290</u>	247
<b>E-62</b>	- RMN <sup>1</sup> H (CDCl <sub>3</sub> /TMS) da ( $\pm$ )-didesidronorcularina <u>290</u>	248
<b>E-63</b>	- RMN <sup>13</sup> C (CDCl <sub>3</sub> ) da ( $\pm$ )-didesidronorcularina <u>290</u>	249
<b>E-63</b>	- RMN <sup>13</sup> C (CDCl <sub>3</sub> ) (ampliado) da ( $\pm$ )-didesidronorcularina <u>290</u>	250
<b>E-64</b>	- EM (70 eV) da ( $\pm$ )-didesidronorcularina <u>290</u>	251
<b>E-65</b>	- IV (KBr) da 3,4-diidroisoquinolina <u>278c</u>	252
<b>E-66</b>	- RMN <sup>1</sup> H (CDCl <sub>3</sub> /TMS) da 3,4-diidroisoquinolina <u>278c</u>	253
<b>E-67</b>	- RMN <sup>13</sup> C (CDCl <sub>3</sub> ) da 3,4-diidroisoquinolina <u>278c</u>	254
<b>E-67</b>	- RMN <sup>13</sup> C (CDCl <sub>3</sub> ) (ampliado) da 3,4-diidroisoquinolina <u>278c</u>	255
<b>E-68</b>	- IV (KBr) da 3,4-diidroisoquinolina <u>292</u>	256
<b>E-69</b>	- RMN <sup>1</sup> H (CDCl <sub>3</sub> /TMS) da 3,4-diidroisoquinolina <u>292</u>	257
<b>E-70</b>	- IV (KBr) da 3,4-diidroisoquinolina <u>293</u>	258
<b>E-71</b>	- RMN <sup>1</sup> H (CDCl <sub>3</sub> /TMS) da 3,4-diidroisoquinolina <u>293</u>	259
<b>E-72</b>	- IV (KBr) da 3,4-diidroisoquinolina <u>294</u>	260
<b>E-73</b>	- RMN <sup>1</sup> H (CDCl <sub>3</sub> /TMS) da 3,4-diidroisoquinolina <u>294</u>	261
<b>E-74</b>	- IV (KBr) da ( $\pm$ )-7,4'-dimetoxi-3'-amino-1-	

	benzoxepina-3,4-diidroisoquinolina <u>297</u>	262
<b>E-75</b>	- RMN <sup>1</sup> H (CDCl <sub>3</sub> /TMS) de ( $\pm$ )- <u>297</u>	263
<b>E-76</b>	- RMN <sup>13</sup> C (CDCl <sub>3</sub> ) de ( $\pm$ )- <u>297</u>	264
<b>E-76</b>	- RMN <sup>13</sup> C (CDCl <sub>3</sub> ) (ampliado) de ( $\pm$ )- <u>297</u>	265
<b>E-77</b>	- EM (70 eV) de ( $\pm$ )- <u>297</u>	266
<b>E-78.a-</b>	IV (KBr) da ( $\pm$ )-cularina <u>1a'</u>	267
<b>E-78.b-</b>	IV (KBr) da (+)-cularina <u>1a</u>	268
<b>E-79.a-</b>	RMN <sup>1</sup> H (CDCl <sub>3</sub> /TMS) da ( $\pm$ )-cularina <u>1a'</u>	269
<b>E-79.b-</b>	RMN <sup>1</sup> H (CDCl <sub>3</sub> /TMS) da (+)-cularina <u>1a</u>	270
<b>E-80</b>	- IV (filme) da (+)-8-fenilmentila <u>303</u>	271
<b>E-81</b>	- RMN <sup>1</sup> H (CDCl <sub>3</sub> /TMS) da (+)-8-fenilmentila <u>303</u>	272
<b>E-82</b>	- IV (filme) do (+)-8-fenilmentol <u>304</u>	273
<b>E-83</b>	- RMN <sup>1</sup> H (CDCl <sub>3</sub> /TMS) do (+)-8-fenilmentol <u>304</u>	274
<b>E-84</b>	- IV (KBr) da 3,4-diidroisoquinolina <u>278d</u>	275
<b>E-85</b>	- RMN <sup>1</sup> H (CDCl <sub>3</sub> /TMS) da 3,4-diidroisoquinolina <u>278d</u>	276
<b>E-86</b>	- IV (KBr) da 3,4-diidroisoquinolina <u>279</u>	277
<b>E-87</b>	- RMN <sup>1</sup> H (CDCl <sub>3</sub> /TMS) da 3,4-diidroisoquinolina <u>279</u>	278
<b>E-88</b>	- IV (KBr) da 3,4-diidroisoquinolina <u>306</u>	279
<b>E-89</b>	- RMN <sup>1</sup> H (CDCl <sub>3</sub> /TMS) da 3,4-diidroisoquinolina <u>306</u>	280
<b>E-90</b>	- RMN <sup>13</sup> C (CDCl <sub>3</sub> ) da 3,4-diidroisoquinolina <u>306</u>	281
<b>E-90</b>	- RMN <sup>13</sup> C (CDCl <sub>3</sub> ) (ampliado) da 3,4-diidroisoquinolina <u>306</u>	282
<b>E-91</b>	- IV (KBr) da ( $\pm$ )-didesidronorcularina <u>308</u>	283
<b>E-92</b>	- RMN <sup>1</sup> H (CDCl <sub>3</sub> /TMS) da ( $\pm$ )-didesidronorcularina <u>308</u>	284
<b>E-93</b>	- IV (KBr) da ( $\pm$ )-didesidronorisocularina <u>309</u>	285
<b>E-94</b>	- RMN <sup>1</sup> H (CDCl <sub>3</sub> /TMS) da ( $\pm$ )-didesidronorisocularina <u>309</u>	286
<b>E-95</b>	- IV (KBr) da (+)-O-desmetilcularina <u>1b</u>	287
<b>E-96</b>	- RMN <sup>1</sup> H (CDCl <sub>3</sub> /TMS) da (+)-O-desmetilcularina <u>1b</u>	288
<b>E-97</b>	- IV (KBr) da (+)-sarcocapnidina <u>2b</u>	289
<b>E-98</b>	- RMN <sup>1</sup> H (CDCl <sub>3</sub> /TMS) da (+)-sarcocapnidina <u>2b</u>	290
<b>E-99</b>	- IV (filme) da (+)-sarcocapnina <u>2a</u>	291
<b>E-100</b>	- RMN <sup>1</sup> H (CDCl <sub>3</sub> /TMS) da (+)-sarcocapnina <u>2a</u>	292
<b>E-101</b>	- IV (KBr) da (+)-crassifolina <u>3</u>	293
<b>E-102</b>	- RMN <sup>1</sup> H (CDCl <sub>3</sub> /TMS) da (+)-crassifolina <u>3</u>	294

# SÍMBOLOS E ABREVIACÕES

Ar = Arila

Bn = Benzila

ccd = Cromatografia de camada delgada

cce = Cromatografia de camada espessa

d = Sinal duplo (dubleto)

dd = Duplo doubleto

dt = Doubleto de tripleto

DCC = Dicicloexilcarbodiimida

DIOP = (4S,5S)-4,5-bis-difenilfosfinometil)2,2-dimetil-1,3-dioxalano

E = Espectro

e e = Excesso enantiomérico

EM = Espectro de massa

hex = Hexano

Hz = Hertz

IR = Intensidade relativa

IV = Espectro de absorção na região infravermelha

J = Constante de acoplamento

lit = Literatura

m = Sinal múltiplo (multipleto)

M = Íon molecular

m/z = Razão massa/carga

pf = Ponto de fusão

Ph = Fenila

PPh<sub>3</sub> = Trifenilfosfina

ppm = Parte por milhão

q = Sinal quádruplo (quarteto)

RMN<sup>13</sup>C = Ressonância magnética nuclear de carbono 13

RMN<sup>1</sup>H = Ressonância magnética nuclear de hidrogênio

s = Sinal simples (singlet)

t = Sinal triplo (triplet)

TFA = Ácido trifluoroacético

TFMSA = Ácido trifluorometanossulfônico ou ácido tríflico

THF = Tetraidrofurano

TMS = Tetrametilsilano

$[\alpha]_D^T$  = Grau de rotação

$\delta$  = Deslocamento químico

$\Delta$  = Aquecimento

## RESUMO

O alcalóide (+)-cularina foi isolado por Manske em 1938 de plantas pertencentes ao gênero *Dicentra* e *Corydalis* e posteriormente outras substâncias foram encontradas definindo a classe dos compostos cularínicos. Duas rotas sintéticas alternativas e convergentes foram propostas para a obtenção da ( $\pm$ )-didesidronorcularina 290 e ( $\pm$ )-didesidronorisocularina 309 na etapa chave. O iminofosforano 244 foi preparado através de uma reação de Staudinger em 95% de rendimento, ou pelo procedimento de Mitsunobu em 98% de rendimento. Após condensar o iminofosforano 244 e o ceteno 267 via uma reação *aza-Wittig* em tolueno a 76°C/14 hs, isolou-se as 1-benzil-3,4-diidroisoquinolinas 278a, 278c e 278d em 76%, 78% e 60% de rendimento, respectivamente. Após desbromoação de 278a com butil-lítio e desbenzilação, foi obtido 284 em 83% de rendimento. A ciclização remota intramolecular com NaH e depois com  $C_6F_5I(OCOCF_3)_2$  forneceu a ( $\pm$ )-didesidronorcularina 308 (acoplamento *para*) em 36% de rendimento e ( $\pm$ )-didesidronorisocularina 309 (acoplamento *ortho*) em 58% de rendimento, provavelmente através de um intermediário íon oxênio. A cularina 1a foi também preparada começando com o derivado nitro 292 que foi reduzido para uma amina em 88% de rendimento e depois de uma diazotação na presença de azoteto de sódio forneceu 294 em 83% de rendimento. Esta azida foi submetida a uma ciclização remota intramolecular com ácido tríflico (-10°C) para fornecer a ( $\pm$ )-aminodidesidronorcularina 297 em 81% de rendimento. A diazotação de ( $\pm$ )-297 forneceu a ( $\pm$ )-didesidronorcularina 290 em 81% de rendimento que após tratamento com cloroacetato de (+)-8-fenilmentila em metanol durante a noite e depois com boro hidreto de sódio forneceu (+)-O-desmetilcularina 1b em 95 % de rendimento, pf 127-128°C (lit 126-127°C),  $[\alpha]_D^{25} +323,5^\circ$ . A reação de (+)-1b com diazometano forneceu a (+)-cularina 1a, pf 114-115°C (lit 115°C),  $[\alpha]_D^{25} +283,8^\circ$  (lit +285°). A metilação redutiva de ( $\pm$ )-309, pelo mesmo procedimento usado para ( $\pm$ )-290, forneceu (+)-sarcocapnidina 2b em 93% de rendimento, pf 125-126°C (lit 126-127°C),  $[\alpha]_D^{25} +384^\circ$  (lit +385,4°). A metilação de ( $\pm$ )-2b com diazometano forneceu (+)-sarcocapnina 2a em 97% de rendimento na forma de um óleo, a qual foi cristalizada na forma de cloridrato, pf 212-213°C (lit 213-215°C),  $[\alpha]_D^{25} +217^\circ$  (lit +218°).

## ABSTRACT

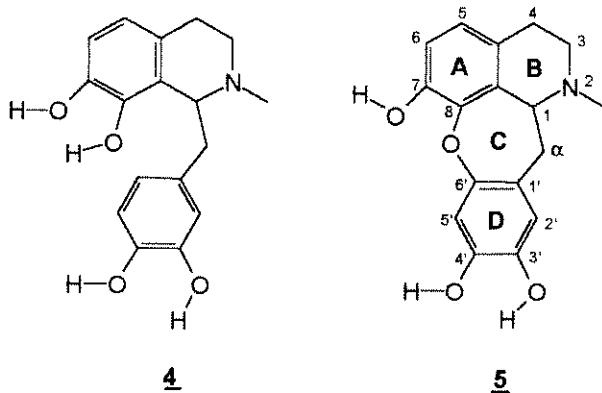
The alkaloid (+)-cularine was isolated by Manske in 1938 from plants belonging to the genera *Dicentra* and *Corydalis*. Two alternative synthetic convergent routes were proposed by us to obtain the ( $\pm$ )-didehydronorcularine 290 and ( $\pm$ )-didehydronorisocularine 309 in the key step. The iminophosphorane 244 was prepared by a Staudinger reaction in 95% yield, or by a Mitsunobu procedure in 98% yield. After condensing the iminophosphorane 244 and the ketene 267 via an *aza*-Wittig reaction in toluene at 76°C/14 hs, we isolated 1-benzyl-3,4-dihydroisoquinolines 278a, 278c e 278d in 76%, 78% and 60% yields, respectively. After debromination of 278a with butyllithium and debenylation, we obtained 284 in 83% yield. A remote intramolecular cyclization with NaH and then with  $C_6F_5I(OCOCF_3)_2$  gave the ( $\pm$ )-didehydronorcularine 308 (*para* coupling) in 36% yield and ( $\pm$ )-didehydronorisocularine 309 (*ortho* coupling) in 58% yield, probably through an oxenium ion intermediate. The cularine 1a was also prepared starting with the nitro-derivative 292 which was reduced to an amine in 88% yield and then diazotized in presence of sodium azide to give 294 in 83% yield. This azide was submitted to a remote intramolecular cyclisation with triflic acid (-10°C) to give the ( $\pm$ )-aminodidehydronorcularine 297 in 81% yield. Diazotization of ( $\pm$ )-297 gave the ( $\pm$ )-didehydronorcularine 290 in 81% yield which was treated with (+)-8-phenylmenthyl chloroacetate in methanol overnight and then with sodium borohydride to give (+)-O-demethylcularine 1b in 95% yield, mp 127-128°C (lit 126-127°C),  $[\alpha]_D^{25} +323,5^\circ$ . Reaction of (+)-1b with diazomethane gave (+)-cularinea 1a, mp 114-115°C (lit 115°C),  $[\alpha]_D^{25} +283,8^\circ$  (lit +285°). The reductive methylation of ( $\pm$ )-309 by the same procedure used for ( $\pm$ )-290, gave (+)-sarcocapnidine 2b in 93% yield, mp 125-126°C (lit 126-127°C),  $[\alpha]_D^{25} +384^\circ$  (+385,4°). Methylation of (+)-2b with diazomethane gave (+)-sarcocapnine 2a in 97% yield as an oil, which was crystallized as hydrochloride, mp 212-213°C (lit 213-215°C),  $[\alpha]_D^{25} +217^\circ$  (lit 218°).

# CAPÍTULO 1

# INTRODUÇÃO

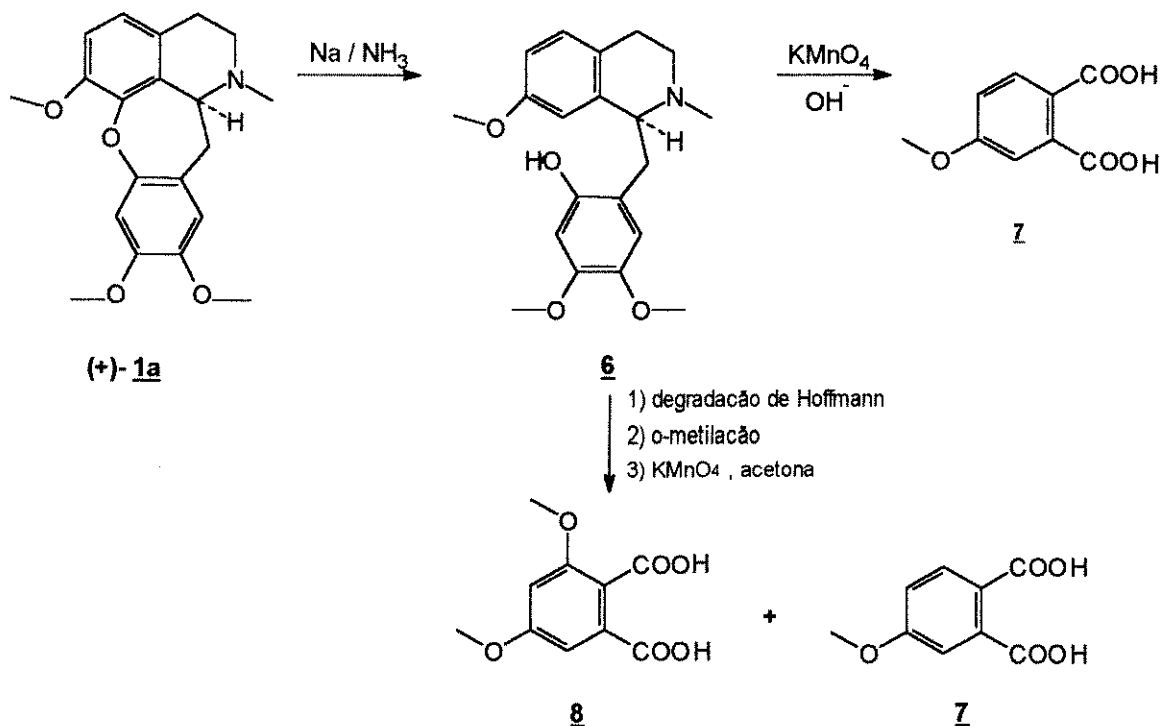
## 1.1 - ALCALÓIDES CULARÍNICOS

O acoplamento oxidativo intramolecular de benzilisoquinolinas do tipo 4, em plantas, leva à formação de bases tetracíclicas chamadas de alcalóides cularínicos e representados pela estrutura 5<sup>(1)</sup>. As cularinas são um grupo de alcalóides isoquinolínicos, as quais incorporam um sistema diidroxepina no esqueleto molecular. Se o nitrogênio for secundário, os alcalóides podem ser chamados de norcularinas. A ocorrência dos alcalóides cularínicos, na natureza, é principalmente associada com a família Fumaraceae<sup>(2,3)</sup>.

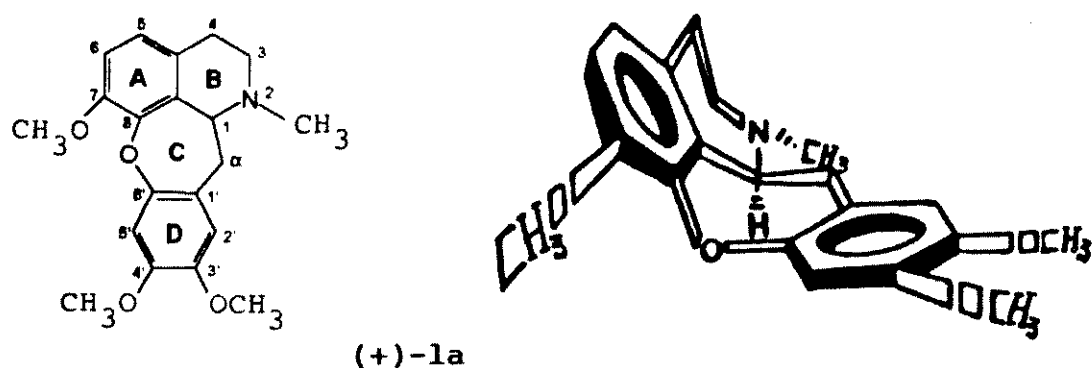


Foi Manske<sup>(4)</sup>, em 1938, o primeiro a isolar o alcalóide (+)-cularina 1.a, figura 1, de plantas pertencentes ao gênero *Dicentra* e *Corydalis*, mas sua estrutura foi deduzida em 1950<sup>(5)</sup> após uma série de reações degradativas, onde quebrou-se a ligação aril-éter, com sódio e amônia líquida, para gerar a benzilisoquinolina 6. Esta foi degradada para os ácidos 4-metoxiftálico 7 e 2,4,5-trimetoxibenzóico 8, esquema 1<sup>(6)</sup>.

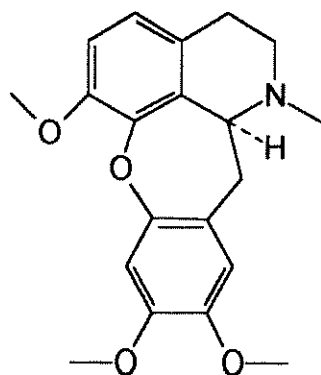
Esquema 1



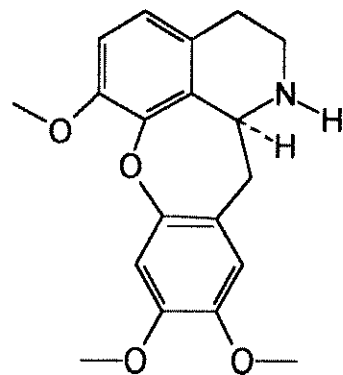
O isolamento dos ácidos 7 e 8 ajudou a estabelecer as posições dos substituintes metoxilas e a feição estrutural restante da cularina derivou-se de uma consideração da natureza dos produtos de degradação<sup>(1)</sup>. Após estudos de RMN e análises cristalográficas concluíram que o centro assimétrico possui configuração S, que o anel C possui conformação de barco torcido e que o oxigênio funciona como um arco de ligação, figura 1<sup>(2)</sup>.

Figura 1 - Estrutura da (+)-Cularina 1.a<sup>(2)</sup>.

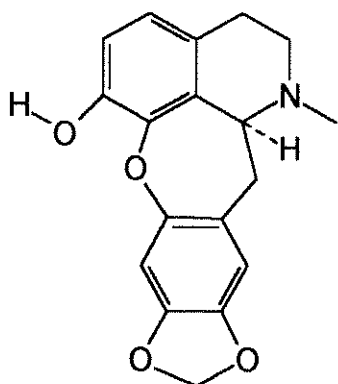
Os quatro alcalóides do grupo cularínico completamente caracterizados são: cularina, cularimina, cularicina e cularidina, figura 2<sup>(1)</sup>.



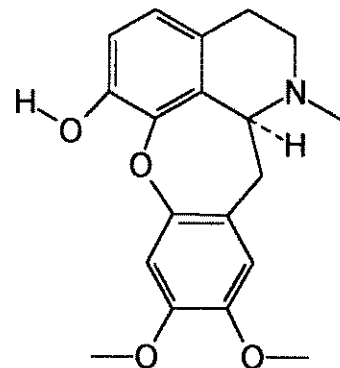
**(+)-cularina 1a**



**(+)-cularimina 9**



**(+)-cularicina 10**



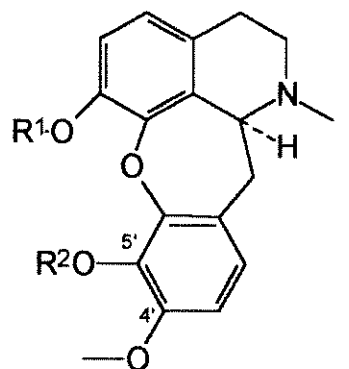
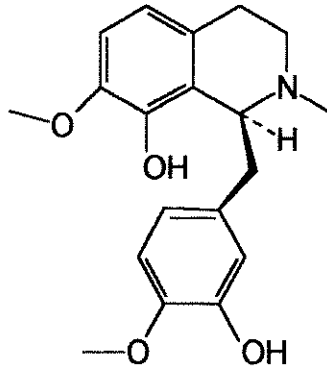
**(+)-cularidina 11**

**Figura 2 - Alcalóides do grupo cularínico<sup>(1)</sup>.**

A estrutura destes alcalóides apresenta dois pontos característicos. O primeiro é a substituição em C-7 e C-8 no núcleo isoquinolínico e o segundo é o anel oxepina, formado por uma ligação diaril-éter intramolecular entre o anel A do núcleo isoquinolínico e o grupo 1-benzil, figura 1.

As cularinas possuem atividade relaxante muscular devido ao bloqueio da transferência de cálcio através da membrana celular. O aumento do grau de metilação dos grupos hidroxílicos aumenta a atividade relaxante e isto pode ser atribuído ao alto caráter lipofílico da molécula<sup>(7)</sup>.

Campello e outros<sup>(8)</sup> isolaram da *Sarcocapnos enneaphylla*, em 1982, a (+)-sarcocapnina 2a, o primeiro alcalóide cularínico do tipo cancentrina. A monofenólica (+)-sarcocapnidina 2b e a difenólica (+)-claviculina 2c, são os posteriores exemplos deste tipo de cularinas substituídas em C-7, C-4' e C-5', as quais são chamadas de isocularinas<sup>(9)</sup>. Estes dois últimos foram isolados junto com a (+)-crassifolina 3 e outros alcalóides cularínicos da *Sarcocapnos crassifolia* e da *Corydalis clavicularata* pelos grupos de Boente<sup>(10)</sup> e Blaschke<sup>(11,12)</sup>.

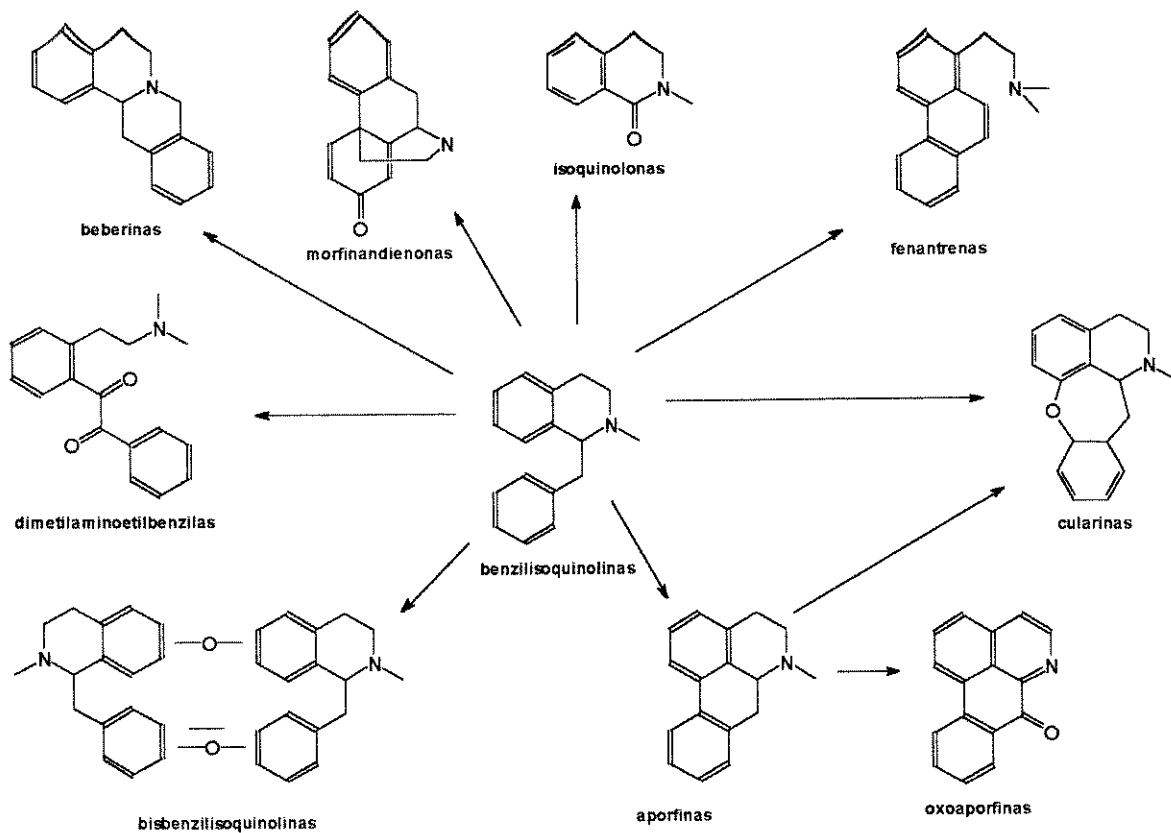
2(+)-3

- a) (+)-sarcocapnina : R<sup>1</sup>=R<sup>2</sup>=CH<sub>3</sub>
- b) (+)-sarcocapnidina: R<sup>1</sup>=CH<sub>3</sub>; R<sup>2</sup>=H
- c) (+)-claviculina: R<sup>1</sup>=R<sup>2</sup>=H

### 1.1.1 - Alcalóides Isoquinolínicos

A descoberta da (+)-cularina 1.a, um composto que possui a rara substituição em C-7 e C-8, no anel A, figura 1, atraiu a atenção de vários químicos que queriam formular um esquema biossintético e executar biogeneticamente um modelo de síntese para tal composto<sup>(9)</sup>.

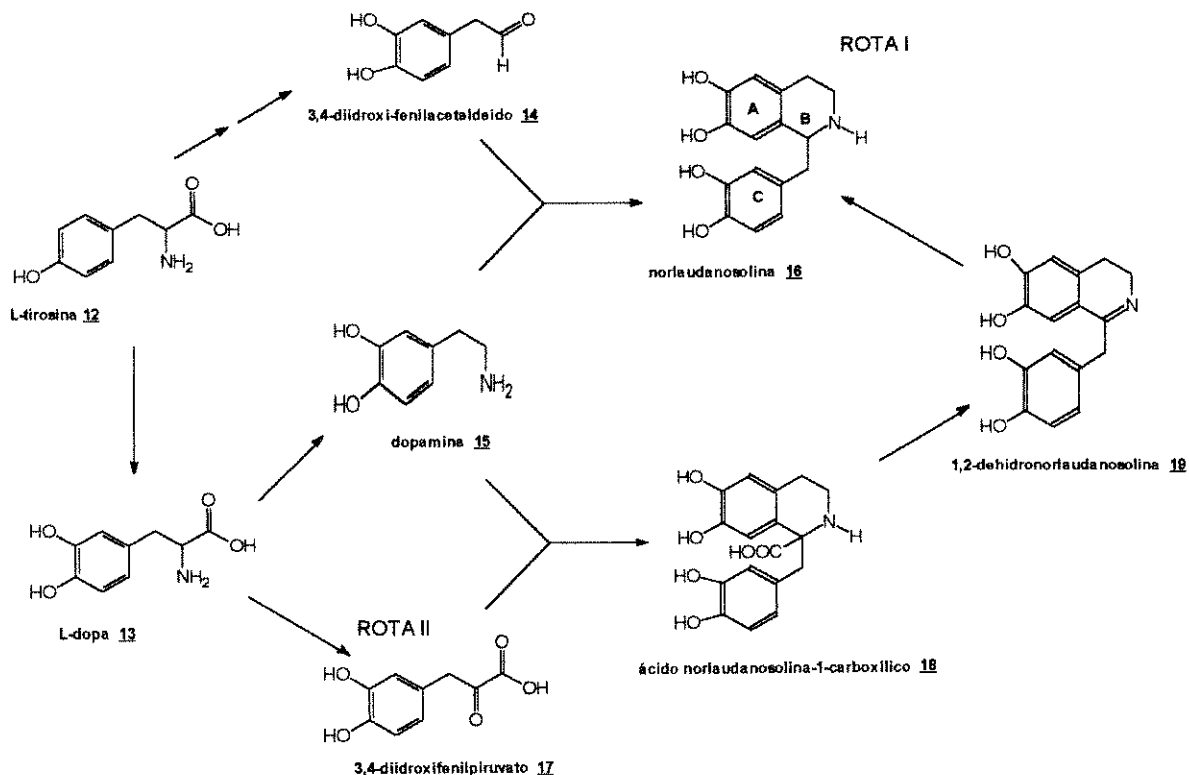
As cularinas e outros compostos que fazem parte do grupo dos alcalóides isoquinolínicos são derivados de benzilisoquinolinas<sup>(13,14)</sup>, figura 3.



**Figura 3 - Alcalóides isoquinolínicos encontrados na Annonaceae<sup>(14)</sup>.**

A reação incial na biossíntese da benzilisoquinolina 16, esquema 2, é a condensação de duas unidades aromáticas (ambas derivadas da tirosina), o diidroxifenilacetaldeído 14 e a dopamina 15, rota I<sup>(13,14)</sup>.

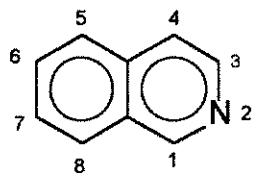
Esquema 2



Esta rota sintética foi modificada quando postulou-se que a DOPA 13 era mais facilmente convertida no ácido pirúvico substituído 17 que no aldeído 14 e, sua condensação com a dopamina 15 produzia o ácido norlaudanosolina-1 carboxílico 18, o qual sofre uma subsequente descarboxilação com a eventual formação da norlaudanosolina 16, rota II<sup>(13,14)</sup>.

Devido à freqüente ocorrência de núcleos isoquinolínicos em alcalóides, teve-se um interesse considerável na síntese de derivados isoquinolínicos. Vários métodos foram observados, mas somente três obtiveram maior popularidade: a reação de Bischler-Napieralski<sup>(15)</sup>, Pomeranz-Fritsch<sup>(15,16)</sup> e a de Pictet-Spengler<sup>(15,17)</sup>.

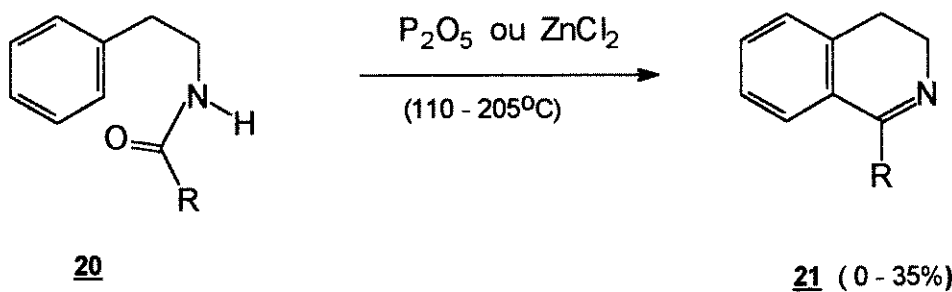
Os esqueletos isoquinolínicos, figura 4, quando funcionalizados, são usados na preparação de numerosos alcalóides e substâncias com pronunciada atividade biológica<sup>(15)</sup>.



**Figura 4 - Esqueletos isoquinolínicos<sup>(15)</sup>.**

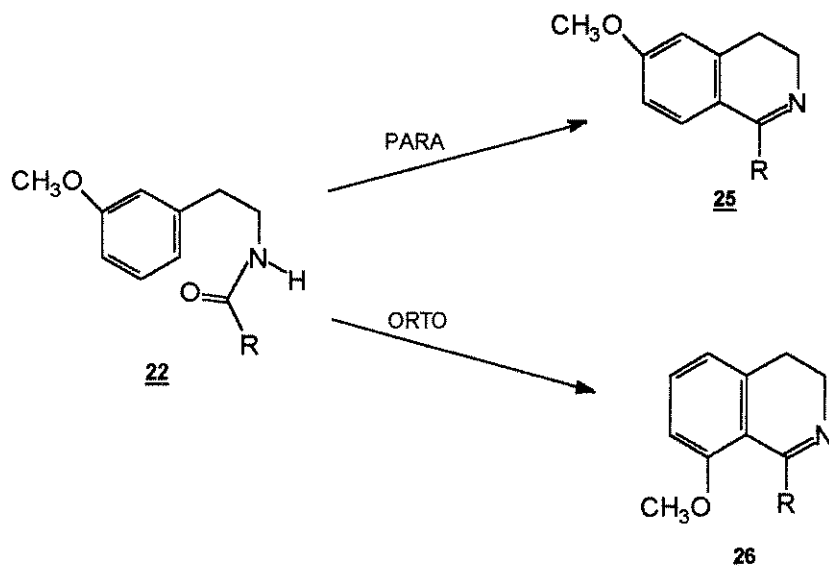
A reação de Bischler-Napieralski<sup>(15)</sup> consiste na ciclodesidratação de  $\beta$ -fenetilamidas 20 para produzir 3,4-diidroisoquinolinas do tipo 21, esquema 3, por aquecimento a altas temperaturas (110-205°C) com pentóxido de fósforo ou cloreto de zinco anidro. Nenhum rendimento foi dado na descoberta da reação mas os trabalhos posteriores mostraram que os rendimentos são muito baixos (0-35%) nas condições empregadas na reação. As modificações empregando-se baixas temperaturas e agentes condensantes brandos melhoram a reação e o método tornou-se mais usado nas sínteses de derivados isoquinolínicos.

**Esquema 3**



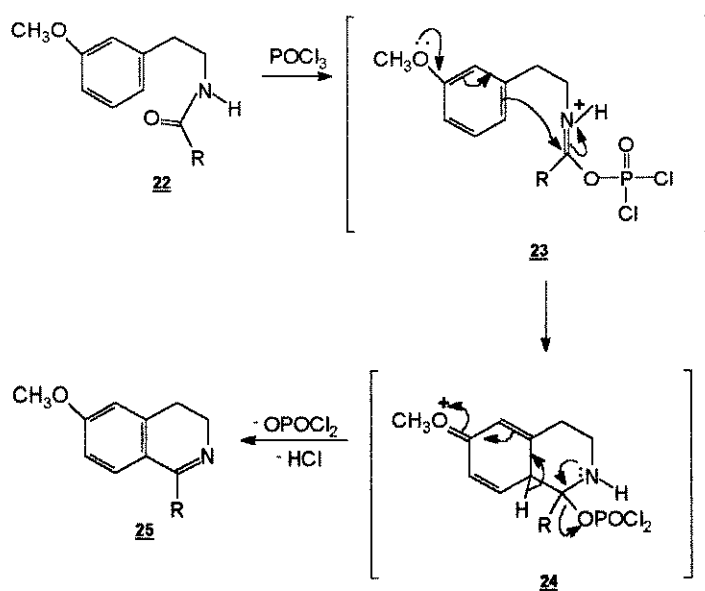
A ciclização de uma *meta*-metoxi- $\beta$ -fenetilamida 22, gera a 6-metoxi 25 ou 8-metoxi-3,4-diidroisoquinolina 26, esquema 4, dependendo da direção de fechamento do anel. Quando a posição *para* do grupo metoxila estiver livre, este será o ponto de fechamento, levando à formação do derivado 6-metoxi-3,4-diidroisoquinolina 25.

Esquema 4



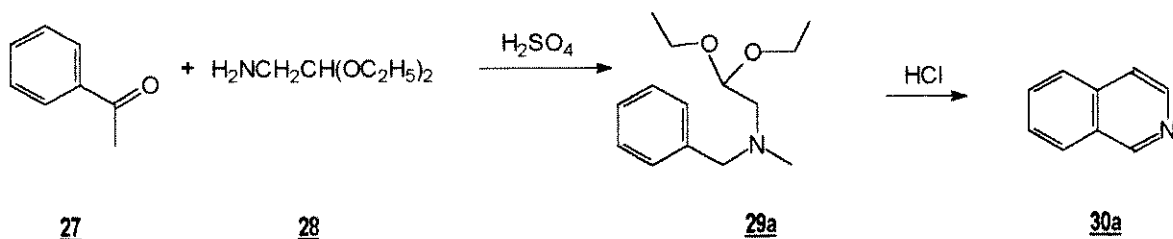
A formação de 25 resulta de um ataque nucleofílico do anel aromático sobre o carbono imínico numa reação catalisada por ácido, esquema 5(15).

Esquema 5



A reação de Pomeranz-Fritsch<sup>(15)</sup> consiste na ciclização de um benzalaminoacetal 29, esquema 6, resultando na formação do núcleo isoquinolínico 30.

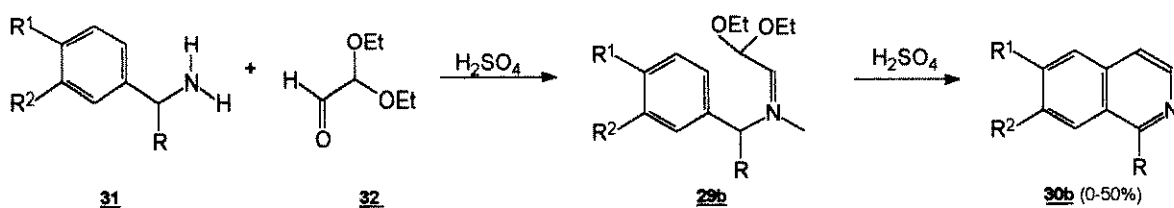
**Esquema 6**



O processo de ciclização é conduzido em dois estágios: no primeiro, a condensação de 27 e 28 leva ao benzalaminoacetal 29 e no segundo ocorre o fechamento do anel para formar a isoquinolina 30. Na primeira etapa, onde a base de Schiff é formada pela reação entre um aldeído aromático e um aminoacetal, o rendimento é geralmente alto<sup>(15)</sup>. Uma rota alternativa envolve a condensação da correspondente benzilamina com glioxtal semiacetal, esquema 7<sup>(16)</sup>.

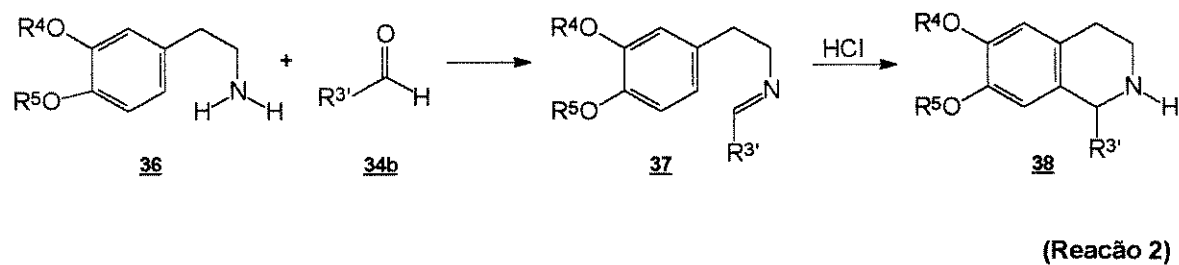
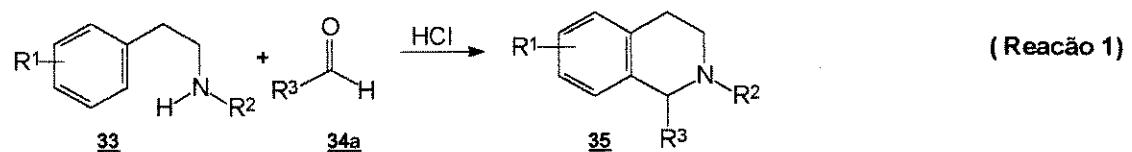
A ciclização do benzalaminoacetal 29, preparado por ambas as maneiras, esquemas 6 e 7, é efetuada em ácido sulfúrico, ou em uma mistura de ácido sulfúrico com outros reagentes ácidos. A temperatura da reação varia de 0°C ou menos (com núcleos reativos tais como alquoxi ou hidroxi-benzalaminoacetais) para 150-160°C (com núcleos não reativos tais como halobenzalaminoacetais). O rendimento da isoquinolina ciclizada é muito variável (0-50%)<sup>(15,16)</sup>.

**Esquema 7**



A reação de Pictet-Spengler<sup>(15,17)</sup>, na sua forma simplificada, consiste na condensação de uma  $\beta$ -ariletilamina 33, com um grupo carbonílico 34.a na presença de ácido, para produzir uma 1,2,3,4-tetraidoisoquinolina 35, consistindo num exemplo especial da reação de Manich, esquema 8 (reação 1). A reação foi imediatamente extendida por Decker para a condensação de  $\beta$ -fenetilaminas com vários aldeídos incluindo o formaldeído. Decker conduziu a reação em duas etapas, esquema 8 (reação 2). O intermediário azometina 37 é raramente isolado, embora ele seja freqüentemente formado antes da adição do agente condensante. A temperatura da reação varia de 25-130°C e o rendimento da 1,2,3,4-tetraidoisoquinolina é na maioria das vezes menor que 50%.

**Esquema 8**

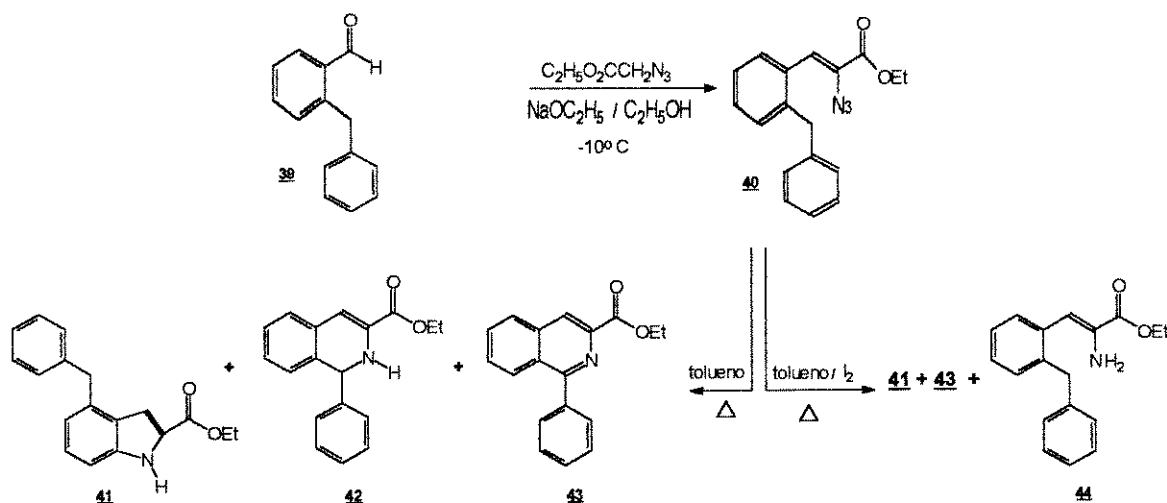


Dependendo dos substituintes no anel aromático e das drásticas condições empregadas, os produtos das reações de Bischler-Napieralski, Pomeranz-Fritsch e Pictet-Spengler podem ser obtidos com rendimentos acima de 80%.

Hickey, Moody e Rees<sup>(18)</sup> desenvolveram sínteses de isoquinolinas sob condições neutras, as quais envolvem uma decomposição térmica branda de azidocinamatos.

A decomposição térmica branda em tolueno ou xileno, sob refluxo, do azidocinamato 40, preparado do correspondente aldeído e azidoacetato de etila, esquema 9, produz indóis com bons rendimentos, quando uma das posições orto não for substituída, e isoquinolinas quando possuir um grupo *ortho* metil ou metíleno.

**Esquema 9**



Na presença de iodo, o qual favorece um processo do tipo radicalar, o rendimento da isoquinolina aumenta e sua formação pode competir com a formação do indol na posição *ortho* livre. O iodo também pode catalisar a formação de enaminas através do processo de abstração de hidrogênio<sup>(19,20)</sup>.

A decomposição da azida 40 em tolueno, sob refluxo e nitrogênio, forneceu três produtos: o 4-benzilindol 41 (42%), a 1,2-diidroisoquinolina 42 (26%) e a isoquinolina 43 em traços (2%).

Quando a decomposição da azida 40 foi feita na presença de iodo (0,1 mol equivalente), mudou-se a razão dos produtos obtidos: houve aumento no rendimento da isoquinolina 43 (40%) e uma grande redução no rendimento do indol 41. Não houve formação da 1,2-diidroisoquinolina 42 apesar da enamina 44 ter sido isolada e caracterizada

como um derivado N-acetil. Acredita-se que a enamina 44 esteja sendo formada de um intermediário nitreno pela abstração de hidrogênio da 1,2-diidroisoquinolina 42(18-20).

A partir de meados da década de 1980, começaram a ser desenvolvidos vários métodos de sínteses altamente estereoseletivas de benziltetraidro- isoquinolinas. Apesar da reação de Pictet-Spengler<sup>(15,17)</sup> ter sido extensivamente usada na síntese de alcalóides isoquinolínicos, até então não se conhecia nenhum exemplo onde a estereoquímica tinha sido controlada por um auxiliar quiral. Em geral, a síntese Pictet-Spengler envolve a condensação de uma ariletilamina com um aldeído para produzir uma mistura racêmica de 1,2,3,4-tetraidroisoquinolina, esquema 8. Na reação 1, quando R<sup>2</sup> é um grupo acil contendo um auxiliar quiral, tem-se um bom método de obtenção enantioseletiva de 1,2,3,4-tetraidroisoquinolinas<sup>(21)</sup>. Assim, da condensação do carbamato 45 (preparado de 3,4-dimetoxifenetilamina e cloroformiato de (-)-8-fenilmetila) com o vinil-éter 46<sup>(23)</sup> obteve-se 68% de rendimento dos diastereoisômeros 47 e 48 na razão de 83:17, esquema 10.

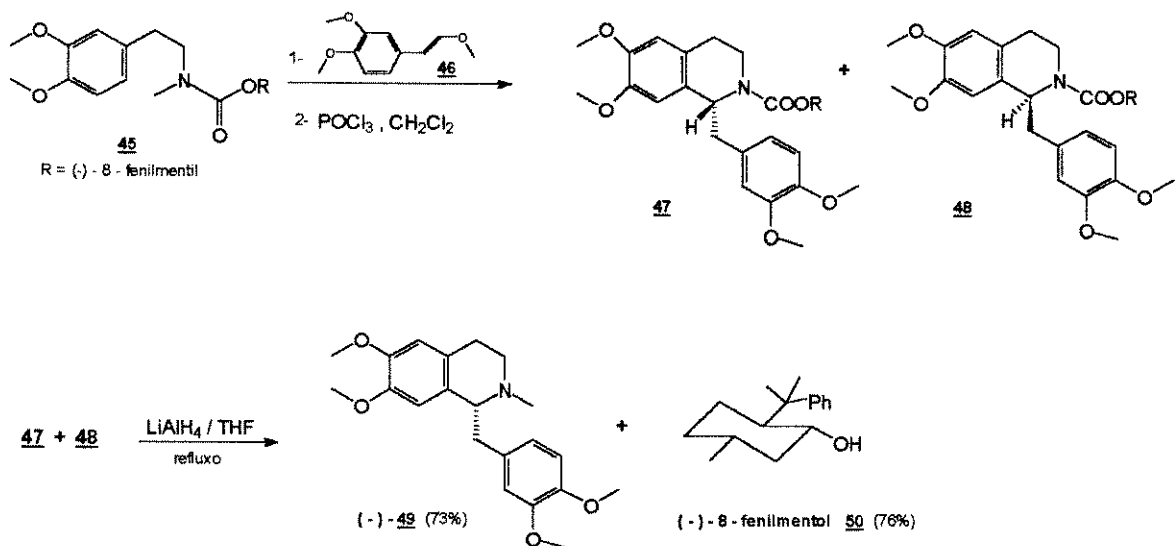
Após o tratamento da mistura de 47 e 48 com hidreto de lítio e alumínio obteve-se a (-)-laudanosina 49 com 73% de rendimento<sup>(21)</sup>.

As formamidinas quirais têm sido muito exploradas como uma ferramenta para se obter um grande número de alcalóides não racêmicos tais como isoquinolinas, morfinanos, indóis e pirrolidinas. Elas permitem que a reação de formação da ligação assimétrica C-C ocorra na posição  $\alpha$  ao grupo amino, esquema 11. Desta maneira, uma grande variedade de (S)-1-alquil-1,2,3,4-tetraidroisoquinolinas podem ser formadas com um excesso enantiomérico acima de 90%<sup>(24-26)</sup>.

Após o tratamento da mistura de 47 e 48 com hidreto de lítio e alumínio obteve-se a (-)-laudanosina 49 com 73% de rendimento<sup>(21)</sup>.

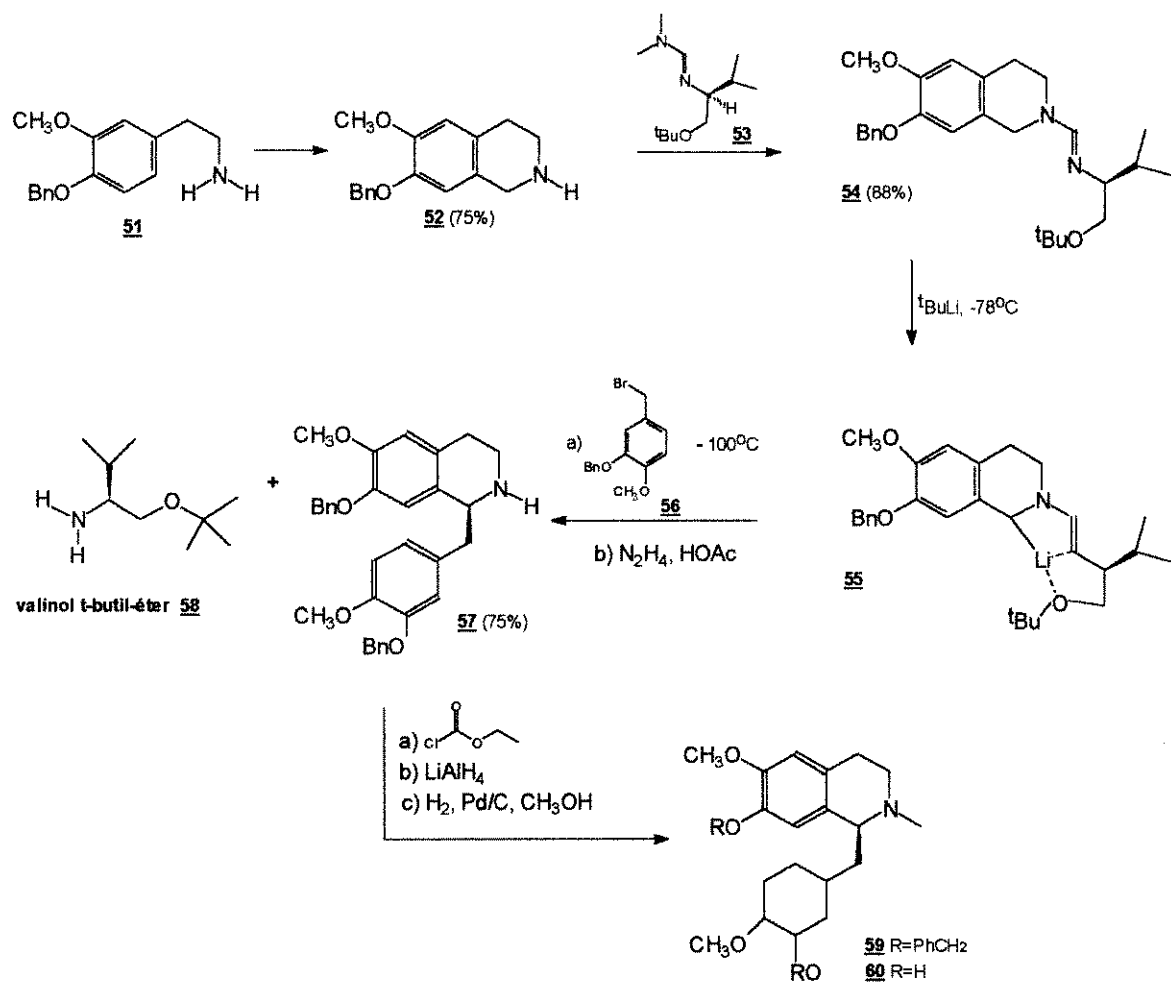
As formamidinas quirais têm sido muito exploradas como uma ferramenta para se obter um grande número de alcalóides não racêmicos tais como isoquinolinas, morfinanos, indóis e pirrolidinas. Elas permitem que a reação de formação da ligação assimétrica C-C ocorra na posição  $\alpha$  ao grupo amino, esquema 11. Desta maneira, uma grande variedade de (S)-1-alquil-1,2,3,4-tetraidroisoquinolinas podem ser formadas com um excesso enantiomérico acima de 90%<sup>(24-26)</sup>.

Esquema 10



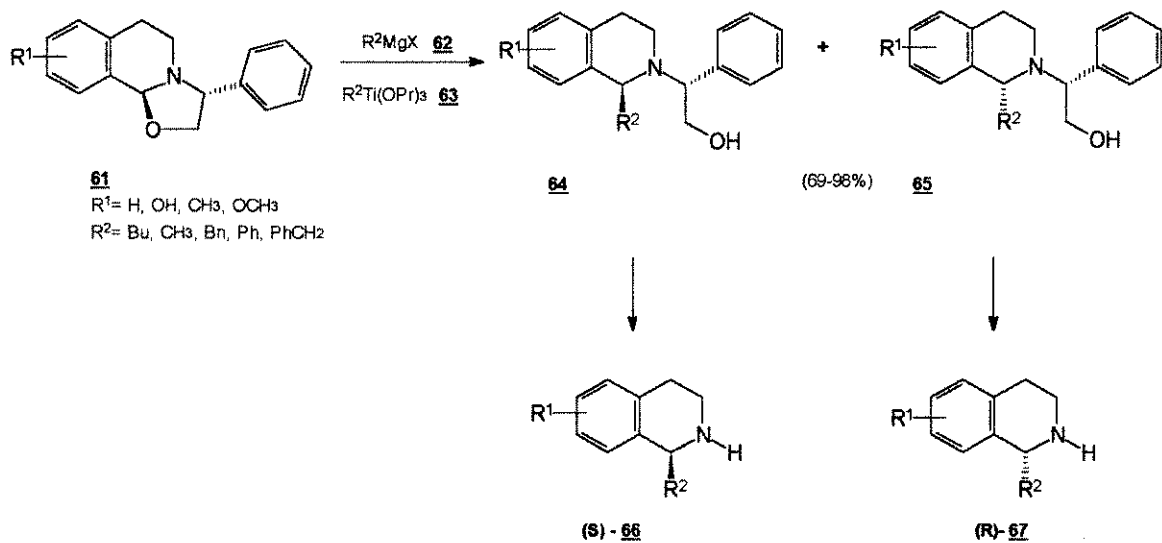
A tetraidroisoquinolina 52 obtida da fenetilamina 51, esquema 11, foi reagida sob aquecimento em tolueno, com o valinol-t-butil-éter formamidina 53 para gerar o composto 54<sup>(27)</sup>. A etapa estereosseletiva (etapa chave) foi realizada através do tratamento de 54 com t-butil-lítio a -78°C, gerando-se a espécie litiada 55. Nesta, o brometo de benzila 56 foi introduzido a -100°C e a remoção *in situ* do auxiliar quiral produziu a 1-benzilisoquinolina 57 (70%). A introdução do grupo N-metil foi feita através da redução do derivado formamida para se obter 58, e a hidrogenólise dos éteres benzílicos levou à formação da (+)-reticulina 59<sup>(27)</sup>.

**Esquema 11**



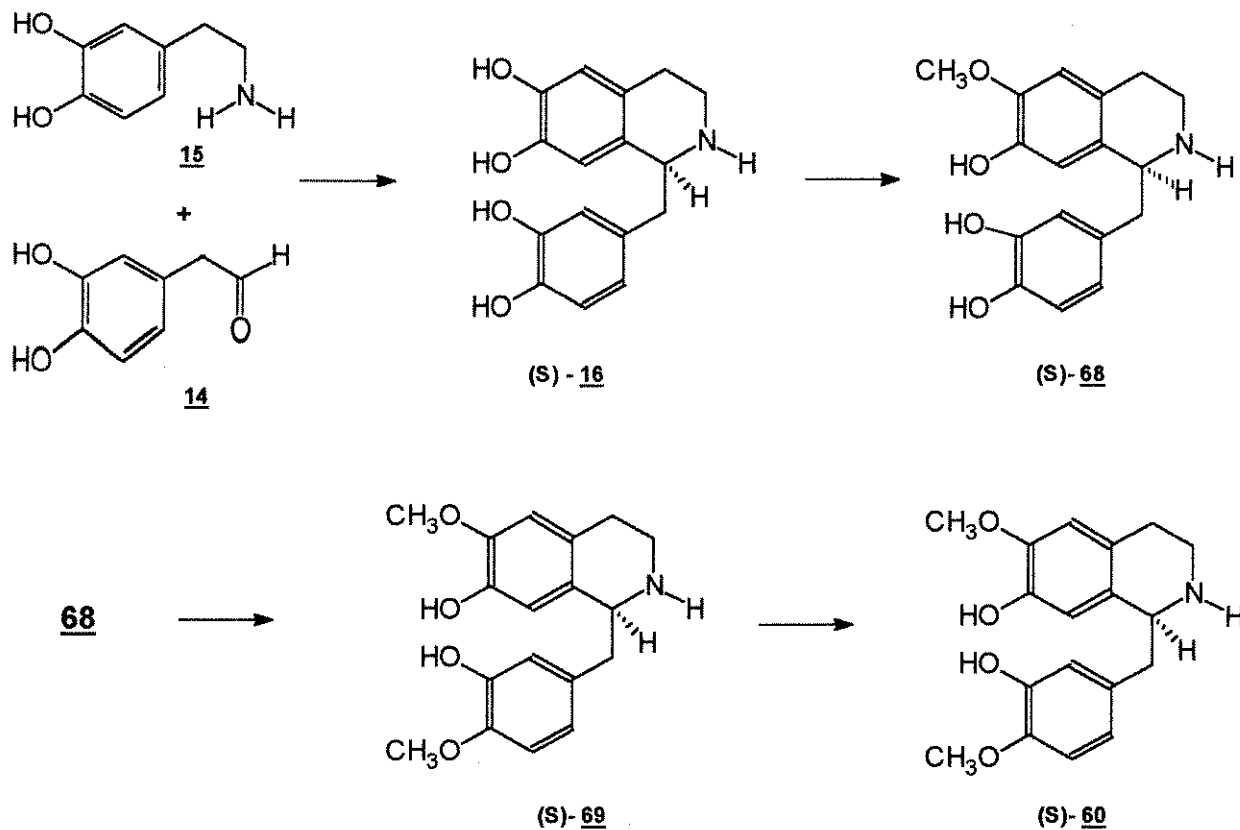
A síntese assimétrica de algumas 1-alquil ou 1-benziltetraidroisoquinolinas enantiomericamente puras tem sido desenvolvida via alquilação ou benzilação de oxazolo-[2,3-a] tetraidroisoquinolinas quirais 61<sup>(28)</sup>, esquema 12. Este reagente sofre uma substituição nucleofílica diastereoseletiva, por uma variedade de reagentes de Grignard 62 ou de compostos alquil ou benziltriisopropoxititanos 63, para gerar os derivados 64 e 65 com um rendimento entre 69-98%. Após a remoção do auxiliar quiral obtém-se as correspondentes (S)-1-alquil ou (R)-1-benziltetraidroisoquinolinas 66 e 67 com rendimentos na faixa de 85%<sup>(28)</sup>.

Esquema 12



Zenk e outros<sup>(29-31)</sup> estudaram a condensação estereoespecífica de Pictet-Spengler, catalisada por enzimas, entre a dopamina 15 e o aldeído 14 para se obter benzilisoquinolinas, esquema 13. Nesta, a base tetraidroxilada (S)-16 é convertida inicialmente em (S)-68 e depois em (S)-69 pela enzima O-metiltransferase não seletiva, e a reação de N-metilação para gerar a (S)-reticulina 59 é catalisada pela enzima N-metiltransferase estereoquimicamente não específica<sup>(32)</sup>. Com este estudo Zenk provou que a rota I do esquema 2 é o caminho real na biossíntese de benzilisoquinolinas<sup>(1)</sup>.

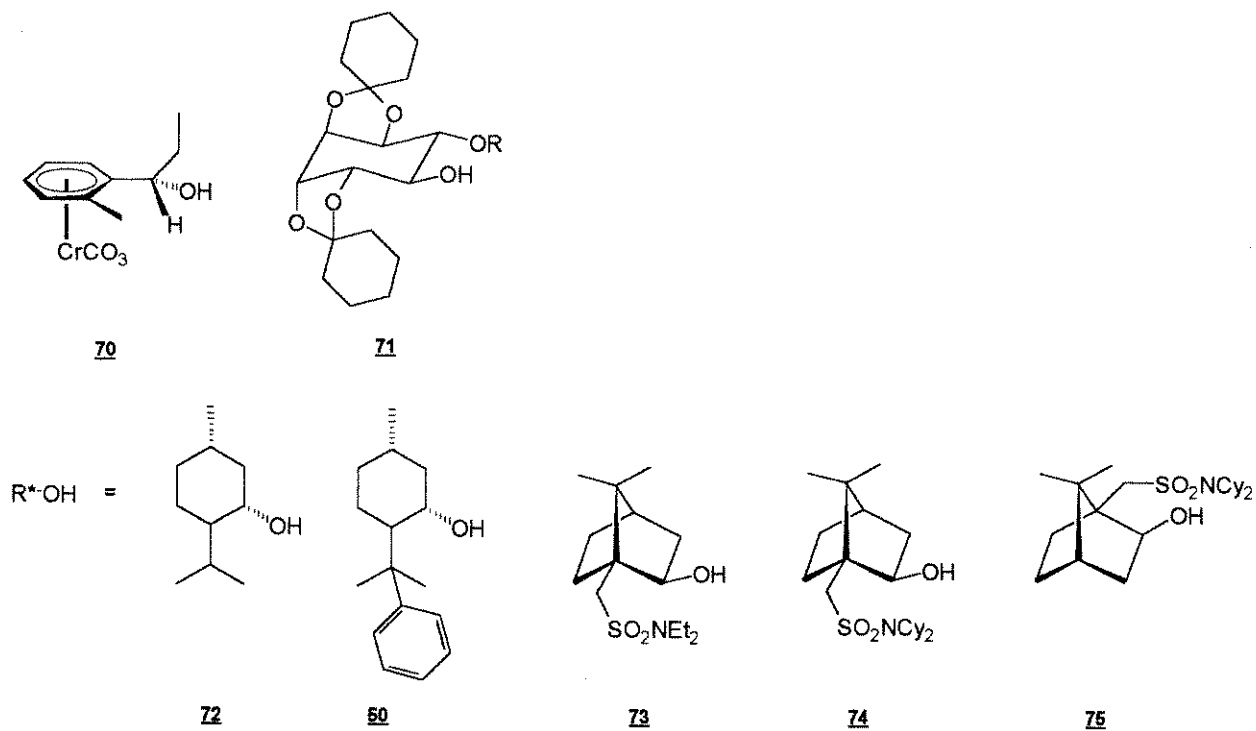
Esquema 13



Os álcoois quirais<sup>(33)</sup>, figura 5, têm sido muito usados como auxiliares quirais de induções assimétricas em vários tipos de aplicações:

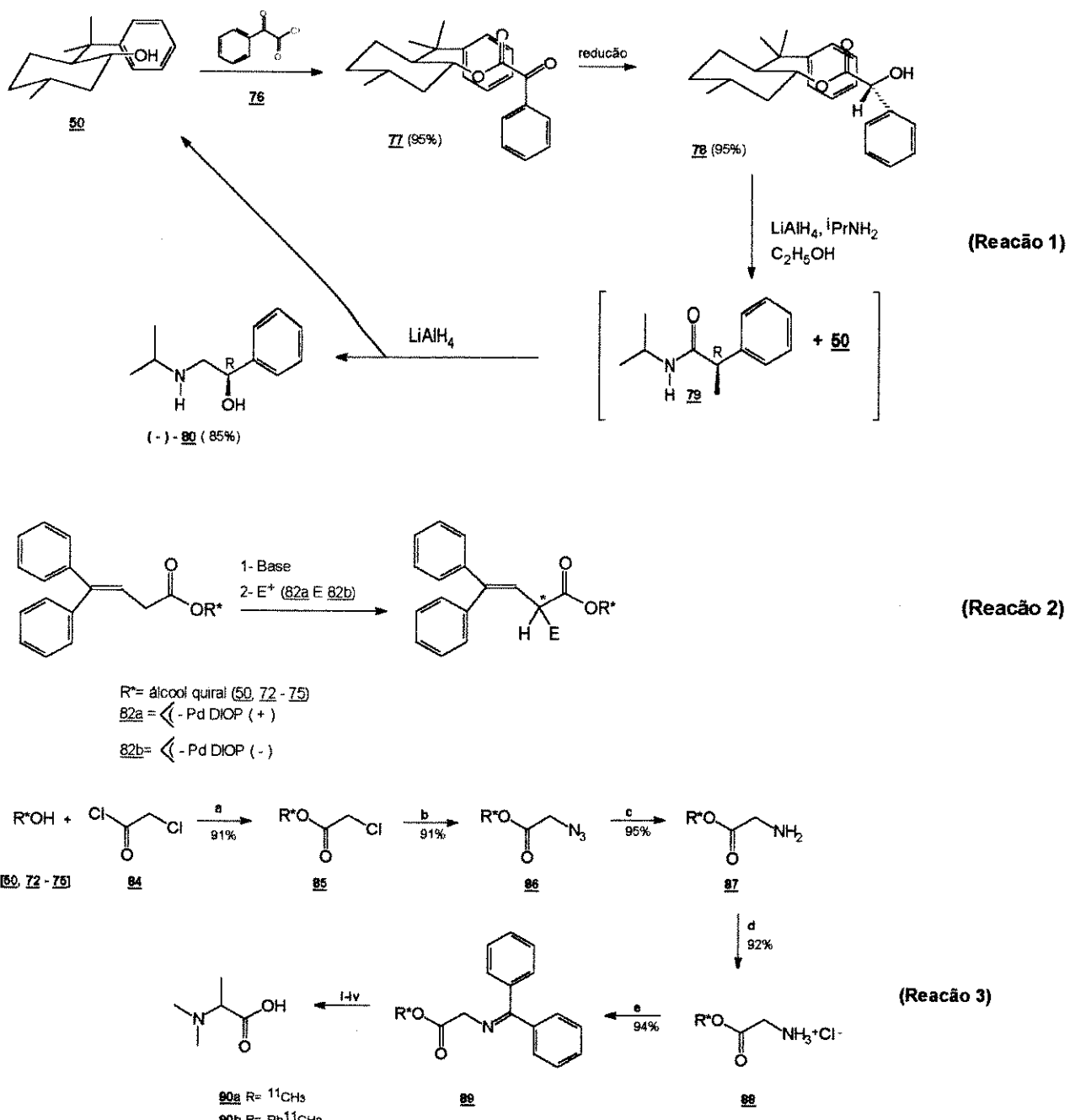
- 1) Síntese assimétrica de amino-álcoois, esquema 14 - reação 1. Nesta reação, a redução do fenilgioxalato de 8-fenilmentol **77**, obtido em rendimento quase quantitativo (> 95%) de (-)-8-fenilmentol **50** e cloreto de fenilgioxila **76**, é a etapa chave na obtenção de amino-álcoois<sup>(34)</sup>.
- 2) Síntese assimétrica aplicada na alquilação de bases de Schiff quirais derivadas da glicina, esquema 14 - reação 2. Inicialmente ocorre a esterificação das bases de Schiff com álcoois quirais para produzir **82**, e posteriormente este reage com um complexo catalítico de paládio alílico quiral ( $E^+$ )<sup>(33)</sup>.

3) Síntese assimétrica aplicada em reações de alquilação durante transferência de fase, esquema 14 - reação 3. Nesta reação, o derivado de glicina quiral, o glicinato de (-)-8-fenilmentano-3-il-N-(difenilmetileno) 89 é empregado em reações de alquilação em transferência de fase com iodetos de [ $^{11}\text{C}$ ] metila e [ $\alpha\text{-}^{11}\text{C}$ ] benzila para obter L-[ $3\text{-}^{11}\text{C}$ ] alanina e L-[ $3\text{-}^{11}\text{C}$ ] fenilalanina 90.a e 90.b, respectivamente. As reações são conduzidas num sistema de duas fases, onde o hidróxido de tetrabutilamônio ( $\text{Q}^+\text{OH}^-$ )<sup>(35,36)</sup> é o catalisador de transferência de fase.



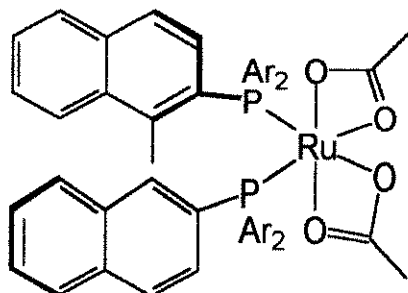
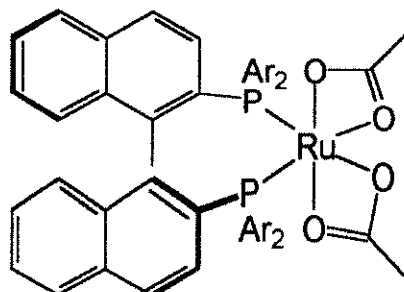
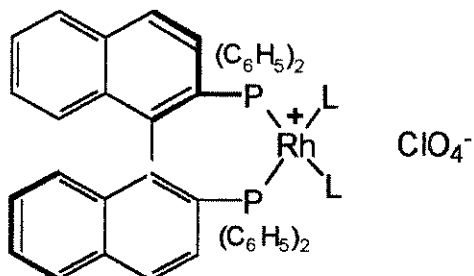
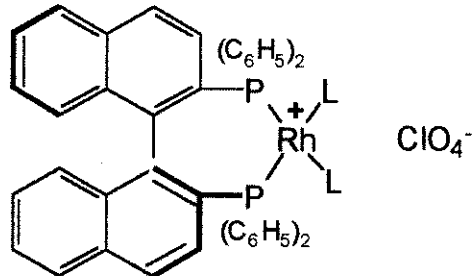
**Figura 5 - Álcoois quirais utilizados como auxiliares quirais em sínteses assimétricas<sup>(33)</sup>.**

Esquema 14



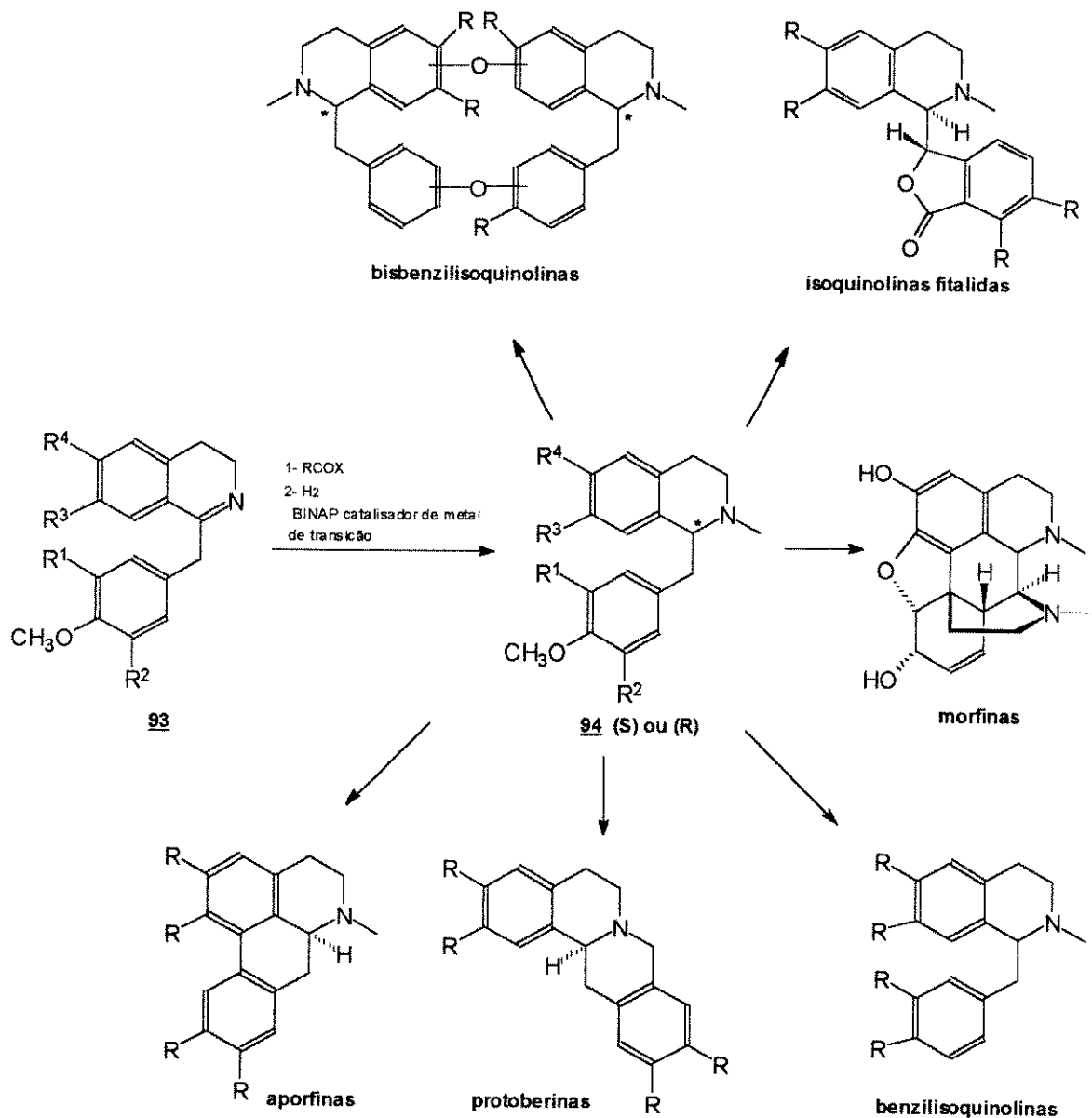
**REAGENTES:** a)  $\text{PhNEt}_2$ , éter, refluxo, 3-48 h; b)  $\text{NaN}_3$ , acetona/  $\text{H}_2\text{O}$  6:4, refluxo (30-40 h); c)  $\text{H}_2$ ,  $\text{Pd/BaSO}_4$  cat.,  $\text{MeOH}$  (24-48 h); d)  $\text{HCl}$  gas.,  $\text{Et}_2\text{O}$ , 2 h;  
e)  $\text{PhC=NH}$ ,  $\text{CH}_2\text{Cl}_2$ , 24h, temperatura ambiente  
i) hidróxido de tetrabutilamonio aq./  $\text{CH}_2\text{Cl}_2$ ; ii)  $\text{Rl}$ ; iii)  $\text{NH}_2\text{OH}$ ; iv)  $\text{OH}^-$

Os complexos de  $\text{RuX}_2[(\text{R})\text{- ou } (\text{S})\text{-BINAP}]$  ( $\text{X}$  = ligante aniónico), figura 6, catalisam as hidrogenações enantioseletivas (sob pressões elevadas) de 2-acil-1-alquilideno-1,2,3,4-tetraidroisoquinolinas 93, as quais dão origem a vários alcalóides isoquinolínicos quirais em rendimentos quase quantitativos, esquema 15<sup>(37)</sup>.

(R)- 91a Ar= C<sub>6</sub>H<sub>5</sub>(R)- 91b Ar = p-CH<sub>3</sub>C<sub>6</sub>H<sub>4</sub>(S)- 91a Ar= C<sub>6</sub>H<sub>5</sub>(S)- 91b Ar = p-CH<sub>3</sub>C<sub>6</sub>H<sub>4</sub>(R)- 92a L-L= 1,5-ciclooctadieno(R)- 92b L= CH<sub>3</sub>OH(R)- 92c L-L= (R)- BINAP(S)- 92a L-L= 1,5-ciclooctadieno(S)- 92b L= CH<sub>3</sub>OH(S)- 92c L-L= (R)- BINAP

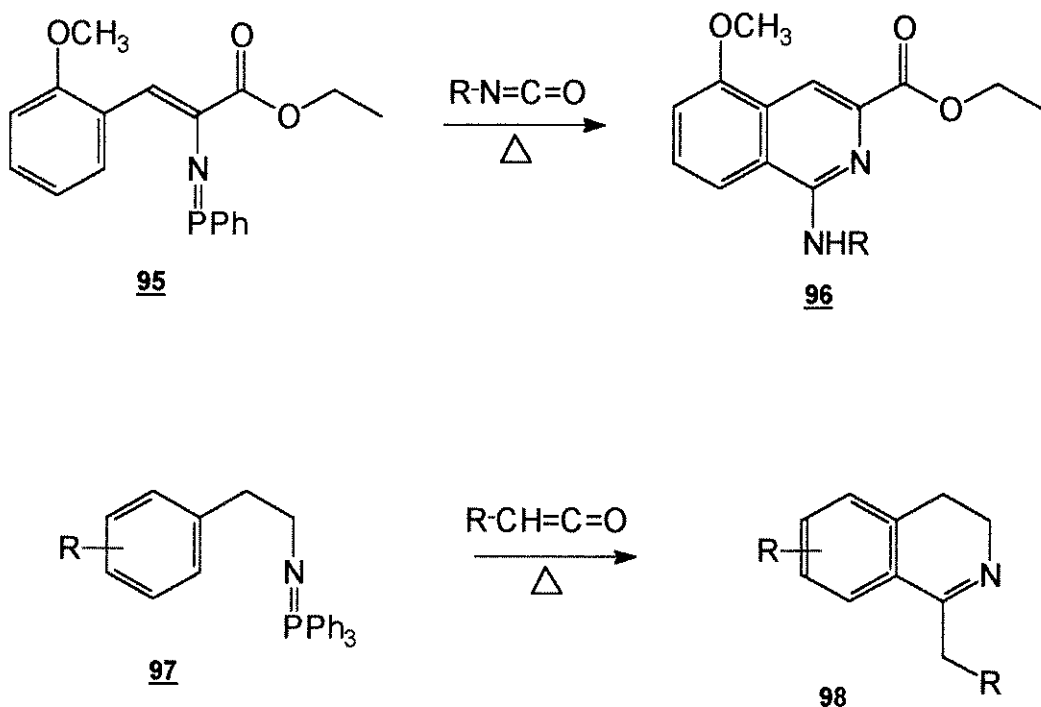
**Figura 6 - Complexos de metais de transição utilizados nas sínteses de alcalóides isoquinolínicos quirais<sup>(37)</sup>.**

Esquema 15



Uma novidade na síntese de núcleos isoquinolínicos, empregada por nosso grupo de pesquisa, é a reação *aza-Wittig*<sup>(38)</sup> entre um iminofosforano e um heterocumuleno, esquema 16. Desta obteve-se as diidroisoquinolinas **96** e **98** com ótimos rendimentos.

Esquema 16



A reação *aza*-Wittig dispensa o uso de reagentes desidratantes fortes ( $P_2O_5$ ,  $H_2SO_4$ ,  $SOCl_2$ , etc.) ou ácidos de Lewis, os quais são usualmente empregados nos métodos anteriores de síntese<sup>(39)</sup>.

O uso extraordinário de reagentes organofosforados, em geral nas sínteses orgânicas, é devido à facilidade que o fósforo possui em passar de um baixo para um alto número de coordenação [ $P(III) \rightarrow P(IV) \rightarrow P(V) \rightarrow P(VI)$ ] e ocasionalmente voltar para um baixo número de coordenação [isto é,  $P(V) \rightarrow P(IV)$ ]. Os fatores mais importantes são: (a) a alta nucleofilicidade do reagente de fósforo trivalente com respeito a uma grande variedade de eletrófilos; (b) a forte ligação que o fósforo forma com o oxigênio (particularmente  $P=O$ ), enxofre, nitrogênio, halogênios e o carbono; (c) a capacidade que o fósforo possui para estabilizar ânions adjacentes que é melhor ilustrada na síntese da ilida de fósforo<sup>(38)</sup>.

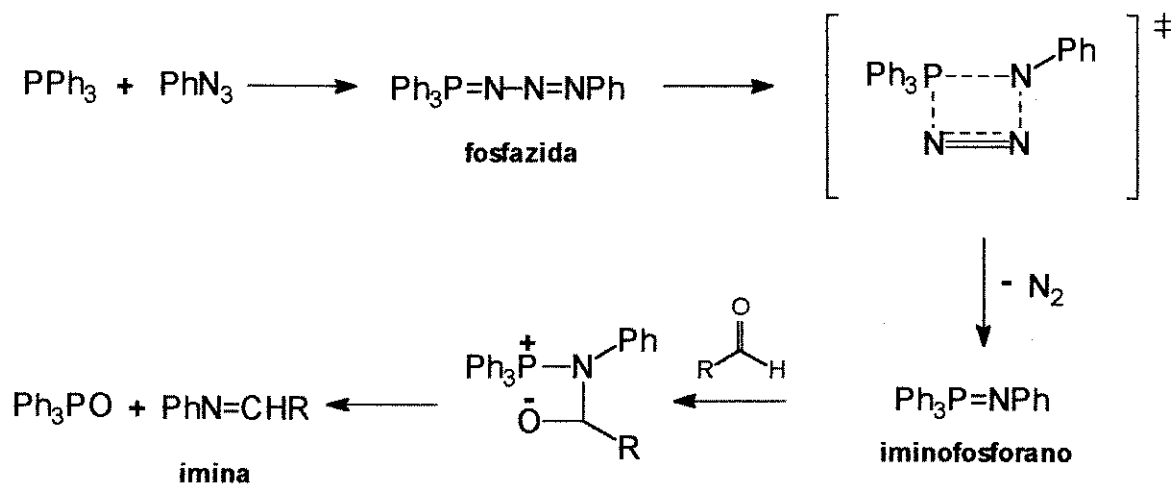
Os iminofosforanos são preparados pela reação de azidas<sup>(40)</sup> com reagentes de fósforo (III), esquema 17. Estes compostos de nitrogênio são análogos à ilida de fósforo, isto é:



Descobertos por Staudinger, por volta de 1940, os iminofosforanos sofrem reações com eletrófilos (reação *aza-Wittig*) correspondendo quase exatamente às reações da ilida de fósforo, fornecendo ligações C=N no lugar de C=C, esquema 17. Essa reação é muito usada nas sínteses de vários tipos de compostos heterocíclicos nitrogenados<sup>(38,39)</sup>.

**Esquema 17**

**Reação de Staudinger**



Um método alternativo emprega aminas primárias, as quais reagem com brometo de trifenilfosfina, na presença de trietilamina, para fornecer o brometo de fosfonila e posteriormente o iminofosforano, esquema 18(38,41,42).

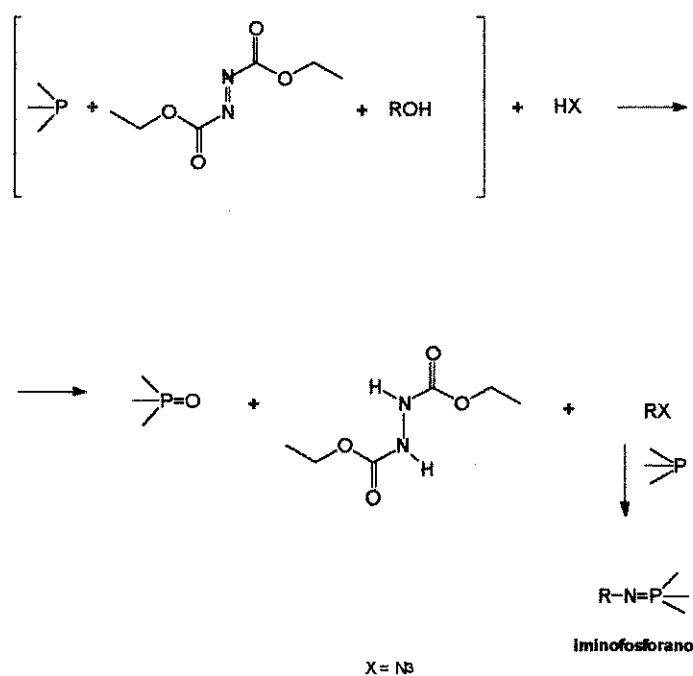
**Esquema 18**



Os iminofosforanos também podem ser obtidos através da reação de Mitsunobu<sup>(43)</sup>, esquema 19. Nesta, ocorre uma reação entre álcoois e componentes ácidos no tratamento com azodicarboxilato de dietila e trifenilfosfina. A reação é feita sob condições neutras e brandas. O sistema trifenilfosfina-azodicarboxilato de dietila tem sido utilizado em sínteses e transformações de várias classes de produtos naturais<sup>(44,45)</sup>.

**Esquema 19**

Reação de Mitsunobu

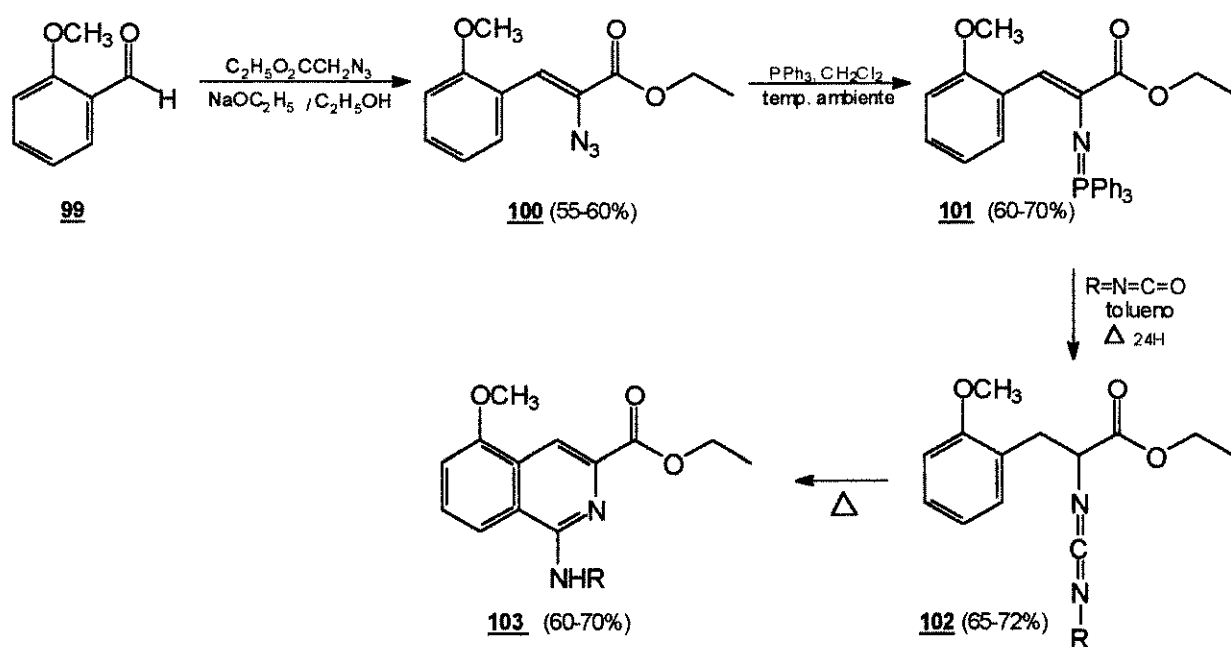


Hoje em dia, os heterocumulenos  $\alpha,\beta$ -insaturados são muito usados como intermediários sintéticos na preparação de compostos heterocíclicos. As reações, especialmente, de cicloadição de tais sistemas heterocumulênicos insaturados como cetenos, isocianatos, isotiocianatos e cetiminas preparam um caminho atrativo para a síntese de uma variedade de heterociclos<sup>(46-49)</sup>.

Poucos exemplos de eletrociclagem de  $6e^- \pi$ , induzidos termicamente, de heterocumulenos conjugados têm sido publicados<sup>(48)</sup>. Foi mencionado somente a ciclização térmica de ( $\beta$ -heteroaril)-vinilcarbodiimidas, estirilcarbodiimidas, estirilisocianatos,  $\beta$ -carbamoilvinilisocianatos e vinilcetenos  $\beta$ -substituídos.

Baseado nestas idéias, fizeram a síntese de isoquinolinas 1,3-dissubstituídas através da eletrociclagem de  $6e^- \pi$  da carbodiimida conjugada, induzida termicamente. Através da reação de *aza*-Wittig entre o iminofosforano 101 e o isocianato, obteve-se o 2-azoexatrieno 102, contendo uma carbodiimida funcional, a qual sofre ciclização para fornecer o anel isoquinolínico 103, esquema 20<sup>(48)</sup>.

**Esquema 20**



A carbodiimida é um intermediário altamente reativo, a qual sofre uma ciclização regiosseletiva, seja pelo fechamento heterocíclico do anel seguido pelo deslocamento 1,3 do próton ou, por um ataque nucleofílico do anel aromático no átomo de carbono central da carbodiimida com hibridação sp<sup>(48)</sup>.

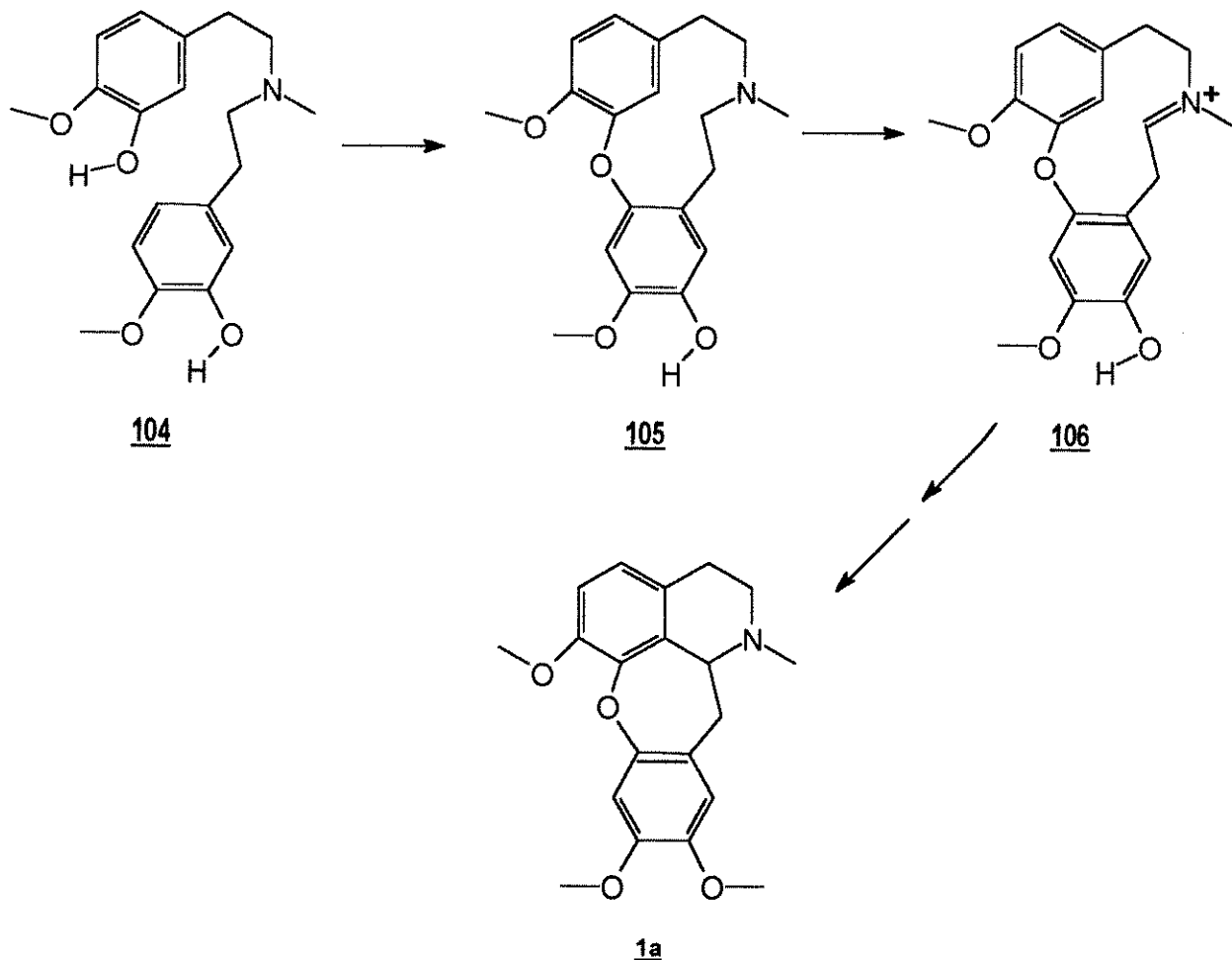
A química das carbodiimidas conjugadas possui uma atenção limitada; foram registradas somente as preparações de carbodiimidas vinílicas e algumas reações de cicloadição intra e intermolecular<sup>(47)</sup>.

O interesse na síntese de heterociclos, a partir da reação entre iminofosforanos e heterocumulenos, levou à primeira síntese de derivados de piridina pelo fechamento eletrocíclico do anel da carbodiimida conjugada<sup>(46,47)</sup>, além da síntese de triazóis<sup>(50)</sup>.

## 1.2 - BIOGÊNESE E QUÍMICA DOS ALCALÓIDES CULARÍNICOS

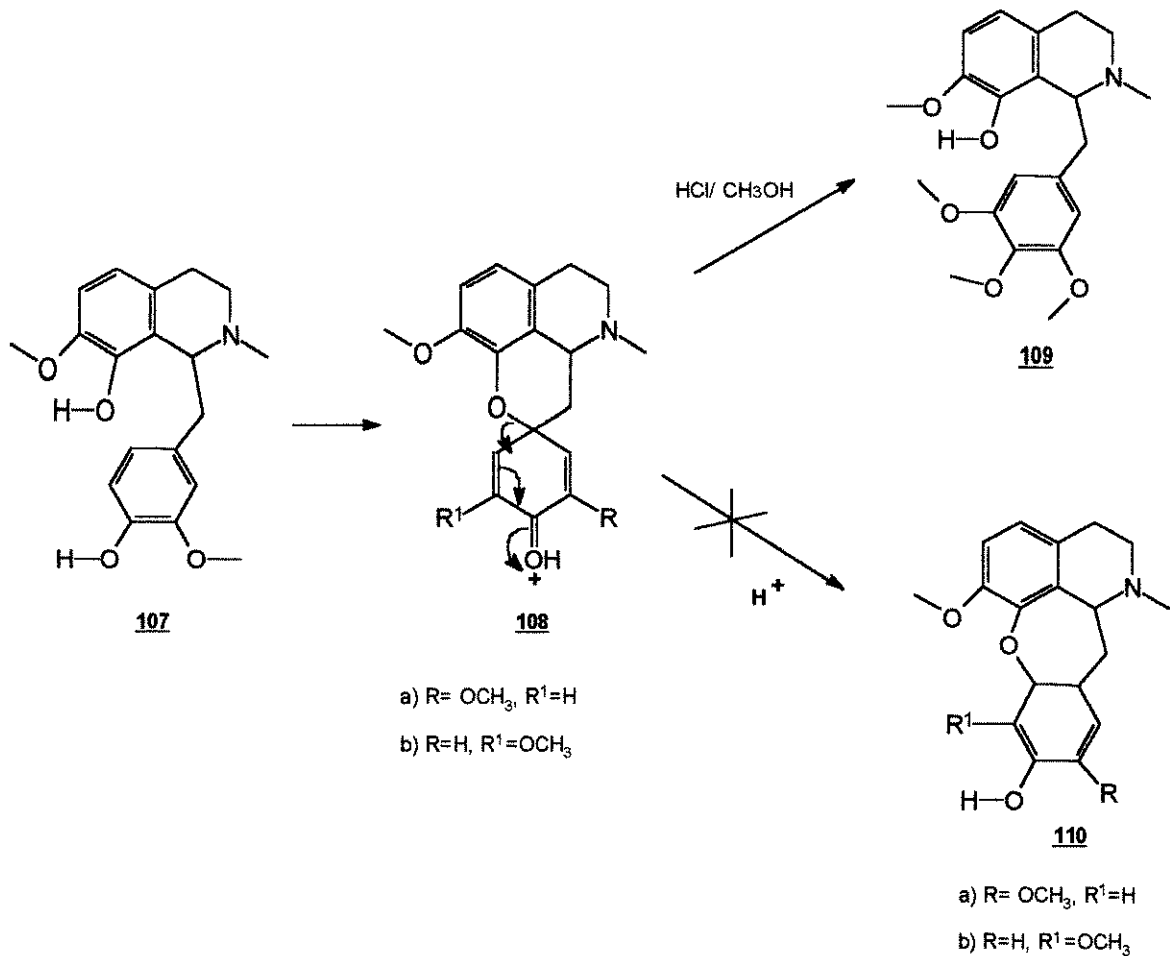
Para a biogênese de alcalóides cularínicos, na natureza, foram propostas três rotas<sup>(2,12,51,52)</sup>. A primeira ocorre a partir da bisfenetilamina difenólica 104, esquema 21, e envolve uma seqüência a qual inclui acoplamento oxidativo fenólico para gerar um anel de onze membros 105, seguida da formação do sistema 1,2,3,4-tetraidroisoquinolina 1.a através do ion imônio 106. Os dados destes precursores são desconhecidos na natureza.

Esquema 21



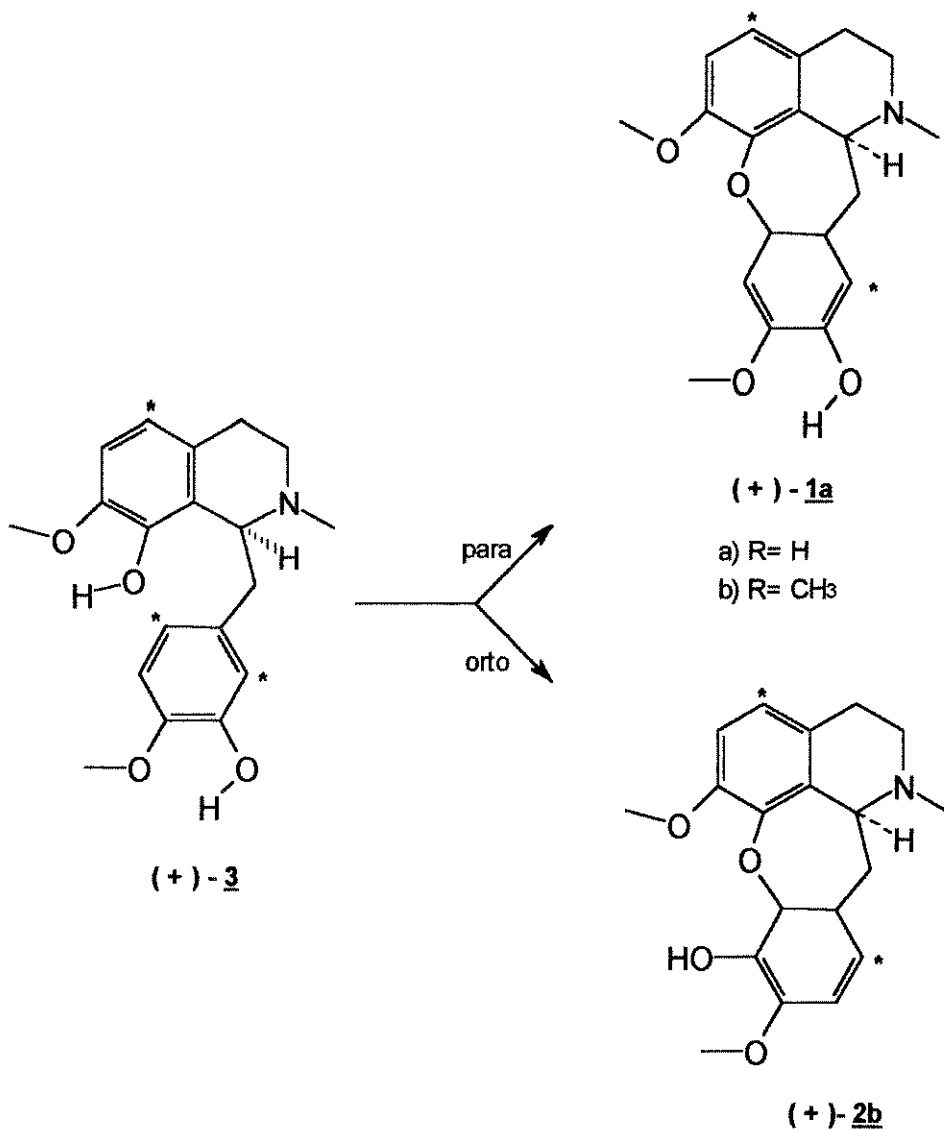
As outras duas rotas iniciam-se com uma tetraidroisoquinolina difenólica. Na primeira, um intermediário, a procularina 108, sofre um rearranjo dienona-fenol para fornecer esqueletos cularínicos ou isocularínicos, esquema 22. Não são conhecidos, na natureza, nenhuma procularina 108 ou cularinas monooxigenadas no anel D. Além disso, nenhuma das procularinas diastereoisoméricas sintéticas 108.a e 108.b, obtidas através do acoplamento oxidativo intramolecular C-O da tetraidroisoquinolina difenólica 107 com  $K_3Fe(CN)_6$ , foi encontrada para rearranjar-se, em meio ácido, em derivados cularínicos<sup>(2,12,51,52)</sup>.

Esquema 22



Na segunda, a biogênese da cularina procede pelo acoplamento oxidativo fenólico direto de um outro tipo de composto difenólico, o qual possui os grupos hidroxilas nos carbonos C-8 e C-3' como em 3, esquema 23. Neste, o acoplamento em posição *para* ao C-3' produz o esqueleto da cularina 1.a, enquanto o acoplamento *ortho* produz o tipo cancentrina: a isocularina 2(<sup>2,9,10,12,51</sup>).

Esquema 23



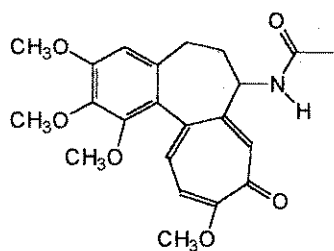
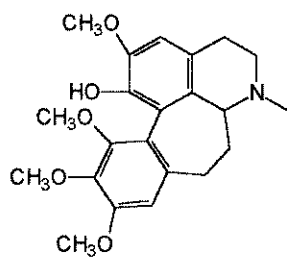
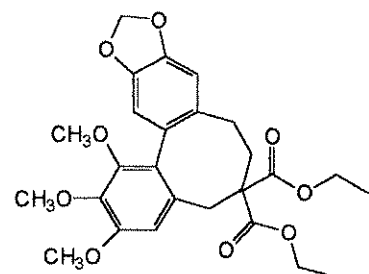
Nos estudos do acoplamento oxidativo fenólico da *(+)*-crassifolina 3, na presença de K<sub>3</sub>Fe(CN)<sub>6</sub> esquema 23, notou-se que esta produzia uma mistura de *(+)*-sarcocapnidina 2.b e *(+)*-O-desmetilcularina 1.b<sup>(2,9-11,51,53)</sup>. Blaschke e Scriba<sup>(12)</sup> também observaram que quando a *(+)*-crassifolina 3 era marcada com tritio obtinha-se, do acoplamento oxidativo fenólico, a *(+)*-cularina radioativa 1.a, provando que a *(+)*-crassifolina 3 é precursora de alcalóides cularínicos.

### 1.3 - ACOPLAMENTO OXIDATIVO INTRAMOLECULAR

O acoplamento oxidativo intramolecular de benzilisoquinolinas, figura 3, leva à formação de bases tetracíclicas de alcalóides cularínicos e de vários outros alcalóides isoquinolínicos.

Os acoplamentos oxidativos intramoleculares podem ser fenólicos ou não-fenólicos. Na presença de vários oxidantes químicos ou biológicos, as moléculas combinam-se para formar diferentes produtos, os quais resultam do acoplamento das ligações carbono-oxigênio e/ou carbono-carbono. Estes acoplamentos estão envolvidos na formação natural de diversos compostos tais como ligninas, lignanas, taninos, vários antibióticos e cerca de 10% de todos os alcalóides conhecidos<sup>(54)</sup>.

A formação de compostos anelares contendo sete ou mais membros tem ocorrido com grande freqüência na natureza. Muitos desses compostos possuem os anéis de seis, sete ou mais membros fundidos a um anel benzênico como os alcalóides do grupo isoquinolínico, figura 3, a colchicina 111, kreysigina 112, esteganona 113 e outros, figura 7.<sup>(55-57)</sup>

111112113

**Figura 7 - Alcalóides contendo anéis de sete e oito membros<sup>(55-57)</sup>.**

Por outro lado, os anéis de 5 e 6 membros são facilmente formados via substituição eletrofílica intramolecular como: acilações e alquilações de Friedel-Crafts, e ciclizações do tipo Pschorr catalisada por ácido. Infelizmente, a formação de anéis de sete e maiores membros, por esses procedimentos, é muito problemática e tem sido alcançada em apenas

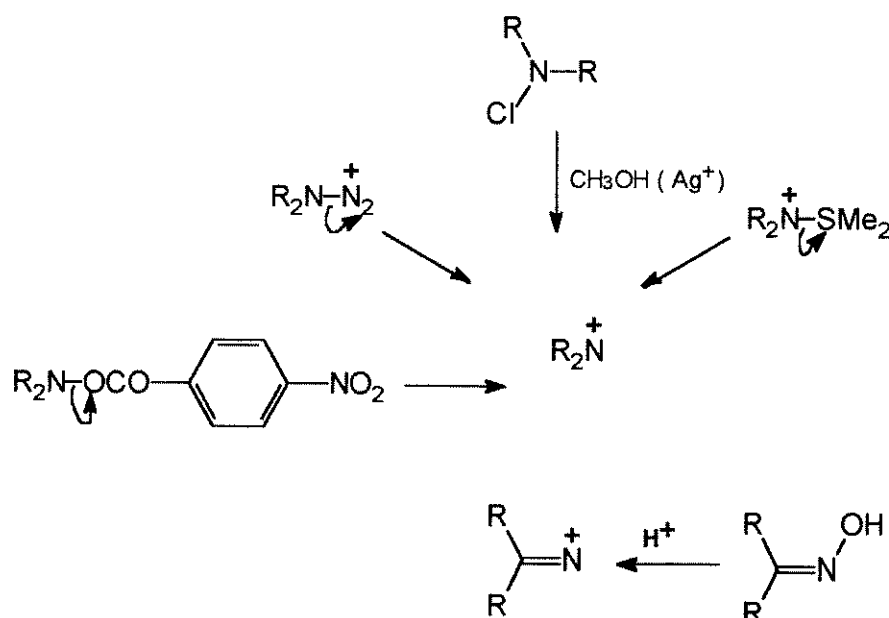
poucos casos e com rendimentos muito baixos. Por este motivo, as reações de acoplamento oxidativo são usadas com muita freqüência<sup>(1,2,6)</sup>.

### 1.3.1 - Acoplamento Oxidativo Não-Fenólico

Os primeiros e os mais estudados dos intermediários reativos foram os carbenos e os íons carbêniós, e estes continuam sendo ativamente focalizados. Nitrenos têm sido muito estudados e sua química tem sido utilizada com grande interesse nas reações de acoplamentos oxidativos intramoleculares<sup>(58,59)</sup>.

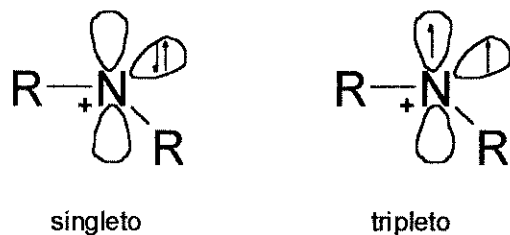
Os íons nitrênios são gerados principalmente pelo tratamento de oximas ou azidas com ácidos fortes ou pela solvólise de N-cloroanilinas, ou seja, através da heterólise da ligação N-X através de um processo S<sub>N</sub>1, esquema 24.<sup>(40,59,60)</sup>

**Esquema 24**



Espera-se que os íons nitrênios  $\text{R}_2\text{N}^+$ , possuam o estado fundamental triplo, figura 8, a menos que sejam possíveis interações fortemente eletrônicas com os grupos R, ou seja,

se R for um grupo aril ou acil os íons nitrênios possuirão com certeza o estado fundamental singlet com base nos cálculos semi-empíricos de MNDO<sup>(61,62)</sup>.

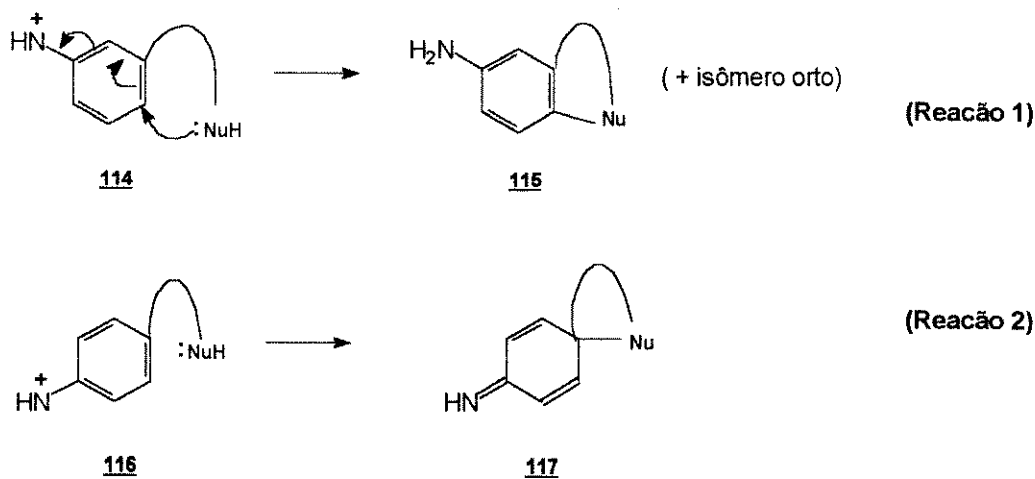


**Figura 8 - Estados singlet e triplet do íon nitrênio<sup>(61)</sup>.**

Nos íons arilnitrênios, apenas 20% da carga positiva está localizada no nitrogênio; com isso, o grupo arila será atacado por nucleófilos. No caso de Ar=fenila, o ataque nas posições *ortho* e *para* é esperado para formar intermediários que são conhecidos nas reações de substituição nucleofílica aromática<sup>(61)</sup>.

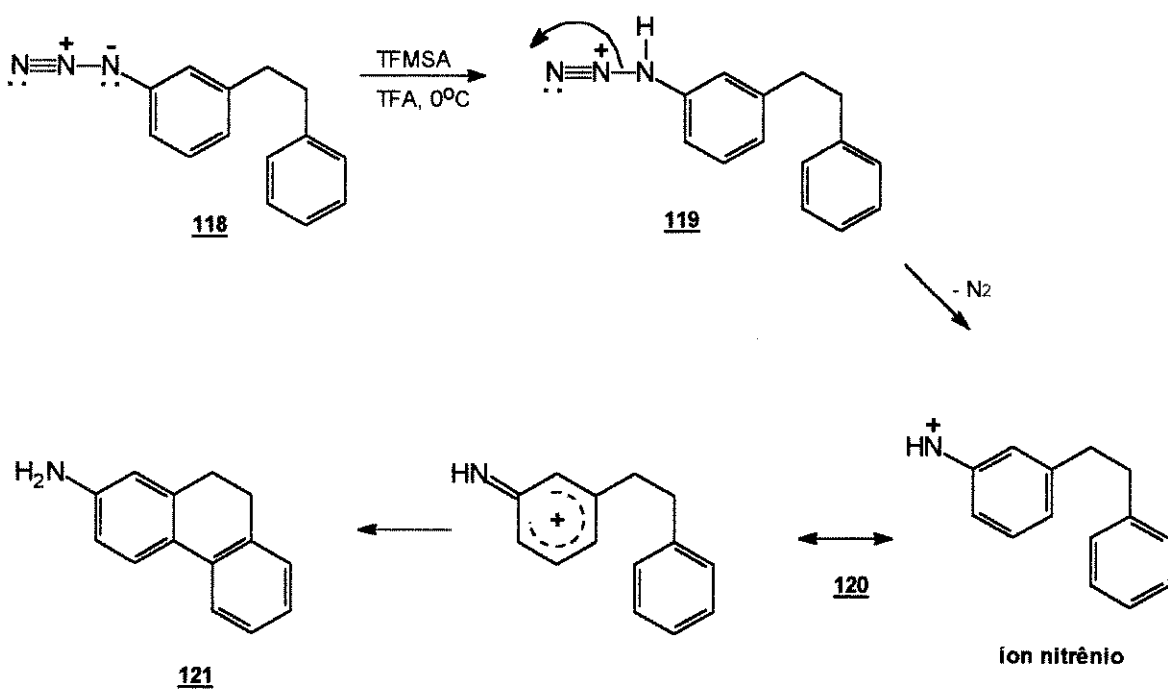
Anéis de seis membros podem ser preparados pela formação intramolecular da ligação C–C. Lactonas de cinco e seis membros também podem ser geradas através da decomposição, catalisada por ácido, de azidas arílicas *meta* substituídas, esquema 25 - reação 1<sup>(61,63,64)</sup>.

### Esquema 25



O ataque nucleofílico em anéis aromáticos de íons arilnitrênios tem sido muito utilizado. 1-(3-azidofenil)-2-feniletano 118, quando decomposto numa mistura dos ácidos trifluorometanosulfônico ou tríflico (TFMSA,  $\text{CF}_3\text{SO}_3\text{H}$ ) e trifluoroacético (TFA,  $\text{CF}_3\text{CO}_2\text{H}$ ), esquema 26, forneceu um produto de ataque na posição *para* ao íon fenilnitrêni, o 121. Portanto, os íons arilnitrênios sofrem ciclização intramolecular levando à formação de uma nova ligação carbono-carbono<sup>(61,64)</sup>.

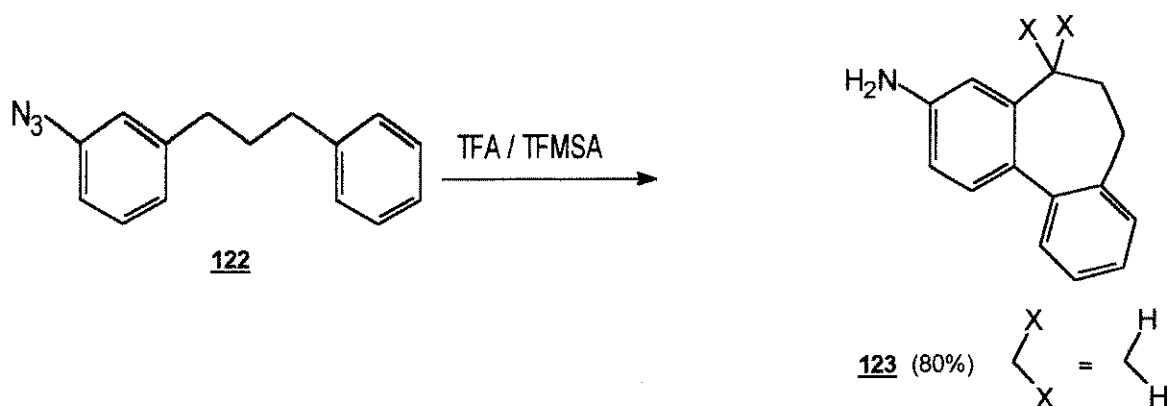
**Esquema 26**



Ácidos fortes, tais como  $\text{CF}_3\text{CO}_2\text{H}$ , aceleram bastante a decomposição de azidas fenílicas. Em solução de hidrocarbonetos necessitam-se de temperaturas de  $130^\circ\text{C}$ , mas em ácido trifluoroacético a decomposição é completa em apenas 20 minutos a  $25^\circ\text{C}$ . Assim, a espécie em decomposição provavelmente será a azida protonada e o íon nitrêni, e não o nitreno, será o produto da segunda etapa da reação<sup>(61,64)</sup>.

Anéis de sete membros também podem ser formados por este método<sup>(63,65,66)</sup>. A decomposição de 122 em TFA e TFMSA produziu o 3-amino-6,7-diidro-5H-dibenzo[a,c]-cicloheptatrieno 123 (80%), esquema 27<sup>(65)</sup>.

### **Esquema 27**

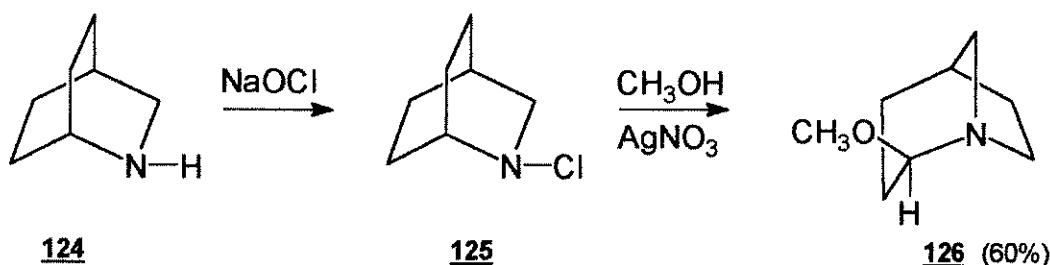


Abramovitch e outros<sup>(63)</sup> também estudaram o ataque nucleofílico, *para* à função arilnitrêio, pelos grupos carboxílicos, conduzindo à formação de produtos com substituição *ipso* e de spiro-lactonas, aumentando assim o potencial sintético desta reação, esquema 25 - reação 2.

A existência de íons nitrênios foi fortemente evidenciada por Gassman em 1970(67).

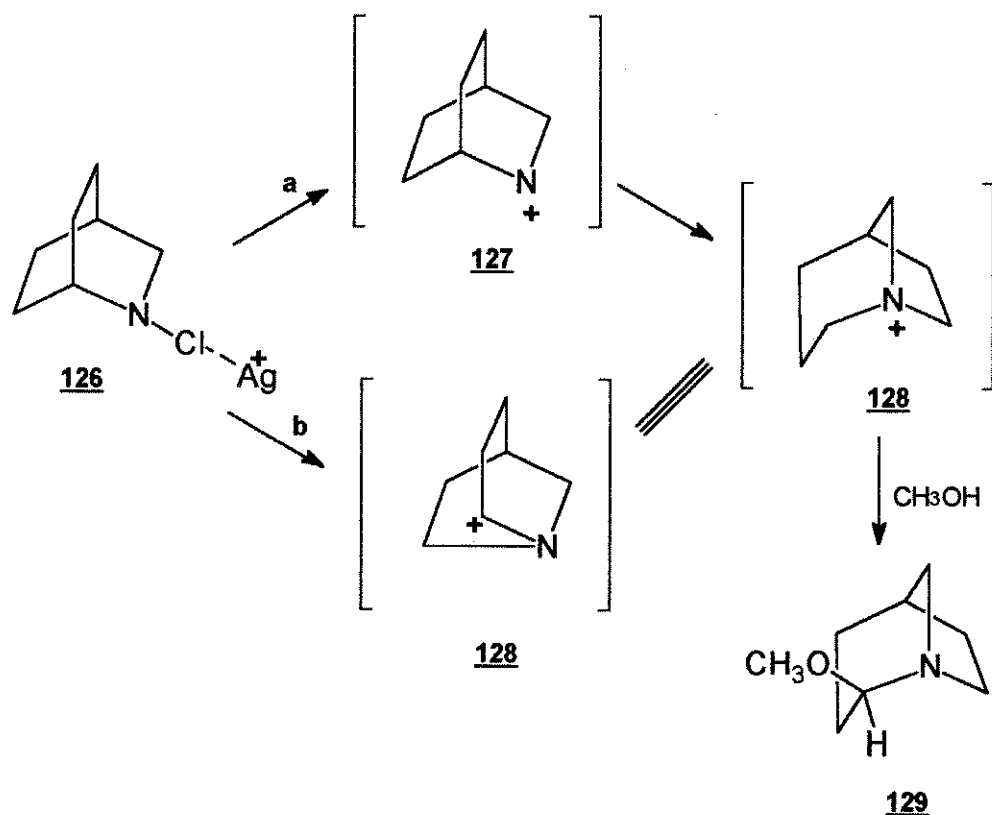
Em estudos de terpenos e compostos bicíclicos relacionados, Gassman obteve amplas evidências da formação de rearranjos em esqueletos bicíclicos via mecanismo de carbocátions. A facilidade de rearranjo destes sistemas carbocíclicos indicou que os azabicíclicos correspondentes são sistemas ideais para se estabelecer a existência da migração de um grupo alquila para um nitrogênio divalente elétron deficiente. Com esse conceito em mente, Gassman converteu a isoquinoclidina 124 em N-cloro-isoquinoclidina 125. Após o refluxo de 125 com uma solução metanólica de nitrato de prata, obteve-se o 2-metoxi-1-azabicyclo-3.2.1-octano 129, esquema 28<sup>(67)</sup>.

Esquema 28



O rearranjo de 126 para 129 requer a migração de um grupo alquila, com seu par de elétrons, do carbono para o nitrogênio, esquema 29.

Esquema 29



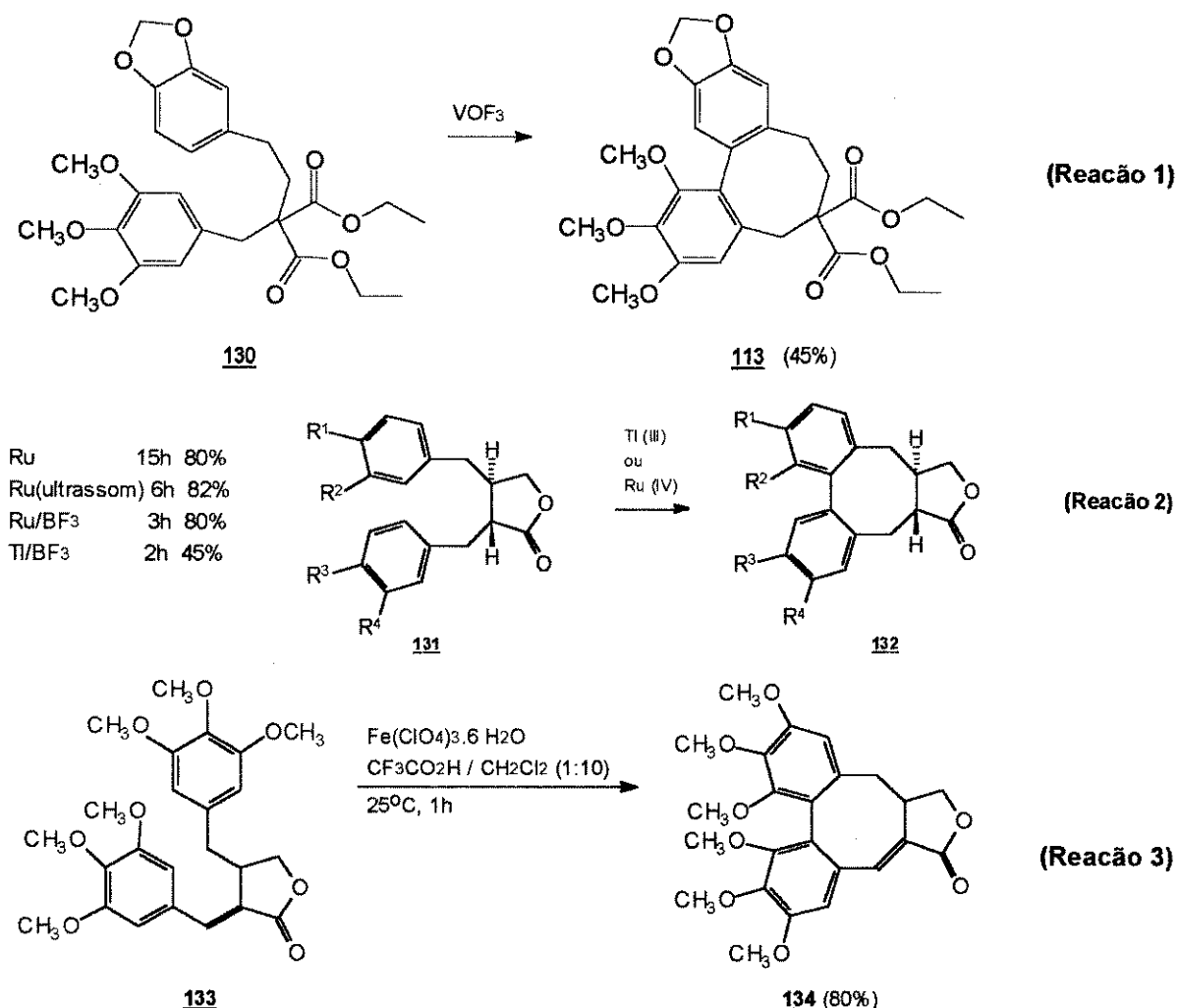
A formação de 129 a partir de 126, pode ocorrer por dois caminhos. O caminho **a** envolve a remoção do ânion cloreto, pela prata catiônica, para gerar o íon nitrônio 127

como um intermediário distinto, o qual via migração alquílica produz 128. A adição nucleofílica do solvente, no carbocátion 128 produz 129. A rota alternativa b envolve uma perda sincronizada do cloreto com a migração do grupo alquila, com seu par de elétrons, gerando diretamente 128. Não se pode estabelecer, nesta rota, se houve ou não a formação de um intermediário distinto contendo uma carga positiva no nitrogênio. Indiferentemente, os caminhos a ou b são seguidos ou seja, o grupo alquila migra com seu par de elétrons. Assim, uma espécie nitrogenada elétron deficiente deve ter sido envolvida. Estas observações concluem uma resenha da teoria da existência e das reações de nitrogênios divalentes elétron-deficientes<sup>(67)</sup>.

Um reagente utilizado com muita freqüência na síntese de lignanas dibenzociclooctanos e de alcalóides isoquinolínicos é o oxi-haleto de vanádio, particularmente o oxitrifluoreto de vanádio ( $\text{VOF}_3$ )<sup>(57)</sup>.

A síntese de lignanas dibenzociclooctanos, esquema 30, foi realizada empregando-se quatro diferentes reagentes; na presença de  $\text{VOF}_3$ , o produto ciclizado foi obtido com um rendimento na faixa de 41 a 61%, reação 1. Na presença de dióxido de [Ru(IV)], notou-se que o uso de ultrassom ou trifluoreto de boro ( $\text{BF}_3$ ) aceleram as reações; utilizando-se um co-catalisador, trióxido de tálio, obtinha-se apenas cerca de 50% do produto ciclizado, reação 2<sup>(57,68-72)</sup>. Outra modificação envolveu o uso de perclorato de ferro II [ $\text{Fe}(\text{ClO}_4)_3 \cdot 6\text{H}_2\text{O}$ ]<sup>(73)</sup>, reação 3, onde o produto foi obtido com um rendimento de 90%.

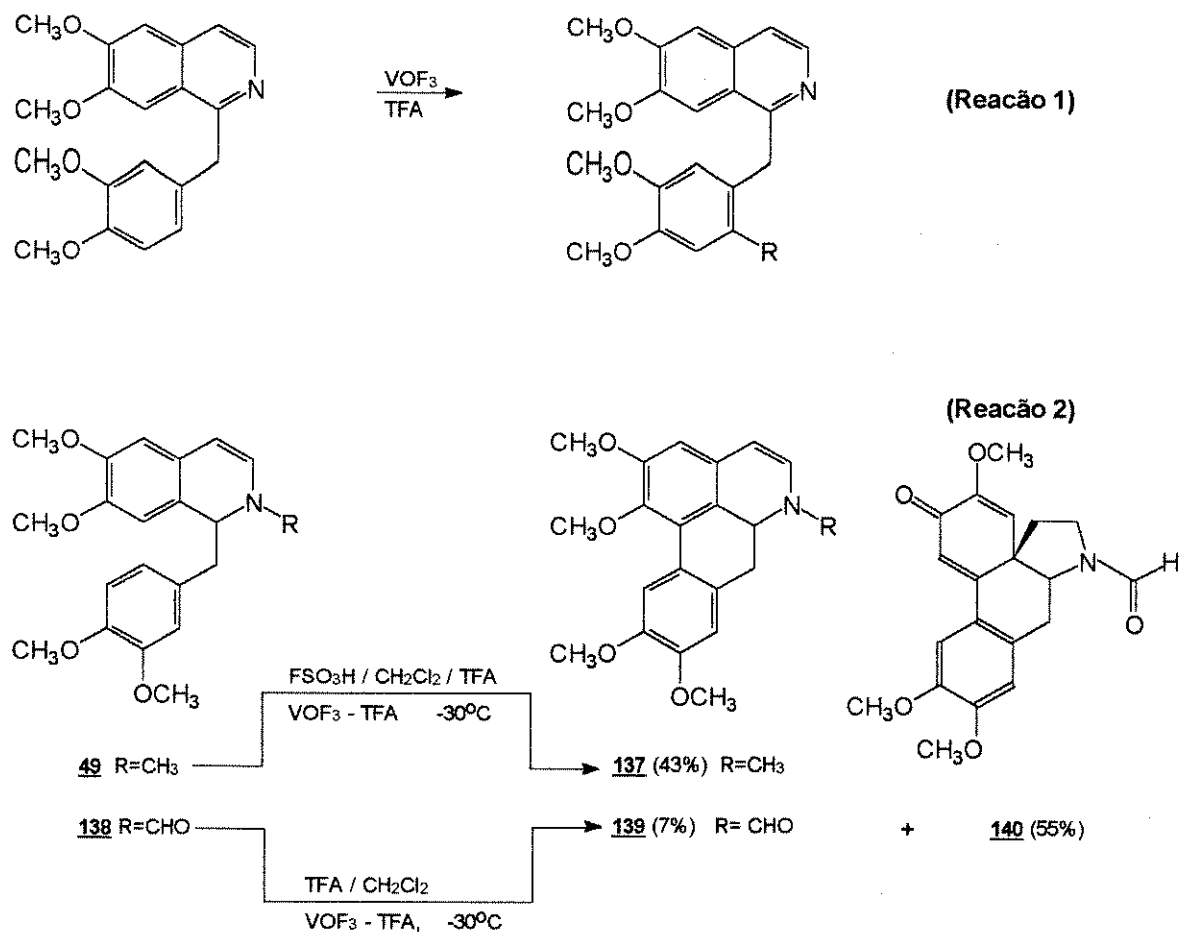
Esquema 30



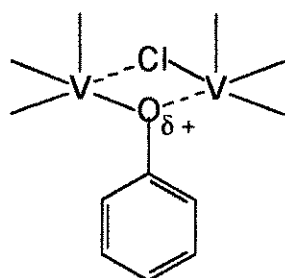
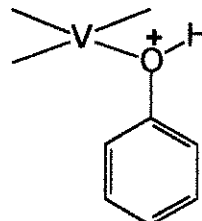
Vários alcalóides isoquinolínicos são obtidos através do acoplamento oxidativo não-fenólico intramolecular de benzilisoquinolinas sob o tratamento com oxitrifluoreto de vanádio ( $\text{VOF}_3$ ) em ácido trifluoroacético (TFA)<sup>(74,75)</sup>. O estudo foi iniciado com a papaverina 135, esquema 31 - reação 1, de onde obtive-se um produto de acoplamento intermolecular aril-aryl 136 (80%). O tratamento de uma solução da laudanosina 49, em ácido fluorosulfônico ( $\text{FSO}_3\text{H}$ ) e ácido trifluoroacético (TFA), com uma solução de  $\text{VOF}_3$  em TFA, reação 2, produziu a ( $\pm$ )-glaucina 137 (43%). Quando a ( $\pm$ )-N-formilnorlaudanosina 138 foi tratada com uma solução de  $\text{VOF}_3$  em TFA obtiveram-se dois

produtos: ( $\pm$ )-N-formilnorglaucina 139 (7%) e ( $\pm$ )-spirodienona 140 (55%)(<sup>74</sup>). O acoplamento eletrooxidativo de 138 em ácido tetrafluorobórico (HBF<sub>4</sub>), seguidos de vários tratamentos, produziu a ( $\pm$ )-glaucina 137 com 79% de rendimento(<sup>75</sup>).

**Esquema 31**

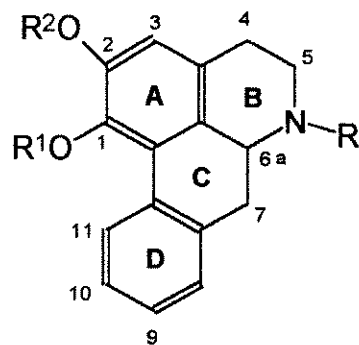


Duas outras formas de vanádio, oxitricloreto de vanádio (V) (VOCl<sub>3</sub>) e tetracloreto de vanádio (IV) (VCl<sub>4</sub>), têm sido usadas para oxidar fenóis em solventes orgânicos apróticos. Na reação de ambos, forma-se inicialmente um resíduo escuro e insolúvel que deve ser uma espécie de fenolato-vanádio, espécies 141 a e b. Os fenóis oxidados por estes dois reagentes levam exclusivamente a produtos de acoplamento na posição *para*(<sup>54,76</sup>).

141a141b

Outro método de síntese de alcalóides isoquinolínicos baseia-se em uma reação de cicloadicção intramolecular de benzino<sup>(77)</sup>.

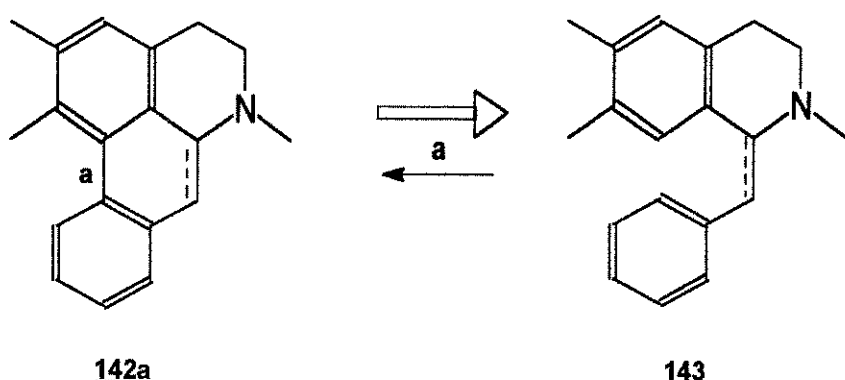
As aporfinas 142 são de grande interesse na síntese de alcalóides isoquinolínicos. Uma característica importante dos aporfinóides é a presença de um sistema fenantreno ou diidrofenantreno (anéis A, C e D) na molécula.

142

O método clássico de síntese dos aporfinóides está baseado na rota biogenética, a qual considera a ligação biaril “a” como uma estratégia. A formação desta ligação pode ser determinada por (a) acoplamento oxidativo fenólico ou não fenólico; (b) ciclização Pschorr ou (c) fotociclização de um intermediário estilbeno ou diidroestilbeno 143, esquema 32. Na maioria das vezes, estes métodos clássicos de sínteses de aporfinóides deram resultados insatisfatórios devido aos impedimentos estéricos durante a ciclização. Devido a esses problemas desenvolveram-se novos métodos de síntese de aporfinóides, os quais combinam

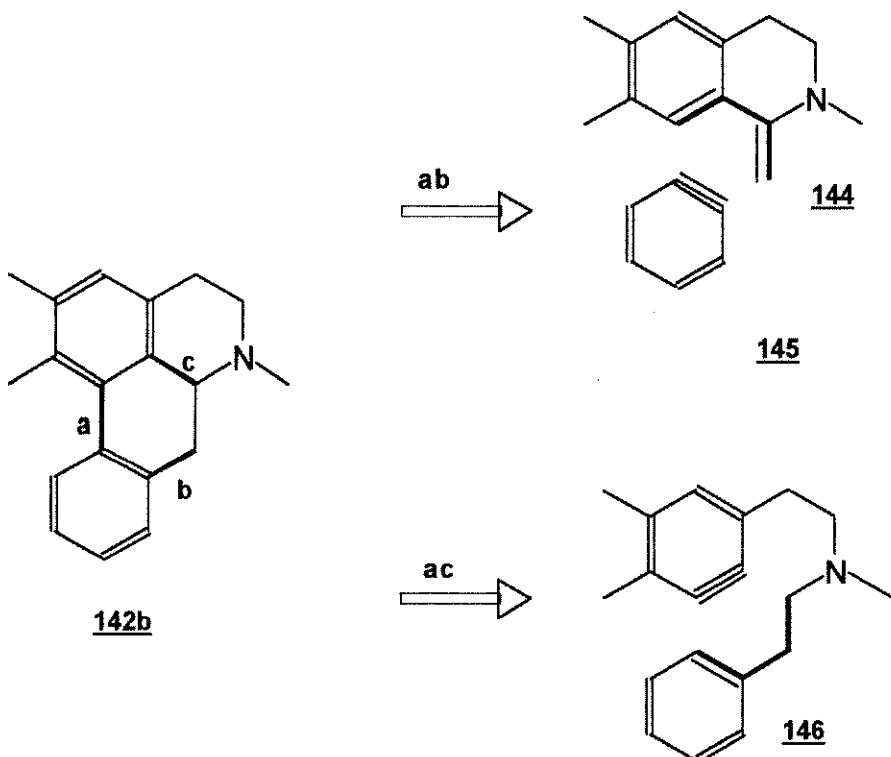
generalidade, convergência, simplicidade e eficiência. Como resultado obteve-se um novo procedimento sintético que é aplicado a uma variedade de diferentes tipos de alcalóides isoquinolínicos e indólicos<sup>(77)</sup>.

**Esquema 32**



Na análise retrossintética do esqueleto aporfirínico 142.b examinou-se a possibilidade da construção simultânea das ligações “a” e “b”, ou “a” e “c” por meio de uma reação de Diels-Alder, no último estágio de síntese, esquema 33, ou seja, por uma reação intermolecular entre a metileneisoquinolina 144 e o benzino 145 ou pela reação intramolecular entre um estireno e o benzino 146. Este método não utiliza temperaturas elevadas e fornece bons rendimentos<sup>(77)</sup>.

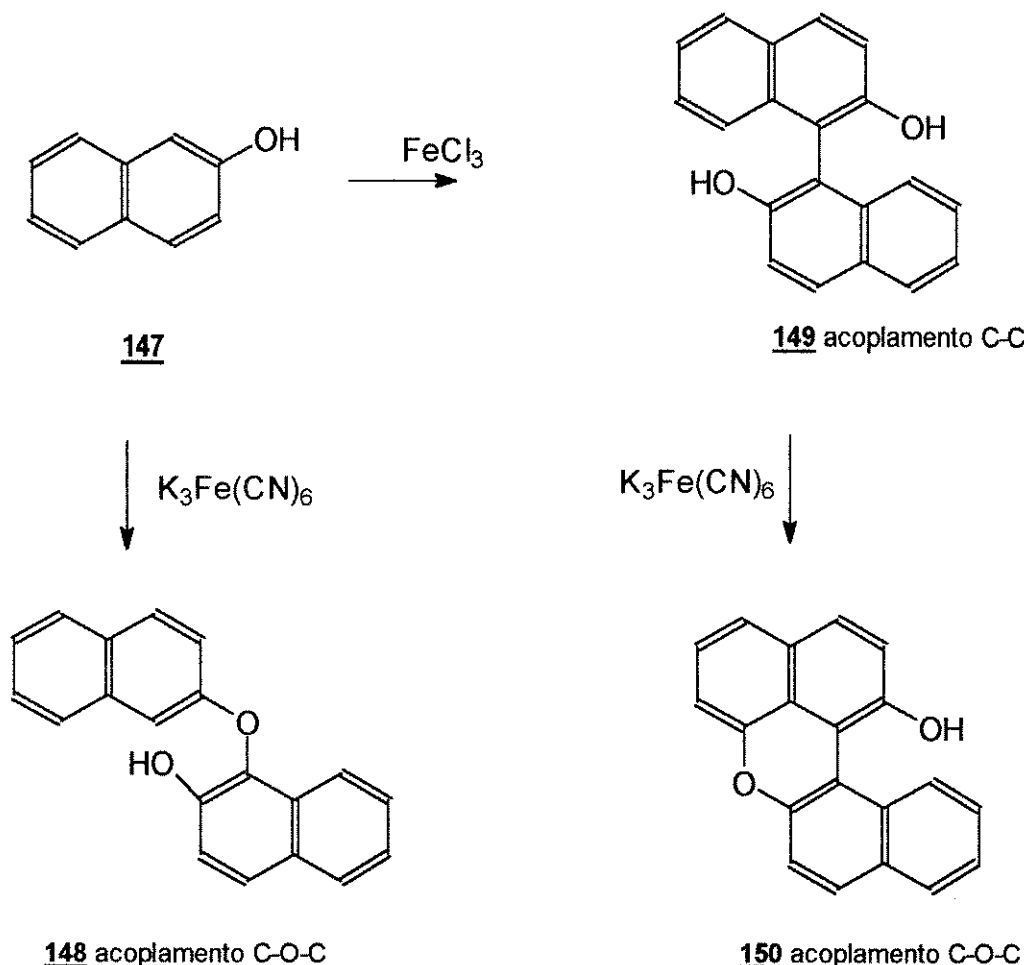
Esquema 33



### 1.3.2 - Acoplamento Oxidativo Fenólico

Este tipo de acoplamento ocorre com grande freqüência na natureza, sendo que o cloreto férrico ( $\text{FeCl}_3$ ) e o ferricianeto de potássio  $[\text{K}_3\text{Fe}(\text{CN})_6]$  são os oxidantes mais comuns utilizados em oxidações de fenóis. Eles são conhecidos como oxidantes de um elétron e muitas evidências para a intermeadicidade do radical fenoxy vem de estudos dos sistemas utilizados. Na oxidação do 2-naftol **147**, esquema 34, o produto formado pela oxidação com  $\text{K}_3\text{Fe}(\text{CN})_6$  resulta do acoplamento oxidativo C–O–C, enquanto que na presença de  $\text{FeCl}_3$  obtém-se o produto de acoplamento C–C<sup>(54,78-80)</sup>.

Esquema 34



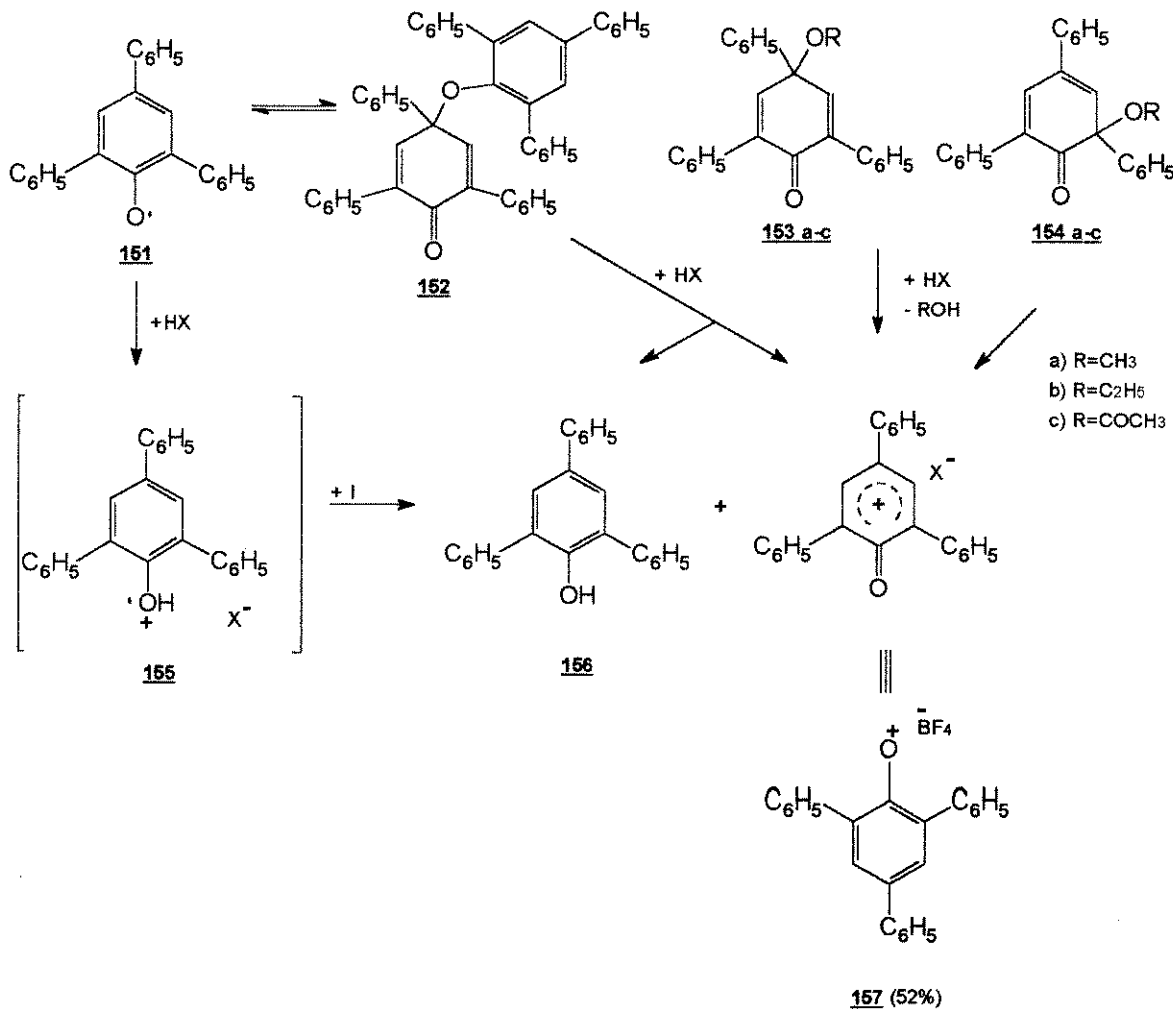
O acoplamento oxidativo fenólico é geralmente realizado na presença de vários oxidantes: Fe (III), Ag (I), Pb (IV), Mn (III), V (IV), V (V), Tl (III), Cu (II) e Bi (V). Métodos eletroquímicos têm sido usados para induzir e estudar oxidações fenólicas de um elétron. Em alguns casos de acoplamento intramolecular obtém-se altos rendimentos, mas geralmente as reações não são específicas e ocorrem com baixos rendimentos. Observou-se também que em muitos casos ocorre a formação de uma complicada mistura de produtos ou uma extensiva polimerização<sup>(81,82)</sup>. Para tentar resolver estes problemas, desenvolveu-se um novo reagente brando e eficiente para o acoplamento fenólico, o complexo gelatinoso de

prata (I) (82),  $[\text{Ag}-\text{N}\cdots\text{COO}]^2$ . Este método é altamente seletivo quase não ocorrendo polimerização.

Por volta de 1970, os íons ariloxênios ( $\text{ArO}^+$ ) começaram a ser abordados. Eles representam um desafio sintético e apresentam interessantes possibilidades biossintéticas como nas reações de acoplamento oxidativo. Sofrem o mesmo tipo de ataque nucleofílico, no núcleo aromático, como os correspondentes íons arilnitrênios<sup>(83,84)</sup>.

O isolamento de um sal estável, tal como 157, esquema 35, por Dimroth<sup>(85)</sup> em 1967, aumentou a probabilidade de evidências da existência dos intermediários íons oxênios nas reações orgânicas<sup>(59,85)</sup>.

**Esquema 35**



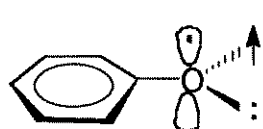
Semelhante aos íons nitrênios e carbenos, os íons oxênios também possuem estados singletos e tripletos, figura 9. Os grupos arilas estabilizam mais os estados singletos que os estados tripletos, como nos carbenos, devido às interações entre o orbital "p" vazio do heteroátomo com os orbitais  $\pi$  do anel aromático<sup>(84)</sup>.



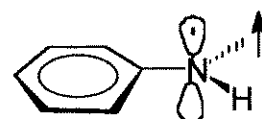
158 singlet



159 singlet



158 triplet

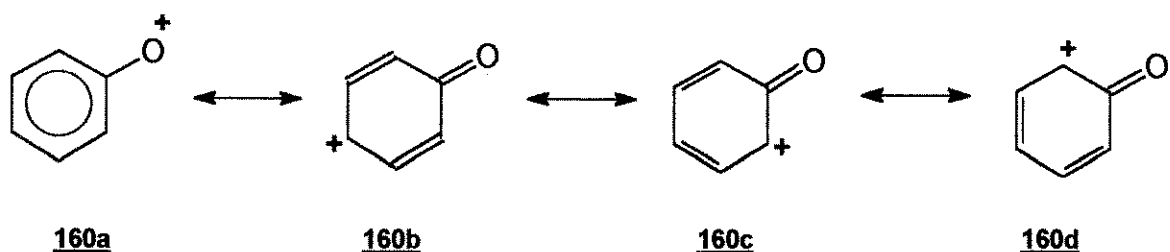


159 triplet

**Figura 9 - Estados singletos e tripletos dos íons oxênios e nitrênios<sup>(84)</sup>.**

Um íon fenoxênio pode ser representado pelos tautômeros de ressonância, isto é, pelo íon fenoxênio 160.a e pelos cátions oxocicloexadienilos 160.b-160.d, esquema 36<sup>(86)</sup>.

**Esquema 36**

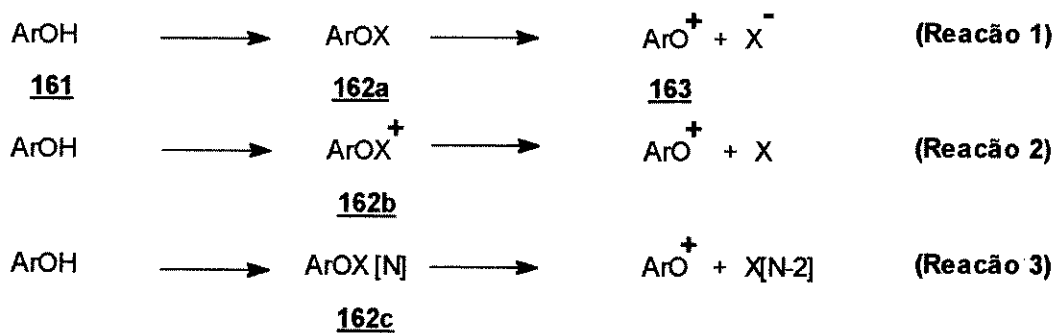


A maioria dos métodos biossintéticos de oxidações fenólicas ocorrem através do processo de um elétron para produzir radicais ariloxi ( $\text{ArO}^\bullet$ ) e estas espécies neutras sofrem reações posteriores. Processos tais como acoplamento homolítico, acoplamento heterolítico, inserção radicalar e formação de quinona-metídeo ocorrem através de várias formas de radicais sincronizados, especificamente pela imposição de enzimas<sup>(81)</sup>.

O processo de oxidação fenólica de dois elétrons para gerar íons ariloxênios ( $\text{ArO}^+$ ) tem sido menos explorado. Eles têm sido propostos como possíveis intermediários em oxidações fenólicas na presença de Tl (III), Cu (II) e  $\text{HIO}_4$ , além de estarem implicados na obtenção de metafosfatos a partir de monofosfatos quinólicos. Alguns exemplos de íons ariloxênios têm sido gerados e estudados eletroquimicamente, e os seus exemplos altamente deslocalizados são muito estáveis para serem isolados<sup>(81,85)</sup>.

Os íons ariloxênios ( $\text{ArO}^+$ ) são menos explorados, como intermediários em sínteses, que os correspondentes radicais ariloxi ( $\text{ArO}^\bullet$ ) apesar de oferecerem várias vantagens, como as seguintes: (a) Alguns métodos atrativos para a produção de íons ariloxênios são mostrados no esquema 37 - reações 1-3.

### Esquema 37



Nas reações 1 e 2, a produção do íon ariloxênio 163 provém de um dissociação requerida num procedimento de oxidação. Na reação 3, a dissociação é acompanhada por uma mudança de valência no grupo X previamente ligado. Nas três reações se X estiver ligado a um grupo hidroxi particular, as reações seguintes serão específicas se outros grupos

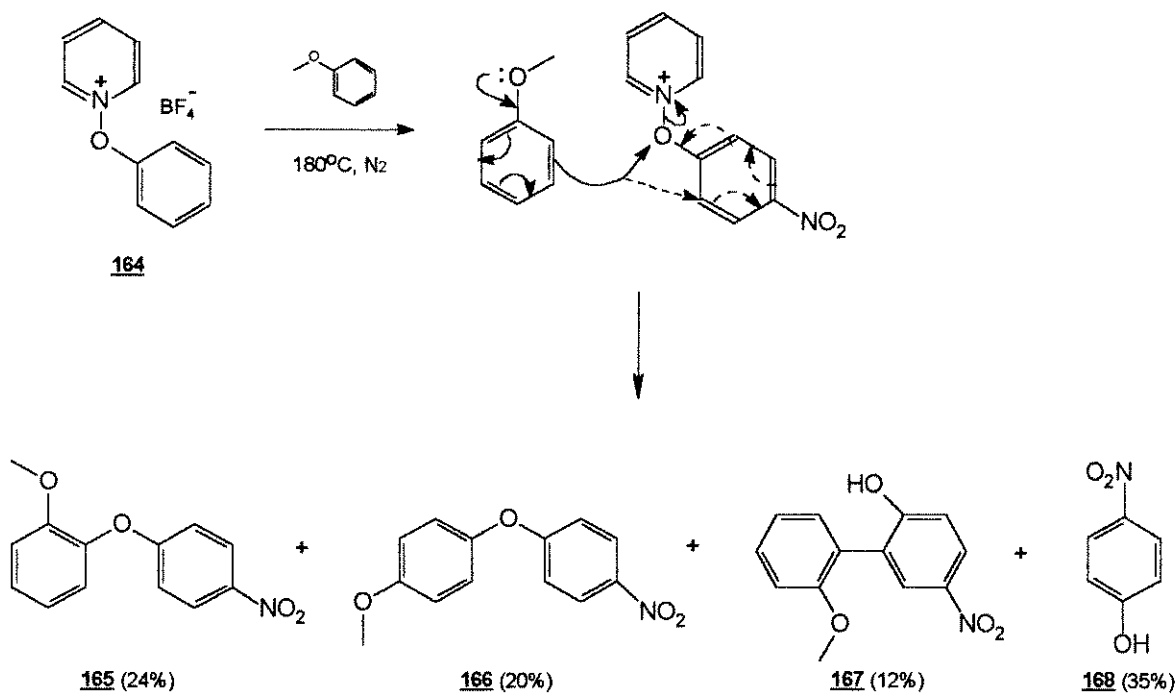
oxidáveis estiverem presentes. (b) Considerando-se que os radicais ariloxi ( $\text{ArO}^\bullet$ ) possam dimerizar-se, principalmente pela formação da ligação C–O–C, os íons ariloxênios ( $\text{ArO}^+$ ) poderão interagir com espécies sem carga predominando a formação da ligação C–C. (c) Os radicais ariloxi e os íons ariloxênios reagirão com nucleófilos por reações de controle inter e intramolecular. (d) Um próton benzílico pode ser eliminado para gerar quinona-metídeo por substituição, ciclização e rearranjos<sup>(81,87)</sup>.

Na maioria dos casos é muito difícil saber se uma reação particular procede-se via íons ariloxênios ou diretamente dos intermediários 162.a-c. Contudo,  $\text{PhO}^+$  tem sido gerado de  $\text{PhONHOTs}$  em condições fortemente ácidas, comprovando ser um poderoso eletrófilo que acopla diretamente com um nucleófilo fraco tal como benzeno. Os compostos 162.a ( $X = \text{SAr}$ ) fornecem íons ariloxênios ( $\text{ArO}^+$ ) 163, e os compostos 162.b [ $X = \text{S}(\text{Pr}^i)\text{NR}_2$ ,  $\text{S}(\text{Tol})\text{NR}_2$ ,  $\text{SMe}_2$ ] também produzem íons 163. Na produção de  $\text{ArO}^+$  pelas reações 1, 2 ou 3, algumas condições devem ser seguidas: (i)  $\text{ArOX}$  deve ser acessível; (ii)  $\text{ArOX}$  deve decompor-se em condições brandas para gerar  $\text{ArO}^+$ ; (iii)  $X$  não deve ser um nucleófilo forte para que seja evitado o ataque em  $\text{ArO}^+$ <sup>(81,86,88)</sup>.

Os compostos 162.c estão envolvidos em oxidações que utilizam íons metálicos tais como: Tl (III), Cu (II), Pb (IV), Cr (VI) e as oxidações eletroquímicas também podem gerar íons ariloxênios 163.

A decomposição térmica do intermediário 162.b ( $X = \text{C}_5\text{H}_5\text{N}$ ) também gera íons 163, ou seja, os íons ariloxênios também podem ser gerados termicamente a partir dos sais correspondentes de N-ariloxipiridínio. Assim, a decomposição do p-nitrofenoxipiridínio tetrafluoroborato 164 em anisol por 5 horas a 180°C sob nitrogênio, esquema 38, produziu uma mistura de 2-(165, 24%) e 4-metoxifenil-4-nitrofenil éter (166, 20%), resultantes do acoplamento oxidativo C–O–C; 2-hidroxi-2'-metoxi-5-nitrofenil 167 (12%) e p-nitrofenol 168 (35%). A termólise de 164 em mesitileno produziu 2,4,6-trimetilfenil-4-nitrofenil éter (20%), tetrafluoroborato de piridínio 168 (35%) e não foi detectado nenhum bimesitilo<sup>(87,89,90-93)</sup>.

Esquema 38

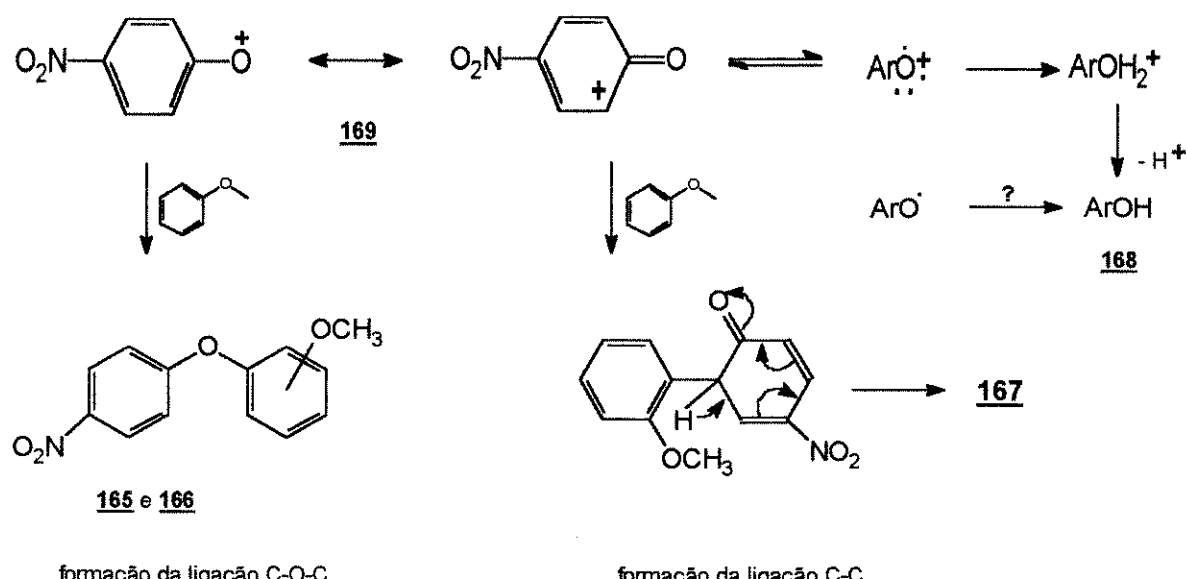


Três possíveis mecanismos foram sugeridos para avaliar os produtos formados<sup>(87)</sup>:

- (a) clivagem homolítica da ligação N–O produzindo  $\text{ArO}^\bullet$  e  $\text{C}_6\text{H}_5\text{N}^{\bullet+}$ .  $\text{ArO}^\bullet$  adicionará ao anisol ( $\text{Ar}'\text{H}$ ) para formar um complexo  $\sigma$  de onde  $\text{ArOAr}'$  e  $\text{ArOH}$  são formados pela abstração de hidrogênio.
- (b) clivagem heterolítica da ligação N–O produzindo  $\text{ArO}^+$  e piridina.  $\text{ArO}^+$ , por analogia com carbenos e nitrenos, pode existir como um singuleto ( $\text{ArO}^+$ ) ou um triplete ( $\text{ArO}^{\bullet+}$ ). Nesta clivagem ocorre um ataque eletrofilico do cátion singuleto ao  $\text{Ar}'\text{H}$ , formando  $\text{ArOAr}'$ , enquanto o cátion triplete abstrai H para produzir  $\text{ArOH}_2^+ \longrightarrow \text{ArOH} + \text{H}^+$ .
- (c) ataque nucleofílico sincronizado do anisol sobre a carga positiva do anel, que é formada simultaneamente com o deslocamento da piridina, só que o íon ariloxênia não é formado.

A formação dos éteres bifenílicos 165 e 166 e do nitrofenil 167 a partir de 164, em anisol, foi melhor avaliada analisando-se o ataque no núcleo aromático ativado pelo íon *para*-nitrofenoxênia 169, esquema 39.

**Esquema 39**



Os íons ariloxênios podem ser gerados em soluções de solventes orgânicos e, a presença de um substituinte retirador de elétrons no núcleo aromático, favorecerá a formação de produtos resultantes do acoplamento intramolecular C–O–C sobre os produtos de acoplamento C–C em reações com substratos aromáticos. Nestas reações de acoplamentos intramoleculares, a molécula pode adotar uma conformação mais apropriada para ocorrer o fechamento do anel<sup>(87,89,90)</sup>.

Após vários estudos sobre a funcionalização dos íons arilnitrênios e ariloxênios, concluiu-se que estes oferecem vantagens aparentemente consideráveis na síntese de sistemas anelares de sete membros e, provavelmente, também para anéis maiores.

### 1.3.3 - Reações Induzidas por Iodo Hipervalente

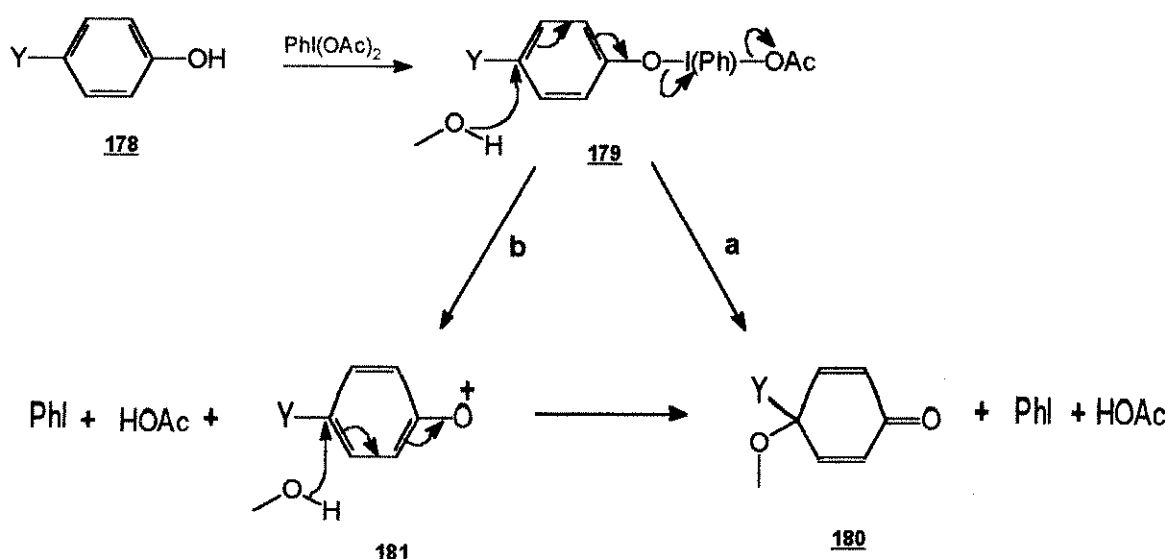
Recentemente, uma variedade de compostos organoiodo hipervalentes (iodoxibenzenos) começaram a ser explorados como oxidantes em sínteses orgânicas. Os mais utilizados são iodosilbenzeno 170, diacetato de iodobenzeno (PIDA) 171, bis(trifluoroacetato) de iodobenzeno (PIFA) 172, bis (trifluoroacetato) de pentafluoriodobenzeno 173, dimetoxicarbonilmelanido de feniliódônio 174, bis(fenilsulfonil) de feniliódoniometanido 175, cloreto de difeniliódônio 176 e cloreto de (feniletinil)feniliódônio 177, figura 10.

$\text{PhIO}$	$\text{PhI(OAc)}_2$ (PIDA)	$\text{PhI(OCOF}_3)_2$ (PIFA)
<u>170</u>	<u>171</u>	<u>172</u>
$\text{C}_6\text{F}_5\text{I}(\text{OCOCF}_3)_2$	$\text{PhI}^+ \cdot \text{C}(\text{CO}_2\text{CH}_3)_2$	$\text{PhI}^+ \cdot \text{C}(\text{SO}_2\text{Ph})_2$
<u>173</u>	<u>174</u>	<u>175</u>
$\text{Cl}^+ \text{I}(\text{Ph})_2$	$\text{Ph}-\overset{+}{\text{C}}-\text{C}^-\text{Ph}-\text{Cl}$	
<u>176</u>	<u>177</u>	

**Figura 10 - Compostos de iodo hipervalente utilizados em reações orgânicas.**

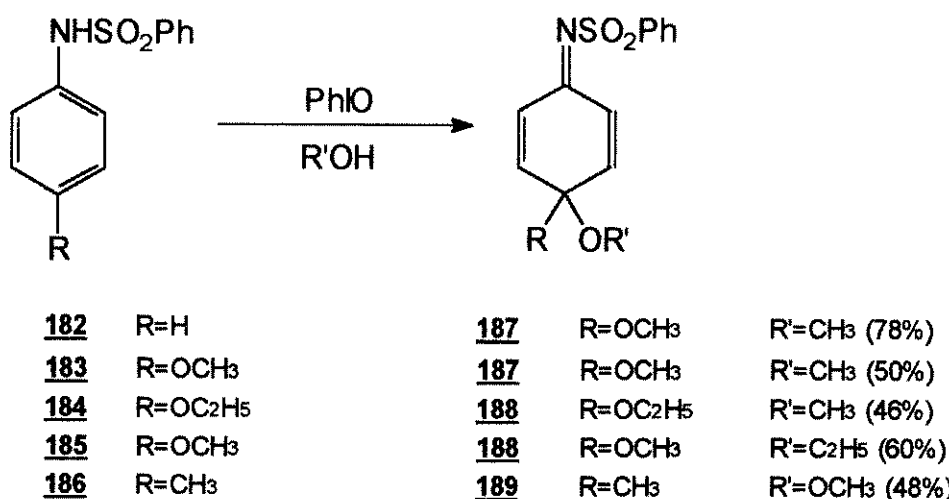
Dentre as reações de oxidação na presença de compostos organoiodo hipervalentes destacam-se as oxidações dos grupos hidroxilas e de compostos organosulfúricos<sup>(94)</sup>. Reagentes tais como o PIDA 171 e o PIFA 172 são empregados nas sínteses de quinonas a partir de fenóis, esquema 40, com rendimentos acima de 70%<sup>(81,95-97)</sup>. Os produtos são característicos de um processo de oxidação de dois elétrons, mas o mecanismo da reação ainda não é conhecido. Eles podem proceder-se via íons ariloxênicos transitórios (caminho a) ou um ataque do metanol diretamente no intermediário 179 (caminho b).

Esquema 40



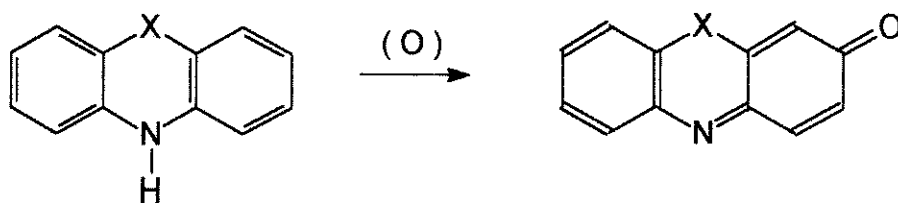
Além das sínteses de quinonas a partir de fenóis, destacam-se as sínteses de quinona-iminas a partir de aminas heterocíclicas, esquema 41. Nestas reações pode-se utilizar tanto o reagente 170 como os 172 ou 173 (na presença de base  $\text{K}_2\text{CO}_3$  ou DBU). Este método também permite a obtenção de quinona-imidas monoacetais a partir de amidas<sup>(98)</sup>.

Esquema 41



Os derivados de iodo hipervalente 170 e 173 também estão sendo empregados como oxidantes de aminas, um método relativamente novo, esquema 42<sup>(99)</sup>.

**Esquema 42**



SUBSTRATOS

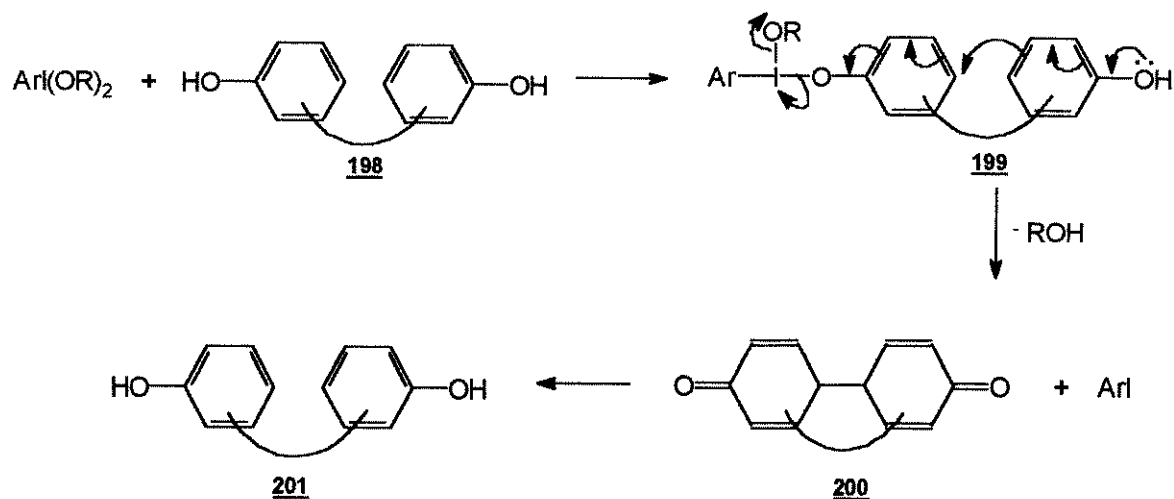
- 190    X= S
- 191    X= CH=CH
- 192    X= O
- 193    X= C(C<sub>6</sub>H<sub>5</sub>)<sub>2</sub>

PRODUTOS

- 194    (70%)
- 195    (20%)
- 196    (70%)
- 197    (50%)

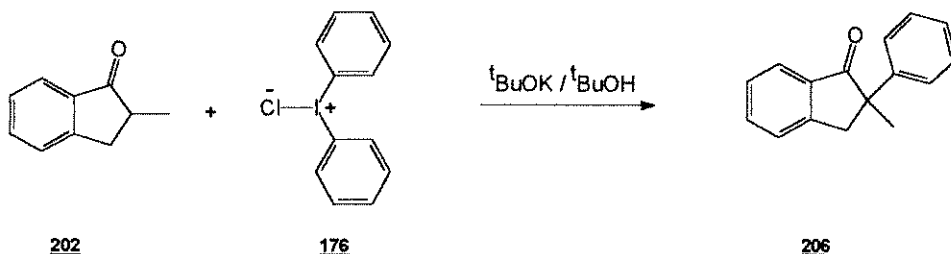
Uma das principais reações de oxidação realizadas pelos derivados de iodo hipervalente, figura 10, são as que levam à formação de ligações carbono-carbono, esquema 43<sup>(100-104)</sup>.

**Esquema 43**



O esquema 44 mostra a fenilação da 2-metil-1-indanona 202 com cloreto de difeniliodônio 176 para produzir a 2-metil-2-fenil-1-indanona 206.

**Esquema 44**

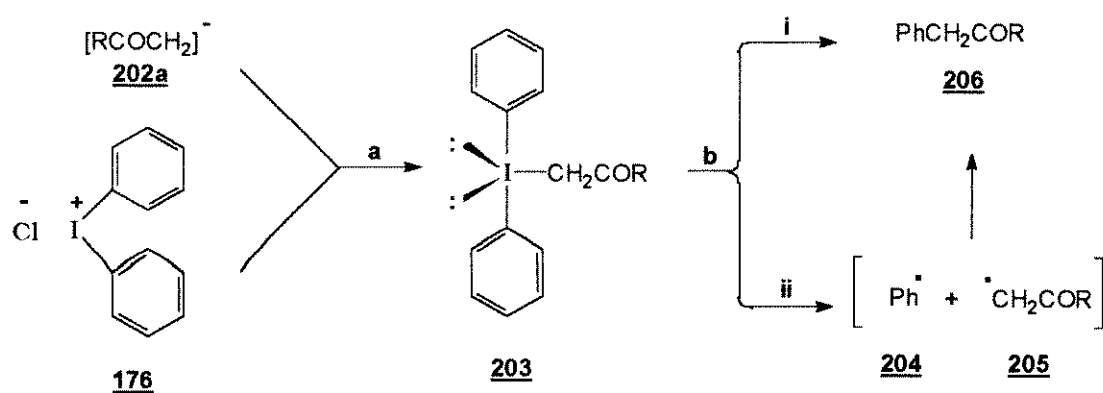


Dentre os vários caminhos possíveis para esta transformação, um deles baseia-se nas seguintes transformações, esquema 45<sup>(100)</sup>.

- (a) Adição do ânion enolato no centro positivo do iodo para produzir o intermediário de iodo tricoordenado 203.
- (b) A formação da ligação C–C via acoplamento dos ligantes, com eliminação redutiva de iodobenzene.

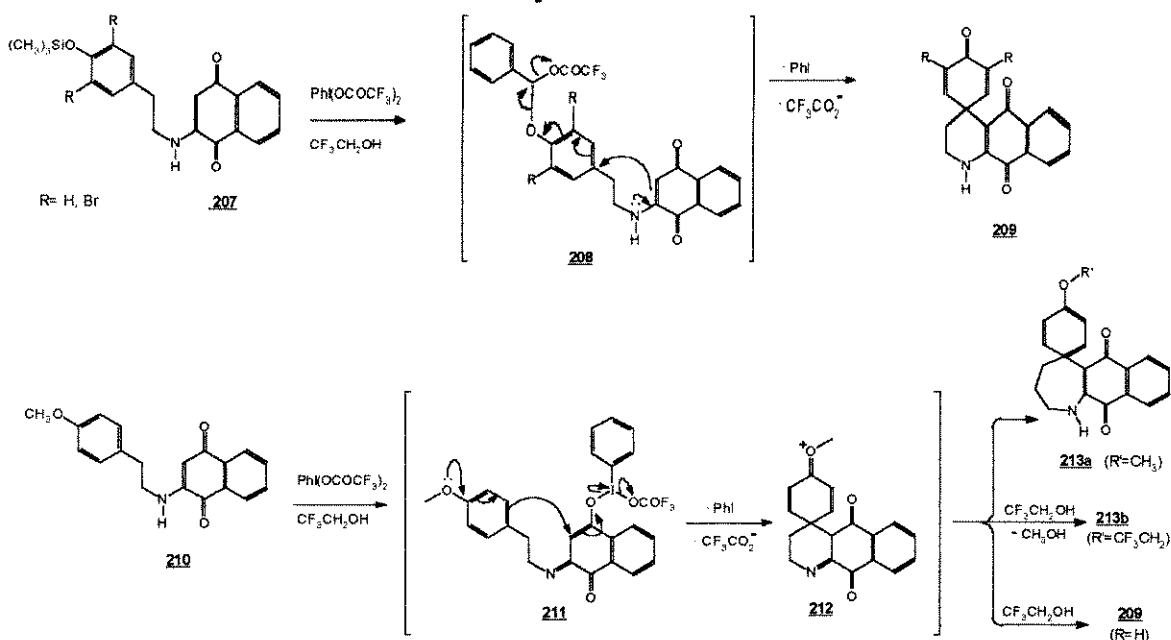
As variações nos mecanismos ocorrem na etapa b, a qual pode ser sincronizada ou radicalar. A reação sincronizada direta corresponde ao acoplamento de ligantes axial-equatorial (caminho i). O segundo caminho é uma decomposição radicalar e acoplamento radicalar (caminho ii).

**Esquema 45**



A oxidação de fenóis O-sililados *para* substituídos 207 pelo reagente PIFA 172, em 2,2,2-trifluoroetanol, produziu o spirociclo 209 via formação da ligação carbono-carbono. Entretanto, a oxidação do O-metil éter 210 com o regente PIFA 172, sob as mesmas condições, produziu uma mistura de 209 (31%) e de produtos resultantes do rearranjo dienona-fenol (213.a, 24% e 213.b, 29%), esquema 46<sup>(100)</sup>.

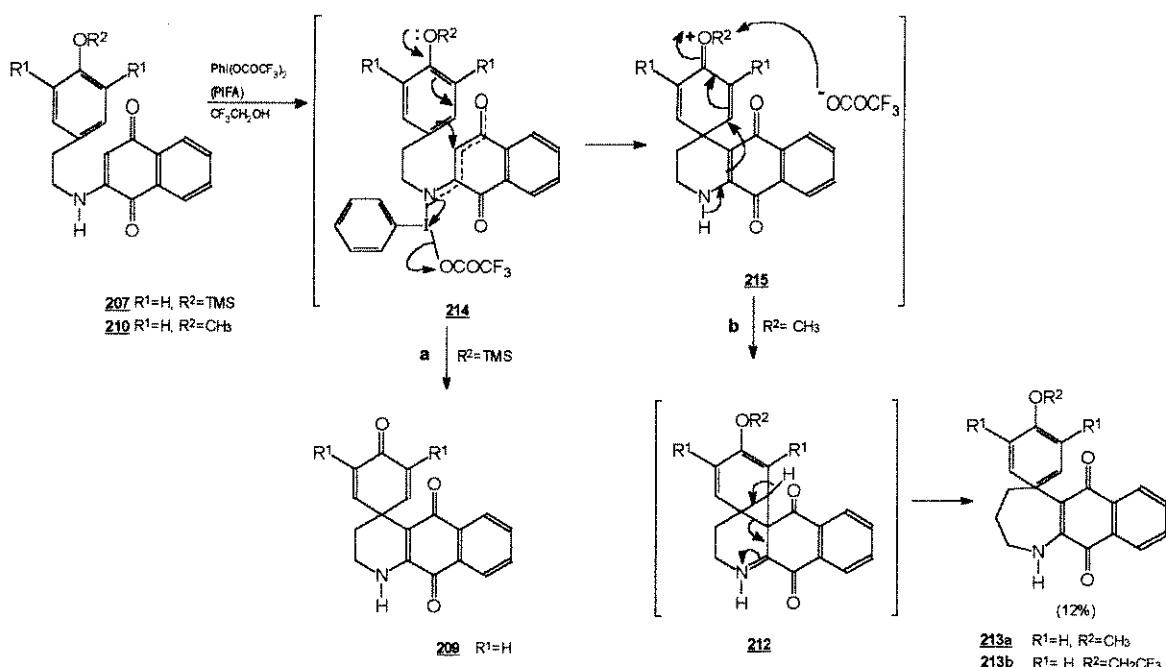
**Esquema 46**



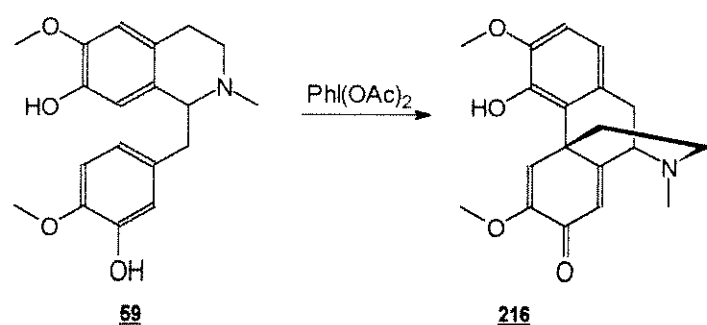
As reações apresentadas no esquema 46 ilustram a possibilidade de duas maneiras diferentes de adição do reagente PIFA 172. No caso da transformação 207 → 209, a reação entre o silyl éter e o reagente PIFA produziu 208, e a adição nucleofílica dirigida pelo sistema enamina produziu 209. No caso de 210, o sistema enamina não participa da adição nucleofílica sobre o PIFA para produzir 211, e a reação posterior gera 212 com a perda de iodobenzeno e trifluoroacetil. As reações subsequentes envolvem deslocamento de um grupo metila pelo 2,2,2-trifluoroetanol (210 → 209), rearranjos (210 → 213.a) e adição-eliminação e rearranjo (210 → 213.b)<sup>(100)</sup>. Destes resultados, notou-se que presumivelmente a reação ocorre com a formação inicial de um intermediário de

deslocamento *ipso* 215, esquema 47. Quando  $R^2 = \text{TMS}$ , ocorre clivagem da ligação O– $R^2$  para produzir 209 (caminho a). Por outro lado, quando  $R^2 = \text{Me}$ , a clivagem da ligação O– $R^2$  será mais difícil, ocorrendo então um rearranjo dienona-fenol para gerar 213.a e 213.b (caminho b)<sup>(105)</sup>.

**Esquema 47**



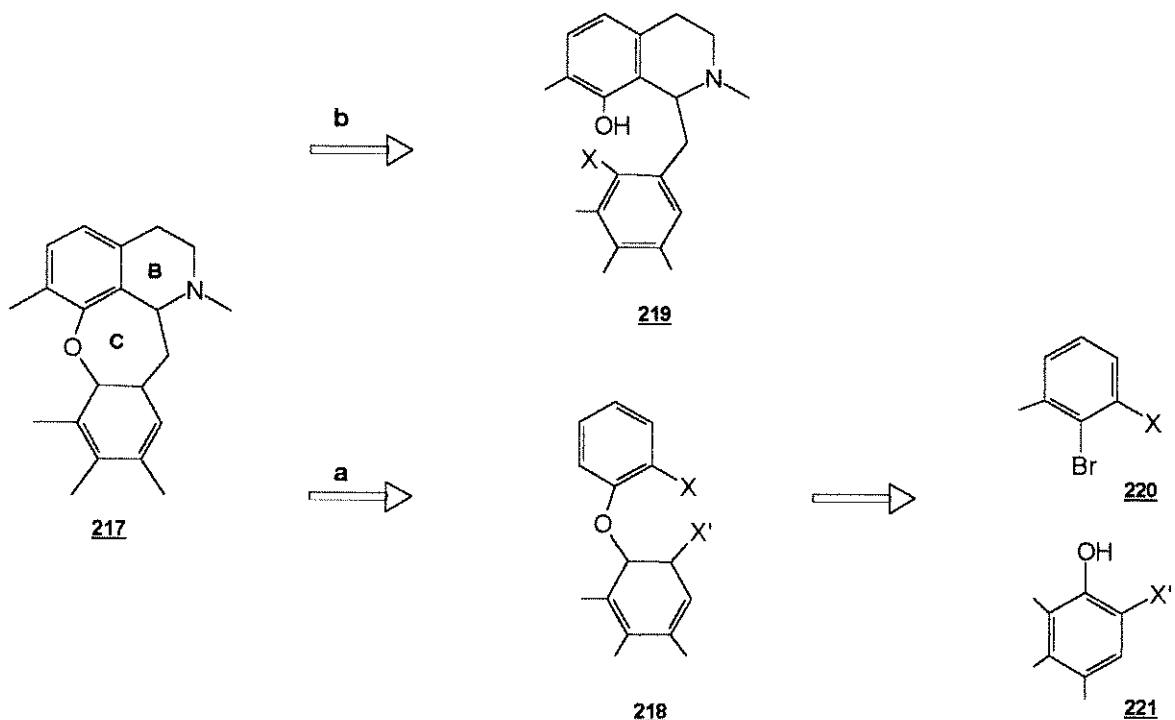
Outro exemplo mostra a eficiência do reagente PIDA 171 nas reações de acoplamento oxidativo intramolecular da reticulina 59 para produzir a salutaridina 216, esquema 48, e outros compostos análogos resultantes de acoplamentos aril-aryl. O reagente PIDA é específico para esta reação enquanto os outros oxidantes não são efetivos<sup>(100,102, 106,107)</sup>.

**Esquema 48**

## 1.4 - SÍNTESE DE ALCALÓIDES CULARÍNICOS

Existem duas rotas gerais para a síntese de cularinas e ambas possuem como etapa chave a formação da ligação diaril-éter, esquema 49. A rota a envolve a formação desta ligação através da reação de Ullmann, no estágio inicial de síntese, com a subsequente construção dos anéis C e B. A rota b inicia-se com a síntese de uma benzilisoquinolina substituída e leva para o último estágio de seqüência a introdução da função diaril-éter via condensação intramolecular de Ullmann ou acoplamento oxidativo fenólico<sup>(2,3,108)</sup>.

**Esquema 49**

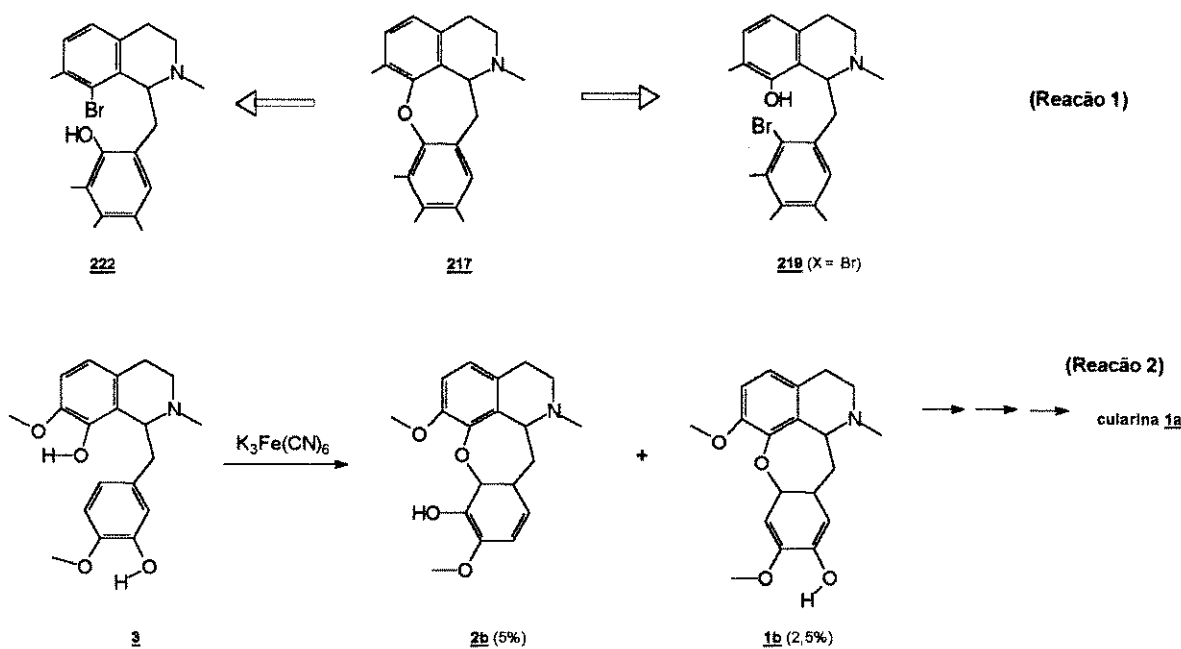


Na rota a, existe uma desvantagem pois as várias etapas envolvidas nesta síntese, inclusive a de formação do anel B, ocorrem com baixos rendimentos<sup>(2,3,109-111)</sup>.

Na rota b, a formação da ligação diaril-éter ocorre na etapa final de síntese. Os melhores resultados foram obtidos pela reação de Ullmann via dois diferentes tipos de

intermediários, esquema 50 - reação 1, através do aquecimento destes com óxido de cobre (II) na presença de base. Os melhores rendimentos na etapa de ciclização foram obtidos quando 219 e 222 possuíam nitrogênio terciário<sup>(2,3,6)</sup>.

**Esquema 50**

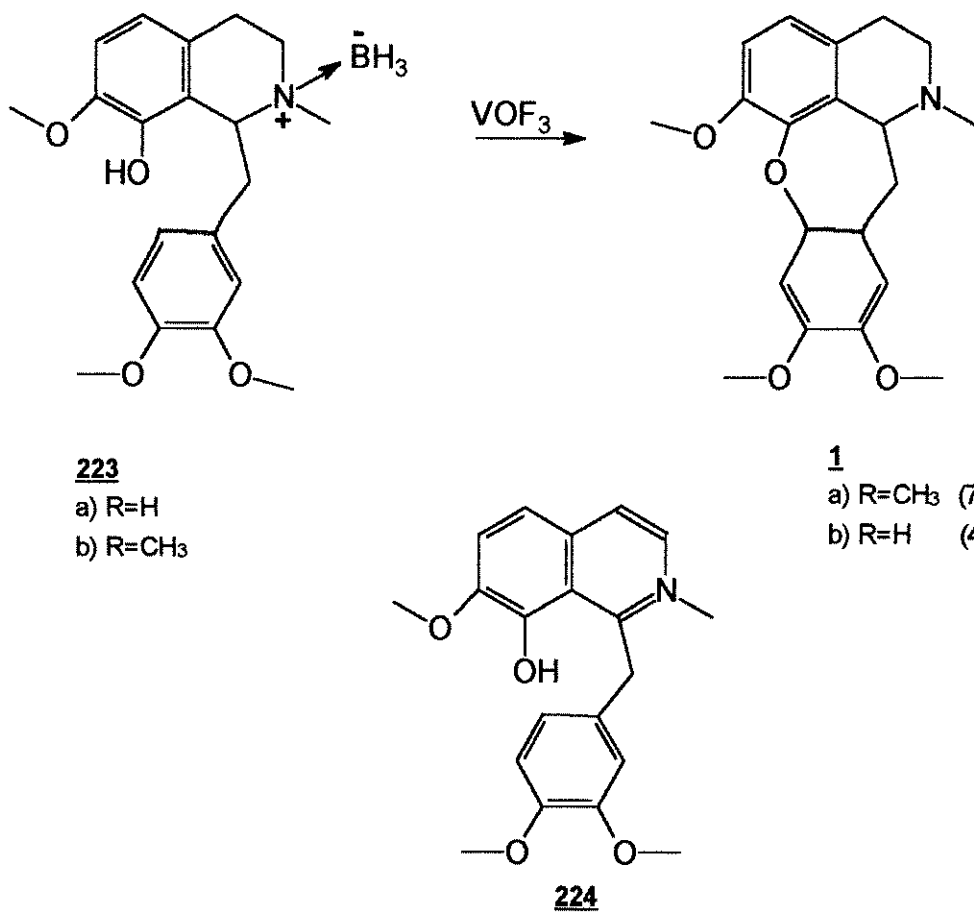


Ainda sobre a rota b do esquema 49, a formação da ligação diaril-éter pode também ocorrer através do acoplamento oxidativo fenólico de uma benzil- isoquinolina difenólica, na presença de ferricianeto de potássio, obtendo-se baixos rendimentos, esquema 50 - reação 2. Desta oxidação foi possível a obtenção de dois produtos, dependendo da natureza de acoplamento nas posições *ortho* ou *para*<sup>(2,3,9,10,12,51,112)</sup>.

Pelo uso de oxitrifluoreto de vanádio ( $VOF_3$ ), em ácido trifluoroacético (TFA), como reagente oxidante, detectou-se que o complexo crassifolina-borano 223.a produzia a O-desmetilcularina 1.b com 40% de rendimento, esquema 51. Posteriormente, detectou-se este acoplamento oxidativo no complexo-borano 223.b, ou seja, de uma tetraidrobenzilisoquinolina monofenólica obteve-se a cularina 1.a com 70% de rendimento.

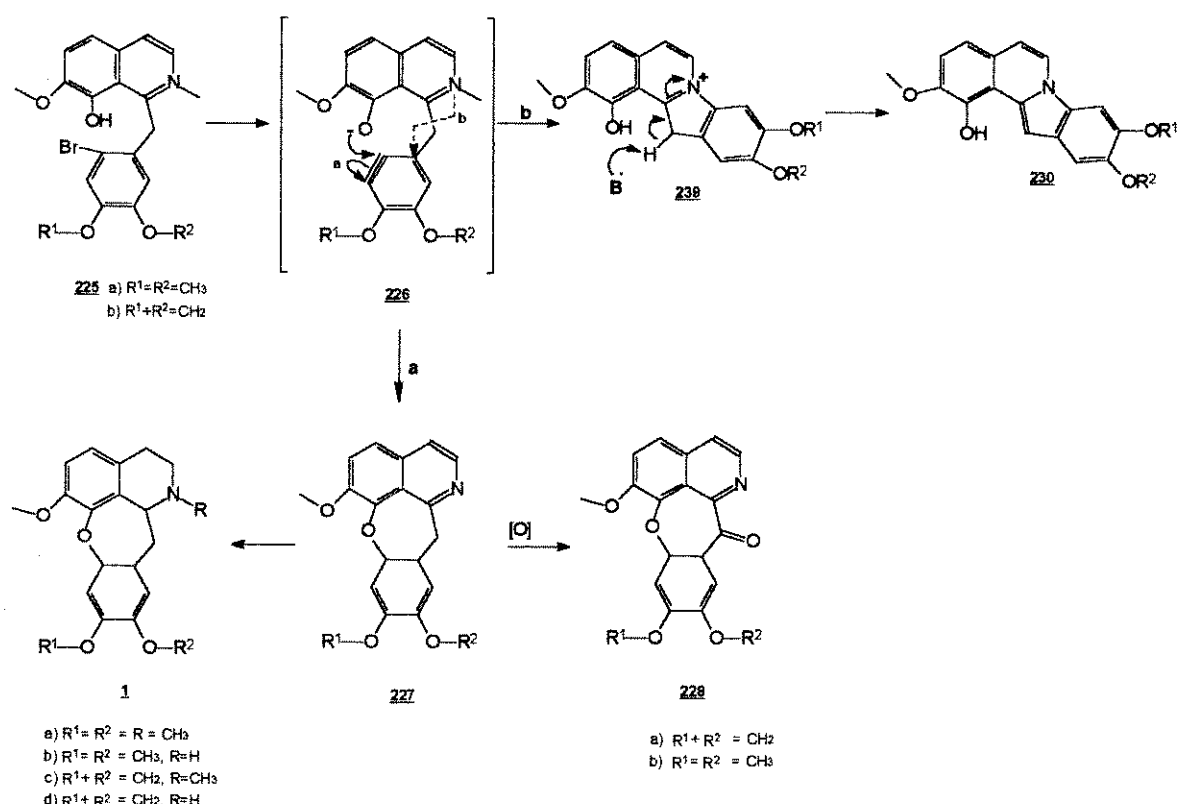
Entretanto, esta ciclização oxidativa não foi detectada na correspondente benzilisoquinolina 224<sup>(2)</sup>.

**Esquema 51**



Outra rota de síntese de alcalóides cularínicos baseia-se em um outro caminho de ciclização para formar a ligação estratégica C–O. Esta ciclização consiste no ataque de um íon fenóxido sobre um intermediário benzino 226, esquema 52, gerado pela ação de dimsil sódio no anel aromático da 6'-bromo- benzilisoquinolina 225. Nesta síntese, o intermediário benzino 225.b foi atacado intramolecularmente pelos nucleófilos fenoxila e nitrogênio para gerar o composto cularínico 227.b (20%) via O-ataque, junto com a pirrocolina 230.b (65%) via N-ataque<sup>(2,113)</sup>.

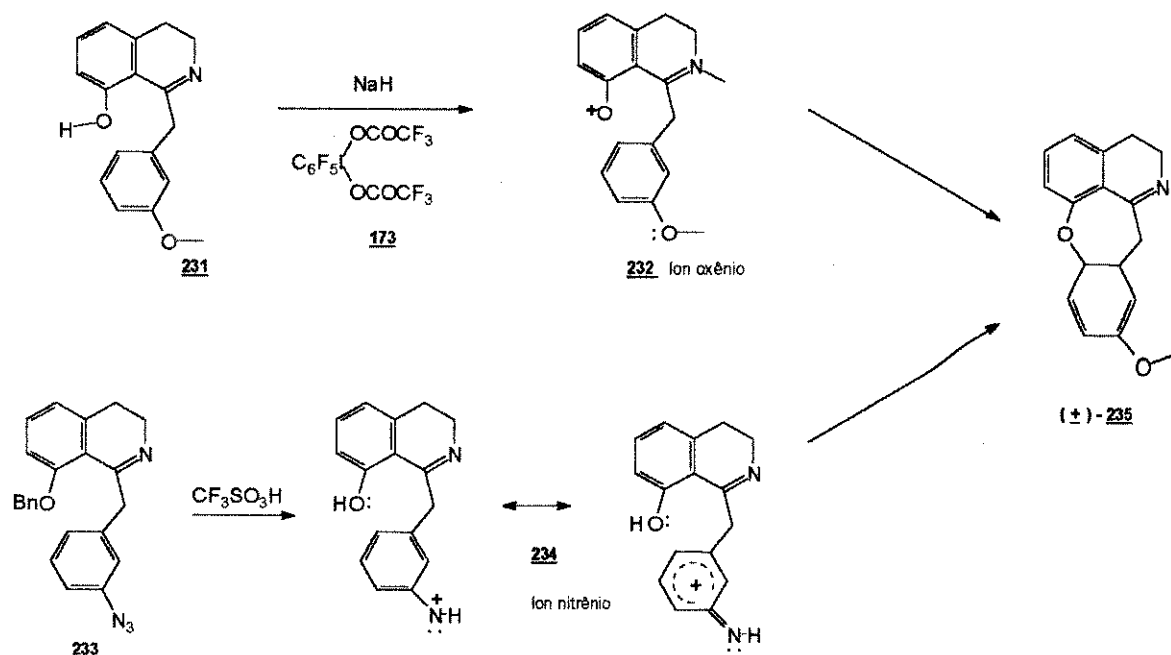
Esquema 52



Este último método oferece uma vantagem sobre os outros porque permite a preparação de N-norcularinas, cularinas e oxocularinas (185) de um intermediário comum como a tetraidronorcularina 226<sup>(2)</sup>.

O nosso grupo de pesquisa desenvolveu um novo método para a formação da ligação diaril-éter, o qual baseia-se na obtenção de intermediários ariloxênios e arilnitrênios, esquema 53. Sob condições brandas, obteve-se ( $\pm$ )-didesidro-norcularinas do tipo 235 com bons rendimentos.

**Esquema 53**



## CAPÍTULO 2

# ESTRATÉGIA SINTÉTICA

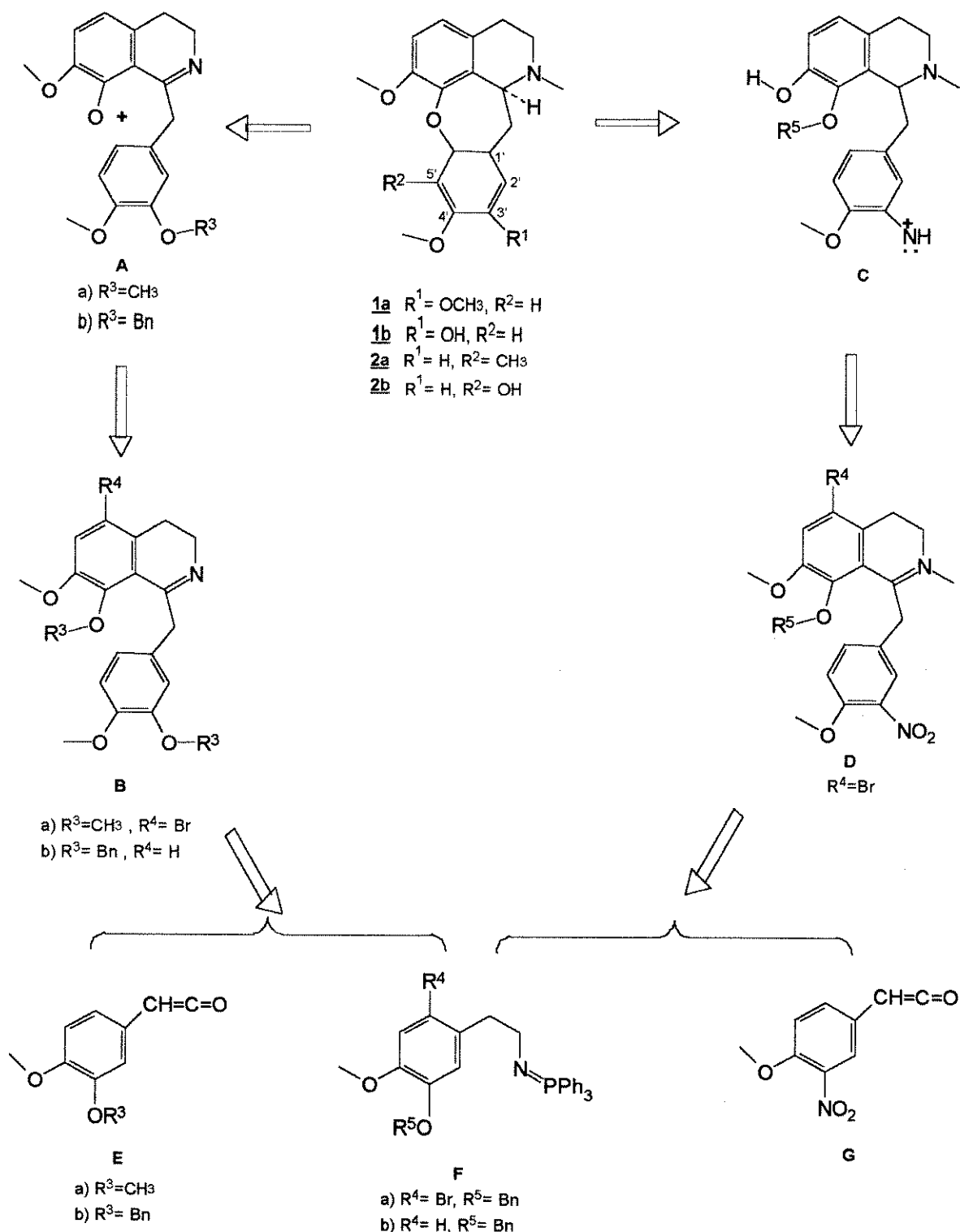
## 2.1- RETROSPECTIVA

Uma das etapas-chave na obtenção de alcalóides cularínicos e isocularínicos é a formação do sistema diidroxepina (sistema anelar de sete membros). Na literatura (citada na introdução), os métodos mais utilizados baseiam-se no acoplamento oxidativo fenólico na presença de ferricianeto de potássio  $[K_3Fe(CN)_6]$ , cujos rendimentos estão na faixa de 2 a 10%. Após fazermos a análise retrosintética da cularina 1 e isocularina 2, esquema 54, propusemos que a formação do sistema diidroxepina possa ocorrer através da oxidação intramolecular via intermediário ariloxênio ou arilnitrênio, que é uma reação inédita na obtenção de alcalóides cularínicos. Sugerimos estes dois mecanismos porque o grupo de pesquisa vem trabalhando há algum tempo com estes intermediários reativos.

Outra etapa chave na síntese de alcalóides cularínicos é a obtenção dos núcleos isoquinolínicos B e D. Na literatura (citada na introdução), as sínteses mais utilizadas ocorrem entre uma amina e um aldeído na presença de reagentes desidratantes fortes obtendo-se baixos rendimentos em alguns casos. Baseados nestas informações, propusemos que estes núcleos seriam obtidos através de uma reação *aza*-Wittig entre um ceteno (E ou G) e o iminofosforano F, tratando-se também de uma reação inédita na obtenção de núcleos isoquinolínicos.

Uma novidade empregada neste projeto é a metilação redutiva assimétrica de ( $\pm$ )-didesidronocularinas e ( $\pm$ )-didesidronorisocularinas em um único pote reacional para produzir alcalóides cularínicos e isocularínicos com bons rendimentos.

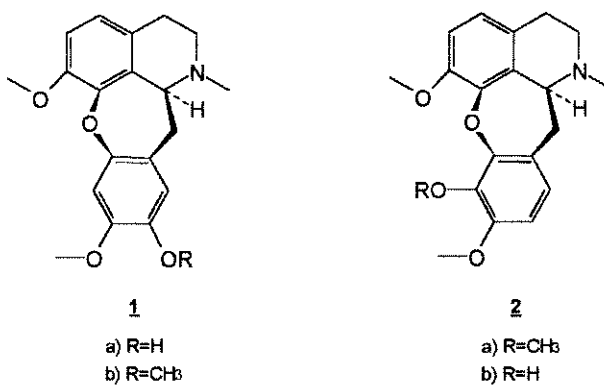
Esquema 54



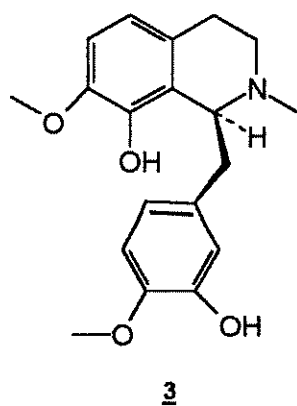
# CAPÍTULO 3

# OBJETIVOS

Tendo como base a análise retrossintética discutida no capítulo 2, realizamos um estudo inédito das reações de acoplamento oxidativo intramolecular através de duas rotas alternativas de síntese: uma via íon oxênio e outra via íon nitrônio, visando a obtenção dos alcalóides (+)-cularina 1.a, (+)-O-desmetilcularina 1.b, (+)-sarcocapnina 2.a, (+)-sarcocapnidina 2.b.



Foi também objetivo deste projeto a realização de metilações redutivas assimétricas no último estágio de síntese dos alcalóides 1 e 2, a qual também levará à obtenção de outro alcalóide: a (+)-crassifolina 3.



# CAPÍTULO 4

# OBTENÇÃO DOS INTERMEDIÁRIOS: IMINOFOSFORANOS E CETENOS

## 4.1 - PREPARAÇÃO DOS IMINOFOSFORANOS 244

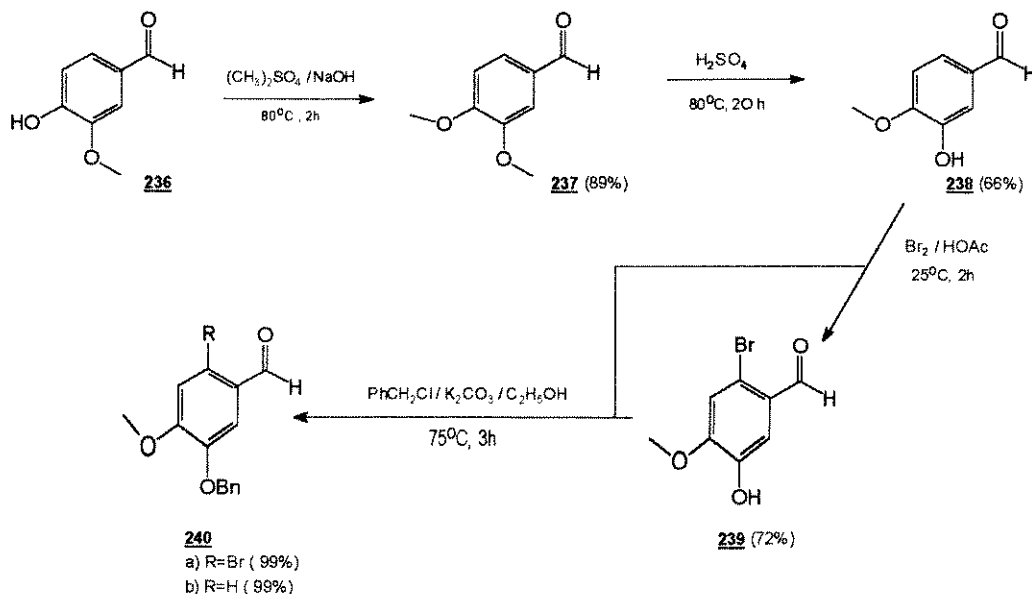
Os iminosfosforanos E, esquema 54, propostos na estratégia sintética, foram obtidos seguindo-se simultaneamente dois métodos: reação de Staudinger<sup>(38)</sup>, método 1 (a partir da amina 242) e reação de Mitsunobu<sup>(44,45)</sup>, método 2 (a partir do álcool 257), esquema 84. Ambos partiram de um intermediário comum, a vanilina 236, como mostrado no esquema 55.

A hidroxila da vanilina 236 foi metilada em sulfato de metila<sup>(114)</sup> para gerar o verataldeído 237 (p.f.= 43-44°C; lit.<sup>(114)</sup>: 43-44,5°C) [espectros de IV (E-1) e de RMN<sup>1</sup>H (E-2)] num rendimento de 89%.

O verataldeído 237 foi tratado com ácido sulfúrico concentrado<sup>(115)</sup> para gerar a isovanilina 238 (p.f.= 110-112°C; lit.<sup>(115)</sup>: 110-113°C). A clivagem etérea ocorreu no grupo metoxila em posição meta à função carbonílica, semelhantemente à clivagem ocorrida nos derivados aminocarbonílicos<sup>(115,116)</sup>. O espectro de 238 na região do IV (E-3) mostrou o aparecimento da banda  $\nu_{O-H}$  entre 3500-3040 cm<sup>-1</sup> e o espectro de RMN<sup>1</sup>H (E-4) apresentou um singuleto a 5,87 ppm referente a esta hidroxila.

A isovanilina 238 sofreu uma reação de bromação na presença de ácido acético<sup>(117)</sup>, produzindo a 6-bromoisovanilina 239 (p.f.= 112-113°C; lit.<sup>(117)</sup>: 112-114°C) [espectros de IV (E-5) e de RMN<sup>1</sup>H (E-6)]. Esta proteção no carbono C-6 é necessária para a etapa de ciclização. A hidroxila de 239 foi protegida através de uma reação de benzilação<sup>(118)</sup> produzindo o 3-benziloxi-4-metoxi-6-bromobenzaldeído 240.a (p.f.= 64-65°C) cujos espectros na região do IV (E-7) e de RMN<sup>1</sup>H (E-8) não apresentaram os sinais referentes à hidroxila. O composto 240.b foi obtido após uma reação de benzilação de 238.

Esquema 55



**Observação:** A rota global de síntese encontra-se nos esquemas 84 e 85, páginas 118 e 119, respectivamente.

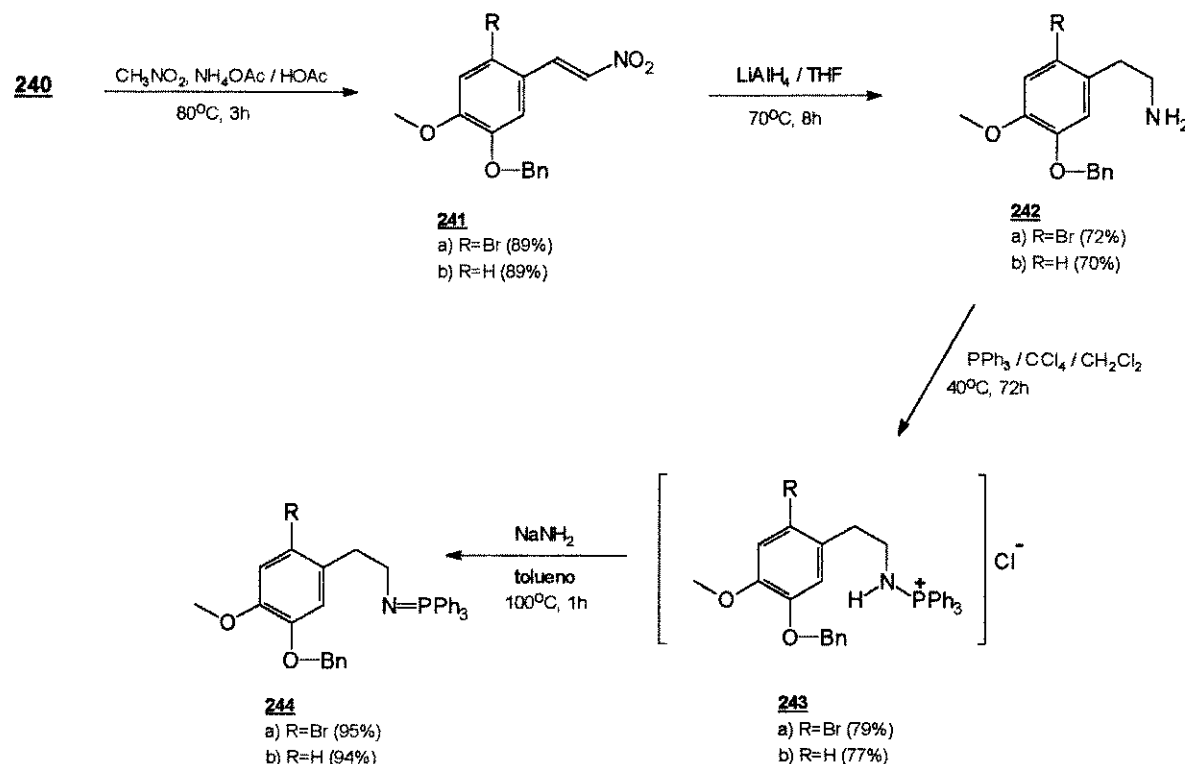
#### 4.1.1 - Método 1 - Reação de Staudinger<sup>(38,40,41,124)</sup>

Por este método, o iminofosforano **244** foi obtido transformando-se a amina **242** no sal de fosfônio **243**, esquema 56. Os dados espectrais apresentados são referentes à transformação **240.a → 244.a**.

Para se obter a amina **242**, primeiramente obtivemos o 3-benziloxi-4-metoxi-6-bromo- $\beta$ -nitrostireno **241** após uma reação de **240** com nitrometano na presença de tampão  $\text{NH}_4\text{OAc}/\text{HOAc}$ , através da condensação de Claisen-Shmidt<sup>(119)</sup>. O espectro na região do IV (E-9) apresentou uma absorção de deformação axial assimétrica a  $1485\text{ cm}^{-1}$  e a outra de deformação axial simétrica a  $1340\text{ cm}^{-1}$  (absorção característica do grupo  $-\text{NO}_2$ ). O espectro de RMN<sup>1</sup>H (E-10) apresentou dois dubletos a 8,30 ppm e 7,42 ppm ( $J_{\alpha,\beta} = 13\text{ Hz}$ ) referentes aos hidrogênios vinílicos  $\alpha$  e  $\beta$ , respectivamente, ao anel aromático.

A 3-benziloxi-4-metoxi-6-bromofenetilamina 242 foi obtida após uma reação de redução de 241 com hidreto de lítio e alumínio<sup>(120)</sup>. Seu espectro na região do IV (E-11) mostrou a ausência da absorção de deformação axial do C-H vinílico a  $3100\text{ cm}^{-1}$  e das duas bandas características do grupo nitro a  $1485\text{ cm}^{-1}$  e a  $1340\text{ cm}^{-1}$ , com o aparecimento da banda de deformação axial da ligação N-H a  $3379\text{ cm}^{-1}$ . O espectro de RMN<sup>1</sup>H (E-12) apresentou um singuleto a  $4,48\text{ ppm}$  referente aos 2 hidrogênios do grupo NH<sub>2</sub>, além do multiplet a  $2,90\text{ ppm}$  referente aos hidrogênios  $\alpha$  e  $\beta$  ao anel aromático.

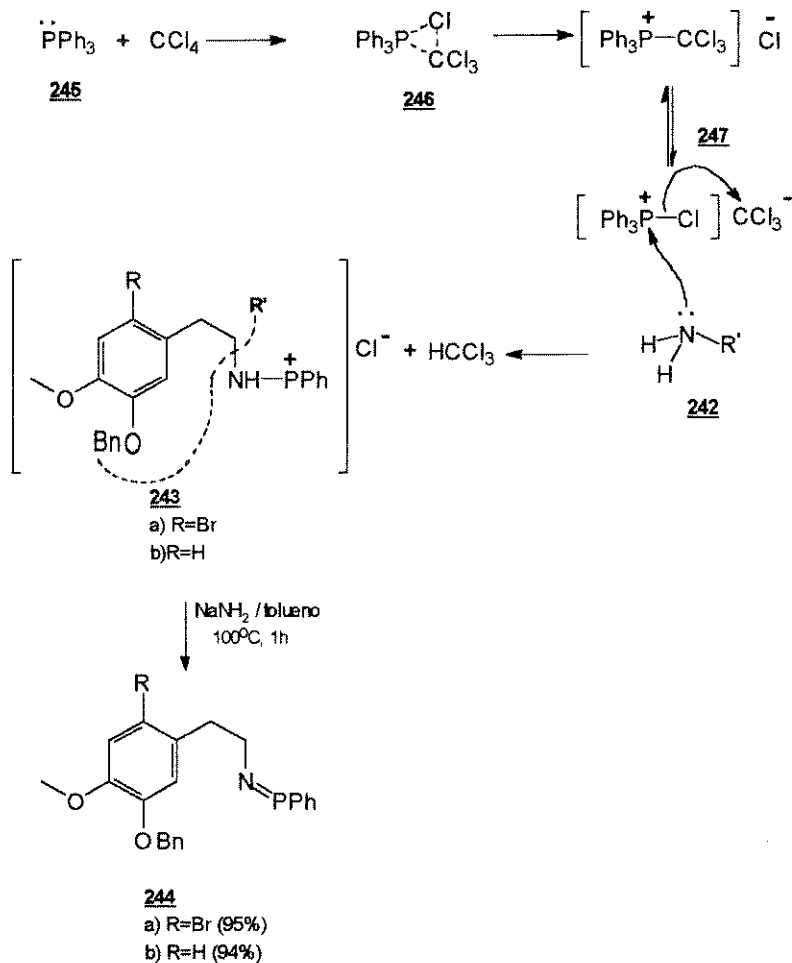
### Esquema 56



O sal de fosfônio 243 foi obtido reagindo-se a amina 242 com trifenilfosfina e tetracloreto de carbono anidro por 72 horas a 40°C<sup>(121)</sup>. Ele apresentou na região do IV (E-13) a vibração de deformação axial da ligação N-H entre 3600-3300 cm<sup>-1</sup>, a deformação da ligação C-P a 1430 cm<sup>-1</sup> e as da ligação N-P a 1180 cm<sup>-1</sup> e 1020 cm<sup>-1</sup><sup>(38,122-124)</sup>. Seu espectro de RMN<sup>1</sup>H (E-14) foi coerente com a estrutura obtida.

Através da reação de Staudinger<sup>(38,40,41,124)</sup>, esquema 57, ocorreu inicialmente a formação do sal de fosfônio quaternário 247, o qual sofreu um ataque nucleofílico da amina 242 para gerar o sal de fosfônio 243. Após uma reação de 243 com amideto de sódio<sup>(41)</sup>, obtivemos o 3-benziloxi-4-metoxi-6-bromofenetil-trifeniliminofosforano 244, um sólido amarelado (p.f.= 152-153°C), com 95% de rendimento. Ele apresentou na região do IV (E-15) a ausência da banda de deformação axial da ligação N-H (do sal de fosfônio 243, E-13) entre 3600-3300 cm<sup>-1</sup>, mantendo-se a deformação da ligação C-P a 1430 cm<sup>-1</sup> e as da ligação N-P a 1165 cm<sup>-1</sup> e 1020 cm<sup>-1</sup><sup>(38,122-124)</sup>. O espectro de RMN<sup>1</sup>H (E-16) apresentou um multipletos a 3,10 ppm (4 H); um singletos a 3,78 ppm (3 H); um singletos a 5,15 ppm (2 H); um singletos a 6,80 ppm (1 H) e um multipletos a 7,56 ppm (21 H).

Esquema 57

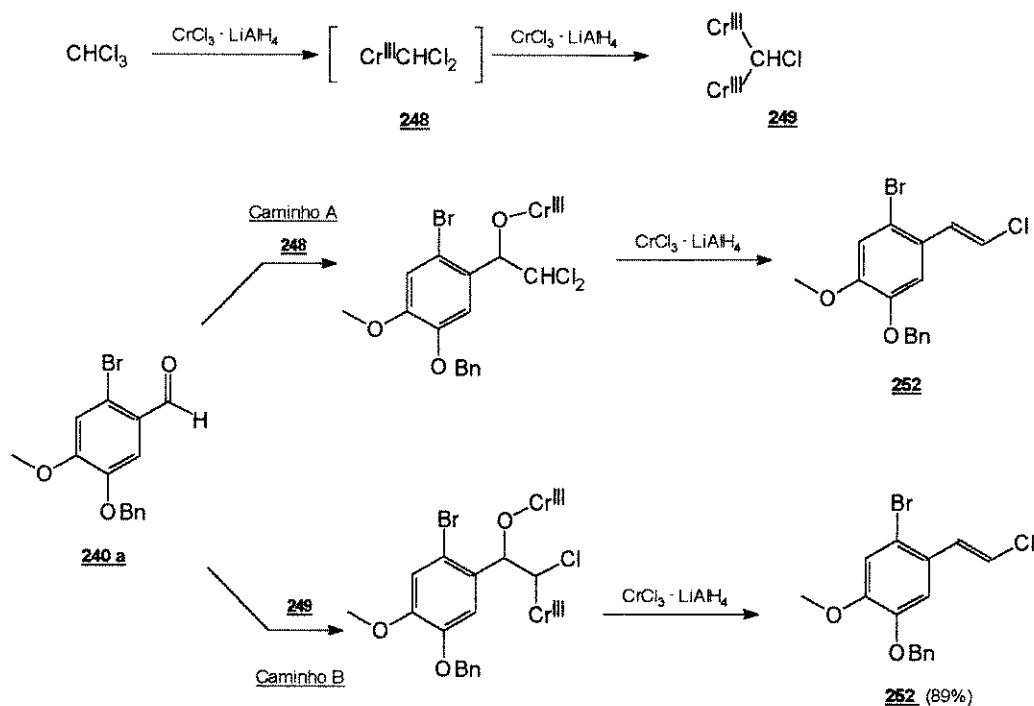


#### 4.1.2 - Método 2 - Reação de Mitsunobu<sup>(43-45)</sup>

Por este método, o iminofosforano 244.a foi obtido a partir do álcool 257. Para a obtenção deste álcool, primeiramente obtivemos o 3-benziloxi-4-metoxi-6-bromo- $\beta$ -cloroestireno 252 após uma reação de halometilação do aldeído 240.a, na presença de clorofórmio anidro e de um reagente organocrômio<sup>(125)</sup>, por 6 horas. O reagente de crômio de baixa valência foi gerado após uma reação do cloreto de crômio (III) anidro<sup>(126)</sup> e meio mol de hidreto de lítio e alumínio em THF anidro a  $0^\circ\text{C}$ . Nesta reação, o cloreto de crômio (III) foi reduzido para formar um reagente que comporta-se semelhantemente ao cloreto de crômio (II)<sup>(125,127,128)</sup>.

Existem duas possibilidades para se gerar espécies reativas da reação entre o CHCl<sub>3</sub> e o CrCl<sub>3</sub>-LiAlH<sub>4</sub>, esquema 58. Em uma delas ocorre a formação do dialocarbenóide de crômio 248 que levará ao caminho A, na outra ocorre a formação do carbodiânião 249 que levará ao caminho B. Os dados da literatura<sup>(125,127)</sup> revelam que a formação de (E)-haletos de vinila ocorra através da reação entre o aldeído e a espécie carbodiânião 249 (caminho B).

**Esquema 58**

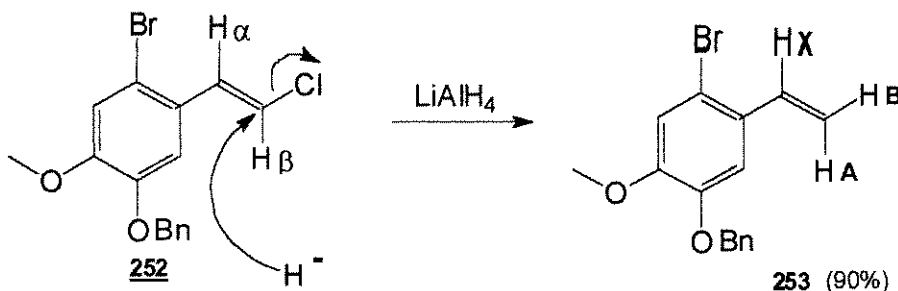


Os dados espectrais do composto 252 foram comparados com os dados do aldeído 240.a (E-7 e E-8). O espectro na região do IV (E-17) mostrou a ausência das bandas  $\nu_{C=O}$  e C-H do aldeído ( $1685\text{ cm}^{-1}$  e  $2840\text{ cm}^{-1}$ , respectivamente, E-7) e o aparecimento das absorções de deformação axial do C-H vinílico a  $3060\text{ cm}^{-1}$  e  $3010\text{ cm}^{-1}$ . O espectro de RMN<sup>1</sup>H (E-18) mostrou a ausência do singuleto a  $10,20\text{ ppm}$ , referente ao hidrogênio da função carbonílica do aldeído 7 (E-8), com o aparecimento de dois doubletos a  $6,35\text{ ppm}$

( $H_{\alpha}$ ,  $J_{\alpha,\beta} = 13,5$  Hz), confirmando a presença exclusiva do isômero E.

O 3-benziloxi-4-metoxi-6-bromoestireno 253, foi obtido após uma reação de desalogenação de 252, na presença de hidreto de lítio e alumínio e THF anidro<sup>(129,130)</sup>, por 8 horas, através de um mecanismo de adição/eliminação, esquema 59. Seu espectro de RMN<sup>1</sup>H (E-20) apresenta um sistema ABX onde o próton X a 6,97 ppm (fortemente desprotegido pelo anel) acopla-se com o próton A ( $J_{XA} = 18$  Hz) e com o próton B ( $J_{XB} = 8,2$  Hz) desdobrando-se num duplo díngulo. O próton A a 6,73 ppm (duplo díngulo) acopla-se com o próton X ( $J_{AX} = 18$  Hz) e com o próton B ( $J_{AB} = 2,7$  Hz). O próton B a 6,57 ppm (duplo díngulo) acopla-se com o próton X ( $J_{BX} = 8,2$  Hz) e com o próton A ( $J_{BA} = 2,7$  Hz). Seu espectro na região do IV (E-19) foi coerente com a estrutura obtida.

**Esquema 59**



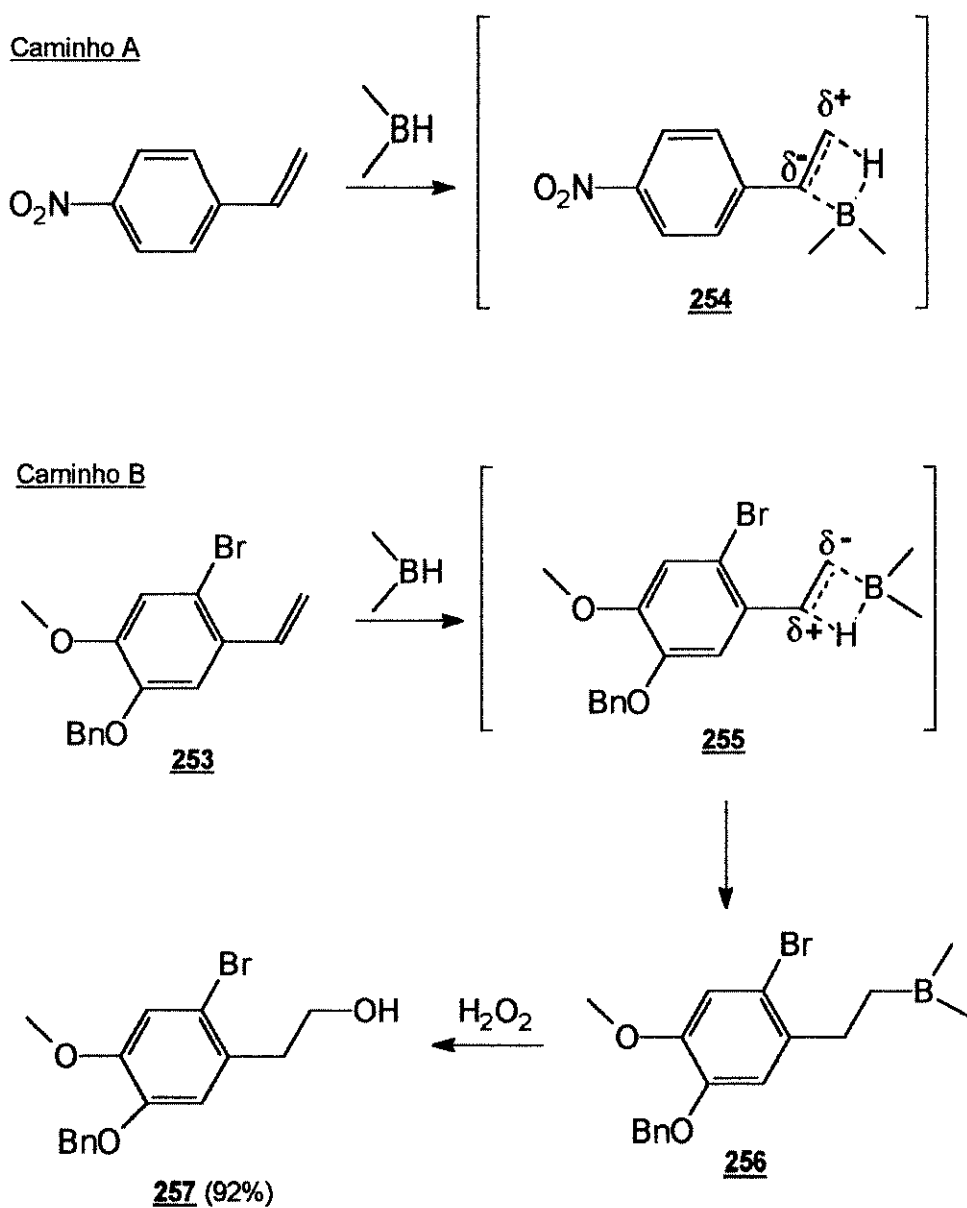
O 3-benziloxi-4-metoxi-6-bromofenetylálcool 257, foi obtido após o tratamento do alqueno 253 com a combinação  $\text{SnCl}_4\text{-NaBH}_4$  em THF anidro através de uma reação de hidroboração. O acoplamento de  $\text{SnCl}_4$  com  $\text{NaBH}_4$  leva à formação de um complexo estanho-borano de baixa valência<sup>(131,132)</sup>.

O rendimento da reação depende do tempo de reação entre a mistura  $\text{SnCl}_4$  e  $\text{NaBH}_4$ <sup>(132)</sup>. No nosso trabalho esta mistura reagiu durante um período de 3 horas à temperatura ambiente. Fizemos isso para evitar a formação de alcanos<sup>(132)</sup>.

A razão molar de substrato: $\text{SnCl}_4\text{:NaBH}_4$  foi de 1:1:4 e a reação foi feita à temperatura ambiente por um período de 7 horas<sup>(131)</sup>.

A adição de borano na olefina 253, envolve um estado de transição de quatro membros e o efeito dos substituintes, na direção de adição, é determinada pela influência de dois possíveis estados de transição, caminhos A e B, esquema 60.

**Esquema 60**



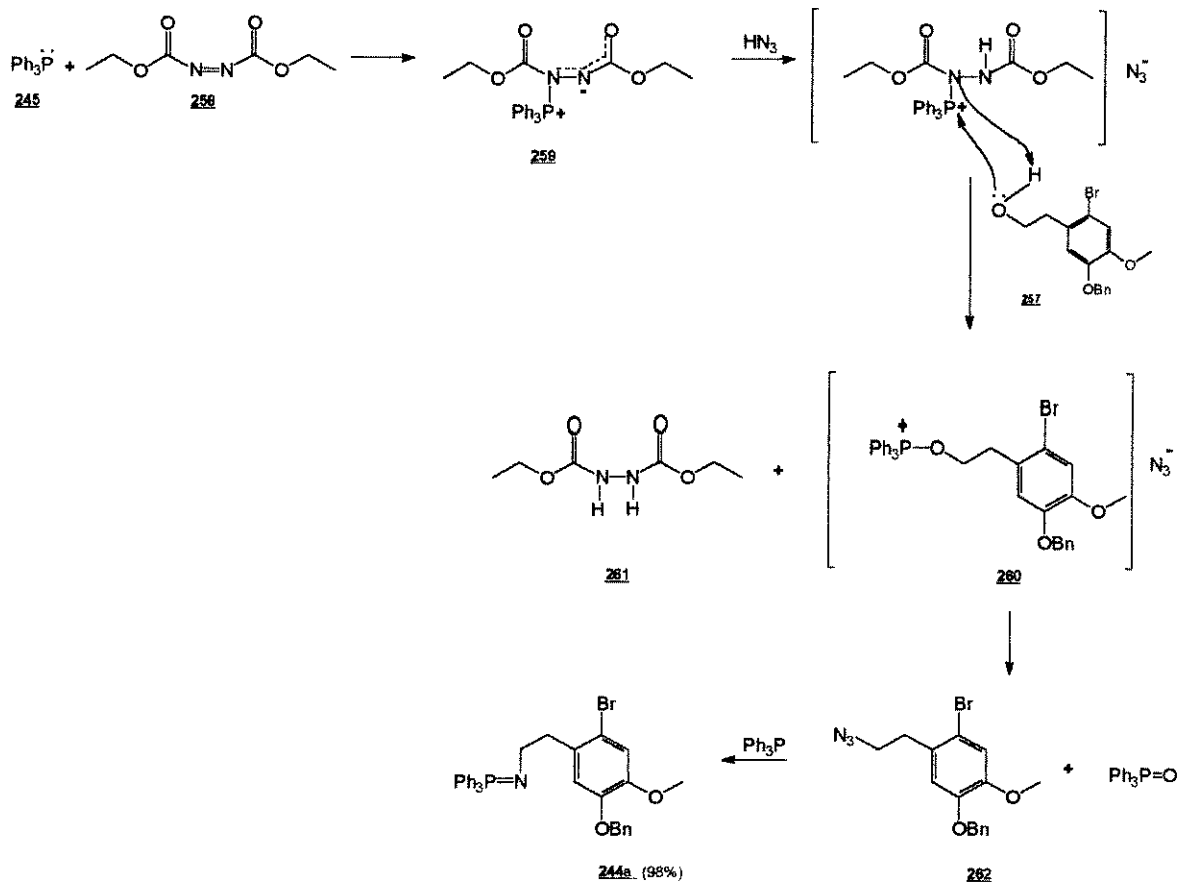
Um grupo retirador de elétrons, tal como *para*-nitro, favorece o estado de transição formado pelo caminho A, resultando num aumento de adição de boro na posição  $\alpha$  do anel(133,134).

Em nossa síntese temos um grupo p-metoxi, doador de elétrons, o qual favorece o estado de transição formado pelo caminho B e diminui a adição de boro na posição  $\alpha$  do anel. A hidroxila foi introduzida numa direção anti-Markovnikov(131,134).

O álcool 257 apresentou na região do IV (E-21) a ausência da absorção de deformação axial do C-H vinílico ( $3080\text{ cm}^{-1}$ , E-19, composto 253) e o aparecimento da banda  $\nu_{O-H}$  entre  $3600\text{-}3200\text{ cm}^{-1}$ . O espectro de RMN<sup>1</sup>H (E-22) mostrou a ausência dos prótons vinílicos e o aparecimento de dois triplets a  $2,65\text{ ppm}$  ( $2\text{H}$ , Ar-CH<sub>2</sub>) e a  $3,63\text{ ppm}$  ( $2\text{H}$ , -CH<sub>2</sub>-OH).

O iminofosforano 244.a foi obtido após uma reação de Mitsunobu<sup>(43)</sup> entre o álcool 257 e um componente ácido na presença do sistema trifenilfosfina-azodicarboxilato de dietila, 245-258, em THF anidro, esquema 61. A reação foi feita num único pote à temperatura de  $65^{\circ}\text{C}$ , por 7 horas. Inicialmente, o álcool 257 foi convertido na azida 262, a qual sofreu uma reação de Staudinger<sup>(38,41)</sup>, *in situ*, com a trifenilfosfina para gerar, após a perda de nitrogênio, o iminofosforano 244.a<sup>(43-45)</sup> com um rendimento de 98%. Seus dados físicos e espectroscópicos foram coerentes aos dados obtidos de sua síntese via reação de Staudinger [espectros de IV (E-15) e de RMN<sup>1</sup>H (E-16)].

Esquema 61



A função do azidocarboxilato de dietila 258 é de ativar a trifenilfosfina 245 para um ataque nucleofílico do álcool 257. Inicialmente ocorre<sup>(43)</sup>:

- formação do sal de fosfônio quaternário 259;
- protonação de 259;
- formação do sal alcoxifosfônio 260;
- deslocamento tipo  $S_N2$  da espécie resultante 260;
- reação de Staudinger, *in situ*, da azida 262 com a trifenilfosfina, adicionada em excesso.

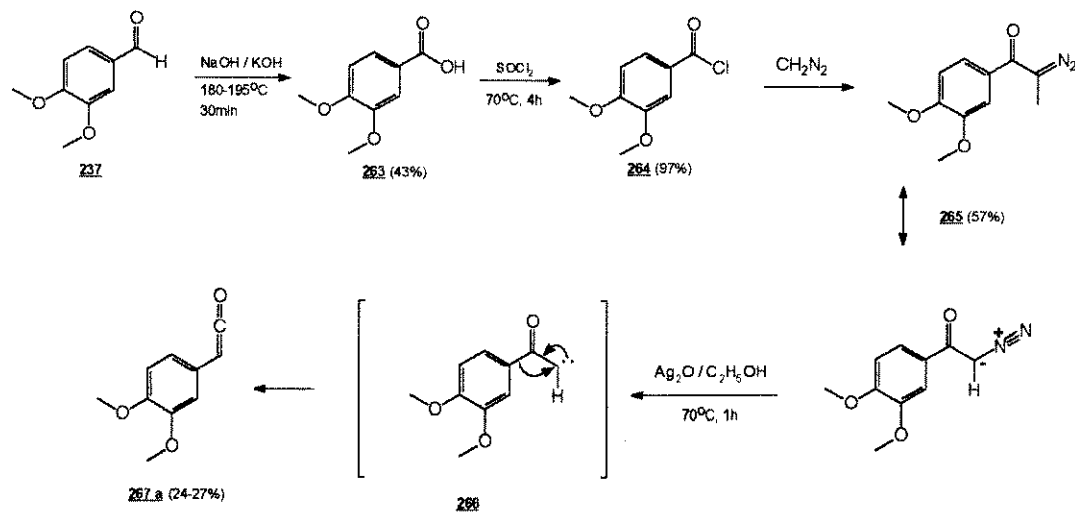
Nestas condições ativadas, o ácido hidrazóico,  $\text{HN}_3$ <sup>(135)</sup>, serve de portador de íon azoteto<sup>(136)</sup>.

## 4.2 - Preparação dos Cetenos 267

Os heterocumulenos  $\alpha$ ,  $\beta$  insaturados tais como cetenos, isocianatos, isotiocianatos e cetiminas são muito usados como intermediários sintéticos na preparação de compostos heterocíclicos<sup>(46-49)</sup>. Dentre estes o ceteno é o de nosso interesse, pois através de uma reação aza-Wittig entre este e o iminofosforano 244 obteremos os núcleos isoquinolínicos desejados.

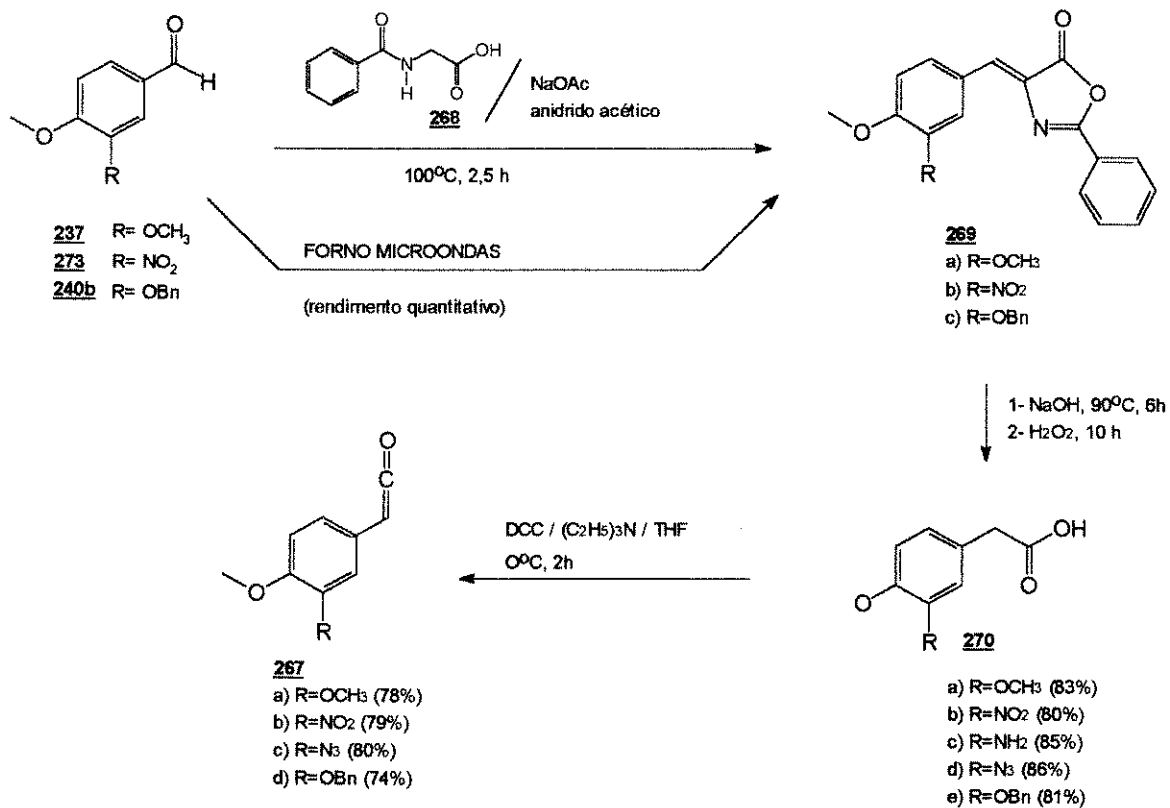
Os cetenos E e G, esquema 54, propostos na estratégia sintética, foram inicialmente obtidos a partir de  $\alpha$ -diao-cetonas através do rearranjo de Wolff, na presença de óxido de prata<sup>(137)</sup>, esquema 62. Assim, o veratraldeído 237 foi oxidado, reação de Cannizzaro, para o ácido verátrico 263 (43%), após uma reação com uma mistura de hidróxido de sódio e hidróxido de potássio numa temperatura de 180-195°C<sup>(138)</sup>. O ácido 263 foi transformado ao cloreto de 3,4-dimetoxibenzoila 264<sup>(139)</sup> (97%), o qual reage com uma solução etérea de diazometano<sup>(140)</sup> para dar origem à 3,4-dimetoxibenzil- $\alpha$ -diao-cetona 265<sup>(141,142)</sup> (57%), um sólido higroscópico. Este último deu origem ao ceteno 267.a (24%-27%), cujo mecanismo envolve a perda de nitrogênio gerando o ceto-carbeno 266 que se rearranja posteriormente ao ceteno 267.a<sup>(137)</sup> (27%).

Esquema 62



Devido aos baixos rendimentos obtidos nesta rota sintética, empregamos um outro método de síntese, esquema 63, o qual baseia-se inicialmente na obtenção das oxazolonas **269** (a partir de aldeídos aromáticos)<sup>(143-145)</sup> que darão origem aos respectivos ácidos. Estes sofrerão uma reação de desidratação intramolecular para fornecer os cetenos desejados<sup>(146)</sup>.

**Esquema 63**

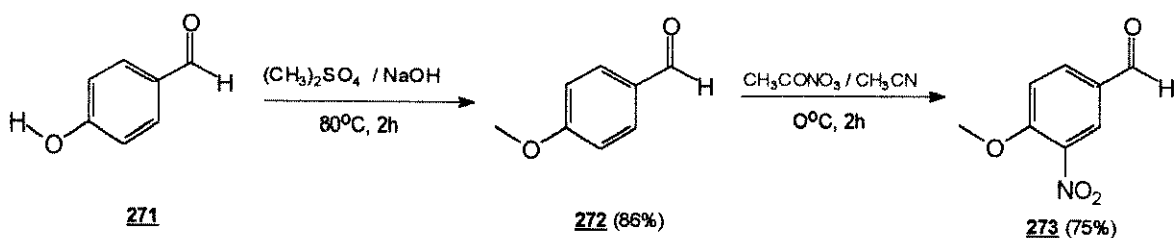


Para se obter as oxazolonas 269, preparamos inicialmente o ácido hipúrico 268<sup>(147)</sup>, um sólido branco (p.f.= 186-187°C; lit.<sup>(147)</sup>: 186-187°C) [espectro de IV (E-23)], o qual reagindo-se inicialmente com o veratraldeído 237 na presença de acetato de sódio e anidrido acético<sup>(143)</sup> a 100°C, por 2 horas e meia, esquema 63, forneceu o ácido acrílico da azalactona do  $\alpha$ -benzoylamino- $\beta$ -(3,4-dimetoxifenila) 269.a, um sólido amarelo (p.f.= 151-152°C; lit.<sup>(143)</sup>: 151-152°C), com 76% de rendimento.

Esta oxazolona também foi obtida de uma reação realizada em forno microondas, onde 237, 268 e acetato de sódio foram misturados de forma homogênea e a mistura resultante levada ao forno microondas<sup>(144,145)</sup> por 10 minutos. A oxazolona 269.a foi obtida com rendimento quantitativo. Ela mostrou na região do IV (E-24) um par de bandas a 1784 cm<sup>-1</sup> e 1766 cm<sup>-1</sup> (-COOR) e outra banda a 1650 cm<sup>-1</sup> (C=N). Seu espectro de RMN<sup>1</sup>H (E-25) foi coerente com a estrutura obtida. Através da reação no forno microondas, obtivemos as oxazolonas 269.b [espectros de IV (E-34) e de RMN<sup>1</sup>H (E-35)] e 269.c [espectros de IV (E-46) e de RMN<sup>1</sup>H (E-47)], ambas com rendimentos quantitativos, esquema 63.

A obtenção de 273 que deu origem à oxazolona 269.b, iniciou-se com a metilação<sup>(114)</sup> do *para*-hidroxibenzaldeído 271 para gerar o *para*-metoxibenzaldeído 272 (86%) [espectro de IV (E-30) e de RMN<sup>1</sup>H (E-31)], esquema 64. Este sofreu uma reação de nitração, na presença de nitrato de acetila<sup>(148)</sup>, para produzir o 3-nitro-4-metoxibenzoaldeído 273 (73%), um sólido amarelo (p.f.= 72-73°C) [espectro de IV (E-32) e de RMN<sup>1</sup>H (E-33)].

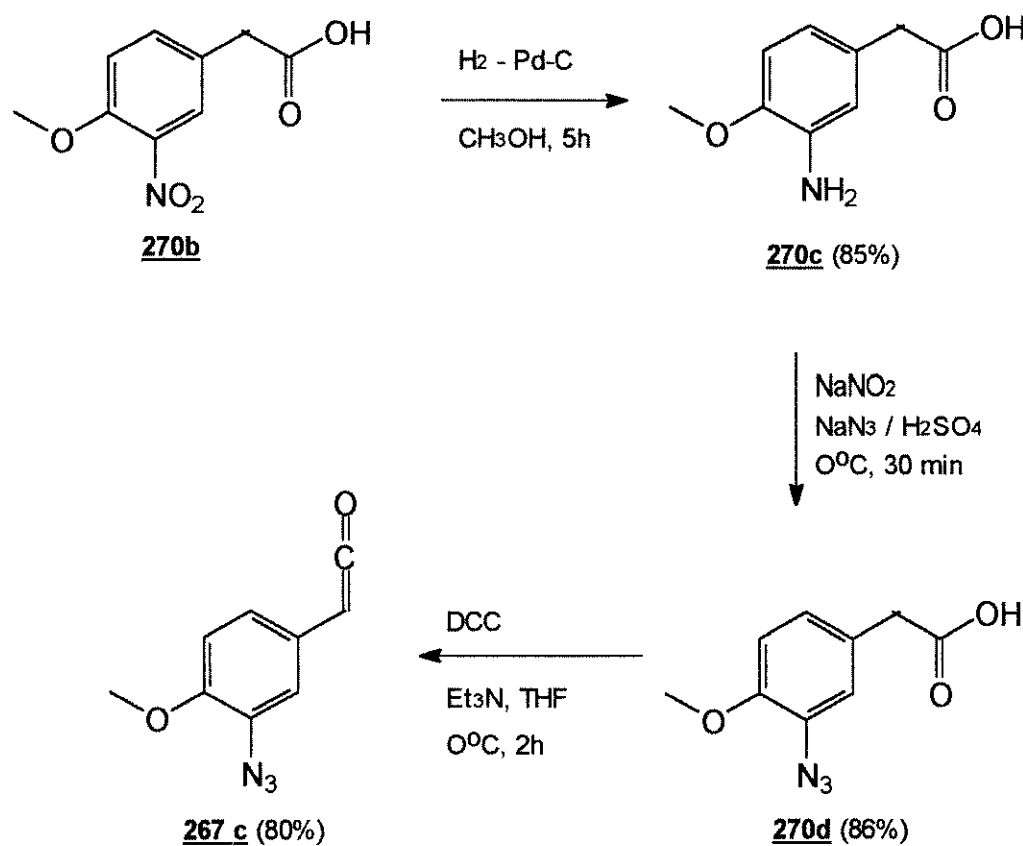
Esquema 64



Os ácidos 270 foram obtidos após uma reação das oxazolonas 269 com hidróxido de sódio, seguida de uma posterior adição de peróxido de hidrogênio<sup>(149)</sup>, esquema 63 . Os espectros na região do IV [270.a (E-26), 270.b (E-36) e 270.e (E-48)] mostraram a vibração de deformação axial da hidroxila do ácido entre 3600-2900 cm<sup>-1</sup> e o estiramento  $\nu_{C=O}$  a 1710 cm<sup>-1</sup>. Os espectros de RMN<sup>1</sup>H [270.a (E-27), 270.b (E-37) e 270.e (E-49)] apresentaram um singuleto na região de 11 ppm referente ao hidrogênio do grupo carboxílico.

Os cetonos 267, esquema 63, foram obtidos após uma reação de desidratação intramolecular dos ácidos 270.a,b,d,e na presença de dicicloexilcarbodiimida e quantidades catalíticas de trietilamina a 0°C sob nitrogênio<sup>(146)</sup>. Os espectros na região do IV [267.a (E-28), 267.b (E-38), 267.c (E-44) e 267.d (E-50)] mostraram o estiramento da ligação CH=C=O na região de 2118 cm<sup>-1</sup>. Os espectros de RMN<sup>1</sup>H [267.a (E-29), 267.b (E-39), 267.c (E-45) e 267.d (E-51)] foram coerentes com as estruturas obtidas.

A obtenção do ceteno 267.c iniciou-se a partir do ácido 270.b, o qual sofreu uma reação de hidrogenação catalítica onde o grupo nitro foi reduzido a uma amina<sup>(150)</sup>, ou seja, ao ácido 3-amino-*para*-homoanísico 270.c (85%) [espectros de IV (E-40) e de RMN<sup>1</sup>H (E-41)]. Este ácido foi submetido a uma reação de diazotação do grupo amino, na presença de nitrito de sódio, azoteto de sódio e ácido sulfúrico<sup>(151,152)</sup>, produzindo o ácido 3-azido-*para*-homoanísico 270.d (86%)[espectros de IV (E-42) e de RMN<sup>1</sup>H (E-43)], o qual deu origem ao ceteno 267.c (80%), esquema 65.

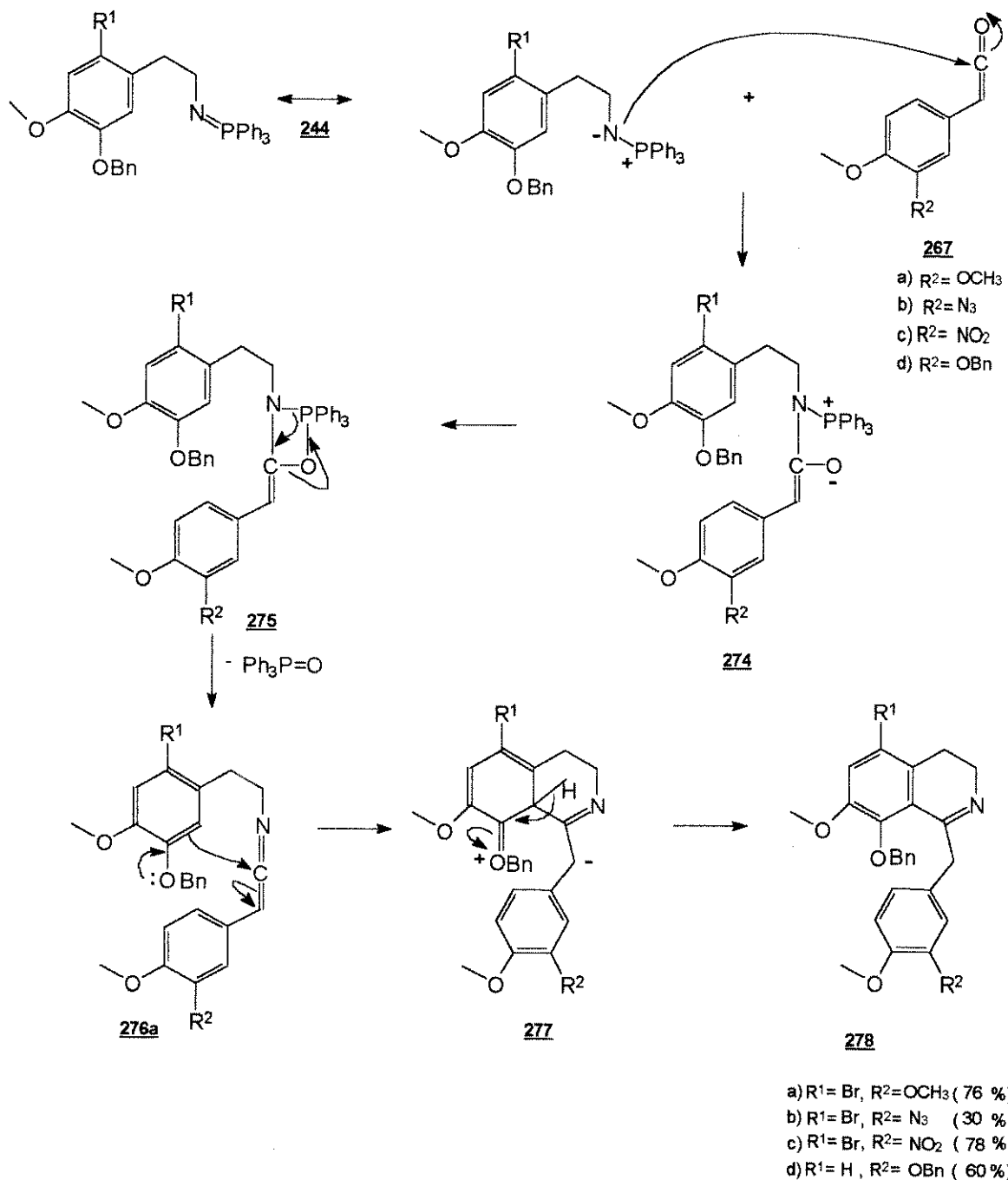
**Esquema 65**

# CAPÍTULO 5

## **OBTENÇÃO DAS 1-Benzil-8-Benziloxi-7-Metoxi-3,4-Diidroisoquinolinas 278 ATRAVÉS DA REAÇÃO AZA-WITTIG**

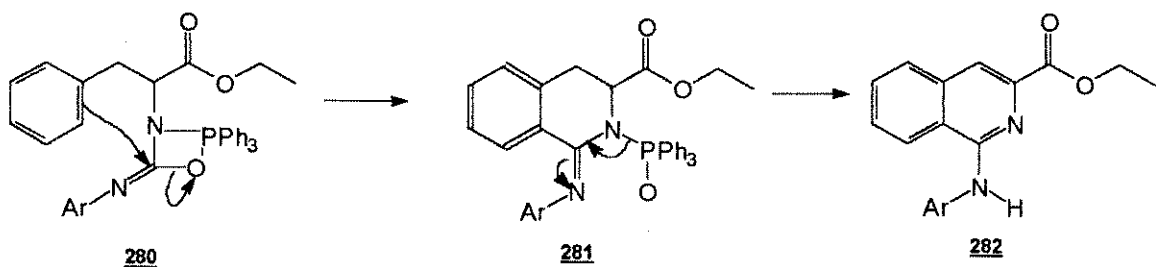
Uma das etapas chave na síntese de alcalóides cularínicos, proposta na estratégia sintética, é a obtenção dos núcleos isoquinolínicos B e D, esquema 54, através de um método inédito que é a reação *aza*-Wittig<sup>(38,39,153)</sup> entre um iminofosforano e um ceteno. A reação entre estes dois intermediários, mostrada no esquema 66, foi feita em tolueno na temperatura de 75°C<sup>(48)</sup> por 14 horas, onde inicialmente ocorreu a formação de uma espécie altamente reativa, a ceteno-imina 276.a, a qual sofreu um ataque nucleofílico intramolecular do anel aromático sobre o carbono hibridizado sp, ocorrendo daí o fechamento heterocíclico, durante o tratamento térmico, com a formação das 3,4-diidroisoquinolinas 278.a (76%), 278.b (30%), 278.c (78%) e 278.d (60%). Estas foram obtidas na forma de precipitados, os quais foram recristalizados em éter de petróleo.

Esquema 66



O ataque nucleofílico sofrido pela ceteno-imina 276.a é semelhante ao ataque nucleofílico sofrido pela carbodiimida 280, esquema 67, também nas sínteses de isoquinolinas<sup>(48)</sup>.

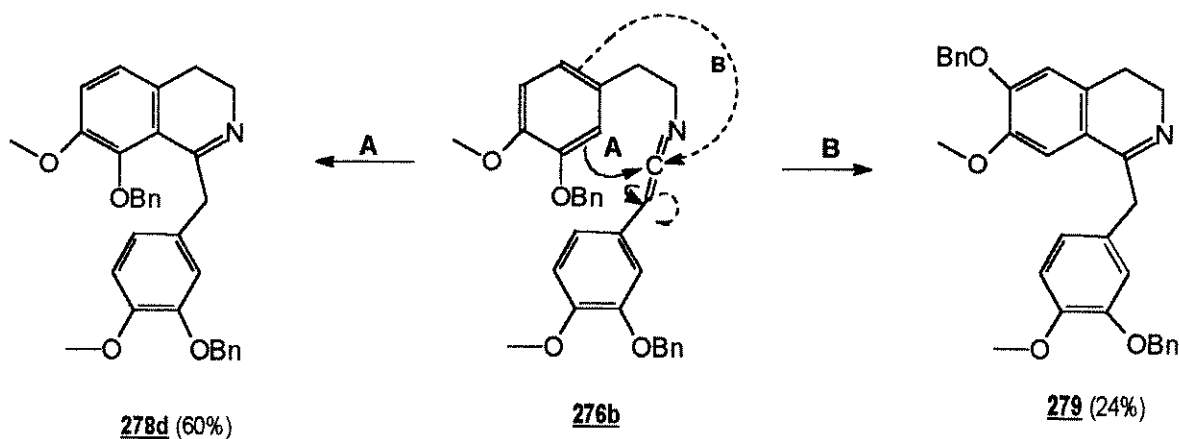
### Esquema 67



A diidroisoquinolina 278.b foi obtida paralelamente à 278.c porque queríamos evitar várias reações no núcleo isoquinolínico, uma vez que 278.b estaria mais próxima de se transformar na cularina 1.a. Infelizmente ela foi obtida com um rendimento muito baixo (30%).

A presença de bromo em C-6 do anel aromático do iminofosforano 244 foi planejada de modo a evitar que o fechamento heterocíclico da ceteno-imina 276.a ocorresse numa posição indesejada como em 276.b, esquema 68. Esta ceteno-imina possui duas posições possíveis de fechamento heterocíclico. O caminho **a** levou à formação da 1-benzil-8-benziloxi-7-metoxi-3,4-diidroisoquinolina 278.d (60%) e o caminho **b** levou à formação da 1-benzil-6-benziloxi-7-metoxi-3,4-diidroisoquinolina 279 (24%), um intermediário na síntese do alcalóide (-)-laudanosina 49. O composto 278.d dará origem a alcalóides cularínicos 1, isocularínicos 2 e à crassifolina 3.

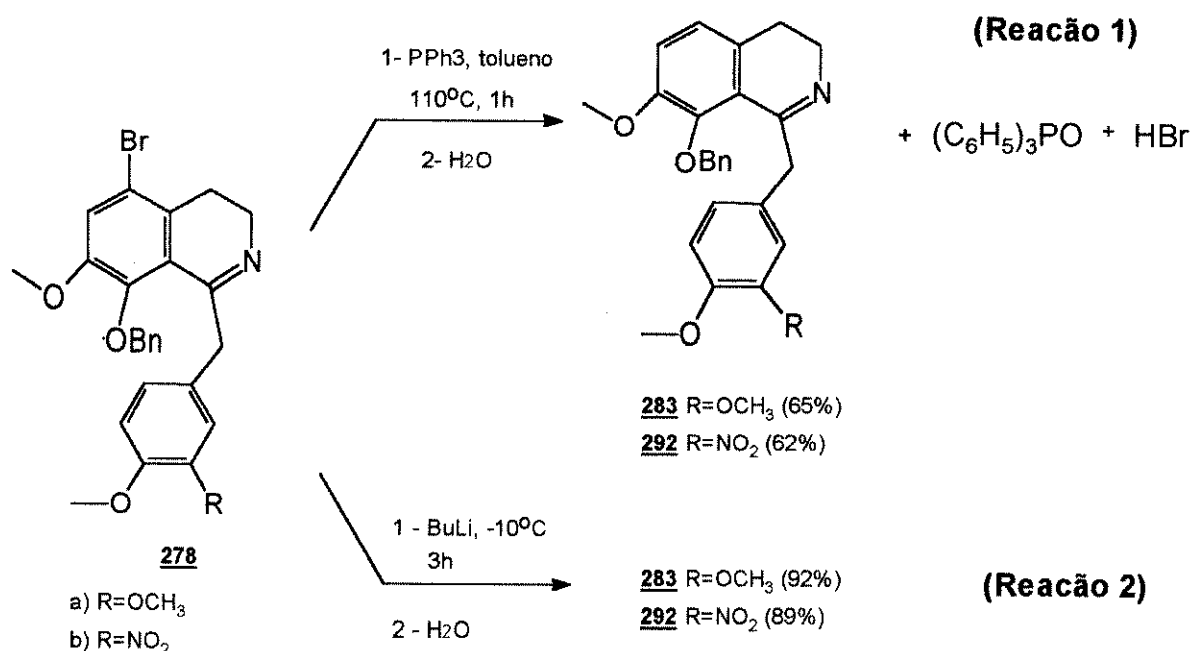
Esquema 68



Os espectros na região do IV mostraram o estiramento  $\nu_{C=N}^{(109)}$  a  $1627\text{ cm}^{-1}$  [278.a (E-54)], a  $1623\text{ cm}^{-1}$  [278.b (E-52)], a  $1622\text{ cm}^{-1}$  [278.c (E-65)], a  $1623\text{ cm}^{-1}$  [278.d (E-84) e 279 (E-86)], características em 3,4-diidroisoquinolinas, as quais foram confirmadas pela análise elementar e pelos espectros de RMN<sup>1</sup>H<sup>(29)</sup> [278.a (E-55); 278.b (E-53); 278.c (E-66), 278.d (E-85) e 279 (E-87)] e de RMN<sup>13</sup>C<sup>(29,154)</sup> [278.a (E-56) e 278.c (E-67)].

Nos métodos de síntese de alcalóides cularínicos (citados na introdução) a metilação redutiva, normal ou assimétrica, da ligação C=N é realizada logo após a obtenção das 3,4-diidroisoquinolinas. De acordo com nossos objetivos propostos, esta reação será feita na etapa final após a obtenção dos sistemas diidroxepínicos (sistema anelar de 7 membros). Assim, as 3,4-diidroisoquinolinas 278.a e 279.c, foram submetidas a uma reação de desalogenação do anel aromático, esquema 69, na presença de trifenilfosfina e tolueno a  $110^\circ\text{C}^{(155)}$ , por 10 horas (reação 1). Após este período, a adição de água favoreceu a formação de ácido bromídico e de óxido de trifenilfosfina. As 3,4-diidroisoquinolinas 283 e 292 foram obtidas com rendimentos de 65 e 62%, respectivamente. Diante destes resultados, realizamos novamente esta reação, na presença de butil-lítio<sup>(156,157)</sup>, onde as 3,4-diidroisoquinolinas 283 e 292 foram obtidas com rendimentos de 92 e 89%, respectivamente.

Esquema 69



Os espectros na região do IV mostraram o estiramento  $\nu_{C=N}$  a 1627 cm<sup>-1</sup> [283 (E-57)] e a 1622 cm<sup>-1</sup> [292 (E-68)] e os espectros de RMN<sup>1</sup>H mostraram em 283 (E-58) e em 292 (E-69) a presença de mais um díngulo (1H), confirmado a ocorrência da desalogenação.

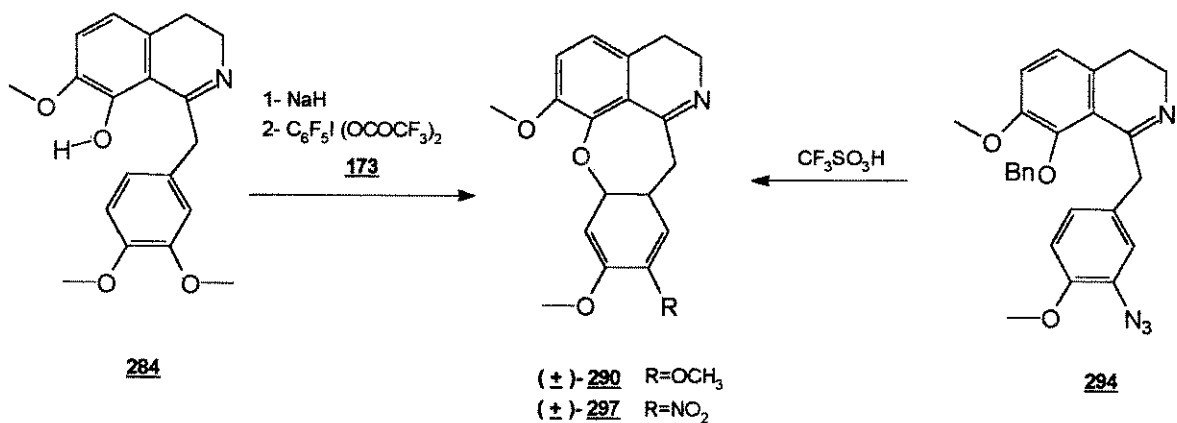
# **CAPÍTULO 6**

# SÍNTESE DA ( $\pm$ )-Didesidronorcularina 290

## VIA ÍON OXÊNIO E VIA ÍON NITRÊNIO

A segunda etapa chave na obtenção de alcalóides cularínicos, proposta em nossos objetivos, é a obtenção do sistema diidroxepina (anel de sete membros), através de duas rotas alternativas de síntese: uma via íon ariloxênio e outra via íon arilnitrênio<sup>(64,84,87,89)</sup>.

A síntese via íon ariloxênio ocorreu no núcleo isoquinolínico 284 e a síntese via íon arilnitrênia ocorreu no núcleo isoquinolínico , figura 11. Igual ao que ocorre na cularina 1, figura 1, os compostos ( $\pm$ )-290 e ( $\pm$ )-297 são dobrados em torno da ligação O···CH<sub>2</sub> axial , do anel de sete membros sendo cada um deles isômeros conformacionais, em consequência disso eles são axialmente quirais.



**Figura 11 - 3,4-Diidroisoquinolinas que levarão à formação do sistema diidroxepina de ( $\pm$ )-290 e ( $\pm$ )-297.**

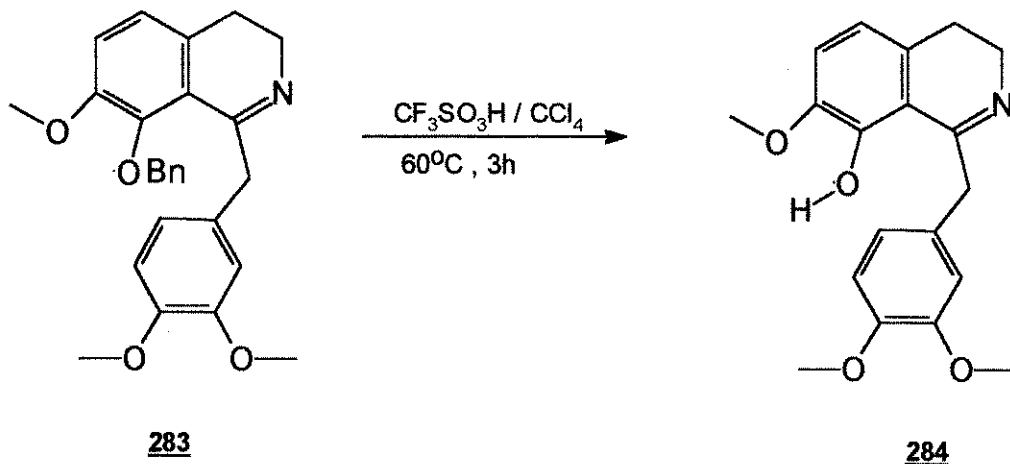
Este novo método de obtenção da ligação diaril-éter, empregada neste trabalho de pesquisa, visou explorar métodos mais suaves para aproveitar o potencial destes intermediários reativos na formação do sistema diidroxepina, uma vez que os íons ariloxênios sofrem o mesmo tipo de ataque nucleofílico como os correspondentes íons arilnitrênios<sup>(64,84,87,89)</sup>. Estes métodos oferecem vantagens aparentemente consideráveis na síntese de sistemas anelares de sete membros, e provavelmente também para anéis maiores.

e diferem totalmente dos métodos existentes até hoje na literatura, os quais envolvem reações de oxidação fenólica ou condensação de Ullmann<sup>(2,3,29)</sup>.

## 6.1 - Síntese Via Íon Ariloxênio

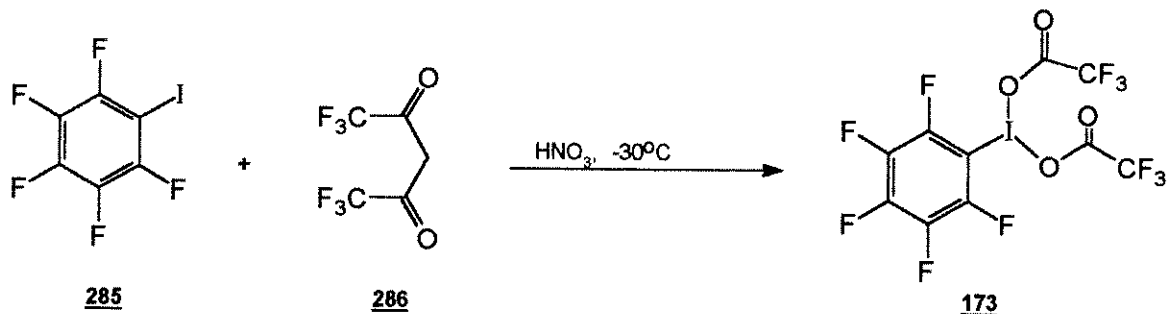
O acoplamento oxidativo intramolecular, via íon ariloxênio<sup>(87,90,91)</sup>, ocorrerá na 3,4-diidroisoquinolina 284, figura 11. Esta foi obtida, num rendimento de 83%, após uma reação de desbenzilação de 283, na presença de quantidades catalíticas de ácido trifílico<sup>(158-160)</sup>, esquema 70. O espectro de 284 na região do IV (E-59) mostrou as bandas ( $\nu_{O-H}$ ) a  $3437\text{ cm}^{-1}$  e ( $C=N$ ) a  $1626\text{ cm}^{-1}$  enquanto o espectro de RMN<sup>1</sup>H (E-60) apresentou um singuleto (1H,  $-OH$ ) a 4,85 ppm.

**Esquema 70**



Para favorecer a formação do íon ariloxênio em 284 preparamos o reagente de oxidação  $[\text{C}_6\text{F}_5\text{I}(\text{OCOCF}_3)_2]$  173 (em 93% de rendimento), após uma reação entre o iodopentafluorobenzeno 285 e anidrido trifluoroacético 286 na presença de ácido nítrico<sup>(161)</sup>, esquema 71 o qual apresentou-se como um sólido branco (p.f.= 118-120°C; lit.<sup>(161)</sup>: 119-120°C).

**Esquema 71**



Para se obter a  $(\pm)$ -didesidronorcularina 290, fizemos várias tentativas de síntese<sup>(90,162,163)</sup>, tabela 1, empregando-se a mesma razão molar entre 284 e 173 (1:1). A reação foi acompanhada por c.c.d., onde verificamos que após 2 horas de reação não mais ocorria a formação de produto, sendo a temperatura o fator predominante da reação. O rendimento do produto ciclizado teve um aumento significativo com a diminuição da temperatura de  $10^\circ\text{C}$  (30%) para  $-10^\circ\text{C}$  (87%).

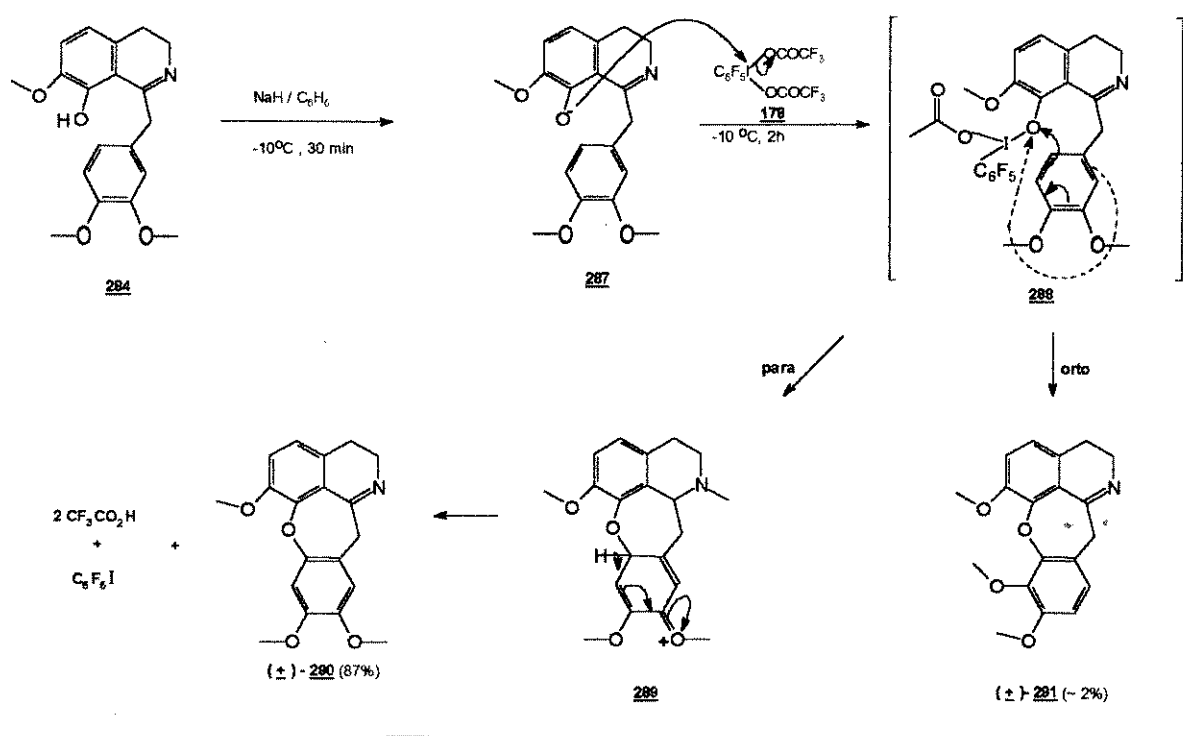
**Tabela 1 - Condições de síntese da  $(\pm)$ -didesidronorcularina 290.**

Reação	Temperatura ( $^\circ\text{C}$ )	Tempo (h)	Rendimento (%)
1	5 – 10	2	30
2	0	2	54
3	-10 – -8	2	87
4	-10 – -8	4	87

Na formação de  $(\pm)$ -290, esquema 72, gerou-se inicialmente o fenolato 287, a  $-10^\circ\text{C}$ , o qual foi adicionado ao  $\text{C}_6\text{F}_5\text{I}(\text{OCOCF}_3)_2$  173, sob diferentes temperaturas, para produzir o intermediário 288<sup>(31,32,38,81,83,84)</sup>. Este intermediário deu origem ao íon ariloxênio  $\text{ArO}^+$  que levou à formação da ligação intramolecular C–O–C dos compostos  $(\pm)$ -290 (87%) e  $(\pm)$ -291 (~2%), resultantes do acoplamento nas posições *para* e *ortho* ao C-3' ( $-\text{OCH}_3$ ),

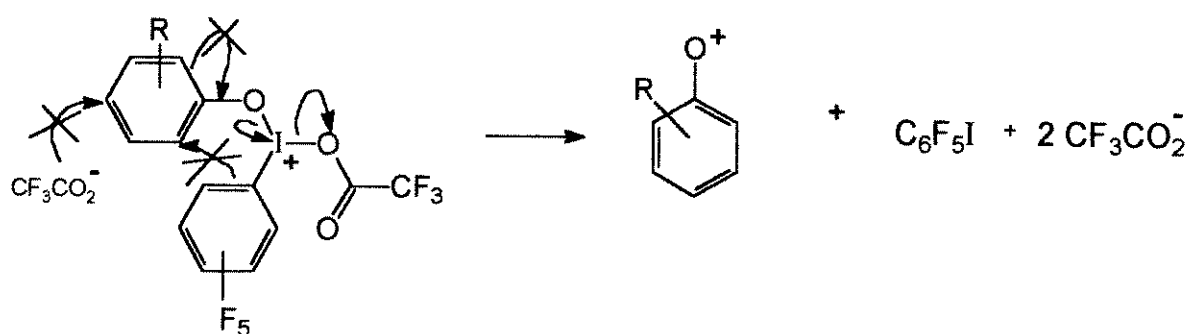
respectivamente. Esta é a etapa crucial desta via mecanística. A presença de muitos átomos de flúor, no intermediário 288, ajudou a facilitar a formação do íon ariloxênio.

**Esquema 72**



A oxidação de fenóis por compostos de iodo hipervalentes foi recentemente relatada<sup>(81,95,103-105,107,164)</sup>. Uma das principais reações são as arilações intramoleculares, as quais envolvem somente a formação de ligações C–C. No esquema 72, enfatizamos a formação da ligação C–O–C através de uma substituição eletrofilica aromática pelo íon ariloxênio. Para gerar o íon ariloxênio livre de  $\text{ArOX}^+$  288 é necessário que X não seja somente um bom grupo de saída, mas também um nucleófilo fraco para que seja evitado o ataque em  $\text{ArO}^+$ <sup>(81)</sup>. Em nosso trabalho, empregamos o reagente de oxidação  $\text{C}_6\text{F}_5\text{I}(\text{OCOCF}_3)_2$  173<sup>(161)</sup> não somente pelo fato de  $\text{C}_6\text{F}_5\text{I}^+(\text{OCOCF}_3)^-$  ser um bom grupo de saída e  $\text{CF}_3\text{CO}_2^-$  ser um fraco nucleófilo, mas também pelo fato de  $\text{C}_6\text{F}_5^-$  não ser capaz de promover a formação intramolecular da ligação C–C, esquema 73.

Esquema 73

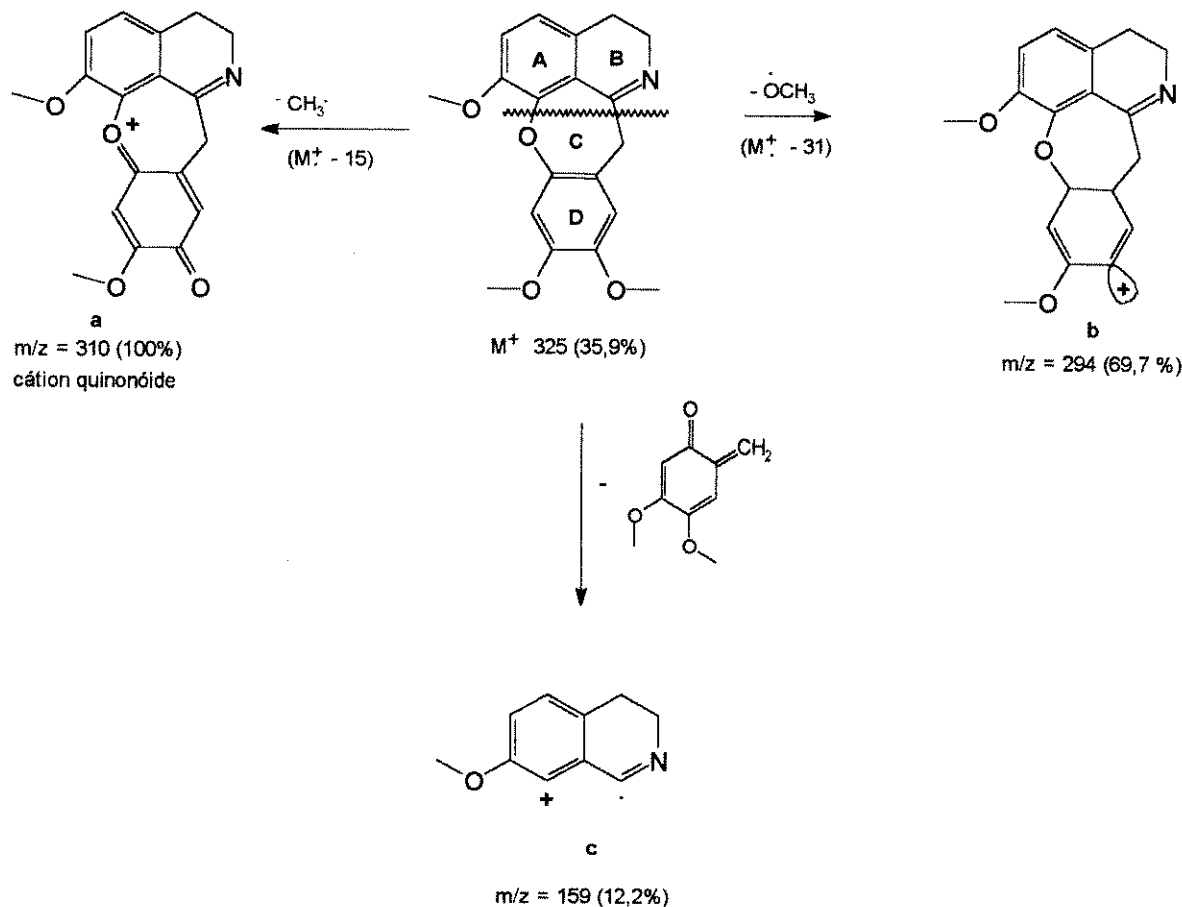
288

O rendimento do produto ciclizado ( $\pm$ )-290 foi bem superior aos reportados nas ciclizações intramoleculares de fenóis na presença de compostos de iodo hipervalente.

No final da reação o iodo (III) foi reduzido para iodo (II) e os precipitados isolados. A ( $\pm$ )-didesidronorcularina 290, um sólido branco (p.f.= 128-129°C) apresentou na região do IV (E-61) o estiramento  $\nu_{\text{C}=\text{N}}$  (109) a 1624 cm<sup>-1</sup>. O espectro de RMN<sup>1</sup>H(165) (E-62) apresentou dois tripletos a 2,40 ppm (2H) e 2,55 ppm (2H); quatro singletos a 3,10 ppm (2H), a 3,78 ppm (3H), a 3,85 ppm (3H) e a 3,89 ppm (3H) e, na região aromática, um singuleto a 6,52 ppm (1H), um doubleto a 6,78 ppm (1H, J= 8,5 Hz), um singuleto a 6,86 ppm (1H) e um doubleto a 6,78 ppm (1H, J= 8,5 Hz).

O espectro de RMN<sup>13</sup>C(29,154) (E-63) apresentou sinais em 20,8; 43,5; 35,8; 58,2; 58,6; 60,6; 113,4; 116,3; 117,2; 118,3; 128,7; 129,4; 129,9; 149,3; 149,7; 149,9; 150,8; 151,1 e 158,7 ppm.

O espectro de massa<sup>(1,166,167)</sup> (E-64) mostrou um íon molecular com m/z 325 (IR 35,9%), correspondendo ao peso molecular de ( $\pm$ )-290, figura 12. O pico base com m/z 310 (IR 100%) é devido ao íon M-15, cujo fragmento (fragmento a) corresponde à perda de um radical metila do grupo *para*-metoxila. A perda deste grupo resultou na formação do cátion quinonóide estável. O pico com m/z 294 (IR 69,7%) corresponde ao íon M-31 (fragmento b) e o pico com m/z 159 (IR 12,2%) corresponde ao íon M-166 (fragmento c).



**Figura 12 - Fragmentos resultantes do espectro de massa (E-64) da ( $\pm$ )-didesidronorcularina 290.**

Os dados de análise elementar para  $C_{19}H_{19}NO_4$  (calculado: C, 70,14; H, 5,89; N, 4,30% e encontrado: C, 70,14; H, 5,86; N, 4,30%) ajudaram a confirmar a estrutura ( $\pm$ )-290.

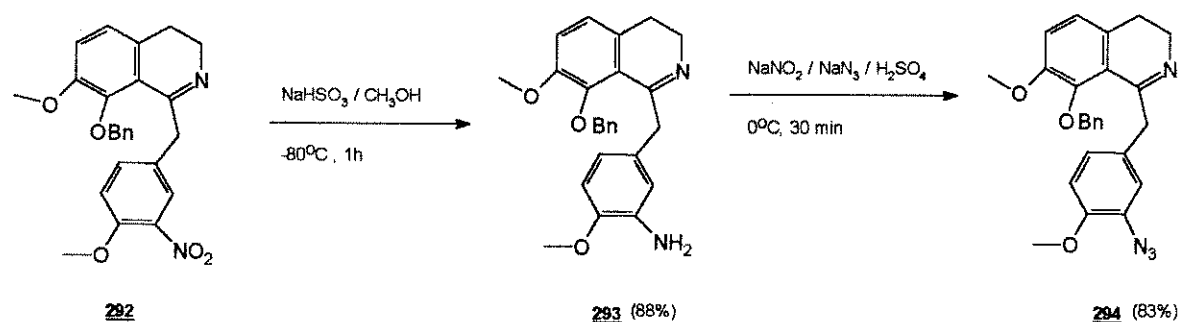
A ( $\pm$ )-didesidronorisocularina 291, um sólido branco (p.f. = 131-132°C), foi obtido com um rendimento muito baixo, não sendo possível a obtenção de seus dados espectrais. Os dados de análise elementar para  $C_{19}H_{19}NO_4$  (calculado: C, 70,14; H, 5,86; N, 4,30% e encontrado: C, 70,16; H, 5,85; N, 4,32%).

## 6.2 - Síntese Via Íon Arilnitrênia

O acoplamento oxidativo intramolecular, via íon arilnitrênia<sup>(64,84)</sup>, ocorreu na diidroisoquinolina 294, figura 11. Para obtê-la, inicialmente o grupo nitro de 292 foi reduzido na presença de hipossulfito de sódio<sup>(168)</sup> para gerar a 3,4-diidroisoquinolina 293 (88%), esquema 74, a qual apresentou na região do IV (E-70) os estiramentos das ligações N-H a  $3508\text{ cm}^{-1}$  e C=N a  $1624\text{ cm}^{-1}$  e o espectro de RMN<sup>1H</sup> (E-71) mostrou um singuleto a 4,80 ppm (2H, -NH<sub>2</sub>).

O grupo amino de 293, sofreu uma reação de diazotação, na presença de nitrito de sódio, azoteto de sódio e ácido sulfúrico<sup>(151,152)</sup>, esquema 74, para gerar 294, em 83% de rendimento. Ela mostrou na região do IV (E-72) a ausência do par de bandas a  $3508\text{ cm}^{-1}$  referente ao estiramento da ligação N-H de 293 (E-70), com o aparecimento de uma absorção a  $2138\text{ cm}^{-1}$  referente ao grupo azido e, o estiramento  $\nu_{\text{C}=\text{N}}$  a  $1627\text{ cm}^{-1}$ . Os dados de RMN<sup>1H</sup> (E-73) foram coerentes com a estrutura obtida.

**Esquema 74**



Para favorecer a formação do íon nitrênia, a 3,4-diidroisoquinolina 294 foi submetida, por várias vezes, tabela 2, à reação de decomposição do grupo azido pelo tratamento com ácido triflício (TFMSA, CF<sub>3</sub>SO<sub>3</sub>H)<sup>(63,66,169)</sup> onde ocorreu um acoplamento intramolecular em posição *para* ao íon nitrênia, esquema 75. Nas quatro tentativas, a reação foi acompanhada através de c.c.d., onde verificamos que após 10 horas de reação não mais

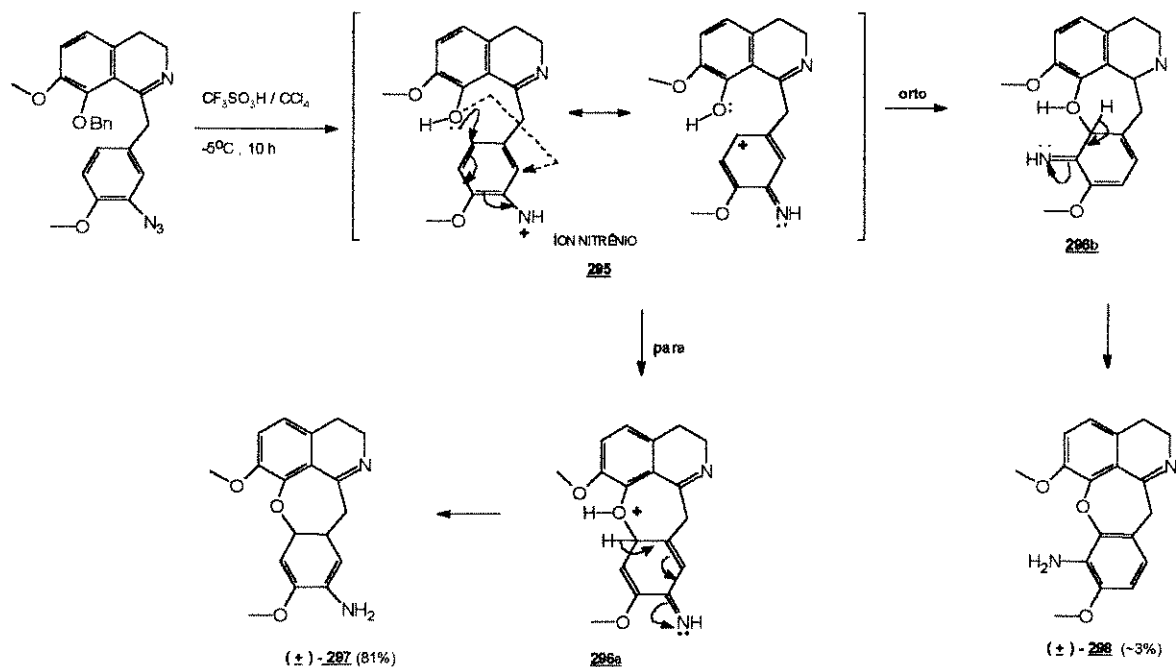
ocorria a formação de produto. A razão molar entre 294 e o ácido foi a mesma nas quatro reações, onde novamente a temperatura foi o fator predominante da reação. O rendimento do produto ciclizado também teve um aumento significativo com a diminuição da temperatura de 25°C (28%) para -5°C (81%).

**Tabela 2 - Condições de síntese da  
(±)-7,4-dimetoxi-3'-amino-1-benzoxepina-3,4-diidroisoquinolina 297.**

Reação	Temperatura (°C)	Tempo (h)	Rendimento (%)
1	25	10	28
2	0	10	51
3	-5	10	81
4	-5	15	81

A racionalização mecanística de decomposição, esquema 75, envolveu a formação de um íon nitrênio no estado singuleto (intermediário 295). Como ocorre nos íons oxêniros, o estado singuleto será mais estável que o estado triplo devido à presença do grupo arila<sup>(84)</sup>. Através de um acoplamento intramolecular C–O–C de 295. A escolha do ácido trifílico é devido ao fato de ser um ácido forte para protonar o grupo azido, além de ter um contra-íon (ânion triflato) com fraca nucleofilicidade, dificultando a intercepção dos intermediários de Wheland, esquema 76.

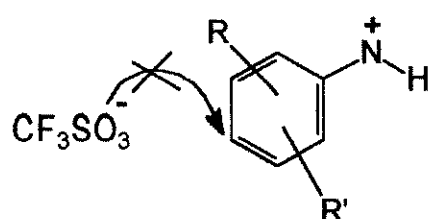
Esquema 75



Como resultado, obtivemos dois produtos: um de ciclização *para*, (±)-297 (81%), e outro de ciclização *ortho*, (±)-298 (3%), ao íon nitrênio.

O composto (±)-297, um sólido amarelado (p.f.= 135-136°C) mostrou na região do IV (E-74) a ausência da absorção em  $2138 \text{ cm}^{-1}$  referente ao grupo azido de 294 (E-72), com o aparecimento de um par de bandas entre  $3450\text{-}3555 \text{ cm}^{-1}$  referente ao estiramento da ligação N–H e também a banda de estiramento  $\nu_{\text{C}=\text{N}}^{(109)}$  a  $1625 \text{ cm}^{-1}$ .

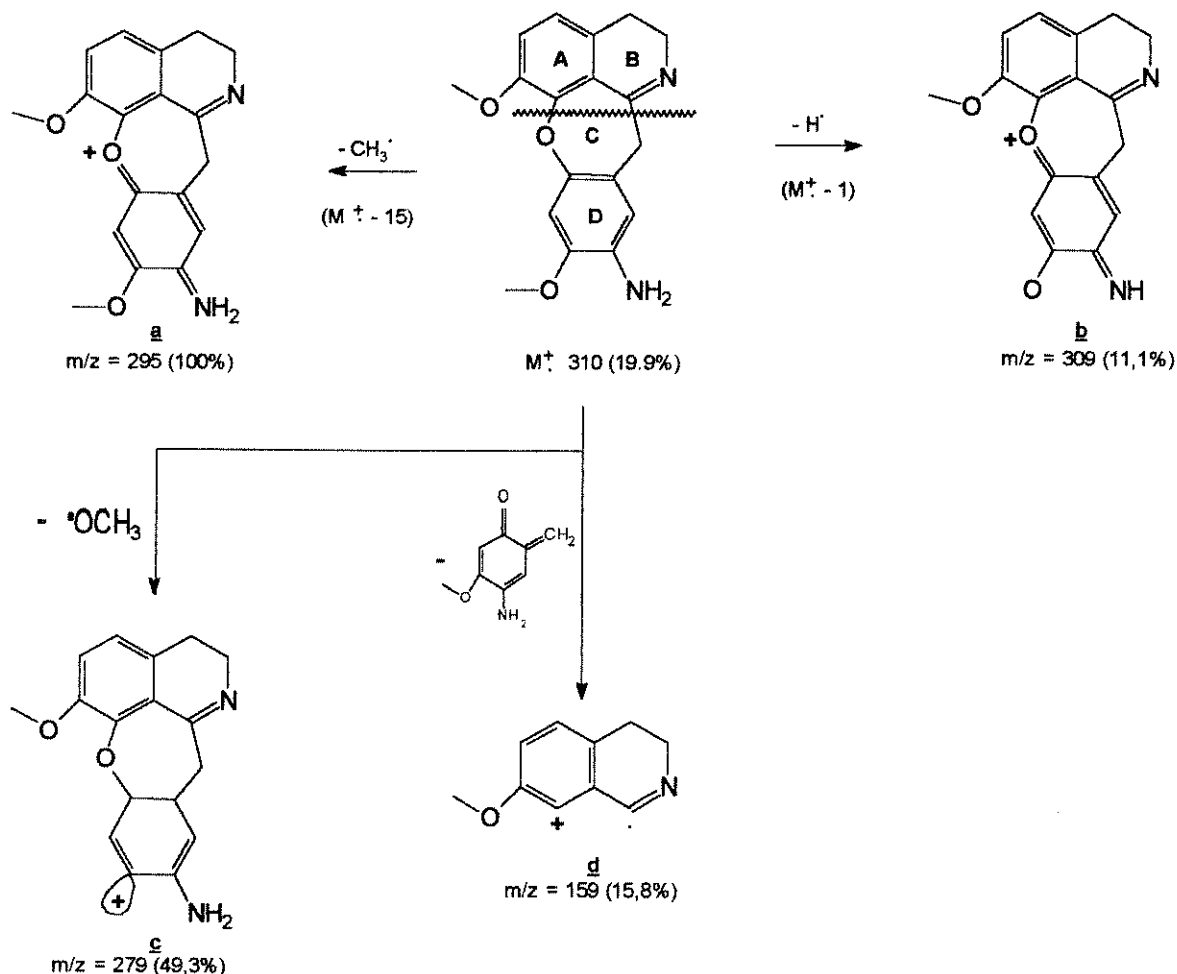
Esquema 76

295

O espectro de RMN<sup>1H</sup>(165) (E-75) apresentou dois tripletos a 2,37 ppm (2H) e 2,54 ppm (2H); quatro singletos a 3,05 ppm (2H), a 3,76 ppm (3H), a 3,83 ppm (3H) e a 4,78 ppm (2H) e, na região aromática, um singuleto a 6,50 ppm (1H), um dubleto a 6,76 ppm (1H, J= 8,7 Hz), um singuleto a 6,82 ppm (1H) e um dubleto a 6,84 ppm (1H, J= 8,7 Hz).

O espectro de RMN<sup>13C</sup>(29,154) (E-76) apresentou sinais em 22,8; 40,2; 45,7; 58,1; 60,1; 118,1; 118,9; 119,5; 123,1; 129,8; 132,1; 132,4; 148,1; 149,8; 150,1; 151,8; 152,3 e 160,3 ppm.

O espectro de massa<sup>(1,166,167)</sup> (E-77) mostrou um íon molecular com m/z 310 (IR 19,9%), correspondendo ao peso molecular de ( $\pm$ )-297, figura 13. O pico base com m/z 295 (IR 100%) é devido ao íon M-15, cujo fragmento (fragmento a) corresponde à perda de um radical metila do grupo m-metoxila. O pico com m/z 309 (IR 11,1%) corresponde ao íon M-1 onde ocorre a formação de um cátion do tipo quinonóide (fragmento b). O pico com m/z 279 (IR 49,3%) corresponde ao íon M-31 (fragmento c) e o pico com m/z 159 (IR 15,8%) corresponde ao íon M-151 (fragmento d).



**Figura 13 - Fragmentos resultantes do espectro de massa (E-77) da ( $\pm$ )-7,4-dimetoxi-3'-amino-1-benzoxepina-3,4-diidroisoquinolina 297.**

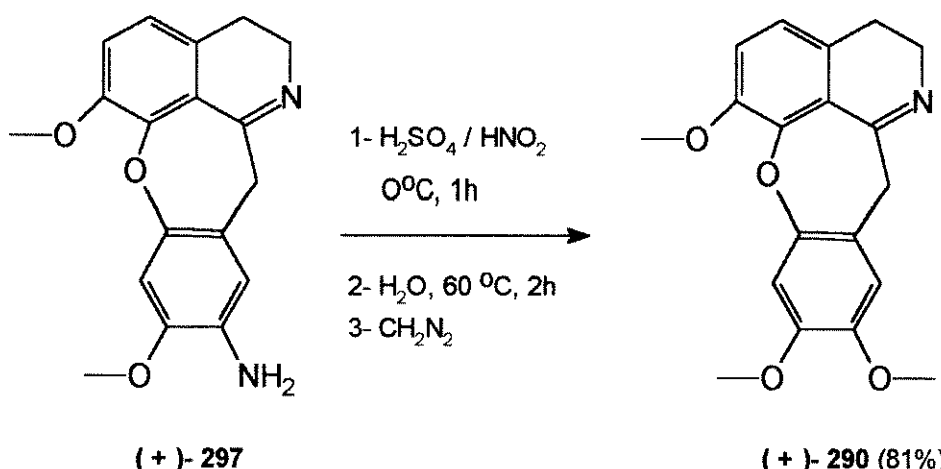
Os dados de análise elementar para  $C_{18}H_{18}N_2O_3$  (calculado: C, 69,66; H, 5,85; N, 9,03% e encontrado: C, 69,69; H, 5,81; N, 9,04%) ajudaram a confirmar a estrutura ( $\pm$ )-297.

O composto ( $\pm$ )-298, um sólido amarelo (p.f. = 138-139°C) também foi obtido com um rendimento muito baixo, não sendo possível portanto a obtenção de seus dados espectrais. Os dados de análise elementar para  $C_{18}H_{18}N_2O_3$  (calculado: C, 69,66; H, 5,85; N, 9,03% e encontrado: C, 69,69; H, 5,88; N, 9,05%).

A presença de uma função arilamina primária abre a possibilidade de se preparar uma variedade de derivados substituídos via íon diazônio. Assim, ( $\pm$ )-297 foi convertido ao

correspondente fenol<sup>(170)</sup>, o qual, seguido de extração, foi metilado ( $\text{CH}_2\text{N}_2$ )<sup>(140)</sup> para gerar  $(\pm)$ -290 em 81% de rendimento, esquema 77.

**Esquema 77**



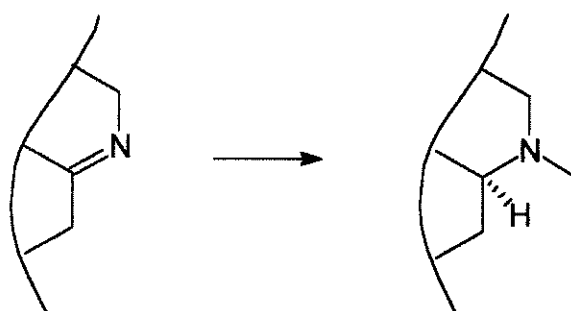
Os dados espectrais de  $(\pm)$ -290 (E-61, E-62, E-63, E-64) foram similares aos do composto  $(\pm)$ -297 (E-74, E-75, E-76, E-77), exceto para as bandas correspondentes ao grupo  $-\text{NH}_2$  e à presença do grupo  $-\text{OCH}_3$  adicional ( $^1\text{H}$ ,  $\delta = 3,89$  ppm).

Os íons arilnitrênios foram previamente usados para se preparar anéis de sete membros<sup>(63,65,66)</sup>, mas a rota sintética do esquema 75 é o primeiro exemplo de formação de um sistema oxepina. O rendimento para a obtenção do anel tipo cularina  $(\pm)$ -297 (81%) é apreciavelmente maior que os reportados em metodologias de fechamento de anel.

# CAPÍTULO 7

## SÍNTESE DA CULARINA 1.a

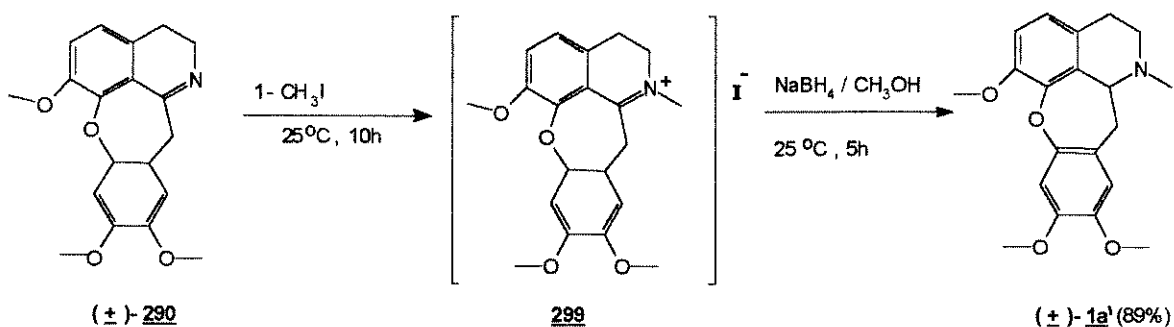
Na síntese de alcalóides cularínicos, geralmente, a metilação redutiva da ligação C=N ocorre logo após a obtenção das 3,4-diidroisoquinolinas (citados na introdução). Em nosso trabalho de síntese propusemos realizar esta reação na etapa final, após a reação de desbromação do anel aromático com o objetivo de se evitar a formação de produtos indesejáveis, devido à acidez do hidrogênio no carbono (reduzido) adjacente ao nitrogênio. Outro motivo é a utilização de fortes reagentes na obtenção do sistema diidroxepínico.



### 7.1 - Síntese da ( $\pm$ )-Cularina 1.a'.

A cularina racêmica ( $\pm$ )-1.a' foi obtida através da metilação redutiva da ligação C=N da ( $\pm$ )-didesidronorcularina 290, esquema 78. Após uma reação entre ( $\pm$ )-290 e iodeto de metila, por 10 horas, ocorreu a formação do sal metiodídeo 299, o qual foi reduzido na presença de boro hidreto de sódio<sup>(171)</sup>. O precipitado obtido foi recristalizado em éter de petróleo, ocorrendo a formação de cristais amarelados de ( $\pm$ )-cularina 1.a' com p.f.= 113-114°C. Este ponto de fusão foi idêntico ao encontrado na literatura (lit.<sup>(109)</sup>: 113-114°C).

Esquema 78



O espectro na região do IV (E-78.a) mostrou o estiramento  $\nu(\text{N}-\text{CH}_3)$  a  $2385 \text{ cm}^{-1}$ , com a ausência do estiramento  $\nu(\text{C}=\text{N})$  a  $1624 \text{ cm}^{-1}$  [**(±)-290** (E-61)].

O espectro de RMN<sup>1</sup>H (E-79.a) apresentou dois triplets a 2,35 ppm (2H) e a 2,50 ppm (2H), um singletos a 2,60 ppm (3H), um multipletos a 3,10 ppm (2H), três singletos a 3,79 ppm (3H), a 3,84 ppm (3H) e a 3,87 ppm (3H), um quarteto a 4,45 ppm (1H,  $J= 16 \text{ Hz}$  e  $12 \text{ Hz}$ ) e, na região aromática, um singletos a 6,51 ppm (1H), um doubleto a 6,77 ppm (1H,  $J= 8,5 \text{ Hz}$ ), um singletos a 6,85 ppm (1H) e um doubleto a 6,87 ppm (1H,  $J= 8,5 \text{ Hz}$ ).

A análise elementar apresentou para  $\text{C}_{20}\text{H}_{23}\text{NO}_4$  (calculado: C, 70,36; H, 6,79; N, 4,10% e encontrado: C, 70,36; H, 6,78; N, 4,11%).

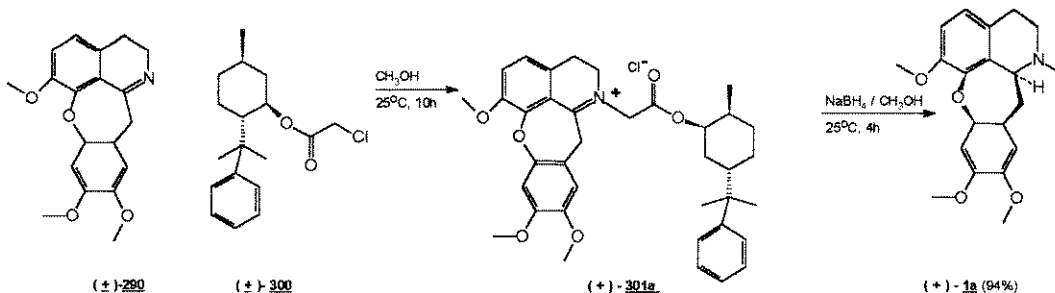
## 7.2 - Síntese da **(+)-Cularina 1.a**

A síntese assimétrica de alcaloides isoquinolínicos pode ser realizada na presença de vários auxiliares quirais, dentre eles: as formamidinas quirais<sup>(24-27)</sup>, oxalolo[2,3-a]tetraidroisoquinolinas quirais<sup>(28)</sup>, catálise enzimática<sup>(29-31)</sup>, álcoois quirais<sup>(21,33-36)</sup> e complexos de rutênio II<sup>(37)</sup>.

A cularina oticamente ativa foi preparada pelo tratamento de **(±)-290** com o auxiliar quiral cloroacetato de **(1R,2S,5R)-(+)5-metil-2-(1-metil-1-feniletil) cicloexila** **300** [cloroacetato de **(+)-8-fenilmentila**], em metanol com agitação à temperatura ambiente por 10

horas para ocorrer inicialmente a formação do sal 301.a, esquema 79. Este sal foi reduzido na presença de boro hidreto de sódio, agitação por 4 horas, para fornecer a (+)-cularina 1.a na forma de cristais brancos (94%); p.f. = 114-115°C (semelhante ao ponto de fusão encontrado na literatura (lit.<sup>(172)</sup>: 115°C);  $[\alpha]_D^{25} = +284,3^\circ$  ( $c = 0,8$  g/l em MeOH) [lit.<sup>(172)</sup>:  $[\alpha]_D^{25} = +285,0^\circ$  ( $c = 0,8$  g/l em MeOH)], correspondendo a um e.e. > 99% (baseado no valor da rotação ótica).

Esquema 79



A adição de  $\text{NaBH}_4$  em 301.a foi acompanhada da evolução de  $\text{CO}_2$ , o qual foi detectado através de sua absorção em uma solução de  $\text{Ba}(\text{OH})_2$ . Na superfície desta solução ocorreu a formação de uma película branca de  $\text{BaCO}_3$ <sup>(173)</sup>, esquema 80.

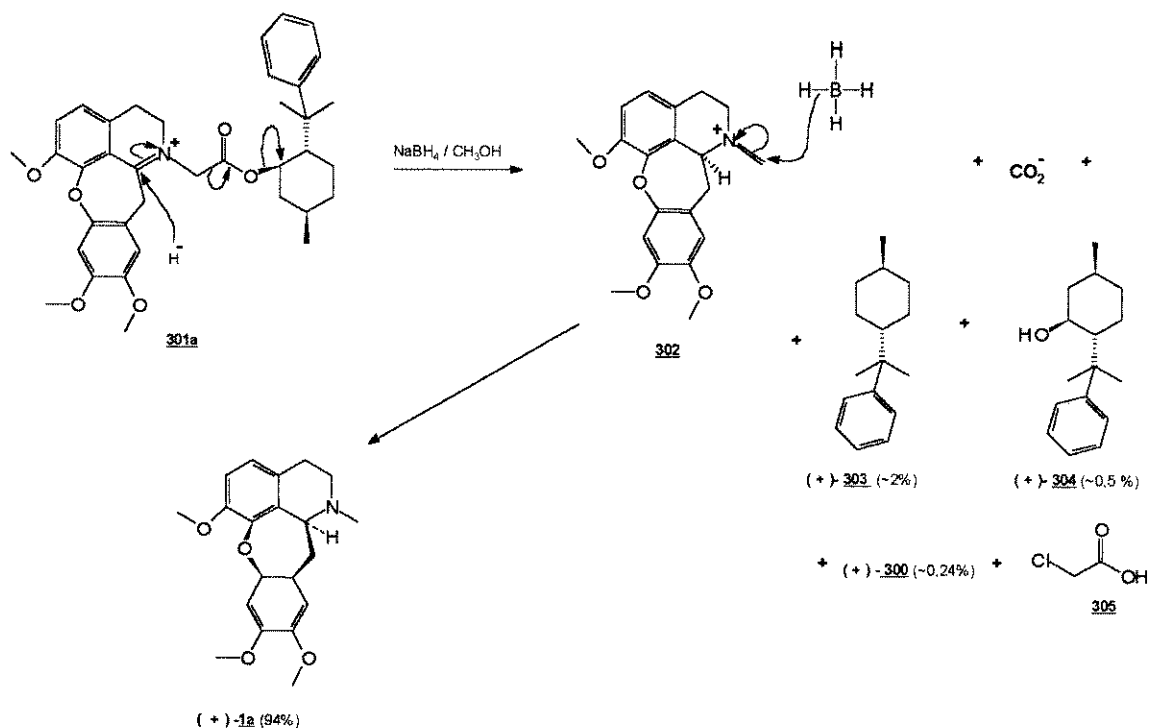
Esquema 80



A partir desses dados propusemos uma racionalização mecanística de redução, esquema 81, onde além da formação de (+)-1.a, ocorreu também a formação de (+)-8-fenilmentila 303 e (+)-8-fenilmentol 304 (devido ao excesso de (+)-300 adicionado na reação). O mecanismo desta reação está sendo estudado. Assim,  $\text{HCl}$  é liberado na primeira

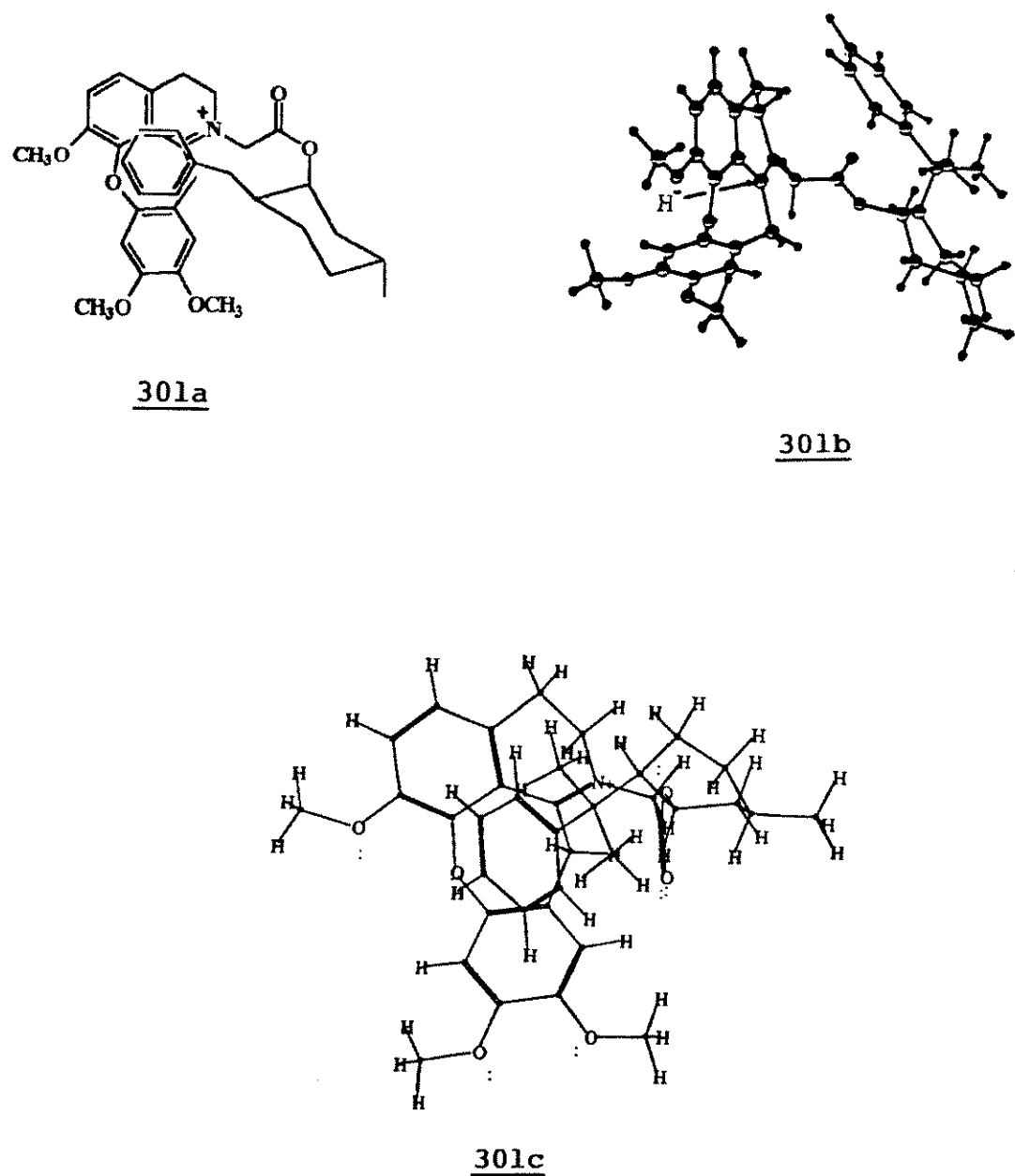
etapa, esquema 79. Uma alternativa para esta racionalização, mostrada no esquema 81, seria o ataque do íon hidreto em C-1 dadiidroisoquinolina com a eliminação de CO<sub>2</sub> para gerar o intermediário 302; neste caso, o hidrogênio do metanol se aloja em C-1 do auxiliar quirral.

**Esquema 81**



O alto rendimento da (+)-cularina 1.a (94%) a partir da imina ( $\pm$ )-290 requer uma redução altamente diastereosseletiva e subsequente resolução cinética, seguida de uma descarboxilação.

Claramente o grupo (+)-8-fenilmentil deve proteger um lado da diidroisoquinolina mais eficientemente que o outro. O modelo molecular de 301.a<sup>(174)</sup> sugere que o calor de formação do confôrmero de menor energia 301.b que protege o lado convexo (o qual resulta na aproximação do íon hidreto para gerar o produto desejado de configuração S) é 3Kcal/mol menor que o confôrmero 301.c que protege o lado côncavo, figura 14.



**Figura 14 - Modelos moleculares do intermediário 301.a responsável pela formação da (+)-cularina 1.a.**

O espectro na região do IV (E-78.b) de  $(\pm)$ -1.a' e  $(+)$ -1.a foram superponíveis e mostrou o estiramento  $\nu$  ( $\text{N}-\text{CH}_3$ ) a  $2385 \text{ cm}^{-1}$ , com a ausência do estiramento  $\nu_{\text{C}=\text{N}}$  a  $1624 \text{ cm}^{-1}$  [ $(\pm)$ -290 (E-61)].

Os espectros de RMN $^1\text{H}$ (1,51,165,167) (E-79.a) de  $(\pm)$ -1.a' e (E-79.b) de  $(+)$ -1.a também foram superponíveis, onde (E-79.b) apresentou dois tripletos a 2,35 ppm (2H) e a 2,50 ppm (2H), um singletos a 2,60 ppm (3H), dois duplo doubletos a 2,98 ppm (1H,  $J= 16 \text{ Hz}$  e  $12 \text{ Hz}$ ) e a 3,24 ppm (1H,  $J= 16 \text{ Hz}$  e  $4 \text{ Hz}$ ), três singletos a 3,79 ppm (3H), a 3,84 ppm (3H) e a 3,87 ppm (3H), um duplo doubleto a 4,44 ppm (1H,  $J= 12 \text{ Hz}$  e  $4 \text{ Hz}$ ) e, na região aromática, um singletos a 6,51 ppm (1H), um doubleto a 6,77 ppm (1H,  $J= 8,5 \text{ Hz}$ ), um singletos a 6,85 ppm (1H) e um doubleto a 6,87 ppm (1H,  $J= 8,5 \text{ Hz}$ ). Este espectro mostrou a presença de um sistema ABX onde  $\text{H}_X$  apareceu como um duplo doubleto centrado em 4,44 ppm, acoplando-se com  $\text{H}_A$  e  $\text{H}_B$  com constantes de acoplamento de  $J_{AX}= 4 \text{ Hz}$  e  $J_{BX}= 12 \text{ Hz}$ , respectivamente.  $\text{H}_A$  a 3,24 ppm e  $\text{H}_B$  a 2,98 ppm apresentaram-se como duplo doubletos com constante de acoplamento de  $J_{AB}= 16 \text{ Hz}$  (sendo  $J_{AX}= 4 \text{ Hz}$  e  $J_{BX}= 12 \text{ Hz}$ ). A projeção de Newman mostrou que o ângulo diedral entre  $\text{H}_X$  e  $\text{H}_B$  é de aproximadamente  $180^\circ$ , enquanto que o ângulo diedral entre  $\text{H}_X$  e  $\text{H}_A$  é próximo de  $60^\circ$  e entre  $\text{H}_A$  e  $\text{H}_B$  é de aproximadamente  $120^\circ$ , figura 15; sendo portanto coerentes com os valores das constantes de acoplamento.

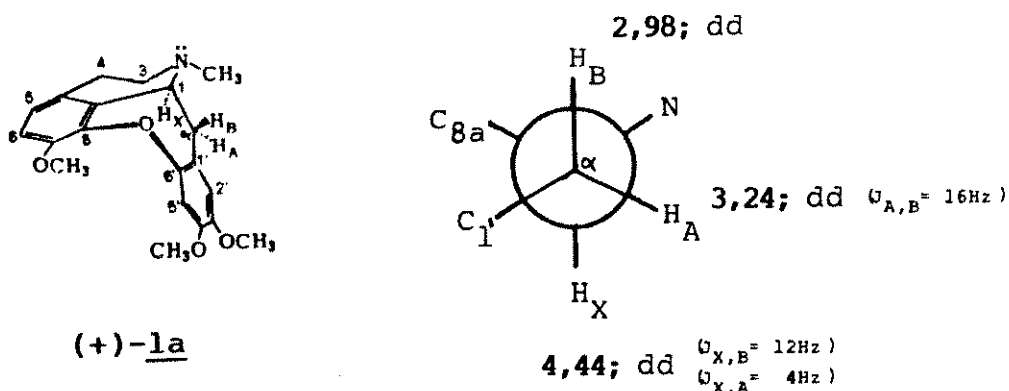


Figura 15 - Projeção de Newman da  $(+)$ -cularina 1.a.

A análise elementar apresentou para C<sub>20</sub>H<sub>23</sub>NO<sub>4</sub> (calculado: C, 70,36; H, 6,79; N, 4,10% e encontrado: C, 70,36; H, 6,80; N, 4,10%).

Após a análise dos dados obtidos, pudemos confirmar que realmente obtivemos a ( $\pm$ )-cularina 1.a' e a (+)-cularina 1.a.

Os dados espectrais de (+)-303 (E-80 e E-81) e (+)-304 (E-82 e E-83)<sup>(174)</sup> foram coerentes com as estruturas obtidas

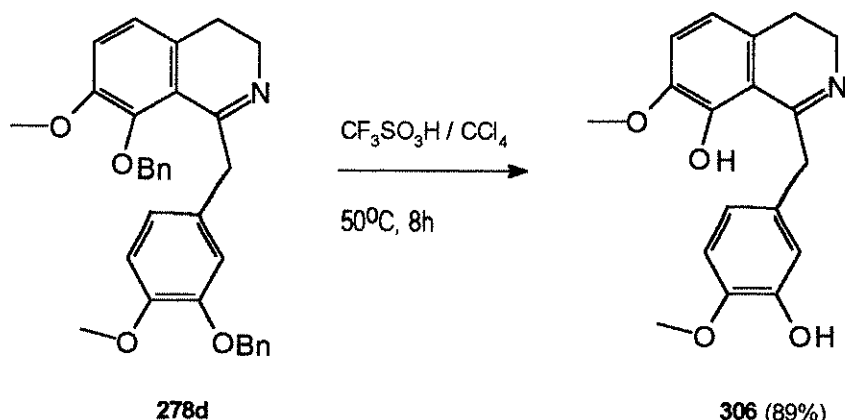
# CAPÍTULO 8

## SÍNTESE DAS (+)-Cularinas 1, (+)-Isocularinas 2 E DA (+)-Crassifolina 3

Estendendo os nossos estudos de síntese da cularina 1, resolvemos sintetizar outros alcalóides cularínicos do tipo cancentrina, substituídos em C-7, C-4' e C-5', chamados de isocularinas. Destes alcalóides, em particular a (+)-sarcocapnidina 2.b foi isolada junto com a (+)-crassifolina 3 e outros alcalóides cularínicos. Em estudos do acoplamento oxidativo fenólico de 3, esquema 23, notou-se que esta produzia uma mistura de (+)-O-desmetilcularina 1.b (enneafillina) e (+)-sarcocapnidina 2.b, as quais dão origem a outros alcalóides cularínicos e isocularínicos, respectivamente<sup>(8-12)</sup>.

Seguindo o raciocínio do esquema 23 e dos métodos sintéticos empregados em nosso trabalho de síntese, a 1-benzil-8-benziloxi-7-metoxi-3,4-diidroisoquinolina 278.d obtida no esquema 66 foi transformada na 3,4-diidroisoquinolina 306 através da desbenzilação de 278.d, na presença de ácido trifluorometanosulfônico<sup>(158-160)</sup>, esquema 82, em 89% de rendimento. Ela apresentou na região do IV (E-88) os estiramentos  $\nu_{\text{O-H}}$  a  $3470 \text{ cm}^{-1}$  e  $\nu_{\text{C=N}}$  a  $1624 \text{ cm}^{-1}$ .

**Esquema 82**



O espectro de RMN<sup>1</sup>H (E-89) mostrou um singlet a 4,85 ppm (2H, -OH) e o espectro de RMN<sup>13</sup>C (E-90) apresentou sinais em 20,9; 37,1; 44,9; 55,7; 56,8; 112,3; 113,4; 116,6; 118,4; 119,2; 120,1; 125,3; 128,3; 142,9; 145,9; 146,7; 146,8 e 159,5 ppm.

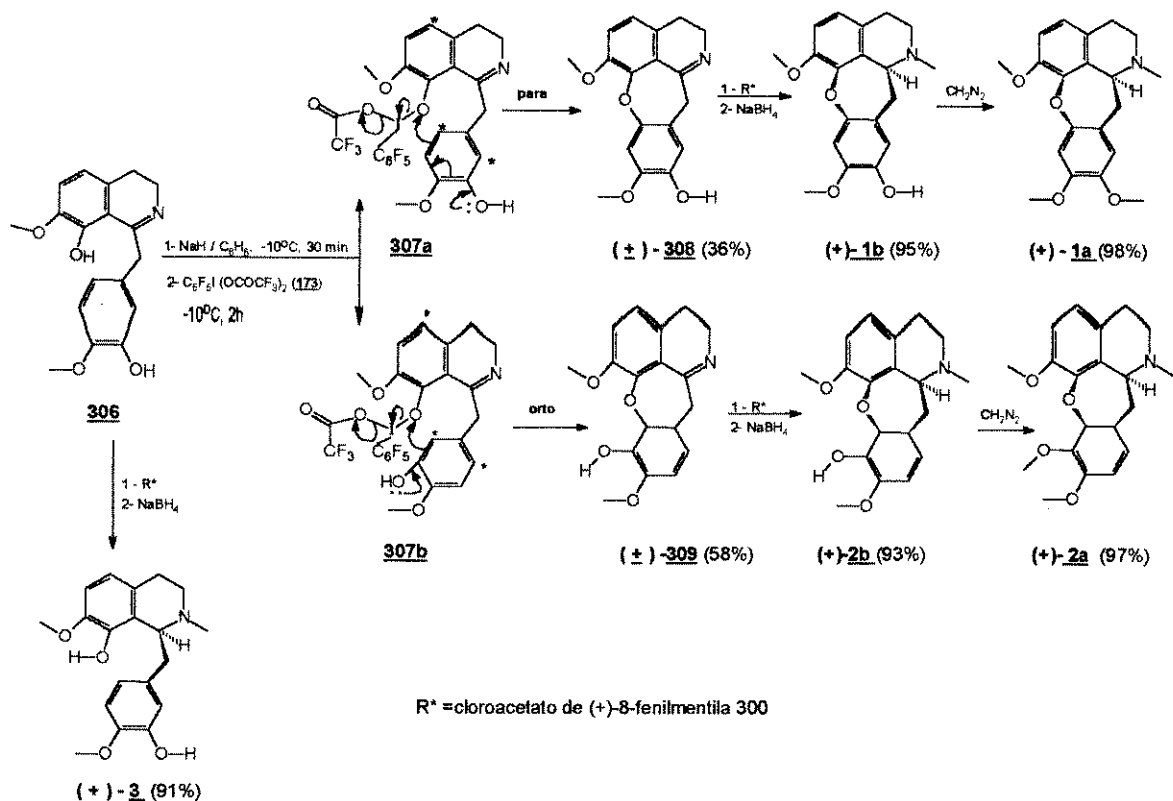
### **8.1 - Síntese Da ( $\pm$ )-Didesidronorcularina 308 e da ( $\pm$ )-Didesidronorisocularina 309**

#### **Via Íon Oxênio**

As diidroisoquinolinas difenólicas possuem duas posições, *orto* e *para* a C-3' (-OH), possíveis de ocorrer o acoplamento oxidativo intramolecular, levando à formação de alcalóides cularínicos e isocularínicos(8-12,51,52).

No acoplamento oxidativo intramolecular de 306, na presença de bis(trifluoroacetato) de pentafluoriodobenzeno 173(90,161-163), esquema 83, houve a formação de uma mistura de ( $\pm$ )-didesidronorcularina 308 e ( $\pm$ )-didesidronorisocularina 309, que foram separadas em c.c.e. (CHCl<sub>3</sub>: MeOH - 99:1) e identificados por RMN<sup>1</sup>H como sendo ( $\pm$ )-308 (p.f.= 135-136°C; 36% de rendimento) e ( $\pm$ )-309 (p.f.= 143-144°C; 58% de rendimento). Igualmente aos compostos ( $\pm$ )-290 e ( $\pm$ )-297, as ( $\pm$ )-308 e ( $\pm$ )-309 também são axialmente quirais.

Esquema 83



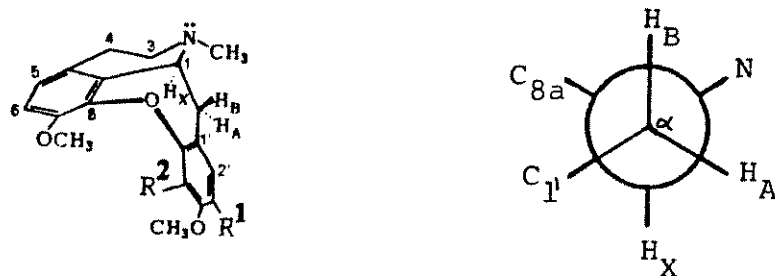
O espectro na região do IV mostrou os estiramentos  $\nu_{O-H}$  e  $\nu_{C=N}$  em 3561 cm<sup>-1</sup> e 1624 cm<sup>-1</sup> [(±)-308 (E-91)] e em 3483 cm<sup>-1</sup> e 1626 cm<sup>-1</sup> [(±)-309 (E-93)].

Os espectros de RMN<sup>1</sup>H ajudaram na identificação dos produtos separados<sup>(1,8,10,51,52)</sup>, apresentando as diferenças nos prótons em C-2', C-3' e C-5'. Em (±)-308 (E-92) encontramos, na região aromática, dois doubletos a 6,78 ppm (1H, J= 8,5 Hz) e a 6,90 ppm (1H, J= 8,5 Hz); e dois singletos a 6,59 ppm (1H) e a 6,83 ppm (1H). Em (±)-309 (E-94) encontramos, na região aromática, quatro doubletos a 6,76 ppm (1H, J= 8,5 Hz), a 6,95 ppm (1H, J= 8,5 Hz), a 6,55 ppm (1H, J= 8,5 Hz) e a 6,68 ppm (1H, J= 8,5 Hz). Estes dados serviram para distinguir as (±)-308 de (±)-309, as quais foram submetidas à reação de metilação redutiva assimétrica, como mostrado nos esquemas 79 e 81.

## 8.2 - Síntese das (+)-Cularinas 1

A redução assimétrica de ( $\pm$ )-308, na presença de cloroacetato de (+)-8-fenilmentila, esquema 83, levou à formação da (+)-O-desmetilcularina 1.b, em 95% de rendimento. Ela apresentou-se na forma de sólido amarelo, cujo ponto de fusão (p.f.= 127-128°C) foi bem próximo ao da literatura (lit.<sup>(52)</sup>: 126-127°C).

O espectro de 1.b na região do IV (E-95) mostrou os estiramentos  $\nu_{O-H}$  a 3555 cm<sup>-1</sup> e  $\nu$  (N-CH<sub>3</sub>) a 2380 cm<sup>-1</sup>. O espectro de RMN<sup>1H</sup>(1,51) (E-96) apresentou dois tripletos a 2,41 ppm (2H) e a 2,54 ppm (2H), um singletos a 2,58 ppm (3H), dois duplo doubletos a 3,07 ppm (1H, J= 15,8 Hz e 12 Hz) e a 3,25 ppm (1H, J= 15,8 Hz e 4,5 Hz), dois singletos a 3,85 ppm (3H) e a 3,86 ppm (3H), um duplo doubleto a 4,45 ppm (1H, J= 12 Hz e 4,5 Hz), um singletos a 4,90 ppm (1H, OH) e, na região aromática, um singletos a 6,58 ppm (1H), um doubleto a 6,75 ppm (1H, J= 8,5 Hz), um singletos a 6,81 ppm (1H) e um doubleto a 6,88 ppm (1H, J= 8,5 Hz). Este espectro mostrou a presença de um sistema ABX (igual ao da (+)-cularina 1.a, figura 15) onde H<sub>X</sub> apareceu como um duplo doubleto centrado em 4,45 ppm, acoplando-se com H<sub>A</sub> e H<sub>B</sub> com constantes de acoplamento de J<sub>AX</sub>= 4,5 Hz e J<sub>BX</sub>= 12 Hz, respectivamente. H<sub>A</sub> a 3,25 ppm e H<sub>B</sub> a 3,07 ppm apresentaram-se como duplo doubletos com constante de acoplamento de J<sub>AB</sub>= 15,8 Hz (sendo J<sub>AX</sub>= 4,5 Hz e J<sub>BX</sub>= 12 Hz). A projeção de Newman mostrou que o ângulo diedral entre H<sub>X</sub> e H<sub>B</sub> é de aproximadamente 180°, enquanto que o ângulo diedral entre H<sub>X</sub> e H<sub>A</sub> é próximo de 60° e entre H<sub>A</sub> e H<sub>B</sub> é de aproximadamente 120°, figura 16; sendo portanto coerentes com os valores das constantes de acoplamento. Ela apresentou grau de rotação  $[\alpha]_D^{25}= +323,5^\circ$  (c= 0,8 g/l em MeOH), cujo valor não foi comparado ao da literatura pois a mesma não contém nenhum dado sobre o valor do grau de rotação ótica da (+)-O-desmetilcularina 1.b.



- 1a)  $R^1=OCH_3$ ;  $R^2=H$   
 1b)  $R^1=OH$ ;  $R^2=H$   
 2a)  $R^1=H$ ;  $R^2=OCH_3$   
 2b)  $R^1=H$ ;  $R^2=OH$

**Figura 16 - Projeção de Newman para os alcalóides (+)-cularina 1.a, (+)-O-desmetilcularina 1.b, (+)-sarcocapnina 2.a e (+)-sarcocapnidina 2.b.**

A (+)-O-desmetilcularina 1.b foi metilada, com uma solução etérea de diazometano<sup>(140)</sup>, para produzir a (+)-cularina 1.a, em 98% de rendimento,  $[\alpha]_D^{25}= +283,8^\circ$  ( $c= 0,8 \text{ g/l em MeOH}$ ) [lit.<sup>(172)</sup>:  $[\alpha]_D^{25}= +285,0^\circ$  ( $c= 0,8 \text{ g/l em MeOH}$ )], correspondendo a um e.e. > 99% (baseado no valor da rotação ótica). Seus dados físicos e espectroscópicos foram coerentes aos obtidos anteriormente (E-78.b e E-79.b).

### 8.3 - Síntese Das (+)-Isocularinas 2

A redução assimétrica de ( $\pm$ )-309, na presença de cloroacetato de (+)-8-fenilmentila, esquema 83, levou à formação da (+)-sarcocapnidina 2.b, em 93% de rendimento, como um sólido branco (p.f.= 125-126°C; lit.<sup>(10)</sup>: 126-127°C). Seu espectro na região do IV (E-97)

mostrou a ausência do estiramento  $\nu_{C=N}$  a  $1626\text{ cm}^{-1}$  [( $\pm$ )-309 (E-93)] e o aparecimento dos estiramientos  $\nu_{O-H}$  a  $3486\text{ cm}^{-1}$  e  $\nu(N-CH_3)$  a  $2378\text{ cm}^{-1}$ .

O espectro de RMN $^1H^{(1,10,51)}$  (E-98) apresentou dois tripletos a  $2,42\text{ ppm}$  ( $2H$ ) e a  $2,53\text{ ppm}$  ( $2H$ ), um singlet a  $2,59\text{ ppm}$  ( $3H$ ), dois duplo dubletos a  $3,09\text{ ppm}$  ( $1H$ ,  $J=15,9\text{ Hz}$  e  $11,9\text{ Hz}$ ) e a  $3,27\text{ ppm}$  ( $1H$ ,  $J=15,9\text{ Hz}$  e  $4,6\text{ Hz}$ ), dois singletos a  $3,85\text{ ppm}$  ( $3H$ ) e a  $3,87\text{ ppm}$  ( $3H$ ), um duplo dubleto a  $4,51\text{ ppm}$  ( $1H$ ,  $J=11,9\text{ Hz}$  e  $4,6\text{ Hz}$ ) e, na região aromática, quatro duplo dubletos a  $6,52\text{ ppm}$  ( $1H$ ,  $J=8,5\text{ Hz}$ ), a  $6,63\text{ ppm}$  ( $1H$ ,  $J=8,5\text{ Hz}$ ), a  $6,75\text{ ppm}$  ( $1H$ ,  $J=8,5\text{ Hz}$ ) e a  $6,93\text{ ppm}$  ( $1H$ ,  $J=8,5\text{ Hz}$ ), além de um singlet a  $7,15\text{ ppm}$  ( $1H$ , OH). Este espectro mostrou a presença de um sistema ABX (igual ao da (+)-cularina 1.a, figura 15) onde  $H_X$  apareceu como um duplo dubleto centrado em  $4,51\text{ ppm}$ , acoplando-se com  $H_A$  e  $H_B$  com constantes de acoplamento de  $J_{AX}=4,6\text{ Hz}$  e  $J_{BX}=11,9\text{ Hz}$ , respectivamente.  $H_A$  a  $3,27\text{ ppm}$  e  $H_B$  a  $3,09\text{ ppm}$  apresentaram-se como duplo dubletos com constante de acoplamento de  $J_{AB}=15,9\text{ Hz}$  (sendo  $J_{AX}=4,6\text{ Hz}$  e  $J_{BX}=11,9\text{ Hz}$ ). A projeção de Newman mostrou que o ângulo diedral entre  $H_X$  e  $H_B$  é de aproximadamente  $180^\circ$ , enquanto que o ângulo diedral entre  $H_X$  e  $H_A$  é próximo de  $60^\circ$  e entre  $H_A$  e  $H_B$  é de aproximadamente  $120^\circ$ , figura 16; sendo portanto coerentes com os valores das constantes de acoplamento.

O grau de rotação  $[\alpha]_D^{25}=+384,0^\circ$  ( $c=0,0696\text{ g/l}$  em MeOH) foi bem próximo ao obtido na literatura [lit.<sup>(10)</sup>:  $[\alpha]_D^{25}=+385,4^\circ$  ( $c=0,0696\text{ g/l}$  em MeOH)]; correspondendo a um e.e. > 99% (baseado no valor da rotação ótica).

A (+)-sarcocapnidina 2.b foi metilada, com uma solução etérea de diazometano<sup>(140)</sup>, para produzir a (+)-sarcocapnidina 2.a, em 97% de rendimento, como um óleo viscoso amarelo. Seu espectro na região do IV (E-99) não apresentou o estiramento  $\nu_{O-H}$  a  $3486\text{ cm}^{-1}$  [2.b (E-97)] e o espectro de RMN $^1H$  (E-100)<sup>(1,8,51)</sup> apresentou um triplete a  $2,50\text{ ppm}$  ( $2H$ ), um singlet a  $2,54\text{ ppm}$  ( $3H$ ), um triplete a  $2,73\text{ ppm}$  ( $2H$ ), dois duplo dubletos a  $3,17\text{ ppm}$  ( $1H$ ,  $J=15,8\text{ Hz}$  e  $10,7\text{ Hz}$ ) e a  $3,36\text{ ppm}$  ( $1H$ ,  $J=15,8\text{ Hz}$  e  $3,7\text{ Hz}$ ), três singletos a  $3,81\text{ ppm}$  ( $3H$ ), a  $3,88\text{ ppm}$  ( $3H$ ) e a  $3,91\text{ ppm}$  ( $3H$ ), um duplo dubleto a  $4,30\text{ ppm}$  ( $1H$ ,  $J=10,7\text{ Hz}$  e  $3,7\text{ Hz}$ ) e, na região aromática, quatro duplo dubletos a  $6,56\text{ ppm}$  ( $1H$ ,  $J=8,5\text{ Hz}$ ),

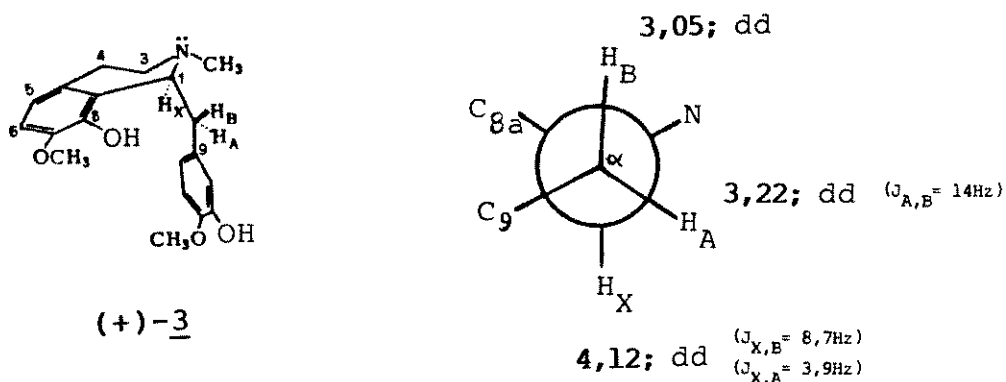
a 6,75 ppm (1H,  $J= 8,6$  Hz), a 6,78 ppm (1H,  $J= 8,5$  Hz) e a 6,85 ppm (1H,  $J= 8,5$  Hz), além de um singlet a 7,15 ppm (1H, OH). Este espectro mostrou a presença de um sistema ABX (igual ao da (+)-cularina 1.a, figura 15) onde  $H_X$  apareceu como um duplo dubbleto centrado em 4,30 ppm, acoplando-se com  $H_A$  e  $H_B$  com constantes de acoplamento de  $J_{AX}= 3,7$  Hz e  $J_{BX}= 10,7$  Hz, respectivamente.  $H_A$  a 3,27 ppm e  $H_B$  a 3,09 ppm apresentaram-se como duplo dubbletos com constante de acoplamento de  $J_{AB}= 15,9$  Hz (sendo  $J_{AX}= 3,7$  Hz e  $J_{BX}= 10,7$  Hz). A projeção de Newman mostrou que o ângulo diedral entre  $H_X$  e  $H_B$  é de aproximadamente  $180^\circ$ , enquanto que o ângulo diedral entre  $H_X$  e  $H_A$  é próximo de  $60^\circ$  e entre  $H_A$  e  $H_B$  é de aproximadamente  $120^\circ$ , figura 16; sendo portanto coerentes com os valores das constantes de acoplamento. Ela foi cristalizada como um cloridrato de MEOH/HCl na forma de um sólido amarelado (p.f. = 212-213°C; lit.<sup>(8)</sup>: 213-215°C), o qual apresentou um grau de rotação  $[\alpha]_D^{25}= +217,0^\circ$  ( $c= 0,3$  g/l em EtOH) que também foi bem próximo ao obtido na literatura [lit.<sup>(8)</sup>:  $[\alpha]_D^{25}= + 218^\circ$ ,  $c= 0,3$  g/l em EtOH]; correspondendo a um e.e. > 99% (baseado no valor da rotação ótica).

#### **8.4 - Síntese Da (+)-Crassifolina 3**

A (+)-Crassifolina 3, o primeiro alcalóide natural difenólico 7,8,3',4'-tetraoxigenado tetraidrobenzil-isoquinolina<sup>(2,3,8-12)</sup>, foi obtida após uma redução assimétrica de 306, esquema 83, em 91% de rendimento, como um sólido branco (p.f. = 62-63°C; lit.<sup>(52)</sup>: 61-63°C). Seu espectro na região do IV (E-101) mostrou a ausência do estiramento  $\nu_{C=N}$  a 1624 cm<sup>-1</sup> [306(E-88)] e o aparecimento do estiramento  $\nu$  (N-CH<sub>3</sub>) a 2375 cm<sup>-1</sup>.

O espectro de RMN<sup>1</sup>H<sup>(10,29,51,52)</sup> (E-102) apresentou um singlet a 2,37 ppm (3H), dois triplets a 2,40 ppm (2H) e a 2,52 ppm (2H), dois duplo dubbletos a 3,05 ppm (1H,  $J= 14$  Hz e 8,7 Hz) e a 3,22 ppm (1H,  $J= 14$  Hz e 3,9 Hz), dois singletos a 3,78 ppm (3H) e a 3,82 ppm (3H), um duplo dubbleto a 4,12 ppm (1H,  $J= 8,7$  Hz e 3,9 Hz), um singlet a 4,80 ppm (2H, OH) e, na região aromática, dois dubbletos a 6,58 ppm (1H,  $J= 9$  Hz) e a 6,73 ppm (1H,  $J= 9$  Hz), um duplo dubbleto a 6,79 ppm (1H,  $J= 9$  Hz e 2,3 Hz) e dois dubbletos a 6,84

ppm ( $1\text{H}$ ,  $J=2,3\text{ Hz}$ ) e a 6,90 ppm ( $1\text{H}$ ,  $J=9\text{ Hz}$ ). Este espectro também mostrou a presença de um sistema ABX (igual ao da (+)-cularina 1.a, figura 15) onde  $\text{H}_X$  apareceu como um duplo dubbleto centrado em 4,12 ppm, acoplando-se com  $\text{H}_A$  e  $\text{H}_B$  com constantes de acoplamento de  $J_{AX}=3,9\text{ Hz}$  e  $J_{BX}=8,7\text{ Hz}$ , respectivamente.  $\text{H}_A$  a 3,22 ppm e  $\text{H}_B$  a 3,05 ppm apresentaram-se como duplo dubbletos com constante de acoplamento de  $J_{AB}=14\text{ Hz}$  (sendo  $J_{AX}=3,9\text{ Hz}$  e  $J_{BX}=8,7\text{ Hz}$ ). A projeção de Newman mostrou que o ângulo diedral entre  $\text{H}_X$  e  $\text{H}_B$  é de aproximadamente  $180^\circ$ , enquanto que o ângulo diedral entre  $\text{H}_X$  e  $\text{H}_A$  é próximo de  $60^\circ$  e entre  $\text{H}_A$  e  $\text{H}_B$  é de aproximadamente  $120^\circ$ , figura 17 sendo portanto coerentes com os valores das constantes de acoplamento.

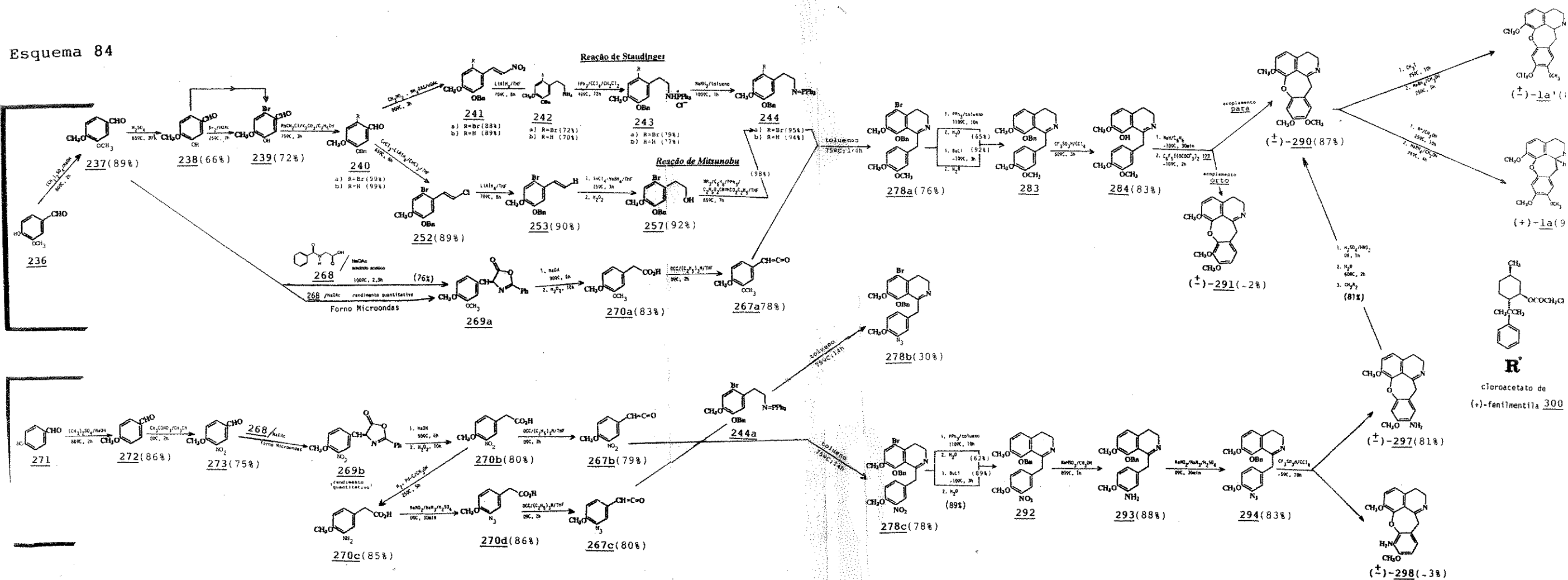


**Figura 17 - Projeção de Newman da (+)-crassifolina 3.**

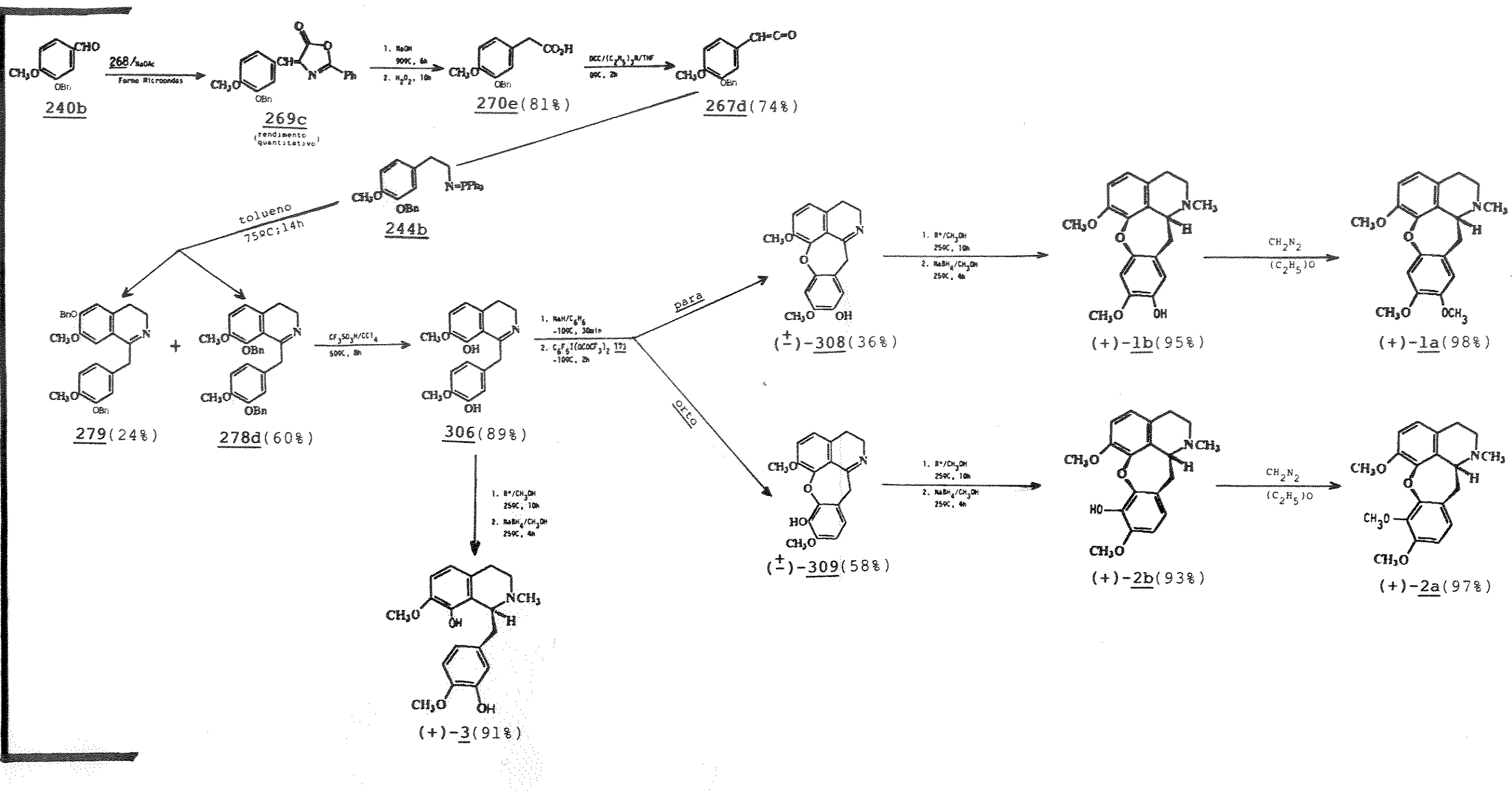
O grau de rotação  $[\alpha]_D^{25}=+18,2^\circ$  ( $c=1,6\text{ g/l}$  em MeOH) foi bem próximo ao obtido na literatura [lit.(10):  $[\alpha]_D^{25}=+20,6^\circ$  ( $c=1,6\text{ g/l}$  em MeOH)]; correspondendo a um e.e. > 88% (baseado no valor da rotação ótica).

**Observação:** Os esquemas 84 e 85, a seguir, apresentam a rota global das sínteses efetuadas neste trabalho.

Esquema 84



Esquema 85



# CAPÍTULO 9

## CONCLUSÃO

Neste trabalho, desenvolvemos dois novos métodos empregados na síntese de sistemas cularínicos. Foram preparadas as substâncias naturais: (+)-cularina 1.a, (+)-O-desmetilcularina 1.b, (+)-sarcocapnina 2.a, (+)-sarcocapnidina 2.b e (+)-crassifolina 3.

O primeiro método novo e geral, consistiu na síntese de 3,4-diidroisoquinolinas através da reação *aza-Wittig* entre um iminofosforano e um heterocumuleno sob condições brandas, sem a utilização de reagentes desidratantes fortes e com bons rendimentos. Exploramos a obtenção de iminofosforanos por meio de duas reações: via reação de Staudinger (entre uma arilfenetilamina e um reagente de fósforo III) e de uma reação de Mitsunobu (entre um arilfenetilálcool e um reagente de fósforo III). Ambos forneceram produtos com excelentes rendimentos.

A obtenção do heterocumuleno (ceteno) foi explorada por meio de reações de desidratação intramolecular de ácidos arilfenetílicos. Esta também forneceu bons rendimentos.

O segundo método novo e geral consistiu na obtenção de sistemas cularínicos por meio de intermediários reativos como os íons ariloxênios e arilnitrênios. Baseado em suas reatividades, seguimos concomitantemente duas rotas sintéticas: uma via íon ariloxênio e a outra via íon arilnitrônio para se obter a ( $\pm$ )-didesidronocularina 290. O emprego destes intermediários possibilitou a obtenção de sistemas diidroxepínicos (anel de 7 membros) com bons rendimentos. Esta metodologia permite realizar ciclizações intramoleculares em condições brandas com controle sobre a regiosseletividade e é uma excelente alternativa para a tradicional ciclização oxidativa que em geral proporciona rendimentos decepcionantes. A presença de uma arilamina primária no produto de ciclização via íon nitrônio abre a possibilidade de obtenção de uma ampla variedade de derivados substituídos através da química do íon diazônio. Esta é a primeira vez que a formação de sistema oxepina é obtido através de ciclização via íons nitrênios. O trabalho enfatiza também a

formação de ligação C–O–C pela substituição eletrofílica aromática através da participação de íon oxênio gerado em condições brandas e num meio reacional de fraca nucleofilicidade. O sucesso alcançado por estas ciclizações é um incentivo para aplicá-las em futuros projetos de síntese de outros alcalóides, alguns já em andamento em nosso laboratório.

Uma novidade empregada neste projeto foi a metilação redutiva assimétrica de ( $\pm$ )-didesidronorcularinas e ( $\pm$ )-didesidronorisocularinas em um único pote reacional, produzindo alcalóides cularínicos e isocularínicos com bons rendimentos. (obtém-se NCH<sub>3</sub>-isoquinolinas). Trata-se de um procedimento simples, barato e que proporciona altos rendimentos químicos e ópticos (e.e. > 99%) além de se constituir uma boa alternativa para a hidrogenação de enamidas catalisada por complexos de BINAP-rutênio (método de Noyori<sup>(37)</sup>) que requer alta pressão e temperatura (obtém-se NH-isoquinolinas). Esta metodologia é também um avanço em relação aos procedimentos que empregam a incorporação de auxiliares quirais; redução e eliminação do auxiliar quiral (métodos de Meyers<sup>(24-27)</sup> e Yamato<sup>(28)</sup>).

# CAPÍTULO 10

# PARTE EXPERIMENTAL

## 10.1 - INFORMAÇÕES GERAIS

### 10.1.1 - Reagentes e Métodos

Solventes como THF, benzeno, tolueno, tetracloreto de carbono, clorofórmio, diclorometano, éter etílico, éter de petróleo, etanol, metanol, acetonitrila e acetona foram devidamente tratados de acordo com os métodos de Vogel<sup>(175)</sup>.

As reações realizadas foram acompanhadas por cromatografia de camada delgada (ccd - 0,25 mm de espessura), com gel de sílica HF<sub>254-366</sub> mm (Merck).

Nas purificações realizadas em cromatografia de camada espessa (cce - 1 mm de espessura), utilizou-se gel de sílica HF<sub>254-366</sub> mm (Merck) distribuído sobre placas de vidro de 20x20 cm e reveladas com lâmpada de ultravioleta de 254-305 nm.

Nas preparações cromatográficas realizadas em coluna, utilizou-se gel de sílica 60 (70-230 mesh ASTM).

Os solventes utilizados nas recristalizações dos produtos sólidos são indicados caso a caso.

Os pontos de fusão (p.f.) foram determinados em aparelho Fisher-Johns (placa de aquecimento acoplada ao microscópio).

Os espectros de absorção na região infravermelha (IV) foram obtidos em aparelho Perkin-Elmer modelo 399B ou Perkin-Elmer modelo 1600 FTIR, em pastilhas de KBr ou ainda em filmes com cela de NaCl, sendo utilizada, como referência, a absorção em 1601 cm<sup>-1</sup> de um filme de poliestireno.

Os espectros de ressonância magnética nuclear foram obtidos em aparelhos Brucker modelo AW-80, Brucker AC-300/P ou Varian Gemini-300. Os solventes utilizados são especificados caso a caso. Os deslocamentos químicos ( $\delta$ ) são fornecidos em unidades de ppm e as constantes de acoplamento (J) em Hertz.

Os espectros de massa por impacto de elétrons foram obtidos em aparelho Varian modelo AT-311A com geometria Nier-Johnson reversa e voltagem nominal de 70 eV.

A determinação das fórmulas elementares foi realizada num aparelho Perkin-Elmer modelo 2400 CHN.

O grau de rotação  $[\alpha]_D^T$  foi obtido em polarímetro da Carl Zeiss, modelo Polamat A com lâmpada de mercúrio, a 546 nm e Carl Zeiss, modelo 373147 com lâmpada de sódio, a 589 nm. A conversão do  $[\alpha]_{Hg}$  para  $[\alpha]_{Na}$  foi realizada utilizando-se as seguintes fórmulas<sup>(176,177)</sup>:

$$[\alpha]_{\text{Hg}}^T = 1,17543 [\alpha]_{\text{Na}}^T$$

$$[\alpha]_D^T = [\alpha]_{\text{Na}}^T / (c \text{ (g/100 ml)} \cdot l \text{ (dm)})$$

onde:

$[\alpha]_D^T$  - rotação específica,

$[\alpha]_{\text{Hg}}^T$  - rotação lida no aparelho,

c (g/100 ml) - concentração da amostra,

l (dm) - comprimento da cela (0,2),

T (°C) - temperatura.

## 10.2 - SÍNTSE DO IMINOFOSFORANO 244 VIA REAÇÃO DE STAUDINGER E MITSUNOBU

### 10.2.1 - Síntese do veratraldeído 237<sup>(114)</sup>

A uma solução de hidróxido de sódio (1,34 g; 33,50 mmols) em 13 ml de água destilada, adicionou-se a vanilina 3 (3,0 g; 19,70 mmols). Agitou-se a suspensão e adicionou-se o sulfato de metila (3 ml; 31,70 mmols) pelo funil com equalizador de pressão. Após isso, a mistura foi refluxada por cerca de 2 horas. Deixou-se a mistura esfriar, adicionou-se água destilada (10 ml) e extraiu-se com diclorometano. A fase orgânica foi lavada com NaOH 10% e depois com água, até pH neutro. Secou-se a fase orgânica sobre sulfato de sódio anidro e após filtração e evaporação do solvente obteve-se o veratraldeído 237 (2,91 g; 17,50 mmols) na forma de sólido amarelo.

Rendimento: 89%.

p.f.= 43-44°C (lit.<sup>(114)</sup>: 43-44,5°C)

IV (KBr) cm<sup>-1</sup> (E-1): 2842 (CH aldeído); 1682 ( $\nu_{C=O}$ ); 1588; 1512; 1465 ( $-C=C-$ ); 1267 (Ar-O-CH<sub>3</sub>); 1136 (C-O).

RMN<sup>1</sup>H (CCl<sub>4</sub>/TMS) (E-2):  $\delta$  = 3,87 (s, 3H); 3,88 (s, 3H); 6,85 (d, 1H, J= 7,8 Hz); 7,27 (dd, 1H, J = 7,8 Hz e 1,9 Hz); 7,32 (d, 1H, J= 1,9 Hz); 9,74 (s, 1H).

### 10.2.2 - Síntese da isovanilina 238<sup>(115)</sup>

Uma solução de veratraldeído 237 (1,0 g; 6,02 mmols) e ácido sulfúrico concentrado (5 ml) foi aquecida a 65°C e agitada por 20 horas, sob nitrogênio. Após este período, a mistura foi esfriada e colocada em 50 g de gelo picado. Após agitação por 15 minutos, a mistura foi filtrada e extraída com diclorometano. Os extratos obtidos foram extraídos com uma solução de hidróxido de sódio 1N. A fase aquosa foi acidificada com ácido clorídrico concentrado e extraída com diclorometano. Após secagem sobre sulfato de sódio anidro e evaporação do solvente, o produto foi recristalizado em etanol, de onde obteve-se a isovanilina 238 (600 mg; 3,95 mmols), na forma de sólido branco.

Rendimento: 66%.

p.f.= 110-112°C (lit.<sup>(115)</sup>: 110-113°C)

IV (KBr) cm<sup>-1</sup> (E-3): 3500-3040 ( $\nu_{O-H}$ ); 2833 (CH aldeído); 1674 ( $\nu_{C=O}$ ); 1277 (Ar-O-CH<sub>3</sub>); 1121 (C-O).

RMN<sup>1</sup>H (CDCl<sub>3</sub>/TMS) (E-4):  $\delta$  = 3,99 (s, 1H); 5,87 (s, 1H); 6,97 (d, 1H, J= 7,8 Hz); 7,41 (dd, 1H, J = 7,8 Hz e 2,0 Hz); 7,44 (d, 1H, J= 2,0 Hz); 9,85 (s, 1H).

### 10.2.3 - Síntese da 6-bromoisovanilina 239<sup>(117)</sup>

Uma solução da isovanilina 238 (500 mg; 3,29 mmols) e ácido acético glacial (3,0 ml) foi tratada gradualmente com bromo (0,54 g; 3,34 mmols) em ácido acético glacial (1,0 ml). Essa mistura foi deixada em repouso por 1,5 horas. Após este período o sólido formado foi filtrado e seco no dessecador, sob vácuo. Este sólido foi recristalizado em etanol de onde obteve-se a 6-bromoisovanilina 239 (550 mg; 2,38 mmols) na forma de sólido branco.

Rendimento: 72%.

p.f.= 112-113°C (lit.<sup>(117)</sup>: 112-114°C)

IV (KBr) cm<sup>-1</sup> (E-5): 810, 800 (benzeno tetrassubstituído)

RMN<sup>1</sup>H (CDCl<sub>3</sub>/TMS) (E-6): δ = 4,0 (s, 3H); 6,10 (s, 1H); 6,94 (s, 1H); 7,57 (s, 1H); 10,26 (s, 1H).

### 10.2.4 - Síntese do 3-benziloxi-4-metoxi-6-bromobenzaldeído 240.a<sup>(118)</sup>

A uma solução de 6-bromoisovanilina 239 (500 mg; 2,17 mmols), carbonato de potássio (330 mg; 2,38 mmols), iodeto de potássio (13 mg; 0,086 mmol) em etanol a 95% (5 ml), adicionou-se cloreto de benzila (320 mg; 2,58 mmols) e refluxou-se por 4 horas. Após este período, adicionou-se água destilada (5,0 ml), concentrou-se a mistura, adicionou-se uma solução de hidróxido de sódio 10% (5,0 ml) e extraiu-se com diclorometano. Após secagem sobre sulfato de sódio anidro, evaporacão do solvente e recristalização em etanol, obteve-se o bromobenzaldeído 240.a (690 mg; 2,15 mmols) na forma de sólido branco.

Rendimento: 99%.

p.f.= 64-65°C

IV (KBr) cm<sup>-1</sup> (E-7): 2840 (CH aldeído); 1685 (ν<sub>C=O</sub>); 1590; 1510; 1445 (-C=C-); 1270 (Ar-O-CH<sub>2</sub>-Ar); 1145 (C-O); 810 (benzeno tetrassubstituído); 740; 700 (benzeno monossubstituído)

RMN<sup>1</sup>H (CCl<sub>4</sub>/TMS) (E-8): δ = 3,93 (s, 3H); 4,98 (s, 2H); 6,91 (s, 1H); 7,36 (m, 5H); 7,67 (s, 1H); 10,20 (s, 1H).

## 10.2.5 - Síntese do Iminofosforano 244.a Via Reação de Staudinger

### 10.2.5.1 - Síntese do 3-benziloxi-4-metoxi-6-bromo- $\beta$ -nitroestireno 241.a<sup>(119)</sup>

Uma solução de 3-benziloxi-4-metoxi-6-bromobenzaldeído 240.a (600 mg; 1,87 mmols) e nitrometano (320 mg; 5,18 mmols) em tampão acetato NH<sub>4</sub>OAc/HOAc (2,0 ml) foi refluxada por 3 horas. Após resfriamento, a mistura reacional foi colocada em um béquer contendo gelo picado. O sólido formado foi filtrado e dissolvido em diclorometano. Lavou-se a fase orgânica com uma solução de hidróxido de amônio 10% e depois com água. Após secagem com sulfato de sódio anidro e evaporacão do solvente, o produto foi recristalizado em etanol, de onde obteve-se o nitroestireno 241.a (600 mg; 1,65 mmols) na forma de sólido amarelo.

Rendimento: 88%.

p.f.= 97-98°C

IV (KBr) cm<sup>-1</sup> (E-9): 3100 (—C=C—H); 1485; 1340 (—NO<sub>2</sub>).

RMN<sup>1</sup>H (CCl<sub>4</sub>/TMS) (E-10): δ = 3,92 (s, 3H); 5,0 (s, 2H); 6,86 (s, 1H); 7,29 (s, 1H); 7,35 (m, 5H); 7,42 (d, 1H, J= 13 Hz); 8,30 (d, 1H, J= 13 Hz).

### 10.2.5.2 - Síntese da 3-benziloxi-4-metoxi-6-bromofenetilamina 242.a<sup>(120)</sup>

A uma solução resfriada de hidreto de lítio e alumínio (250 mg; 6,58 mmols) em THF anidro (15 ml), adicionou-se uma mistura do nitroestireno 241.a (500 mg; 1,37 mmols) em THF anidro (15 ml) e refluxou-se por 8 horas. Após este período, destruiu-se o excesso de hidreto de lítio e alumínio pela adição de água. Após filtração, a mistura foi extraída com éter etílico e seca sobre carbonato de potássio anidro. Essa amina foi purificada em coluna cromatográfica (hex.:CH<sub>2</sub>Cl<sub>2</sub>-6:4). Desta obteve-se a amina 242.a (330 mg; 0,98 mmol) na forma de óleo amarelo.

Rendimento: 72%.

IV (filme) cm<sup>-1</sup> (E-11): 3379 (N—H); 1601 (N—H); 1372 (C—N); 1266 (Ar—O—CH<sub>2</sub>—Ar); 1139 (C—O).

RMN<sup>1</sup>H (CCl<sub>4</sub>/TMS) (E-12): δ = 2,90 (m, 4H); 3,82 (s, 3H); 4,62 (s, 2H); 5,05 (s, 2H); 6,77 (s, 1H); 7,33 (m, 6H).

### 10.2.5.3 - Síntese do cloreto de 3-benziloxi-4-metoxi-6-bromofenetil-trifeniliminofosfônio 243.a<sup>(121)</sup>

Uma solução da amina 242.a (160 mg; 0,48 mmol), trifenilfosfina (130 mg; 0,48 mmol), tetracloreto de carbono anidro (100 mg; 0,48 mmol) e diclorometano anidro (7,0 ml) foi aquecida para 40°C e agitada por 72 horas, sob nitrogênio. Após este período, evaporou-se o solvente e o produto foi recristalizado com uma mistura de acetona:clorofórmio (1:1). Obteve-se o sal de iminofosfônio 243.a (220 mg; 0,37 mmol) na forma de sólido amarelo.

Rendimento: 79%.

p.f.= 172-173°C.

IV (KBr) cm<sup>-1</sup> (E-13): 3600-3300(N-H); 1430 (C-P); 1255 (Ar-O-CH<sub>2</sub>Ar); 1180; 1020 (N-P)<sup>(38,122-124)</sup>.

RMN<sup>1</sup>H (CDCl<sub>3</sub>/TMS) (E-14): δ = 3,0 (m, 5H); 3,87 (s, 3H); 5,20 (s, 2H); 6,80 (s, 1H); 7,55 (m, 21H).

### 10.2.5.4 - Síntese do 3-benziloxi-4-metoxi-6-bromofenetil-trifeniliminofosforano 244.a<sup>(41)</sup>

Uma solução do sal de iminofosfônio 243.a (200 mg; 0,32 mmol), tolueno anidro (10 ml) e amideto de sódio (14 mg; 0,56 mmol) foi aquecida para 100°C e agitada por 1 hora sob nitrogênio. Após este período evaporou-se o solvente e o produto foi recristalizado em uma mistura de acetona:clorofórmio (1:1). Obteve-se o iminofosforano 244.a (180 mg; 0,30 mmol) na forma de sólido amarelado.

Rendimento: 95%.

p.f.= 152-153°C.

IV (KBr) cm<sup>-1</sup> (E-15): 1580; 1510; 1470 (C=C); 1430 (C-P); 1260 (Ar-O-CH<sub>3</sub>); 1165; 1010 (N-P)<sup>(38,122-124)</sup>.

RMN<sup>1</sup>H (CDCl<sub>3</sub>/TMS) (E-16): δ = 3,10 (m, 4H); 3,78 (s, 3H); 5,15 (s, 2H); 6,80 (s, 1H); 7,56 (m, 21H).

Anál. Elem.: Calculado para C<sub>34</sub>H<sub>31</sub>BrNO<sub>2</sub>P: C, 68,46; H, 5,24; N, 2,35%.

Encontrado: C, 68,48; H, 5,25; N, 2,36%.

## 10.2.6 - Síntese do Iminofosforano 244.a Via Reação de Mitsunobu

### 10.2.6.1 - Síntese do 3-benziloxi-4-metoxi-6-bromo- $\beta$ -cloroestireno 252

#### 10.2.6.1.1 - Obtenção do CrCl<sub>3</sub> anidro<sup>(126)</sup>

Uma solução de CrCl<sub>3</sub>.6H<sub>2</sub>O (10g; 37,50 mmols) e SOCl<sub>2</sub> (25 ml) foi refluxada por 4 horas. Após esse período, o excesso de SOCl<sub>2</sub> foi removido a vácuo e o CrCl<sub>3</sub> anidro foi colocado num dessecador, contendo hidróxido de potássio, por 24 horas. O rendimento foi quantitativo.

#### 10.2.6.1.2 - Síntese de 252 (125,127,128)

CrCl<sub>3</sub> anidro (5,0 g; 31,60 mmols) suspendido em THF anidro (50 ml) foi tratado com LiAlH<sub>4</sub> (0,60 g; 15,80 mmols), sob nitrogênio a 0°C. Uma solução de 3-benziloxi-4-metoxi-6-bromobenzaldeído 240.a (2 g; 6,20 mmols) e clorofórmio anidro (1,48 g; 12,40 mmols) em THF anidro(30 ml), foi adicionada na suspensão a 0°C. Após agitação a 65°C por 6h, a mistura reacional foi colocada em água e extraída com diclorometano. Após secagem sobre sulfato de sódio anidro e evaporação do solvente, o óleo residual foi purificado em coluna cromatográfica (CHCl<sub>3</sub>). Obteve-se o cloroestireno 252 (1,96 g; 5,54 mmols), na forma de óleo amarelo.

Rendimento: 89% (isômero E).

IV (filme) cm<sup>-1</sup> (E-17): 3060-3020, 1670 (RCH=CHR).

RMN<sup>1</sup>H (CCl<sub>4</sub>/TMS) (E-18): δ = 3,77 (s, 3H); 4,93 (s, 2H); 6,35 (d, 1H, J= 13,5 Hz); 6,94 (s, 1H); 7,04 (d, 1H, J= 13,5 Hz); 7,25 (m, 5H); 7,54 (s, 1H).

#### 10.2.6.2 - Síntese do 3-benziloxi-4-metoxi-6-bromoestireno 253<sup>(129,130)</sup>

A uma suspensão de LiAlH<sub>4</sub> (710 mg; 18,70 mmols) em THF anidro (15 ml), a 0°C, adicionou-se uma solução de 3-benziloxi-4-metoxi-6-bromo- $\beta$ -cloroestireno 252 (1,60 g; 4,53 mmols) em THF anidro (30 ml). Após isso, a mistura foi refluxada por 8 horas e, após resfriamento, o excesso de LiAlH<sub>4</sub> foi destruído pela adição de água e a mistura foi filtrada e extraída com diclorometano. Após secagem sobre sulfato de sódio anidro e evaporação do solvente, o óleo residual foi purificado em

coluna cromatográfica ( $\text{CHCl}_3$ ). Obteve-se bromoestireno 253 (1,30 g; 4,10 mmols) na forma de sólido amarelo.

Rendimento: 90%.

p.f.= 40-41°C.

IV (KBr)  $\text{cm}^{-1}$  (E-19): 3080, 1665 (RCH=CHR).

RMN<sup>1</sup>H ( $\text{CCl}_4/\text{TMS}$ ) (E-20):  $\delta$  = 3,58 (s, 3H); 5,08 (s, 2H); 6,57 (dd, 1H,  $J$ = 8,2 Hz e 2,7 Hz); 6,73 (dd, 1H,  $J$ = 18 Hz e 2,7 Hz); 6,85 (s, 1H); 6,97 (dd, 1H,  $J$ = 18 Hz e 8,2 Hz); 7,17 (m, 5H); 7,25 (s, 1H).

Anál. Elem.: Calculado para  $\text{C}_{16}\text{H}_{15}\text{BrO}_2$ : C, 60,21; H, 4,74%.

Encontrado: C, 60,21; H, 4,75%.

### 10.2.6.3 - Síntese do 3-benziloxi-4-metoxi-6-bromofenetilálcool 257<sup>(131,132)</sup>

$\text{SnCl}_4\text{-NaBH}_4$  foi preparado pela mistura de  $\text{SnCl}_4$  (520 mg; 2,0 mmols) com  $\text{NaBH}_4$  (300 mg; 8,0 mmols) em THF anidro à temperatura ambiente por 3 horas. Após este período adicionou-se uma solução de 3-benziloxi-4-metoxi-6-bromoestireno 253 (640 mg; 2,0 mmols) em THF anidro. Após 7 horas adicionou-se peróxido de hidrogênio 30% (0,5 ml) diluído com água (0,5 ml). Esta mistura foi deixada em repouso, durante a noite, e depois acidificada com ácido clorídrico 10%. A solução ácida foi extraída com diclorometano e, após secagem sobre sulfato de magnésio anidro e evaporação do solvente, o resíduo foi purificado em coluna cromatográfica ( $\text{CHCl}_3$ ). Obteve-se álcool 257 (630 mg; 1,96 mmols), na forma de sólido amarelo.

Rendimento: 92%.

p.f.= 55-56°C.

IV (KBr)  $\text{cm}^{-1}$  (E-21): 3600-3200 ( $\nu_{\text{O-H}}$ ); 1595; 1510; 1410 (C-OH); 1460 (C=C); 1260 (Ar-O-CH<sub>3</sub>); 1130 (C-O).

RMN<sup>1</sup>H ( $\text{CCl}_4/\text{TMS}$ ) (E-22):  $\delta$  = 2,65 (t, 2H); 3,63 (t, 2H); 3,80 (s, 3H); 4,60 (s, 1H); 5,02 (s, 2H); 6,70 (s, 1H); 7,28 (m, 5H); 7,39 (s, 1H).

Anál. Elem.: Calculado para  $\text{C}_{16}\text{H}_{17}\text{BrO}_3$ : C, 56,99; H, 5,08%.

Encontrado: C, 56,99; H, 5,09%.

### **10.2.6.4 - Síntese do 3-benziloxi-4-metoxi-6-bromofenetil-trifeniliminofosforano 244.a**

#### **10.2.6.4.1 - Obtenção do ácido hidrazóico ( $\text{HN}_3$ )<sup>(135)</sup>**

Em uma mistura de azida de sódio (2,2 g; 33,84 mmols) com água quente (3 ml) adicionou-se benzeno (13 ml) e resfriou-se para 0°C. Nesta temperatura e com agitação adicionou-se ácido sulfúrico (1,63 g; 16,63 mmols). Terminada essa adição, a mistura foi esfriada para 0°C e a fase orgânica foi decantada e seca sobre sulfato de sódio anidro.

#### **10.2.6.4.2 - Obtenção de 244.a<sup>(43)</sup>**

Em uma solução do álcool 257 (600 mg; 1,78 mmols) em THF anidro (5 ml) adicionou-se uma solução de ácido hidrazóico em benzeno (2,2 ml), seguida por uma solução de azodicarboxilato de dietila (400 mg; 2,3 mmols) em THF anidro (5 ml). À mistura restante adicionou-se uma solução de trifenilfosfina (1,03 g; 3,9 mmols) em THF anidro (8 ml). Após 1 h à temperatura ambiente e sob nitrogênio, a mistura reacional foi aquecida por 7 h a 65C. Após este período evaporou-se o solvente e o sólido formado foi recristalizado em acetona: clorofórmio (1:1). Obteve-se o iminofosforano 244.a (1,04 g; 1,74 mmols), na forma de um sólido amarelado.

Rendimento: 98%.

Os dados físicos e espectrais conferem com os obtidos em sua síntese via reação de Staudinger (E-15 e E-16).

## **10.2.7 - SÍNTESE DO IMINOFOSFORANO 244.b VIA REAÇÃO DE STAUDINGER**

### **10.2.7.1 - Síntese do 3-benziloxi-4-metoxi-benzaldeído 240.b<sup>(118)</sup>**

Semelhante ao procedimento utilizado na síntese do bromobenzaldeído 240.a. Partiu-se da isovanilina 238 (500 mg; 3,29 mmols) e obteve-se o benzaldeído 240.b (790 mg; 3,26 mmols), na forma de sólido amarelo.

Rendimento: 99%.

p.f.= 61-63°C (lit.<sup>(176)</sup>: 61-64°C).

### **10.2.7.2 - Síntese do 3-benziloxi-4-metoxi-β-nitroestireno 241.b<sup>(119)</sup>**

Semelhante ao procedimento utilizado na síntese do bromo-nitroestireno 241.a. Partiu-se do benzaldeído 240.b (700 mg; 2,89 mmols) e obteve-se o nitroestireno 241.b (730 mg; 2,56 mmols), na forma de sólido amarelo.

Rendimento: 89%.

p.f.=109-110°C.

### **10.2.7.3 - Síntese da 3-benziloxi-4-metoxifenetilamina 242.b<sup>(120)</sup>**

Semelhante ao procedimento utilizado na síntese da amina 242.a. Partiu-se do nitroestireno 241.b (700 mg; 2,46 mmols) e obteve-se a amina 242.b (440 mg; 1,71 mmols), na forma de óleo amarelo.

Rendimento: 70%.

### **10.2.7.4 - Síntese do 3-benziloxi-4-metoxifenetil-trifeniliminofosfônio 243.b<sup>(121)</sup>**

Semelhante ao procedimento utilizado na síntese do sal de iminofosfônio 243.a. Partiu-se da amina 242.b (400 mg; 1,56 mmols) e obteve-se o sal de iminofosfônio 243.b (660 mg; 1,19 mmols), na forma de sólido amarelo.

Rendimento: 77%.

p.f.=169-170°C.

### **10.2.7.5 - Síntese do 3-benziloxi-4-metoxifenil-trifeniliminofosforano 244.b<sup>(41)</sup>**

Semelhante ao procedimento utilizado na síntese do sal de iminofosforano 244.a (via reação de Staudinger). Partiu-se do sal de iminofosfônio 243.b (600 mg; 1,08 mmols) e obteve-se o iminofosforano 244.b (520 mg; 1,01 mmols), na forma de sólido amarelado.

Rendimento: 94%.

p.f.=150-151°C.

## **10.3 - SÍNTESE DO CETENO 267**

### **10.3.1 - Síntese do Ceteno 267.a**

#### **10.3.1.1 - Síntese do ácido hipúrico 268<sup>(147)</sup>**

Em um balão, 1 litro, contendo hidróxido de amônio concentrado (273 g; 7,79 mmols), adicionou-se uma solução de ácido cloroacético (9,5 g; 0,10 mol) em água (10 ml). Este foi coberto e deixado em repouso por 4 dias. Após este período concentrou-se a solução para aproximadamente 30 ml. Na solução residual adicionou-se uma solução de hidróxido de sódio (5,0 g; 0,13 mol) em água (10 ml) e a mistura foi aquecida até desaparecer o odor de amônia. A solução resultante foi filtrada, diluída com água (5,0 ml) e resfriada abaixo de 30°C. Com agitação adicionou-se cloreto de benzoila (15 g; 0,11 mol) por 30 min. e, em seguida, uma solução gelada de hidróxido de sódio (8,0 g; 0,20 mol) em água (20 ml) também por 30 min. Após 30 min. de agitação, a mistura foi colocada em ácido clorídrico concentrado (12,5 ml) e esfriada. O sólido formado foi filtrado, seco e recristalizado em tetracloreto de carbono e depois com água. Obteve-se o ácido hipúrico 268 (12,50 g; 0,07 mol), na forma de sólido branco.

Rendimento: 69%.

p.f.= 186-187°C (lit.<sup>(147)</sup>: 186-187°C).

IV (KBr)  $\text{cm}^{-1}$  (E-23): 3600-3100 ( $\nu_{\text{O-H}}$ ); 3340 (N-H); 1760-1740 ( $\nu_{\text{C=O}}$  ácido e  $\nu_{\text{C=O}}$  amida).

### 10.3.1.2 - Síntese do ácido acrílico da azalactona do $\alpha$ -benzoilamino- $\beta$ -(3,4-dimetoxifenila) 269.a<sup>(143)</sup>

Num erlenmeyer, uma mistura de veratraldeído 237 (10,67 g; 0,06 mols), ácido hipúrico 268 (12,80 g; 0,072 mols), acetato de sódio (5,34 g; 0,07 mols) e anidrido acético (20,0 g; 0,17 mols) foi aquecida por 2,5 horas. Após este período adicionou-se álcool etílico (27 ml) e a mistura foi deixada em repouso, durante a noite. O sólido formado foi filtrado, lavado com álcool gelado (10 ml) e depois com água quente (10 ml). Obteve-se a oxazolona 269.a (15,1 g; 0,05 mol), na forma de sólido amarelo.

Rendimento: 76%.

p.f.= 151-152°C (lit.<sup>(143)</sup>: 151-152°C).

IV (KBr) cm<sup>-1</sup> (E-24): 3090 (C=C); 1784, 1766 (CO–O–); 1650 (C=N); 1270; 1156 (R–O–R).

RMN<sup>1</sup>H (CDCl<sub>3</sub>/TMS) (E-25):  $\delta$  = 3,97 (s, 3H); 4,03 (s, 3H); 6,94 (d, 1H, J= 8,4 Hz); 7,21 (s, 1H); 7,55 (m, 5H); 8,13 (dd, 1H, J= 8,4 Hz e 1,8 Hz); 8,18 (d, 1H, J= 1,8 Hz).

#### 10.3.1.2.1 - Síntese de 269.a (Forno Microondas)<sup>(144,145)</sup>

Utilizando-se as mesmas relações molares do item 10.3.2, a oxazolona 269.a foi obtida de uma reação feita em forno microondas. Nesta, o ácido hipúrico 268 foi misturado, de uma forma homogênea, com o veratraldeído 237 e o acetato de sódio; e a mistura resultante foi levada ao forno microondas por um período de 5 minutos. Rendimento: 100%.

### 10.3.1.3 - Síntese do ácido homoverátrico 270.a<sup>(149)</sup>

Uma mistura da oxazolona 269.a (14 g; 0,05 mol) e uma solução de hidróxido de sódio 10% (70 ml) foi refluxada por 7 horas (até cessar evolução de amônia). Após este período adicionou-se uma solução de hidróxido de sódio 40% (6 ml). A mistura foi esfriada com gelo e sal e nela adicionou-se peróxido de hidrogênio 30% (5,3 ml) diluído com água (5,3 ml). Esta mistura foi deixada em repouso, durante a noite, e depois acidificada com ácido clorídrico concentrado (30 ml). A solução ácida quente foi extraída com benzeno quente e seca com sulfato de magnésio anidro.

Após remoção do solvente, adicionou-se álcool metílico (70 ml) contendo ácido sulfúrico concentrado (1,1 ml) e a mistura foi refluxada por 5 horas. Após este período o álcool metílico foi evaporado e o líquido residual foi resfriado e agitado com água fria (35 ml). A mistura foi extraída com benzeno, lavada com uma solução de carbonato de sódio 10% e depois com água destilada. Após secagem sobre sulfato de magnésio anidro e evaporação do solvente, a mistura foi destilada, sob pressão reduzida, e o homoveratrato de metila foi coletado entre 176-178°C. Este foi refluxado com uma solução de hidróxido de sódio 10% (18 ml) e, após 30 min. a solução foi resfriada em banho de gelo e colocada, vagarosamente sobre uma mistura de ácido clorídrico concentrado (9 ml) e gelo (25 g), em agitação. Após repouso por 1 hora, os cristais foram filtrados e lavados com água gelada e deixados, durante a noite, num dessecador contendo hidróxido de sódio e cloreto de cálcio. Após recristalização em benzeno, obteve-se o ácido homoverátrico 270.a (7,37 g; 0,04 mol), na forma de sólido branco.

Rendimento: 83%.

p.f.= 97-98°C (lit.<sup>(149)</sup>: ≈98°C).

IV (KBr) cm<sup>-1</sup> (E-26): 3600-2900 (ν<sub>O-H</sub>); 1710 (ν<sub>C=O</sub>).

RMN<sup>1</sup>H (CDCl<sub>3</sub>/TMS) (E-27): δ = 3,58 (s, 2H); 3,93 (s, 3H); 3,94 (s, 3H); 6,89 (d, 1H, J= 8,4 Hz); 7,55 (d, 1H, J= 1,8 Hz); 7,74 (dd, 1H, J= 8,4 Hz e 1,8 Hz); 12,0 (s, 1H).

#### 10.3.1.4 - Síntese do 3,4-dimetoxifenilceteno 267.a<sup>(146)</sup>

A uma solução de dicicloexilcarbodiimida (740 mg; 3,60 mmols) em THF anidro (50 ml), adicionou-se uma quantidade catalítica de trietilamina destilada. A esta mistura, esfriada a 0°C com agitação e sob nitrogênio, adicionou-se uma solução do ácido homoverátrico 270.a (700 mg; 3,60 mmols) em THF anidro (5,0 ml). Após a adição, a mistura foi agitada por 2 horas à temperatura ambiente e concentrada a vácuo. Após recristalização em éter de petróleo obteve-se o ceteno 267.a (500 mg; 2,81 mmols) na forma de sólido branco.

Rendimento: 78%.

p.f.= 81-82°C

IV (KBr) cm<sup>-1</sup> (E-28): 3050 (-CH=C-); 2118 (-CH=C=O); 1600, 1514, 1450 (C=C); 1271 (Ar-O-CH<sub>3</sub>); 1177 (C-O).

RMN<sup>1</sup>H (CDCl<sub>3</sub>/TMS) (E-29): δ = 3,87 (s, 3H); 3,88 (s, 3H); 6,80 (d, 1H, J= 8,4 Hz); 7,10 (s, 1H); 7,95 (dd, 1H, J = 8,4 Hz e 1,8 Hz); 8,10 (d, 1H, J= 1,8 Hz).

### 10.3.2 - Síntese do Ceteno 267.b

#### 10.3.2.1 - Síntese do *para*-metoxibenzaldeído 272<sup>(114)</sup>

Semelhante ao procedimento utilizado na síntese do veratraldeído 237. Partiu-se do *para*-hidroxibenzaldeído 271 (4,0 g; 32,79 mmols) e obteve-se o *para*-metoxibenzaldeído 272 (3,86 g; 28,18 mmols), na forma de óleo amarelo.

Rendimento: 86%.

IV (filme) cm<sup>-1</sup> (E-30): 2840 (CH aldeído); 1682 ( $\nu_{C=O}$ ); 1578; 1511; 1459 ( $-C=C-$ ); 1261 (Ar-O-CH<sub>3</sub>); 1161 (C-O).

RMN<sup>1</sup>H (CCl<sub>4</sub>/TMS) (E-31):  $\delta$  = 3,82 (s, 3H); 6,96 (d, 2H, J = 8,3 Hz); 7,79 (d, 2H, J = 8,3 Hz); 9,84 (s, 1H).

### 10.3.2.2 - Síntese do 3-nitro-4-metoxibenzaldeído 273

#### 10.3.2.2.1 - Obtenção do nitrato de acetila<sup>(148)</sup>

Em uma solução de nitrato de prata (5,0 g; 29,43 mmols) e acetonitrila anidra (20 ml), a 20°C, adicionou-se cloreto de acetila (2,31 g; 29,43 mmols) em acetonitrila anidra (20 ml) e deixou-se a mistura reagir por 2 horas, a -20°C. Após este período filtrou-se a mistura, de onde obteve-se o nitrato de acetila (2,72 g; 25,90 mmols), com rendimento de 88%.

#### 10.3.2.2.2 - Síntese de 273<sup>(148)</sup>

Em uma solução de nitrato de acetila (2,50 g; 23,81 mmols) e acetonitrila anidra (20 ml), a 0C, adicionou-se o *para*-metoxibenzaldeído 272 (2,0 g; 14,60 mmols) e deixou-se reagir por 2 horas a 0C. Após este período a reação permaneceu durante a noite à temperatura ambiente. Evaporou-se o solvente e o sólido obtido foi purificado em coluna cromatográfica (hex.:EtOAc - 7:3). Obteve-se o 3-nitro-4-metoxibenzaldeído 273 (1,98 g; 10,94 mmols), na forma de sólido amarelo.

Rendimento: 75%.

p.f.= 72-73°C

IV (KBr) cm<sup>-1</sup> (E-32): 2867 (CH aldeído); 1678 ( $\nu_{C=O}$ ); 1534; 1353 ( $-NO_2$ ).

RMN<sup>1</sup>H (CDCl<sub>3</sub>/TMS) (E-33):  $\delta$  = 4,1 (s, 3H); 7,25 (d, 1H, J = 8,3 Hz); 8,1 (dd, 1H, J = 8,3 Hz e 2,7 Hz); 8,4 (d, 1H, J = 2,7 Hz); 9,95 (s, 1H).

### 10.3.2.3 - Síntese do ácido acrílico da azalactona do $\alpha$ -benzoilamino- $\beta$ -(3-nitro-4-metoxifenila) 269.b<sup>(144,145)</sup>

Semelhante ao procedimento utilizado na síntese da oxazolona 269.a (forno microondas). Partiu-se do 3-nitro-4-metoxibenzaldeído 273 (1,95 g; 10,77 mmols) e obteve-se a oxazolona 269.b (3,49 g; 10,77 mmols), na forma de sólido amarelo. Rendimento: 100%.

p.f.= 186-188°C.

IV (KBr) cm<sup>-1</sup> (E-34): 3050 (C=C); 1793, 1772 (CO–O); 1657 (C=N); 1530, 1347 (–NO<sub>2</sub>); 1170 (R–O–R).

RMN<sup>1</sup>H (CDCl<sub>3</sub>/TMS) (E-35): δ = 4,05 (s, 3H); 7,17 (s, 1H); 7,60 (m, 5H); 8,19 (d, 1H, J= 8,9 Hz); 8,28 (dd, 1H, J= 8,9 Hz e 2,3 Hz); 8,92 (d, 1H, J= 2,3 Hz).

### 10.3.2.4 - Síntese do ácido 3-nitro-*para*-homoanísico 270.b<sup>(149)</sup>

Semelhante ao procedimento utilizado na síntese do ácido homoverátrico 270.a. Partiu-se da oxazolona 269.b (3,44 g; 10,62 mmols) e obteve-se o ácido 3-nitro-*para*-homoanísico 270.b (1,79 g; 8,48 mmols), na forma de sólido amarelo. Rendimento: 80%.

p.f.= 132-133°C (lit.<sup>(178)</sup>: 132-133°C).

IV (KBr) cm<sup>-1</sup> (E-36): 3600-2900 (ν<sub>O-H</sub>); 1700 (ν<sub>C=O</sub>); 1541, 1328 (–NO<sub>2</sub>).

RMN<sup>1</sup>H (CDCl<sub>3</sub>/TMS) (E-37): δ = 3,75 (s, 2H); 4,05 (s, 3H); 7,28 (d, 1H, J= 8,9 Hz); 7,50 (dd, 1H, J= 8,9 Hz e 2,3 Hz); 8,15 (d, 1H, J= 2,3 Hz); 11,50 (s, 1H).

### 10.3.2.5 - Síntese do 3-nitro-4-metoxifenilceteno 267.b<sup>(146)</sup>

Semelhante ao procedimento utilizado na síntese do 3,4-dimetoxifenilceteno 267.a. Partiu-se do ácido 270.b (1,0 g; 4,74 mmols) e obteve-se o ceteno 267.b (720 mg; 3,73 mmols), na forma de sólido amarelo.

Rendimento: 79%.

p.f.= 126-127°C.

IV (KBr) cm<sup>-1</sup> (E-38): 3050 (–C=C–); 2122 (–CH=C=O); 1601, 1515, 1450 (C=C); 1531, 1355 (–NO<sub>2</sub>), 1272 (Ar–O–CH<sub>3</sub>).

RMN<sup>1</sup>H (CDCl<sub>3</sub>/TMS) (E-39): δ = 3,95 (s, 1H); 7,12 (s, 1H); 7,30 (d, 1H, J= 8,9 Hz); 7,84 (dd, 1H, J= 8,9 Hz e 2,3 Hz); 8,40 (d, 1H, J= 2,3 Hz).

Anál. Elem.: Calculado para C<sub>9</sub>H<sub>7</sub>NO<sub>4</sub>: C, 55,96; H, 3,65; N, 7,25%.  
Encontrado: C, 55,96; H, 3,66; N, 7,26%.

### 10.3.3 - Síntese do Ceteno 267.c

#### 10.3.3.1 - Síntese do ácido 3-amino-*para*-homoanísico 270.c<sup>(150)</sup>

Colocou-se uma solução do ácido 3-nitro-*para*-homoanísico 270.b (750 mg; 3,55 mmols) em metanol anidro, juntamente com paládio sob carvão no frasco do hidrogenador, onde processou-se a hidrogenação catalítica a uma pressão de 45 psi e a 25°C. Após 5 horas a mistura foi filtrada e evaporada. Obteve-se o ácido 270.c (540 mg; 2,98 mmols), na forma de sólido amarelo.

Rendimento: 85%.  
p.f.= 124-125°C.

IV (KBr) cm<sup>-1</sup> (E-40): 3500-3000 (N–H e ν<sub>O-H</sub>); 1710 (ν<sub>C=O</sub>); 1300-1200 (C–N); 1150 (C–O).

RMN<sup>1</sup>H (CDCl<sub>3</sub>/TMS) (E-41): δ = 3,70 (s, 2H); 3,95 (s, 3H); 4,25 (s, 2H); 6,48 (d, 1H, J= 8,5 Hz); 6,60 (d, 1H, J= 2,0 Hz); 6,70 (dd, 1H, J= 8,5 Hz e 2,0 Hz); 10,80 (s, 1H).

#### 10.3.3.2 - Síntese do ácido 3-azido-*para*-homoanísico 270.d<sup>(151,152)</sup>

Uma solução do ácido homoanísico 270.c (500 mg; 2,76 mmols) e ácido acético glacial (4 ml) foi adicionada em uma outra solução contendo nitrito de sódio (300 mg; 4,35 mmols) em ácido sulfúrico (2 ml) a 0°C. Adicionou-se azoteto de sódio (500 mg; 7,69 mmols) e a mistura foi deixada à temperatura ambiente por 30 minutos, para ocorrer completa diazotação; depois foi colocada num frasco contendo uma solução de acetato de sódio (3,0 g; 36,59 mmols), hidrato de hidrazina 85% (1 ml), gelo picado (3 g) e água destilada (6 ml). O sólido formado foi filtrado e recristalizado em acetona. Obteve-se o ácido 270.d (490 mg; 2,37 mmols), na forma de sólido amarelo.

Rendimento: 86%.  
p.f.= 118-119°C.

IV (KBr)  $\text{cm}^{-1}$  (E-42): 3300-2900 ( $\nu_{\text{O-H}}$ ); 2100 ( $-\text{N}_3$ ); 1710 ( $\nu_{\text{C=O}}$ ).

RMN<sup>1</sup>H (CDCl<sub>3</sub>/TMS) (E-43):  $\delta$  = 3,75 (s, 2H); 3,95 (s, 3H); 6,90 (d, 1H, J= 8,7 Hz); 7,15 (d, 1H, J= 2,1 Hz); 7,35 (dd, 1H, J= 8,7 Hz e 2,1 Hz); 10,85 (s, 1H).

### 10.3.3.3 - Síntese do 3-azido-4-metoxifenilceteno 267.c<sup>(146)</sup>

Semelhante ao procedimento utilizado na síntese do 3,4-dimetoxi-fenilceteno 267.a. Partiu-se do ácido 270.d (450 mg; 2,17 mmols) e obteve-se o ceteno 267.c (330 mg; 1,75 mmols), na forma de sólido amarelo.

Rendimento: 80%.

p.f.= 109-110°C.

IV (KBr)  $\text{cm}^{-1}$  (E-44): 3060 ( $-\text{CH=C-}$ ); 2130 (CH=C=O); 2101 ( $-\text{N}_3$ ); 1600, 1513, 1449 (C=C); 1268 (Ar-O-CH<sub>3</sub>).

RMN<sup>1</sup>H (CDCl<sub>3</sub>/TMS) (E-45):  $\delta$  = 3,95 (s, 3H); 6,90 (d, 1H, J= 8,7 Hz); 7,15 (s, 1H); 7,95 (dd, 1H, J= 8,7 Hz e 2,1 Hz); 8,15 (d, 1H, J= 2,1 Hz).

### 10.3.4 - Síntese do Ceteno 267.d

#### 10.3.4.1 - Síntese do ácido acrílico da azalactona do $\alpha$ -benzóilamino- $\beta$ -(3-benziloxi-4-metoxifenila) 269.c<sup>(144,145)</sup>

Semelhante ao procedimento utilizado na síntese da oxazolona 269.a (forno microondas). Partiu-se do 3-benziloxi-4-metoxibenzaldeído 240.b (570 mg; 2,36 mmols) e obteve-se a oxazolona 269.c (910 mg; 2,36 mmols), na forma de sólido amarelo.

Rendimento: 100%.

p.f.= 174-175°C.

IV (KBr)  $\text{cm}^{-1}$  (E-46): 3056 (C=C); 1788; 1777 (CO-O-); 1652 (C=N); 1269 (Ar-O-CH<sub>3</sub>); 1158 (R-O-R).

RMN<sup>1</sup>H (CDCl<sub>3</sub>/TMS) (E-47):  $\delta$  = 3,96 (s, 3H); 5,30 (s, 2H); 6,96 (d, 1H, J= 8,4 Hz); 7,16 (s, 1H); 7,45 (m, 10H); 8,09 (dd, 1H, J= 8,4 Hz e 2,0 Hz); 8,16 (d, 1H, J= 2,0 Hz).

### 10.3.4.2 - Síntese do ácido 3-benziloxi-4-metoxifenetílico 270.e<sup>(149)</sup>

Semelhante ao procedimento utilizado na síntese do ácido homoverátrico 270.a. Partiu-se da oxazolona 269.c (840 mg; 2,18 mmols) e obteve-se o ácido 270.e (590 mg; 2,17 mmols), na forma de sólido branco.

Rendimento: 81%.

p.f.= 119-120°C.

IV (KBr) cm<sup>-1</sup> (E-48): 3300-2700 (ν<sub>O-H</sub>); 1701 (ν<sub>C=O</sub>).

RMN<sup>1</sup>H (CDCl<sub>3</sub>/TMS) (E-49): δ = 3,55 (s, 2H); 3,85 (s, 3H); 5,03 (s, 2H); 6,87 (d, 1H, J= 8,2 Hz); 7,35 (m, 5H); 7,60(d, 1H, J= 1,9 Hz); 8,10 (dd, 1H, J= 8,2 Hz e 1,9 Hz); 10,95 (s, 1H).

### 10.3.4.3 - Síntese do 3-benziloxi-4-metoxifenilceteno 267.d<sup>(146)</sup>

Semelhante ao procedimento utilizado na síntese do 3,4-dimetoxifenilceteno 267.a. Partiu-se do ácido 270.e (570 mg; 2,10 mmols) e obteve-se o ceteno 267.d (390 mg; 1,54 mmols), na forma de sólido branco.

Rendimento: 74%.

p.f.= 105-106°C.

IV (KBr) cm<sup>-1</sup> (E-50): 3050 (C=C); 2118 (-CH=C=O); 1597; 1514; 1464 (C=C); 1268 (Ar-O-CH<sub>3</sub>).

RMN<sup>1</sup>H (CDCl<sub>3</sub>/TMS) (E-51): δ = 3,89 (s, 3H); 5,10 (s, 2H); 6,85 (d, 1H, J= 8,2 Hz); 7,40 (m, 5H); 7,12 (s, 1H); 7,95 (dd, 1H, J= 8,2 Hz e 1,9 Hz); 8,15 (d, 1H, J= 1,9 Hz).

Anál. Elem.: Calculado para C<sub>16</sub>H<sub>14</sub>O<sub>3</sub>: C, 75,58; H, 5,55%.

Encontrado: C, 75,58; H, 5,56%.

## 10.4 - SÍNTESE DA 1-(3-AZIDO-4-METOXIBENZIL)-5-BROMO-7-METOXI-8-BENZILOXI-3,4-DIIDROISOQUINOLINA 278.b<sup>(48)</sup>

Em uma solução do iminofosforano 244.a (200 mg; 0,34 mmol) em tolueno anidro, a 0°C e sob nitrogênio, adicionou-se uma solução do ceteno 267.c (120 mg; 0,63 mmol) em tolueno anidro. Após 2 horas, a temperatura foi lentamente elevada para 75°C. Após 14 horas o solvente foi evaporado e o sólido formado foi purificado em c.c.e. ( $\text{CH}_2\text{Cl}_2$ :hex.:EtOAc - 40:30:25). Obteve-se a 3,4-diidroisoquinolina 278.b (51 mg; 0,10 mmol), na forma de sólido amarelo.

Rendimento: 30%.

p.f.= 168-169°C.

IV (KBr)  $\text{cm}^{-1}$  (E-52): 2114 ( $-\text{N}_3$ ); 1623 ( $\nu_{\text{C}=\text{N}}$ ).

RMN<sup>1</sup>H<sup>(29)</sup> ( $\text{CDCl}_3/\text{TMS}$ ) (E-53):  $\delta$  = 2,26 (t, 2H); 2,56 (t, 2H); 3,12 (s, 2H); 3,84 (s, 3H); 3,86 (s, 3H); 5,02 (s, 2H); 6,74 (d, 1H,  $J$ = 2,0 Hz); 6,78 (dd, 1H,  $J$ = 8,7 Hz e 2,0 Hz); 6,81 (s, 1H); 7,02 (dd, 1H,  $J$ = 8,7 Hz e 2,0 Hz); 7,28 (m, 5H).

Anál. Elem.: Calculado para  $\text{C}_{25}\text{H}_{23}\text{BrN}_4\text{O}_3$ : C, 70,08; H, 5,65; N, 13,08%.

Encontrado: C, 70,10; H, 5,68; N, 13,09%.

## 10.5 - SÍNTESE DA ( $\pm$ )-Didesidronorcularina 290 e DA ( $\pm$ )-Didesidronorisocularina 291 VIA ÍON OXÊNIO

### 10.5.1 - Síntese da 1-(3,4-dimetoxibenzil)-5-bromo-7-metoxi-8-benziloxi-3,4-diidroisoquinolina 278.a<sup>(48)</sup>

Semelhante ao procedimento utilizado na síntese da 3,4-diidroisoquinolina 278.b. Partiu-se do iminofosforano 244.a (1,0 g; 1,68 mmols) e do ceteno 267.a (430 mg; 2,43 mmols). Após recristalização em éter de petróleo, obteve-se a 3,4-diidroisoquinolina 278.a (630 mg; 1,27 mmols), na forma de sólido branco.

Rendimento: 76%.

p.f.= 158-159°C.

IV (KBr)  $\text{cm}^{-1}$  (E-54): 1627 ( $\nu_{\text{C}=\text{N}}$ )<sup>(109)</sup>.

RMN<sup>1</sup>H<sup>(29)</sup> ( $\text{CDCl}_3/\text{TMS}$ ) (E-55):  $\delta$  = 2,25 (t, 2H); 2,55 (t, 2H); 3,10 (s, 2H); 3,78 (s, 3H); 3,88 (s, 3H); 3,91 (s, 3H); 5,02 (s, 2H); 6,92 (dd, 1H,  $J$ = 8,3 Hz e 2,3 Hz);

7,04 (d, 1H,  $J= 8,3$  Hz); 7,10 (d, 1H,  $J= 2,3$  Hz); 7,35 (s, 1H); 7,50 (m, 5H).

RMN<sup>13</sup>C(<sup>29,154</sup>) (CDCl<sub>3</sub>) (E-56):  $\delta = 21,2; 37,3; 44,8; 56,8; 56,6; 57,8; 58,7; 112,2; 115,6; 117,1; 118,4; 119,2; 119,5; 120,2; 124,3; 125,4; 129,1; 133,4; 133,7; 148,9; 149,9; 150,2; 151,3; 159,2.$

Anál. Elem.: Calculado para C<sub>26</sub>H<sub>26</sub>BrNO<sub>4</sub>: C, 62,91; H, 5,28; N, 2,82%.  
Encontrado: C, 62,91; H, 5,26; N, 2,82%.

### 10.5.2 - Síntese da 1-(3,4-dimetoxibenzil)-7-metoxi-8-benziloxi-3,4-diidroisoquinolina 283 (com PPh<sub>3</sub>)<sup>(155)</sup>

Uma solução da 3,4-diidroisoquinolina 278.a (300 mg; 0,60 mmol) e trifenilfosfina (160 mg; 0,60 mmol) em tolueno anidro, foi agitada e aquecida numa temperatura de 110°C, por um período de 10 horas. A solução fria foi agitada com água destilada (30 ml) por um período de 1 hora e extraída com benzeno. Após secagem sobre carbonato de potássio anidro, evaporação de solvente e recristalização em éter de petróleo, obteve-se a 3,4-diidroisoquinolina 283 (160 mg; 0,38 mmol), na forma de sólido branco.

Rendimento: 65%.

p.f.= 142-143°C.

IV (KBr) cm<sup>-1</sup> (E-57): 1627 ( $\nu_{C=N}$ ); 1265 (Ar—O—CH<sub>2</sub>—Ar); 1183 (C—O).

RMN<sup>1</sup>H (CDCl<sub>3</sub>/TMS) (E-58):  $\delta = 2,24$  (t, 2H); 2,53 (t, 2H); 3,10 (s, 2H); 3,77 (s, 3H); 3,81 (s, 3H); 3,84 (s, 3H); 5,01 (s, 2H); 6,95 (dd, 1H,  $J= 8,3$  Hz e 2,3 Hz); 6,99 (d, 1H,  $J= 8,3$  Hz); 7,05 (d, 1H,  $J= 8,3$  Hz); 7,08 (d, 1H,  $J= 2,3$  Hz); 7,18 (d, 1H,  $J= 8,3$  Hz); 7,45 (m, 5H).

Anál. Elem.: Calculado para C<sub>26</sub>H<sub>27</sub>NO<sub>4</sub>: C, 74,80; H, 6,52; N, 3,35%.  
Encontrado: C, 74,81; H, 6,51; N, 3,35%.

### 10.5.2.1 - Síntese de 283 (com BuLi)<sup>(156)</sup>

A uma solução da 3,4-diidroisoquinolina 278.a (250 mg; 0,50 mmol) em THF anidro (15 ml) a -10°C, adicionamos com agitação, n-butil-lítio (2,0 ml; 2,4 M em hexano). Após 1 hora a temperatura da mistura foi elevada para 5°C, onde manteve-se por 2 horas. Após este período a mistura foi agitada com água destilada (10 ml) e extraída com éter etílico. Após secagem sobre carbonato de potássio anidro, evaporação de solvente e recristalização em éter de petróleo, obteve-se a 3,4-diidroisoquinolina 283 (190 mg; 0,47 mmol), na forma de sólido branco.  
Rendimento: 92%.

### 10.5.3 - Síntese da 1-(3,4-dimetoxibenzil)-7-metoxi-8-hidroxi-3,4-diidroisoquinolina 284<sup>(158-160)</sup>

Uma solução da 3,4-diidroisoquinolina 283 (100 mg; 0,31 mmol) e ácido trifluorometanosulfônico (40 mg; 0,27 mmol) foi agitada e aquecida para 60°C por um período de 3 horas. A mistura resultante foi lavada várias vezes com água e, após secagem sobre carbonato de potássio anidro, evaporação de solvente e recristalização em éter de petróleo, obteve-se a 3,4-diidroisoquinolina 284 (65 mg; 0,20 mmol), na forma de sólido branco.

Rendimento: 83%.

p.f.= 137-138°C.

IV (KBr) cm<sup>-1</sup> (E-59): 3437 ( $\nu_{O-H}$ ); 1626 ( $\nu_{C=N}$ ).

RMN<sup>1</sup>H (CDCl<sub>3</sub>/TMS) (E-60): δ = 2,27 (t, 2H); 2,55 (t, 2H); 3,15 (s, 2H); 3,80 (s, 3H); 3,85 (s, 3H); 3,88 (s, 3H); 4,85 (s, 1H); 6,93 (dd, 1H, J= 8,3 Hz e 2,3 Hz); 6,98 (d, 1H, J= 8,3 Hz); 7,02 (d, 1H, J= 8,3 Hz); 7,05 (d, 1H, J= 2,3 Hz); 7,16 (d, 1H, J= 8,3 Hz).

**10.5.4 - Síntese da ( $\pm$ )-7,3',4'-trimetoxi-1-benzoxepina-3,4-diidroisoquinolina 290 [( $\pm$ )-didesidronorcularina] e da ( $\pm$ )-7,4',5'-trimetoxi-1-benzoxepina-3,4-diidroisoquinolina 291 [( $\pm$ )-didesidronorisocularina]**

**10.5.4.1 - Obtenção do bis(trifluoroacetato) de pentafluoriodobenzeno  $[C_6F_5I(OCOCF_3)_2]$  173<sup>(161)</sup>**

A uma solução de penfluoroiodobenzeno 285 (1,02 g; 5,0 mmols) e anidrido trifluoroacético 286 (2,50 ml; 0,0177 mmol) a -30°C, adicionou-se ácido nítrico (0,45 ml; 0,107 mmol). Após a adição, deixou-se a temperatura atingir 20°C. A partir daí a solução foi aquecida por 2 horas a 50°C, de onde obteve-se um precipitado amarelo. Através do aquecimento por 1,5 hora a 40°C, sob alto vácuo, obteve-se 173 (2,42 g; 4,65 mmols), na forma de sólido branco.

Rendimento: 93%.

p.f.= 118-120°C (lit.<sup>(161)</sup>: 119-120°C).

**10.5.4.2 - Síntese de ( $\pm$ )-290 e ( $\pm$ )-291<sup>(90,100,162,163)</sup>**

A uma solução da 3,4-diidroisoquinolina 284 (60 mg; 0,18 mmol) e benzeno anidro (15 ml), a -10°C, adicionou-se hidreto de sódio (4,50 mg; 0,19 mmol). Após 30 minutos de agitação a -10°C, adicionou-se o  $[C_6F_5I(OCOCF_3)_2]$  173 (104 mg; 0,2 mmol). Após 2 horas de agitação a -10°C, o produto foi extraído com benzeno, secado sobre carbonato de potássio anidro e o solvente evaporado. Obteve-se uma mistura de ( $\pm$ )-290 e ( $\pm$ )-291 (53,04 mg; 0,16 mmol; 89% de rendimento), na forma de sólido branco.

Esta mistura foi separada em c. c. e. ( $CHCl_3:MeOH$  - 99:1) de onde obteve-se os seguintes resultados:

**( $\pm$ )-didesidronorcularina 290**

sólido branco (51,85 mg; 0,16 mmol), após recristalização em éter de petróleo.

Rendimento: 87%.

p.f.= 128-129°C.

IV (KBr)  $cm^{-1}$  (E-61): 1624 ( $\nu_{C=N}$ ); 1260 (Ar-O-Ar).

RMN<sup>1</sup>H ( $CDCl_3/TMS$ ) (E-62):  $\delta$  = 2,40 (t, 2H); 2,55 (t, 2H); 3,10 (s, 2H); 3,78 (s, 3H); 3,85 (s, 3H); 3,89 (s, 3H); 6,52 (s, 1H);

6,78 (d, 1H, J= 8,5 Hz); 6,86 (s, 1H); 6,87 (d, 1H, J= 8,5 Hz).

RMN<sup>13</sup>C (CDCl<sub>3</sub>) (E-63): δ = 20,8; 43,5; 35,8; 58,2; 58,6; 60,6; 113,4; 116,3; 117,2; 118,3; 128,7; 129,4; 129,9; 149,3; 149,7; 149,9; 150,8; 151,1; 158,7.

EM (E-64): m/z (%) = 325 (M•<sup>+</sup>, 35,9); 310 (100); 294 (69,7); 224 (5,8); 190 (5,4); 159 (12,2).

Anál. Elem.: Calculado para C<sub>19</sub>H<sub>19</sub>NO<sub>4</sub>: C, 70,14; H, 5,89; N, 4,30%.  
Encontrado: C, 70,14; H, 5,86; N, 4,30%.

(±)-didesidronorisocularina 291  
sólido branco (1,10 mg; 3,38.10<sup>-3</sup> mmol).

Rendimento: ~2%.

p.f.= 131-132°C.

Anál. Elem.: Calculado para C<sub>19</sub>H<sub>19</sub>NO<sub>4</sub>: C, 70,14; H, 5,89; N, 4,30%.  
Encontrado: C, 70,16; H, 5,85; N, 4,32%.

## 10.6 - SÍNTSE DA (±)-Didesidronorcularina 290 VIA ÍON NITRÊNIO

### 10.6.1 - Síntese da 1-(3-nitro-4-metoxibenzil)-5-bromo-7-metoxi-8-benziloxi-3,4-diidroisoquinolina 278.c<sup>(48)</sup>

Semelhante ao procedimento utilizado na síntese da 3,4-diidroisoquinolina 278.b. Partiu-se do iminofosforano 244.a (370 mg; 0,62 mmol) e do ceteno 267.b (260 mg; 1,35 mmols). Após recristalização em éter de petróleo, obteve-se a 3,4-diidroisoquinolina 278.c (250 mg; 0,49 mmol), na forma de sólido amarelo.

Rendimento: 78%.

p.f.= 179-180°C.

IV (KBr) cm<sup>-1</sup> (E-65): 1622 (ν<sub>C=N</sub>)<sup>(109)</sup>; 1532, 1357 (-NO<sub>2</sub>).

RMN<sup>1</sup>H<sup>(29)</sup> (CDCl<sub>3</sub>/TMS) (E-66): δ = 2,30 (t, 2H); 2,60 (t, 2H); 3,20 (s, 2H); 3,85 (s, 3H); 3,90 (s, 3H); 5,05 (s, 2H); 7,18 (d, 1H, J= 8,8 Hz); 7,35 (dd, 1H, J= 8,8 Hz e 2,2 Hz); 7,40 (s, 1H); 8,12 (d, 1H, J= 2,2 Hz); 7,56 (m, 5H).

RMN<sup>13</sup>C<sup>(29,154)</sup> (CDCl<sub>3</sub>) (E-67): δ = 22,3; 38,1; 45,2; 58,7; 58,9; 59,1; 116,8; 118,7; 120,2; 120,8; 125,2; 125,5; 129,1; 130,2; 133,6; 133,7; 133,9; 135,3; 148,9; 150,1; 150,4; 151,2; 160,1.

Anál. Elem.: Calculado para C<sub>25</sub>H<sub>23</sub>BrN<sub>2</sub>O<sub>5</sub>: C, 58,72; H, 4,53; N, 5,48%.  
Encontrado: C, 58,74; H, 4,54; N, 5,49%.

### 10.6.2 - Síntese da 1-(3-nitro-4-metoxibenzil)-7-metoxi-8-benziloxi-3,4-diidroisoquinolina 292(com Pph<sub>3</sub>)<sup>(155)</sup>

Semelhante ao procedimento empregado na síntese da 3,4-diidroisoquinolina 283 (na presença de PPh<sub>3</sub>). Partiu-se da 3,4-diidroisoquinolina 278.c (80 mg; 0,19 mmol) e obteve-se a 3,4-diidroisoquinolina 292 (40 mg; 0,11 mmol), na forma de sólido amarelo.

Rendimento: 62%.

p.f.= 175-176°C.

IV (KBr) cm<sup>-1</sup> (E-68): 1622 (ν<sub>C=N</sub>).

RMN<sup>1</sup>H (CDCl<sub>3</sub>/TMS) (E-69): δ = 2,28 (t, 2H); 2,59 (t, 2H); 3,19 (s, 2H); 3,84 (s, 3H); 3,88 (s, 3H); 5,04 (s, 2H); 7,10 (d, 1H, J= 8,8 Hz); 7,15 (d, 1H, J= 8,8 Hz); 7,20 (d, 1H, J= 8,8 Hz); 7,25 (dd, 1H, J= 8,8 Hz e 2,2 Hz); 8,11 (d, 1H, J= 2,2 Hz); 7,55 (m, 5H).

Anál. Elem.: Calculado para C<sub>25</sub>H<sub>24</sub>N<sub>2</sub>O<sub>5</sub>: C, 69,43; H, 5,59; N, 6,48%.  
Encontrado: C, 69,42; H, 5,60; N, 6,49%.

#### 10.6.2.1 - Síntese de 292 (com BuLi)<sup>(156)</sup>

Semelhante ao procedimento empregado na síntese da 3,4-diidroisoquinolina 283 (na presença de BuLi). Partiu-se da 3,4-diidroisoquinolina 278.c (100 mg; 0,20

mmol) e obteve-se a 3,4-diidroisoquinolina 292 (75 mg; 0,18 mmol), na forma de sólido amarelo.

Rendimento: 89%.

### **10.6.3 - Síntese da 1-(3-amino-4-metoxibenzil)-7-metoxi-8-benziloxi-3,4-diidroisoquinolina 293<sup>(168)</sup>**

Uma solução do composto 292 (100 mg; 0,11 mmol) em etanol quente (2,5 ml), foi tratada com uma solução de hipossulfito de sódio (350 mg) em água (2,5 ml) e a mistura resultante foi refluxada por 1 hora. Depois de frio, o precipitado foi filtrado e recristalizado com uma solução aquosa de piridina 40%. Obteve-se a 3,4-diidroisoquinolina 293 (82 mg; 0,20 mmol), na forma de sólido branco.

Rendimento: 88%.

p.f.= 164-165°C.

IV (KBr) cm<sup>-1</sup> (E-70): 3508 (N-H); 1624 (ν<sub>C=N</sub>).

RMN<sup>1</sup>H (CDCl<sub>3</sub>/TMS) (E-71): δ = 2,27 (t, 2H); 2,57 (t, 2H); 3,14 (s, 2H); 3,80 (s, 3H); 3,83 (s, 3H); 4,80 (s, 2H); 5,03 (s, 2H); 6,69 (d, 1H, J= 8,7 Hz); 6,71 (d, 1H, J= 2,0 Hz); 6,75 (dd, 1H, J= 8,7 Hz e 2,0 Hz); 6,79 (d, 1H, J= 8,7 Hz); 6,85 (1H, 8,7 Hz); 7,32 (m, 5H).

Anál. Elem.: Calculado para C<sub>25</sub>H<sub>26</sub>N<sub>2</sub>O<sub>3</sub>: C, 74,60; H, 6,51; N, 6,96%.

Encontrado: C, 74,62; H, 6,52; N, 6,98%.

### **10.6.4 - Síntese da 1-(3-azido-4-metoxibenzil)-7-metoxi-8-benziloxi-3,4-diidroisoquinolina 294<sup>(151,152)</sup>**

Semelhante ao procedimento empregado na síntese do ácido 3-azido-p-homoanísico 270.d. Partiu-se da 3,4-diidroisoquinolina 305 (82 mg; 0,20 mmol) e obteve-se a 3,4-diidroisoquinolina 294 (72 mg; 0,17 mmol), na forma de sólido amarelo.

Rendimento: 83%.

p.f.= 149-150°C.

IV (KBr) cm<sup>-1</sup> (E-72): 2138 (-N<sub>3</sub>); 1627 (ν<sub>C=N</sub>).

RMN<sup>1</sup>H (CDCl<sub>3</sub>/TMS) (E-73): δ = 2,26 (t, 2H); 2,56 (t, 2H); 3,12 (s, 2H); 3,80 (s, 3H); 3,86 (s, 3H); 5,02 (s, 2H); 6,69 (d, 1H, J= 8,7 Hz); 6,73 (d, 1H, J= 2,0 Hz); 6,77 (dd, 1H,

$J = 8,7$  Hz e 2,0 Hz); 6,84 (d, 1H,  $J = 8,7$  Hz); 6,89 (d, 1H,  $J = 8,7$  Hz); 7,30 (m, 5H).

Anál. Elem.: Calculado para  $\mathbf{C}_{25}\mathbf{H}_{24}\mathbf{N}_4\mathbf{O}_3$ : C, 70,08; H, 5,65; N, 13,08%.  
Encontrado: C, 70,09; H, 5,66; N, 13,10%.

### 10.6.5 - Síntese da ( $\pm$ )-7,4'-dimetoxi-3'-amino-1-benzoxepina-3,4-diidroisoquinolina 297 e da ( $\pm$ )-7,4'-dimetoxi-5'-amino-1-benzoxepina-3,4-diidroisoquinolina 298<sup>(64,169)</sup>

A uma solução da 3,4-diidroisoquinolina 294 (70 mg; 0,16 mmol) e tetracloreto de carbono anidro (10 ml) a -5°C, adicionou-se ácido trifluorometanosulfônico (200 mg; 1,34 mmols) e agitou-se por 10 horas nesta temperatura. Após este período, a mistura foi lavada várias vezes com água e, após secagem sobre carbonato de potássio anidro e evaporação do solvente, obteve-se uma mistura de ( $\pm$ )-297 e ( $\pm$ )-298 (42,84 mg; 0,14 mmol; 84% de rendimento), na forma de sólido amarelo.

Esta mistura foi separada em c. c. e. ( $\text{CHCl}_3:\text{MeOH}$  - 99:1) de onde obteve-se os seguintes resultados:

#### ( $\pm$ )-297

sólido amarelado (41,31 mg; 0,13 mmol), após recristalização em éter de petróleo.

Rendimento: 81%.

p.f.= 135-136°C.

IV (KBr)  $\text{cm}^{-1}$  (E-74): 3450-3555 (N-H); 1625 ( $\nu_{\text{C}=\text{N}}$ )<sup>(109)</sup>.

RMN<sup>1</sup>H ( $\text{CDCl}_3/\text{TMS}$ ) (E-75):  $\delta = 2,37$  (t, 2H); 2,54 (t, 2H); 3,05 (s, 2H); 3,76 (s, 3H); 3,83 (s, 3H); 4,78 (s, 2H); 6,50 (s, 1H); 6,76 (d, 1H,  $J = 8,6$  Hz); 6,82 (s, 1H); 6,84 (d, 1H,  $J = 8,6$  Hz).

RMN<sup>13</sup>C<sup>(29,154)</sup> ( $\text{CDCl}_3$ ) (E-76):  $\delta = 22,8; 40,2; 45,7; 58,1; 60,1; 118,1; 118,9; 119,5; 123,1; 129,8; 132,1; 132,4; 148,1; 149,8; 150,1; 151,8; 152,3; 160,3$ .

EM<sup>(1,166,167)</sup> (E-77): m/z (%) = 310 ( $M^+$ , 19,9); 309 (11,1); 295 (100); 279 (49,3); 160 (6,4); 159 (15,8).

Anál. Elem.: Calculado para  $\mathbf{C}_{18}\mathbf{H}_{18}\mathbf{N}_2\mathbf{O}_3$ : C, 69,66; H, 5,85; N, 9,03%.  
Encontrado: C, 69,69; H, 5,81; N, 9,04%.

**(±)-298**

sólido amarelo (1,44 mg; 0,46.10<sup>-3</sup> mmol).

Rendimento: ~3%.

p.f.= 138-139°C.

Anál. Elem.: Calculado para C<sub>18</sub>H<sub>18</sub>N<sub>2</sub>O<sub>3</sub>: C, 69,66; H, 5,85; N, 9,03%.

Encontrado: C, 69,69; H, 5,88; N, 9,05%.

### **10.6.6 - Síntese da (±)-7,3',4'-trimetoxi-1-benzoxepina-3,4-diidroisoquinolina 290 [(±)-didesidronorcularina]**

Uma solução de (±)-297 (30 mg; 0,1 mmol) em ácido sulfúrico 30% (2 ml) e ácido nitroso (3 ml) a 0°C, foi agitada por 1 hora. Após esse período, adicionou-se água destilada (10 ml) e a mistura foi aquecida a 60°C, por 2 horas. Após extração com éter etílico e evaporação do solvente, o produto foi tratado com uma solução etérea de diazometano (obtido a partir de diazald e uma solução etanólica de KOH)<sup>(140)</sup>. Obteve-se a (±)-didesidronorcularina 290 (25,47 mg; 0,078 mmol), na forma de sólido branco, após recristalização em éter de petróleo.

Rendimento: 81%.

Os dados físicos e espectroscópicos conferem com os obtidos anteriormente (item 10.5.4.2).

## **10.7 - SÍNTSE DA CULARINA 1.a**

### **10.7.1 - Síntese da (±)-Cularina 1.a'<sup>(171)</sup>**

Em uma solução da (±)-didesidronorcularina 290 (25 mg; 0,077 mmol) e metanol anidro, adicionou-se iodeto de metila em excesso (78,07 mg; 0,55 mmol). A mistura permaneceu em repouso por um período de 10 horas. Após este período, o frasco reacional foi colocado em banho de gelo e, com agitação, adicionou-se, aos poucos, boro hidreto de sódio (13,62 mg; 0,36 mmol) e a mistura foi agitada por 5 horas à temperatura ambiente. Ao final deste período evaporou-se o solvente e tratou-se o resíduo com água destilada e extraiu-se com clorofórmio. Após secagem sobre carbonato de potássio anidro e evaporação do solvente, obteve-se cristais amarelos (25,22 mg; 0,074 mmol) (p.f. = 105-106 °C). Após recristalização em éter de petróleo, obteve-se a (±)-Cularina 1.a' (23,14 mg; 0,068 mmol), na forma de cristais amarelados.

Rendimento: 89%.

p.f.= 113-114°C (lit. (109): 113-114°C)  
IV (KBr) cm<sup>-1</sup> (E-78.a): 2385 (vN-CH<sub>3</sub>).

RMN<sup>1</sup>H(1,51,165,167) (CDCl<sub>3</sub>/TMS) (E-79.a): δ = 2,35 (t, 2H); 2,50 (t, 2H); 2,60 (s, 3H); 3,10 (m, 2H); 3,79 (s, 3H); 3,84 (s, 3H); 3,87 (s, 3H); 4,45 (q, 1H, J= 16 Hz e 12 Hz); 6,51 (s, 1H); 6,77 (d, 1H, J= 8,5 Hz); 6,85 (s, 1H), 6,87 (d, 1H, J= 8,5 Hz).

Anál. Elem.: Calculado para C<sub>20</sub>H<sub>23</sub>NO<sub>4</sub>: C, 70,36; H, 6,79; N, 4,10%.  
Encontrado: C, 70,36; H, 6,78; N, 4,11%.

### 10.7.2 - Síntese da (+)-Cularina 1.a<sup>(21,22)</sup>

Em uma solução da (±)-didesidronorcularina 290 (35 mg; 0,11 mmol) e metanol, adicionou-se, em excesso, o cloroacetato de (+)-8-fenilmentila 300 (71,40 mg; 0,23 mmol) e a mistura resultante foi agitada por 10 horas. Após este período, o frasco reacional foi colocado em banho de gelo e, com agitação, adicionou-se, aos poucos, boro hidreto de sódio (18,49 mg; 0,49 mmol) e a mistura foi agitada por 4 horas à temperatura ambiente. Ao final deste período evaporou-se o solvente e tratou-se o resíduo com água destilada e extraiu-se com clorofórmio. Após secagem sobre carbonato de potássio anidro e evaporação do solvente, obteve-se uma mistura de (±)-1.a, cloroacetato de (+)-8-fenilmentila 300, (+)-8-fenilmentila 303 e (+)-8-fenilmentol 304 (35,99 mg; 0,11 mmol, 98% de rendimento), na forma de sólido amarelado.

Esta mistura foi separada em c. c. e. (CHCl<sub>3</sub>:hex.:MeOH - 75:24:1) de onde obteve-se os seguintes resultados:

#### (+)-cularina 1.a

cristais amarelados (35,60 mg; 0,104 mmol) (p.f.= 111-113°C).

Após recristalização em éter de petróleo, obteve-se:

cristais brancos (34,52 mg; 0,101 mmol).

Rendimento: 94%.

p.f.= 114-115°C (lit.(172): 115°C).

[α]<sub>D</sub><sup>25</sup> = + 284,3° (c = 0,8 g/l em MeOH); [(lit.(172): [α]<sub>D</sub><sup>25</sup> = + 285°; (c = 0,8 g/l em MeOH)].

IV (KBr) cm<sup>-1</sup> (E-78.b): 2385 (vN-CH<sub>3</sub>) - superponível ao espectro da (±)-Cularina 1.a'.

RMN<sup>1</sup>H(1,51,165,167)(CDCl<sub>3</sub>/TMS) (E-79.b): δ = 2,35 (t, 2H); 2,50 (t, 2H); 2,60 (s, 3H); 2,98 (dd, 1H, J= 16 Hz e 12 Hz); 3,24 (dd, 1H, J= 16 Hz e 4 Hz); 3,79 (s, 3H); 3,84 (s, 3H); 3,87 (s, 3H); 4,44 (dd, 1H, J= 12 Hz e 4 Hz); 6,51 (s, 1H); 6,77 (d, 1H, J= 8,5 Hz); 6,85 (s, 1H); 6,87 (d, 1H, J= 8,5 Hz).

Anál. Elem.: Calculado para C<sub>20</sub>H<sub>23</sub>NO<sub>4</sub>: C, 70,36; H, 6,79; N, 4,10%.  
Encontrado: C, 70,36; H, 6,80; N, 4,10%.

(+)-8-fenilmentila 303 (0,99 mg; 4,60.10<sup>-3</sup> mmol).

óleo amarelo.

Rendimento: ~2%.

IV (filme) cm<sup>-1</sup> (E-80): 3053 (C=C); 2922 (C–H); 1601-1492 (C=C); 1452 (–CH<sub>3</sub>); 1192-1071 (C=C); 766, 711 (anel aromático monossubstituído).

RMN<sup>1</sup>H (CDCl<sub>3</sub>/TMS) (E-81): δ = 0,85 (d, 3H, J= 5,8 Hz); 1,26 (s, 3H); 1,36 (s, 3H); 1,62 (m, 10H); 7,40 (m, 5H).

(+)-8-fenilmentol 304 (0,27 mg; 1,16.10<sup>-3</sup> mmol).

óleo amarelo.

Rendimento: ~0,5%.

IV (filme)<sup>(179)</sup> cm<sup>-1</sup> (E-82): 3567,3406 (ν<sub>O-H</sub>); 2950, 2919 (C–H); 1598-1479 (C=C); 1457 (–CH<sub>3</sub>); 1422, 1236 (C–OH); 1159-1029 (C=C); 762, 702 (anel aromático monossubstituído).

RMN<sup>1</sup>H<sup>(179)</sup> (CDCl<sub>3</sub>/TMS) (E-83): δ = 0,89 (3H, J= 6 Hz); 1,30 (s, 3H); 1,44 (s, 3H); 1,68 (m, 9H); 3,52 (dt, 1H, J= 10 Hz e 5 Hz); 7,43 (m, 5H).

cloroacetato de (+)-8-fenilmentila 300 (0,17 mg; 0,55.10<sup>-3</sup> mmol).

sólido branco.

Rendimento: ~0,24%.

p.f.= 82-83°C (lit.<sup>(180)</sup>: 82-84°C).

## 10.8 - SÍNTESE DA ( $\pm$ )-Didesidronorcularina 308 e DA ( $\pm$ )-Didesidronorisocularina 309 VIA ÍON OXÊNIO

### 10.8.1 - Síntese da 1-(3-benziloxi-4-metoxibenzil)-7-metoxi-8-benziloxi-3,4-diiidroisoquinolina 278.d e da 1-(3-benziloxi-4-metoxibenzil)-7-metoxi-6-benziloxi-3,4-diiidroisoquinolina 279<sup>(48)</sup>

Semelhante ao procedimento empregado na síntese da 3,4-diiidroisoquinolina 278.b. Partiu-se do iminofosforano 244.b (0,50 g; 0,97 mmol) e do ceteno 267.d (370 mg; 1,46 mmols) e obteve-se uma mistura das 3,4-diiidroisoquinolinas 278.d e 279(403,2 mg; 0,82 mmol, 84% de rendimento), na forma de sólido branco.

Esta mistura foi separada em c. c. e. (CHCl<sub>3</sub>:MeOH - 99:1), de onde obteve-se os seguintes resultados:

**1-(3-benziloxi-4-metoxibenzil)-7-metoxi-8-benziloxi-3,4-diiidroisoquinolina 278.d**  
sólido branco (288 mg; 0,59 mmol), após recristalização em éter de petróleo.

Rendimento: 60%.

p.f.= 153-154°C.

IV (KBr) cm<sup>-1</sup> (E-84): 1623 (ν<sub>C=N</sub>)<sup>(109)</sup>.

RMN<sup>1</sup>H<sup>(19)</sup> (CDCl<sub>3</sub>/TMS) (E-85): δ = 2,31 (t, 2H); 2,60 (t, 2H); 3,15 (s, 2H); 3,81 (s, 3H); 3,85 (s, 3H); 5,01 (s, 2H); 5,03 (s, 2H); 6,94 (dd, 1H, J= 8,3 Hz e 1,8 Hz); 6,98 (d, 1H, J= 8,3 Hz); 7,04 (d, 1H, J= 8,3 Hz); 7,08 (d, 1H, J= 1,8 Hz); 7,20 (d, 1H, J= 8,3 Hz); 7,38 (m, 5H); 7,47 (m, 5H).

Anál. Elem.: Calculado para C<sub>32</sub>H<sub>31</sub>NO<sub>4</sub>: C, 77,87; H, 6,33; N, 2,84%.

Encontrado: C, 77,88; H, 6,34; N, 2,84%.

**1-(3-benziloxi-4-metoxibenzil)-7-metoxi-6-benziloxi-3,4-diiidroisoquinolina 279**  
sólido branco (114,2 mg; 0,23 mmol).

Rendimento: 24%.

p.f.= 148-149°C.

IV (KBr) cm<sup>-1</sup> (E-86): 1623 (ν<sub>C=N</sub>)<sup>(109)</sup>.

RMN<sup>1</sup>H(<sup>19</sup>) (CDCl<sub>3</sub>/TMS) (E-87): δ = 2,30 (t, 2H); 2,57 (t, 2H); 3,13 (s, 2H); 3,82 (s, 3H); 3,87 (s, 3H); 5,02 (s, 2H); 5,04 (s, 2H); 6,93 (dd, 1H, J= 8,5 Hz e 1,9 Hz); 6,98 (s, 1H); 7,0 (s, 1H); 7,05 (d, 1H, J= 1,9 Hz); 7,10 (d, 1H, J= 8,5 Hz); 7,40 (m, 5H); 7,49 (m, 5H).

Anál. Elem.: Calculado para C<sub>32</sub>H<sub>31</sub>NO<sub>4</sub>: C, 77,87; H, 6,33; N, 2,84%.

Encontrado: C, 77,89; H, 6,35; N, 2,85%.

### **10.8.2 - Síntese da 1-(3-hidroxi-4-metoxibenzil)-7-metoxi-8-hidroxi-3,4-diidroisoquinolina 306(158-160)**

Semelhante ao procedimento empregado na síntese da 3,4-diidroisoquinolina 284. Partiu-se da diidroisoquinolina 278.d (320 mg; 0,65 mmol) e ácido trifluorometanosulfônico (81 mg; 0,54 mmol), cuja mistura reagiu a 50°C por 8 horas. Obteve-se, após recristalização em éter de petróleo, a 3,4-diidroisoquinolina 306 (180 mg; 0,58 mmol), na forma de sólido branco.

Rendimento: 89%.

p.f.= 127-128°C.

IV (KBr) cm<sup>-1</sup> (E-88): 3470 (ν<sub>O-H</sub>); 1624 (ν<sub>C=N</sub>).

RMN<sup>1</sup>H (CDCl<sub>3</sub>/TMS) (E-89): δ = 2,52 (t, 2H); 2,80 (t, 2H); 3,50 (s, 2H); 3,74 (s, 3H); 3,80 (s, 3H); 4,85 (s, 2H); 6,60 (d, 1H, J= 8,3 Hz); 6,71 (d, 1H, J= 1,8 Hz); 6,76 (dd, 1H, J= 8,3 Hz e 1,8 Hz); 6,80 (d, 1H, J= 8,3 Hz); 6,85 (d, 1H, J= 8,3 Hz).

RMN<sup>13</sup>C (CDCl<sub>3</sub>) (E-90): δ = 20,9; 37,1; 44,9; 55,7; 56,8; 112,3; 113,4; 116,6; 118,4; 119,2; 120,1; 125,3; 128,3; 142,9; 145,9; 146,7; 146,8; 159,5.

Anál. Elem.: Calculado para C<sub>18</sub>H<sub>19</sub>NO<sub>4</sub>: C, 69,00; H, 6,11; N, 4,47%.

Encontrado: C, 68,90; H, 6,11; N, 4,47%.

### 10.8.3 - Síntese da ( $\pm$ )-7,4'-dimetoxi-3'-hidroxi-1-benzoxepina-3,4-diidroisoquinolina 308

[( $\pm$ )-didesidronorcularina] e da ( $\pm$ )-7,4'-dimetoxi-5'-hidroxi-1-

benzoxepina-3,4-diidroisoquinolina 309

[( $\pm$ )-didesidronorisocularina] (22,90,100,162,163)

Semelhante ao procedimento empregado na síntese da ( $\pm$ )-didesidronorcularina 290. Partiu-se da 3,4-diidroisoquinolina 306 (170 mg; 0,54 mmol) e do pentafluoroiodo-bis-trifluoroacetato [ $C_6F_5I(OCOCF_3)_2$ ] 173 (296 mg; 0,56 mmol) e obteve-se uma mistura das 3,4-diidroisoquinolinas 308 e 309 (160 mg; 0,514 mmol, 94 % de rendimento), na forma de sólido amarelado.

Esta mistura foi separada em c.c.e. ( $CHCl_3:MeOH$  - 99:1), de onde obteve-se os seguintes resultados:

#### ( $\pm$ )-didesidronorcularina 308

sólido branco (61,20 mg; 0,20 mmol).

Rendimento: 36%.

p.f.= 135-136°C.

IV (KBr)  $cm^{-1}$  (E-91): 3561 ( $\nu_{O-H}$ ); 1624 ( $\nu_{C=N}$ ).

RMN<sup>1</sup>H(1,8,10,51) ( $CDCl_3/TMS$ ) (E-92):  $\delta$  = 2,43 (t, 2H); 2,56 (t, 2H); 3,30 (s, 2H); 3,84 (s, 3H); 3,87 (s, 3H); 4,90 (s, 1H); 6,59 (s, 1H); 6,78 (d, 1H,  $J= 8,5$  Hz); 6,83 (s, 1H); 6,90 (d, 1H,  $J= 8,5$  Hz).

Anál. Elem.: Calculado para  $C_{18}H_{17}NO_4$ : C, 69,44; H, 5,50; N, 4,50%.

Encontrado: C, 69,46; H, 5,51; N, 4,51%.

#### ( $\pm$ )-didesidronorisocularina 309

sólido branco (98,60 mg; 0,32 mmol).

Rendimento: 58%.

p.f.= 143-144°C.

IV (KBr)  $cm^{-1}$  (E-93): 3483 ( $\nu_{O-H}$ ); 1626 ( $\nu_{C=N}$ ).

RMN<sup>1</sup>H(1,8,10,51) ( $CDCl_3/TMS$ ) (E-94):  $\delta$  = 2,45 (t, 2H); 2,57 (t, 2H); 3,33 (s, 2H); 3,86 (s, 3H); 3,88 (s, 3H); 6,55 (d, 1H,  $J= 8,5$  Hz); 6,68 (d, 1H,  $J= 8,5$  Hz); 6,76 (d, 1H,  $J= 8,5$  Hz); 6,95 (d, 1H,  $J= 8,5$  Hz); 7,15 (s, 1H).

Anál. Elem.: Calculado para  $C_{18}H_{17}NO_4$ : C, 69,44; H, 5,50; N, 4,50%.

Encontrado: C, 69,44; H, 5,49; N, 4,50%.

## 10.9 - SÍNTSE DA (+)-O-DESMETILCULARINA 1.b<sup>(21,22)</sup>

Semelhante ao procedimento empregado na síntese da (+)-Cularina 1.a (síntese assimétrica). Partiu-se da ( $\pm$ )-didesidronorcularina 308 (75 mg; 0,24 mmol) e o produto obtido foi purificado em coluna cromatográfica (CHCl<sub>3</sub>:MeOH - 99:1), de onde obteve-se a (+)-O-desmetilcularina 1.b (75,05 mg; 0,23 mmol), na forma de cristais amarelos.

Rendimento: 95%.

p.f.= 127-128°C (lit.<sup>(52)</sup>: 126-127°C).

[ $\alpha$ ]<sub>D</sub><sup>25</sup> = + 323,5° (c = 0,8 g/l em MeOH).

IV (KBr) cm<sup>-1</sup> (E-95): 3555 (v<sub>O-H</sub>); 2380 (v<sub>N-CH<sub>3</sub></sub>).

RMN<sup>1</sup>H<sup>(1,51)</sup>(CDCl<sub>3</sub>/TMS) (E-96):  $\delta$  = 2,41 (t, 2H); 2,54 (t, 2H); 2,58 (s, 3H); 3,07 (dd, 1H, J= 15,8 Hz e 12,0 Hz); 3,25 (dd, 1H, J= 15,8 Hz e 4,5 Hz); 3,85 (s, 3H); 3,86 (s, 3H); 4,45 (dd, 1H, J= 12 Hz e 4,5 Hz); 4,90 (s, 1H); 6,58 (s, 1H); 6,75 (d, 1H, J= 8,5 Hz); 6,81 (s, 1H); 6,88 (d, 1H, J= 8,5 Hz).

## 10.10 - SÍNTSE DA (+)-CULARINA 1.a<sup>(140)</sup>

Tratou-se a (+)-O-desmetilcularina 1.b (55 mg; 0,17 mmol) com uma solução etérea de diazometano (CH<sub>2</sub>N<sub>2</sub>) (obtido a partir de diazald e uma solução etanólica de KOH), de onde obteve-se a (+)-Cularina 1.a (56 mg; 0,16 mmol), na forma de sólido branco, após recristalização em éter de petróleo.

Rendimento: 98%.

[ $\alpha$ ]<sub>D</sub><sup>25</sup> = + 283,8° (c = 0,8 g/l em MeOH); [lit.<sup>(172)</sup>: [ $\alpha$ ]<sub>D</sub><sup>25</sup> = + 285° (c = 0,8 g/l em MeOH)].

Os dados físicos e espectroscópicos conferem com os obtidos anteriormente (item 10.7.2).

## 10.11 - SÍNTESE DA (+)-SARCOCAPNIDINA 2.b<sup>(21,22)</sup>

Semelhante ao procedimento empregado na síntese da (+)-Cularina 1.a (síntese assimétrica). Partiu-se da ( $\pm$ )-didesidronorisocularina 309 (55 mg; 0,18 mmol) e obteve-se a (+)-sarcocapnidina 2.b (54 mg; 0,17 mmol), na forma de sólido branco, após recristalização em éter de petróleo.

Rendimento: 93%.

p.f.= 125-126°C (lit.<sup>(10)</sup>: 126-127°C).

$[\alpha]_D^{25} = + 384^\circ$  ( $c = 0,0696$  g/l em MeOH); [(lit.<sup>(10)</sup>:  $[\alpha]_D^{25} = + 385,4^\circ$ ;  $c = 0,0696$  g/l em MeOH)].

IV (KBr)  $\text{cm}^{-1}$  (E-97): 3486 ( $\nu_{\text{O-H}}$ ); 2378 ( $\nu_{\text{N-CH}_3}$ ).

RMN $^1\text{H}$ <sup>(1,10,51)</sup> (CDCl<sub>3</sub>/TMS) (E-98):  $\delta = 2,42$  (t, 2H); 2,53 (t, 2H); 2,59 (s, 3H); 3,09 (dd, 1H,  $J = 15,9$  Hz e 11,9 Hz); 3,27 (dd,  $J = 15,9$  Hz e 4,6 Hz); 3,85 (s, 3H); 3,87 (s, 3H); 4,51 (dd, 1H,  $J = 11,9$  Hz e 4,6 Hz); 6,52 (d, 1H,  $J = 8,5$  Hz); 6,63 (d, 1H,  $J = 8,5$  Hz); 6,75 (d, 1H,  $J = 8,5$  Hz); 6,93 (d, 1H,  $J = 8,5$  Hz); 7,15 (s, 1H).

## 10.12 - SÍNTESE DA (+)-SARCOCAPNINA 2.a<sup>(140)</sup>

Tratou-se a (+)-sarcocapnidina 2.b (36 mg; 0,11 mmol) com uma solução etérea de diazometano (CH<sub>2</sub>N<sub>2</sub>) e obteve-se a (+)-sarcocapnina 2.a (37 mg; 0,108 mmol), na forma de óleo viscoso amarelo, após purificação em coluna cromatográfica (CHCl<sub>3</sub>:MeOH - 99:1). Ela foi cristalizada como cloridrato de MeOH e HCl na forma de sólido amarelado.

Rendimento: 97%.

p.f.= 212-213°C (lit.<sup>(8)</sup>: 213-215°C).

$[\alpha]_D^{25} = + 217^\circ$  ( $c = 0,3$  g/l em EtOH); [(lit.<sup>(8)</sup>:  $[\alpha]_D^{25} = + 218^\circ$ ; ( $c = 0,3$  g/l em EtOH) (do cloridrato)].

IV (filme)  $\text{cm}^{-1}$  (E-99): 2379 ( $\nu_{\text{N-CH}_3}$ ) (do óleo).

RMN<sup>1</sup>H(<sup>1,8,51</sup>) (CDCl<sub>3</sub>/TMS) (E-100): δ = 2,50 (t, 2H); 2,54 (s, 3H); 2,73 (t, 2H); 3,17 (dd, 1H, J= 15,8 Hz e 10,7 Hz); 3,36 (dd, 1H, J= 15,8 Hz e 3,7 Hz); 3,81 (s, 3H); 3,88 (s, 3H); 3,91 (s, 3H); 4,30 (dd, 1H, J= 10,7 Hz e 3,7 Hz); 6,56 (d, 1H, J= 8,5 Hz); 6,75 (d, 1H, J= 8,6 Hz); 6,78 (d, 1H, J= 8,5 Hz); 6,85 (d, 1H, J= 8,6 Hz) (do óleo).

### 10.13 - SÍNTSE DA (+)-CRASSIFOLINA 3(<sup>21,22</sup>)

Semelhante ao procedimento empregado na síntese da (+)-Cularina 1.a (síntese assimétrica). Partiu-se da 3,4-diidroisoquinolina 306 (30 mg; 0,096 mmol) e obteve-se a (+)-crassifolina 3 (28,69 mg; 0,087 mmol), na forma de sólido branco, após recristalização em éter de petróleo.

Rendimento: 91%.

p.f.= 62-63°C (lit.<sup>(52)</sup>: 61-63°C).

[α]<sub>D</sub><sup>25</sup> = + 18,2° (c = 1,6 g/l em MeOH); [(lit.<sup>(10)</sup>: [α]<sub>D</sub><sup>25</sup> = + 20,6°; (c = 1,6 g/l em MeOH)].

IV (KBr) cm<sup>-1</sup> (E-101): 3554 (ν<sub>O-H</sub>); 2375 (ν<sub>N-CH<sub>3</sub></sub>).

RMN<sup>1</sup>H(<sup>1,10,51</sup>) (CDCl<sub>3</sub>/TMS) (E-102): δ = 2,37 (s, 3H); 2,40 (t, 2H); 2,52 (t, 2H); 3,05 (dd, 1H, J= 14 Hz e 8,7 Hz); 3,22 (dd, J= 14 Hz e 3,9 Hz); 3,78 (s, 3H); 3,82 (s, 3H); 4,12 (dd, 1H, J= 8,7 Hz e 3,9 Hz); 4,88 (s, 2H); 6,58 (d, 1H, J= 9 Hz); 6,73 (d, 1H, J= 9 Hz); 6,79 (dd, 1H, J= 9 Hz e 2,3 Hz); 6,84 (d, 1H, J= 2,3 Hz); 6,90 (d, 1H, J= 9 Hz).

## **REFERÊNCIAS BIBLIOGRÁFICAS**

1. M. Shamma; "The Isoquinoline Alkaloids"; Academic Press, Inc., New York, 1972, pg. 153-161.
2. L. Castedo; in "The Chemistry and Biology of Isoquinoline Alkaloids"; (J. D. Phillipson, M. F. Roberts and M. H. Zenk, Ed.); Springer-Verlag, Berlin, 1985, pg. 79-82, 102-125.
3. L. Castedo and R. Suau; "The Cularine Alkaloids"; (A. Brossi, Ed.); Vol. 29, Cap. 6, Academic Press, Inc., New York, 1986.
4. R. H. F. Manske; "The Alkaloids of Fumariaceous Plants. Corydalis Claviculata"; Can. J. Res., 1940, 18 (Sec. B), 97-99.
5. R. H. F. Manske; "The Alkaloids of Fumariaceous Plants. The Structures of Cularine and of Cularimine"; J. Am. Chem. Soc., 1950, 72, 55-59.
6. G. A Cordell; "Introduction to Alkaloids"; John Wiley & Sons, New York, 1981, pg. 317, 368.
7. P. D'Ocon, R. Blasco, L. Cadenas, D. Ivorra, S. López, C. Villaverde, L. Castedo and D. Cortes; "Inhibition of Calcium Entry Induced by Cularines and Isocrasifoline in Uterine Smooth Muscle"; Eur. J. Pharmacol., 1991, 196, 183-187.
8. M. J. Campello, L. Castedo, J. M. Saá, R. Suau and M. C. Vidal; "Cancentrine-Type Cularine Alkaloids: Sarcocapnine and Oxosarcocapnine"; Tetrahedron Lett., 1982, 23, 239-240.

9. T. Kametani, K. Fukumoto and M. Fujihara; "Biosynthesis of Cularine"; J. Chem. Soc.; Chem. Commun., 1971, 352-353.
10. J. M. Boente, L. Castedo, R. Cuadros, A. Rodrígues de Lera, J. M. Saá, R. Suau and M. C. Vidal; "New Phenolic Isocularine and Benzylisoquinoline Alkaloids and Their Biogenetic Relationship"; Tetrahedron Lett., 1983, 24, 2303-2306.
11. G. Blaschke and G. Scriba; "New Papaveraceae Alkaloids Including an 7,8-Oxygenated Isocularine, The Postulated Precursor of the Cularine Alkaloids"; Z. Naturforsch., 1983, 38, 670.
12. G. Blaschke and G. Scriba; "The Biosynthesis of Cularine"; Tetrahedron Lett., 1983, 24, 5855-5856.
13. A Mckillip; "An Introduction to the Chemistry of the Alkaloids"; Butterworth & Co., London, 1970, pg. 12-15.
14. G. A. Swan; "An Introduction to the Alkaloids"; John Wiley & Sons, New York, 1967, pg. 291-301.
15. R. Adams, H. Adkins, A. H. Blatt, A. C. Cope, F. C. McGrew, C. Niemann and H. R. Snyder; Org React., Vol. VI, Caps. 2, 3 e 4, J. Wiley & Sons, New York, 1971.
16. E. Schlittler und John Müller; "Eine neue Modifikation der Isochinolinsynthese nach Pomeranz-Fritech"; Helv. Chim. Acta, 1948, 31, 914-924.
17. R. H. F. Manske: in "The Alkaloids"; (Eds. R. H. F. Manske and H. L. Holmes); Vol. IV, Academic Press, New York, 1954, pg. 1-21.

18. D. M. B. Hickey, C. J. Moody and C. W. Rees; "Synthesis of Isoquinolines from Azidocinnamates; the Effect of Iodine"; J. Chem. Soc.; Chem. Commun., 1982, 3-4.
19. L. Henn, D. M. B. Hickey, C. J. Moody and C. W. Rees; "Formation of Indoles, Isoquinolines and Other Fused Pyridines from Azidoacrylates"; J. Chem. Soc.; Perkin Trans 1, 1984, 2189-2196.
20. C. J. Moody and L. G. Ward; "[2,3] Fused Indoles. Synthesis of Carboniles and Azepino[4,5-b] Indoles from 3-(2-Alkylindol-3-yl)-2-Azidoacrylates"; J. Chem. Soc.; Perkin Trans 1, 1984, 2895-2901.
21. D. L. Comins and M. M. Badawi; "Asymmetric Pictet-Spengler Synthesis of Tetrahydroisoquinolines. An Enantioselective Synthesis of (-)-Laudanosine"; Tetrahedron Lett.; 1991, 32, 2995-2996.
22. D. L. Comins, R. R. Goehring, S. P. Hoseph and S. O'Connor; "Asymmetric Synthesis of 2-Alkyl(Aryl)-2,3-dihydro-4-pyridones by Addition of Grignard Reagents to Chiral 1-Acyl-4-methoxypyridinium Salts"; J. Org. Chem., 1990, 55, 2574-2576.
23. C. Earnshaw, C. J. Wallis and S. Warren; "Synthesis of E- and Z-Vinyl Ethers by the Horner-Wittig Reaction"; J. Chem. Soc. Perkin Trans 1, 1979, 3099-3106.
24. L. Gottlieb and A. I. Meyers; "An Asymmetric Synthesis of Aphorphine and Related Alkaloids via Chiral Formamidines. (+)-Glaucine, (+)-Homoglaucine and (-)-8,9-Dimethoxythalisopavine"; J. Org. Chem., 1990, 55, 5659-5662.

25. A. I. Meyers, D. A. Dickman and M. Boes; "Asymmetric Synthesis of Isoquinoline Alkaloids"; Tetrahedron, 1987, 43, 5095-5108.
26. A. I. Meyers, D. A. Dickman and T. R. Bailey; "Asymmetric Synthesis of 2-Alkylpyrrolidines and Piperidines. Synthesis of (+)-Metazocine"; J. Am. Chem. Soc., 1985, 107, 7974-7978.
27. A. I. Meyers and J. Guiles; "The Asymmetric Total Synthesis of (+)-Reticuline"; Heterocycles, 1989, 28, 295-301.
28. K. Hashigaki, K. Kan, N. Qais, Y. Takeuchi and M. Yamato; "Asymmetric Synthesis of 1-Benzyltetrahydroisoquinolines Using Chiral Oxazolo [2,3,a] Tetrahydroisoquinolines"; Chem. Pharm. Bull., 1991, 39, 1126-1131.
29. M. J. Mueller and M. H. Zenk; "The Biosynthesis of the Cularine Alkaloids"; Liebigs Ann. Chem., 1993, 557-563.
30. M. J. Mueller and M. H. Zenk; "Early Precursors in the Biosynthesis of Cularine-type Benzylisoquinoline Alkaloids"; J. Chem. Soc.; Chem. Commun., 1993, 73-75.
31. M. H. Zenk, M. Rueffer, M. Amann and B. Deus-Neumann; "Benzylisoquinoline Biosynthesis by Cultivated Plant Cells and Isolated Enzymes"; J. Nat. Prod., 1985, 48, 725-738.
32. R. Stadler and M. H. Zenk; "A Revision of the Generally Accepted Pathway for the Biosynthesis of the Benzyltetrahydroisoquinoline Alkaloid Reticuline"; Liebigs Ann. Chem., 1990, 555-562.

33. J. P. Genet, N. Kopola, S. Juge, J. Ruiz-Montes, O. A. C. Antunes and S. Tanier; "Double Asymmetric Synthesis: Palladium Chiral Complexes in the Alkylation of Chiral Schiff Bases Derived from Glycine"; Tetrahedron Lett., 1990, 31, 3133-3136.
34. A. Solladié-Cavallo and M. Becheqroun; "Diastereoselective Reduction of an  $\alpha$ -Keto-Ester Derived From (-)-8-Phenylmenthol: A 4-step synthesis of R-Halostachine analogue"; Tetrahedron: Asymmetry, 1991, 2, 1165-1171.
35. Karl-Johan Fasth, G. Antoni and B. Långström; "Asymmetric Synthesis of L-[ $3\text{-}^{11}\text{C}$ ] Alanine and L-[ $3\text{-}^{11}\text{C}$ ] Phenylalanine by a Phase-Transfer Alkylation Reaction"; J. Chem. Soc.; Perkin Trans. 1, 1988, 3081-3084.
36. B. Långström, B. Stridsberg and G. Bergson; "Asymmetric Synthesis of Alanine by Methylation of Chiral Isocyanoacetic Esters"; Chem. Scr., 1978-79, 13, 49-51.
37. M. Kitamura, Yi Hsiao, M. Ohta, M. Tsukamoto, T. Ohta, H. Takaya and R. Noyori; "General Asymmetric Synthesis of Isoquinoline Alkaloids. Enantioselective Hydrogenation of Enamides Catalysed by BINAP-Ruthenium (II) Complexes"; J. Org. Chem., 1994, 59, 297-310.
38. R. Appel and M. Halstenberg; in "Organophosphorus Reagents in Organic Synthesis", (Ed. J. I. G. Cadogan); Academic Press; New York, 1979, pgs. 1-15, 223-268, 433-466.

39. H. Takeuchi, Shun-ichi Ianagida, T. Ozaki, S. Tagiwara and S. Eguchi; "A New Versatile Synthesis of Oxazoles by Intramolecular Aza-Wittig Reaction"; J. Org. Chem., 1989, 54, 431-434.
40. R. A. Abramovitch and E. P. Kyba, in "The Chemistry of the Azido Group"; (Ed. S. Patai), Cap. 5, J. Wiley & Sons, New York, 1971.
41. H. Zimmer and G. Singh; "Synthesis of Some Triphenylphosphinalkylimines and Mono- and Dialkylaminotriphenylphosphonium Halides"; J. Org. Chem., 1963, 28, 483-486.
42. P. Molina, A. Arques and Ma. A. Aliás; "Heterocumulene Mediated Annulation of a [1,3,4] Thiadiazine or [1,3,4] Oxadiazine Ring into an Imidazole Ring: Preparation and Crystal Structure of Some Derivatives of the Unknown Imidazo [1,5-d] [1,3,4] Thiadiazine and Imidazo [1,5-d] [1,3,4] Oxadiazine Ring Systems"; Tetrahedron, 1990, 46, 4353-4370.
43. E. Fabiano, B. T. Golding and M. M. Sadeghi; "A Simple Conversion of Alcohols into Amines"; Synthesis, 1987, 190-192.
44. O. Mitsunobu; "The Use of Diethyl Azodicarboxylate and Triphenylphosphine in Synthesis and Transformation of Natural Products"; Synthesis, 1981, 1-28.
45. H. Loibner und E. Zbiral; "Reaktionen mit Phosphororganischen Verbindungen. Neuartige Synthetische Aspekte des Systems Triphenylphosphin-Azodicarbonsäureester-Hydroxyverbindung"; Helv. Chim. Acta, 1976, 59, 2100-2113.
46. P. Molina, A. Arques, F. M. Fresneda, M. V. Vinader, M. de la C. Foces-Foces and F. Hernandez Cano; "Heterocyclization Reactions of Conjugated

- Heterocumulenes. Synthesis of Pyridine Derivatives by a Tandem Aza-Wittig/Eletrocyclization Strategy"; Chem. Ber., 1989, 122, 307-313.
47. P. Molina, P. M. Fresneda and P. Alarcón; "Conjugated Carbodiimides: Preparation and Thermal Cyclization to 2-Aminopyridine Derivatives"; Tetrahedron Lett., 1988, 29, 379-380.
48. P. Molina, A. Tárraga and M. J. Lidón; "Preparation and Thermal Ring-closure of  $\beta$ -Aryl Vinyl Carbodi-imides: Synthesis of Isoquinolines Derivatives"; J. Chem. Soc.; Perkin Trans 1, 1990, 1727-1731.
49. A. D. Allen, A. Stevenson and T. T. Tidwell; "Hydration Reactivity of Persistent Conjugated Ketenes"; J. Org. Chem., 1989, 54, 2843-2848.
50. P. Molina, M. Alajarín, A. Ferao and Ma. J. P. Vega; "New Heterocyclization Reactions for the Preparation of Fused [1,2,4] Triazoles: Synthesis of 1,2,4-Triazolo [4,3-b] [1,2,4] Triazole Derivatives from 4-Amino-1,2,3,4-Triazoles and Carbodi-imides via Iminophosphoranes and Disubstituted Thioureas"; J. Chem Soc.; Perkin Trans 1, 1987, 2667-2672.
51. T. Kametani, K. Fukumoto and M. Fujihara; "Biogenetic-Type Synthesis of Cularine"; Bioorg. Chem., 1971, 1, 40-50.
52. A. H. Jackson, G. W. Stewart, G. A. Charnock and J. A. Martin; "Phenol Oxidation. Synthesis of the Benzylisoquinoline Alkaloid Cularine"; J. Chem. Soc.; Perkin Trans 1, 1974, 1911-1920.
53. H. Guinaudeau and P. Allais; "New Isoquinoline Alkaloids from Corydalis Claviculata"; Hetrocycles, 1984, 22, 107-111.

54. P. D. McDonald and G. A. Hamilton; in "Mechanisms of Phenolic Oxidative Coupling Reactions"; (W. S. Trahanovsky, Ed.); Academic Press, New York, 1973, pg. 97-133.
55. T. Kametani; "The Chemistry of the Isoquinoline Alkaloids"; Elsevier Publishing Company, Amsterdam, 1969.
56. R. S. Ward; "Asymmetric Synthesis of Lignans"; Tetrahedron, 1990, 46, 5029-5041.
57. N. A. Petasis and M. A. Patane; "The Synthesis of Carbocyclic Eight-Membered Rings"; Tetrahedron, 1992, 48, 5775-5821.
58. J. U. Nef; in "Reactive Molecules"; (C. Wentrup, Ed.), John Wiley & Sons, New York, 1984.
59. R. A. Abramovitch; in "Organic Reactive Intermediates"; (S. P. McManus, Ed.), Caps. 3 e 4, Academic Press, New York, 1973.
60. R. A. Abramovitch and R. Jeyeraman; in "Azides and Nitrenes"; (E. F. V. Scriven, Ed.), Cap. 6, Academic Press, New York, 1984.
61. W. Lwowski; in "Reactive Intermediates"; (M. Jones Jr. and R. A. Moss, Ed.); Vol. 3, Cap. 8, John Wiley & Sons, 1985.
62. G. P. Ford and J. D. Scribner; "MNDO Molecular Orbital Study of Nitrenium Ions Derived from Carcinogenic Aromatic Amines and Amides"; J. Am. Chem. Soc., 1981, 103, 4281-4291.

63. R. A. Abramovitch, A. Hawi, J. A. R. Rodrigues and T. R. Trombetta'; "Remote Intramolecular Functionalization of Arylnitrenium Ions. ipso-Substitution and Spiro-Lactone Formation"; J. Chem. Soc.; Chem. Commun., 1986, 283-284.
64. R. A. Abramovitch, M. Cooper, S. Iyer, R. Jeyaraman and J. A. R. Rodrigues; "Intramolecular Cyclization of Arylnitrenium Ions. Formation of Carbon-Carbon Bonds and of Lactones"; J. Org. Chem., 1982, 47, 4819-4820.
65. R. A. Abramovitch, R. Jeyaraman and K. Yannakopoulou; "Remote Intramolecular Functionalization of Arylnitrenium Ions. Seven-membered Ring Formation"; J. Chem. Soc.; Chem. Commun., 1985, 1107.
66. A. J. C. de Souza, G. del Ponte, R. A. Abramovitch, J. Miller, A. F. Neto; Abstract of paper presented at 3rd Brazilian Meeting on Organic Synthesis, São Carlos, SP, Brazil, 1989, PS 4.21, pg. 152.
67. P. G. Gassman; "Nitrenium Ions"; Accounts Chem. Res., 1970, 3, 26-33.
68. R. S. Ward; "The Synthesis of Lignans and Neolignans"; Chem. Soc. Rev., 1982, 11, 75-125.
69. A. S. Kende and L. S. Liebeskind; "Total Synthesis of ( $\pm$ )-Seteganacin"; J. Am. Chem. Soc., 1976, 98, 267-268.
70. G. E. Schneiders and R. Stevenson; "Structure and Synthesis of ( $\pm$ )-Wuweizisu C"; J. Org. Chem., 1981, 46, 2969-2971.

71. K. Tomioka, T. Ishiguro, Y. Itaka and K. Koga; "Asymmetric Total Synthesis of Natural (-)- and Unnatural (+)-Steganacin"; Tetrahedron, 1984, 40, 1303-1312.
72. R. E. Damon and R. H. Schlessinger; "A Short Synthesis of ( $\pm$ )-Isostegane"; J. Org. Chem., 1976, 41, 3772-3773.
73. M. Tanaka, H. Mitsuhashi and T. Wakamatsu; "A Practical Method for the Oxidative Coupling of Aromatic Compounds"; Tetrahedron Lett., 1992, 33, 4161-4164.
74. S. M. Kupchan, A. J. Liepa, V. Kameswaran and R. F. Bryan; "Novel Nonphenol Oxidative Coupling"; J. Am. Chem. Soc., 1973, 95, 6861-6863.
75. R. E. Damon and R. H. Schlessinger; "On the Mechanism of Formation of Spirodienone Products of Nonphenol Oxidative Coupling"; J. Am. Chem. Soc., 1975, 97, 5622-5626.
76. W. L. Carrick, G. L. Karapinka and G. T. Kwiatkowski; "The Oxidative Coupling of Phenols Using Vanadium Tetrachloride and Vanadium Oxytrichloride"; J. Org. Chem., 1969, 34, 2388-2392.
77. L. Castedo, D. Domínguez and E. Gutián; in "Heterocycles in Bio-organic Chemistry"; (Eds. J. Bergman, H. C. Van de Plas and M. Simony); The Royal Society of Chemistry, Cambridge, 1991, pg. 154-179.
78. B. S. Thyagarajan; "Oxidations by Ferricyanide"; Chem. Rev., 1958, 58, 439-460.

79. M. Shporer, G. Ron, A. Loewenstein and G. Navon; "Study of Some Cyano-Metal Complexes by Nuclear Magnetic Ressonance. Kinetics of Electron Transfer between Ferri- and Ferrocyanide Ions"; Inorg. Chem., 1965, 6, 672-681.
80. R. J. Campion, C. F. Deck, P. King Jr. and A. C. Wahl; "Kinetics of Electron Exchange between Hexacyanoferrate (II) and (III) Ions"; Inorg. Chem., 1967, 6, 672-681.
81. A. Pelter and S. M. A. Elgendi; "Phenolic Oxidatives with Phenylodonium Diacetate"; J. Chem. Soc.; Perkin Trans. 1, 1993, 1891-1896.
82. Tarasankar Pal and Anjali Pal; "Silver (I)-Gelatin Complex: A Novel Reagent for Oxidative Phenol Coupling"; J. Indian Chem. Soc., 1989, 66, 236-238.
83. W. A. Waters; "Comments on the Mechanism of One-electron Oxidation of Phenols: A Fresh Interpretation of Oxidative Coupling Reactions of Plant Phenols"; J. Chem. Soc. (B), 1971, 2026-2029.
84. Yi Li, R. A. Abramovitch and K. N. Houk; "Relationship of Conformational Effects in Phenoxyonium and Phenylnitrenium Cations to Intramolecular Reactivities. *Ab Initio* Electronic Structures"; J. Org. Chem., 1989, 54, 2911-2914.
85. K. Dimroth, W. Umbach und H. Thomas; "Stabile Phenoxy-Kationen aus Arilierten Phenolen"; Chem. Ber., 1967, 100, 132-141.
86. Y. Endo, K. Shudo and T. Okamoto; "Acid-Catalyzed Solvolysis of N-Sulfonil- and N-Acyl-O-arylhydroxylamines. Phenoxyonium Ions"; J. Am. Chem. Soc., 1982, 104, 6393-6397.

87. R. A. Abramovitch, M. Inbasekaran and S. Kato; "Thermolysis of Aryloxyypyridinium Salts. Possible Generation of Aryloxenium Ions"; J. Am. Chem. Soc., 1973, 95, 5428-5430.
88. Y. Endo, K. Shudo and T. Okamoto; "Formation of Pummerer's Ketone from 4-Methylphenoxyenium Ion. An Acid-Catalyzed Solvolysis of N-p-Toluenesulfonyl-O-(4-Tolyl)-Hydroxylamine in p-Cresol"; Chem. Pharm. Bull., 1983, 31, 3769-3770.
89. R. A. Abramovitch, R. Bartnik, M. Cooper, N. L. Bassanayake, Hang-Young Hwang, M. N. Inbasekaran and G. Rusek; "Intramolecular Cyclization of Aryloxenium Ions. C—O—C and C—C Bond Formation. A Novel Ortho Effect"; J. Org. Chem., 1982, 47, 4817-4818.
90. R. A. Abramovitch, G. Alvernhe, R. Bartnik, N. L. Dassanayake, M. N. Inbasekaran and S. Kato; "Aryloxenium Ions. Generation from N-(Aryloxy) pyridinium Tetrafluoroborates and Reaction with Anisole and Benzonitrile"; J. Am. Chem. Soc., 1981, 103, 4558-4565.
91. R. A. Abramovitch, G. Alvernhe and M. N. Inbasekaran; "Aryloxenium Ions from N-Aryloxyypyridinium Salts and Aryloxyamine Derivatives"; Tetrahedron Lett., 1977, 1113-1116.
92. Y. Endo, K. Shudo, T. Okamoto; "A Novel Phenol-Benzene C—C Coupling Reaction. An Acid-Catalyzed Reaction of N-Acyl-O-arylhydroxylamines with Benzenes"; J. Am. Chem. Soc., 1977, 99, 7721-7723.

93. R. A. Abramovitch and M. N. Inbasekaran; "Benzoxazolo [2,3-a] pyridinium Tetrafluoroborates. Possible Generation of an Aryloxenium Ion"; J. Chem. Soc.; Chem. Commun., 1978, 149-150.
94. D. H. R. Barton, C. R. A. Godfrey, J. W. Morzycki, W. B. Motherwell and A. Stobie; "Observations on the Chemistry of the Iodoxy Group"; Tetrahedron Lett., 1982, 23, 957-960.
95. Y. Tamura, T. Yakura, Jun-ichi Haruta and Y. Kita; "Hypervalent Iodine Oxidation of p-Alkoxyphenols and Related Compounds: A General Route to p-Benzoquinone Monoacetals and Spiro Lactones"; J. Org. Chem., 1987, 52, 3927-3930.
96. A. S. Mitchell and R. A. Russel; "Oxidations of Substituted Phenols with Hypervalent Iodine: Applications to the Phthalide Annulation Route to Anthraquinones"; Tetrahedron Lett., 1993, 34, 545-548.
97. S. Spyroudis and A. Varvoglou; "Synthesis and Reactivity of 2-Oxidodiaryliodonium Zwitterions"; J. Chem. Soc.; Perkin Trans 1, 1984, 135-137.
98. R. Barret and M. Maudon; "Preparation of Quinone-Imide Ketals from Amides with Hypervalent Organo-Iodine Compounds"; Tetrahedron Lett., 1991, 32, 2133-2134.
99. R. Barret and M. Daudon; "Transformation of Acridines and Azepines into the Corresponding 3-Oxo-heterocycles by Means of Hypervalent Aromatic Iodine Compounds"; Monatsh. Chem., 1991, 122, 323-325.

100. R. M. Moriarty and R. K. Vaid; "Carbon-Carbon Bond Formation Via Hypervalent Iodine Oxidations"; Synthesis, 1990, 431-447.
101. H. Togo, M. Aoki and M. Yokoyama; "Alkylation of Aromatic Heterocycles with Oxalic Acid Monoalkyl Esters in the Presence of Trivalent Iodine Compounds"; Chem. Lett., 1991, 1691-1694.
102. D. G. Vanderlaan and M. A. Schwartz; "Synthesis and Oxidative Coupling of ( $\pm$ )-3-Oxoreticuline"; J. Org. Chem., 1985, 50, 743-747.
103. J. D. White, G. Caravatti, T. B. Kline and E. Edstrom; "Biomimetic Total Synthesis of (-)-Codeine"; Tetrahedron, 1983, 39, 2393-2397.
104. J. D. White, W. K. M. Chong and K. Thirring; "Phenolic Oxidative Coupling with Hypervalent Iodine. A Synthesis of 6a-Epipretazettine"; J. Org. Chem., 1983, 48, 2300-2302.
105. Y. Kita, T. Yakura, H. Tohma, K. Kikuchi and Y. Tamura; "A Synthetic Approach to Discorhabdin Alkaloids: Hypervalent Iodine Oxidation of p-Substituted Phenol Derivatives to Azacarbocyclic Spirodienones"; Tetrahedron Lett., 1989, 30, 1119-1120.
106. C. Szántay, M. Bárczai-Beke, P. Péchy, G. Blaskó and G. Dörnyei; "Studies Aimed at the Synthesis of Morphine. Synthesis of ( $\pm$ )-Salutaridine via Phenolic Oxidative Coupling of ( $\pm$ )-Reticuline"; J. Org. Chem., 1982, 47, 594-596.
107. C. Szántay, G. Blaskó, M. Bárczai-Beke, P. Péchy and G. Dörnyei; "Studies Aiming at the Synthesis of Morphine. Studies on Phenolic Coupling of N-Norreticuline Derivatives"; Tetrahedron Lett., 1980, 21, 3509-3512.

108. A. R. de Lera, J. M. Saá, R. Suau and L. Castedo; "Synthetic Approaches to Cularines. Nucleophilic Addition and Substitution"; J. Heterocycl. Chem., 1987, 24, 613-622.
109. T. Kametani and K. Fukumoto; "Cularine and Related Compounds. A Total Synthesis of ( $\pm$ )-Cularine"; J. Chem. Soc., 1963, 4289-4296.
110. T. Kametani, K. Fukumoto, S. Shibuya and T. Nakano; "Cularine and Related Compounds. Investigation of the Ullmann Reaction Products of Methyl (2-Bromo-4,5-Dimethoxyphenyl) Acetate with Phenolic Compounds and an Approach to the Total Synthesis of Cularine"; Chem. Pharm. Bull., 1963, 11, 1299-1305.
111. I. Noguchi and D. B. McLean; "Synthesis of ( $\pm$ )-Cularicine"; Can. J. Chem., 1975, 53, 15-130.
112. A. R. Battersby and M. Dekker; in "Oxidative Coupling of Phenols"; (W. I. Taylor, Ed.), Vol. 1, Academic Press, New York, pg. 140-142.
113. J. M. Boente, L. Castedo, A. Rodríguez de Lera, J. M. Saá, R. Suau and M. C. Vidal; "Oxocomposteline and Oxocularine, Structure and Synthesis"; Tetrahedron Lett., 1983, 24, 2295-2298.
114. J. S. Buck; Org. Synthesis Collective, Vol. II, J. Wiley & Sons, New York, 1948, pg. 619-621.

115. A. Brossi, H. Gurien, A. I. Rachlin and S. Teitel; "Selective Demethylation of 3,4-Dimethoxy-Substituted Aromatic Aldehydes and Ketones"; J. Org. Chem., 1967, 32, 1256-1270.
116. H. Bruderer and A. Brossi; "Synthesis in der Isochinolinreihe zur Partiellen Atherspaltung 6,7-Dimethoxy-Substituierten 3,4-Dihydro-Isochinoline und Isochinoline"; Helv. Chem. Acta, 1965, 48, 1945-1956.
117. T. A. Henry and T. M. Sharp; "Mercuration of Some Polyhydroxybenzaldehydes and their Monomethyl Ethers"; J. Chem. Soc., 1930, 2279-2289.
118. M. Loriot, E. Brown et J. P. Robin; "Synthesis Totales et Etudes de Lignanes Biologiquement Actifs. Application de L' $\alpha$ -Hydroxyalkylation de  $\beta$ -Benzyl- $\gamma$ -Butyrolactones a la Creation de Squelettes Phenyltetraline et Bisbenzocyclooctadiene-5"; Tetrahedron, 1983, 39, 2795-2798.
119. W. Wiegrebe; "Synthesis of 1-(4-Methoxybenzoyl)-N-Methyl-6,7-Methylenedioxy-1,2,3,4-Tetrahydroisoquinoline"; Chem. Abst., 1964, 6988f.
120. F. Bennington, R. D. Morin, Le Land C. Clark Jr. and Phyllis Fox; "Psychopharmacological Activity of Ring- and Side Chain-Substituted  $\beta$ -Phenethylamines"; J. Org. Chem., 1958, 23, 1979-1984.
121. R. Appel, R. Kleinstück, K. D. Zienh und F. Knoll; "Über Die Gemeinsame Einwirkung von Ammoniak (Aminen, Iminen) und Tetrachlorkohlenstoff auf Phosfine"; Chem. Ber., 1970, 103, 3631-3639.
122. R. F. Hudson; in "Structure and Mechanism in Organo-Phosphorus Chemistry"; (A. T. Blomquist, Ed.), Cap. 5, Academic Press, New York, 1969.

123. L. C. Thomas; in "The Identification of Functional Group in Organophosphorus Compounds"; Cap. 5, Heyden, New York, 1974.
124. H. R. Allcock; in "Phosphorus-Nitrogen Compounds"; Cap. 4, Academic Press, New York, 1972.
125. K. Takai, K. Nitta and K. Utimoto: "Simple and Selective Method for  $\text{RCHO} \longrightarrow (\text{E})\text{-RCH}=\text{CHX}$  Conversion by Means of a  $\text{CHX}_3\text{-CrCl}_2$  System"; J. Am. Chem. Soc., 1986, 108, 7408-7410.
126. T. Moeler; Inorganic Syntheses, Vol. V, McGraw-Hill Book Company, New York, 1957, pg. 153-158.
127. T. Hiyama, Y. Okude, K. Kimura and H. Nozaki; "Highly Selective Carbon-Carbon Bond Forming Reactions Mediated by Chromium (II) Reagents"; Bull. Chem. Soc. Jpn., 1982, 55, 561-568.
128. Tse-Lok Ho and G. A. Olah; "Synthetic Methods and Reactions. Coupling of Benzylic and Allylic Halides and Demobrination of vic-Dibromides with Vanadium (III) Chloride/Lithium Tetrahydroaluminate,  $\text{VCl}_3\text{-LiAlH}_4$  Reagent"; Synthesis, 1977, 170-171.
129. J. March; Advanced Organic Chemistry; J. Wiley & Sons, New York, 3rd. edition, 1985, pg. 389-392.
130. D. A. Rowlands; "Synthetic Reagents"; (S. S. Pizey, Ed.), Vol. I, J. Wiley & Sons, New York, 1979, pg. 247-353.

131. S. Kano, Y. Yuasa and S. Shibuya; "Formation of Alcohols from Alkenes by Reaction with  $\text{SnCl}_4\text{-NaBH}_4$ "; J. Chem. Soc.; Chem. Commun., 1979, 796.
132. S. Kano, Y. Tanaka and S. Hibino; "Formation of Alcohols from Alkenes with  $\text{TiCl}_4\text{-NaBH}_4$ "; J. Chem. Soc.; Chem. Commun., 1980, 414-415.
133. H. C. Brown and G. Zweifel; "Hydroboration. Directive Effects in the Hydroboration of Olefins"; J. Am. Chem. Soc., 1960, 82, 4708-4712.
134. H. C. Brown and R. L. Sharp; "Hydroboration. Directive Effects in the Hydroboration of Some Substituted Styrenes"; J. Am. Chem. Soc., 1966, 88, 5851-5854.
135. H. Wolff; Org. React., (R. Adams *et al.*, Ed.), Vol. III, Cap. 8, J. Wiley & Sons, New York, 1967.
136. F. A. Carey and R. J. Sundberg; "Advanced Organic Chemistry"; Plenum Press, New York, 2nd. edition, Part B, 1983, pg. 101-106.
137. G. Shroeter: "Über die Hofmann-Curtiusche die Beckmannsche und die Benzilsäure-Umlagerung"; Berichte, 1909, 42, 2336-2349.
138. I. A. Pearl; Org. Syntheses Collective, Vol. IV, J. Wiley & Sons, New York, 1963, pg. 974-977.
139. J. N. Ashley, W. H. Perkin and R. Robinsom; "Strychnine and Brucine. Preparation of Some Isomerides of Dinitrostrychol and Trinitrostrychol"; J. Chem. Soc., 1930, 382-395.

140. L. F. Fieser and M. Fieser; in "Reagents for Organic Synthesis", 3rd. edition, Vol. 1, John Wiley & Sons, New York, 1967, pg. 191-195.
141. A . L. Wilds and A. L. Meader, Jr., "The Use of Higher Diazohydrocarbons in the Arndt-Eistert Synthesis"; J. Org. Chem., 1948, 13, 763-779.
142. D. Hodson, G. Holt and D. K. Wall; "Diazoketones from the Interaction of Diazoalkanes with Carboxylic Acid-Dicyclohexylcarbodi-imida Mixtures"; J. Chem. Soc. (C), 1970, 971-973.
143. J. S. Buck and W. S. Ide; Org. Syntheses Collective, Vol. II, J. Wiley & Sons, New York, 1948, pg. 55-56
144. R. A. Abramovitch; "Applications of Microwave Energy in Organic Chemistry. A Review; Org. Prep. Proced. Int., 1991, 23, 683-711.
145. A. B. Alloun, B. Labiad and D. Villemin; "Application of Microwave Heating Techniques for Dry Organic Reactions"; J. Chem. Soc.; Chem. Commun., 1989, 386-387.
146. G. A. Olah, An-Hsiang Wu and O. Farooq; "Intramolecular Dehydration of Dialkylacetic Acids and Trimethylsilylacetic Acid with Dicyclohexylcarbodiimide to the Corresponding Stable Ketenes"; Synthesis, 1989, 568.
147. A. W. Ingersoll and S. H. Babcock; Org. Syntheses Collective, Vol. II, J. Wiley & Sons, New York, 1948, pg. 328-329.

148. H. Burton and P. F. G. Praill; "The Structure of Acyl Nitrates"; J. Chem. Soc., 1955, 729-731.
149. H. R. Snyder, J. S. Buck and W. S. Ide; Org. Syntheses Collective, Vol. II, J. Wiley & Sons, New York, 1948, pg. 333-336.
150. M. Kohno, S. Sasao and Shun-Ichi Murahashi; "Synthesis of Phenethylamines by Hydrogenation of  $\beta$ -nitrostyrenes"; Bull. Chem. Soc. Jpn., 1990, 63, 1252-1254.
151. H. H. Hodgson and W. H. H. Norris; "Replacement of the Diazonium by the Azido Groups in Acid Solution"; J. Chem. Soc., 1949, 762-763.
152. C. K. Banks and O. M. Gruhzit; "Some Chemotherapeutically Active Sulfones. Azido Substituted Sulfones"; J. Am. Chem. Soc., 1948, 70, 1268-1269.
153. J. A. R. Rodrigues, G. L. Carrasco and J. D. F. de Souza; Manuscript in preparation.
154. L. Castedo, R. Riguera y F. J. Sardina; "Espectroscopia  $^{13}\text{C}$ -RMN de Alcaloides Aporfinicos. Efectos Fenol-Fenoxido"; An. Quím., 1981, 77C, 138-142.
155. H. Hoffmann, L. Horner, H. G. Wippel und D. Michael; "Enthalogenierung von Phenolen und Aromatischen Aminen. Austausch Phenolischer Hydrosylgruppen gegen Chlor"; Chem. Ber., 1962, 95, 523-527.

156. R. G. Jones; in "Organic Reactions"; (R. Adams, H. Adkins, A. H. Blatt, A. C. Cope, F. C. McGrew, C. Niemann and H. R. Snyder, Eds.), Vol. 6, Cap. 7, John Wiley & Sons, New York, 1951.
157. J. Einhorn and J. L. Luche; "Ultrasound in Organic Synthesis. *In Situ* Generation and Uses of Butyllithium Reagents in Several Synthetic Reactions"; J. Org. Chem., 1987, 52, 4124-4126.
158. A. H. Jackson and G. W. Stewart; "Synthesis of the Alkaloid Cularine by Phenol Coupling"; J. Chem. Soc.; Chem. Commun., 1971, 149-150.
159. A. R. Battersby, R. Southgate, J. Staunton and M. Hirst; "Synthesis of (+)- and (-)-Scoulerine and of (+)- and (-)-Coreximine"; J. Chem. Soc. (C), 1966, 1052-1057.
160. R. A. Abramovitch, P. Chinnasamy, K. Evertz, G. Huttner; "Cyclisation of Arylnitrenium Ions to the Aporphine Ring System: Remarkable Formation of a Sixteen-membered Ring by an Intramolecular Electrophilic Aromatic Substitution"; J. Chem. Soc.; Chem. Commun., 1989, 3-5.
161. M. Schmeisser, K. Dahmen und P. Sartori; "Perfluoracyloxy-Verbindungen des Positiven Jobs"; Chem. Ber., 1967, 100, 1633-1637.
162. R. M. Moriarty, H. Hu and S. C. Gupta; "Direct  $\alpha$ -Hydroxylation of Ketones Using Iodobenzene"; Tetrahedron Lett., 1981, 22, 1283-1286.
163. M. Fieser; "Reagents for Organic Chemistry"; Vol. 11, John Wiley & Sons, New York, 1984, pg. 11.

164. G. F. Koser and R. H. Wettach; "Hypervalent Organoiodine. Reactions of Silver Arylsulfonates with Iodosobenzene Dichloride"; J. Org. Chem., 1977, 42, 1476-1478.
165. N. S. Bhacca, J. C. Craig, R. H. F. Manske, S. K. Roy, M. Shamma and W. A. Slusarchyk; "The Configuration and Conformation of Cularine"; Tetrahedron, 1966, 22, 1467-1475.
166. M. Ohashi, J. M. Wilson, H. Budzikiewicz, M. Shamma, W. A. Slusarchyk and C. Djerassi; "Mass Spectrometry in Structural and Stereochemical Problems. Aporphines and Related Alkaloids"; J. Am. Chem. Soc., 1963, 85, 2807-2810.
167. T. Kametani, S. Shibuya, C. Kibayashi; "The Structure of Cularidine"; Tetrahedron Lett., 1966, 3215-3219.
168. H. H. Hodgson and E. R. Ward; "Some Reactions and Derivatives of 6- and 7-Nitro-2-Naphthylamines. Bromination, Halogeno-Derivatives and the Preparation of the New 7-Nitro-2-Naphthol"; J. Chem. Soc., 1947, 327-331.
169. R. A. Abramovitch, J. A. R. Rodrigues, T. R. Trombetta; Unpublished results of the intramolecular trapping of phenolic -OH by arylnitrenium ions (1986). T. R. Trombetta; Master's thesis, Institute of Chemistry - UNICAMP, Brazil, 1986.
170. T. I. Godovikova, O. A. Rakitin and L. I. Khmel'nitskii; "Diazotisation of Weakly Basic Aromatic and Heterocyclic Amines in Strongly Acid Media"; Russ. Chem. Rev., 1983, 52, 440-445.

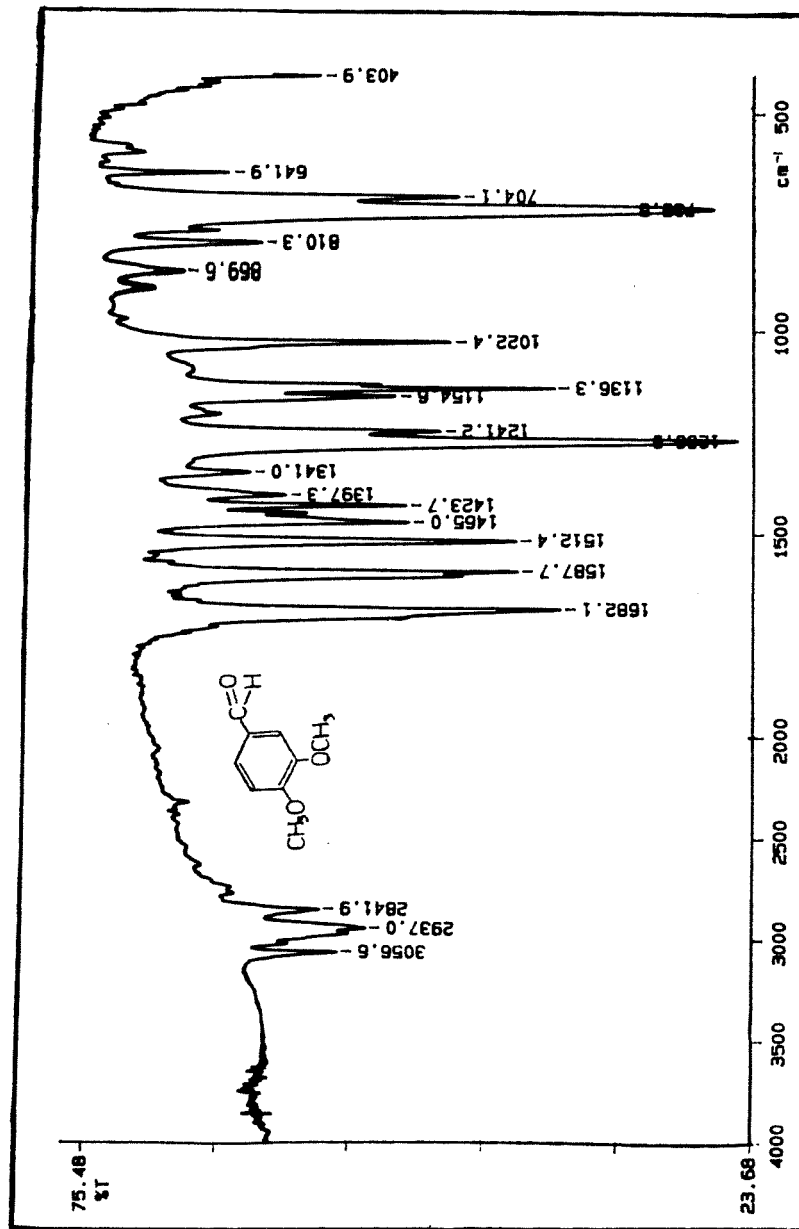
171. T. Kametani, S. Takano, K. Masuko and F. Sasaki; "Bisbenzylisoquinoline Alkaloids and Related Compounds. A Total Synthesis of Diastereoisomeric Mixture of Liensinine"; Chem. Pharm. Bull., 1966, 14, 67-72.
172. T. Kametani and S. Shibuya; "Cularine and Related Compounds. Total Syntheses of ( $\pm$ )-Cularimine and ( $\pm$ )-Cularine"; J. Chem. Soc., 1965, 5565-5566.
173. N. Baccan, O. E. S. Godinho, L. M. Aleixo and E. Stein; "Introdução à Semimicroanálise Qualitativa"; UNICAMP, IQ, Campinas, 1983, pg. 124-140.
174. Using PC Model from Serena Software and the MMX force field derived from MM2 (QCPE-395, 1977) of N. L. Allinger, with the pi-VESCF routines from MMPI (QCPE-318), also by N. L. Allinger, as modified by J. McKelvey and J. J. Gajewski.
175. A. I. Vogel; in "Textbook of Practical Organic Chemistry"; 4th edition, Longman Inc., New York, 1978.
176. N. L. Allinger, *et al.*; "Química Orgânica"; Guanabara Dois S.A., Rio de Janeiro, 1978, pg. 89.
177. Catálogo de instruções para uso de polarímetro fotoelétrico Polamat A (Carl Zeiss).
178. A. Burger and S. Avakian; "Some Derivatives of Homoanisic Acid"; J. Org. Chem., 1940, 5, 606-609.
179. E. Vedejs; Org. Syntheses, Vol. 65, J. Wiley & Sons, New York, 1987, pg. 203-213.

180. D. R. Lide; in "Handbook of Chemistry and Physics", 71st. edition, CRC Press, Boston, 1990-1991.

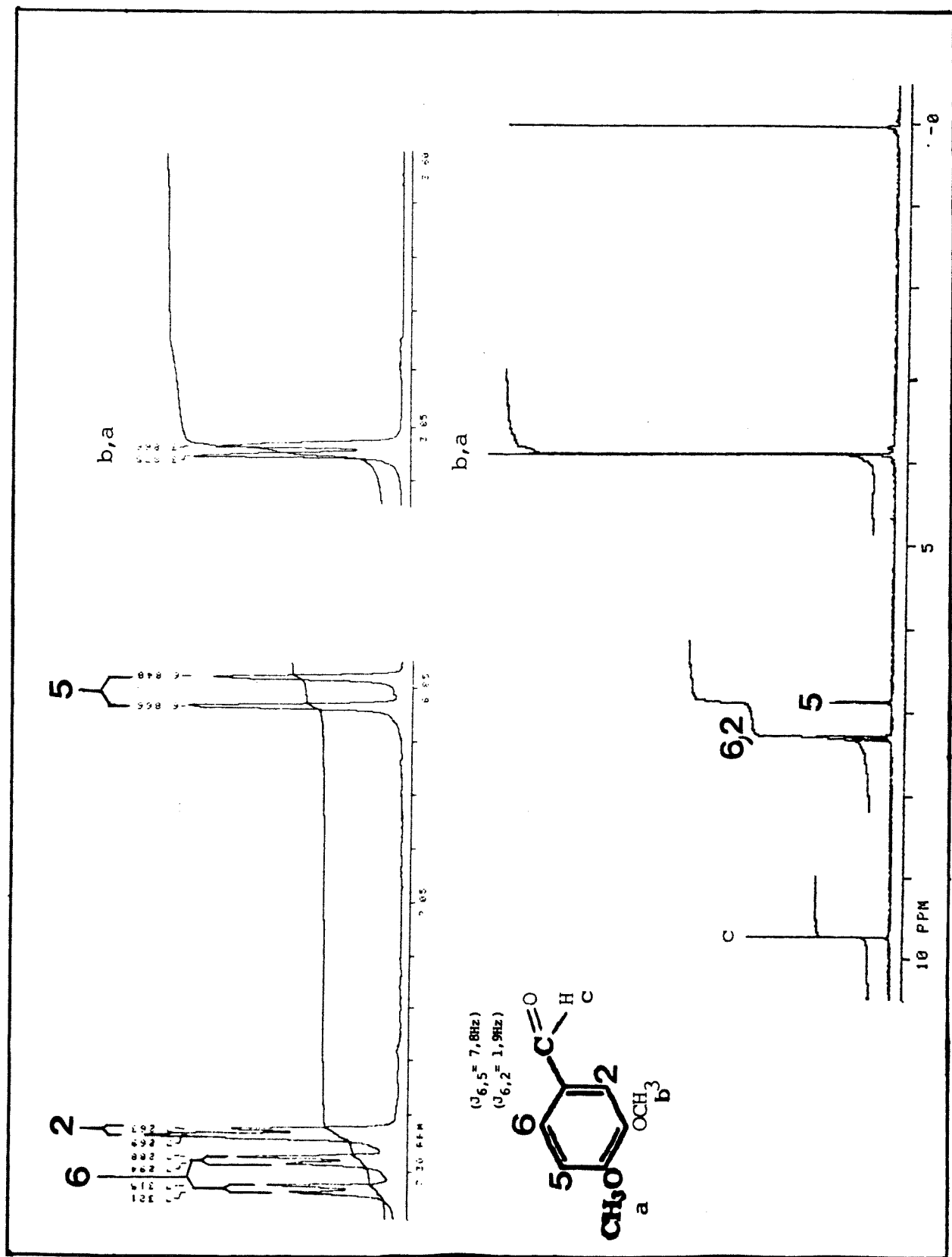
# ESPECTROS

# ESPECTROS

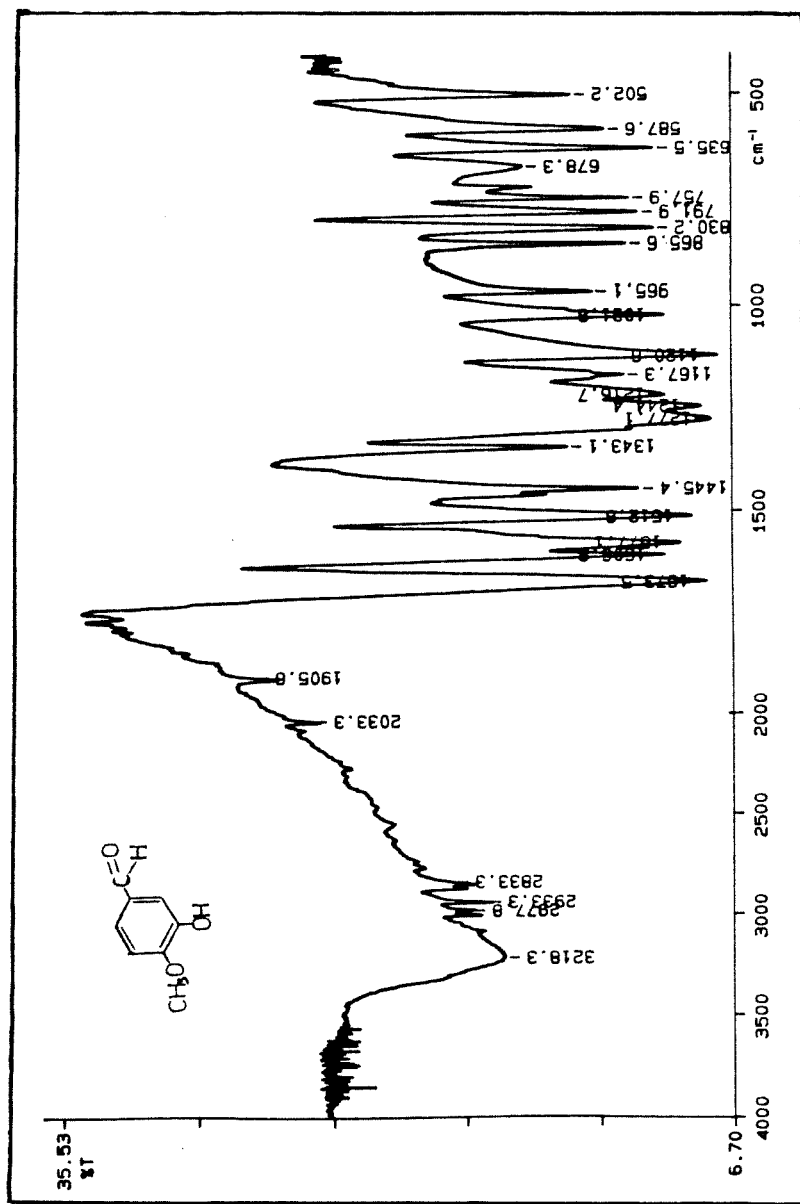
<b>E-1</b>	- IV (KBr) do veratraldeído <u>237</u>	186	<b>E-53</b>	- RMN <sup>1</sup> H (CDCl <sub>3</sub> /TMS) da 3,4-diidroisoquinolina <u>278b</u>	238
<b>E-2</b>	- RMN <sup>1</sup> H (CCl <sub>4</sub> /TMS) do veratraldeído <u>237</u>	187	<b>E-54</b>	- IV (KBr) da 3,4-diidroisoquinolina <u>278a</u>	239
<b>E-3</b>	- IV (KBr) da isovanilina <u>238</u>	188	<b>E-55</b>	- RMN <sup>1</sup> H (CDCl <sub>3</sub> /TMS) da 3,4-diidroisoquinolina <u>278a</u>	240
<b>E-4</b>	- RMN <sup>1</sup> H (CDCl <sub>3</sub> /TMS) da isovanilina <u>238</u>	189	<b>E-56</b>	- RMN <sup>13</sup> C (CDCl <sub>3</sub> ) da 3,4-diidroisoquinolina <u>278a</u>	241
<b>E-5</b>	- IV (KBr) da 6-bromoisovanilina <u>239</u>	190	<b>E-57</b>	- RMN <sup>13</sup> C (CDCl <sub>3</sub> ) (ampliado) da 3,4-diidroisoquinolina <u>278a</u>	242
<b>E-6</b>	- RMN <sup>1</sup> H (CDCl <sub>3</sub> /TMS) da 6-bromoisovanilina <u>239</u>	191	<b>E-58</b>	- IV (KBr) da 3,4-diidroisoquinolina <u>283</u>	243
<b>E-7</b>	- IV (KBr) do 3-benzoxi-4-metoxi-6-bromobenzaldeído <u>240a</u>	192	<b>E-59</b>	- RMN <sup>1</sup> H (CDCl <sub>3</sub> /TMS) da 3,4-diidroisoquinolina <u>283</u>	244
<b>E-8</b>	- RMN <sup>1</sup> H (CCl <sub>4</sub> /TMS) do 3-benzoxi-4-metoxi-6-bromobenzaldeído <u>240a</u>	192	<b>E-60</b>	- IV (KBr) da 3,4-diidroisoquinolina <u>284</u>	245
<b>E-9</b>	- IV (KBr) do nitroestireno <u>241a</u>	193	<b>E-61</b>	- IV (KBr) da ( $\pm$ )-didesidronorcularina <u>290</u>	246
<b>E-10</b>	- RMN <sup>1</sup> H (CCl <sub>4</sub> /TMS) do nitroestireno <u>241a</u>	194	<b>E-62</b>	- RMN <sup>1</sup> H (CDCl <sub>3</sub> /TMS) da ( $\pm$ )-didesidronorcularina <u>290</u>	247
<b>E-11</b>	- IV (filme) da amina <u>242a</u>	195	<b>E-63</b>	- RMN <sup>13</sup> C (CDCl <sub>3</sub> ) da ( $\pm$ )-didesidronorcularina <u>290</u>	248
<b>E-12</b>	- RMN <sup>1</sup> H (CCl <sub>4</sub> /TMS) da amina <u>242a</u>	196	<b>E-63</b>	- RMN <sup>13</sup> C (CDCl <sub>3</sub> ) (ampliado) da ( $\pm$ )-didesidronorcularina <u>290</u>	249
<b>E-13</b>	- IV (KBr) do sal de iminofosfônio <u>243a</u>	197	<b>E-64</b>	- EM (70 eV) da ( $\pm$ )-didesidronorcularina <u>290</u>	250
<b>E-14</b>	- RMN <sup>1</sup> H (CDCl <sub>3</sub> /TMS) do sal de iminofosfônio <u>243a</u>	198	<b>E-65</b>	- IV (KBr) da 3,4-diidroisoquinolina <u>278c</u>	251
<b>E-15</b>	- IV (KBr) do iminofosforano <u>244a</u>	199	<b>E-66</b>	- RMN <sup>1</sup> H (CDCl <sub>3</sub> /TMS) da 3,4-diidroisoquinolina <u>278c</u>	252
<b>E-16</b>	- RMN <sup>1</sup> H (CDCl <sub>3</sub> /TMS) do iminofosforano <u>244a</u>	200	<b>E-67</b>	- RMN <sup>13</sup> C (CDCl <sub>3</sub> ) da 3,4-diidroisoquinolina <u>278c</u>	253
<b>E-17</b>	- IV (filme) do cloroestireno <u>252</u>	202	<b>E-67</b>	- RMN <sup>13</sup> C (CDCl <sub>3</sub> ) (ampliado) da 3,4-diidroisoquinolina <u>278c</u>	254
<b>E-18</b>	- RMN <sup>1</sup> H (CCl <sub>4</sub> /TMS) do cloroestireno <u>252</u>	203	<b>E-68</b>	- IV (KBr) da 3,4-diidroisoquinolina <u>292</u>	255
<b>E-19</b>	- IV (KBr) do estireno <u>253</u>	204	<b>E-69</b>	- RMN <sup>1</sup> H (CDCl <sub>3</sub> /TMS) da 3,4-diidroisoquinolina <u>292</u>	256
<b>E-20</b>	- RMN <sup>1</sup> H (CCl <sub>4</sub> /TMS) do estireno <u>253</u>	205	<b>E-70</b>	- IV (KBr) da 3,4-diidroisoquinolina <u>293</u>	257
<b>E-21</b>	- IV (KBr) do álcool <u>257</u>	206	<b>E-71</b>	- RMN <sup>1</sup> H (CDCl <sub>3</sub> /TMS) da 3,4-diidroisoquinolina <u>293</u>	258
<b>E-22</b>	- RMN <sup>1</sup> H (CCl <sub>4</sub> /TMS) do álcool <u>257</u>	207	<b>E-72</b>	- IV (KBr) da 3,4-diidroisoquinolina <u>294</u>	259
<b>E-23</b>	- IV (KBr) do ácido hipúrico <u>268</u>	208	<b>E-73</b>	- RMN <sup>1</sup> H (CDCl <sub>3</sub> /TMS) da 3,4-diidroisoquinolina <u>294</u>	260
<b>E-24</b>	- IV (KBr) da oxazolona <u>269a</u>	209	<b>E-74</b>	- IV (KBr) da ( $\pm$ )-7,4'-dimetoxi-3'-amino-1-	261
<b>E-25</b>	- RMN <sup>1</sup> H (CDCl <sub>3</sub> /TMS) da oxazolona <u>269a</u>	210		benzoxepina-3,4-diidroisoquinolina <u>297</u>	262
<b>E-26</b>	- IV (KBr) do ácido homoverátrico <u>270a</u>	211	<b>E-75</b>	- RMN <sup>1</sup> H (CDCl <sub>3</sub> /TMS) de ( $\pm$ )-297	263
<b>E-27</b>	- RMN <sup>1</sup> H (CDCl <sub>3</sub> /TMS) do ácido homoverátrico <u>270a</u>	212	<b>E-76</b>	- RMN <sup>13</sup> C (CDCl <sub>3</sub> ) de ( $\pm$ )-297	264
<b>E-28</b>	- IV (KBr) do ceteno <u>267a</u>	213	<b>E-76</b>	- RMN <sup>13</sup> C (CDCl <sub>3</sub> ) (ampliado) de ( $\pm$ )-297	265
<b>E-29</b>	- RMN <sup>1</sup> H (CDCl <sub>3</sub> /TMS) do ceteno <u>267a</u>	214	<b>E-77</b>	- EM (70 eV) de ( $\pm$ )-297	266
<b>E-30</b>	- IV (filme) do para-metoxibenzaldeído <u>272</u>	215	<b>E-78.a</b>	- IV (KBr) da ( $\pm$ )-cularina <u>1a'</u>	267
<b>E-31</b>	- RMN <sup>1</sup> H (CCl <sub>4</sub> /TMS) do para-metoxibenzaldeído <u>272</u>	216	<b>E-78.b</b>	- IV (KBr) da (+)-cularina <u>1a'</u>	268
<b>E-32</b>	- IV (KBr) do 3-nitro-4-metoxibenzaldeído <u>273</u>	217	<b>E-79.a</b>	- RMN <sup>1</sup> H (CDCl <sub>3</sub> /TMS) da ( $\pm$ )-cularina <u>1a'</u>	269
<b>E-33</b>	- RMN <sup>1</sup> H (CDCl <sub>3</sub> /TMS) do 3-nitro-4-metoxibenzaldeído <u>273</u>	218	<b>E-79.b</b>	- RMN <sup>1</sup> H (CDCl <sub>3</sub> /TMS) da (+)-cularina <u>1a'</u>	270
<b>E-34</b>	- IV (KBr) da oxazolona <u>269b</u>	219	<b>E-80</b>	- IV (filme) da (+)-8-fenilmentila <u>303</u>	271
<b>E-35</b>	- RMN <sup>1</sup> H (CDCl <sub>3</sub> /TMS) da oxazolona <u>269b</u>	220	<b>E-81</b>	- RMN <sup>1</sup> H (CDCl <sub>3</sub> /TMS) da (+)-8-fenilmentila <u>303</u>	272
<b>E-36</b>	- IV (KBr) do ácido 3-nitro-para-homoanísico <u>270b</u>	221	<b>E-82</b>	- IV (filme) do (+)-8-fenilmentol <u>304</u>	273
<b>E-37</b>	- RMN <sup>1</sup> H (CDCl <sub>3</sub> /TMS) do ácido 3-nitro-para-homoanísico <u>270b</u>	222	<b>E-83</b>	- RMN <sup>1</sup> H (CDCl <sub>3</sub> /TMS) do (+)-8-fenilmentol <u>304</u>	274
<b>E-38</b>	- IV (KBr) do ceteno <u>267b</u>	223	<b>E-84</b>	- IV (KBr) da 3,4-diidroisoquinolina <u>278d</u>	275
<b>E-39</b>	- RMN <sup>1</sup> H (CDCl <sub>3</sub> /TMS) do ceteno <u>267b</u>	224	<b>E-85</b>	- RMN <sup>1</sup> H (CDCl <sub>3</sub> /TMS) da 3,4-diidroisoquinolina <u>278d</u>	276
<b>E-40</b>	- IV (KBr) do ácido 3-amino-para-homoanísico <u>270c</u>	225	<b>E-86</b>	- IV (KBr) da 3,4-diidroisoquinolina <u>279</u>	277
<b>E-41</b>	- RMN <sup>1</sup> H (CDCl <sub>3</sub> /TMS) do ácido 3-amino-para-homoanísico <u>270c</u>	226	<b>E-87</b>	- RMN <sup>1</sup> H (CDCl <sub>3</sub> /TMS) da 3,4-diidroisoquinolina <u>279</u>	278
<b>E-42</b>	- IV (KBr) do ácido 3-azido-para-homoanísico <u>270d</u>	227	<b>E-88</b>	- IV (KBr) da 3,4-diidroisoquinolina <u>306</u>	279
<b>E-43</b>	- RMN <sup>1</sup> H (CDCl <sub>3</sub> /TMS) do ácido 3-azido-para-homoanísico <u>270d</u>	228	<b>E-89</b>	- RMN <sup>1</sup> H (CDCl <sub>3</sub> /TMS) da 3,4-diidroisoquinolina <u>306</u>	280
<b>E-44</b>	- IV (KBr) do ceteno <u>267c</u>	229	<b>E-90</b>	- RMN <sup>13</sup> C (CDCl <sub>3</sub> ) da 3,4-diidroisoquinolina <u>306</u>	281
<b>E-45</b>	- RMN <sup>1</sup> H (CDCl <sub>3</sub> /TMS) do ceteno <u>267c</u>	230	<b>E-90</b>	- RMN <sup>13</sup> C (CDCl <sub>3</sub> ) (ampliado) da 3,4-diidroisoquinolina <u>306</u>	282
<b>E-46</b>	- IV (KBr) da oxazolona <u>269c</u>	231	<b>E-91</b>	- IV (KBr) da ( $\pm$ )-didesidronorcularina <u>308</u>	283
<b>E-47</b>	- RMN <sup>1</sup> H (CDCl <sub>3</sub> /TMS) da oxazolona <u>269c</u>	232	<b>E-92</b>	- RMN <sup>1</sup> H (CDCl <sub>3</sub> /TMS) da ( $\pm$ )-didesidronorcularina <u>308</u>	284
<b>E-48</b>	- IV (KBr) do ácido 3-benzoxi-4-metoxifenetílico <u>270e</u>	233	<b>E-93</b>	- IV (KBr) da ( $\pm$ )-didesidronorisocularina <u>309</u>	285
<b>E-49</b>	- RMN <sup>1</sup> H (CDCl <sub>3</sub> /TMS) do ácido 3-benzoxi-4-metoxifenetílico <u>270e</u>	234	<b>E-94</b>	- RMN <sup>1</sup> H (CDCl <sub>3</sub> /TMS) da ( $\pm$ )-didesidronorisocularina <u>309</u>	286
<b>E-50</b>	- IV (KBr) do ceteno <u>267d</u>	235	<b>E-95</b>	- IV (KBr) da (+)-O-desmetilcularina <u>1b</u>	287
<b>E-51</b>	- RMN <sup>1</sup> H (CDCl <sub>3</sub> /TMS) do ceteno <u>267d</u>	236	<b>E-96</b>	- RMN <sup>1</sup> H (CDCl <sub>3</sub> /TMS) da (+)-O-desmetilcularina <u>1b</u>	288
<b>E-52</b>	- IV (KBr) da 3,4-diidroisoquinolina <u>278b</u>	237	<b>E-97</b>	- IV (KBr) da (+)-sarcoapnidina <u>2b</u>	289
			<b>E-98</b>	- RMN <sup>1</sup> H (CDCl <sub>3</sub> /TMS) da (+)-sarcoapnidina <u>2b</u>	290
			<b>E-99</b>	- IV (filme) da (+)-sarcoapnidina <u>2a</u>	291
			<b>E-100</b>	- RMN <sup>1</sup> H (CDCl <sub>3</sub> /TMS) da (+)-sarcoapnidina <u>2a</u>	292
			<b>E-101</b>	- IV (KBr) da (+)-crassifolina <u>3</u>	293
			<b>E-102</b>	- RMN <sup>1</sup> H (CDCl <sub>3</sub> /TMS) da (+)-crassifolina <u>3</u>	294



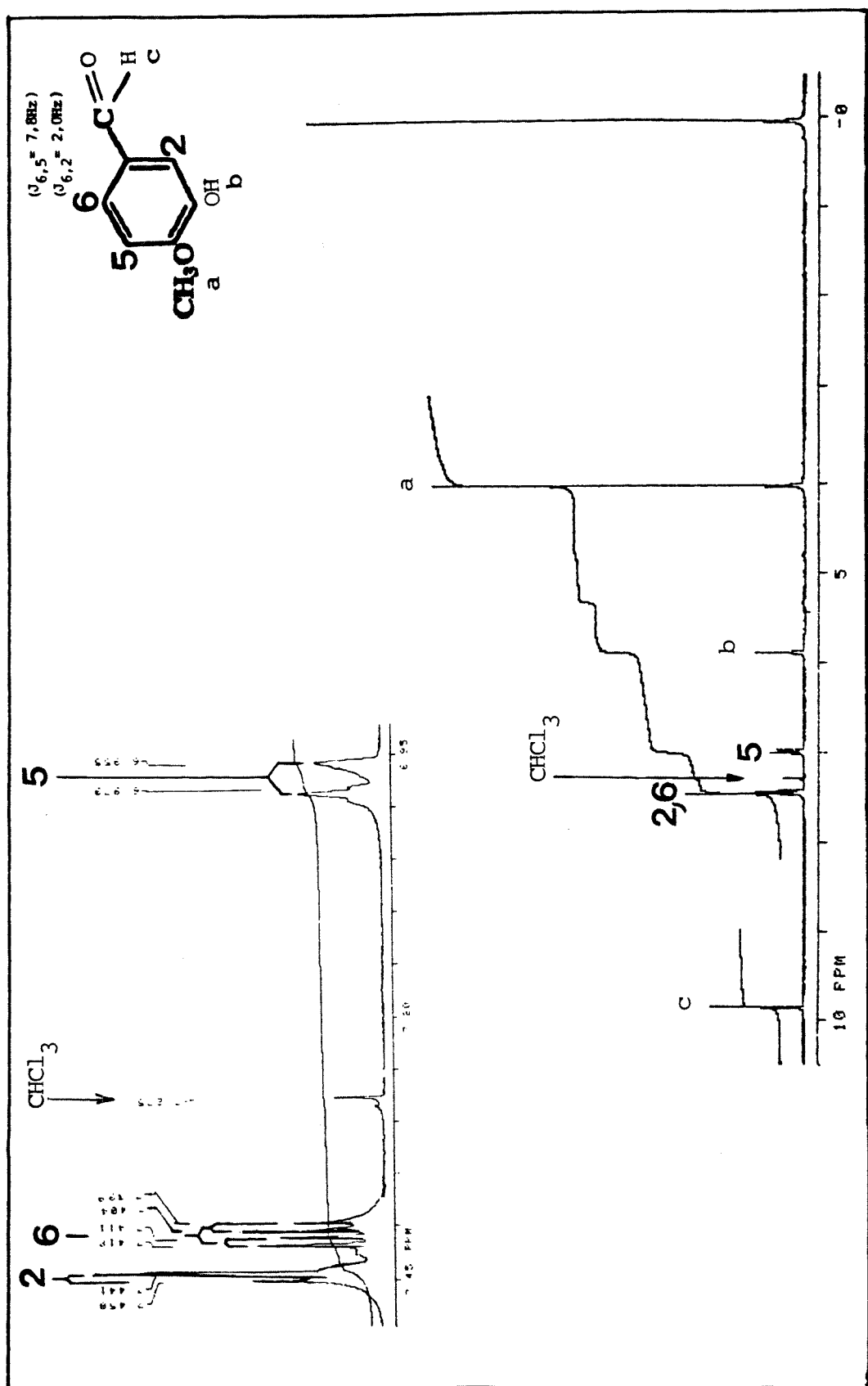
E-1 - IV(KBr) do veratraldeído 237

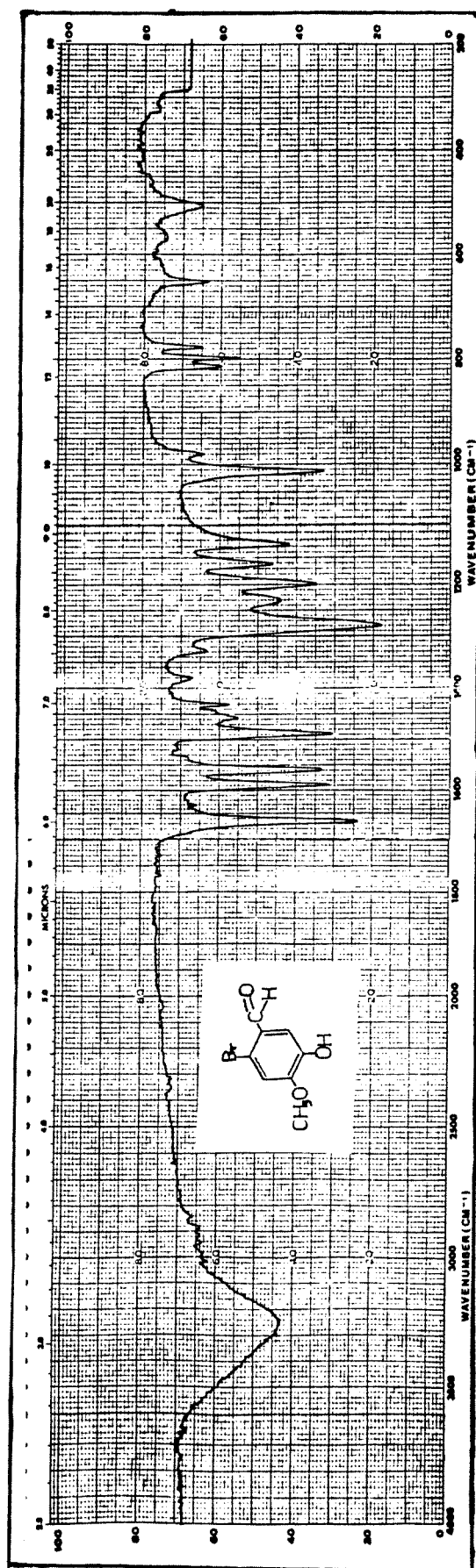


E-2 - RMN $^1\text{H}$ (CCl<sub>4</sub>/TMS) do veratraldeído 237

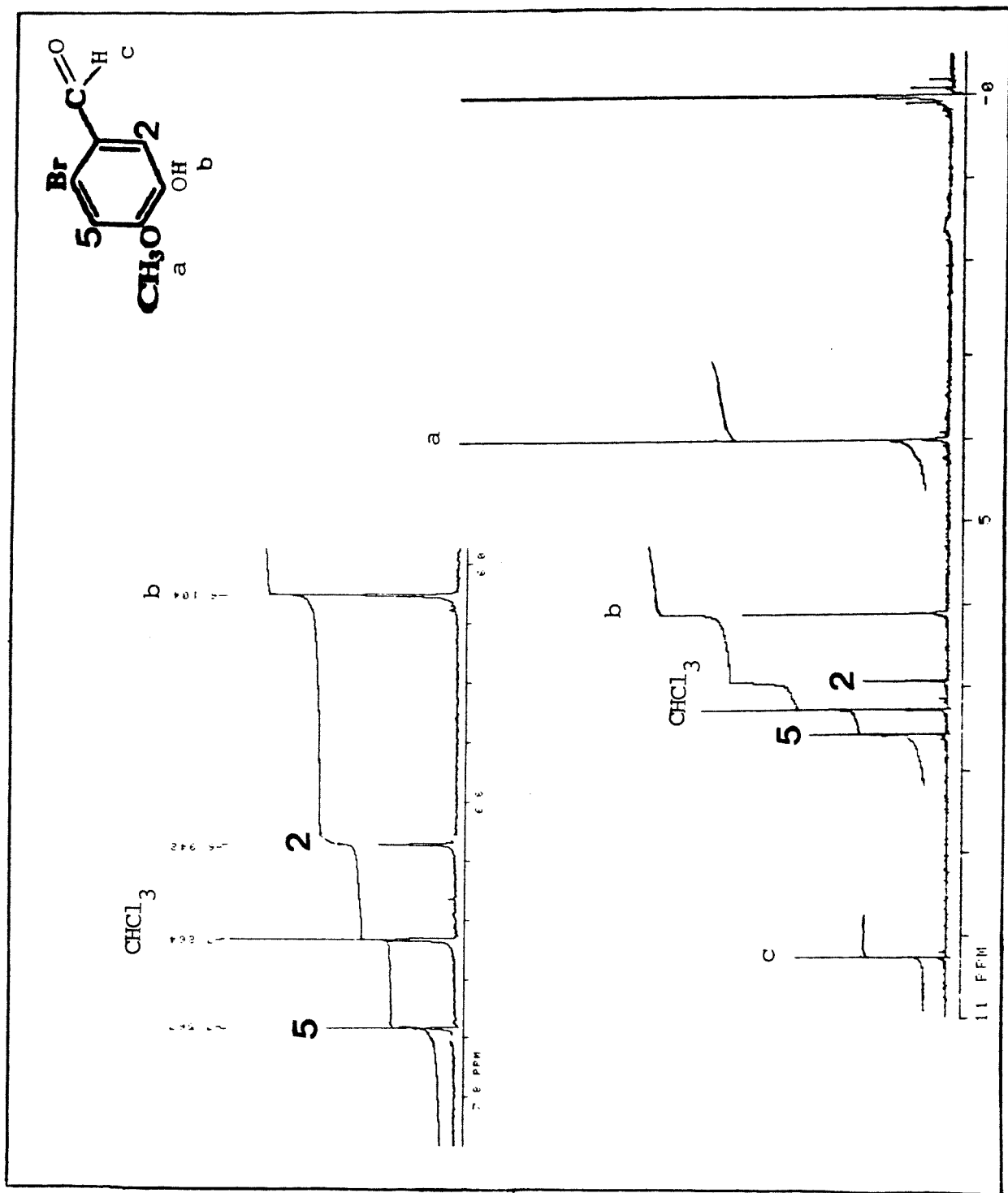


E-3 - IV(KBr) da isovanilina 238

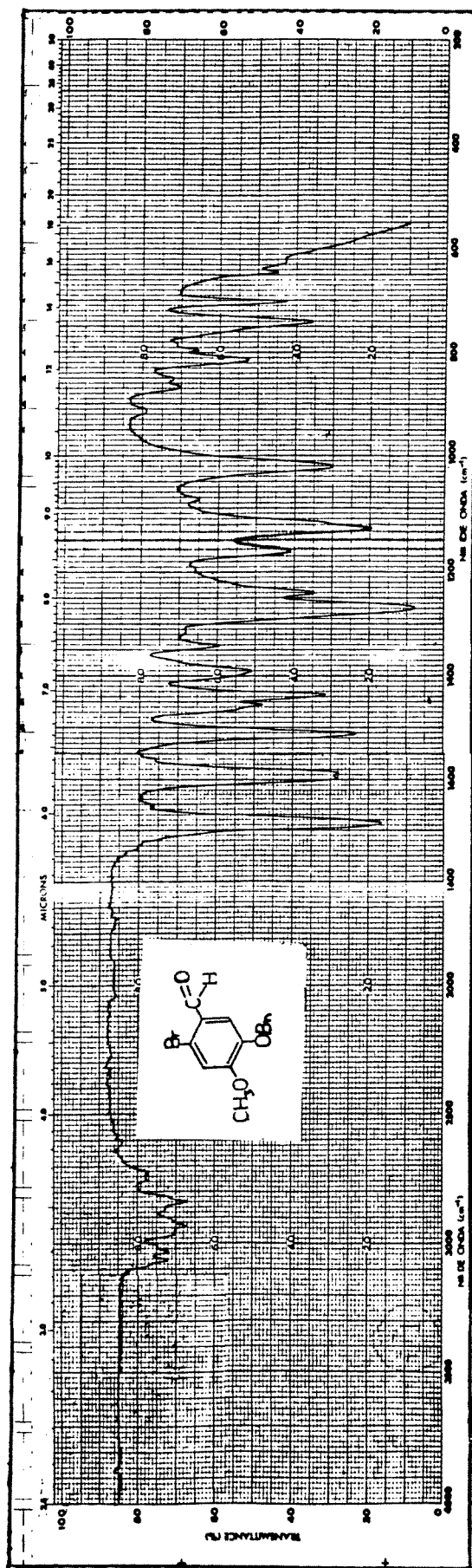




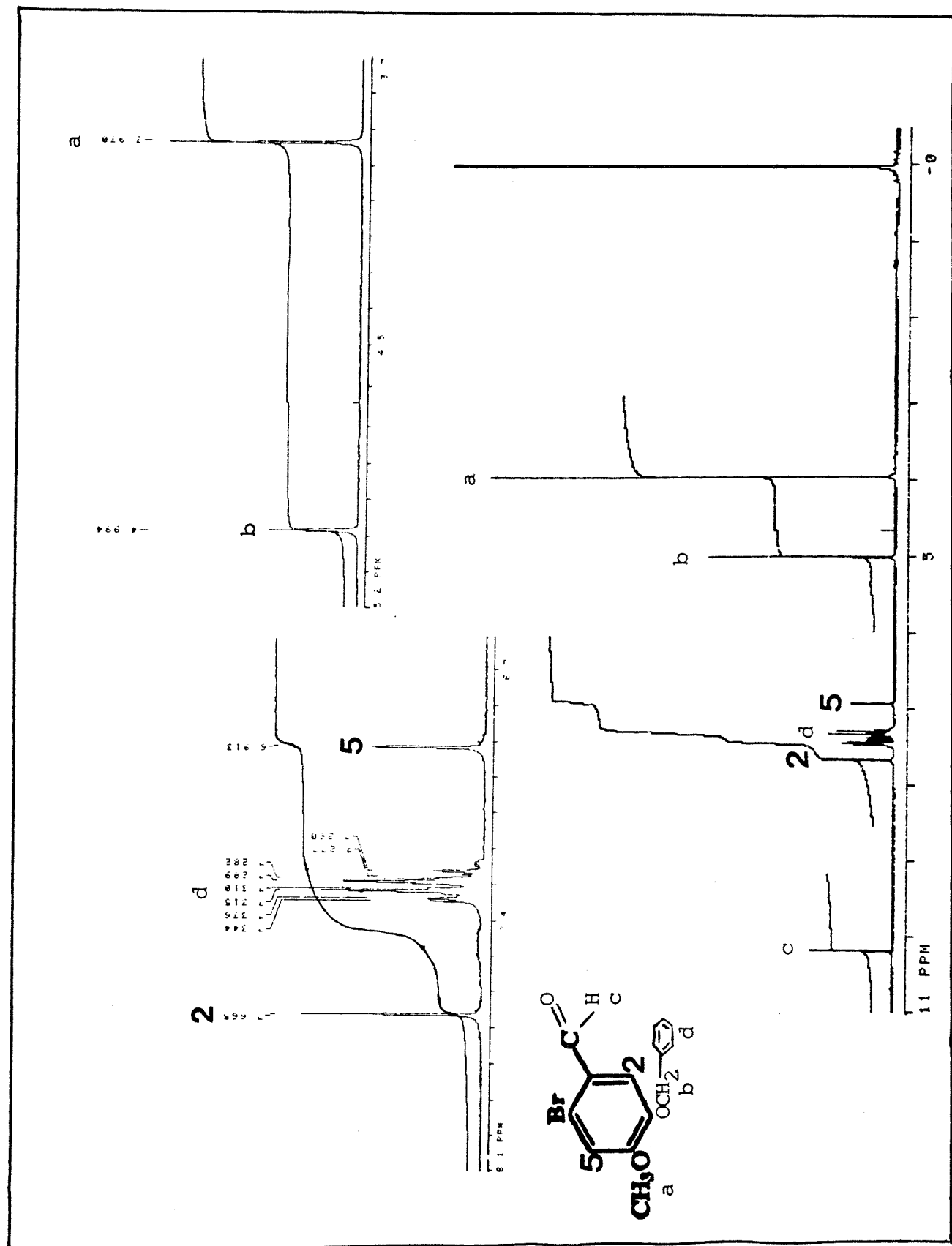
E-5 - IV(KBr) da 6-bromoisoquinolinina 239



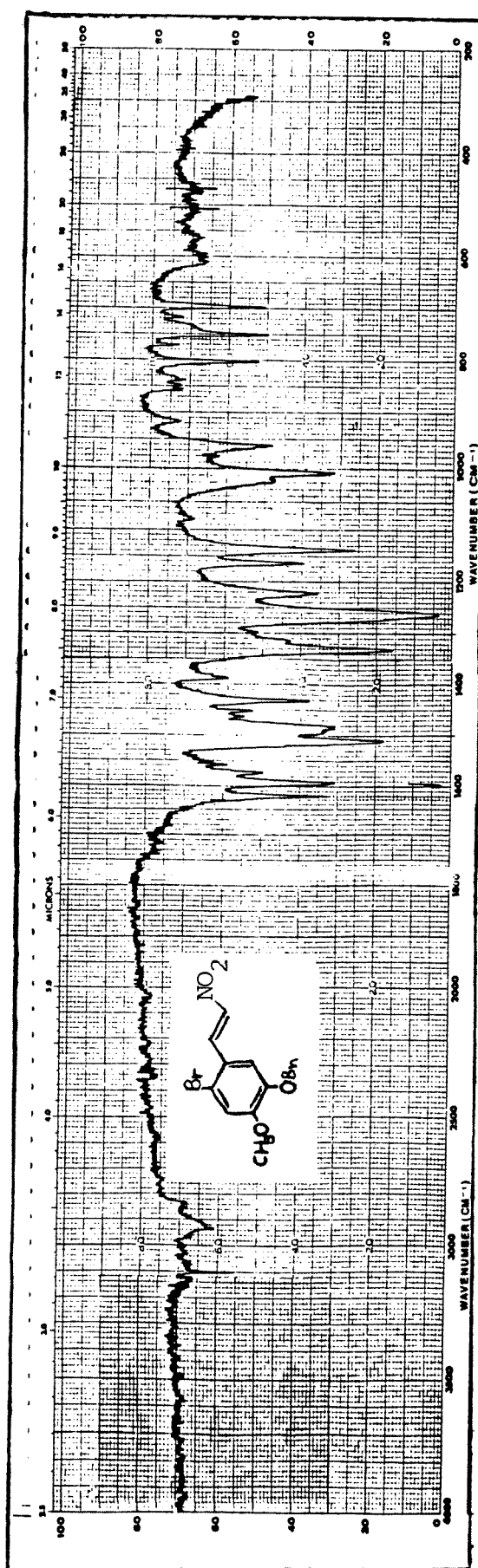
E-6 - RMN  $^1\text{H}$  ( $\text{CDCl}_3$ /TMS) da 6-bromoisovanilina 239



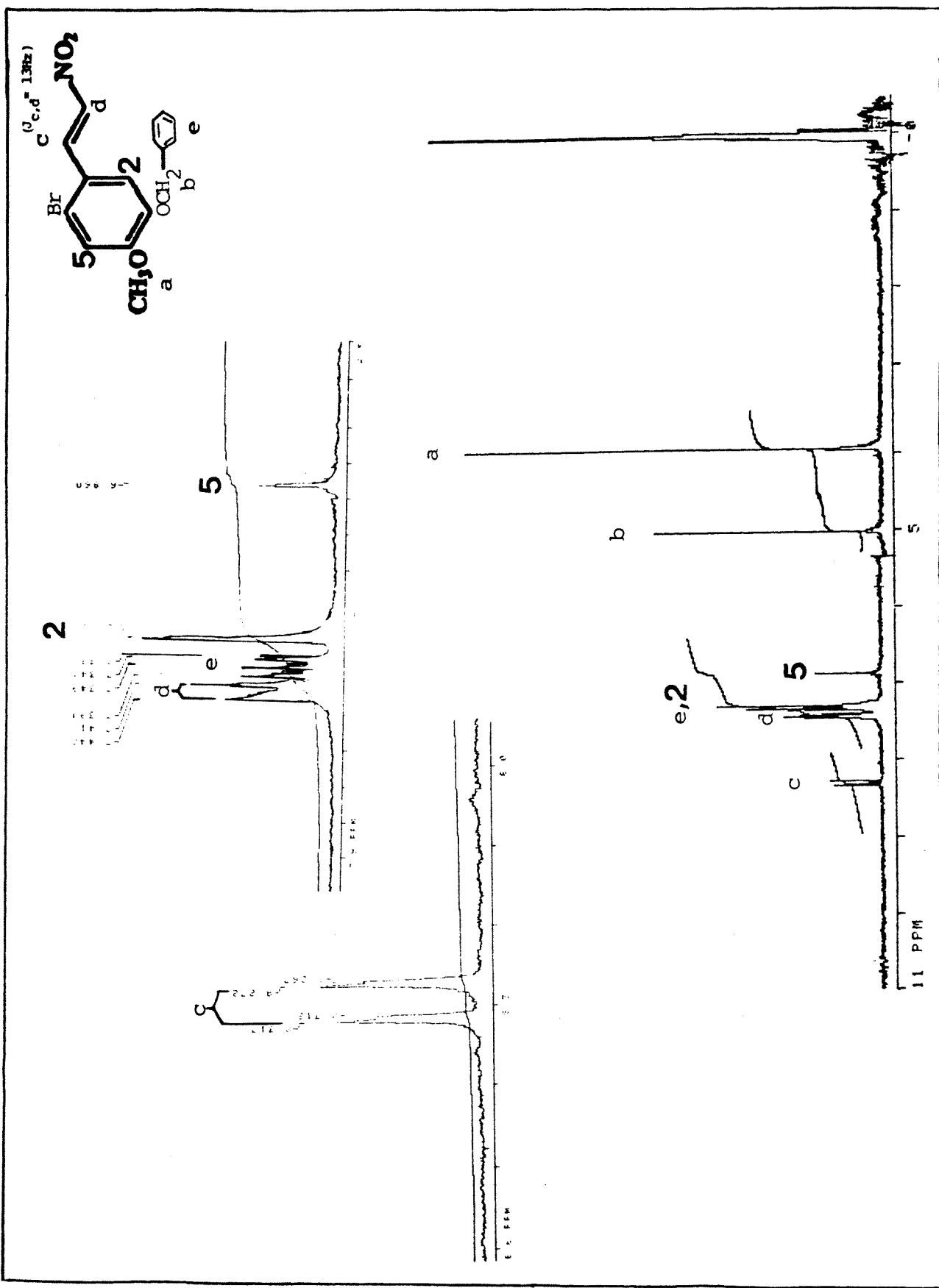
E-7 - IV(KBr) do 3-benziloxi-4-methoxy-6-bromobenzaldeído 240a



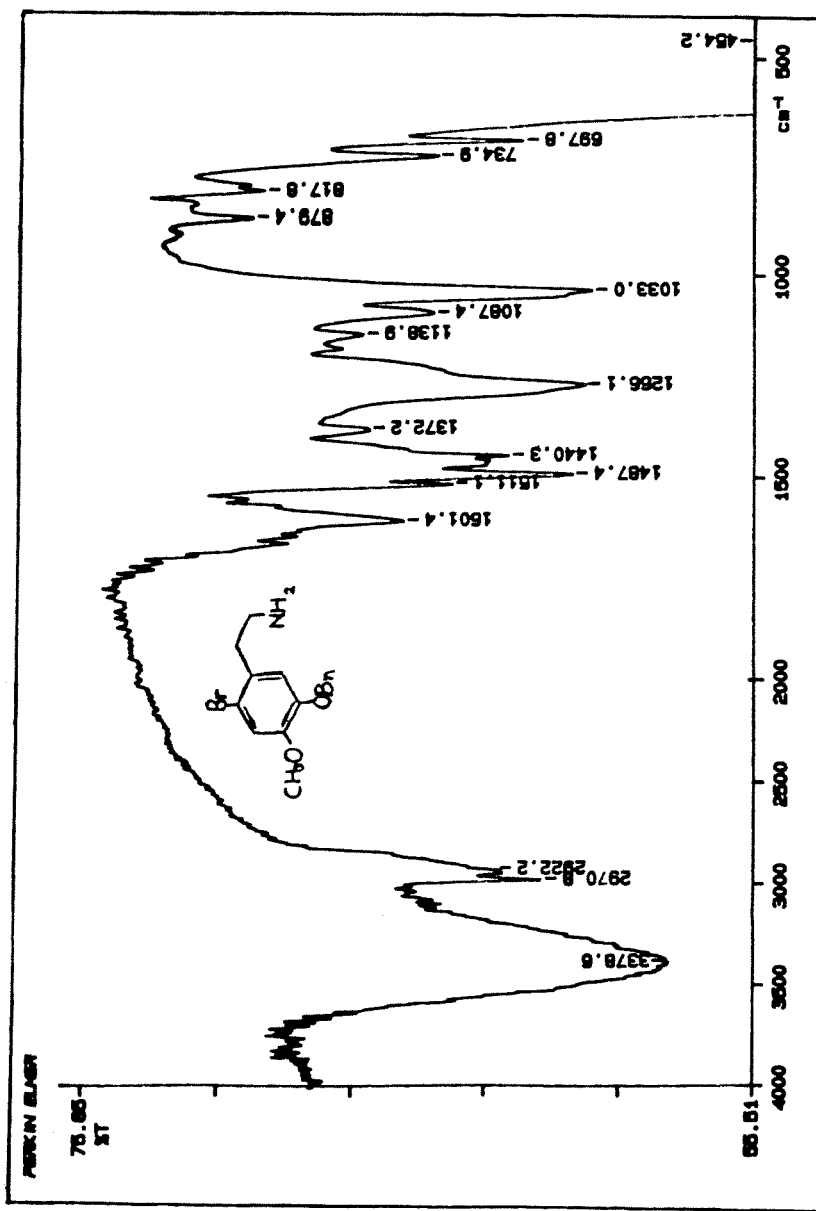
E-8 - RMN  $^1\text{H}$  ( $\text{CCl}_4/\text{TMS}$ ) do 3-benziloxi-4-metoxi-6-bromobenzaldeído 240a



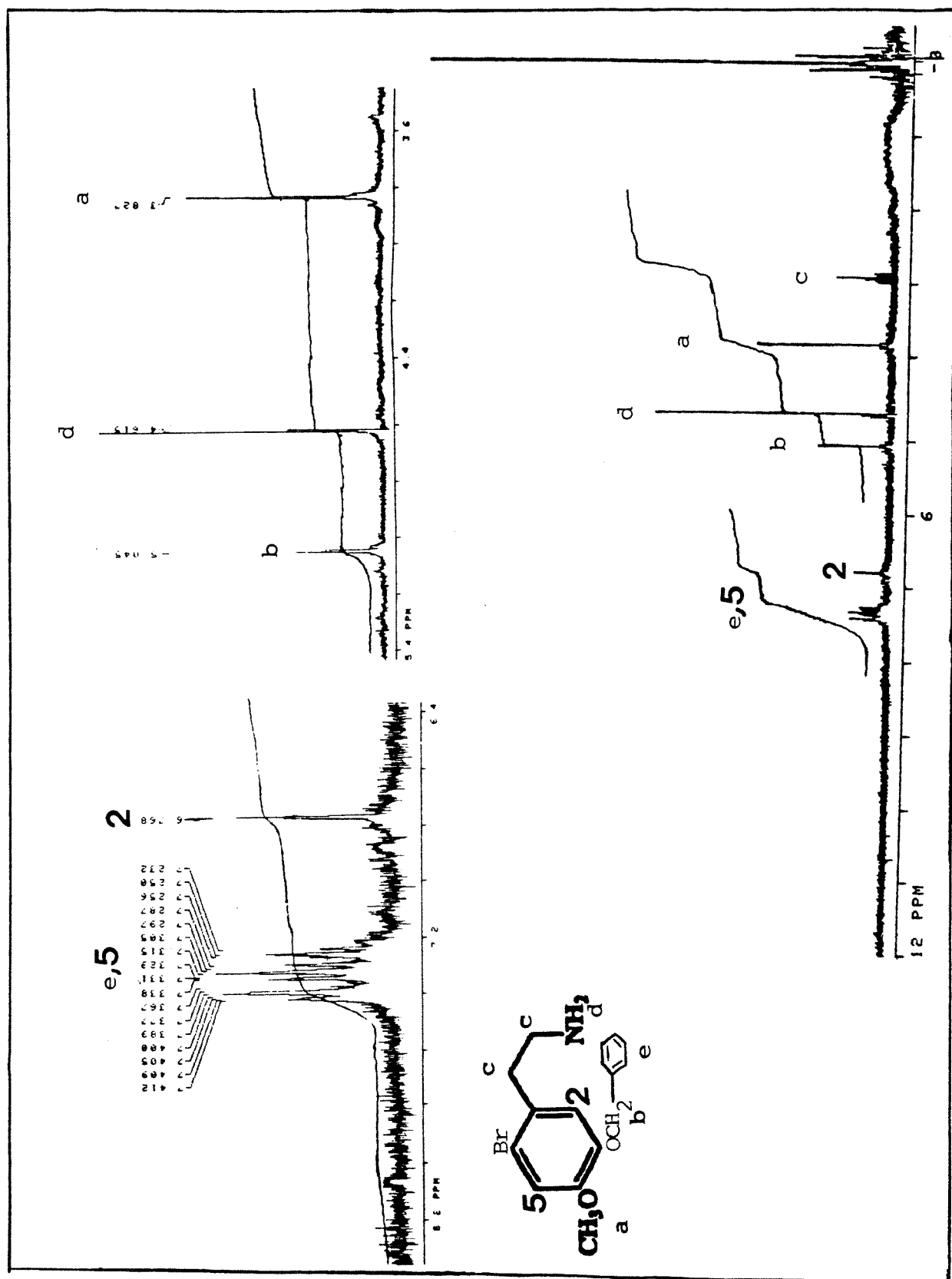
E-9 - IV(KBr) do nitroestireno 241a



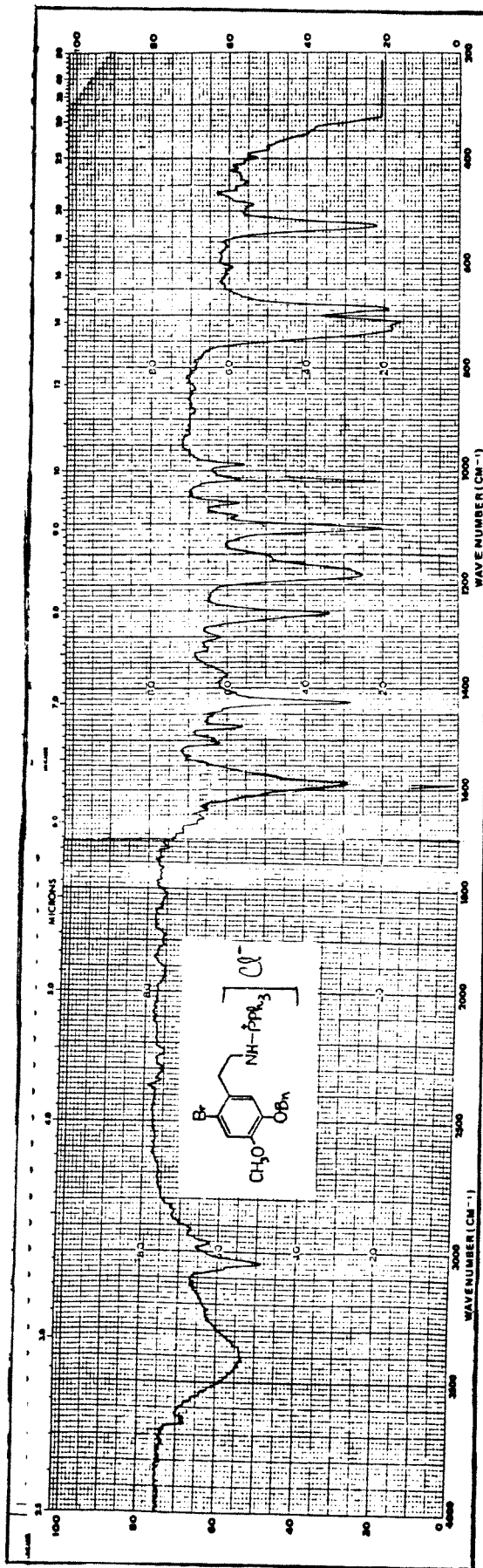
E-10 - RMN  $^1\text{H}$ ( $\text{CCl}_4/\text{TMS}$ ) do nitroestireno 241a



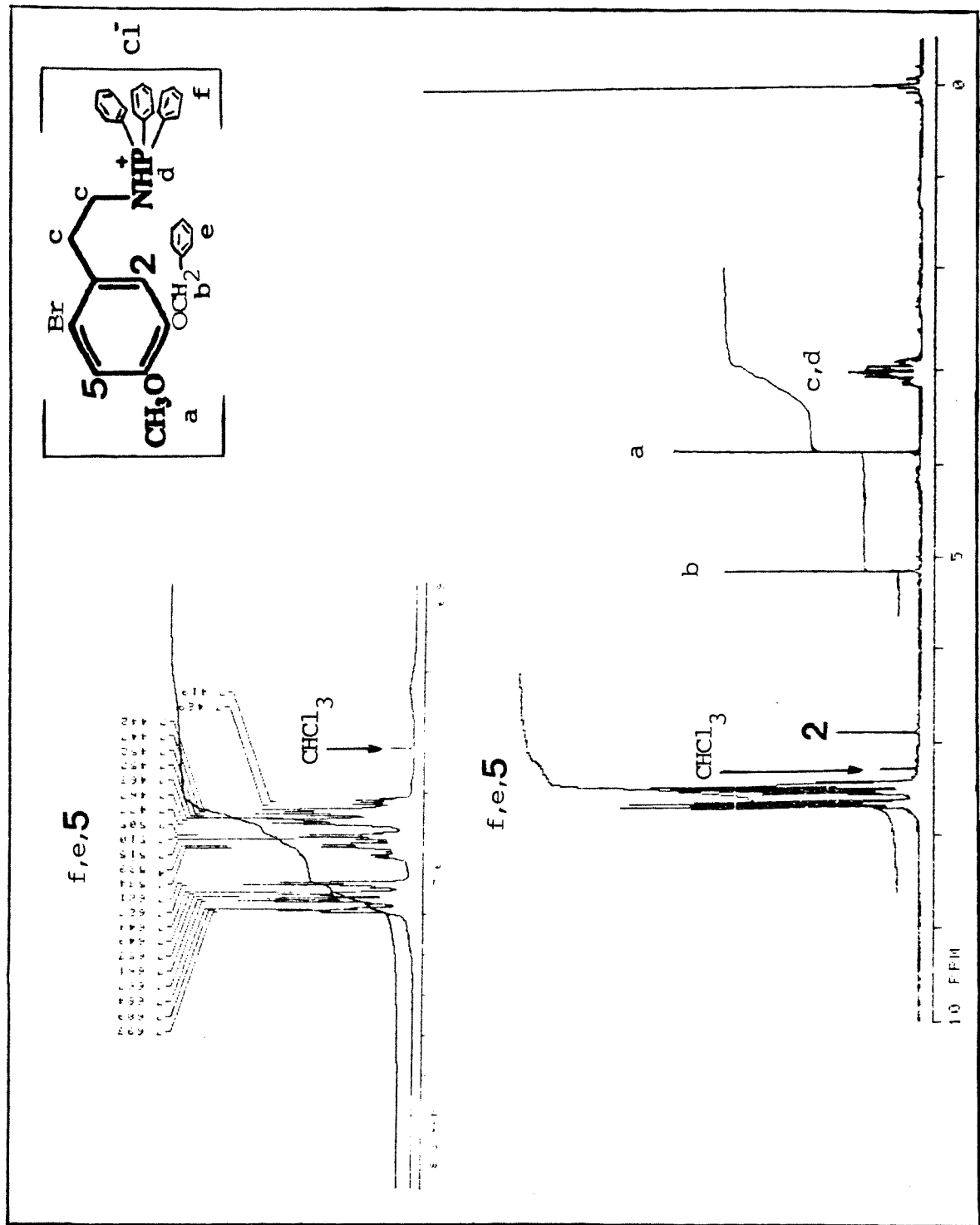
E-11 - IV(filme) da amina 242a



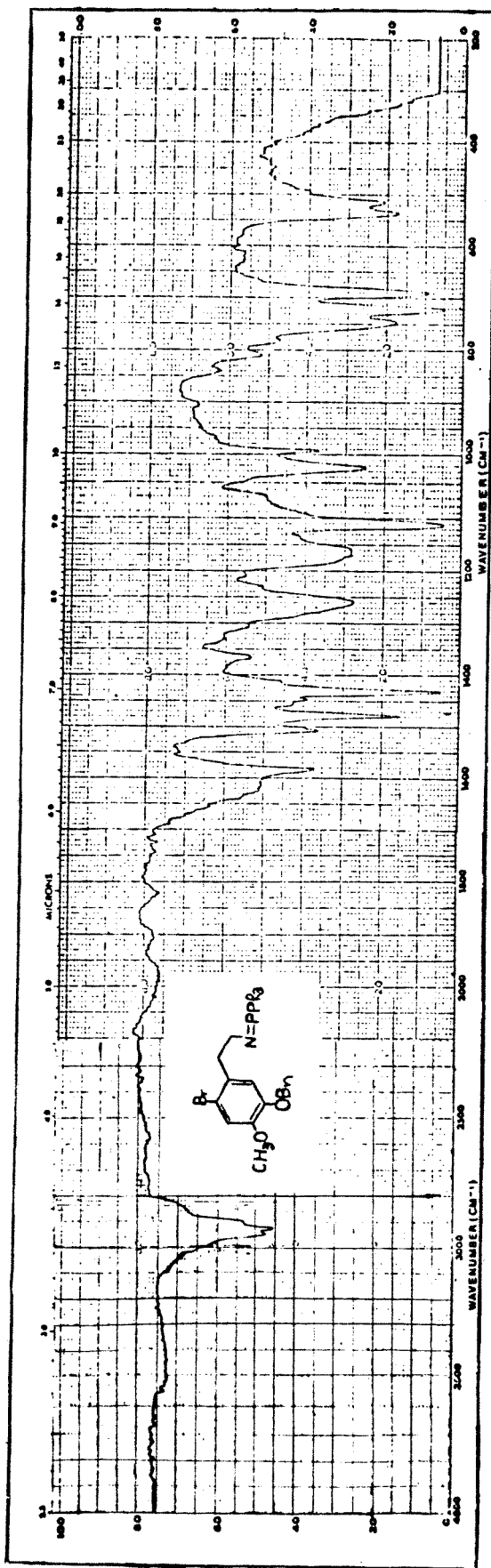
E-12 - RMN  $^1\text{H}$  ( $\text{CCl}_4/\text{TMS}$ ) da amina 242a



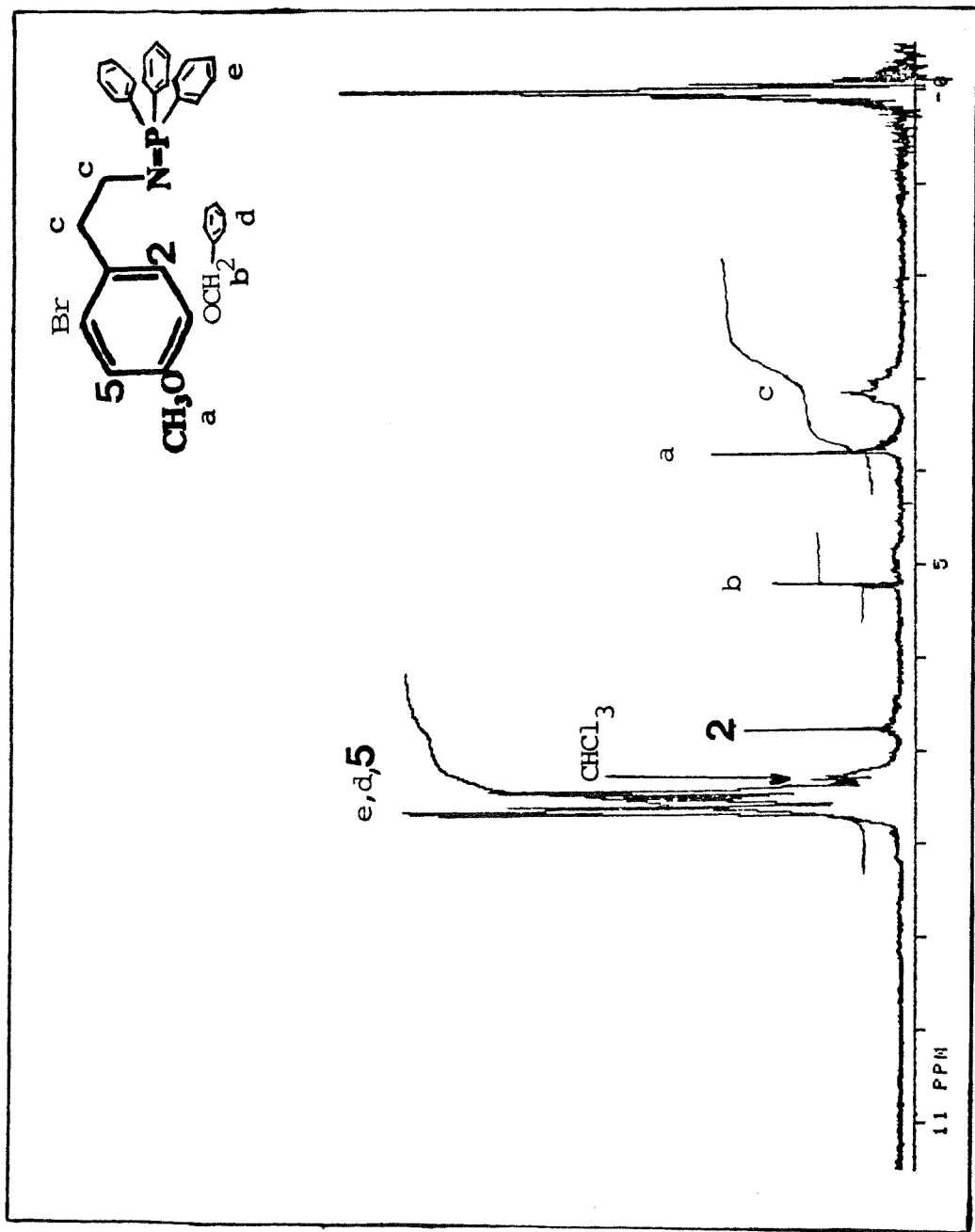
E-13 - IV(KBr) do sal de iminofosfônio 243a



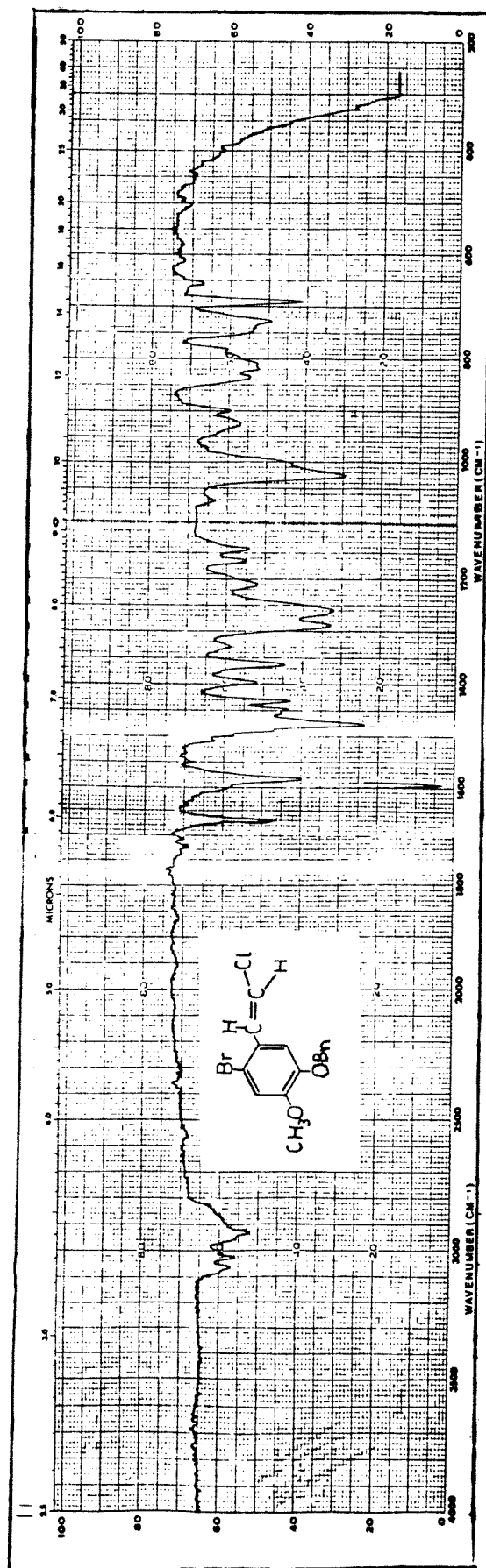
E-14 - RMN <sup>1</sup>H ( $\text{CDCl}_3/\text{TMS}$ ) do sal de iminofosfônio 243a



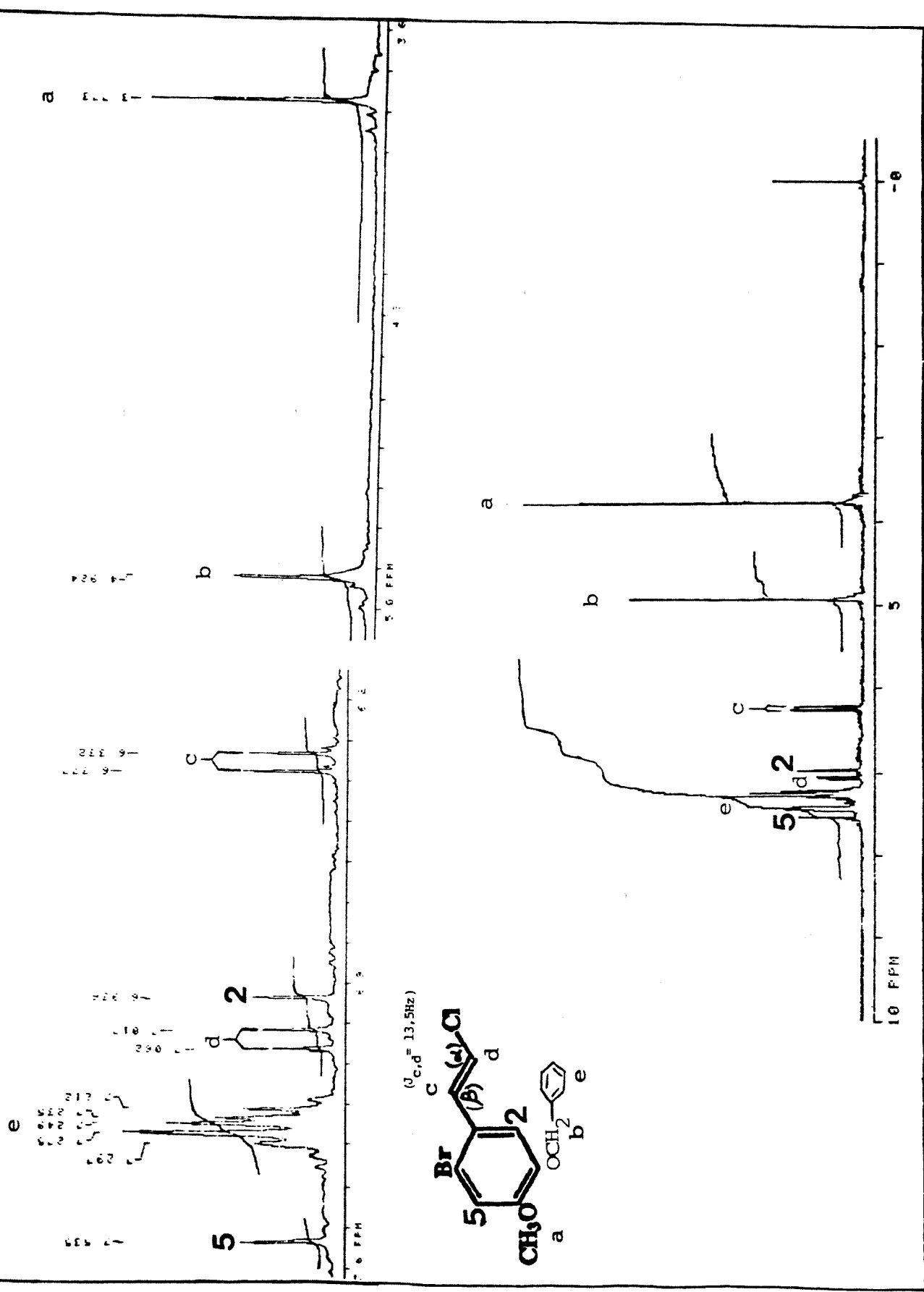
E-15 - IV(KBr) do iminofosforano 244a



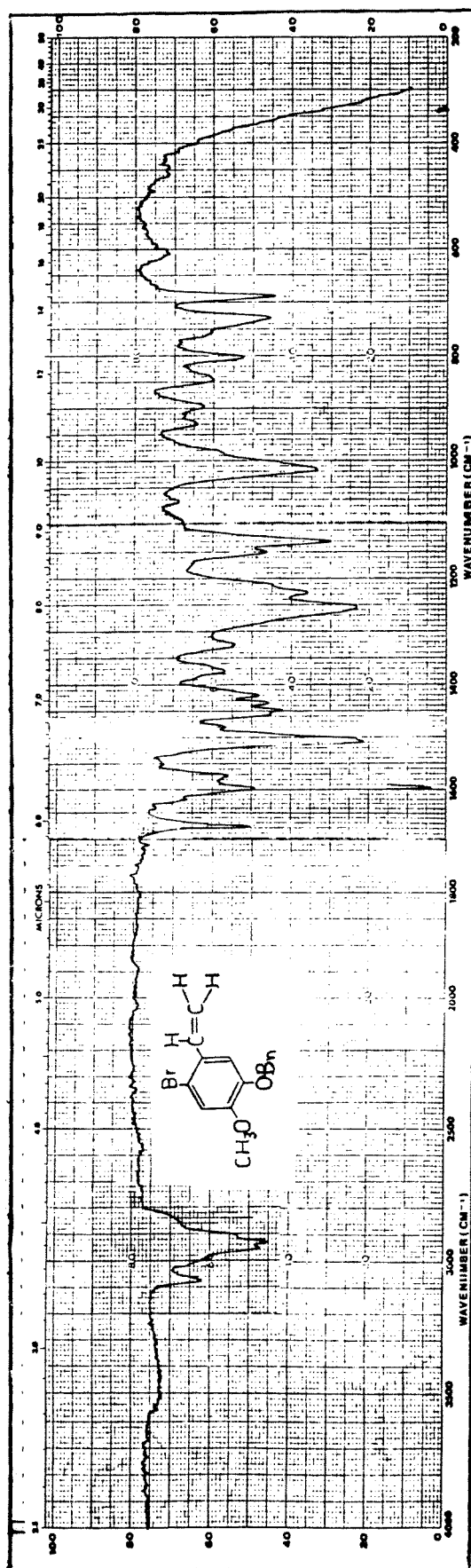
E-16 - RMN $^1\text{H}$ (CDCl<sub>3</sub>/TMS) do iminofosforano 244a



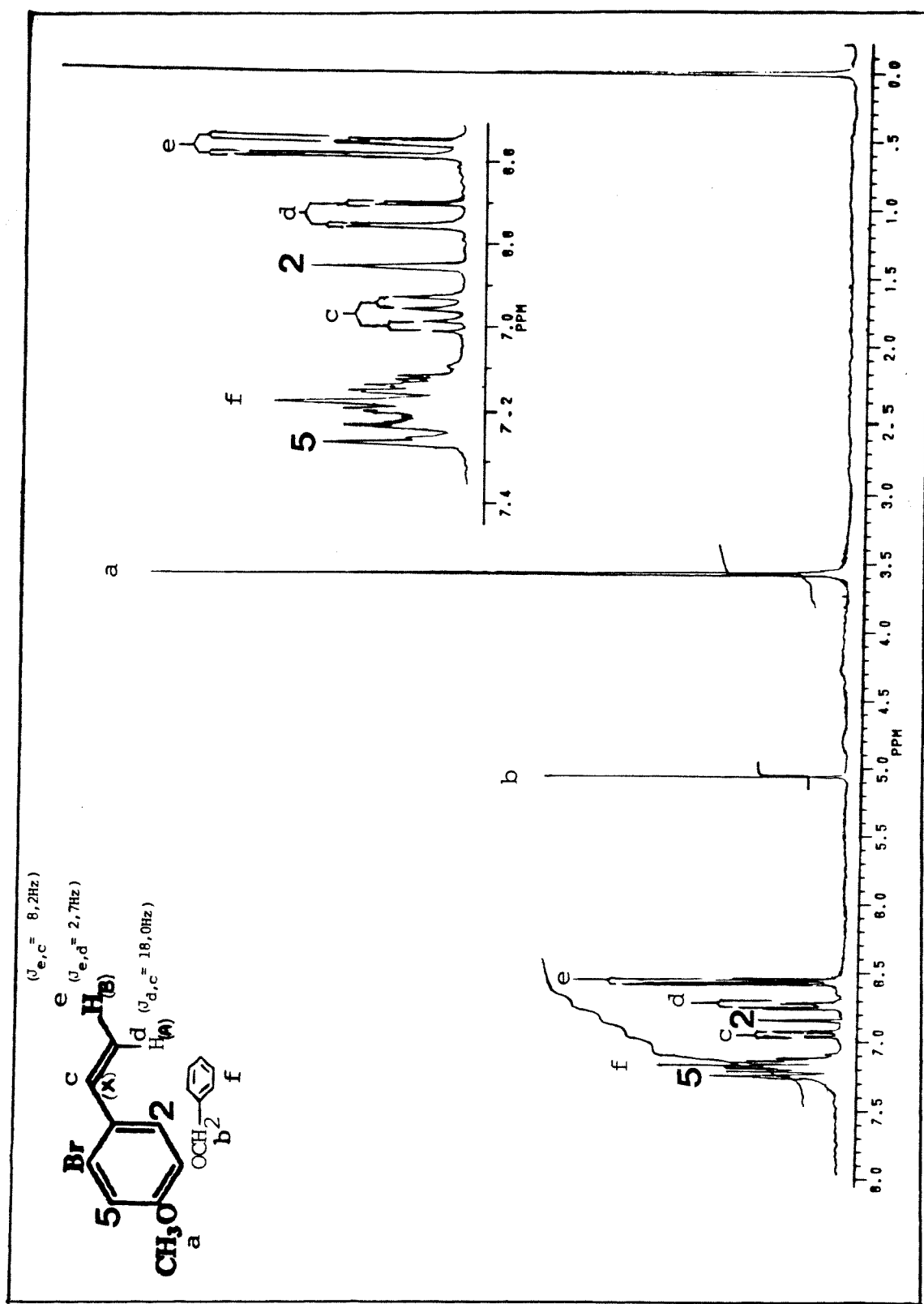
E-17 - IV(filme) do cloroestireno 252



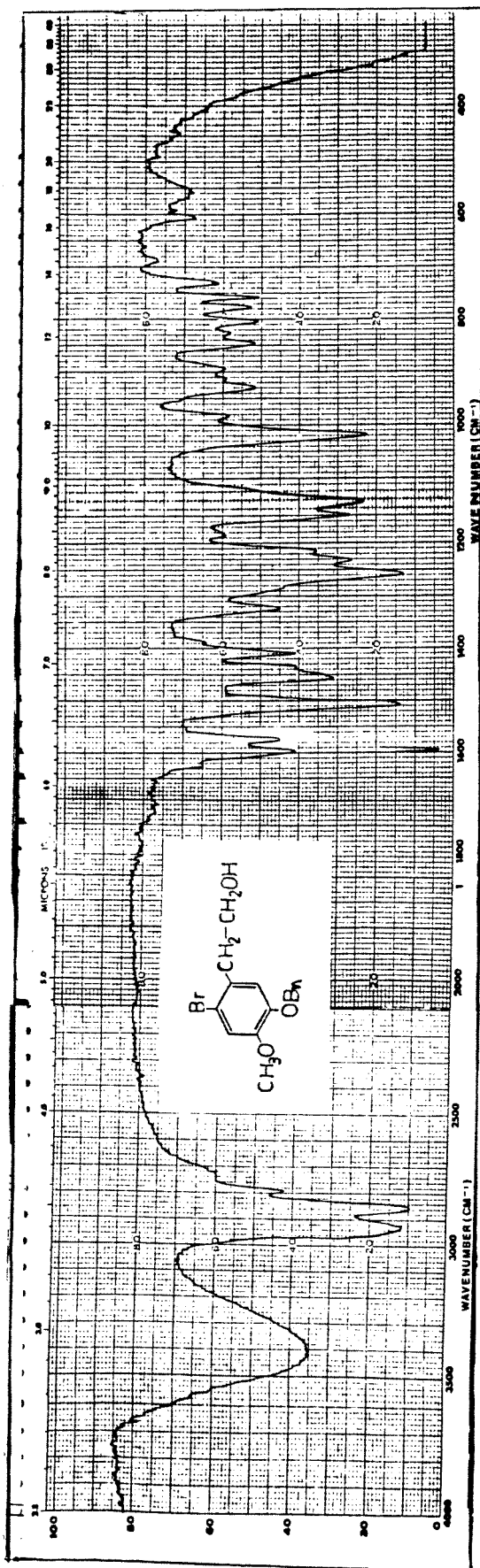
E-18 - RMN<sub>H</sub>(CCl<sub>4</sub>/TMS) do cloroestireno 252

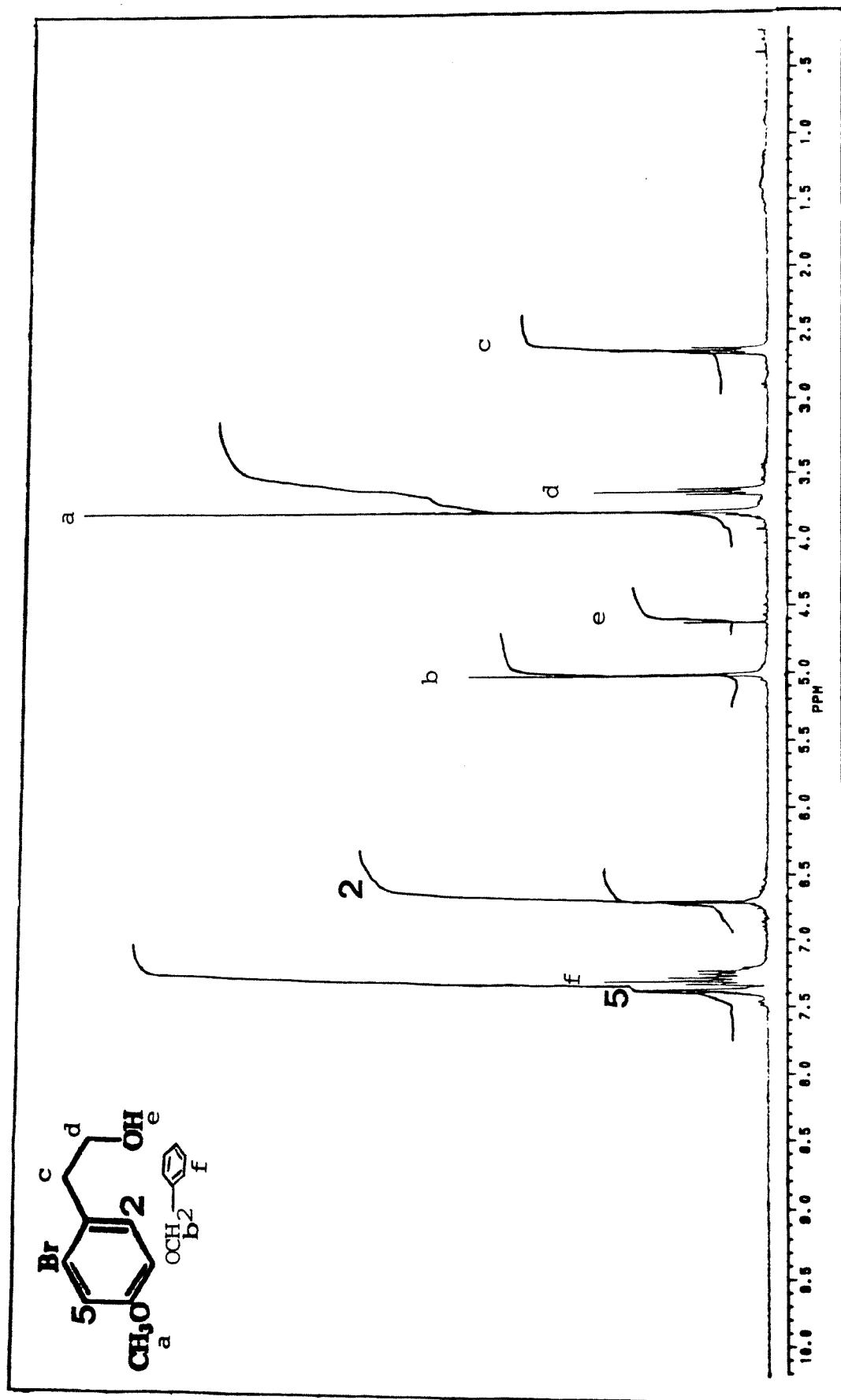


E-19 - IV(KBr) do estireno 253

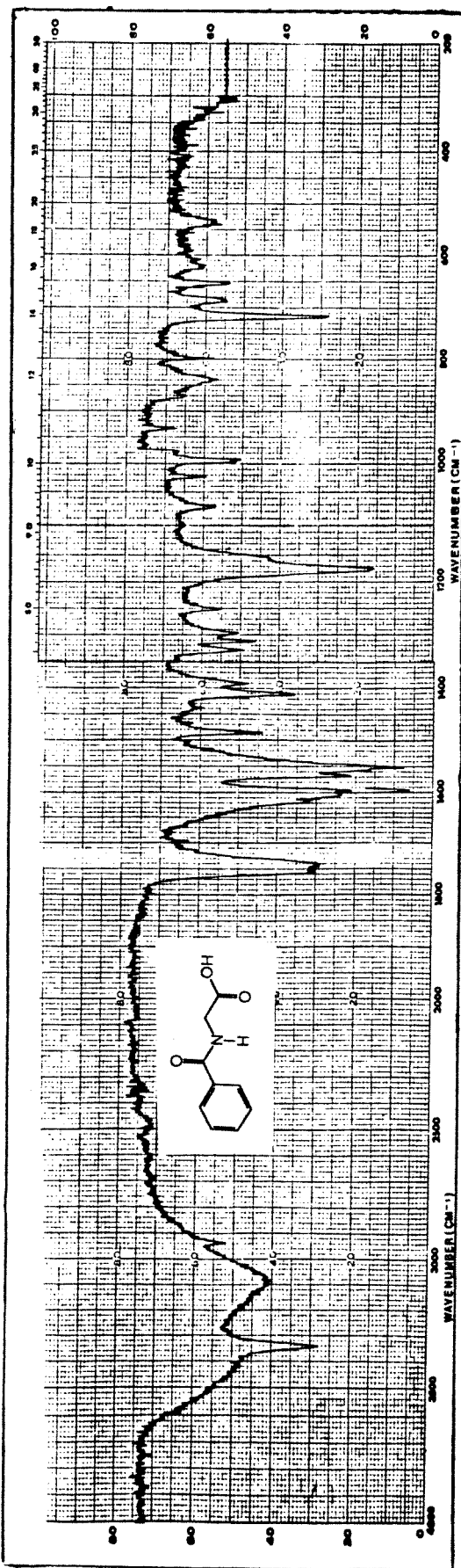


E-20 - RMN  $^1\text{H}$  ( $\text{CCl}_4/\text{TMS}$ ) do estireno 253

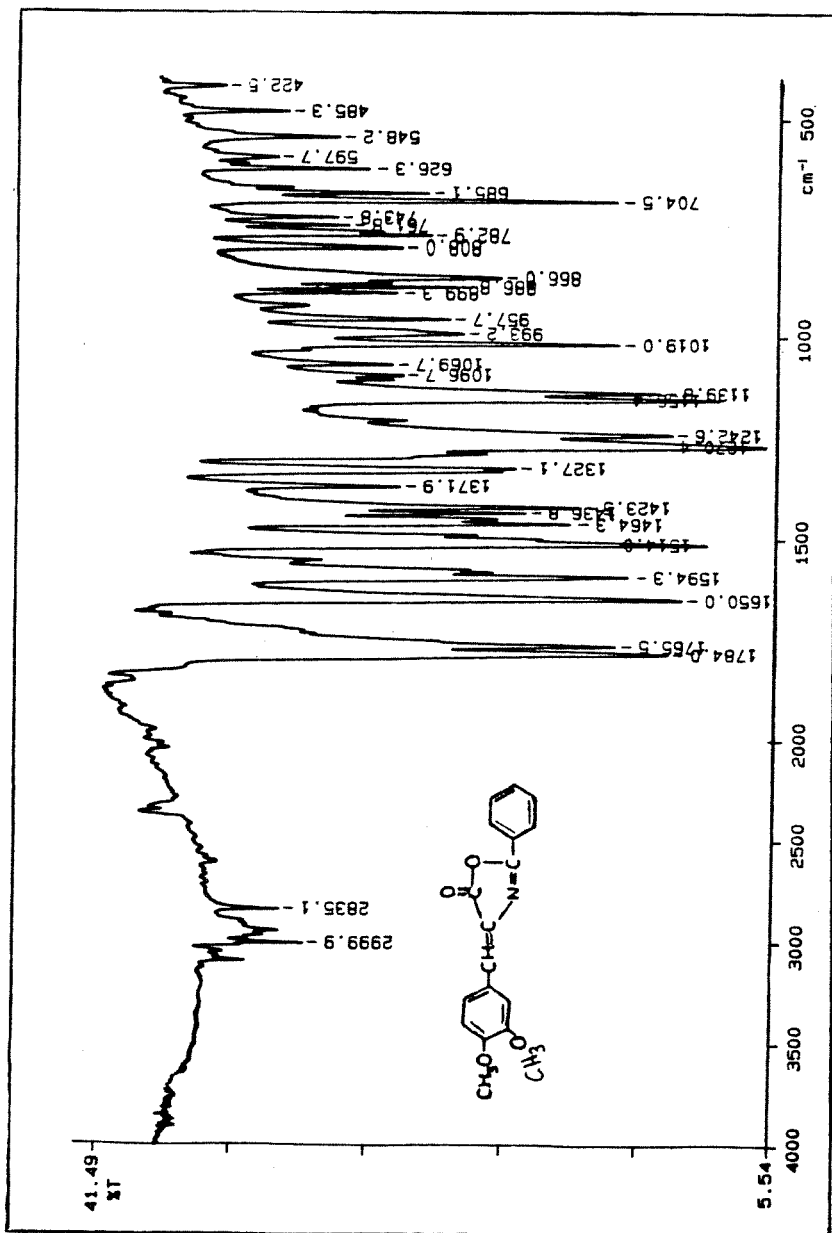
E-21 - IV(KBr) do álcool 257



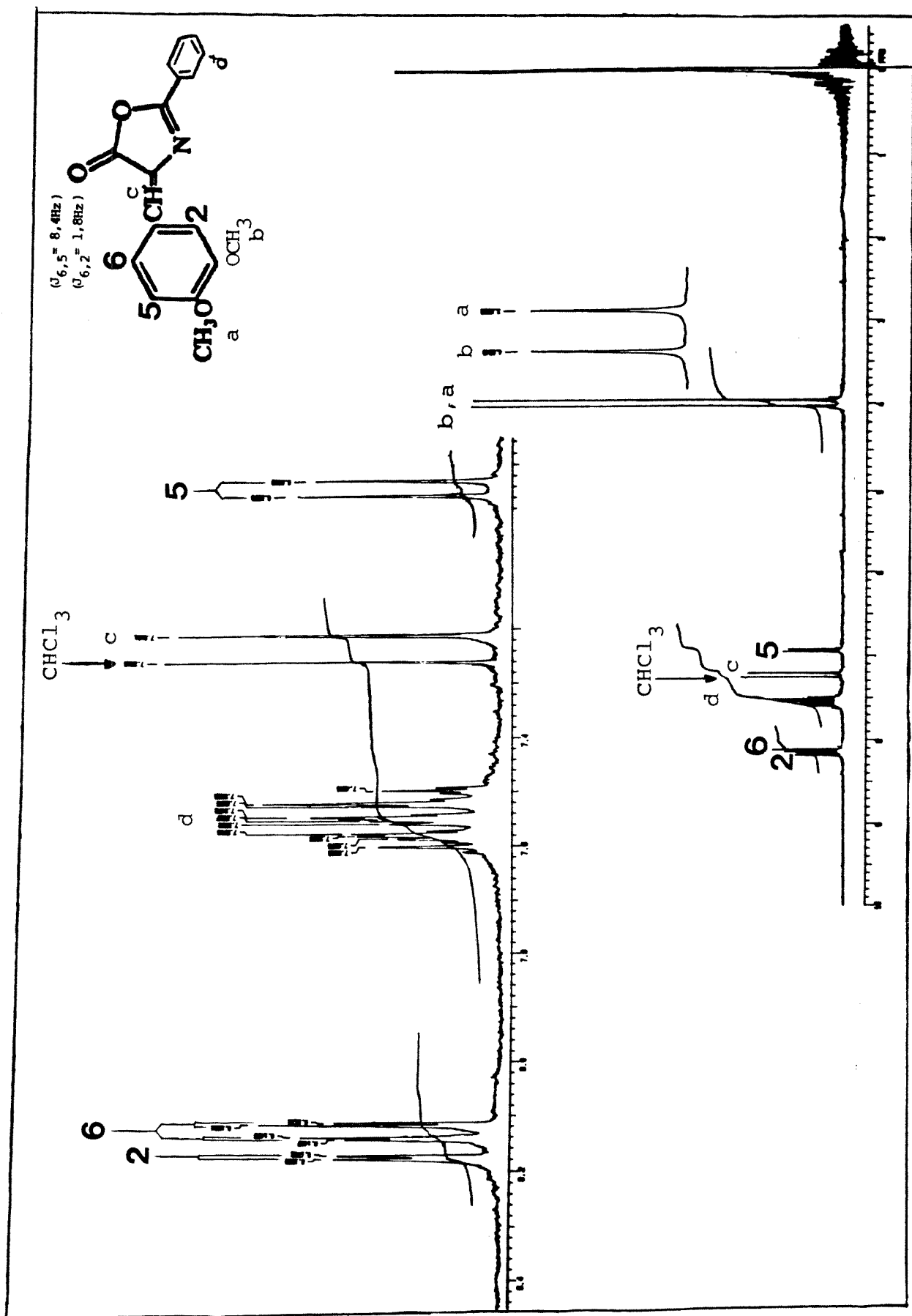
E-22 - RMN $^1\text{H}$  ( $\text{CCl}_4/\text{TMS}$ ) do álcool 257



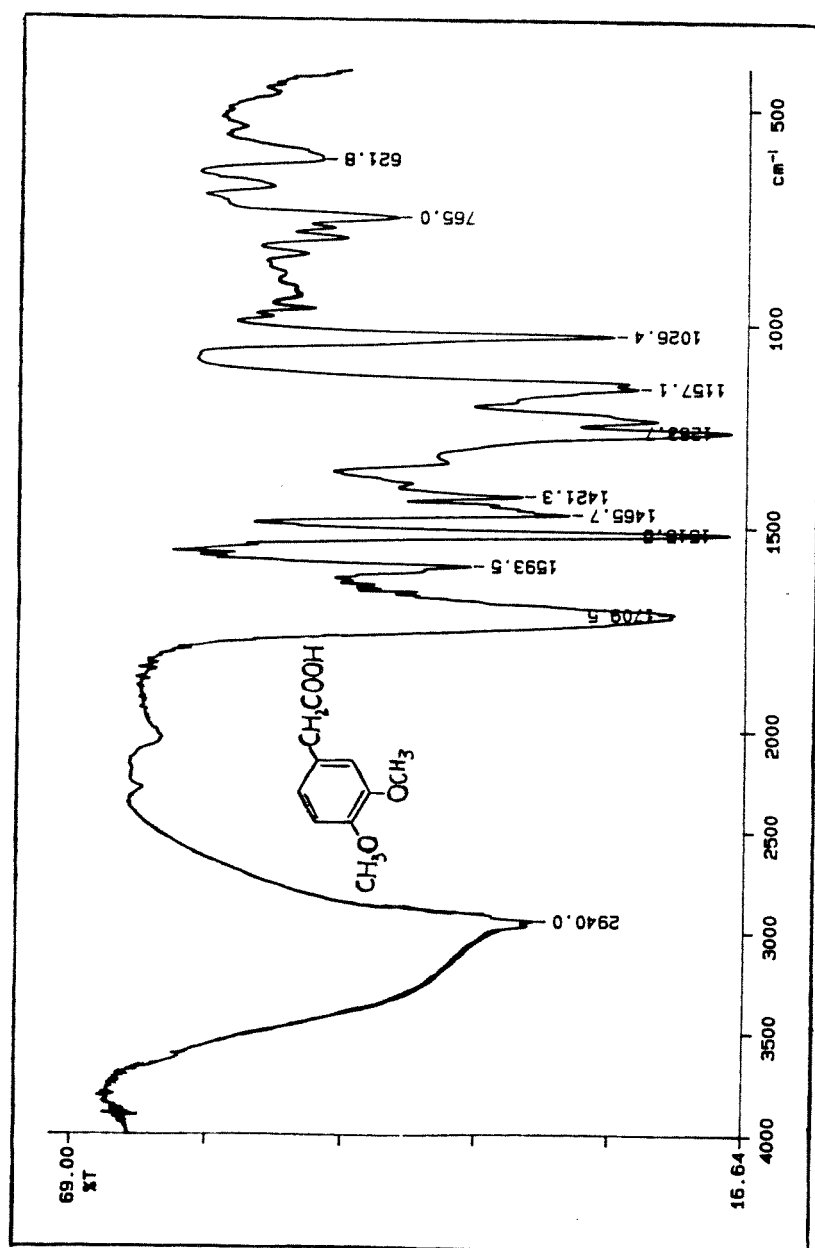
E-23 - IV(KBr) do ácido hipúrico 268



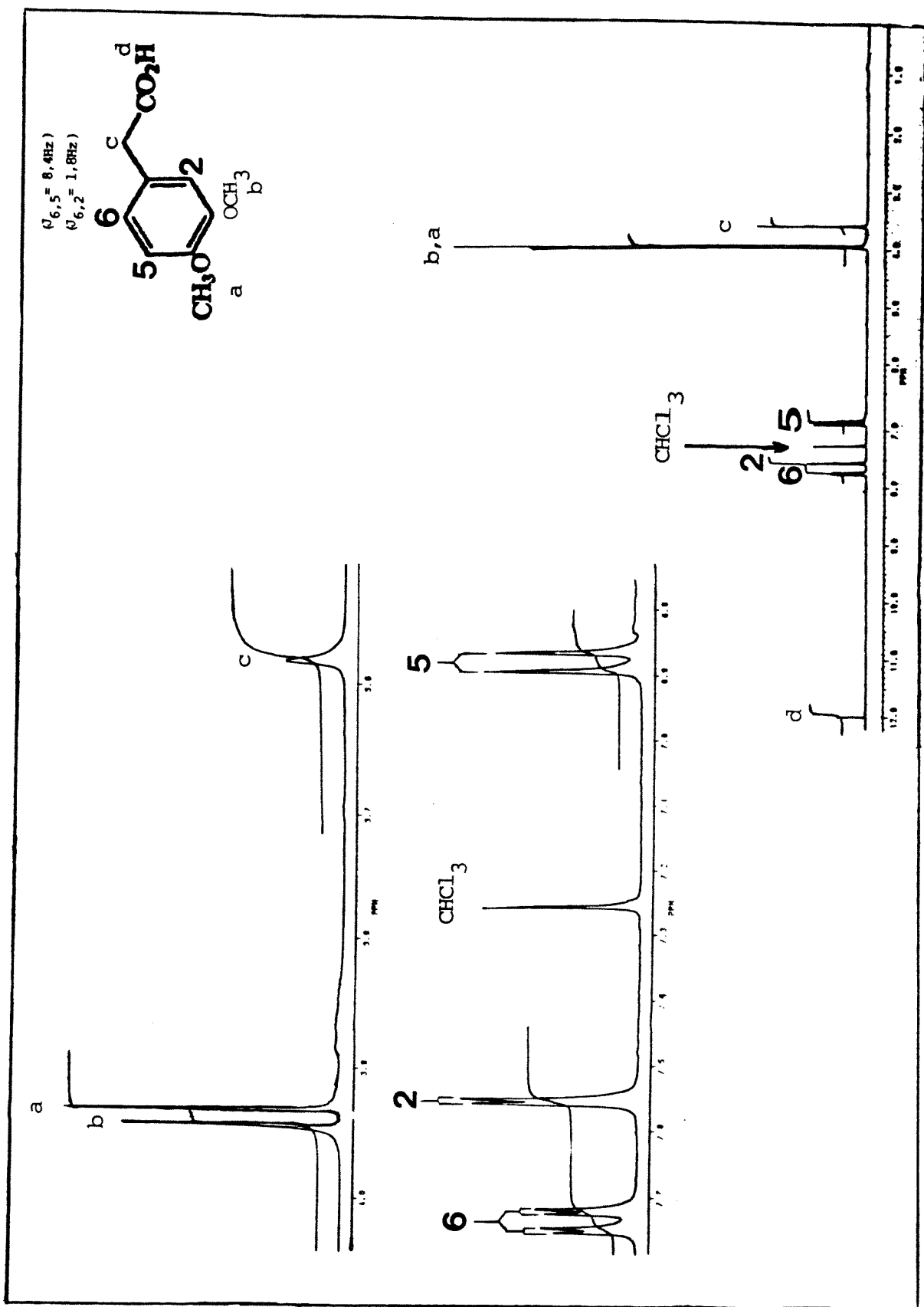
E-24 - IV(KBr) da oxazolona 269a



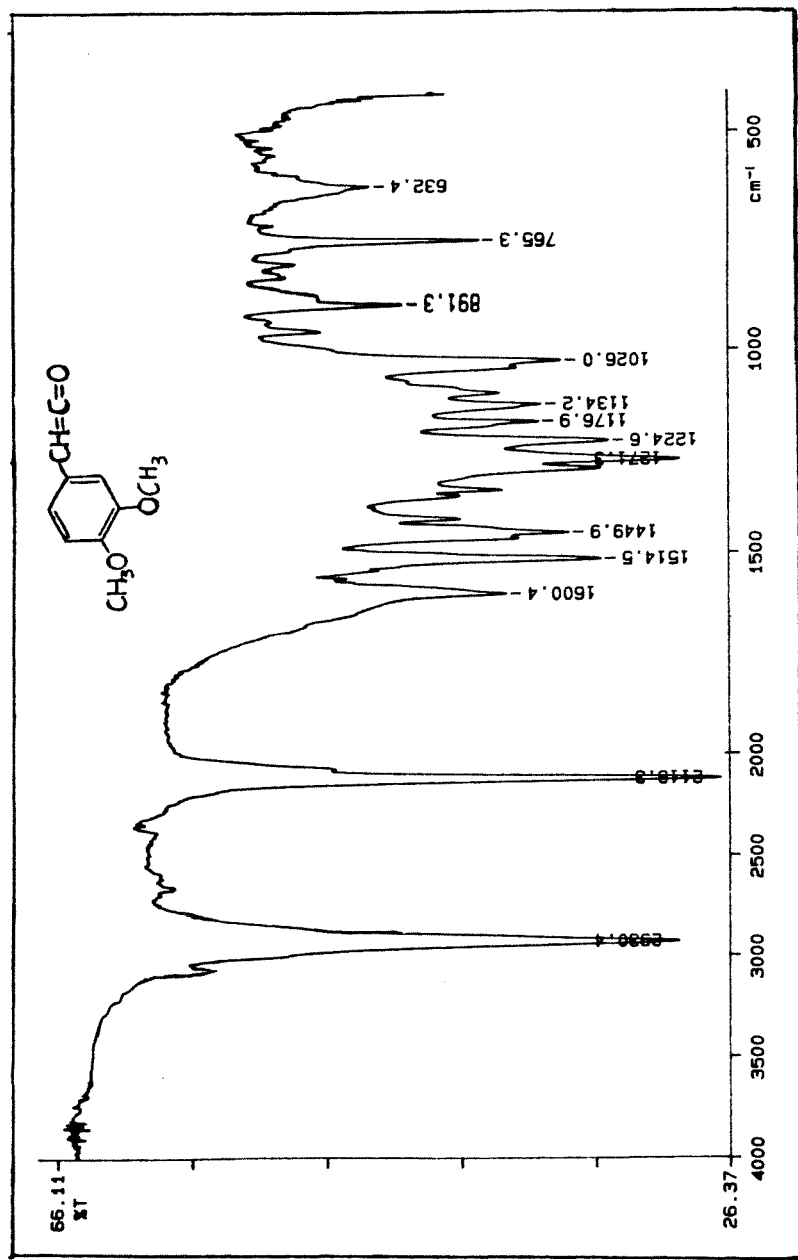
E-25 - RMN  $^1\text{H}$  ( $\text{CDCl}_3/\text{TMS}$ ) da oxazolona 269a



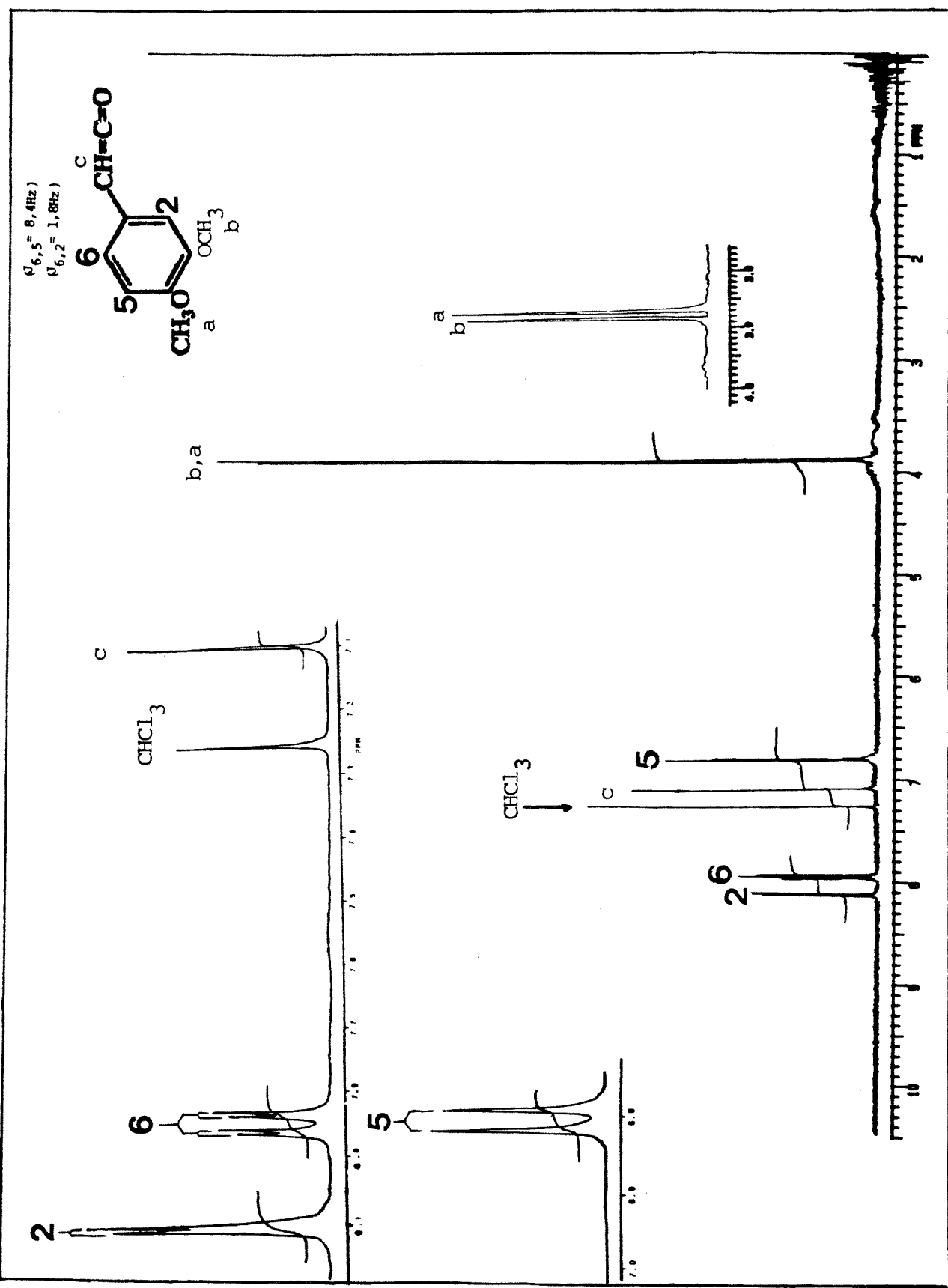
E-26 - IV(KBr) do ácido homoverátrico 270a



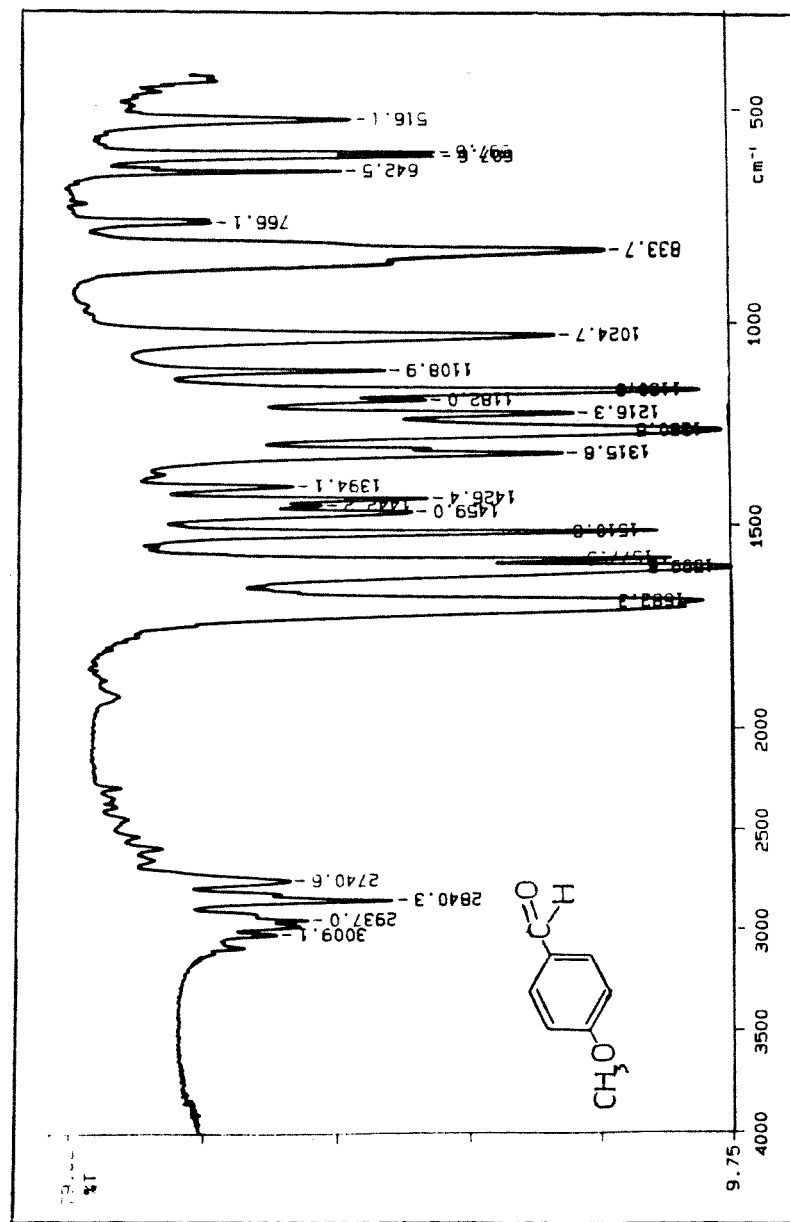
E-27 - RMN  $^1\text{H}$ (CDCl<sub>3</sub>/TMS) do ácido homoverátrico 27Oa



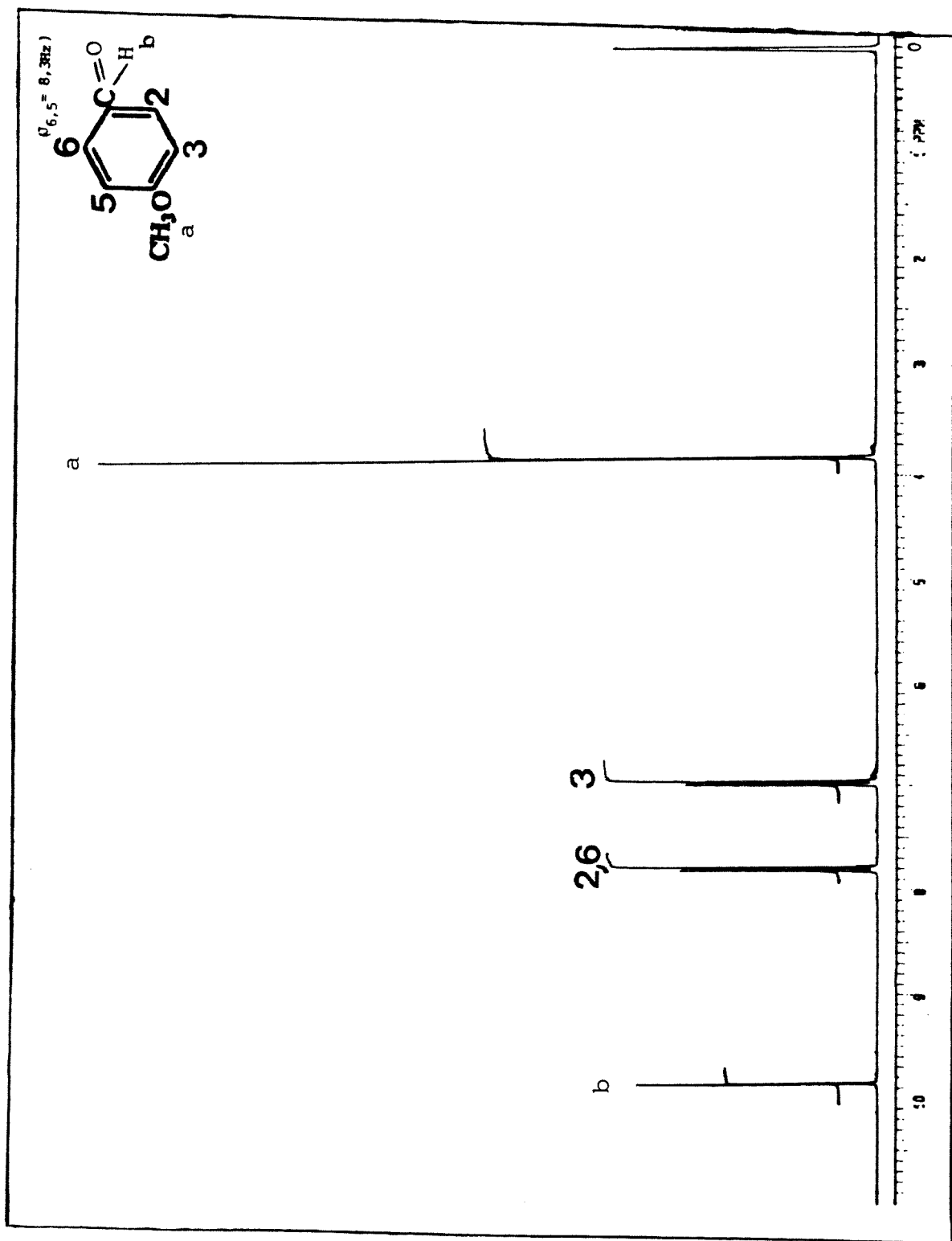
E-28 - IV(KBr) do ceteno 267a



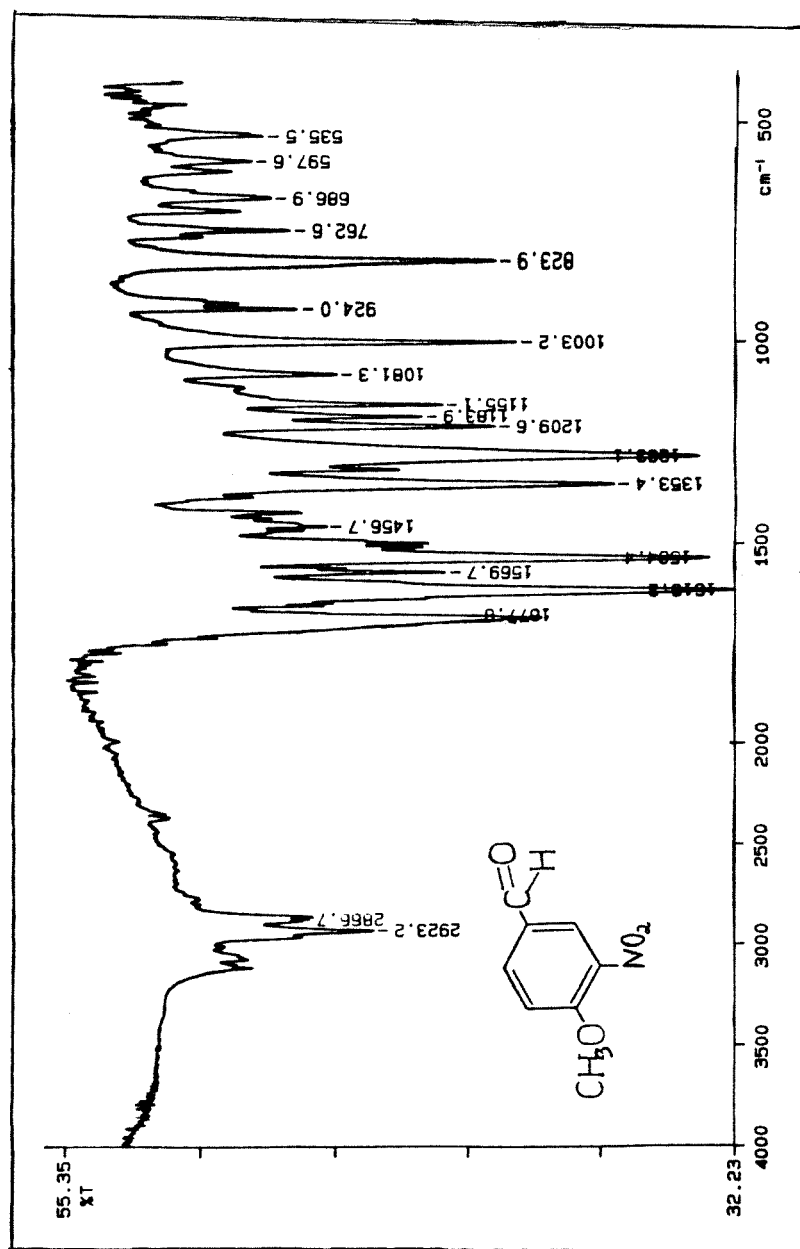
E-29 - RMN<sub>1</sub><sup>1</sup>H(CDCl<sub>3</sub>/TMS) do ceteno 267a



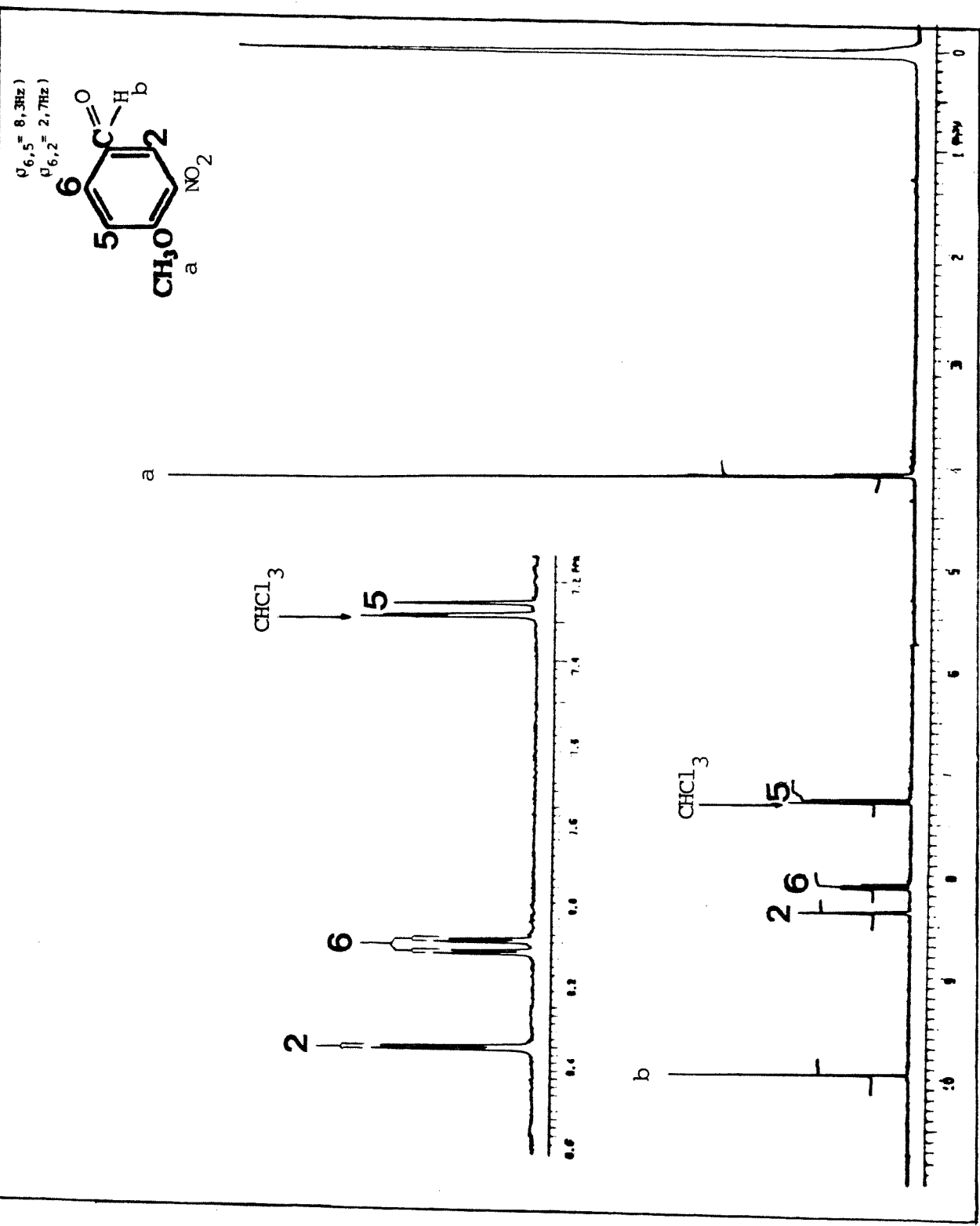
E-30 - IV(filme) do para-metoxibenzaldeído 272



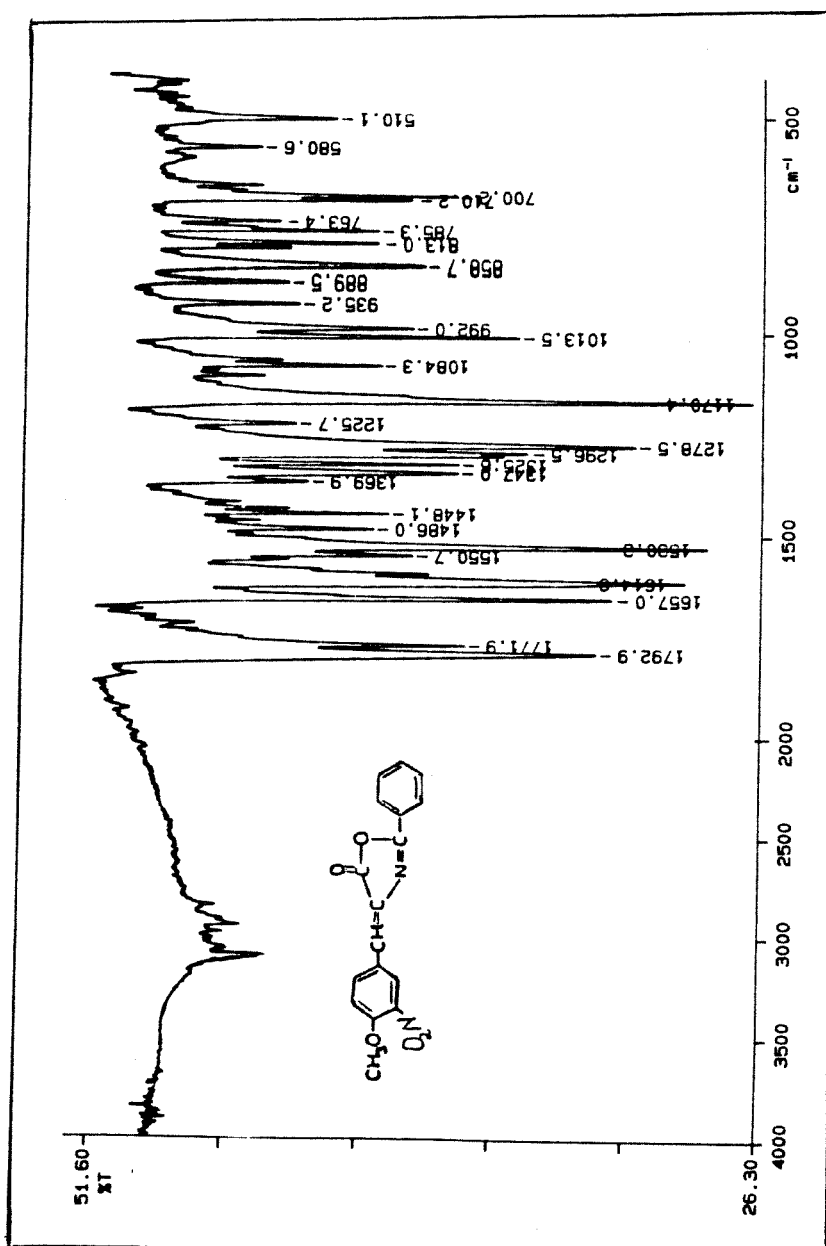
E-31 - RMN<sup>1</sup>H (CCl<sub>4</sub>/TMS) do para-metoxibenzaldeído 272



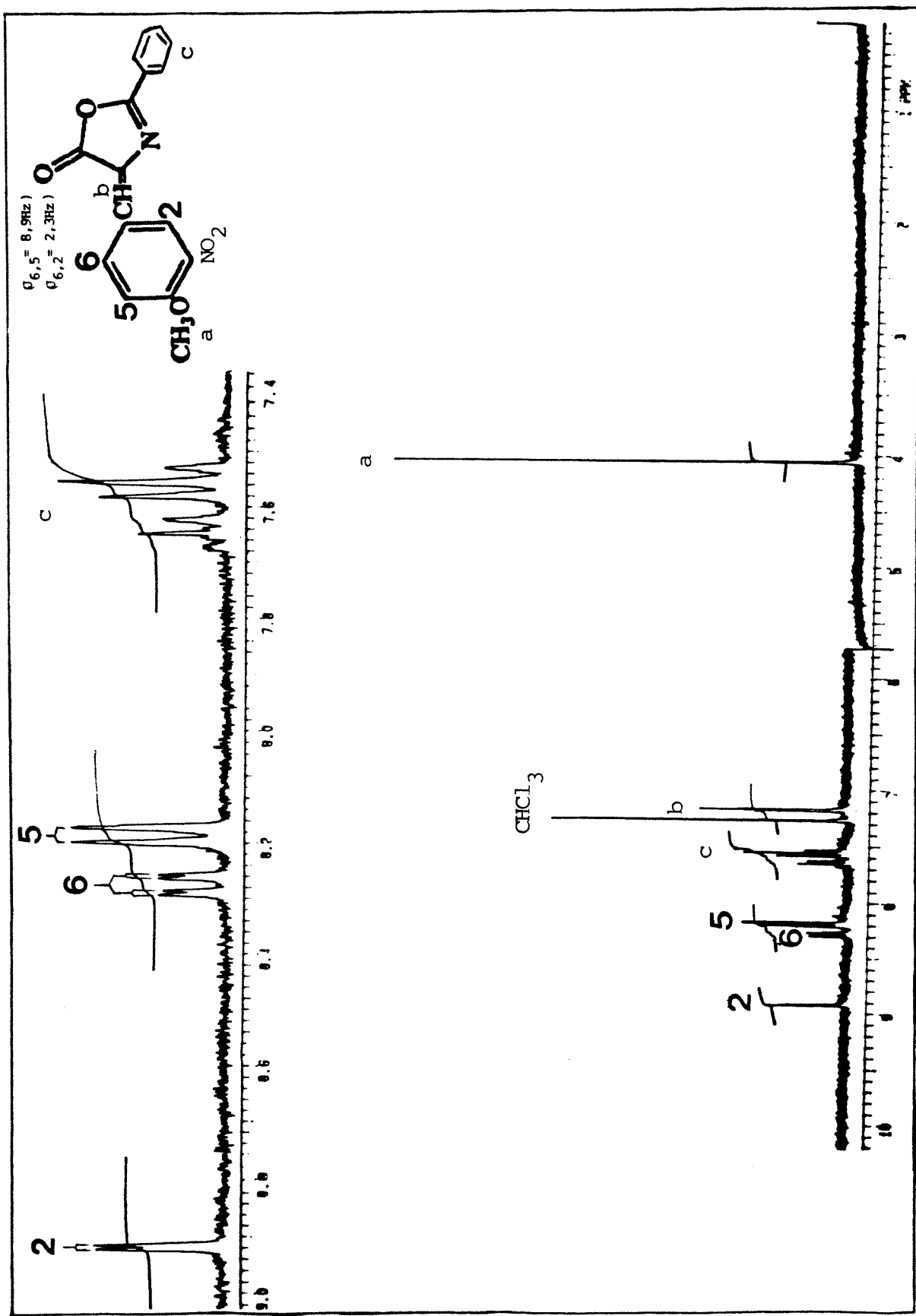
E-32 - IV(KBr) do 3-nitro-4-methoxybenzaldeído 273

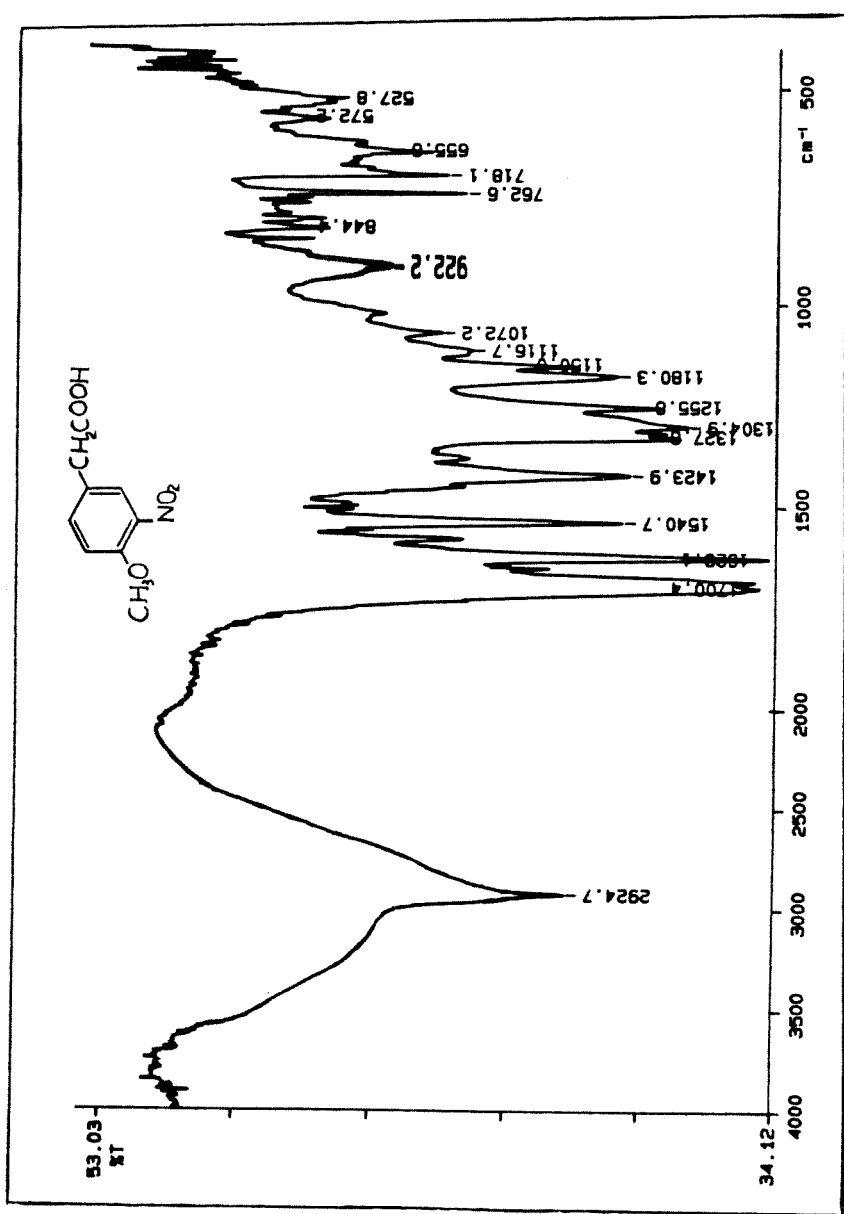


E-33 - RMN  $^1\text{H}$  ( $\text{CDCl}_3/\text{TMS}$ ) do 3-nitro-4-metoxibenzaldeído 273

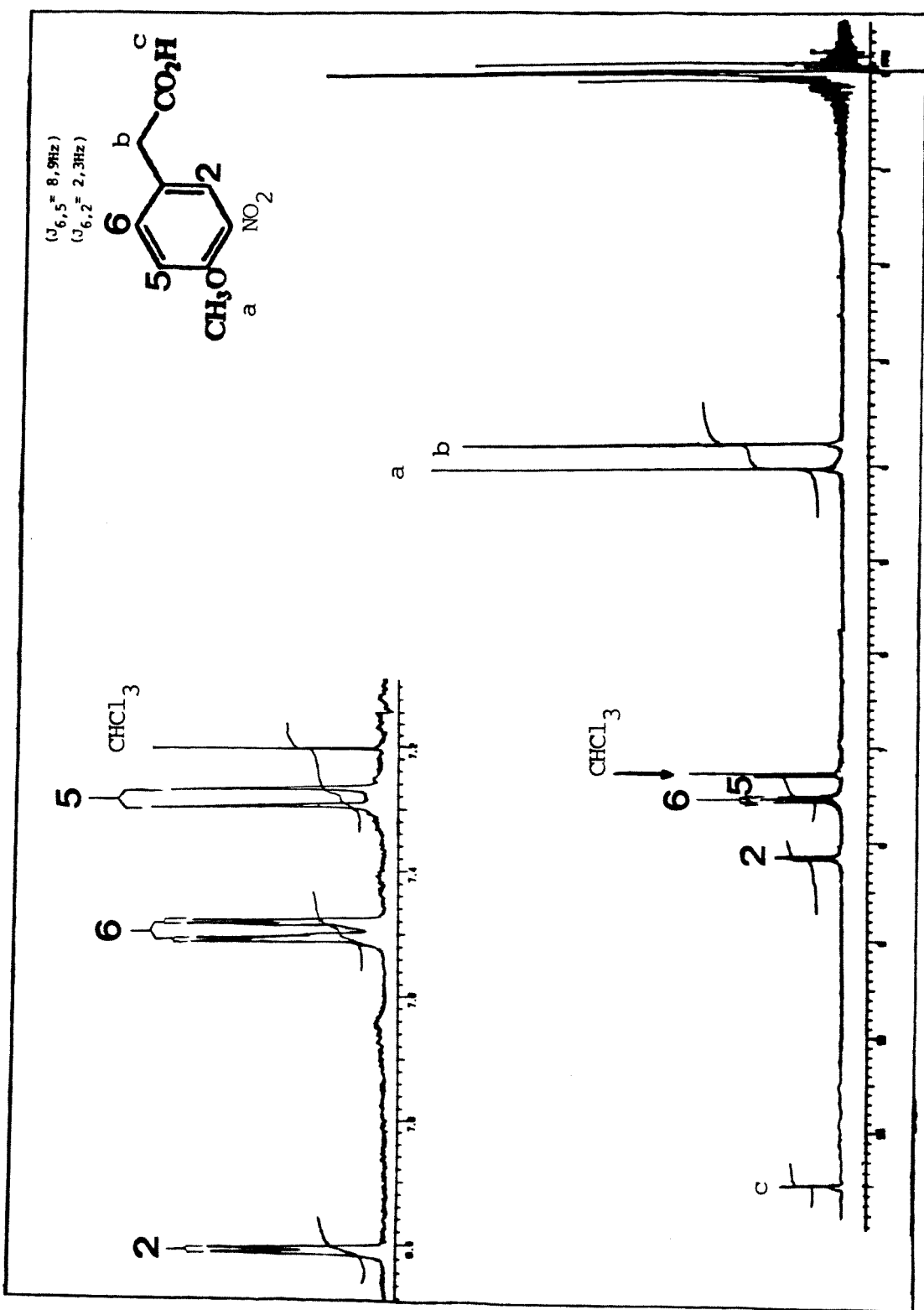


E-34 - IV(KBr) da oxazolona 269b

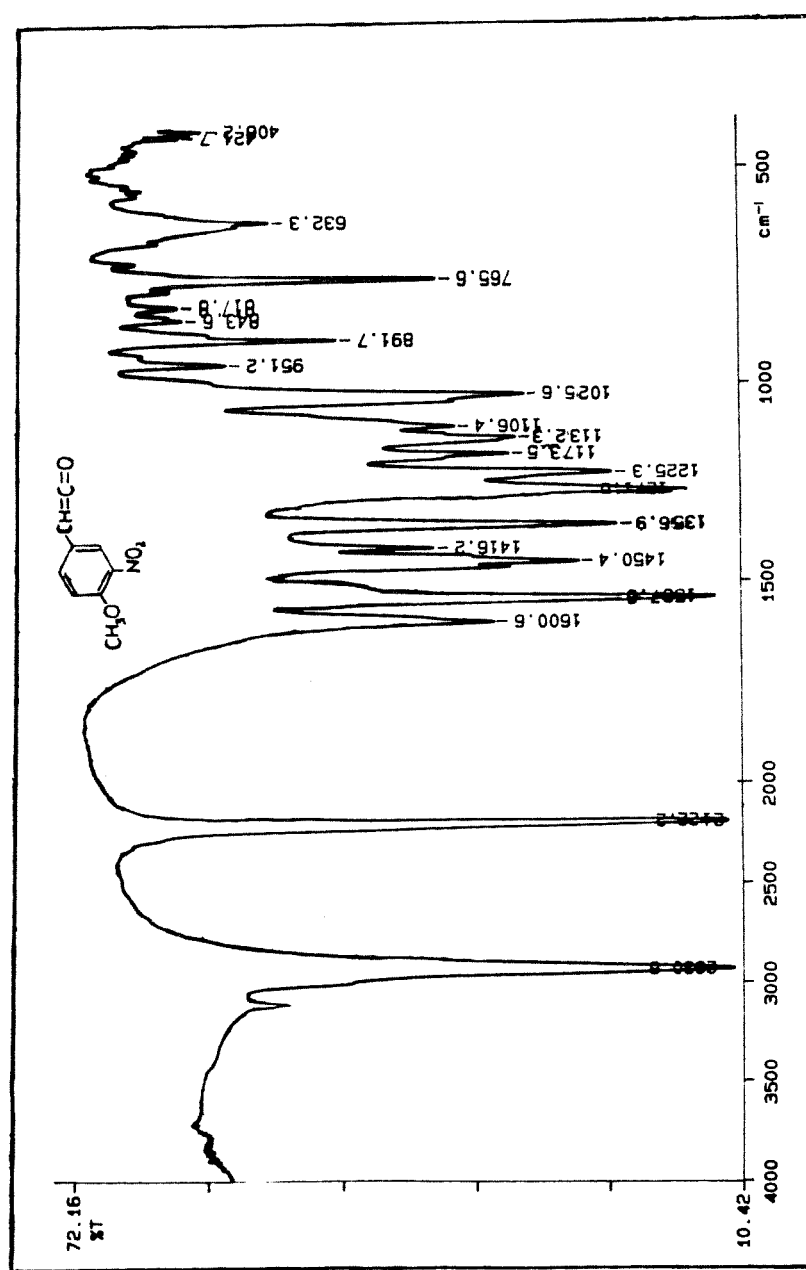




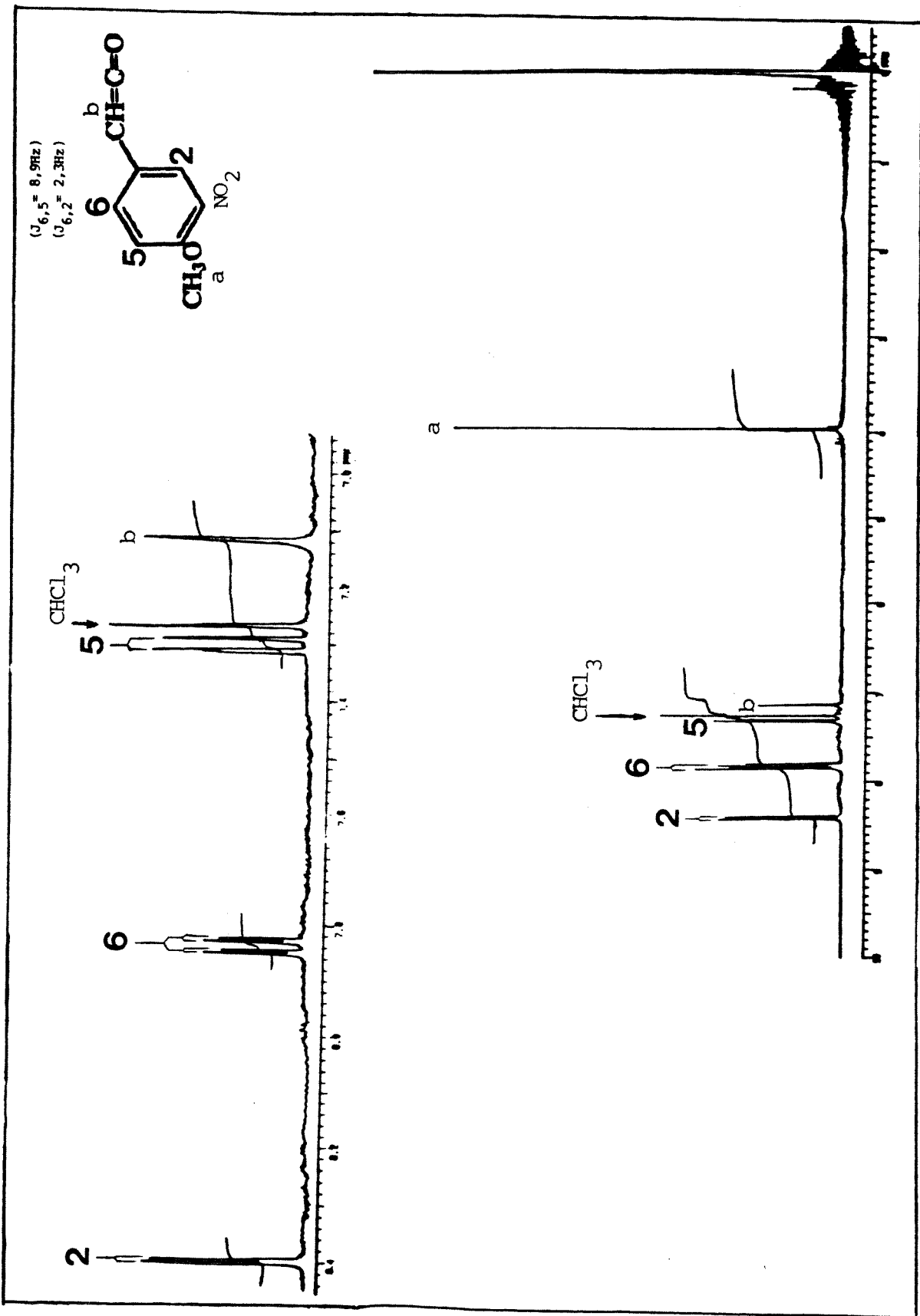
E-36 - IV(KBr) do ácido 3-nitro-para-homoanísico 270b



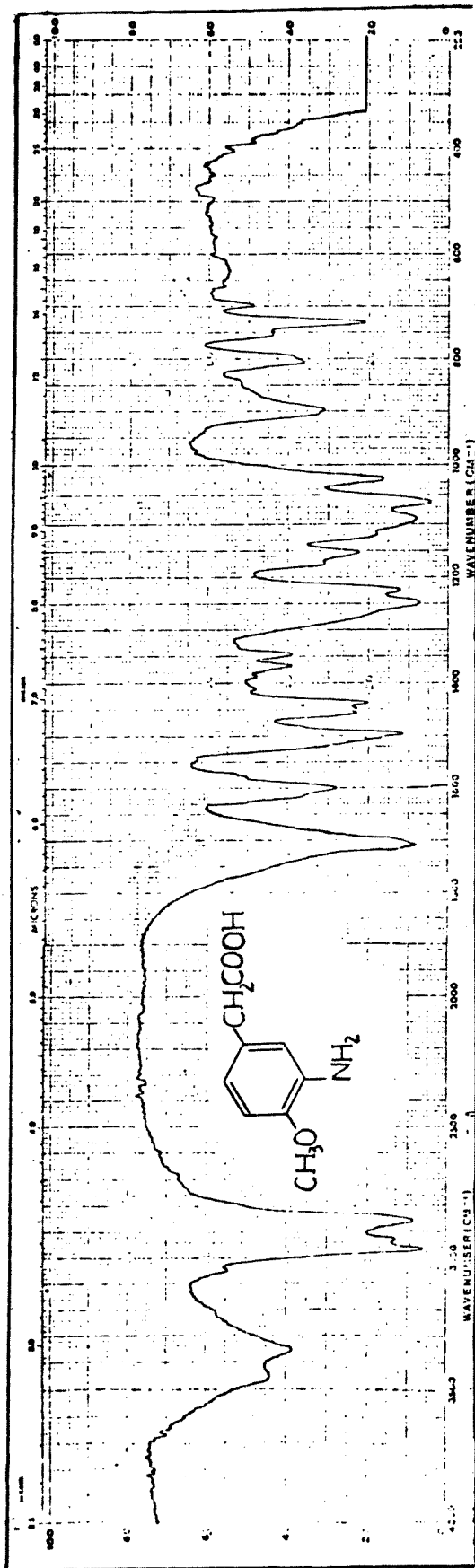
E-37 - RMN<sup>1</sup>H (CDCl<sub>3</sub>/TMS) do ácido 3-nitro-para-homoanísico 270b



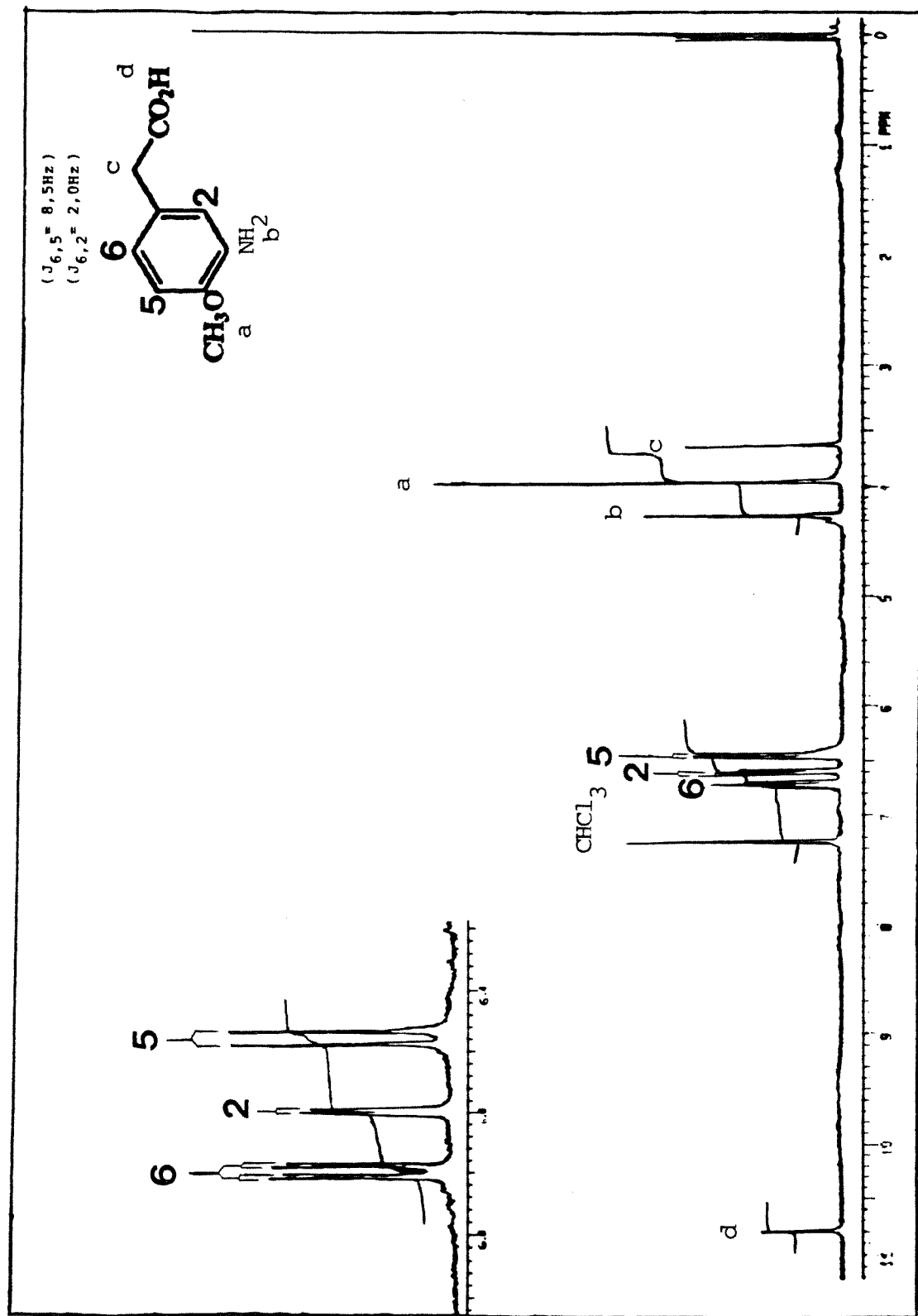
E-38 - IV(KBr) do ceteno 267b



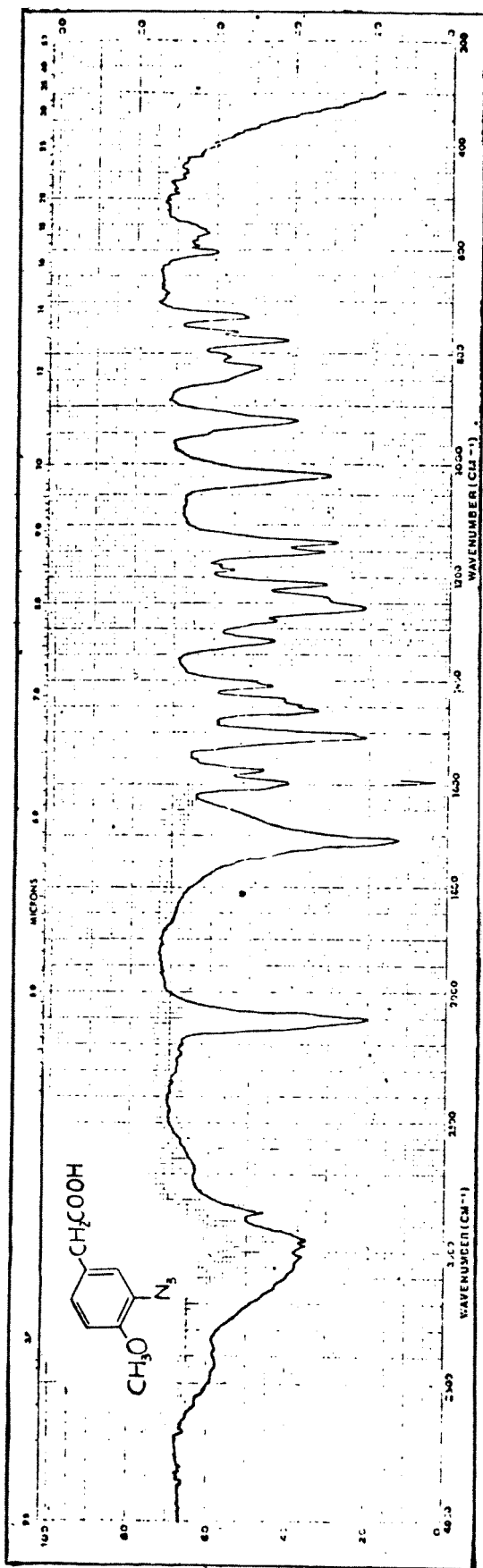
E-39 - RMN  ${}^1\text{H}$  ( $\text{CDCl}_3/\text{TMS}$ ) do ceteno 267b



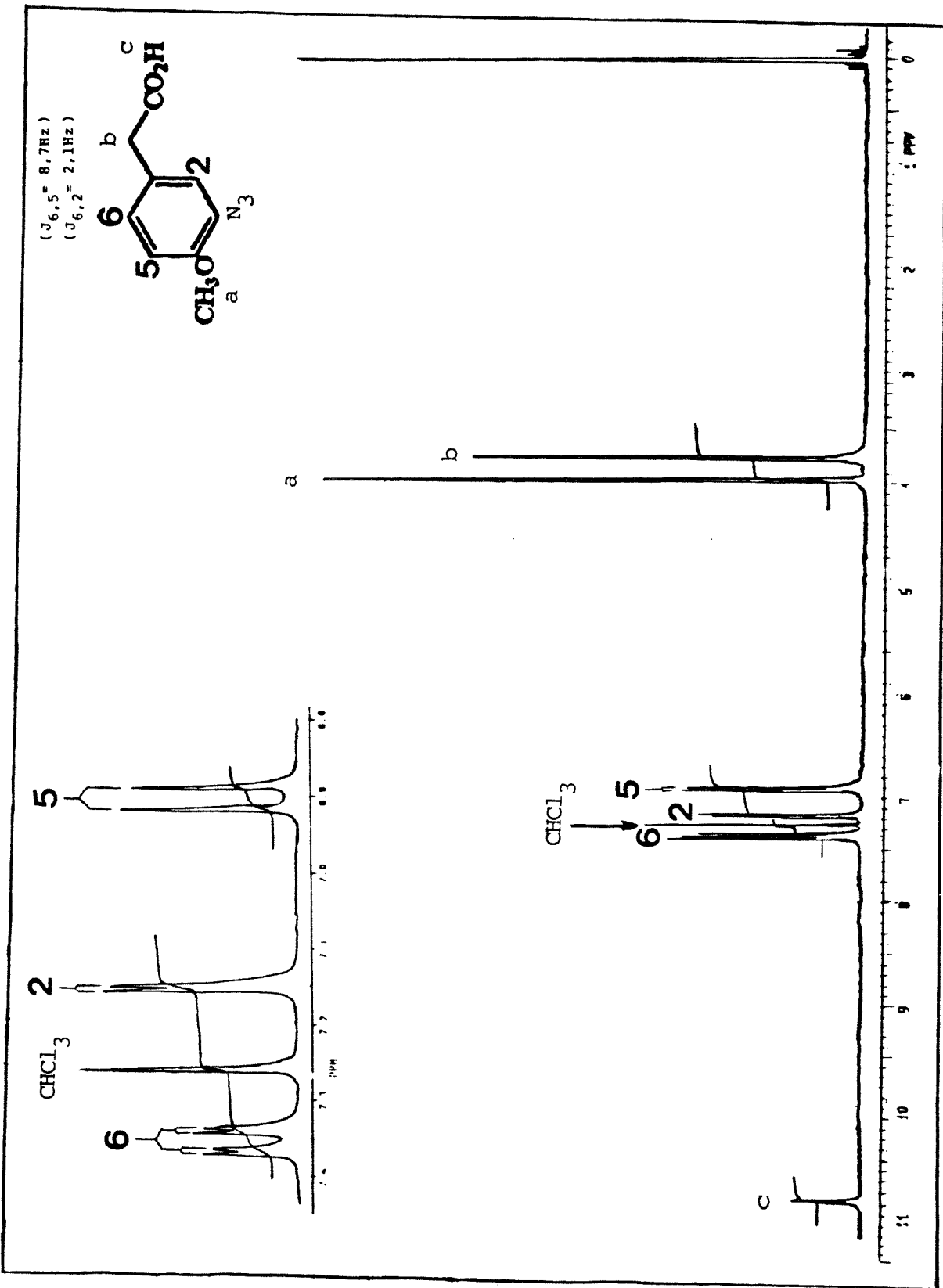
E-40 - IV(KBr) do ácido 3-amino-para-homoanísico 270c



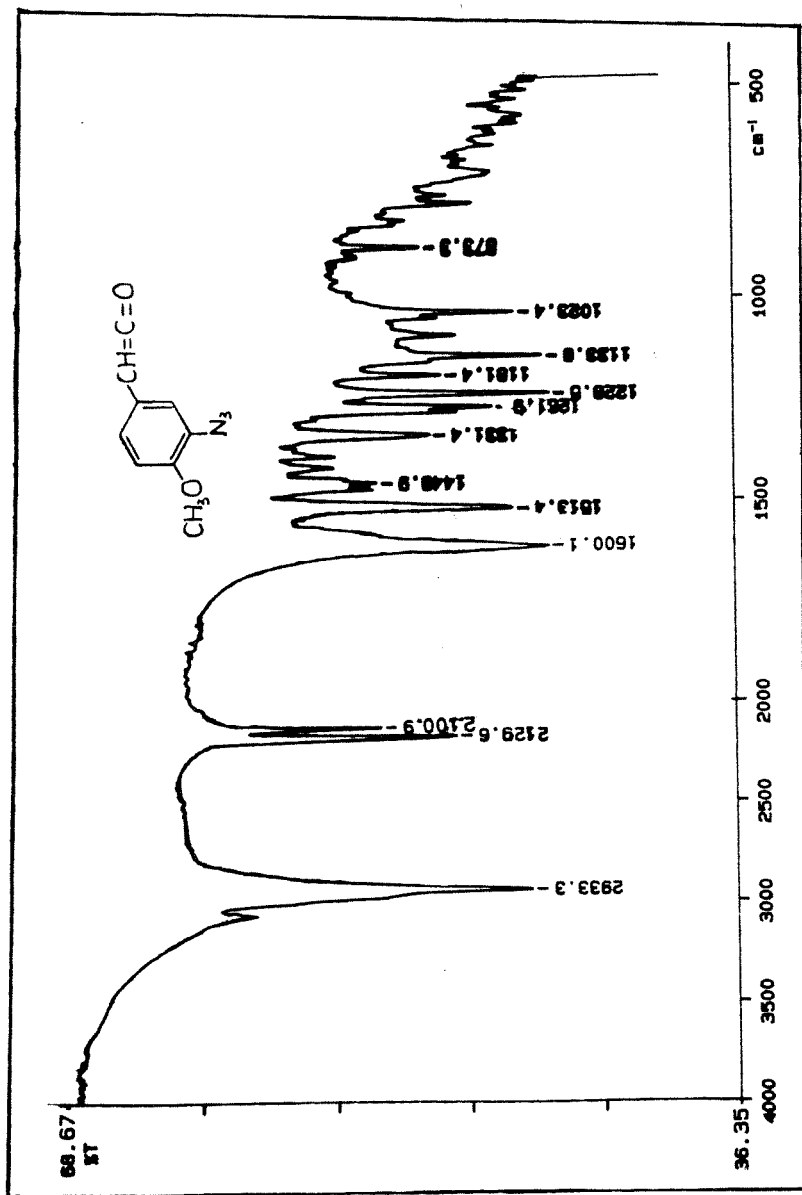
E-41 - RMN  $^1\text{H}$  ( $\text{CDCl}_3/\text{TMS}$ ) do ácido 3-amino-para-homoanílico 270c

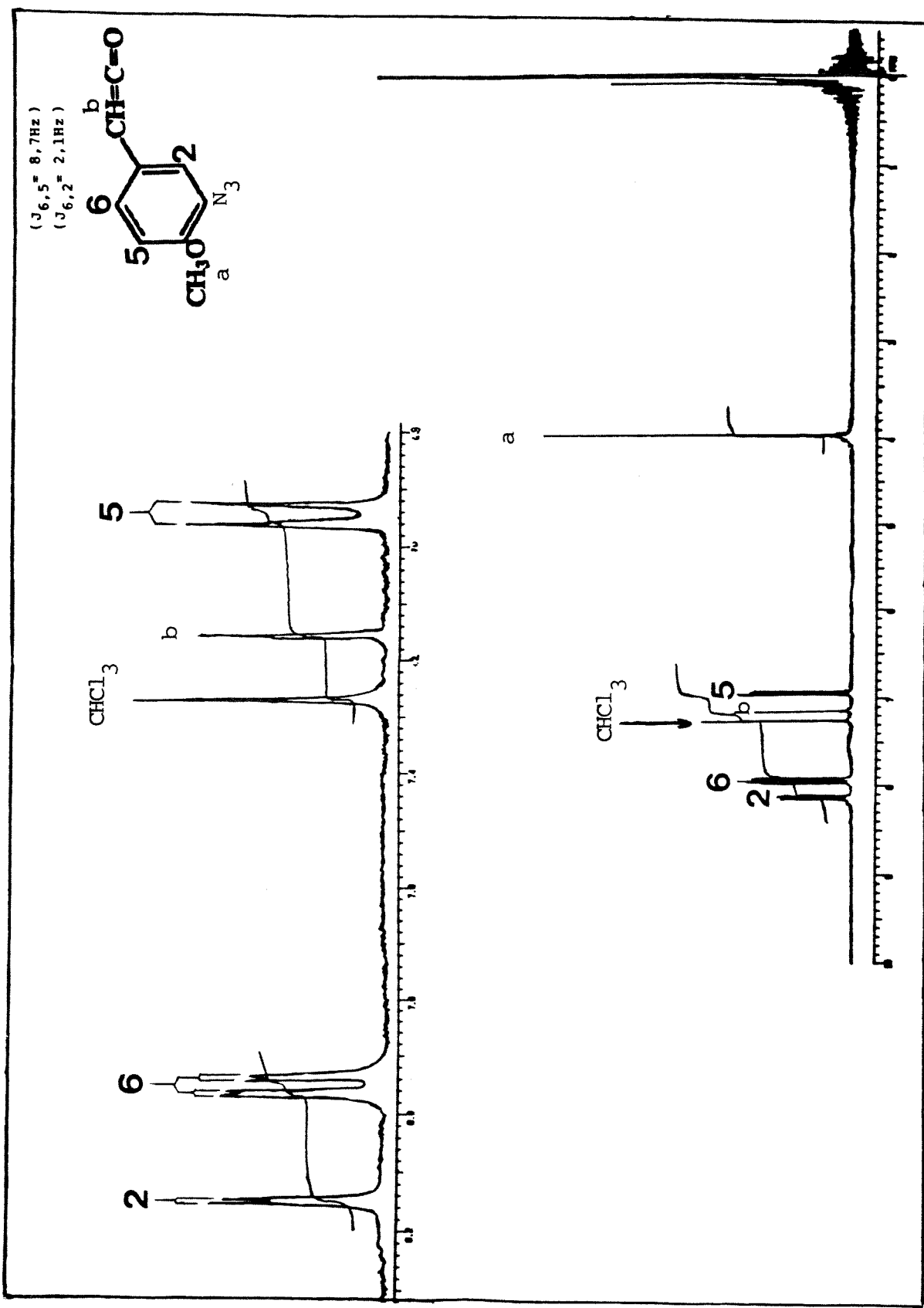


E-42 - IV(KBr) do ácido 3-azido-para-homoanísico 270d

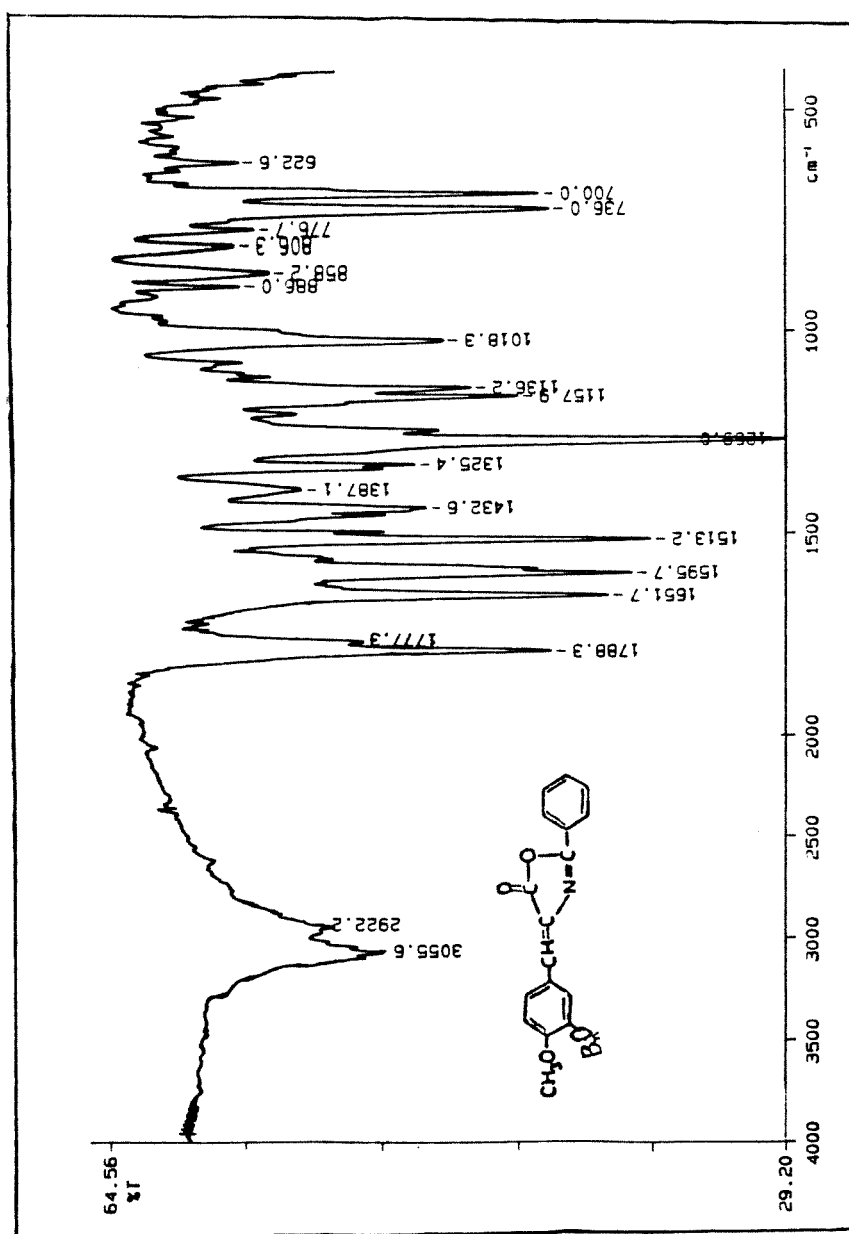


E-43 - RMN  $^1\text{H}$  ( $\text{CDCl}_3/\text{TMS}$ ) do ácido 3-azido-para-homoanísico 270d

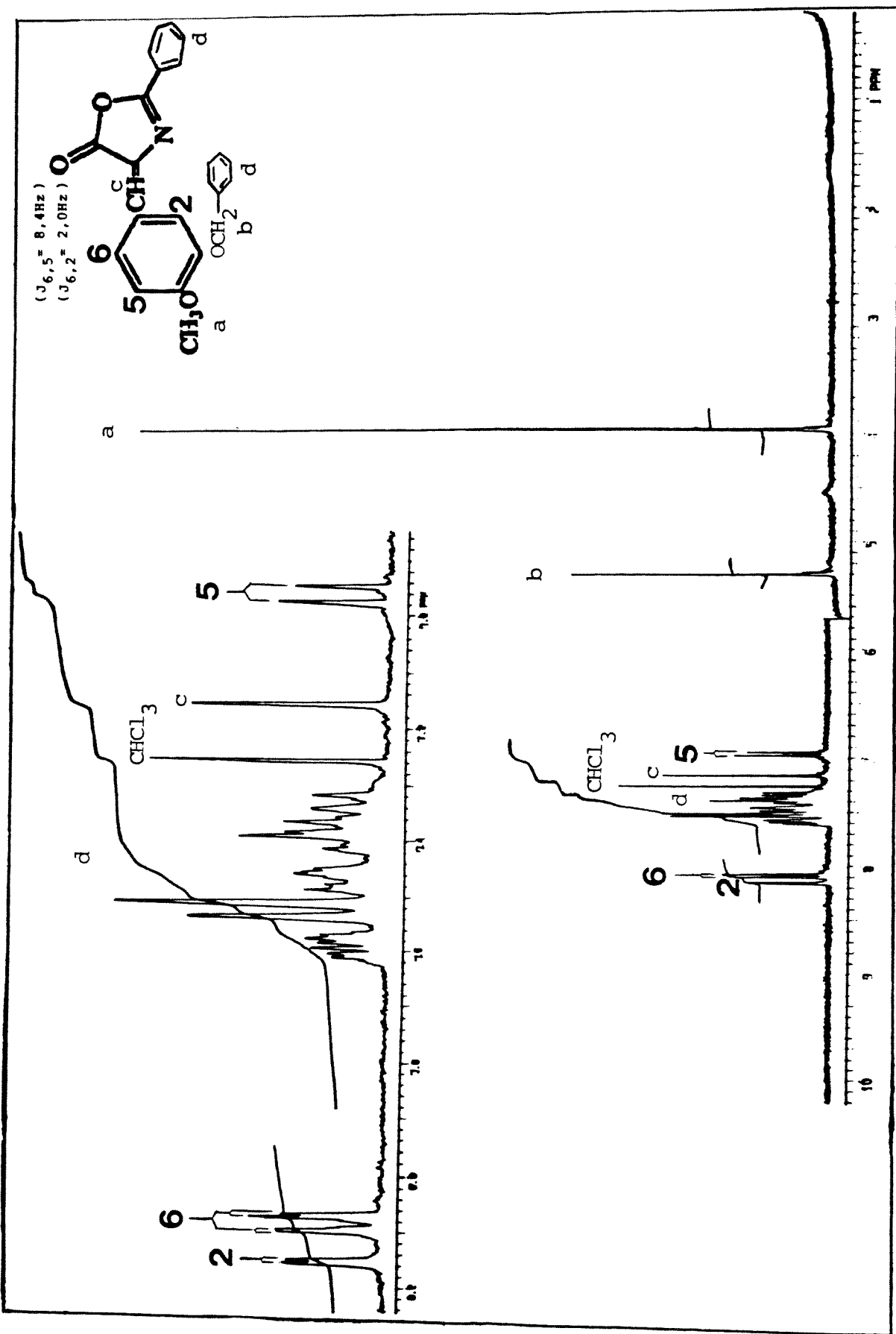
E-44 - IV(KBr) do ceteno 267c



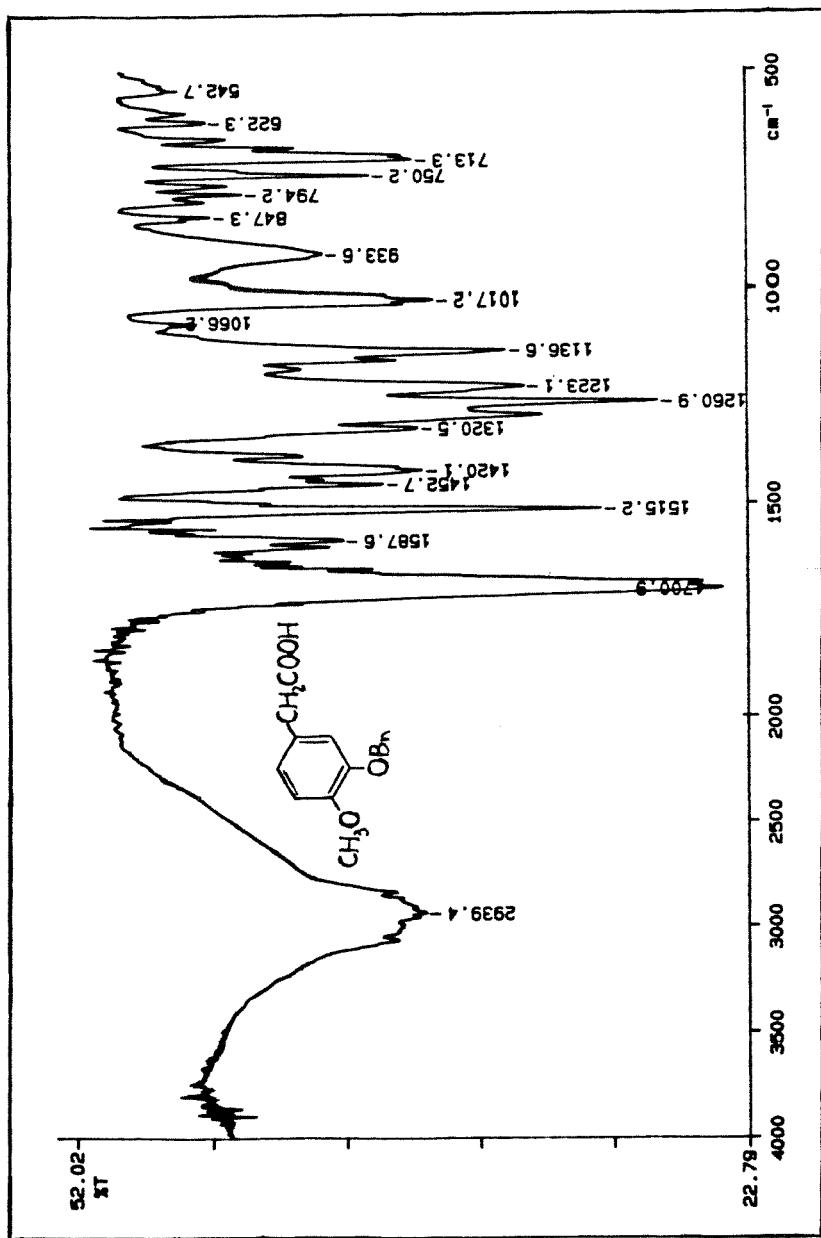
E-45 - RMN<sup>1</sup>H( $\text{CDCl}_3/\text{TMS}$ ) do ceteno 267c



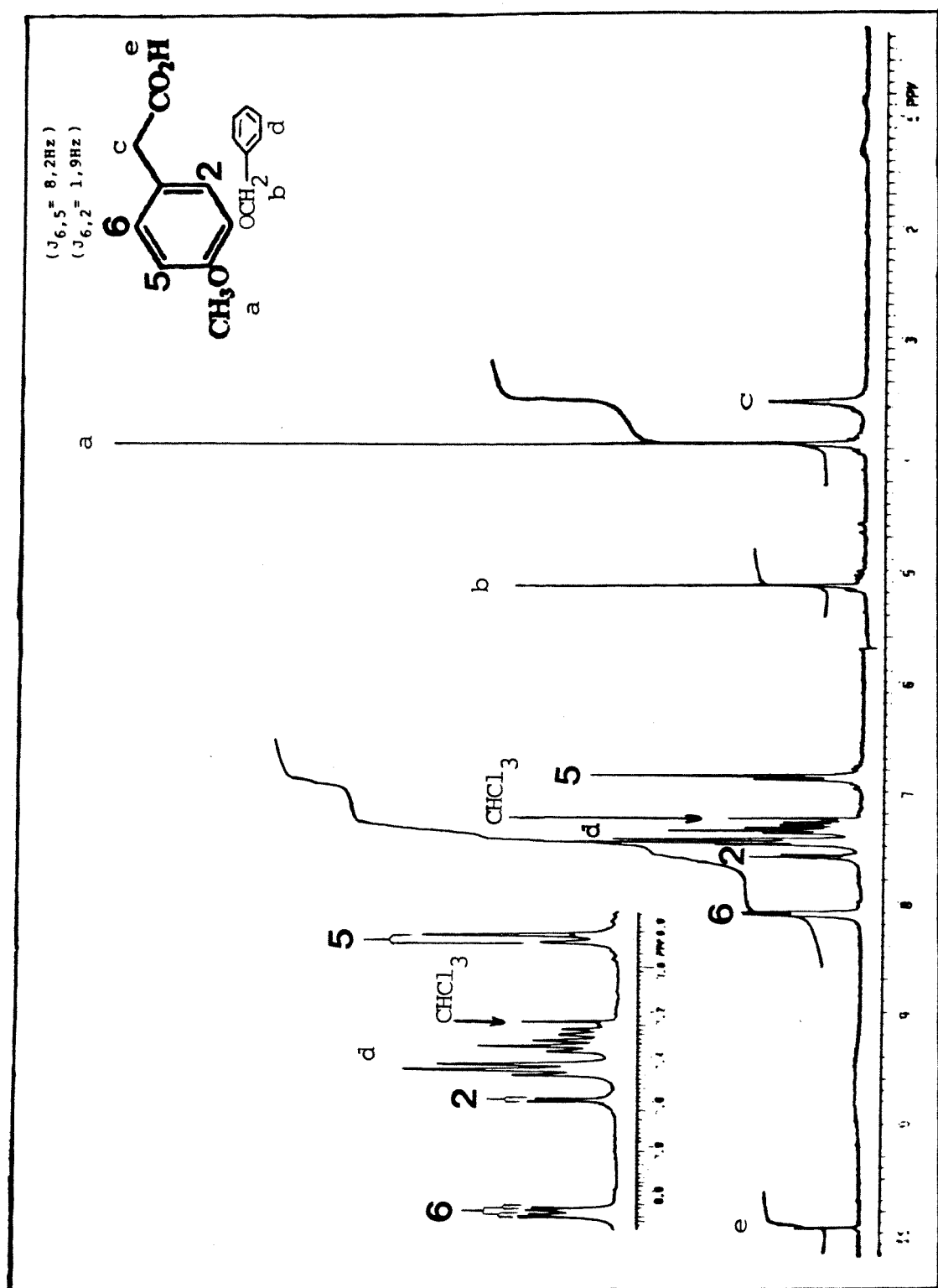
E-46 - IV(KBr) da oxazolona 269c



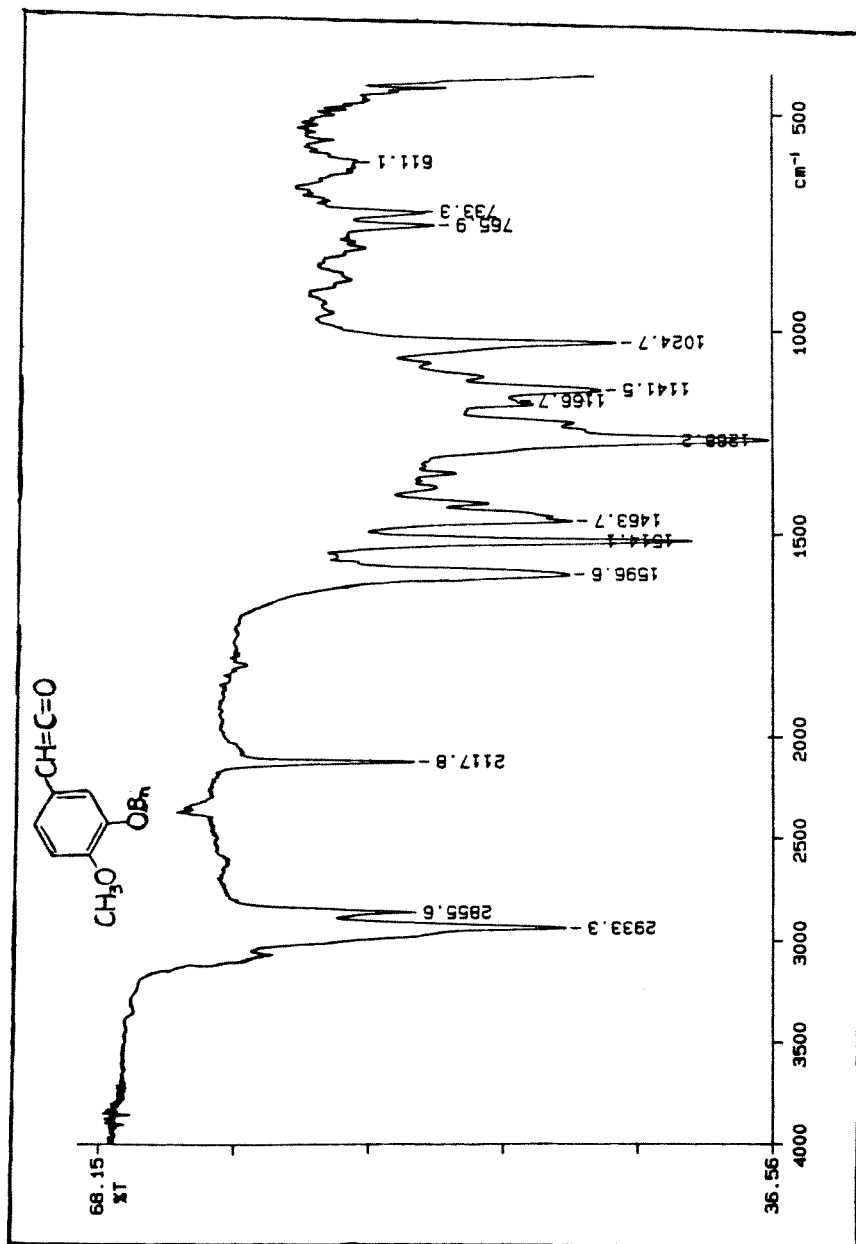
E-47 - RMN<sup>1</sup>H (CDCl<sub>3</sub>/TMS) da oxazolona 269c



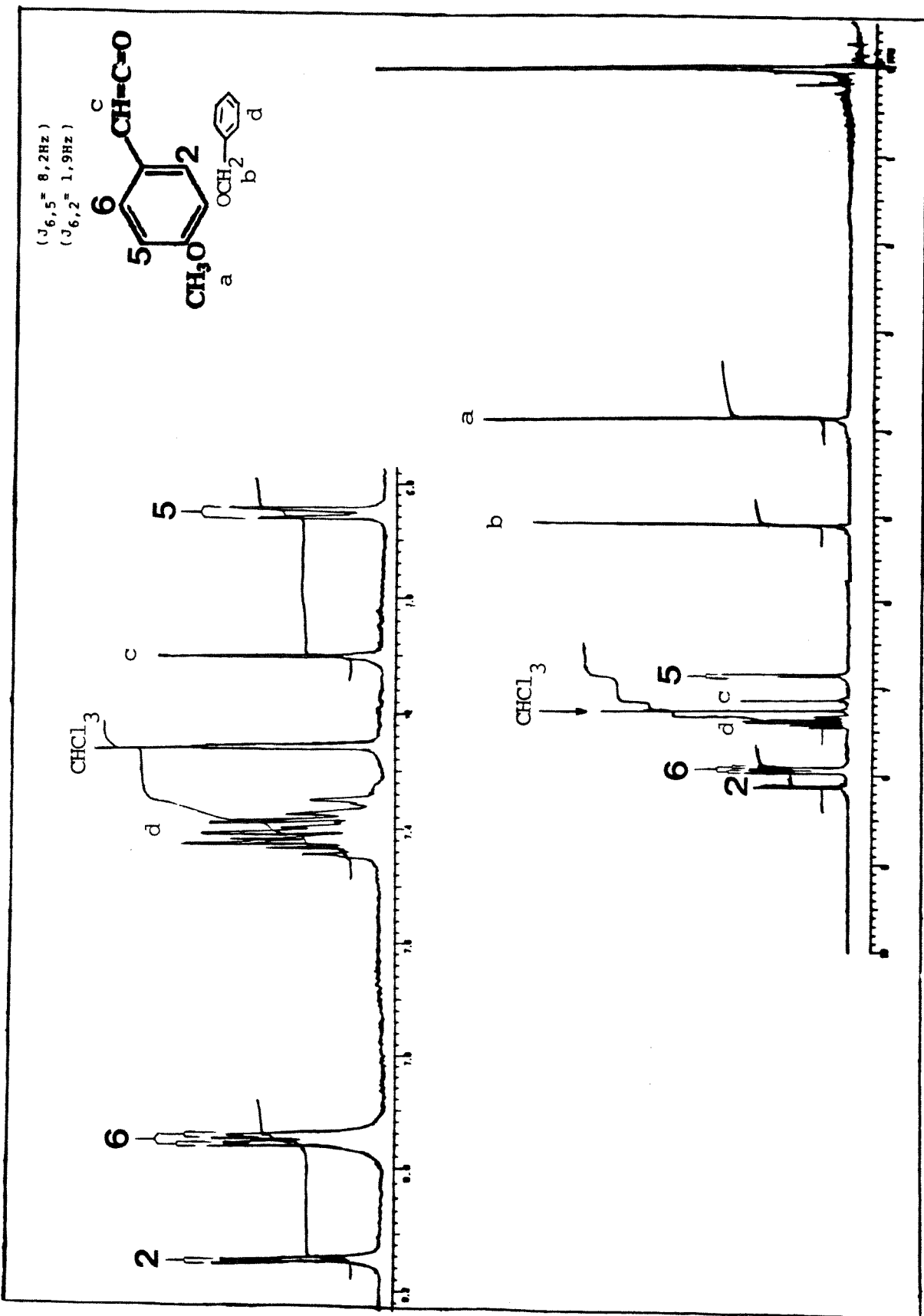
E-48 - IV (KBr) do ácido 3-benziloxi-4-metoxifenetílico 270e



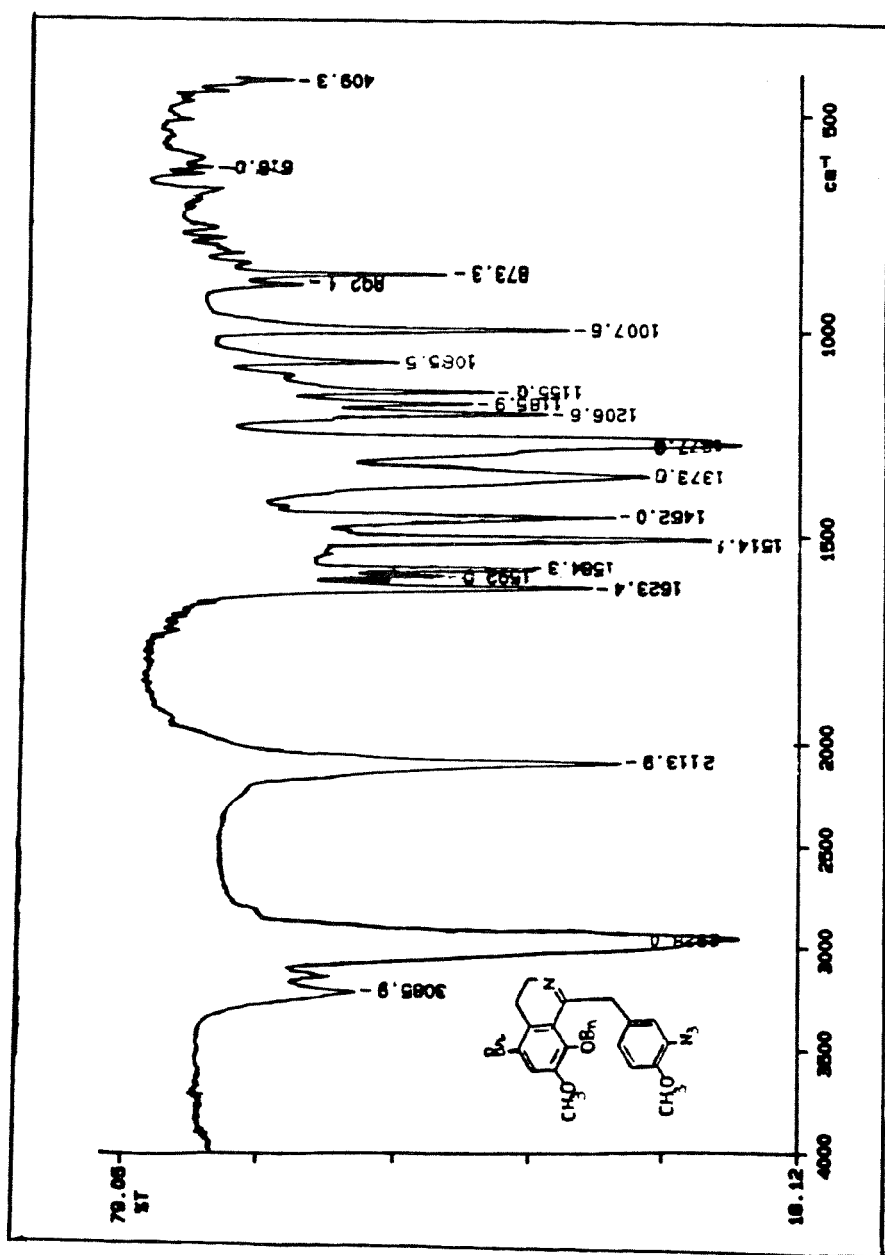
E-49 - RMN<sup>1</sup>H ( $\text{CDCl}_3$ /TMS) do ácido 3-benziloxi-4-metoxifenetílico 270e



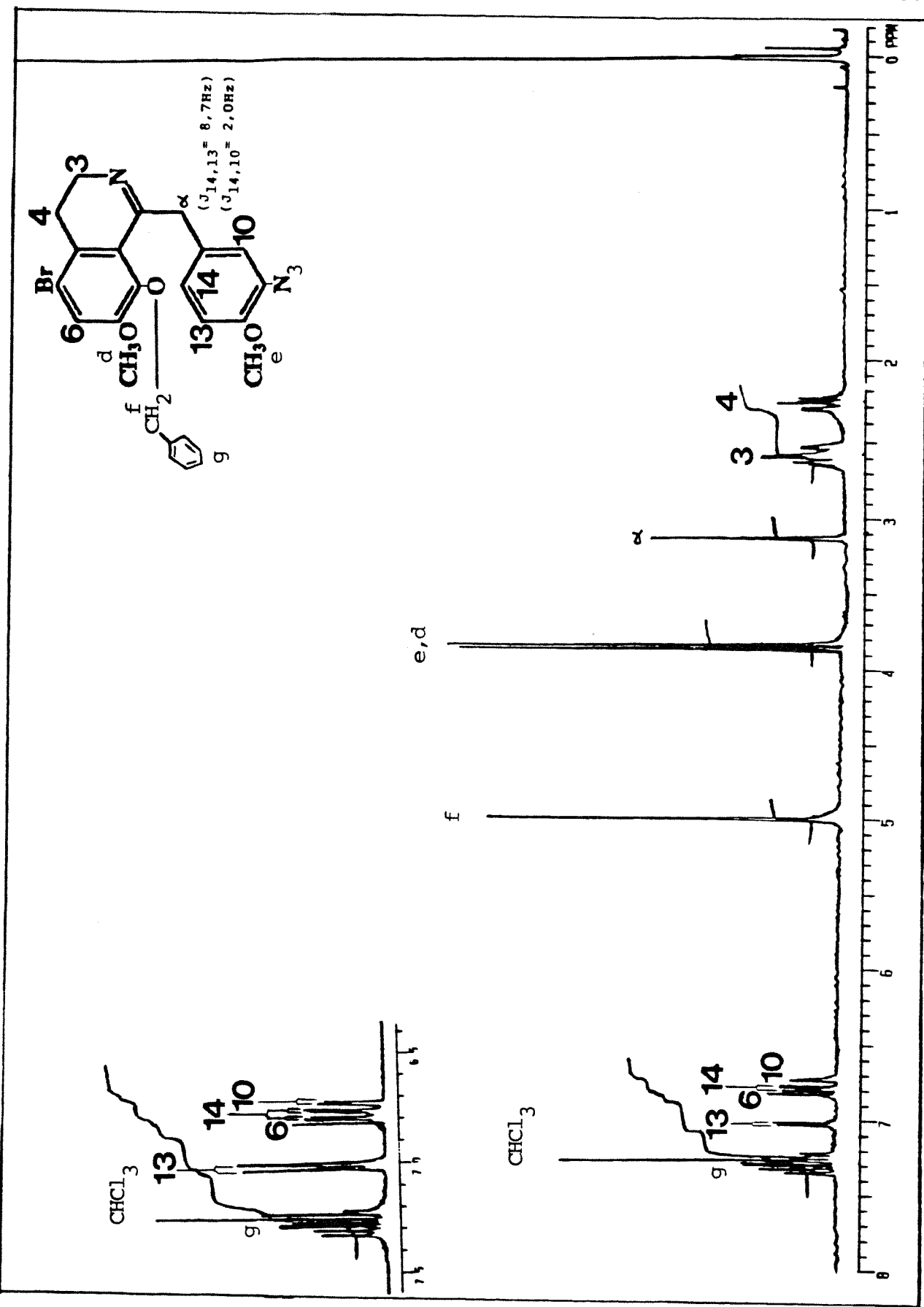
E-50 - IV(KBr) do ceteno 267d



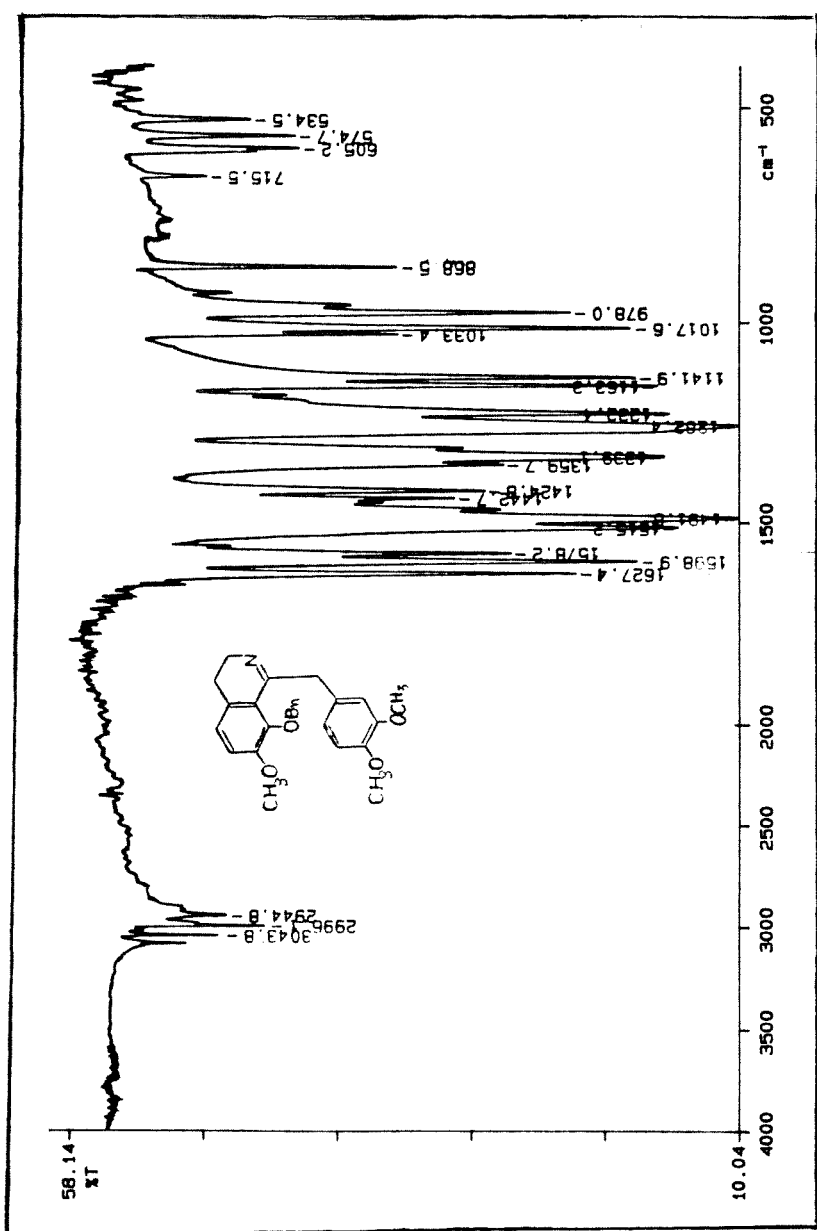
E-51 - RMN  $^1\text{H}$  ( $\text{CDCl}_3/\text{TMS}$ ) do ceteno 267d



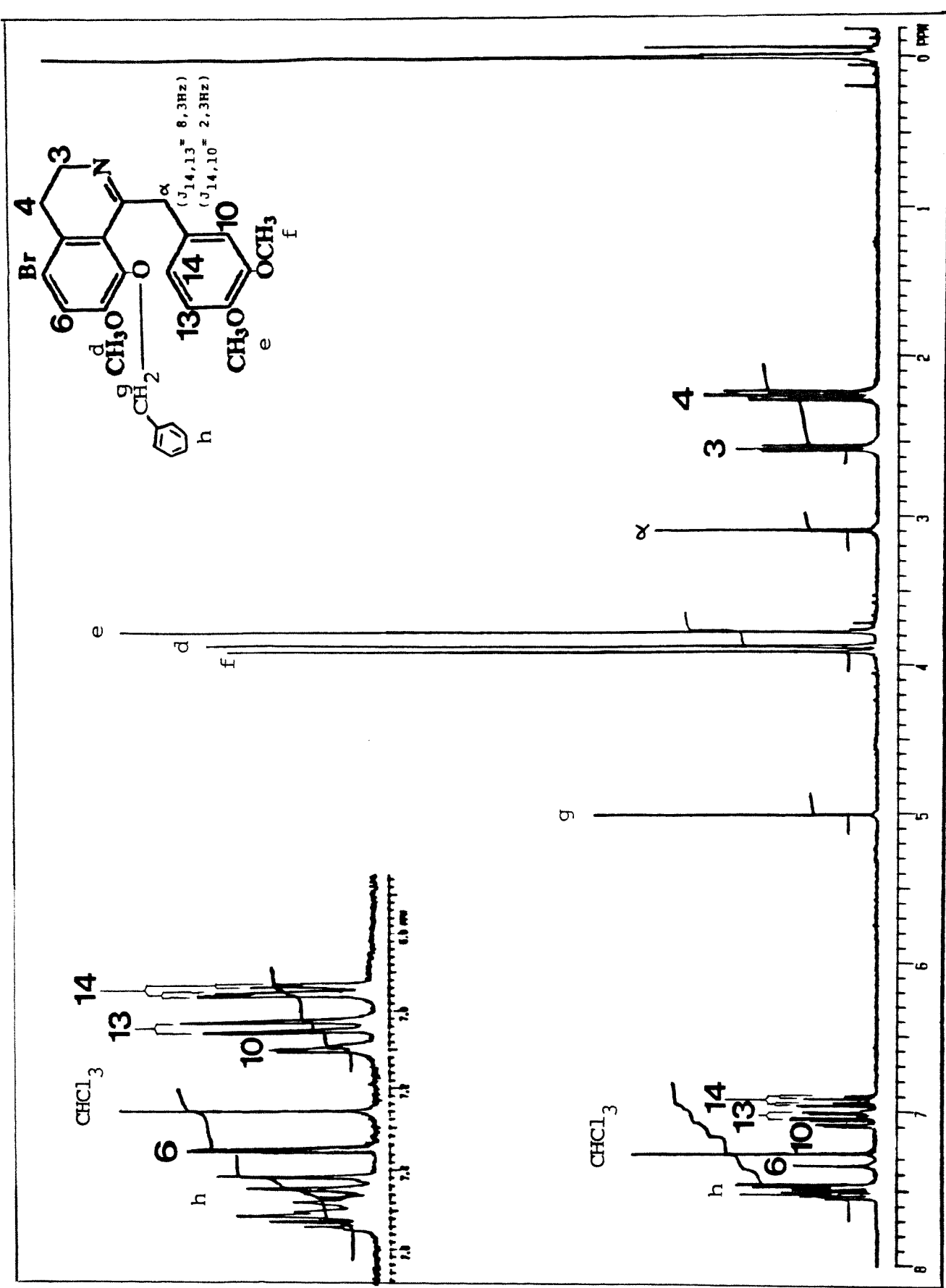
E-52 - IV(KBr) da 3,4-didroisoquinolina 278b



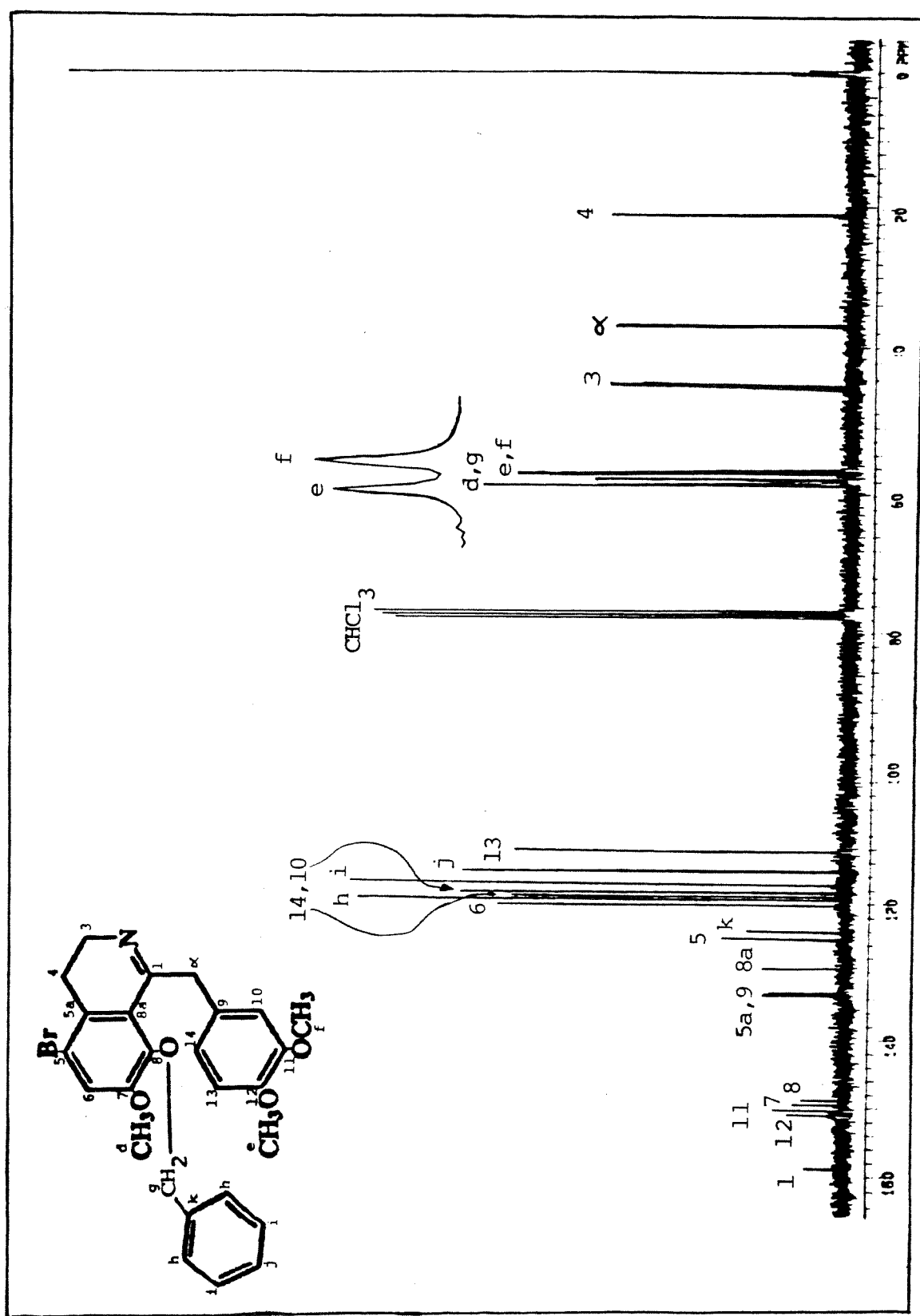
E-53 - RMN<sup>1</sup>H (CDCl<sub>3</sub>/TMS) da 3,4-didroisoquinolina 278b



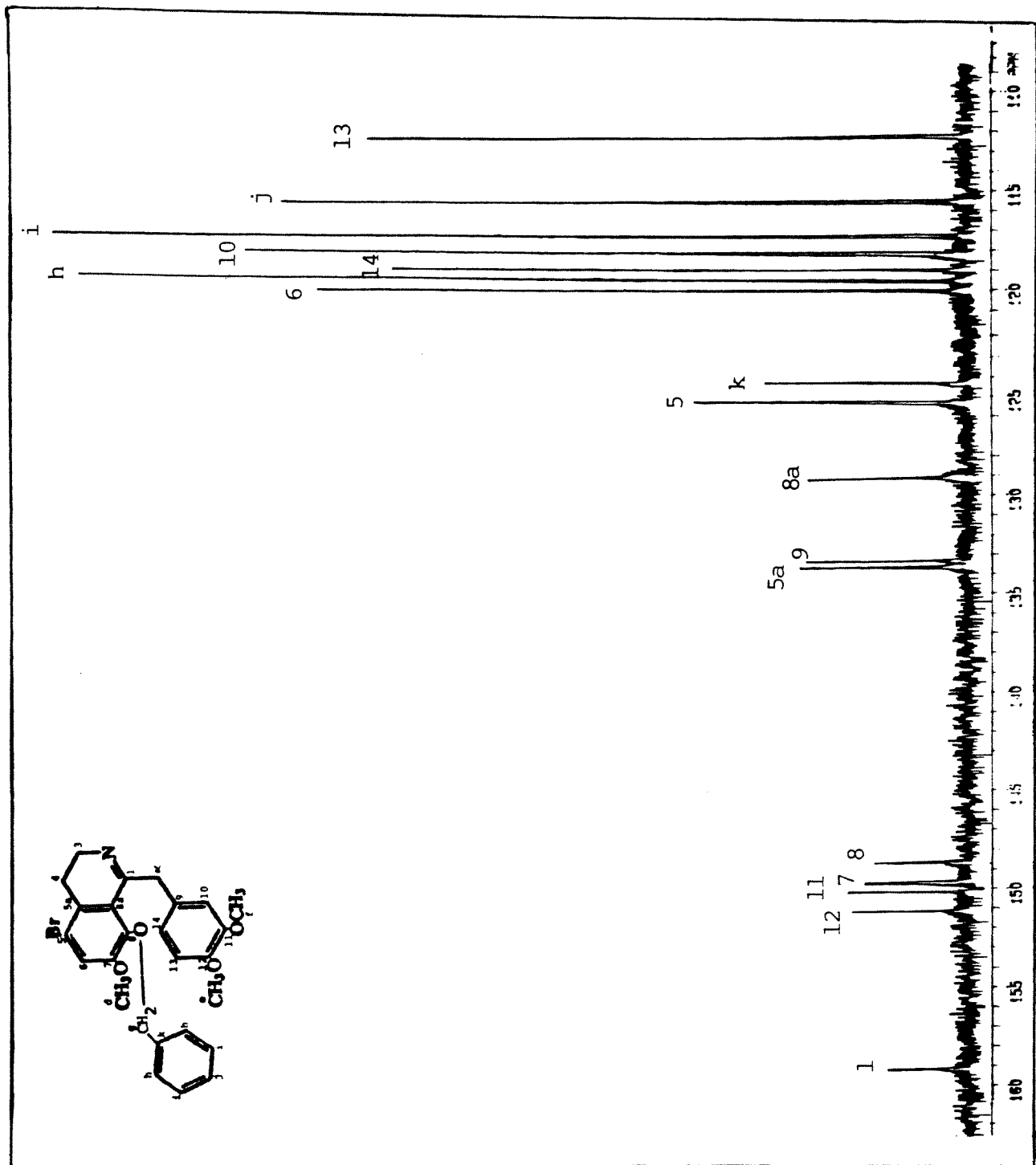
E-54 - IV(KBr) da 3,4-dihydroisoquinolina 278a



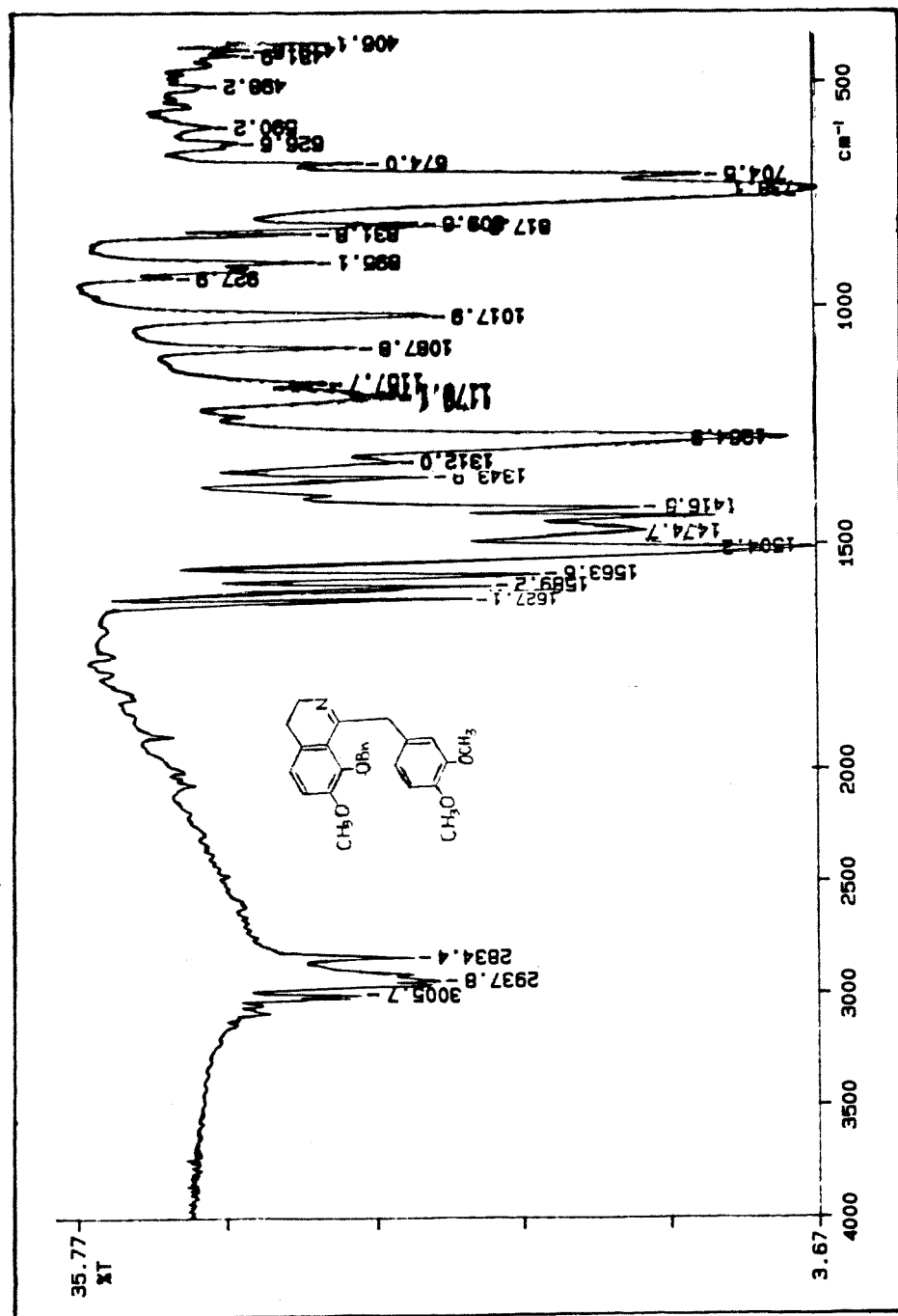
E-55 - RMN<sup>1</sup>H(CDCl<sub>3</sub>/TMS) da 3,4-didroisoquinolina 278a



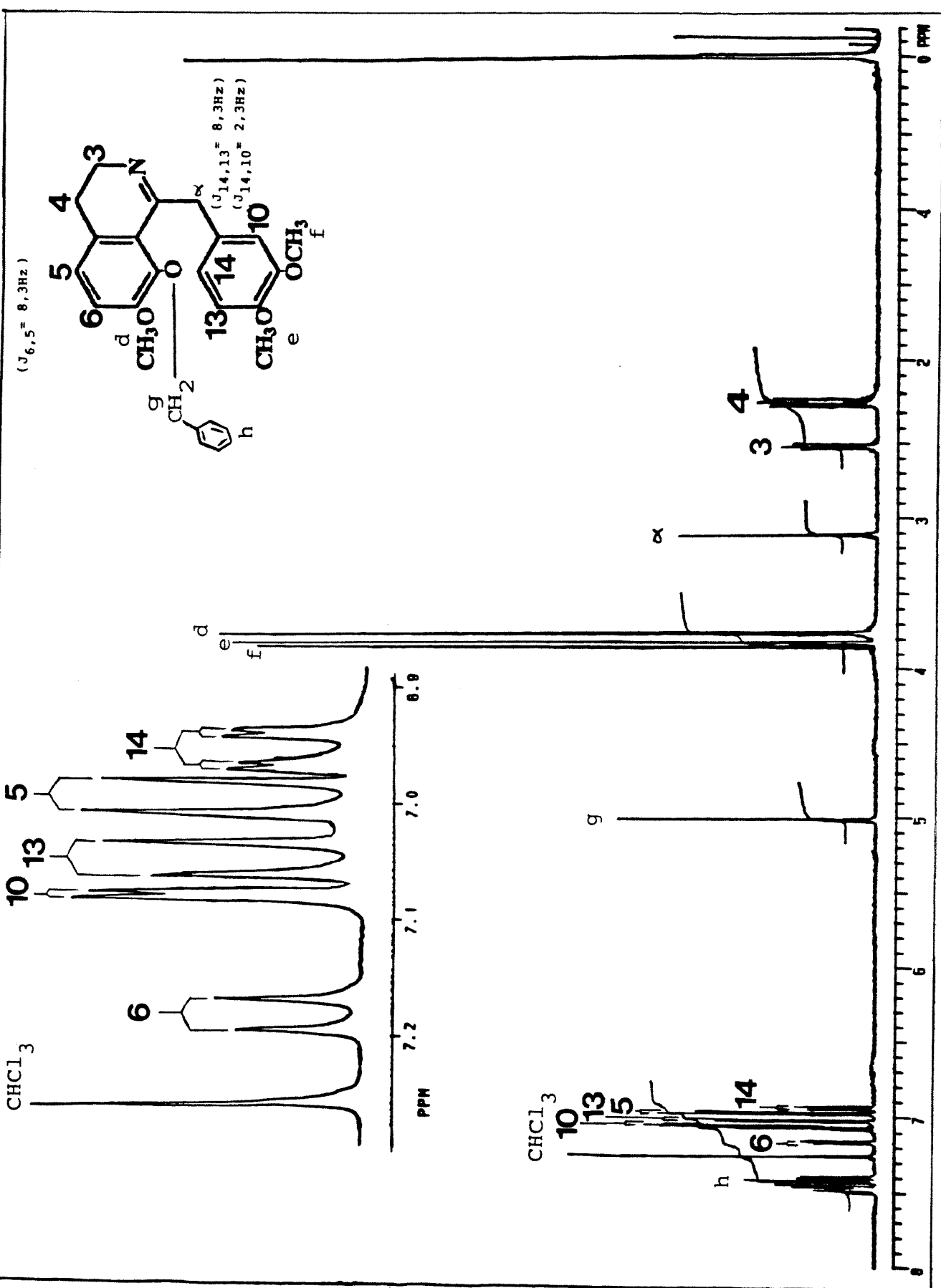
E-56 - RMN  $^{13}\text{C}$ ( $\text{CDCl}_3$ ) da 3,4-didroisoquinolina 278a



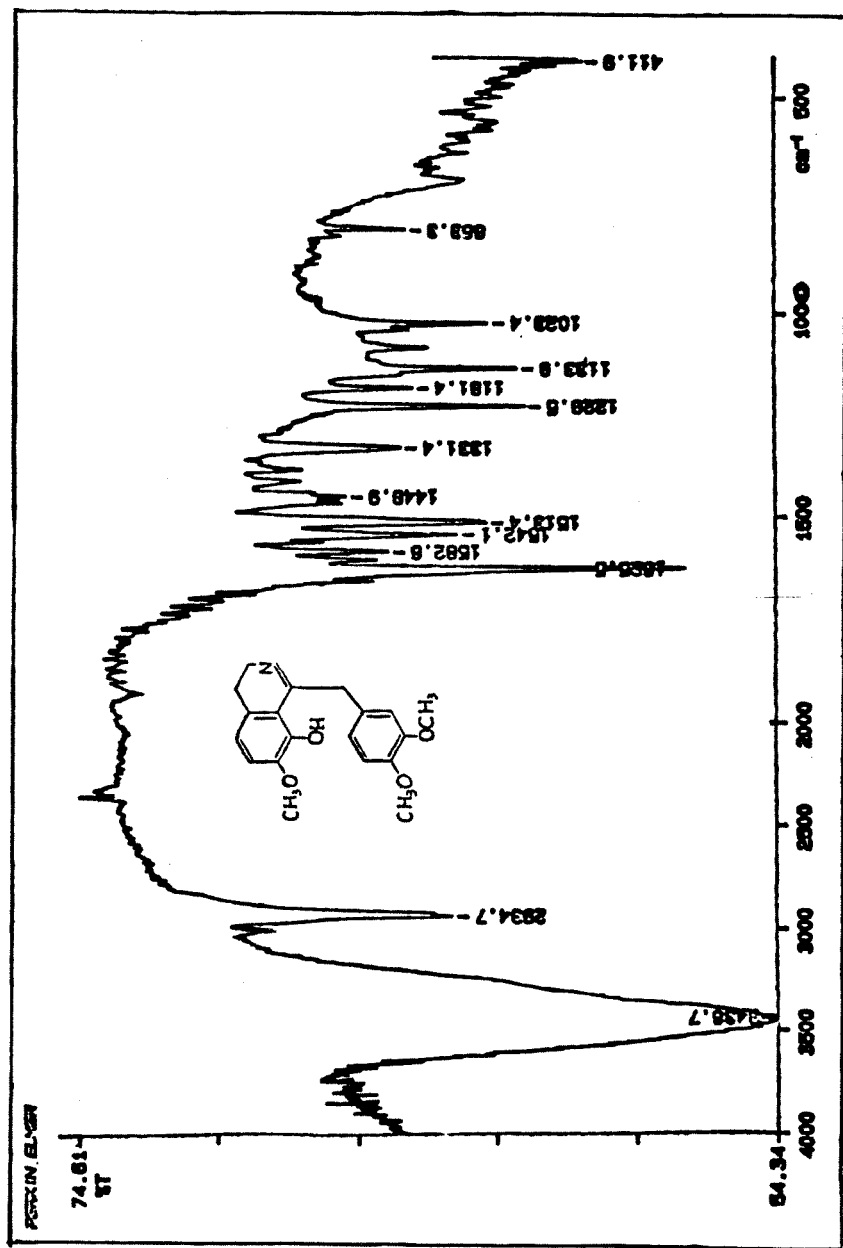
E-56 - RMN  $^{13}\text{C}$  ( $\text{CDCl}_3$ ) (ampliado) da 3,4-diidroisoquinolina 278a



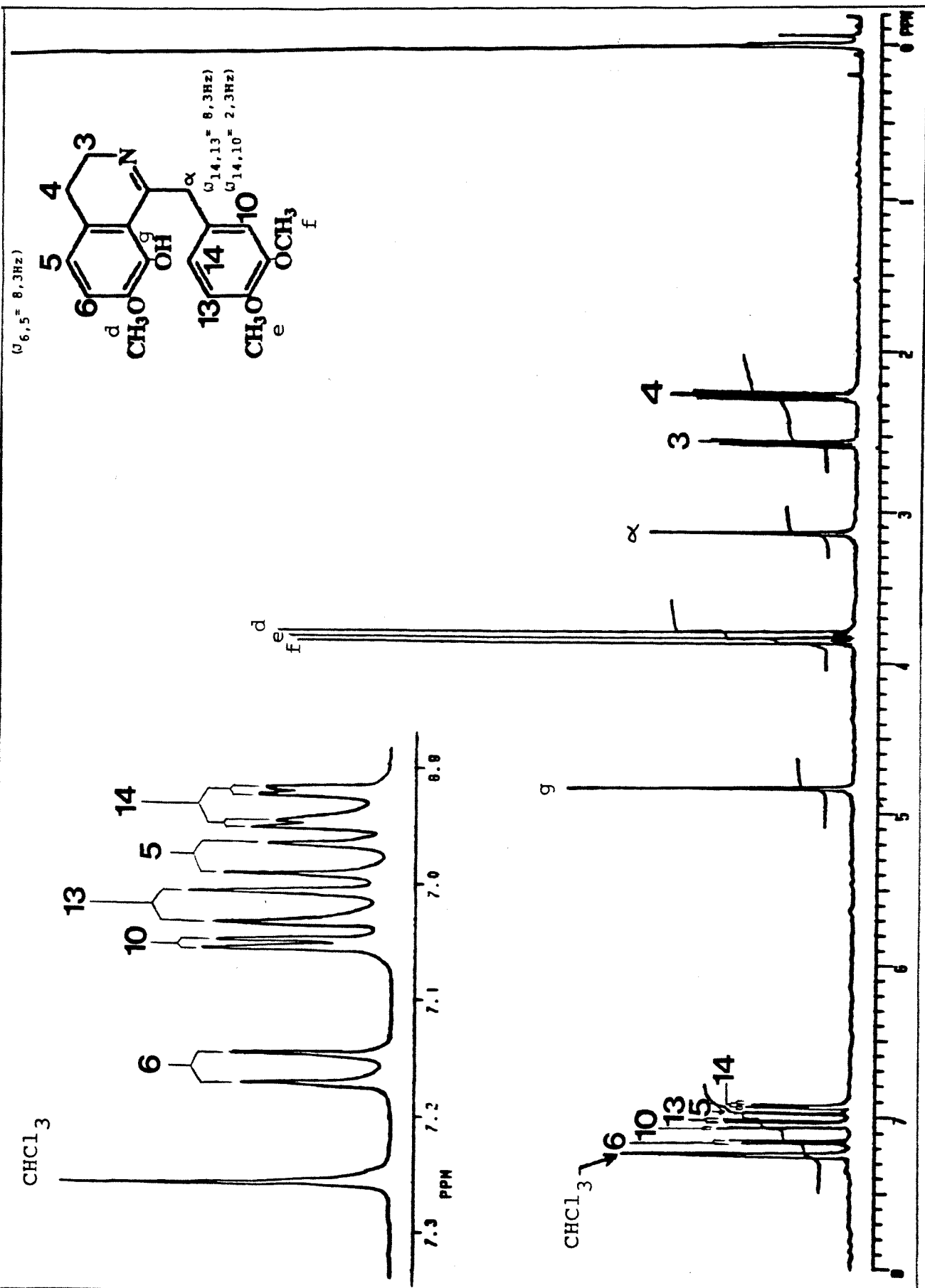
E-57 - IV(KBr) da 3,4-didroisoquinolina 283



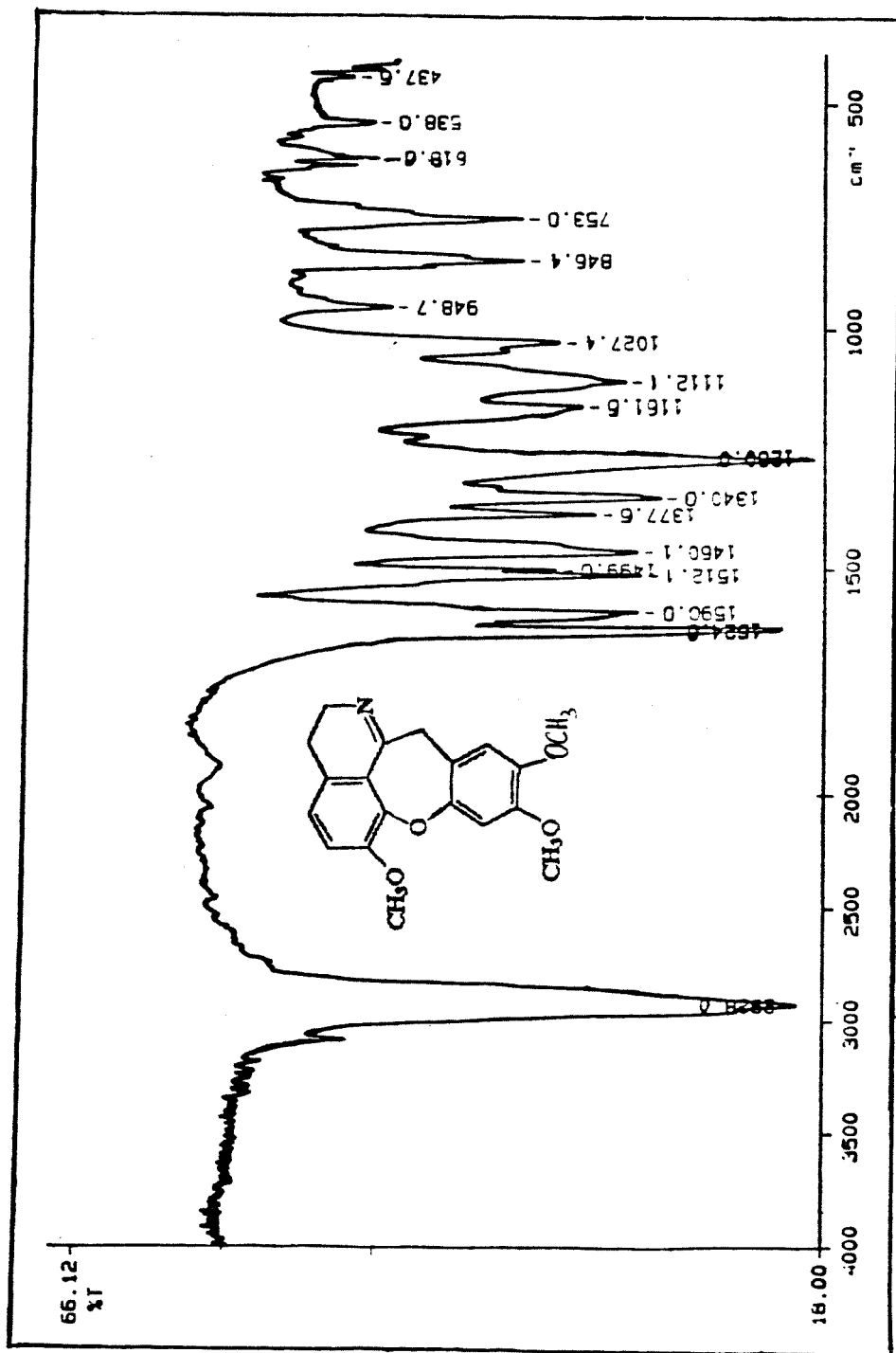
E-58 - RMN<sup>1</sup>H (CDCl<sub>3</sub>/TMS) da 3,4-diidroisoquinolina 283



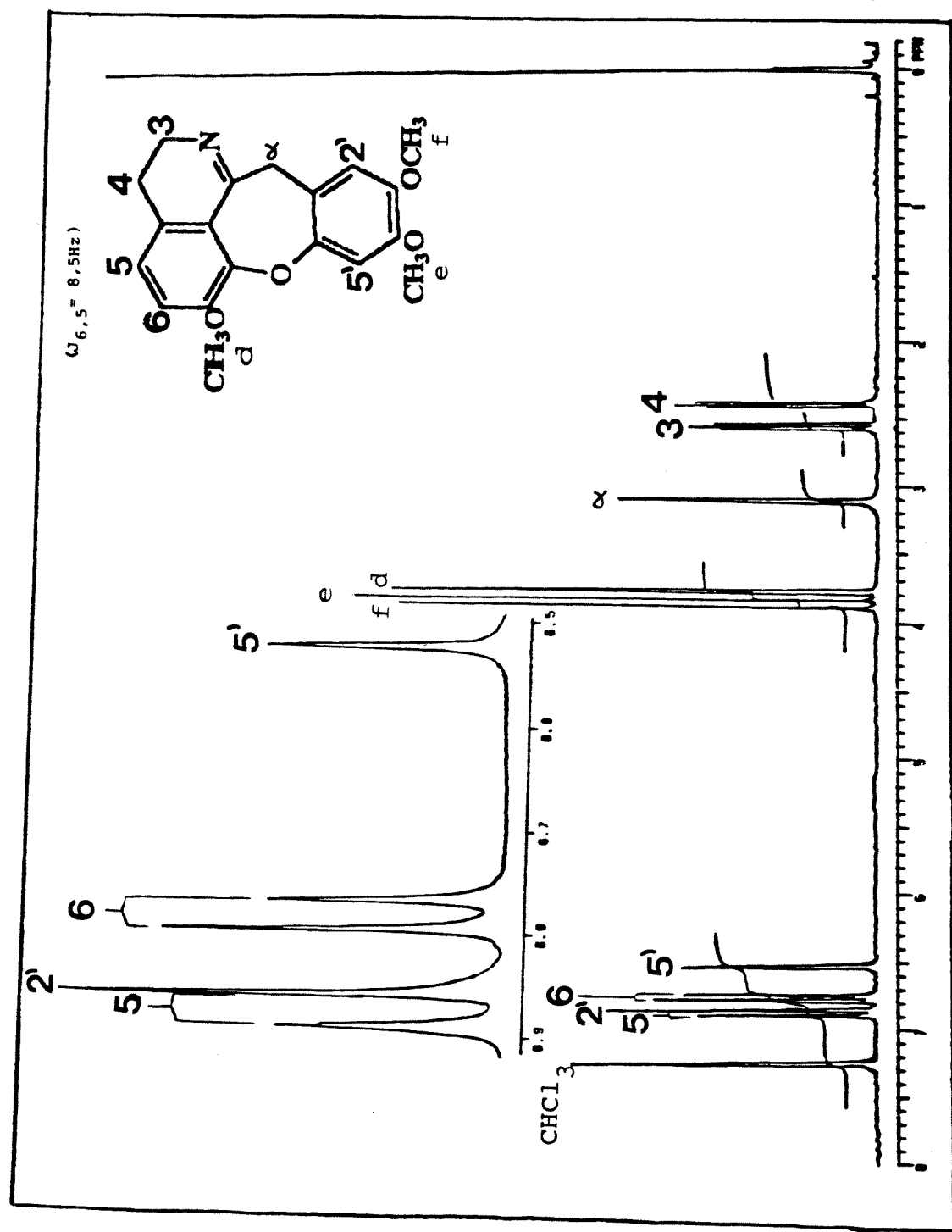
E-59 - IV(KBr) da 3,4-didroisoquinolina 284



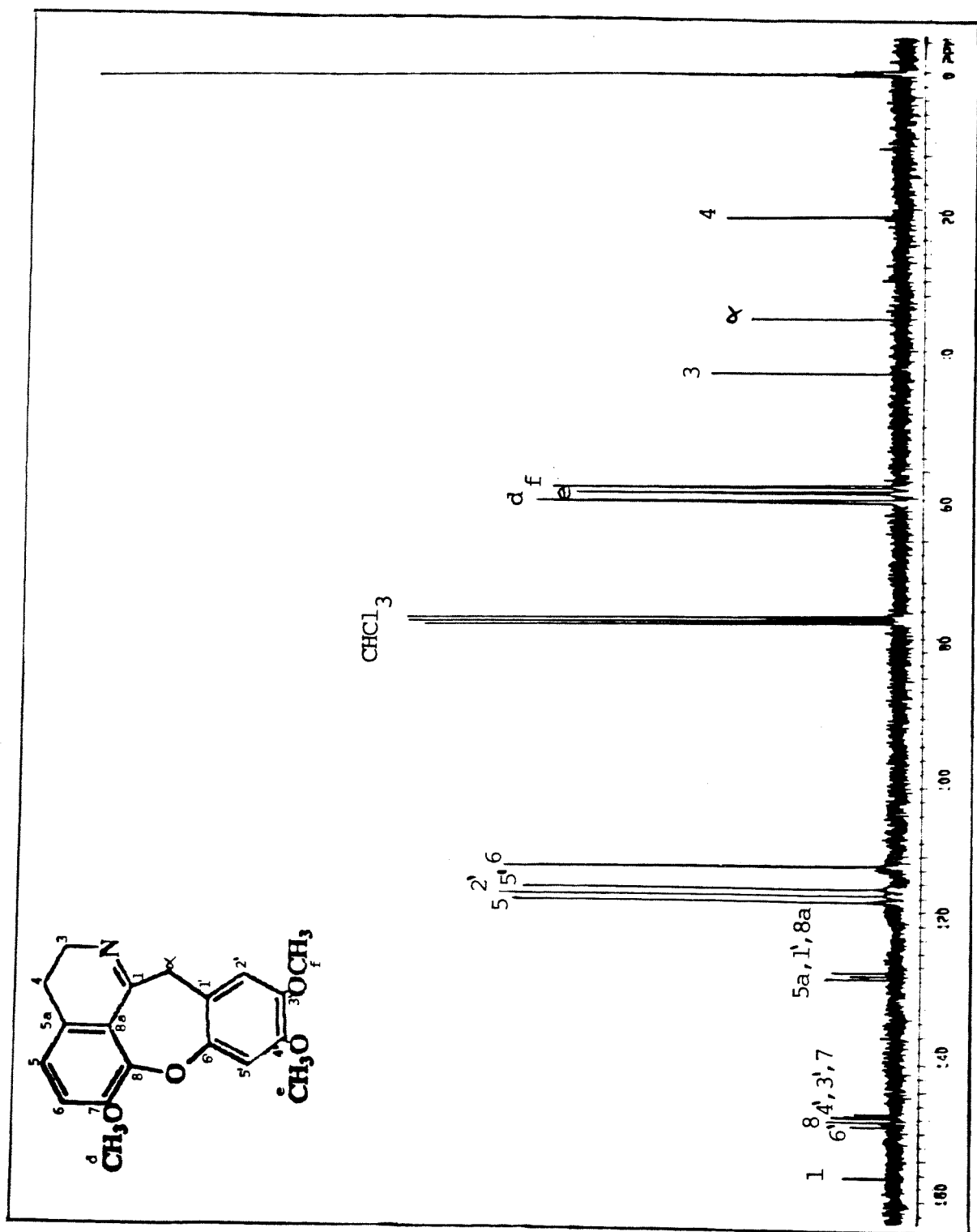
E-60 - RMN<sup>1</sup>H(CDCl<sub>3</sub>/TMS) da 3,4-didroisoquinolina 284



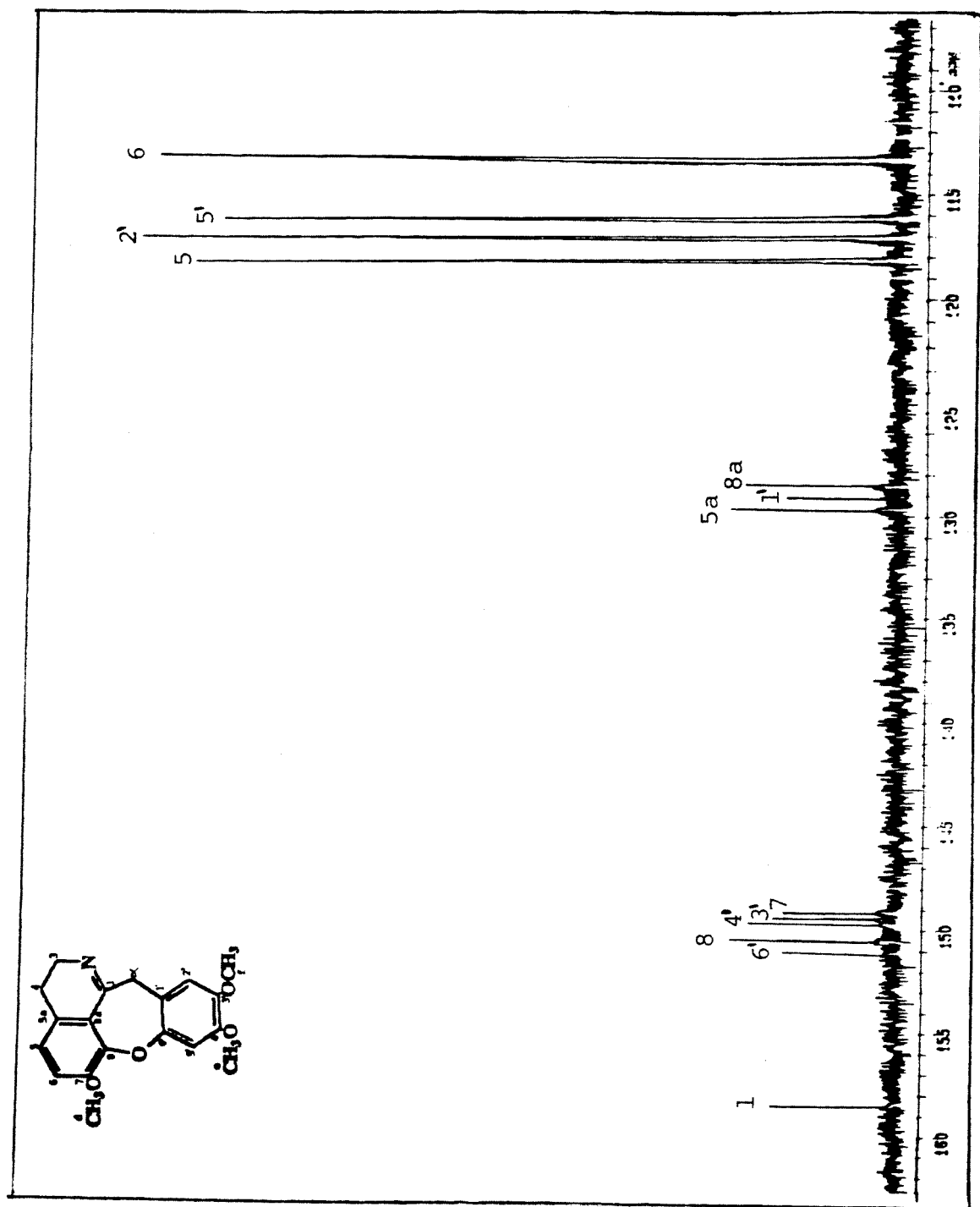
E-61 - IV(KBr) da (+)-didesidronorcularina 290



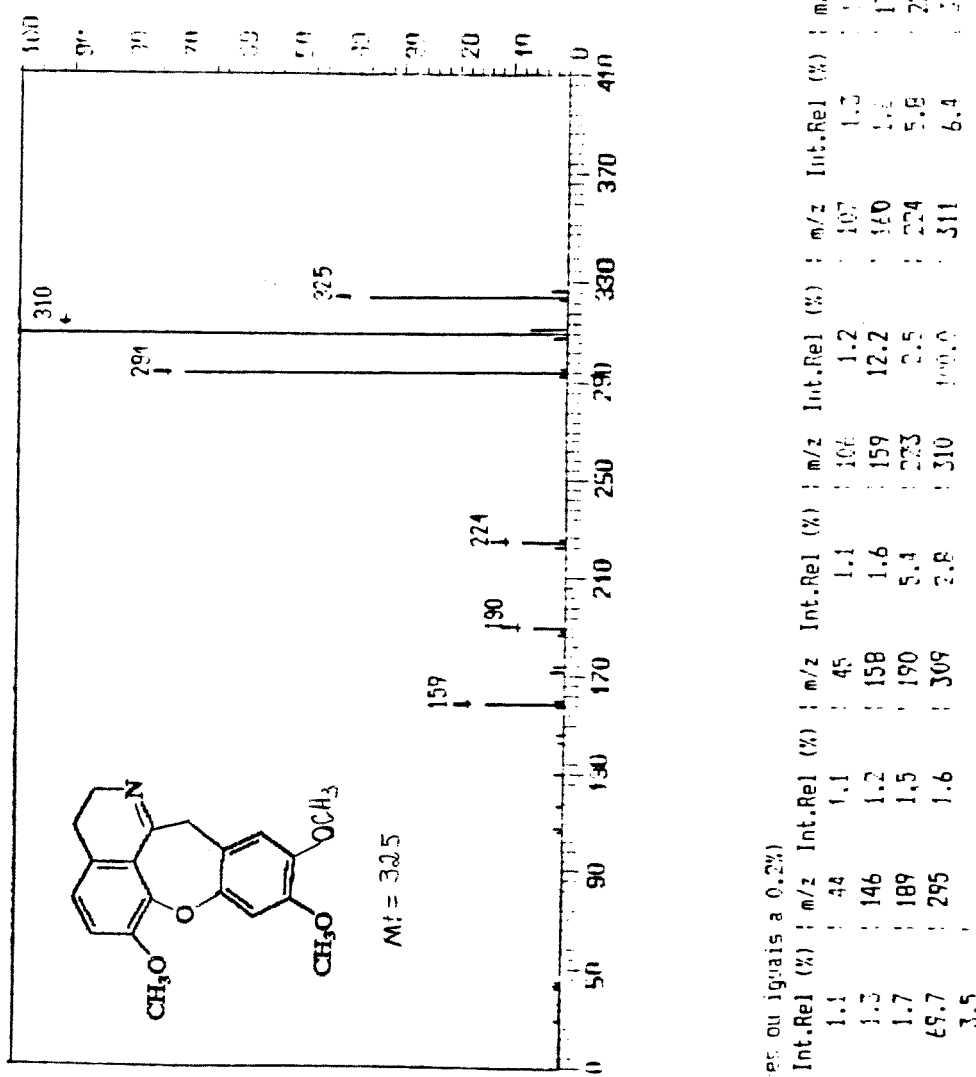
E-62 - RMN $^1\text{H}$ (CDCl<sub>3</sub>/TMS) da  $(-)$ -didesidronocularina 290



E-63 - RMN  $^{13}\text{C}$ ( $\text{CDCl}_3$ ) da ( $\pm$ )-didesidronocularina 290



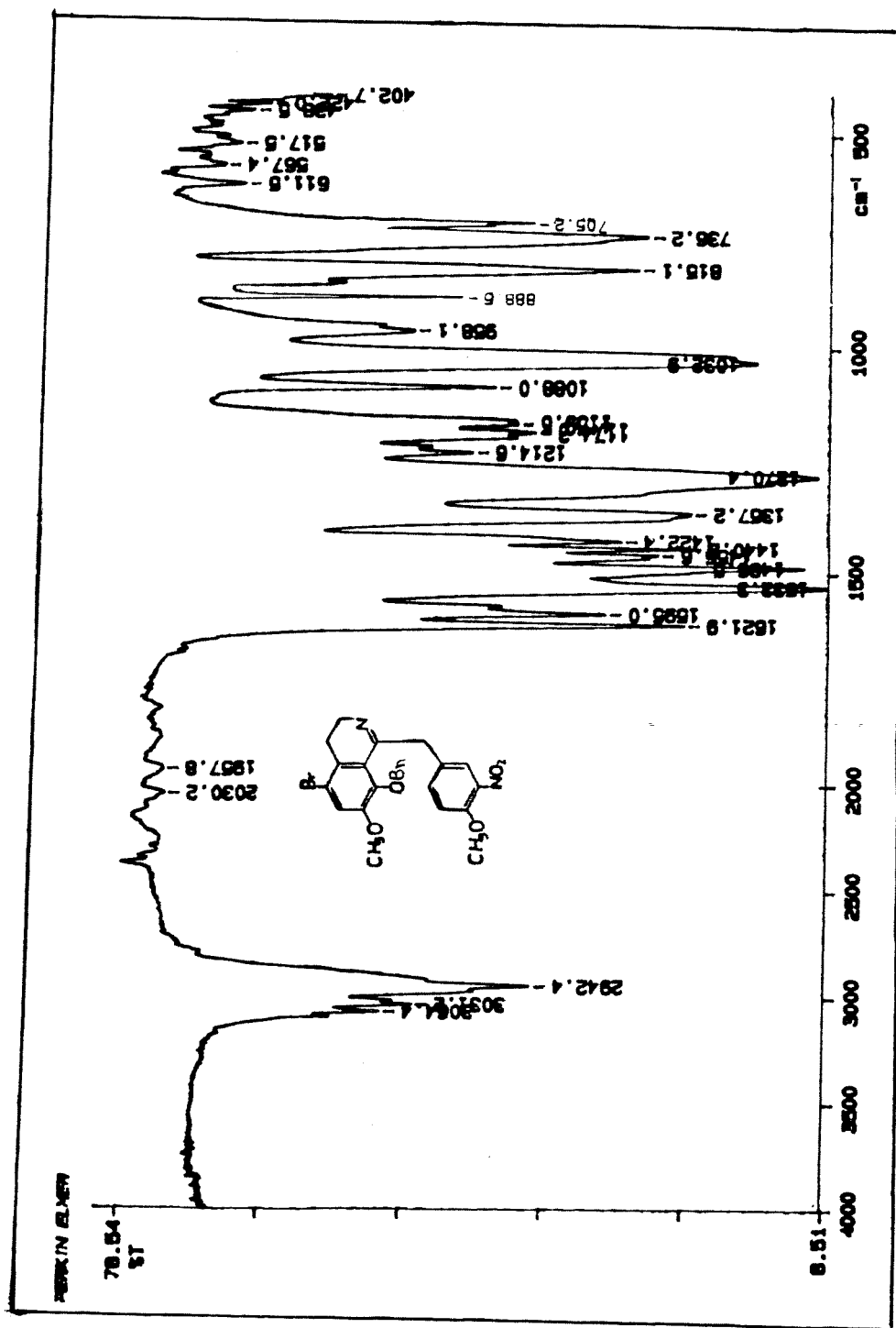
E-63 - RMN  $^{13}\text{C}$  ( $\text{CDCl}_3$ ) (ampliado) da  $(-)$ -didesidronorcularina 290



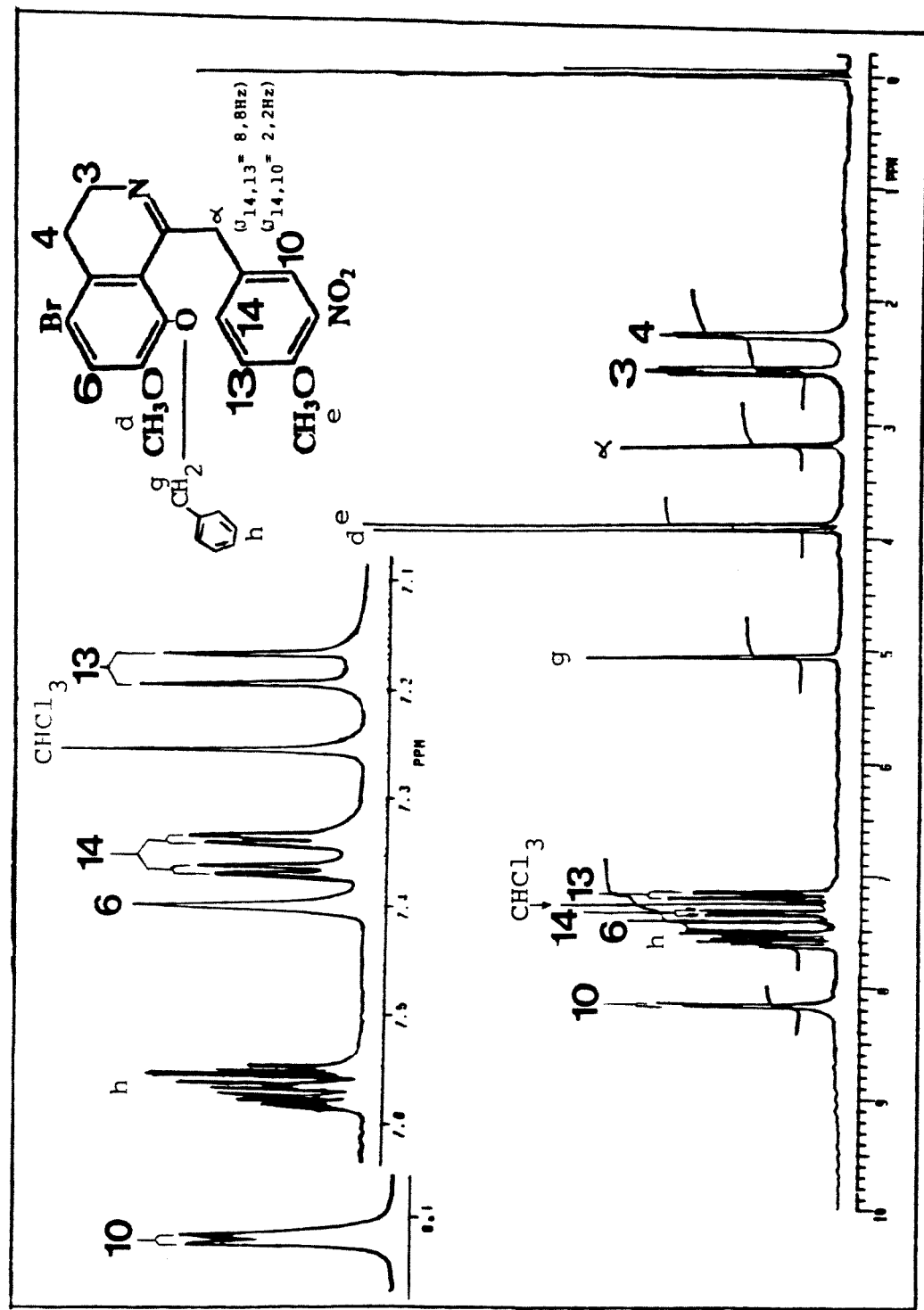
PIRAMIDA DOS RÍGOS (maiores ou iguais a 0.2%)

$m/z$	Int.Rel (%)										
29	1.1	63	1.1	44	1.1	45	1.1	106	1.2	107	1.1
59	1.1	113	1.5	146	1.2	158	1.6	159	12.2	160	1.1
79	1.4	188	1.7	189	1.5	190	5.4	223	2.5	224	5.5
99	2.4	224	65.7	295	1.6	309	2.8	310	100.0	311	6.4
119	1.7	325	35.9							324	1.1

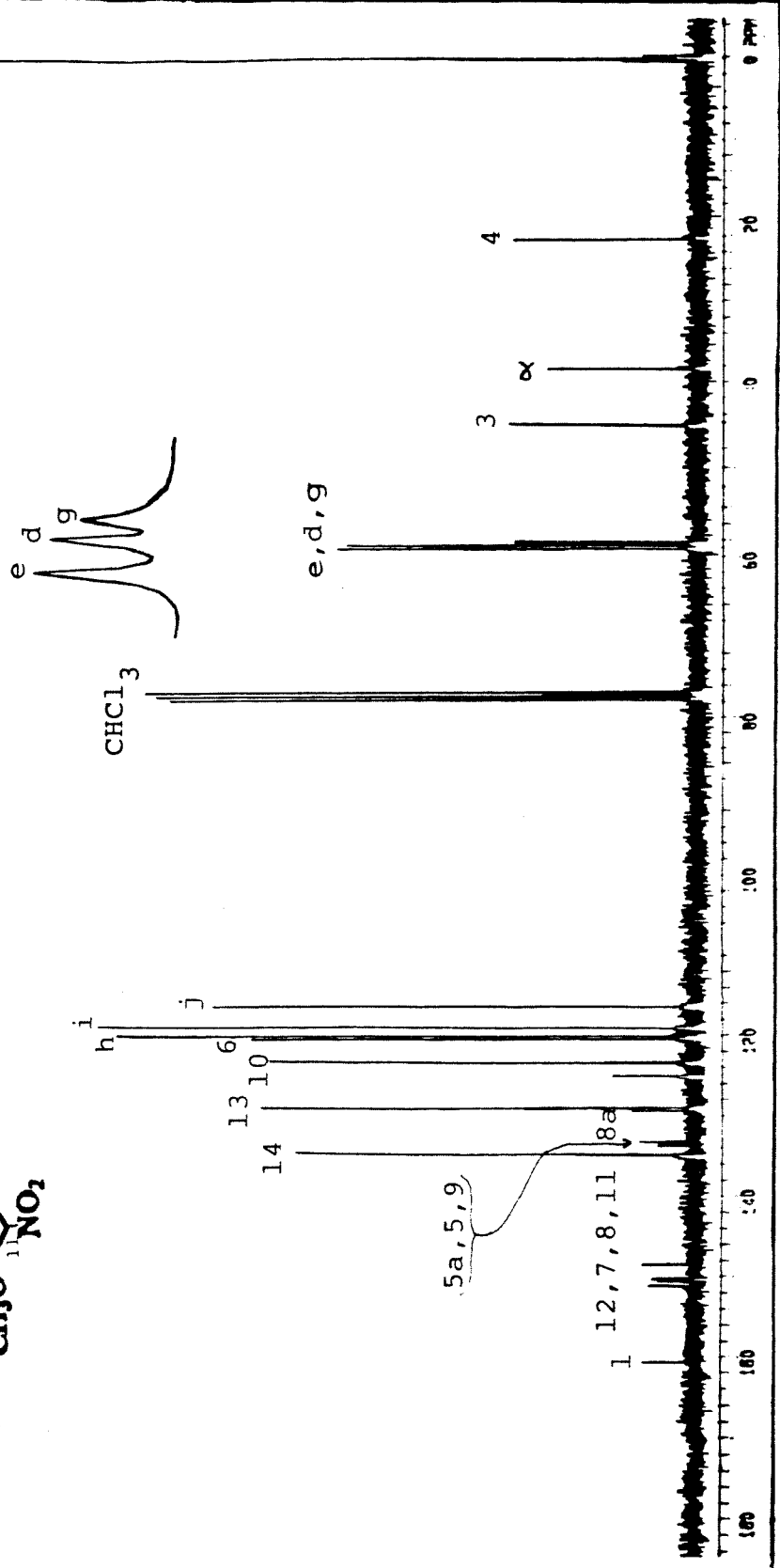
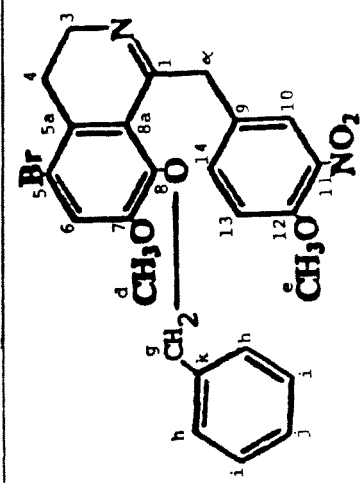
E-64 - EM (70eV) da  $(\pm)$ -didesidronorcularina 290

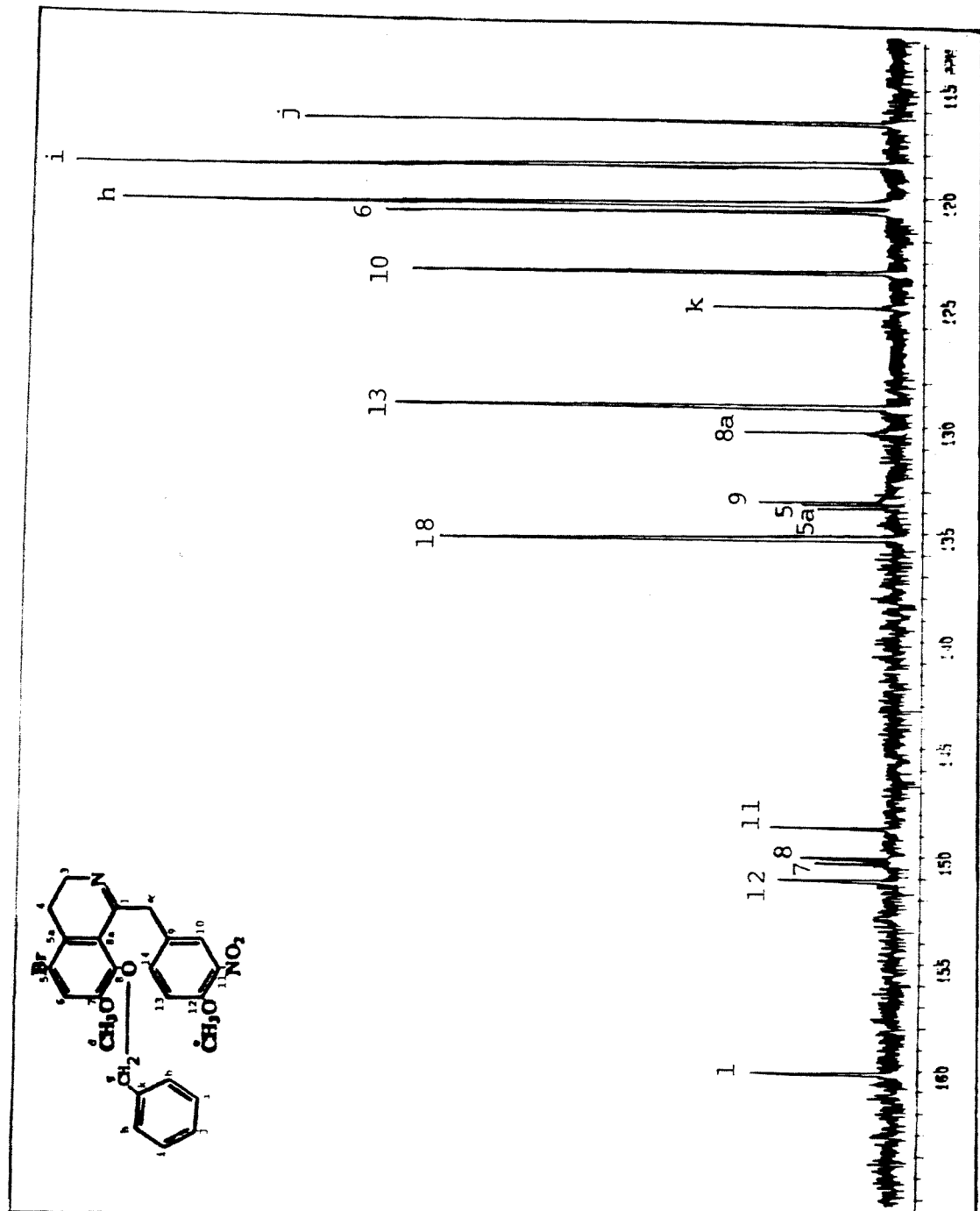


E-65 - IV(KBr) da 3,4-didroisoquinolina 278°C

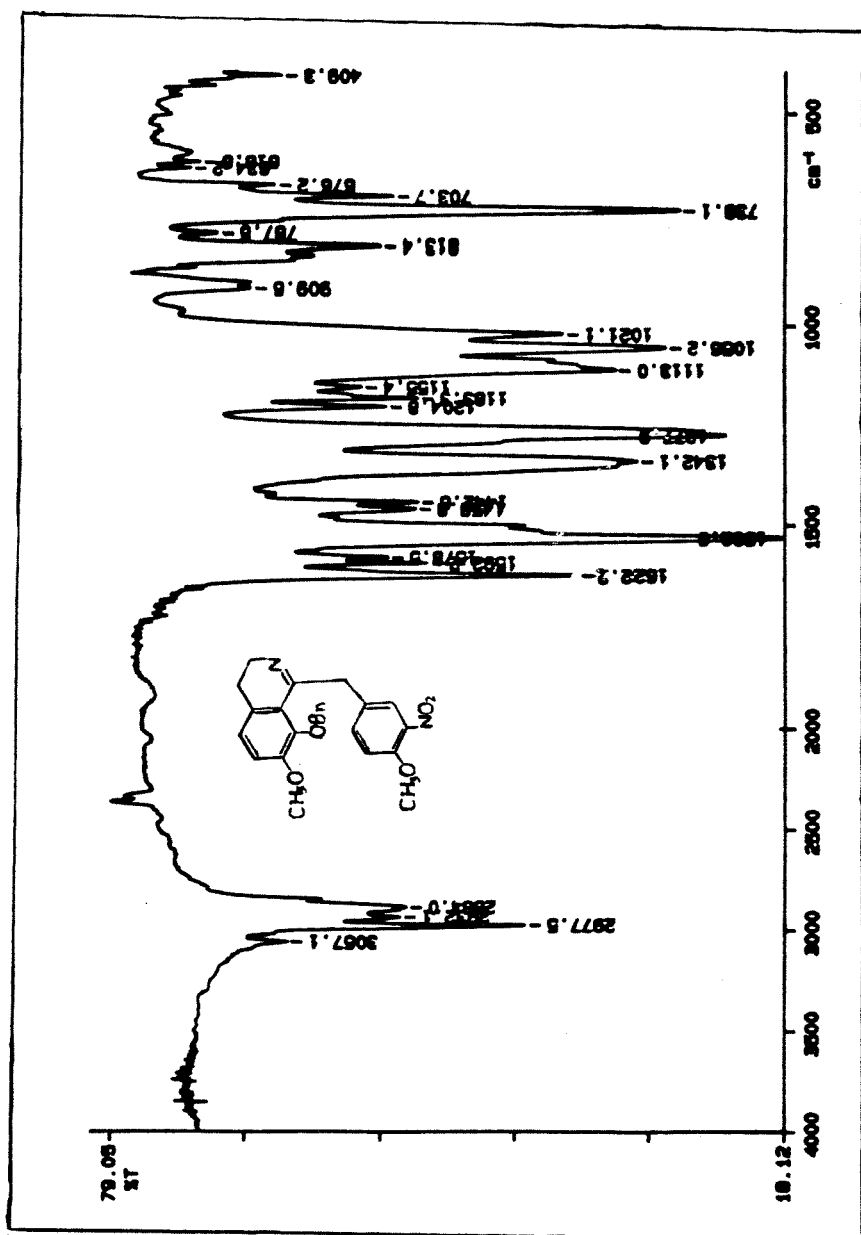


E-66 - RMN<sup>1</sup>H( $\text{CDCl}_3/\text{TMS}$ ) da 3,4-dihydroisoquinolina 278c

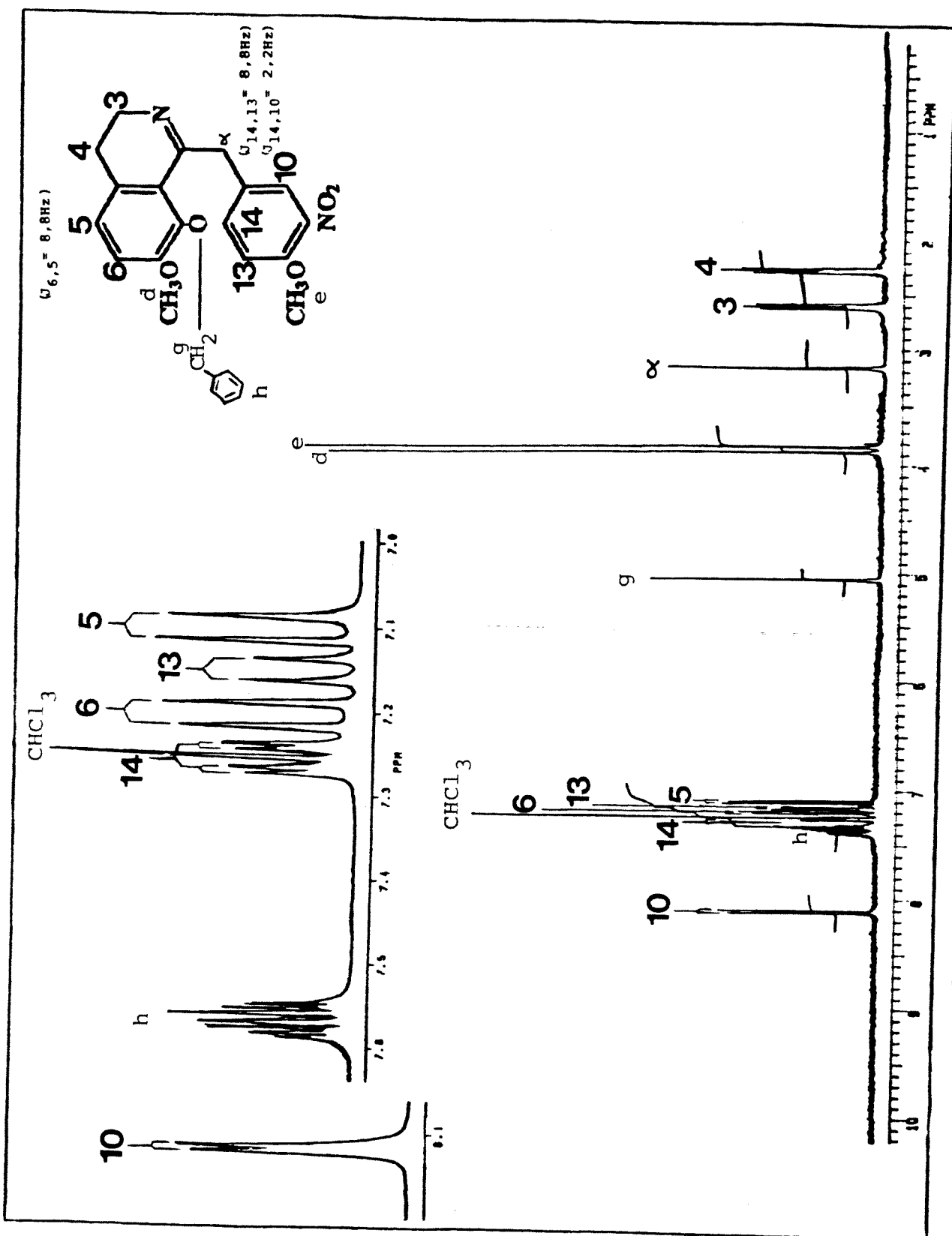




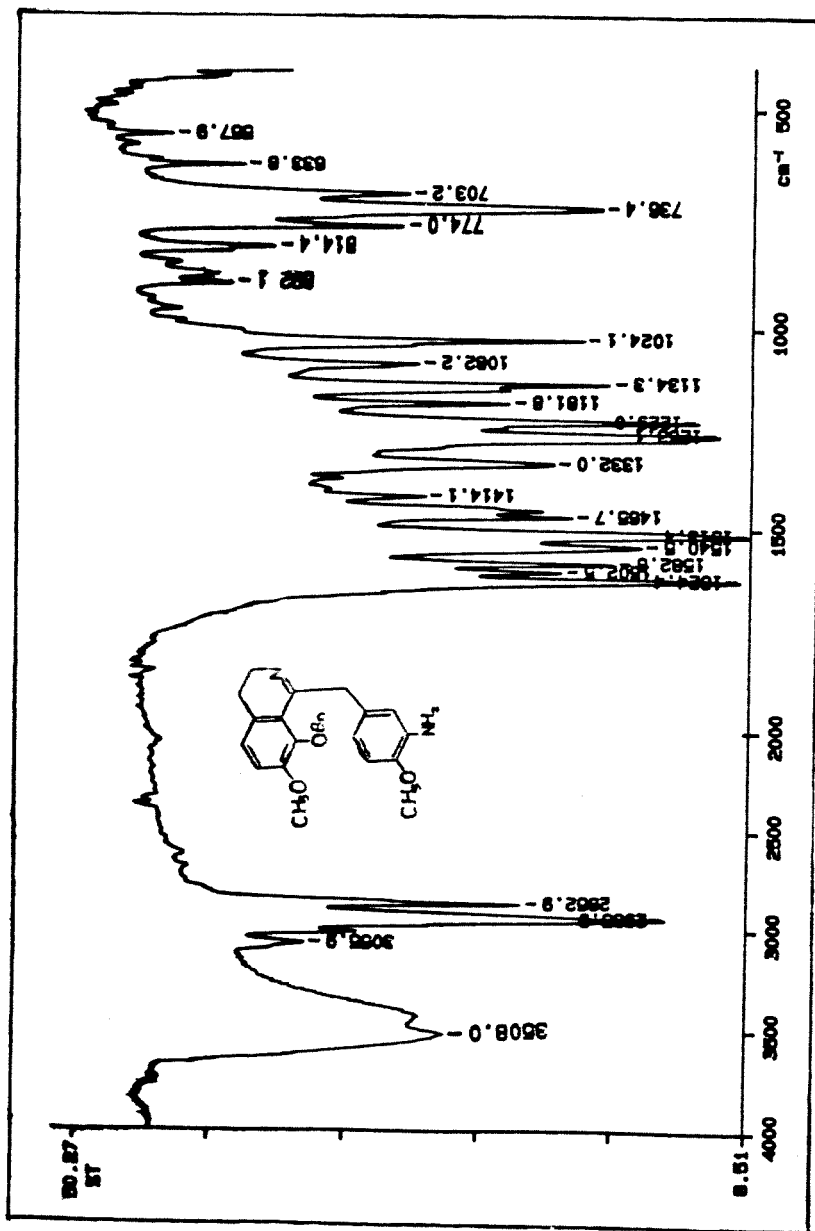
E-67 - RMN  $^{13}\text{C}$ ( $\text{CDCl}_3$ ) (ampliado) da 3,4-didroisoquinolina 278c



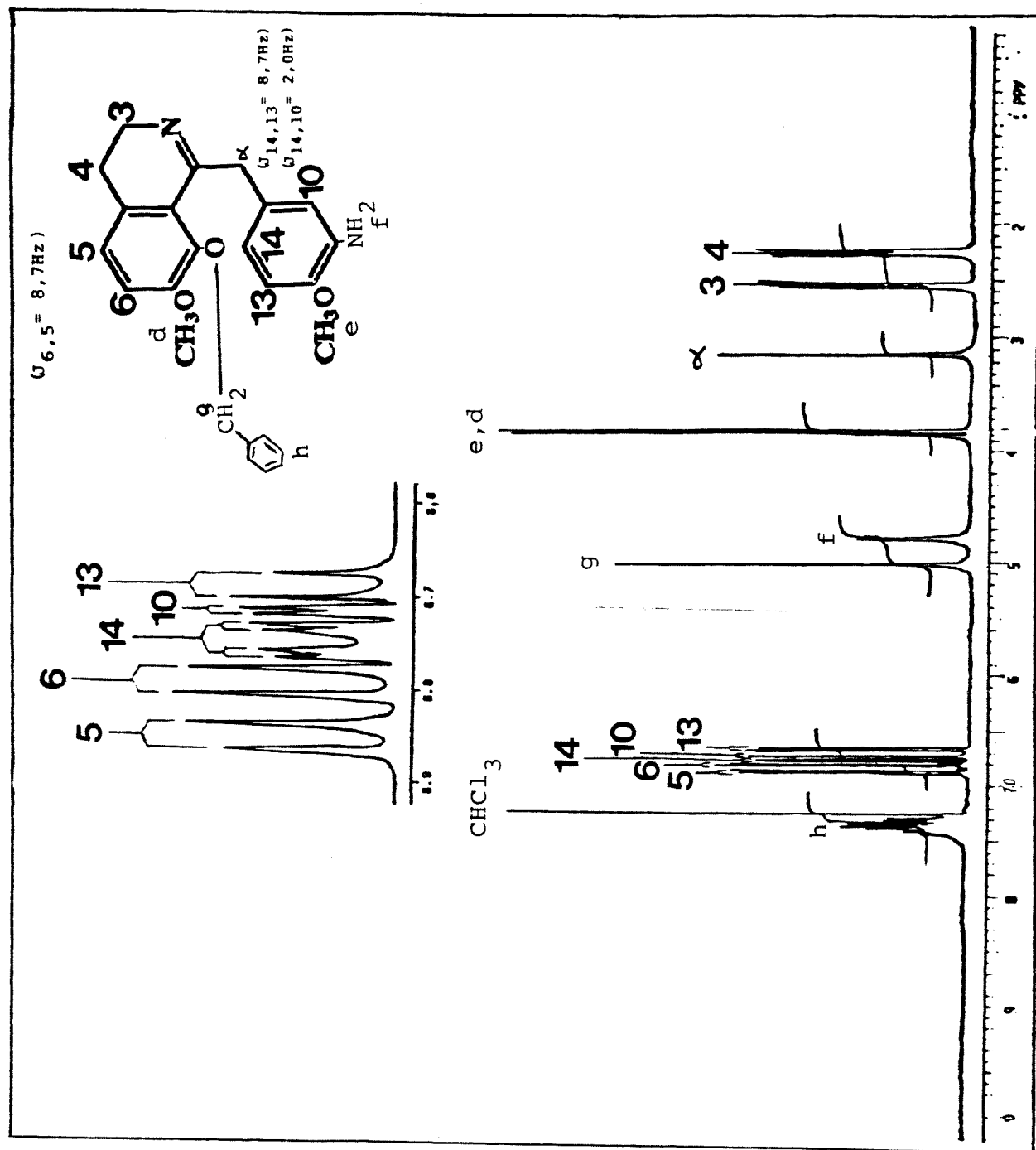
E-68 - IV (KBr) da 3,4-didroisoquinolina 292



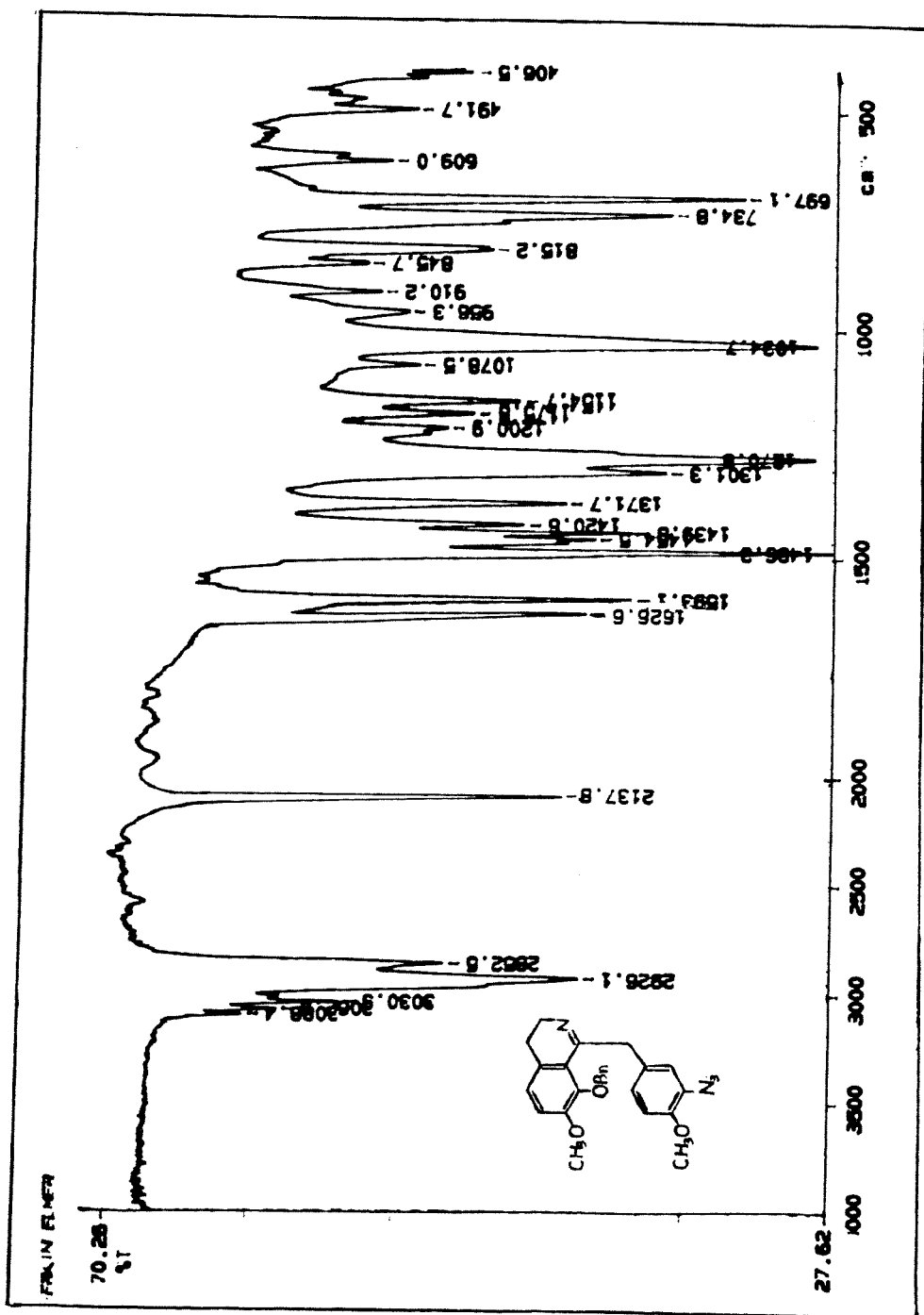
E-69 - RMN<sup>1</sup>H (CDCl<sub>3</sub>/TMS) da 3,4-diidroisoquinolina 292



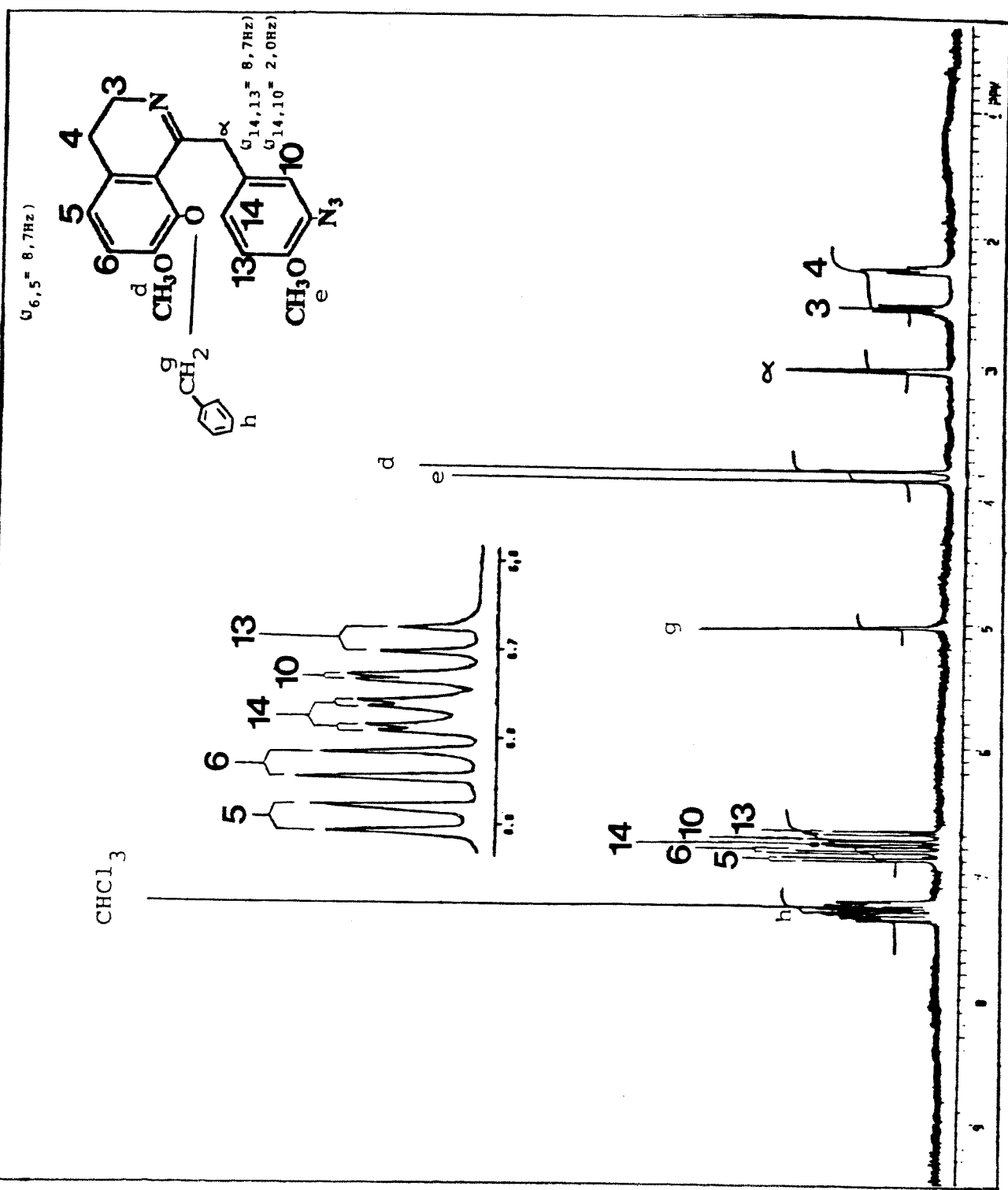
E-70 - IV(KBr) da 3,4-didroisoquinolina 293



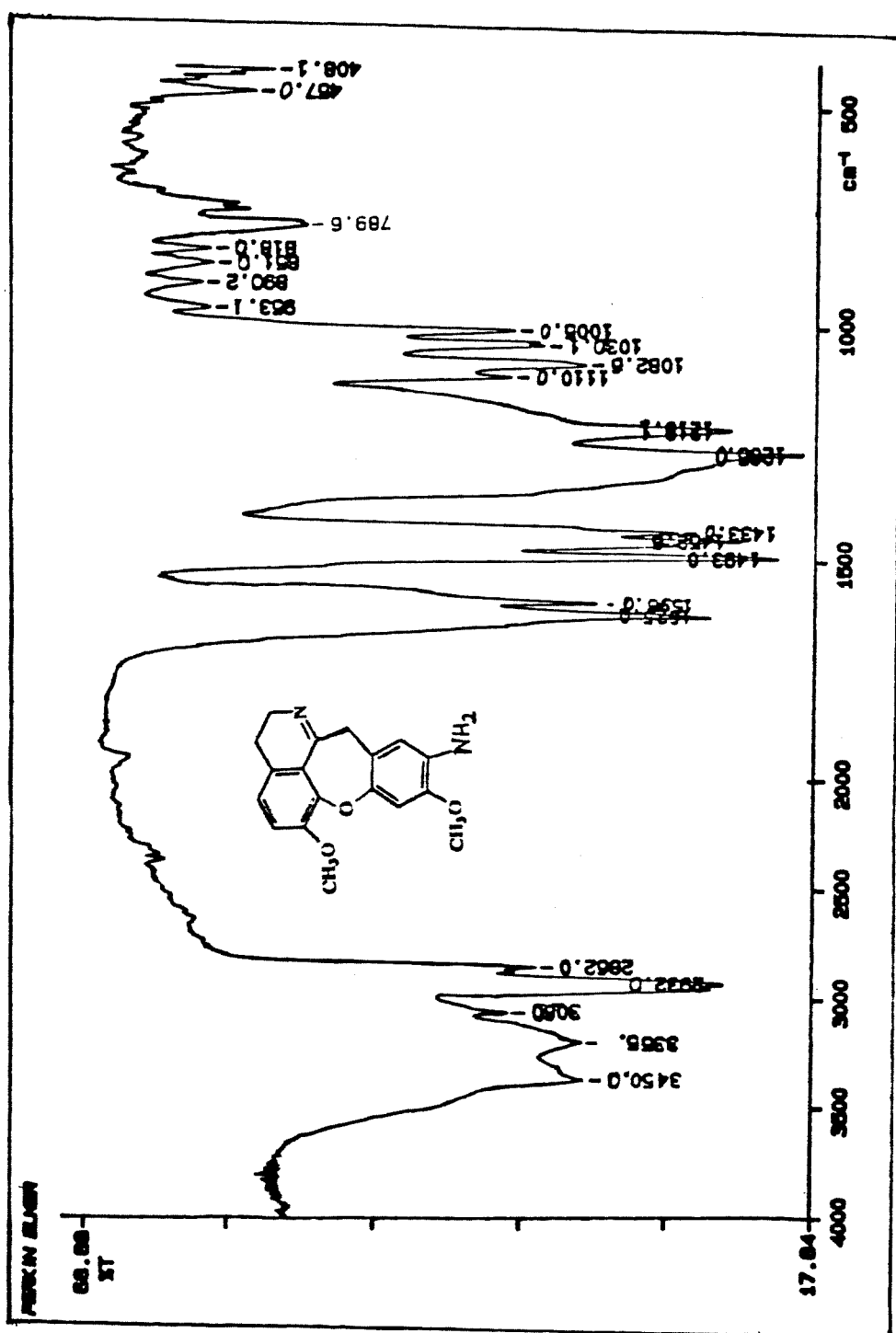
E-71 - RMN<sup>1</sup>H (CDCl<sub>3</sub>/TMS) da 3,4-dihydroisoquinolina 293



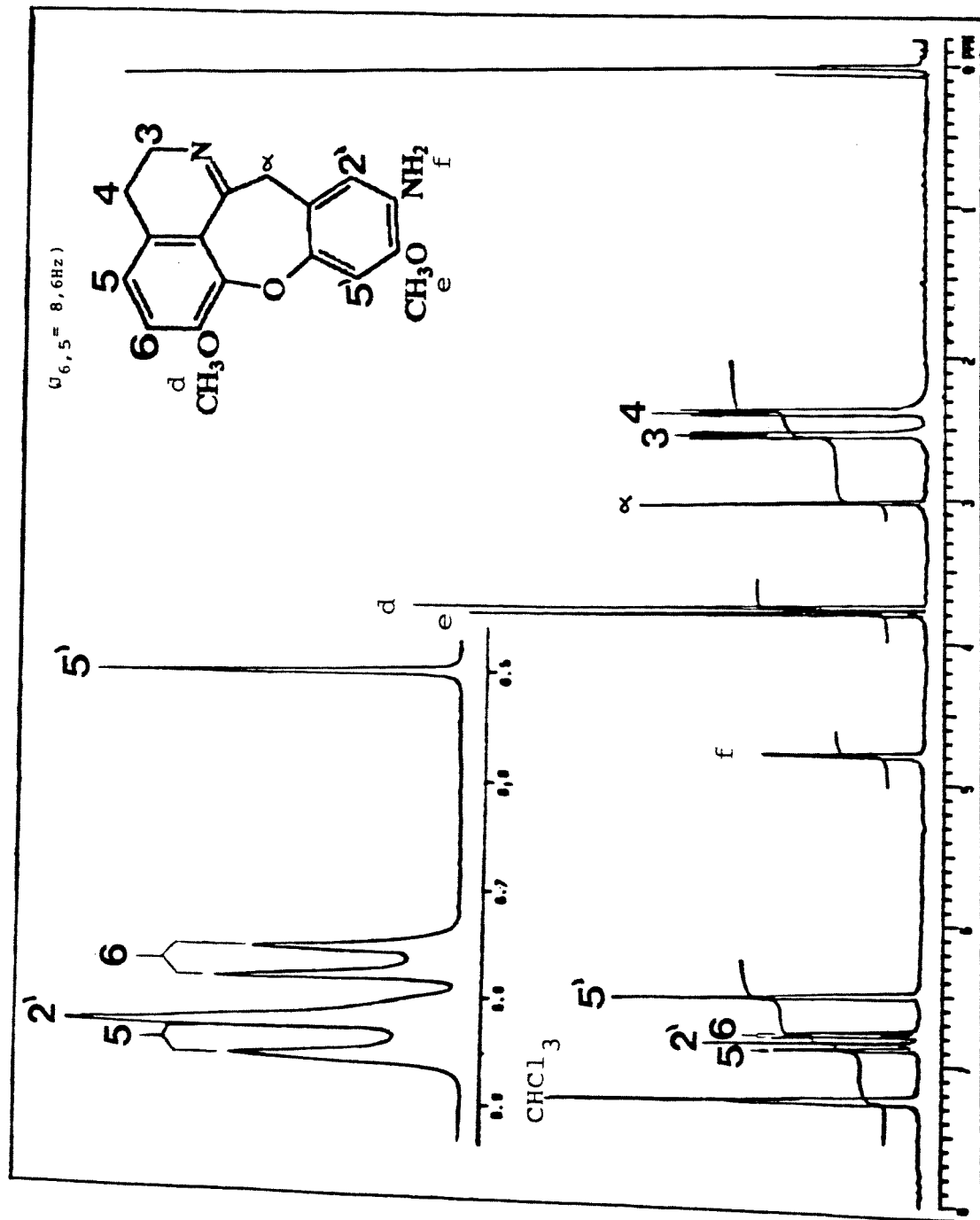
E-72 - IV(KBr) da 3,4-didroisoquinolina 294



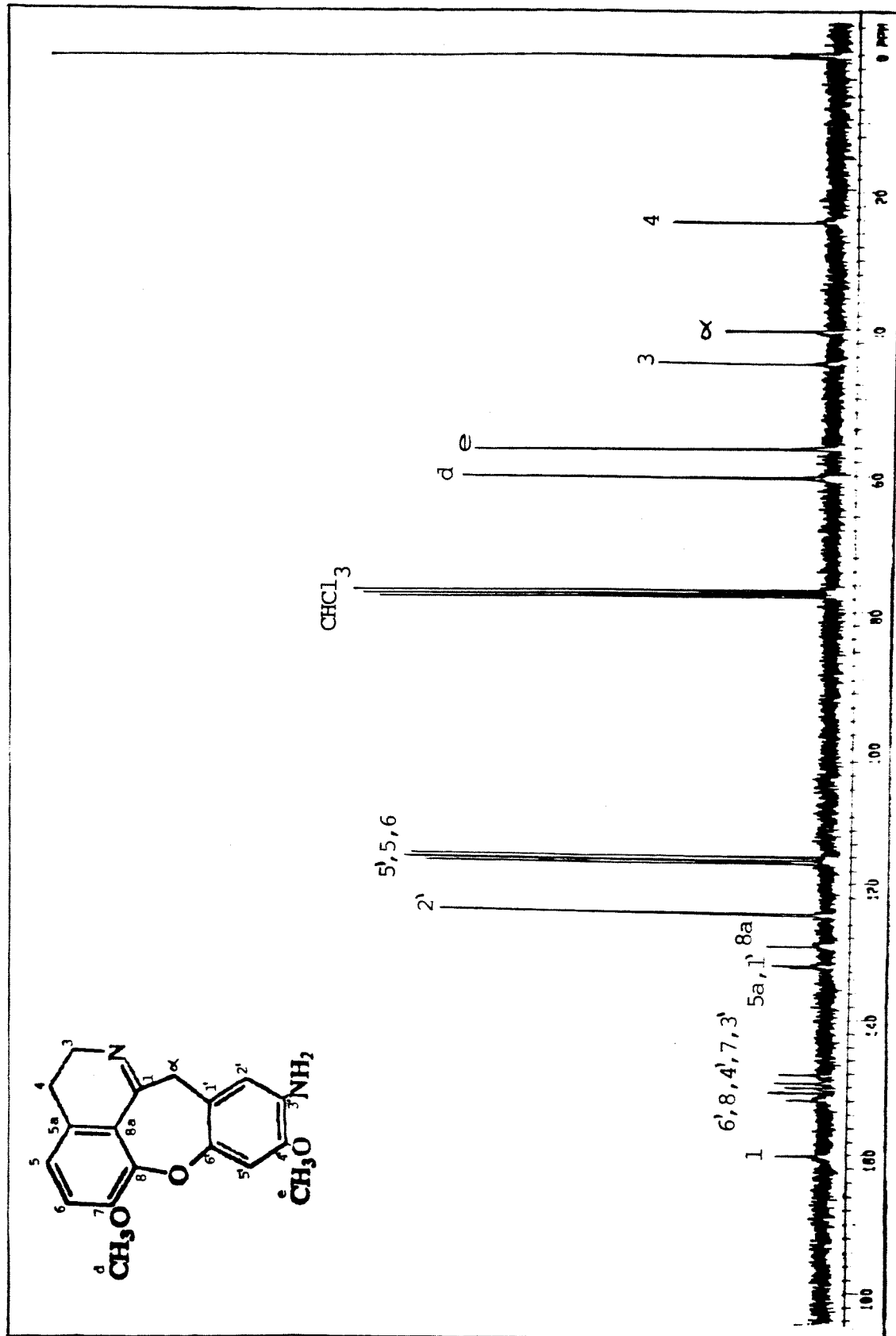
E-73 - RMN<sup>1</sup>H(CDCl<sub>3</sub>/TMS) da 3,4-dihydroisoquinolina 294



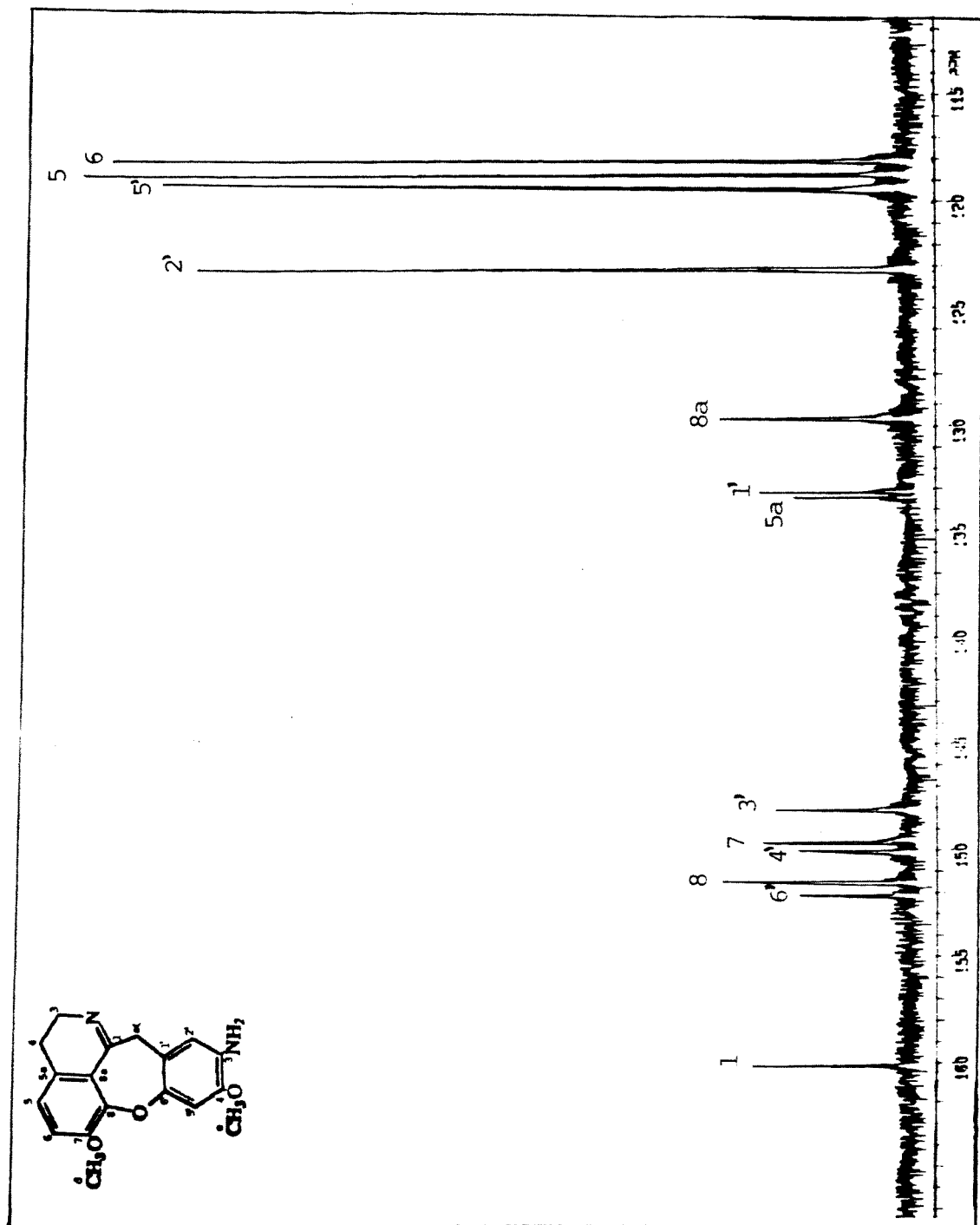
E-74 - IV(KBr) da ( $\text{---}^+$ ) $-7,4'$ -metoxi- $3'$ -amino-1-benzoxepina-3,4-didroisoquinolina 297



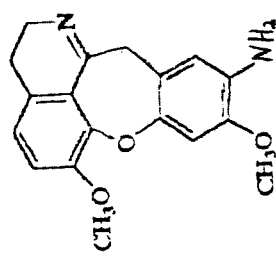
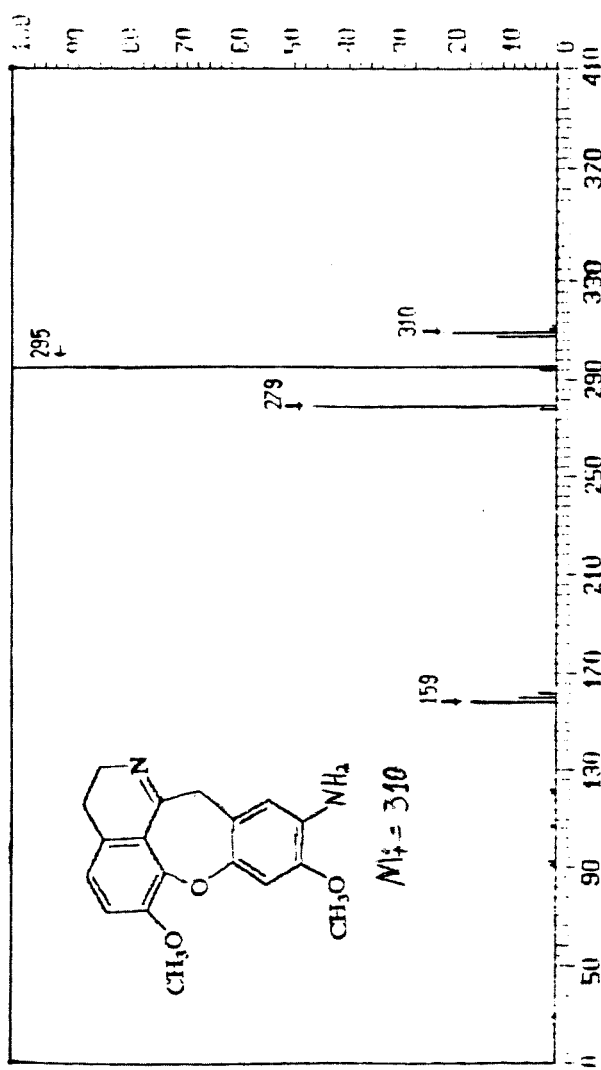
E-75 - RMN  $^1\text{H}$  ( $\text{CDCl}_3/\text{TMS}$ ) de  $(+)$ -297



E-76 - RMN  $^{13}\text{C}$ ( $\text{CDCl}_3$ ) de  $(\pm)$ -297



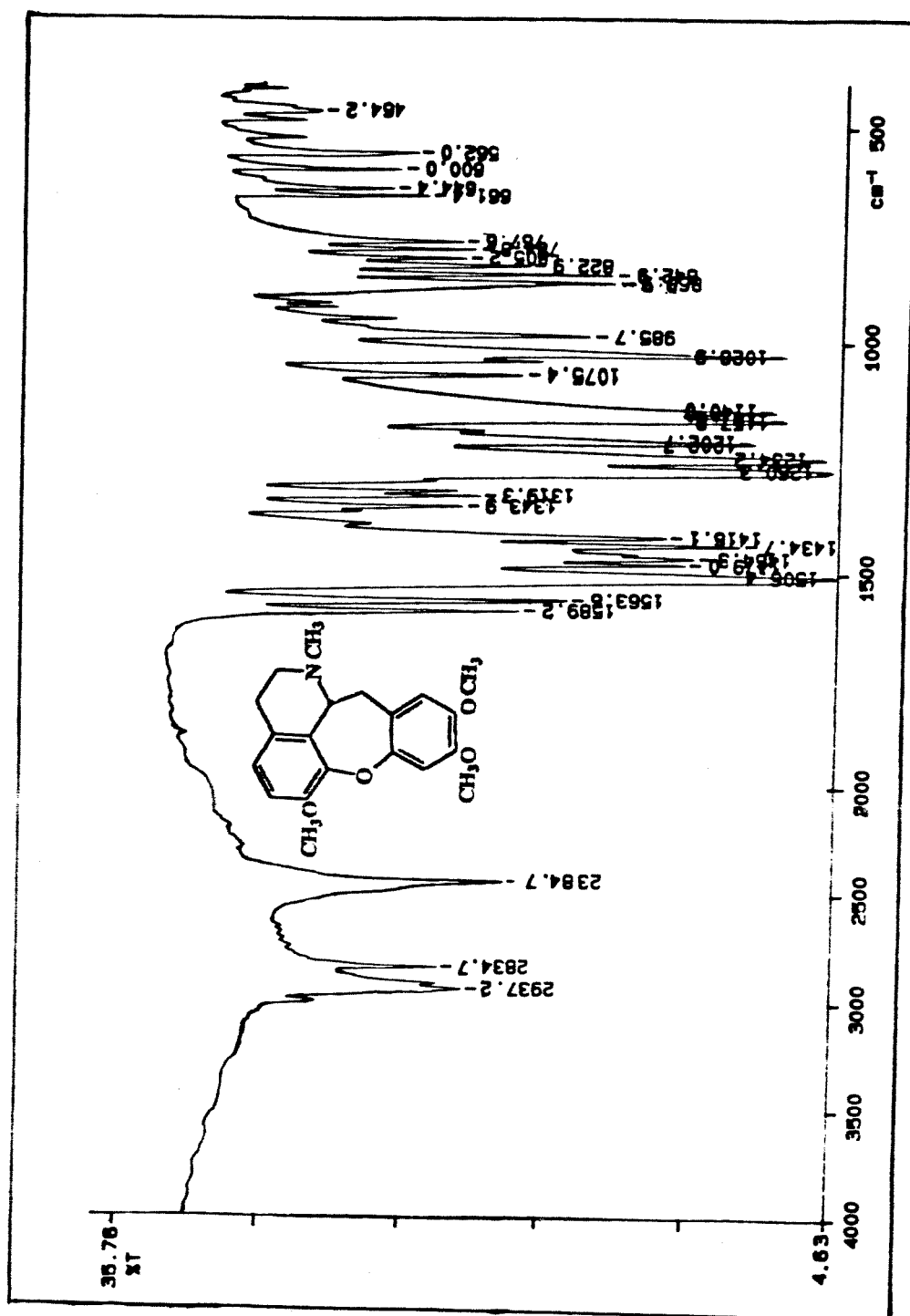
E-76 - RMN  $^{13}\text{C}$ ( $\text{CDCl}_3$ ) (ampliado) de  $(\pm)$ -297



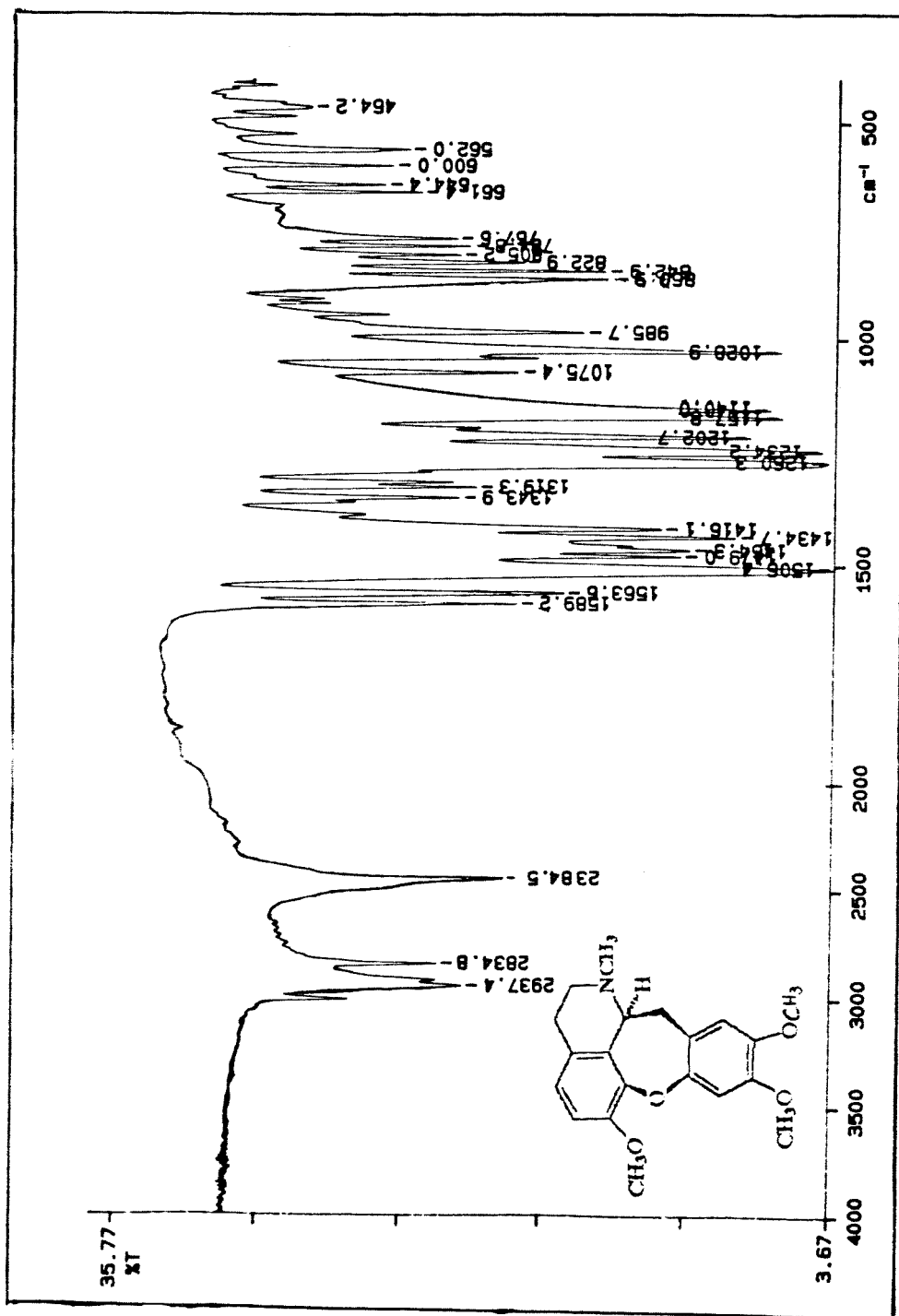
RELACAO DOS PICOS (maiores ou iguais a 0,2%)

$m/z$	Int.Rel (%)										
29	0.9	91	1.0	93	1.2	107	1.2	121	1.1	122	1.2
160	6.4	161	2.5	278	2.1	279	49.3	294	2.8	295	100.0
310	19.9	311	1.0	312	1.2					319	1.1

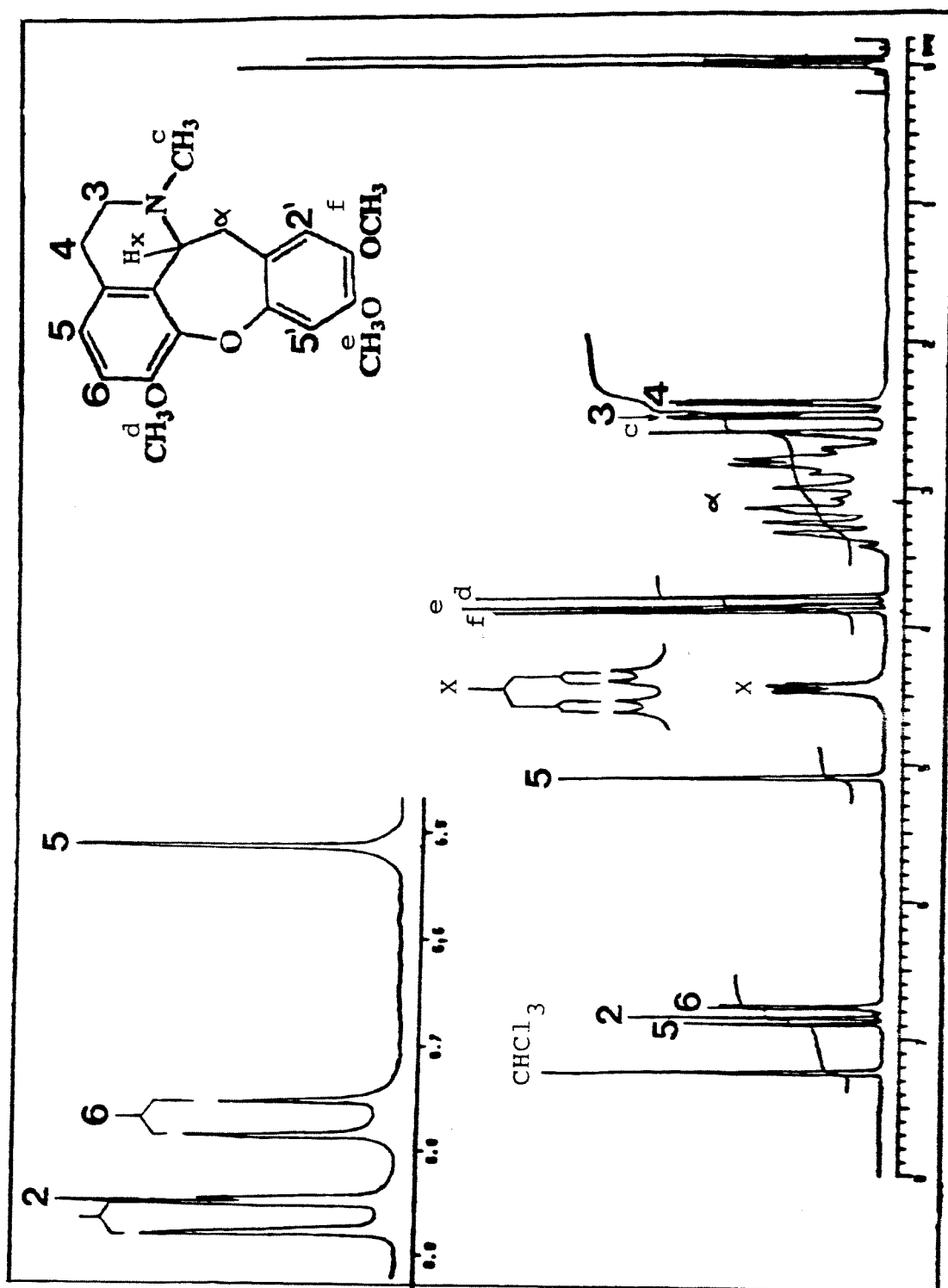
E-77 - EM(70eV) de  $(^+-29)$



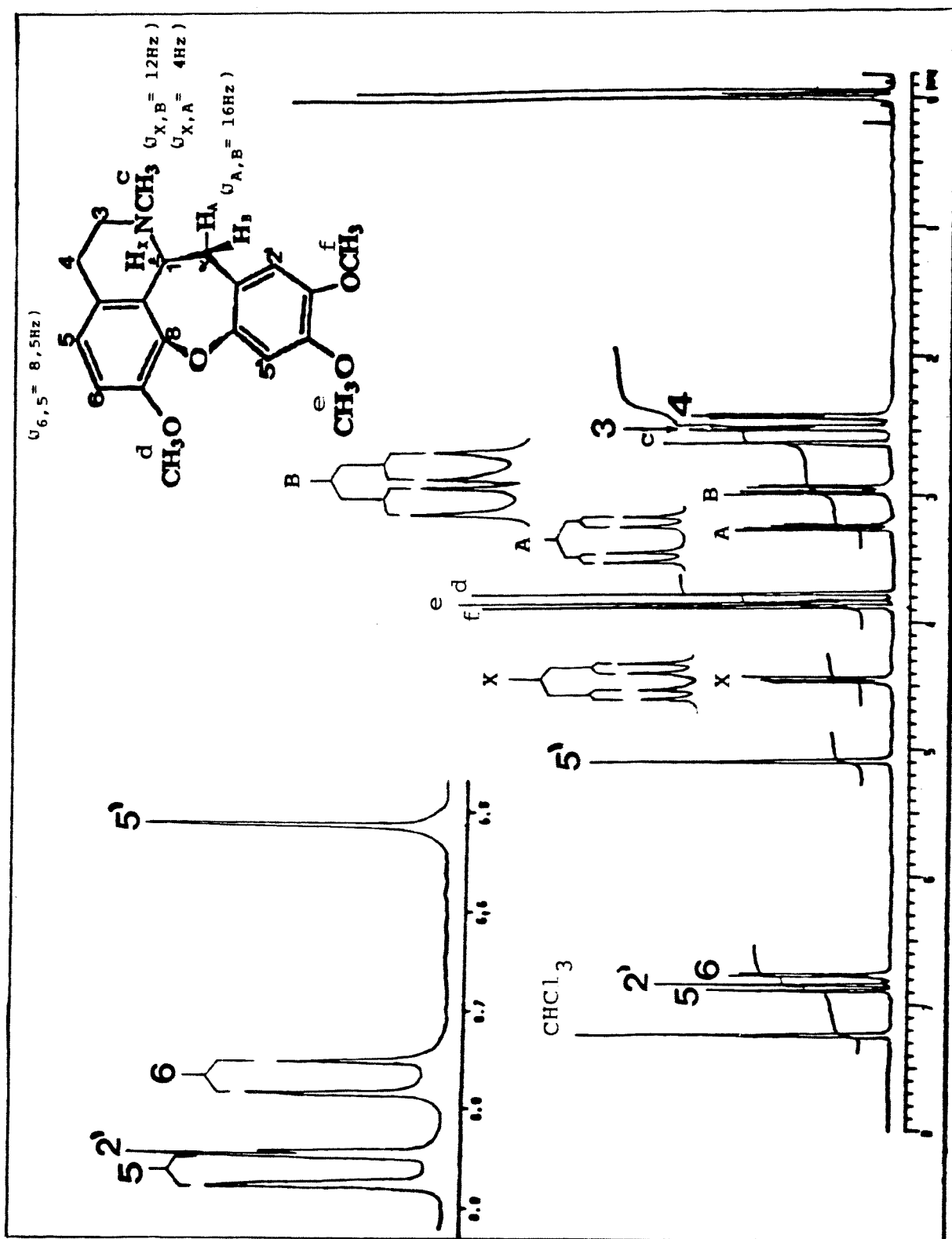
E-78a - IV(KBr) da (<sup>+</sup>)-cularicina 'la'



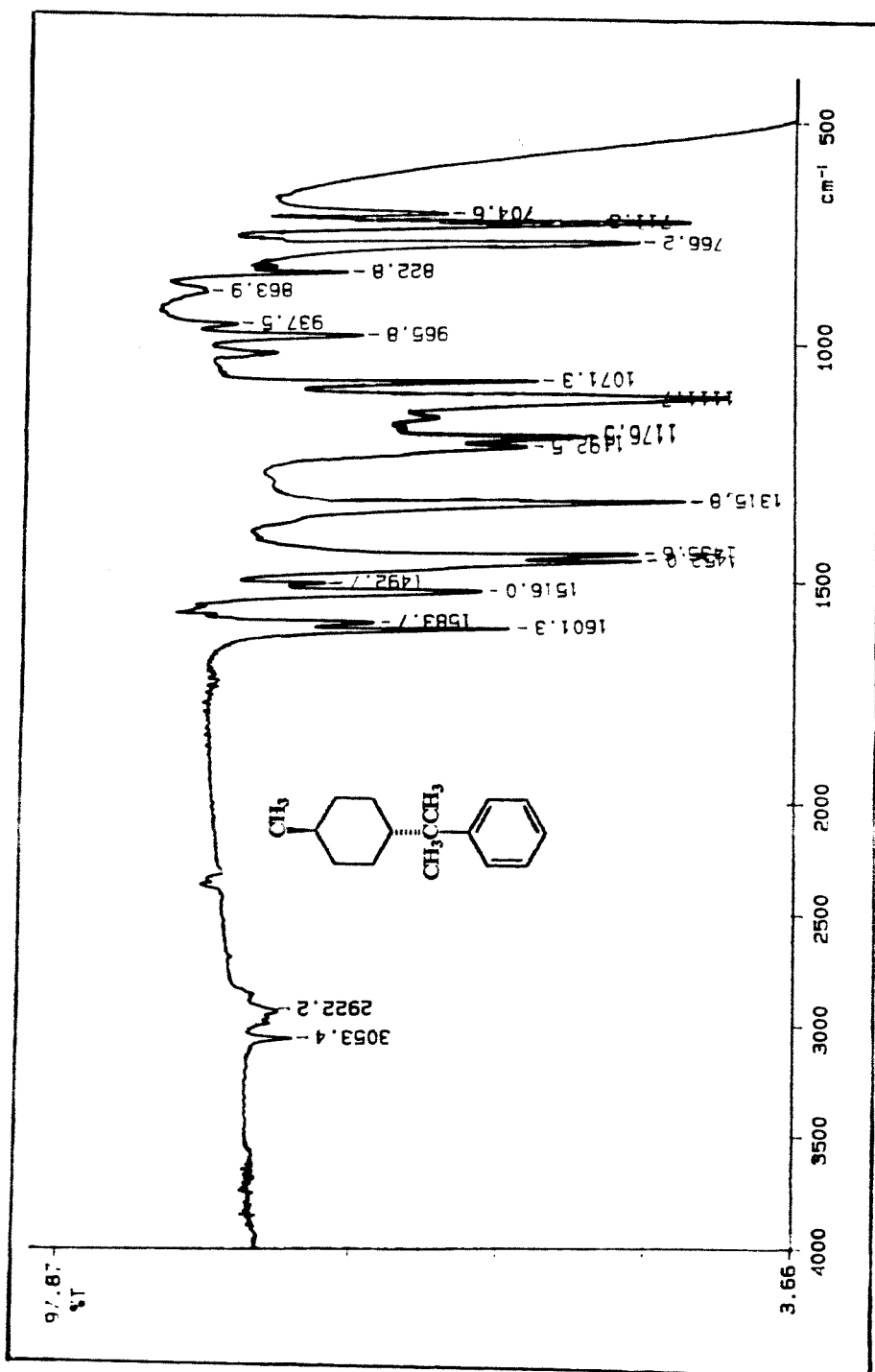
E-78b - IV(KBr) da (+)-cularicina 1a



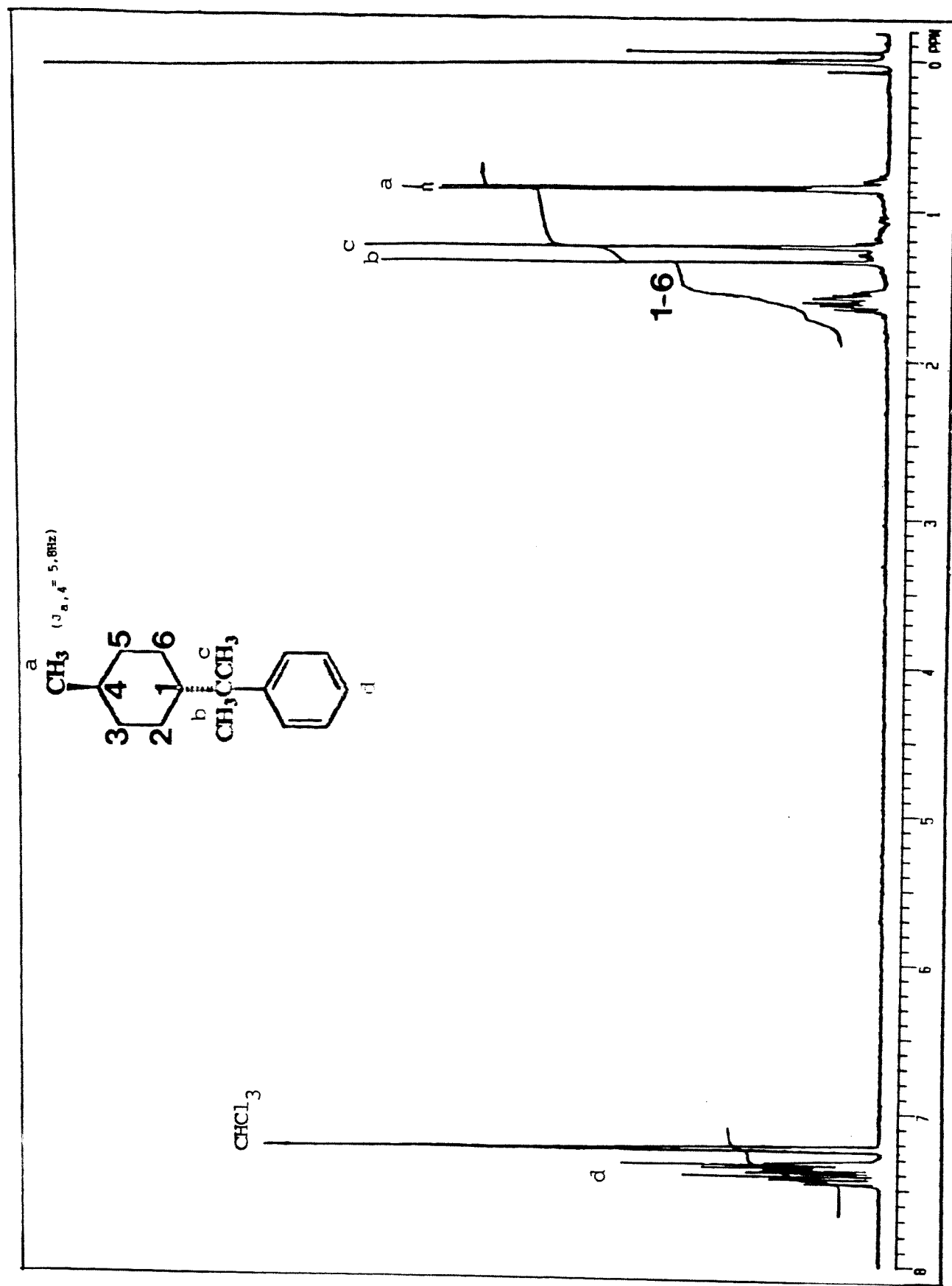
E-79a - RMN $^1\text{H}$ (CDCl<sub>3</sub>/TMS) da (-)-cularina  $\text{la}'$



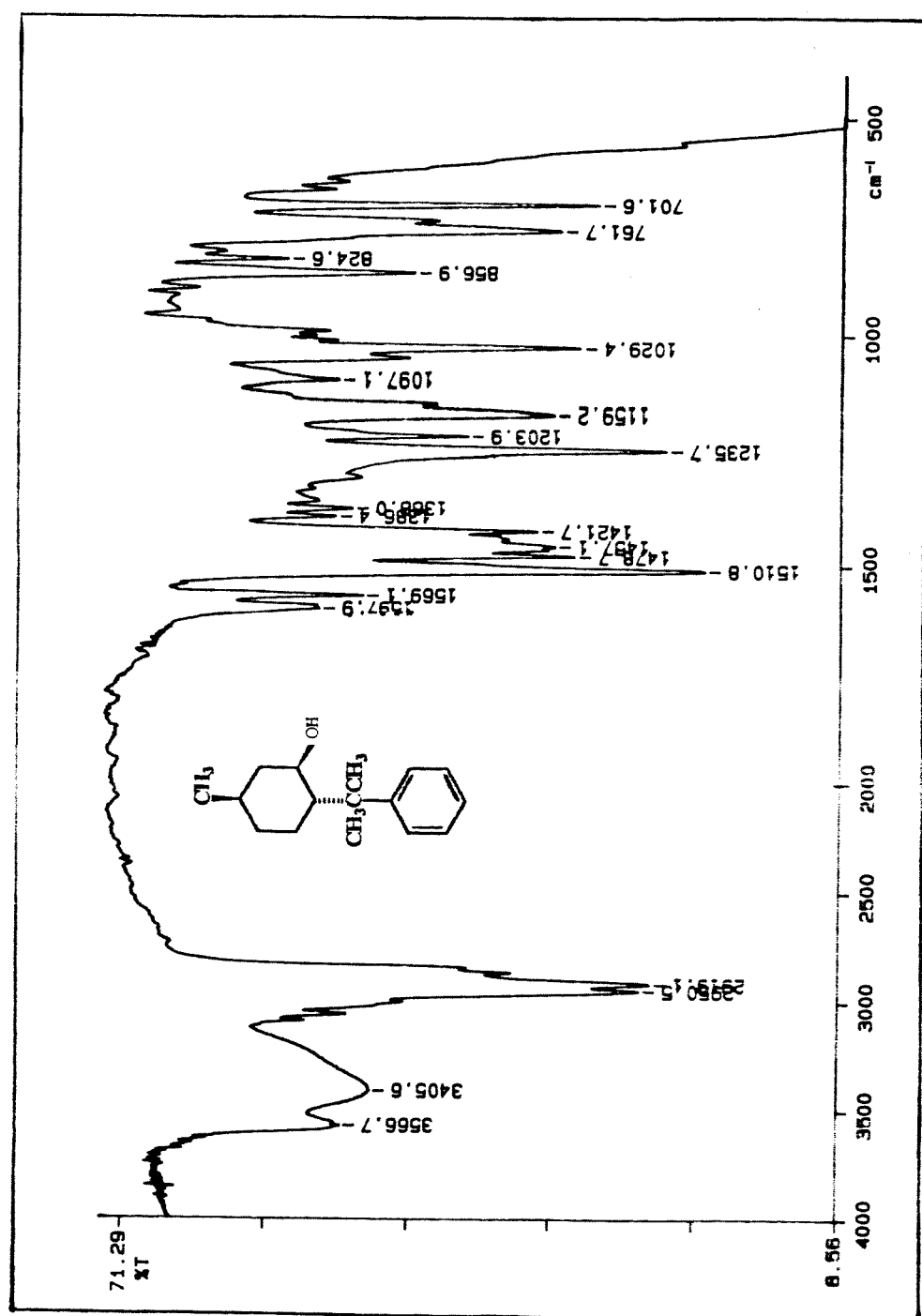
E-79b - RMN  $^1\text{H}$  ( $\text{CDCl}_3/\text{TMS}$ ) da (+)-culinarina 1a



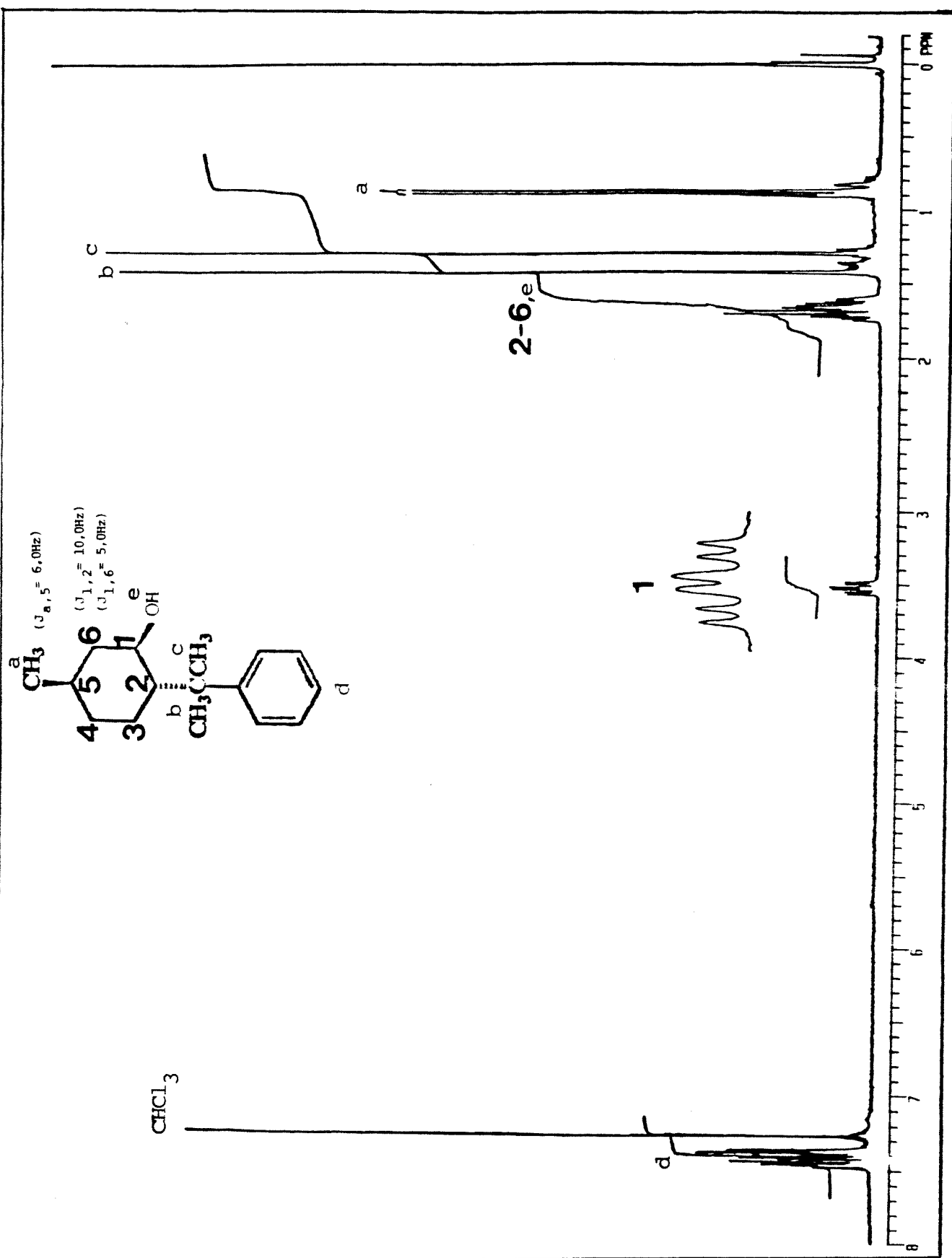
E-80 - IV(filme) da (+)-8-fenilmentilia 303



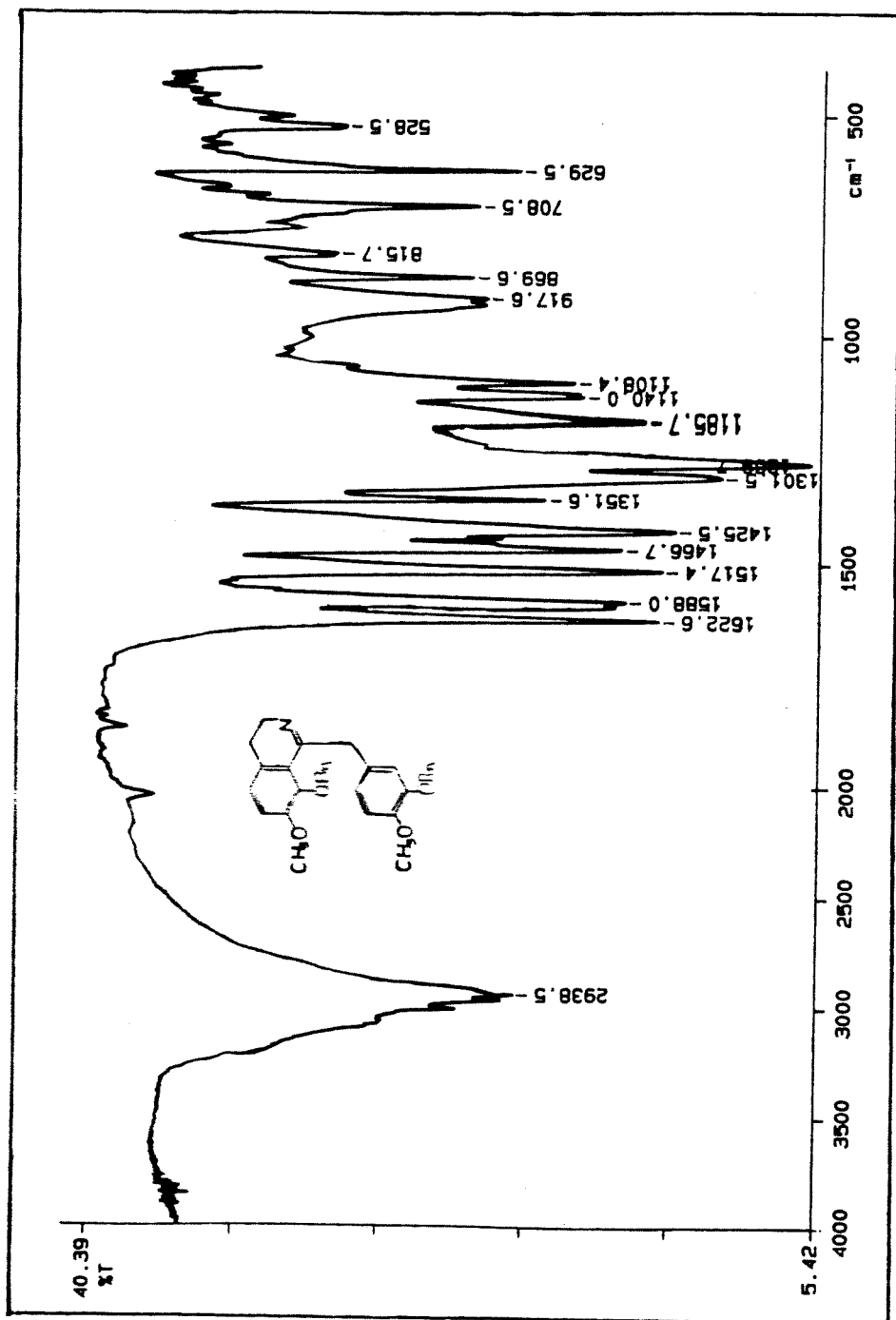
E-81 - RMN $^1\text{H}$ ( $\text{CDCl}_3/\text{TMS}$ ) da (+)-8-fenilmentila 303



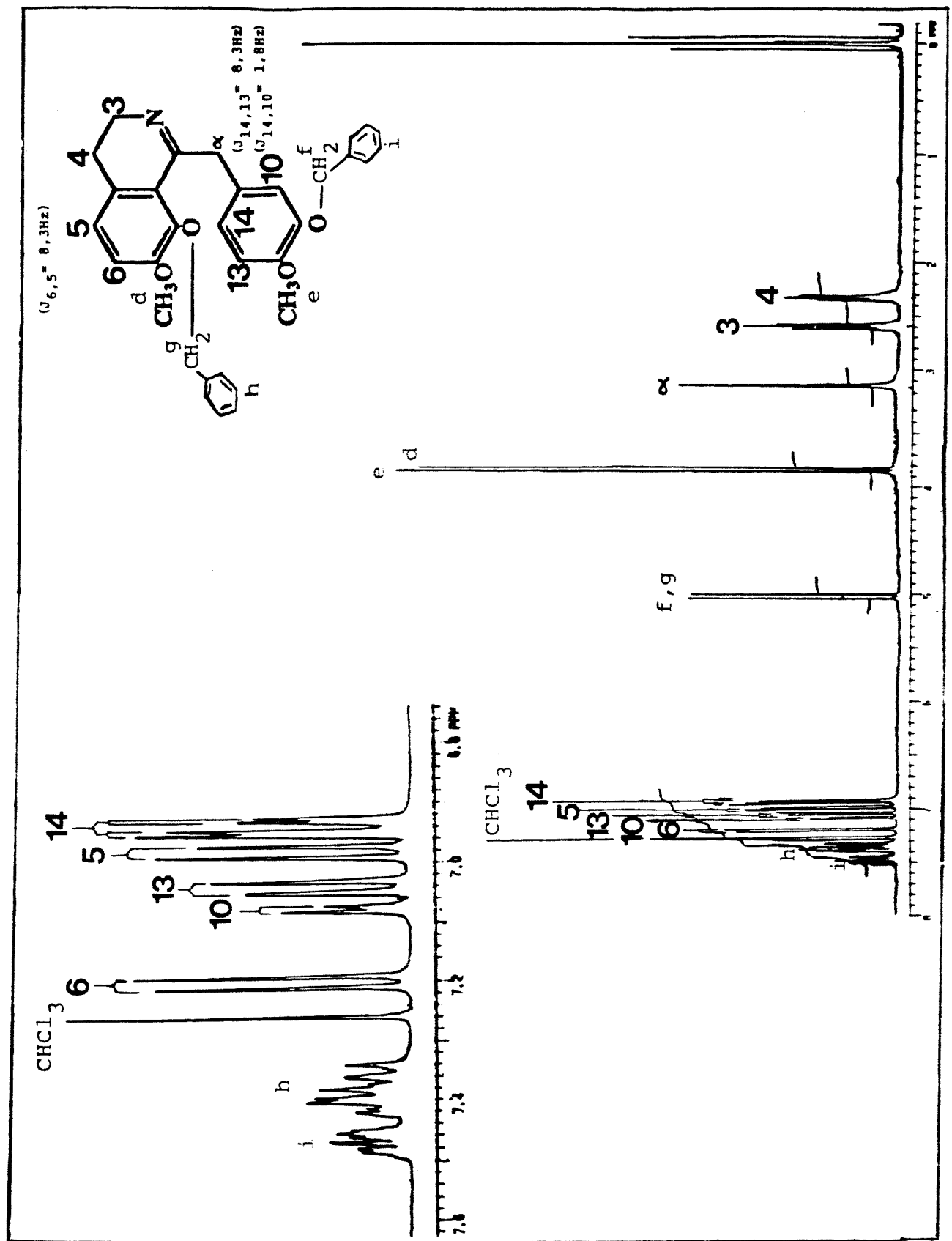
E-82 - IV(filme) do (+)-8-fenilmentol 304



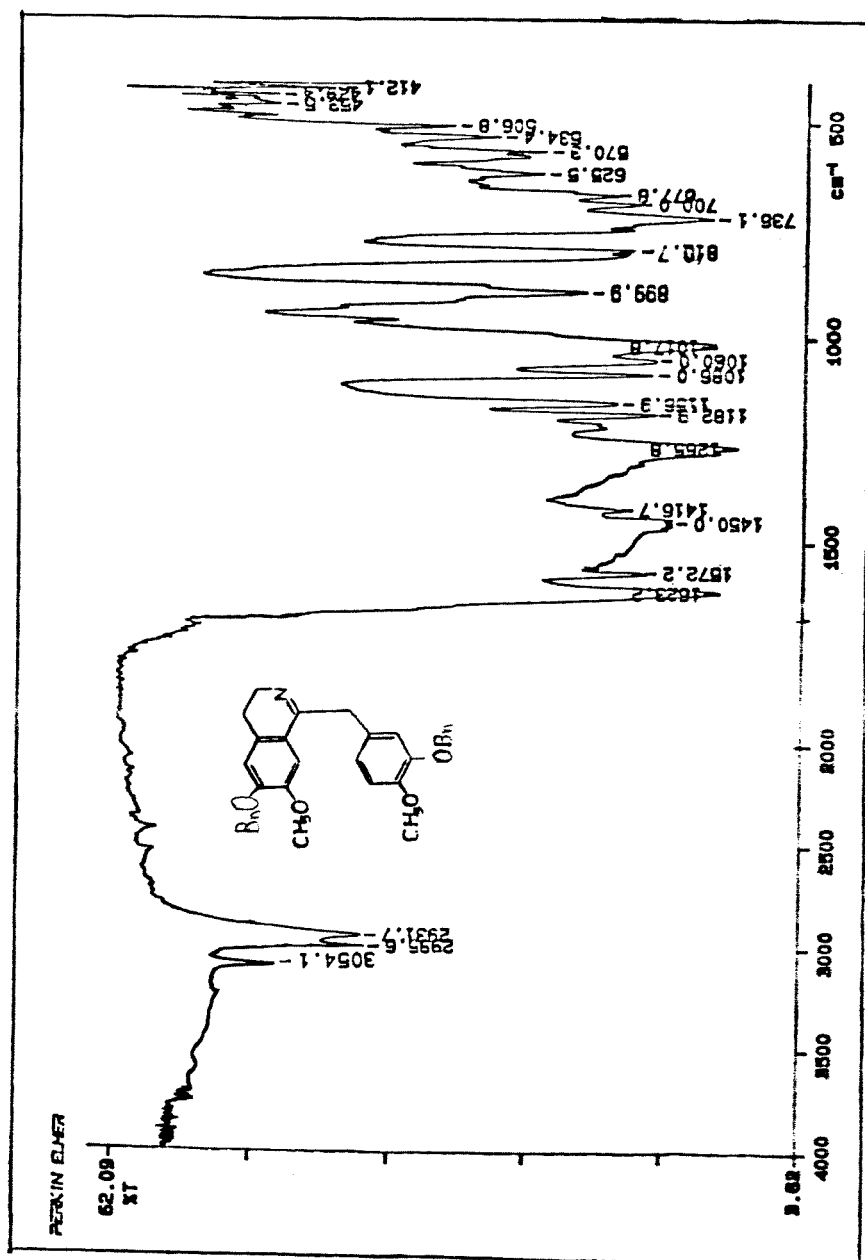
E-83 - RMN  $^1\text{H}$  ( $\text{CDCl}_3$ /TMS) do  $(+)$ -8-fenilmentol 304



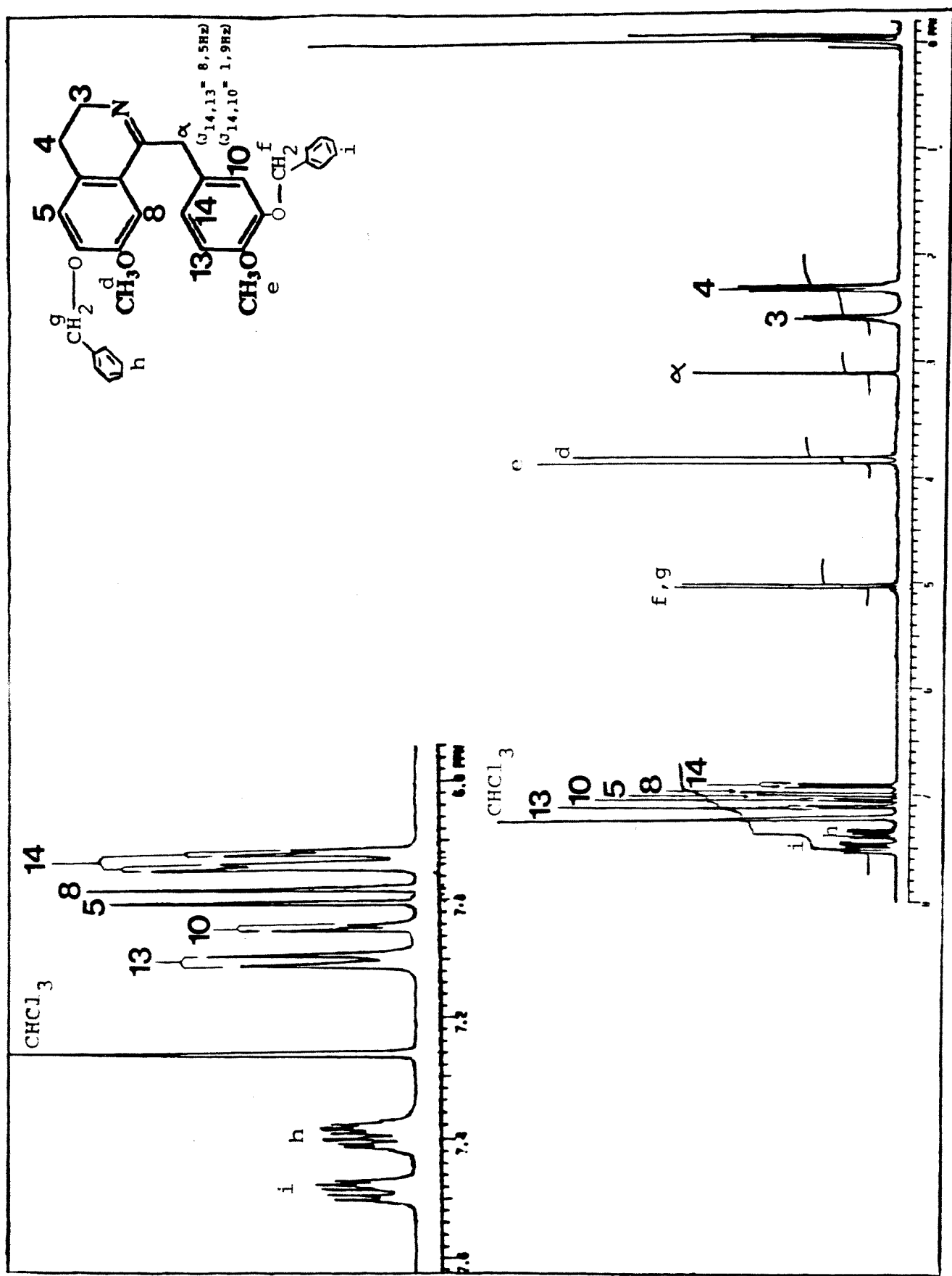
E-84 - IV(KBr) da 3,4-dihydroisoquinolina 278d



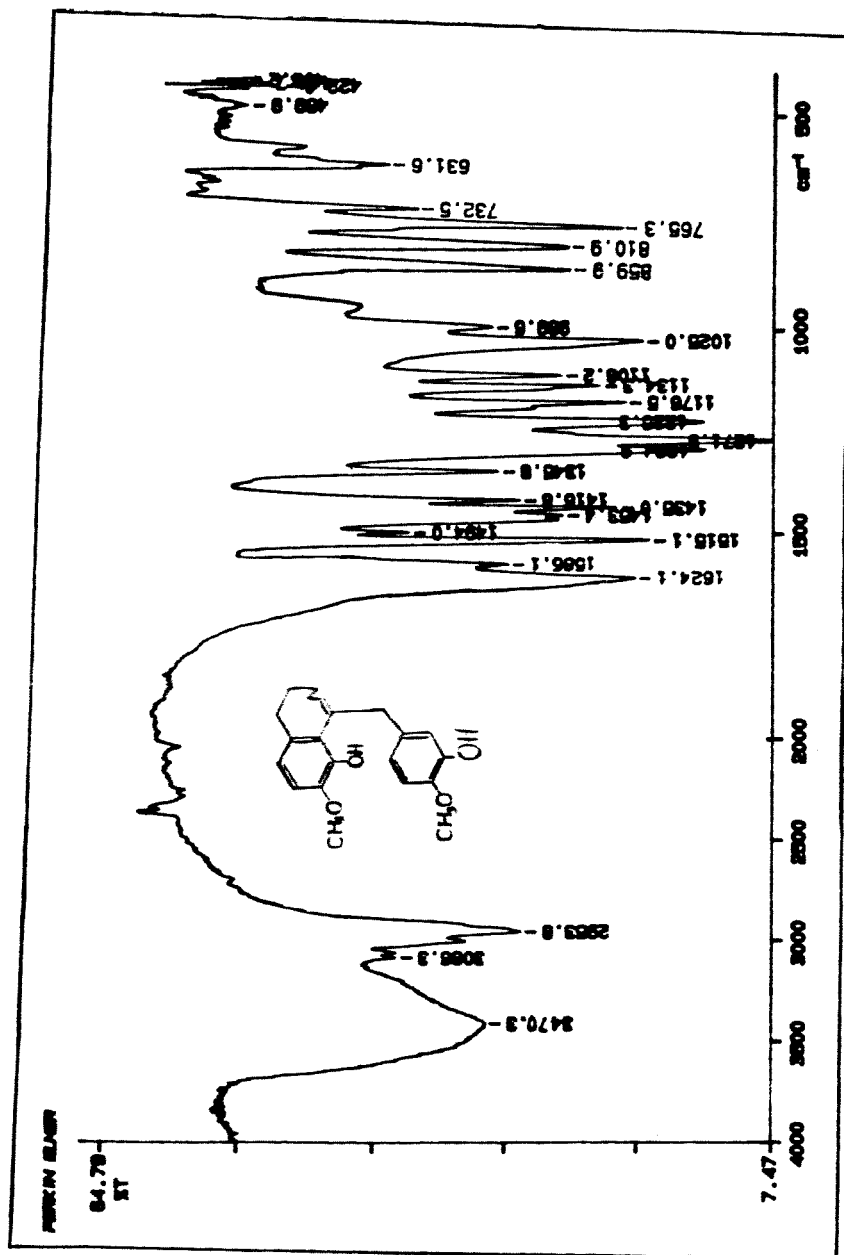
E-85 - RMN<sup>1</sup>H(CDCl<sub>3</sub>/TMS) da 3,4-diidroisoquinolina 278d



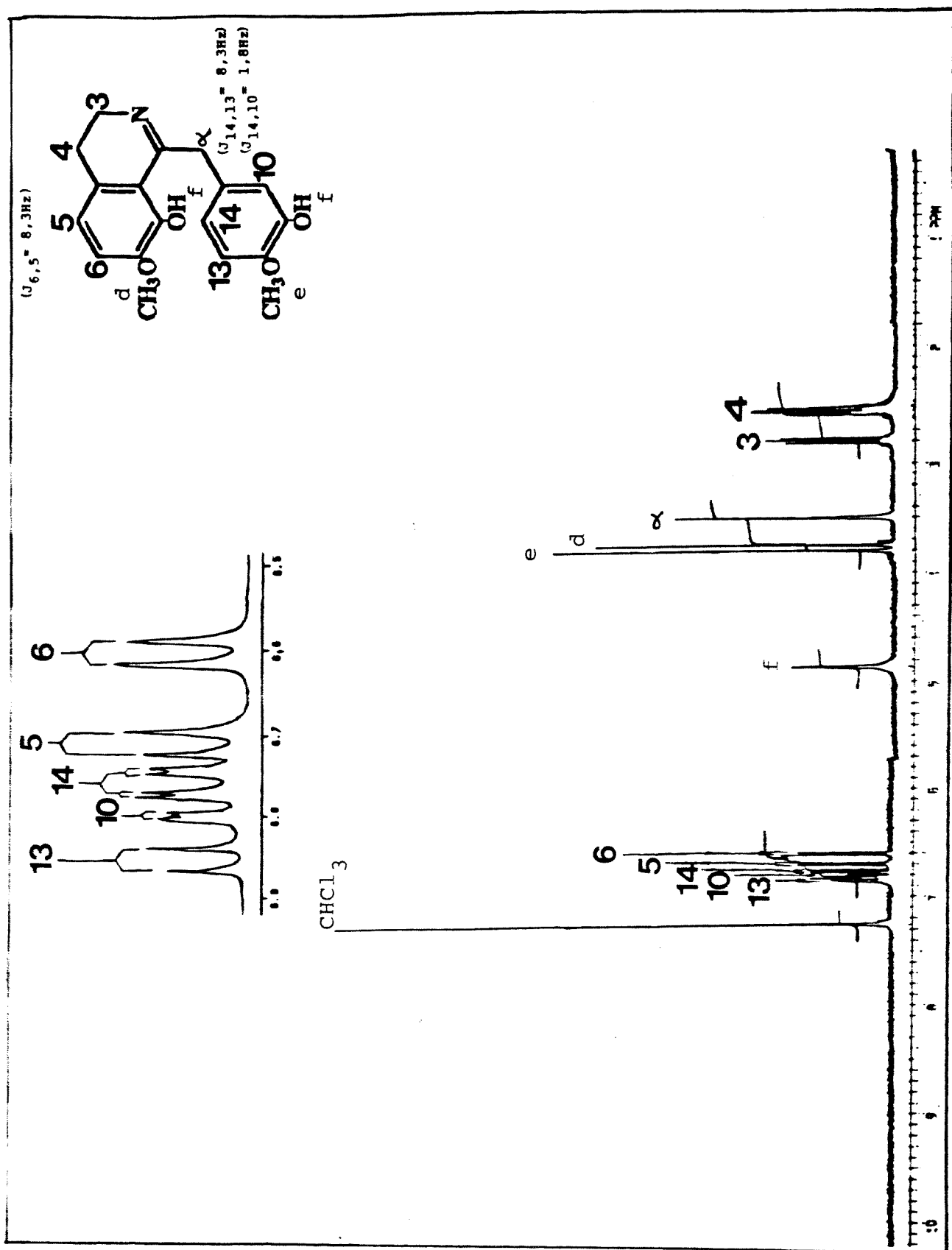
E-86 - IV(KBr) da 3,4-didroisoquinolina 279

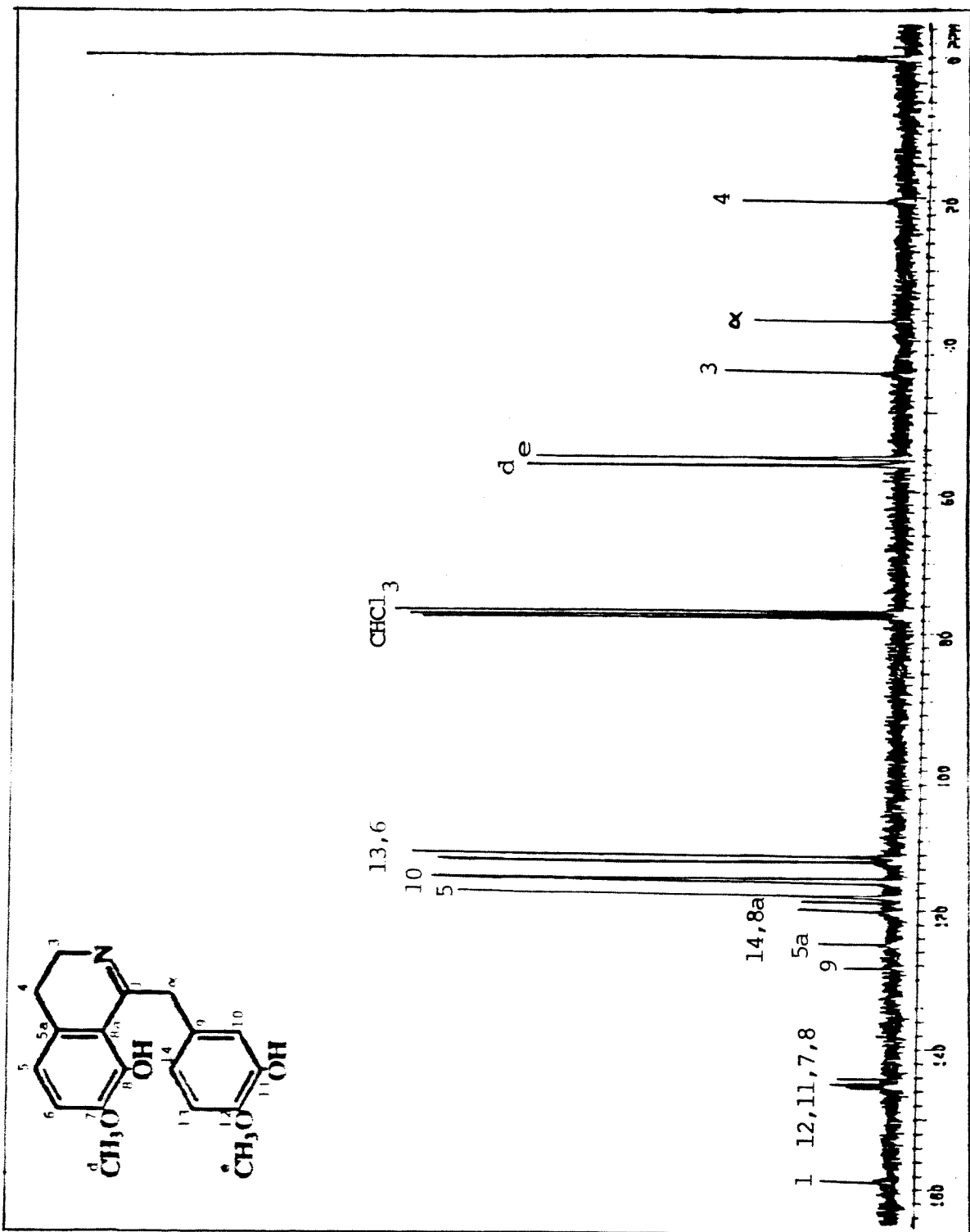


E-87 - RMN <sup>1</sup>H (CDCl<sub>3</sub>/TMS) da 3,4-didroisoquinolina 279

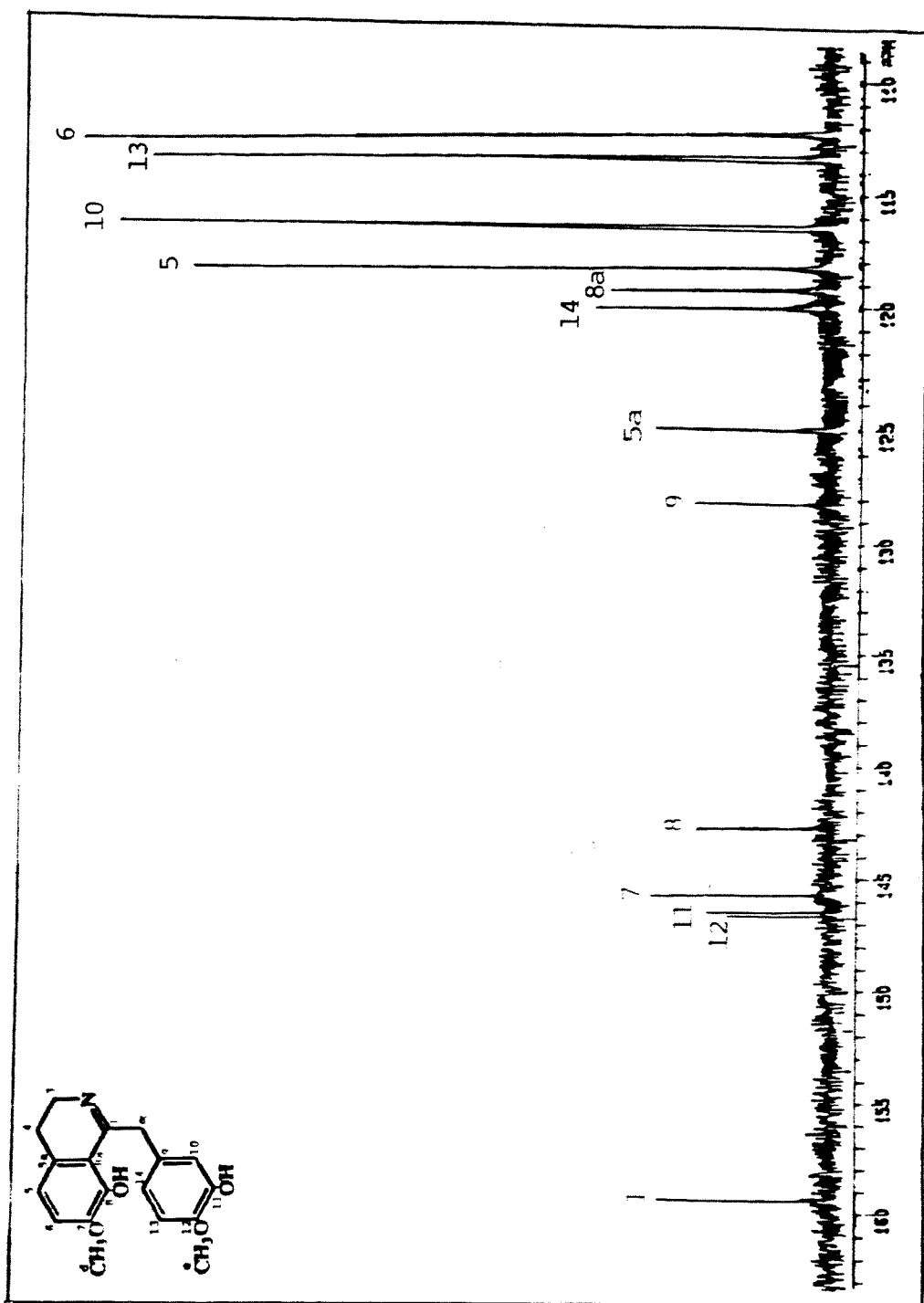


**E-88** - IV(KBr) da 3,4-didroquinolinina 306

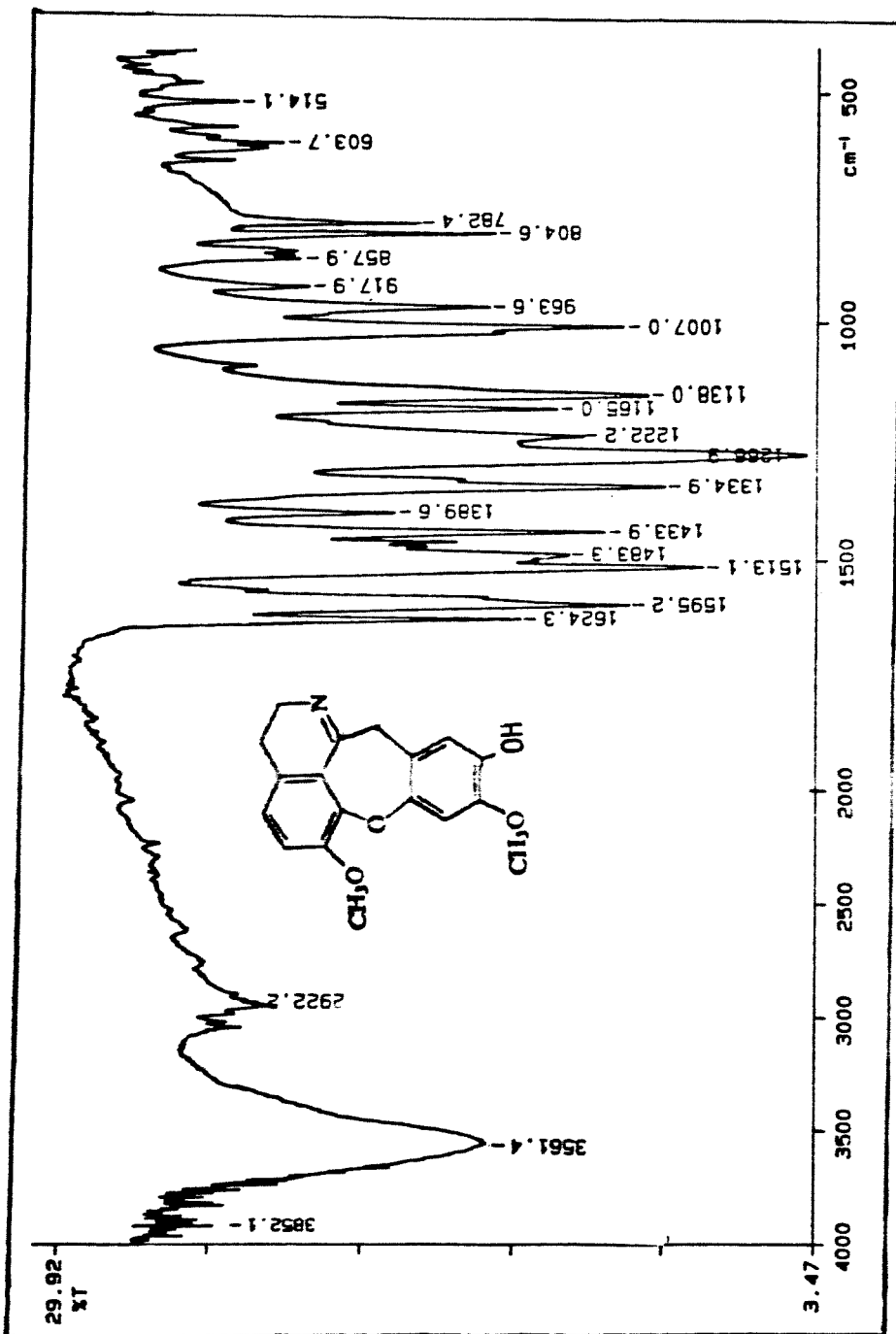




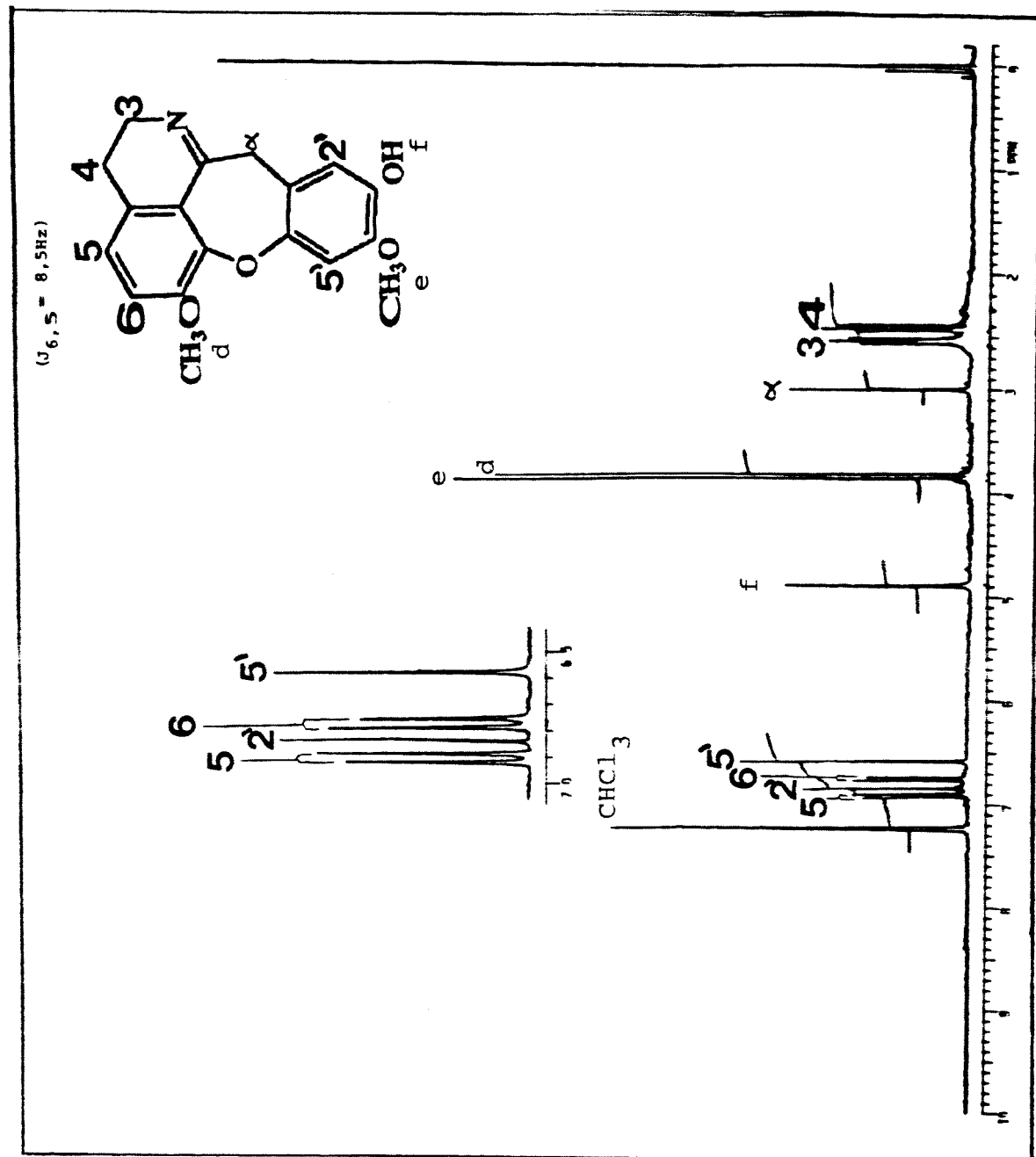
E-90 - RMN  $^{13}\text{C}$ (CDCl<sub>3</sub>) da 3,4-dihydroisoquinolinina 306



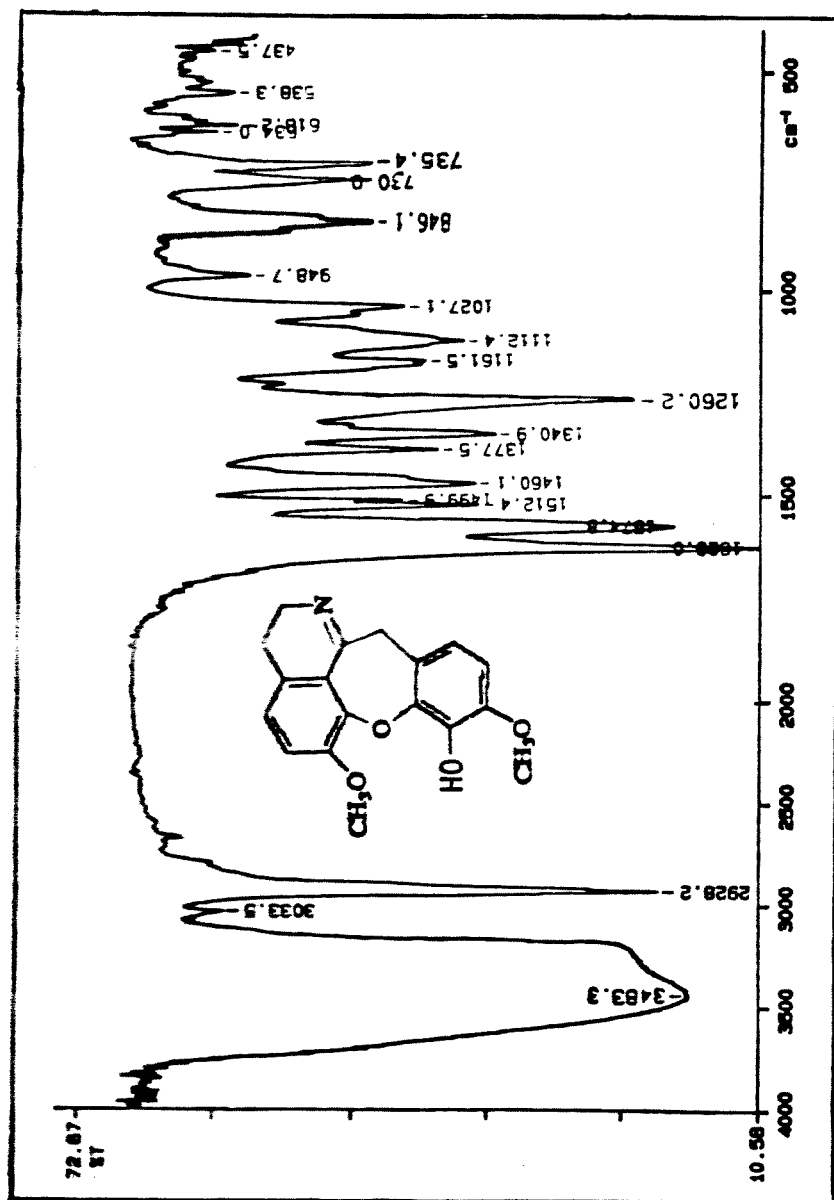
E-90 - RMN  $^{13}\text{C}$  ( $\text{CDCl}_3$ ) (ampliado) da 3,4-dihydroisoquinolina 306



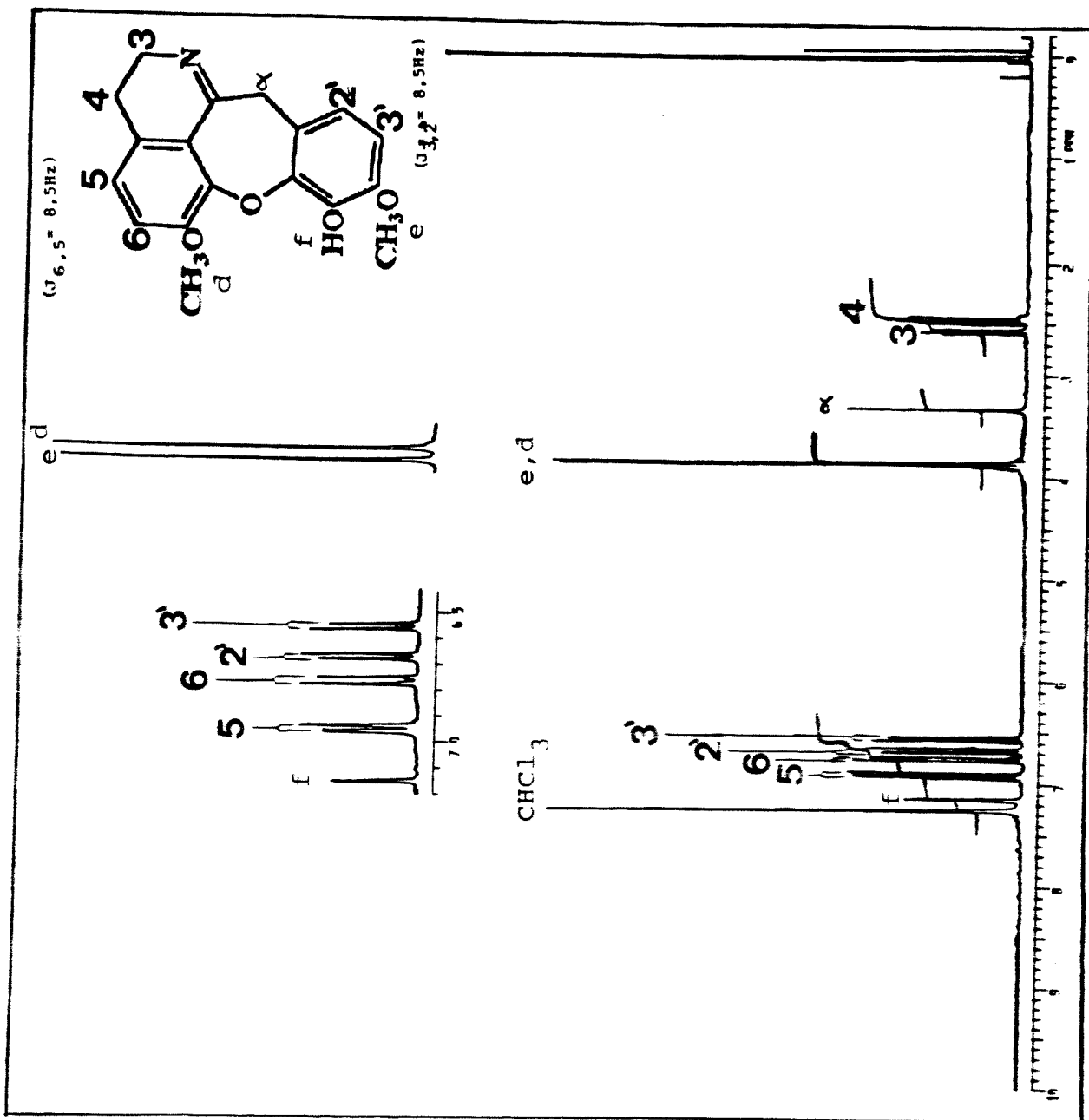
E-91 - IV(KBr) da (+)-didesmethylonocularina 308



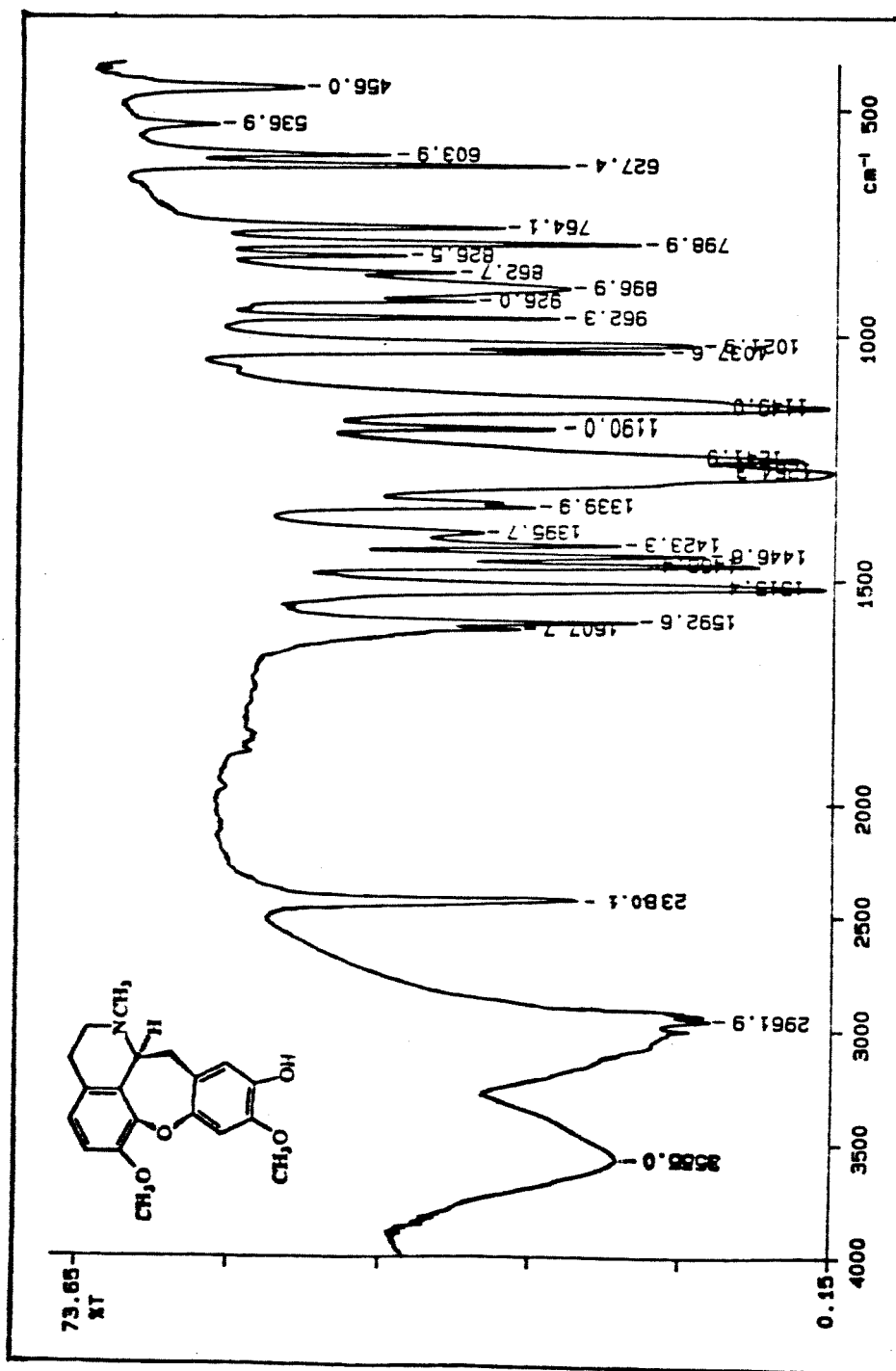
E-92 - RMN  ${}^1\text{H}$  ( $\text{CDCl}_3/\text{TMS}$ ) da (-)-desidronorcularina 308



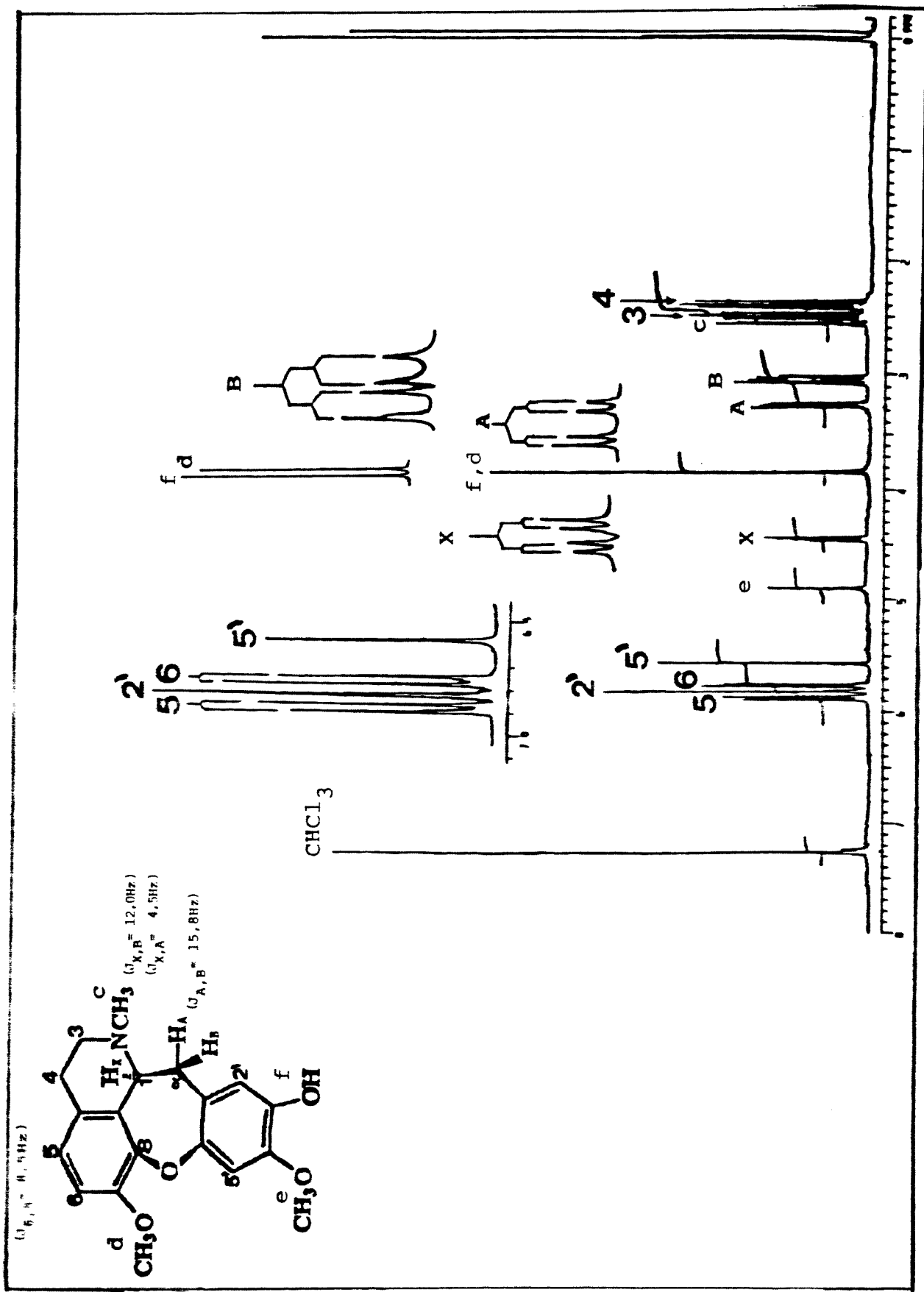
E-93 - IV(KBr) da ( $\frac{1}{2}$ -dides)tronocularina 309



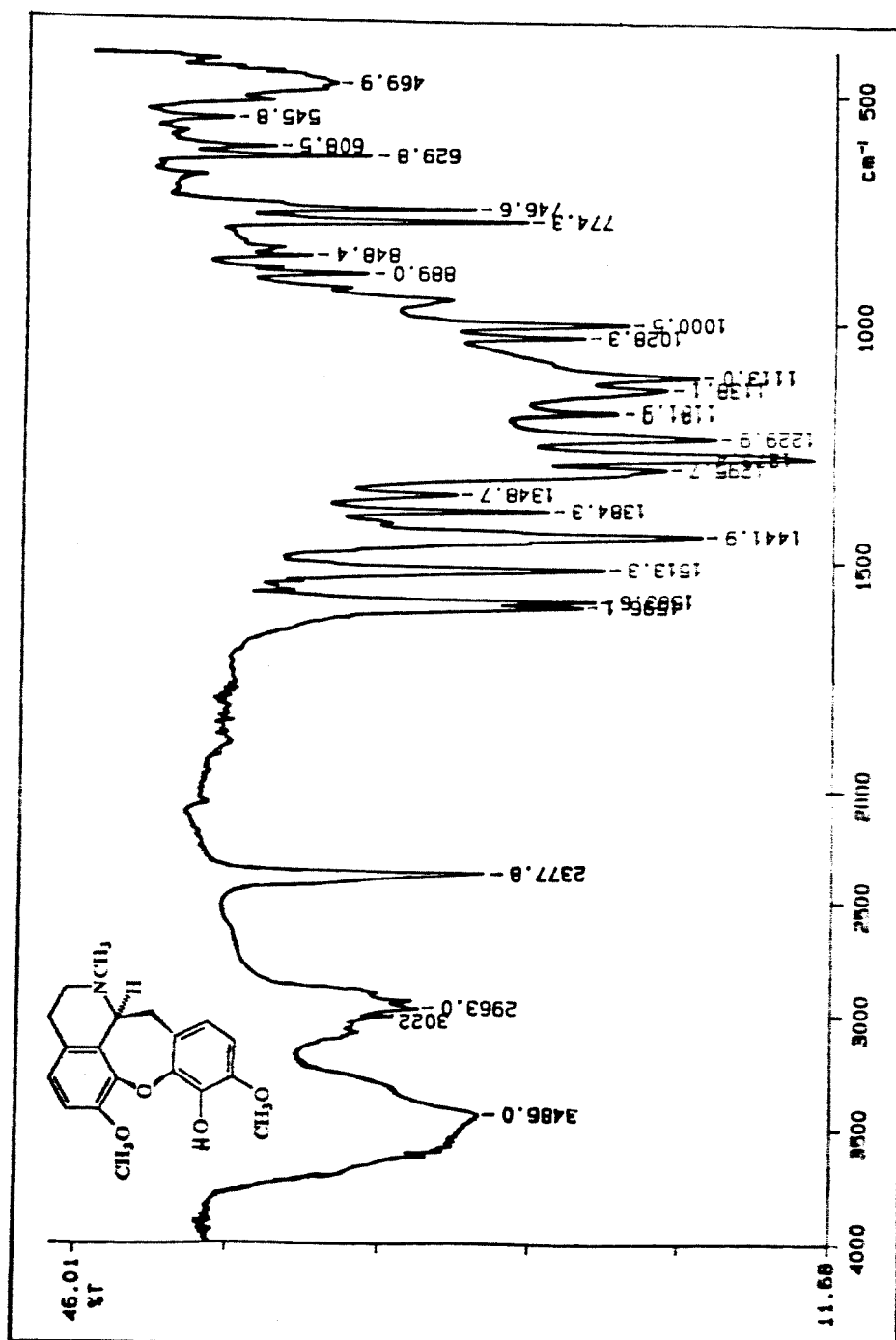
E-94 - RMN $^1\text{H}$  ( $\text{CDCl}_3/\text{TMS}$ ) da (-)-didesidronorcularina 309



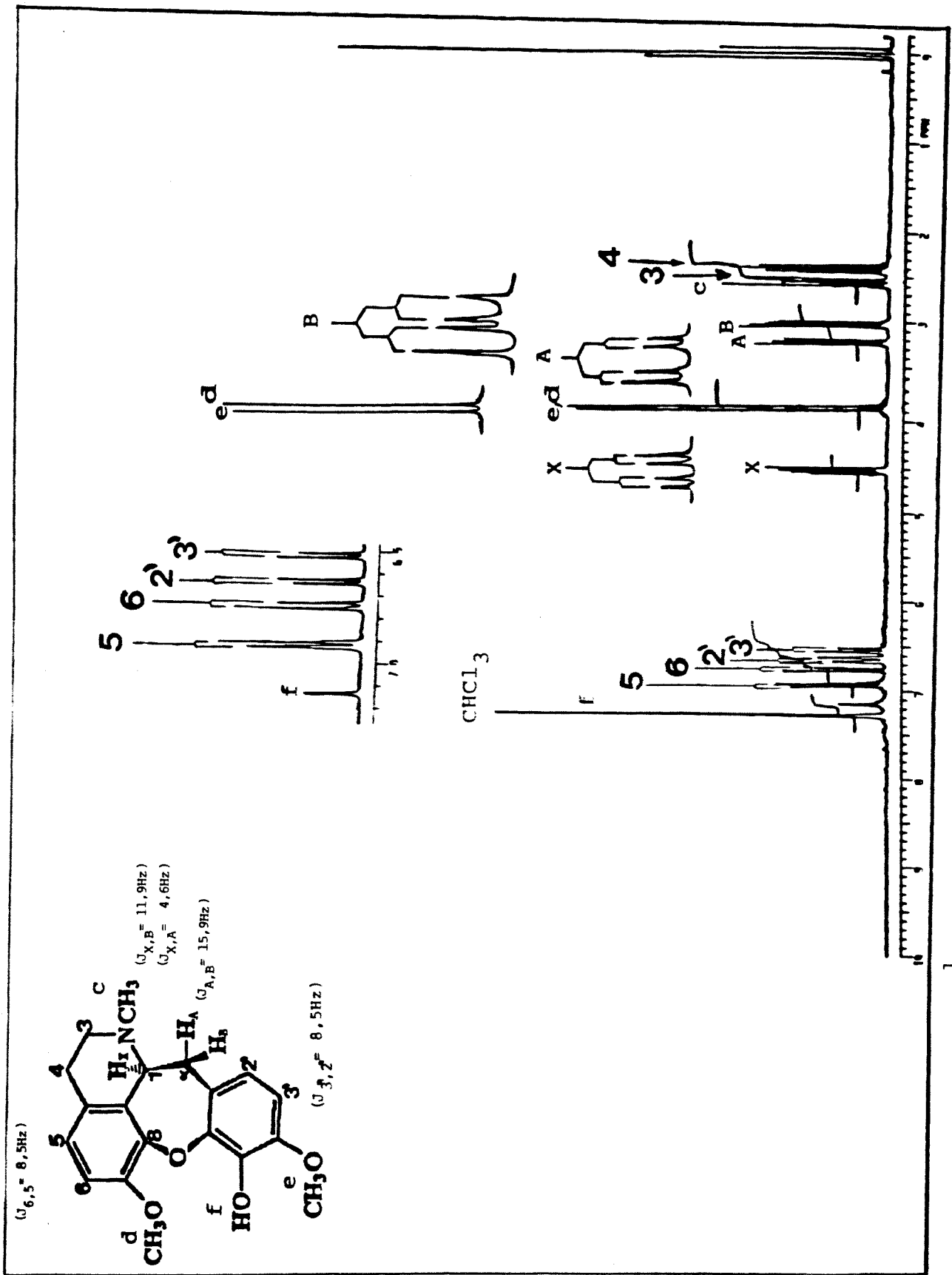
E-95 - TV(KBr) da (+) - O-demethyllecularina 1b

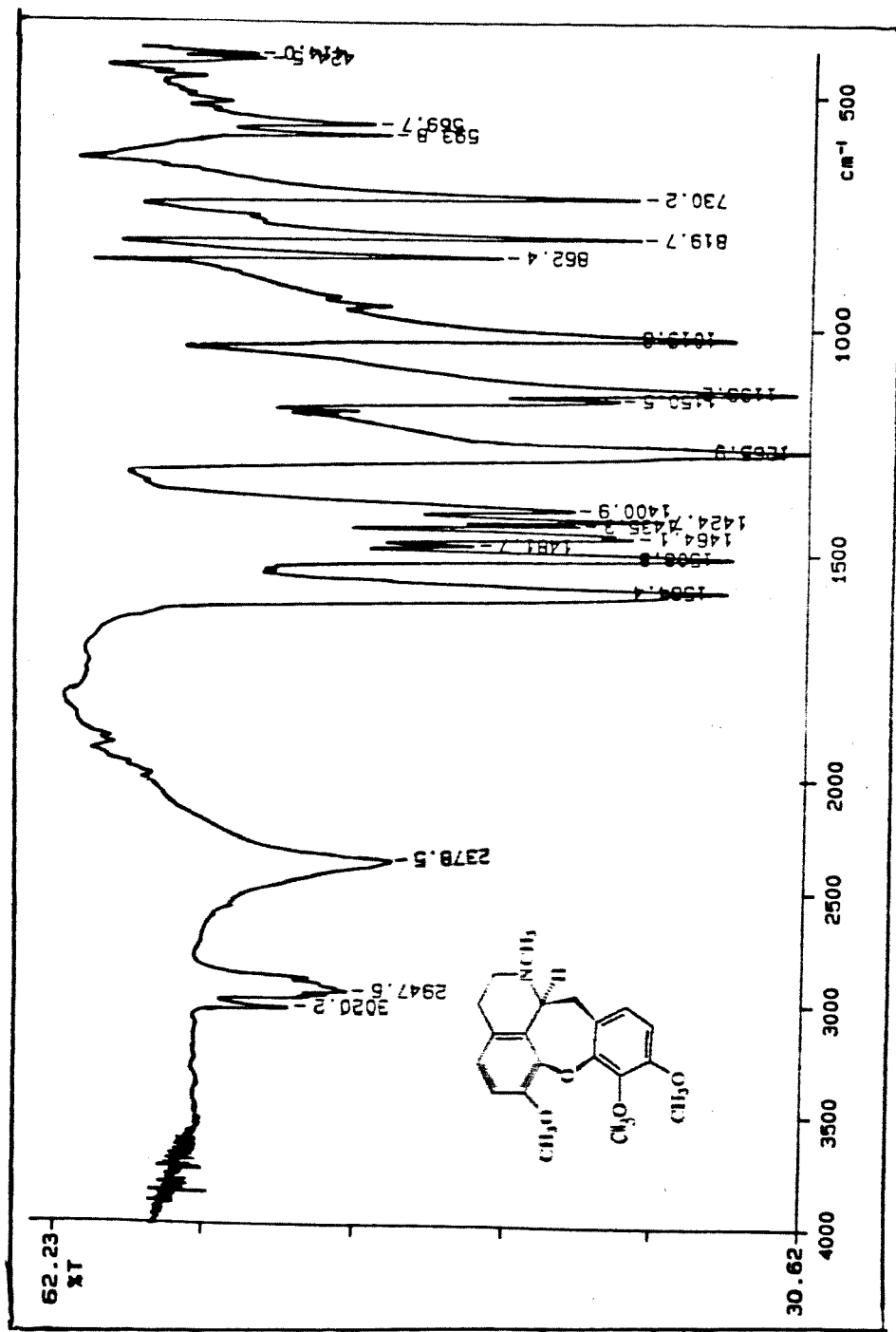


E-96 - RMN  $^1\text{H}$  ( $\text{CDCl}_3/\text{TMS}$ ) da (+) -O-desmethylcularina 1b

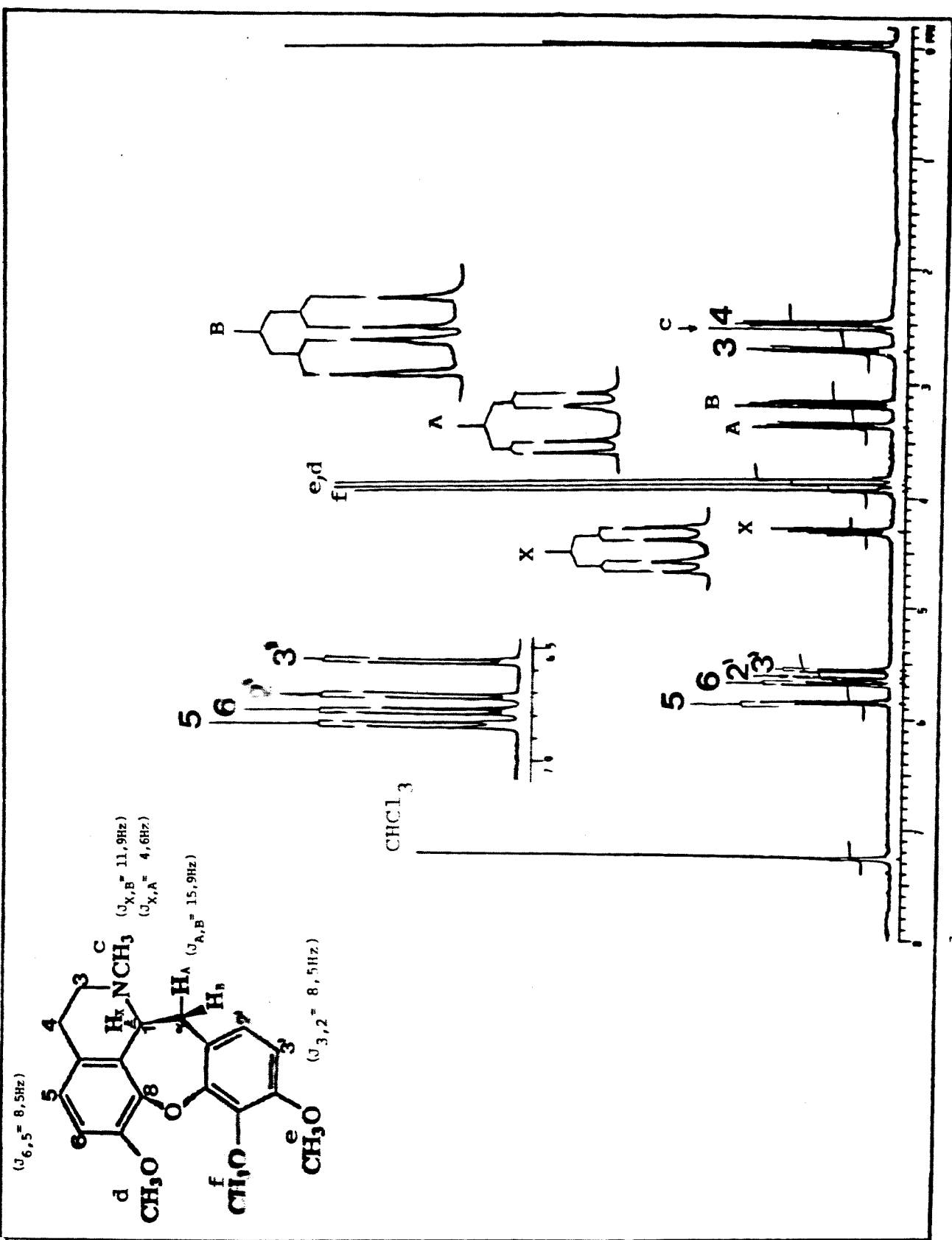


E-97 - IV(KBr) da (+)-sarcocarpnidina 2b

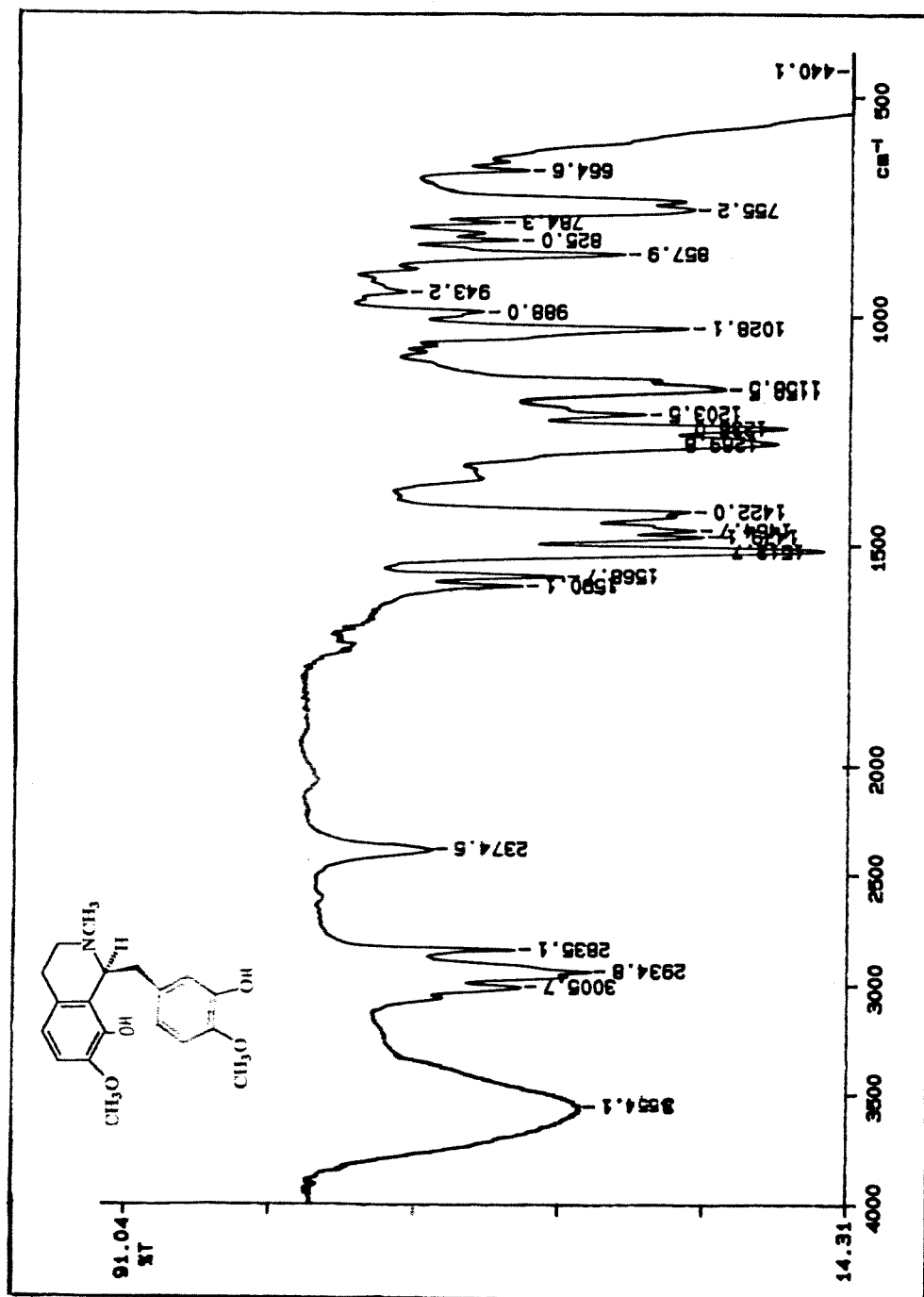




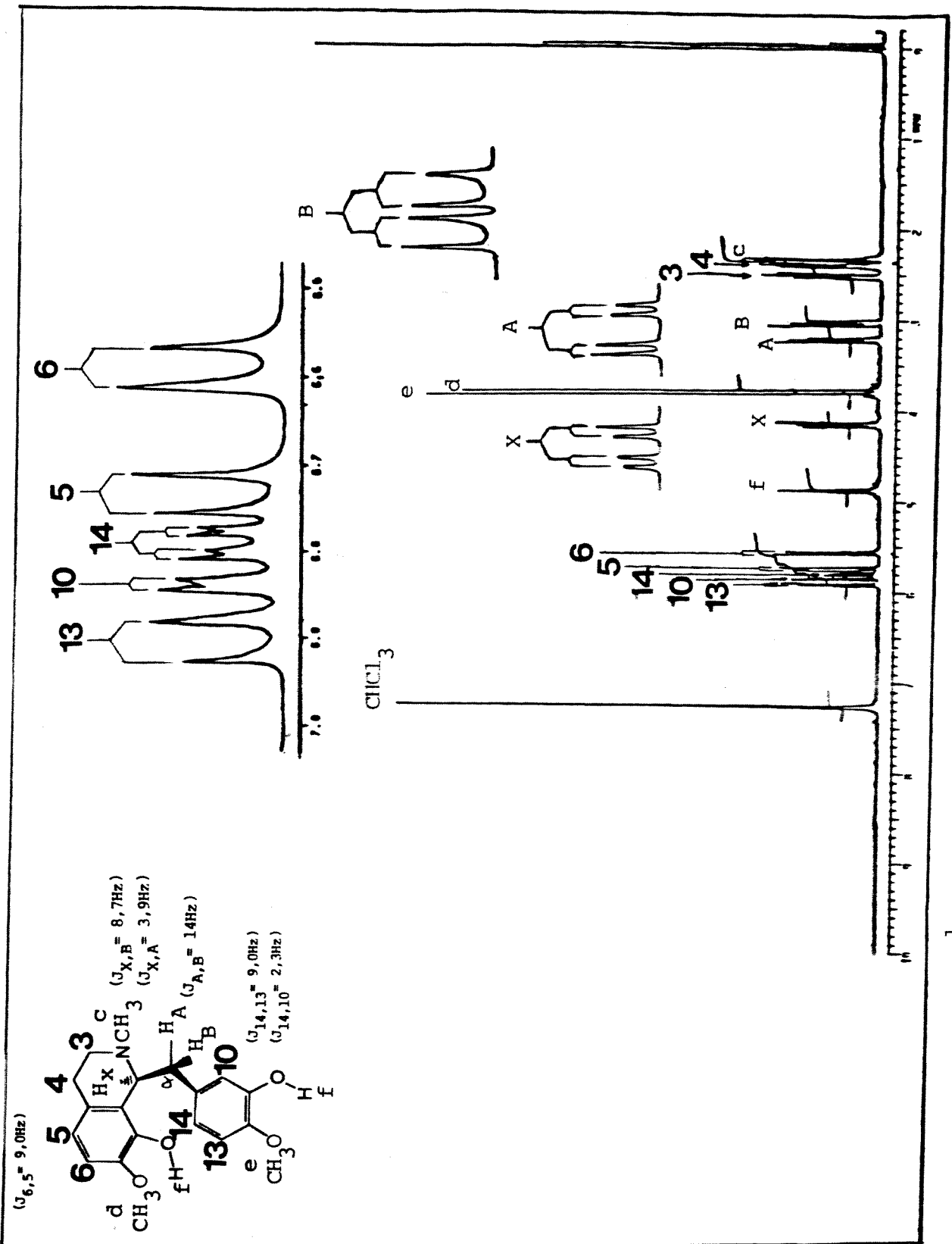
E-99 - IV(filme) da (+)-sarcocapnina 2a



E-100 - RMN  $^1\text{H}$  ( $\text{CDCl}_3/\text{TMS}$ ) da (+)-sarcocapnina 2a



E-101 - IV(KBr) da (+)-crassifolina 3



E-102 -  $\text{RMN}^1\text{H}(\text{CDCl}_3/\text{TMS})$  da (+)-crassifolina 3